

Nico Tauchnitz

# Optimalitätsprinzipien in der Steuerungstheorie

Zu schwachen und starken lokalen Minima in Steuerungs-  
problemen mit endlichem und unendlichem Zeithorizont







**Isaac Newton** (1643–1727) präsentierte in seinem Jahrtausendwerk *Principia Mathematica* (1687 veröffentlicht) mit der Berechnung eines Rotationskörpers mit geringstem Luftwiderstand das erste vollständig gelöste Variationsproblem.



**Johann Bernoulli** (1667–1748) veröffentlichte im Jahr 1696 eine “Einladung zur Lösung eines neuen Problems” an die “scharfsinnigsten Mathematiker der Welt”. Das gestellte Problem der *Brachistochrone* gilt als Geburtsstunde der Variationsrechnung.



**Jakob Bernoulli** (1655–1705), älterer Bruder von Johann, schlug einen neuartigen Weg zur Lösung des Problems der *Brachistochrone* vor. Dieser bemerkenswerte Ansatz bildete die Grundlage einer Methode, die Euler später als Variationsrechnung bezeichnete.



Die Variationsrechnung verdankt **Leonhard Euler** (1707–1783), dem bedeutendsten Mathematiker des 18. Jahrhunderts, nicht nur ihren Namen (*Calculus variationum*, 1756), sondern auch ihr erstes Lehrbuch im Jahr 1744.



**Joseph-Louis Lagrange** (1736–1813) erweiterte mit Hilfe von ersten Variationen von Funktionalen (*Richtungsvariationen*) die analytischen Methoden der klassischen Variationsrechnung zur Bestimmung schwacher lokaler Optimalstellen grundlegend.



**Karl Weierstraß** (1815–1897) führte die *Nadelvariationsmethode* ein, aus denen neue Optimalitätsbedingungen und der allgemeinere Optimalitätsbegriff einer starken lokalen Optimalstelle resultieren.



Im Jahr 1900 stellte **David Hilbert** (1862–1943) auf dem Internationalen Mathematiker-Kongress eine Liste von 23 Problemen vor, die zu diesem Zeitpunkt ungelöst waren. Als eine Antwort auf das 23. Hilbertsche Problem, der Weiterentwicklung der Variationsrechnung, gilt die optimale Steuerung.



Die ersten Anwendungen von Steuerungsproblemen entwickelten sich durch die Luft- und Raumfahrt. Im Bereich der Raumfahrt publizierte der Raketenpionier **Robert Goddard** (1882–1945) zu “Methoden zum Erreichen extremer Höhen” bereits 1920 eine Abhandlung.



Mit der Fragestellung nach der “optimalen Sparquote einer Ökonomie” schuf **Frank Ramsey** (1903–1930) im Jahr 1928 einen neuen Zweig der neoklassischen Wachstumstheorie. Diese Betrachtung eines Variationsproblems mit einem unbeschränkten Planungszeitraum führte zu den Steuerungsproblemen mit unendlichem Zeithorizont.



Im Zuge der Bestrebungen der Chicagoer Schule um Oskar Bolza (1857–1942) und Gilbert Bliss (1876–1951) um einer Verallgemeinerung der Variationsrechnung führte **Edward McShane** (1904–1989) bereits 1939 diejenige Form der Nadelvariationsmethode ein, auf der der spätere Beweis des Maximumprinzips um Pontrjagin beruhte.



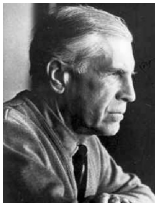
Im RAND Research Memorandum No. 100 formulierte zu Beginn der 1950er Jahre **Magnus Hestenes** (1906–1991) eine frühere Version des Maximumprinzips. Insbesondere gab er dabei den Steuerungsproblemen die heutige Form mit Zustands- und Steuerungsvariable.



**Rufus Isaacs** (1914–1977) ist in den 1950er Jahren Vorreiter in der Untersuchung von *Differentialspielen*, die wegen dem gleichzeitigen Auftreten mehrerer Zielkriterien als Verallgemeinerung der Standardaufgabe der Steuerungstheorie gelten.



**Richard Bellman** (1920–1984) beschäftigte sich in 1950er Jahren mit Entscheidungsproblemen und entwickelte das *Prinzip der Dynamischen Programmierung*, das unter zusätzlichen Annahmen in direktem Bezug zum Pontrjaginschen Maximumprinzip steht.



Das *Pontrjaginsche Maximumprinzip*, ein kompletter Satz notwendiger Optimalitätsbedingungen für ein starkes lokales Minimum in Steuerungsproblemen, formulierten **Lew Pontrjagin** (1908–1988), Rewas Gamkrelidze (1927–) und Wladimir Boltjanski (1925–2019) zunächst in den 1950er Jahren als Hypothese und veröffentlichten den Nachweis 1961.

# Inhaltsverzeichnis

<b>Einleitung</b>	<b>1</b>
<b>Wichtige Bezeichnungen</b>	<b>9</b>
<b>Stückweise Stetigkeit und Differenzierbarkeit</b>	<b>11</b>
<b>1. Richtungsvariationen in der Variationsrechnung und Optimalen Steuerung</b>	<b>13</b>
1.1. Die Euler-Lagrangesche Gleichung der Klassischen Variationsrechnung . . .	14
1.1.1. Die Herleitung der Euler-Lagrange-Gleichung . . . . .	14
1.1.2. Die Euler-Lagrangesche Gleichung in der Wirtschaftstheorie . . . . .	19
1.1.3. Notwendige Bedingungen in der einfachsten Bolza-Aufgabe . . . . .	21
1.2. Die Lagrange-Aufgabe und das Isoperimetrische Problem . . . . .	23
1.2.1. Notwendige Bedingungen in der Lagrange-Aufgabe . . . . .	23
1.2.2. Der Nachweis der notwendigen Optimalitätsbedingungen . . . . .	26
1.2.3. Das Isoperimetrische Problem . . . . .	30
1.3. Richtungsvariationen in der Optimalen Steuerung . . . . .	33
1.3.1. Die Aufgabenstellung für ein schwaches lokales Minimum . . . . .	34
1.3.2. Ein Schwaches Optimalitätsprinzip . . . . .	35
1.3.3. Der Nachweis der notwendigen Optimalitätsbedingungen . . . . .	39
1.3.4. Hinreichende Bedingungen nach Mangasarian . . . . .	42
1.3.5. Freier Anfangs- und Endzeitpunkt . . . . .	44
1.3.6. Ein Schwaches Optimalitätsprinzip unter Zustandsbeschränkungen .	49
1.3.7. Der Nachweis der notwendigen Optimalitätsbedingungen . . . . .	51
<b>2. Nadelvariationen in der Optimalen Steuerung</b>	<b>55</b>
2.1. Die Nadelvariation der Klassischen Variationsrechnung . . . . .	56
2.2. Die elementare Aufgabe mit freiem Endpunkt . . . . .	60
2.2.1. Formulierung der Aufgabe und das Maximumprinzip . . . . .	60
2.2.2. Der Beweis des Maximumprinzips . . . . .	61
2.2.3. Ökonomische Deutung des Maximumprinzips . . . . .	64
2.3. Die Aufgabenstellung für ein starkes lokales Minimum . . . . .	65
2.4. Das Pontrjaginsche Maximumprinzip . . . . .	66
2.4.1. Notwendige Optimalitätsbedingungen . . . . .	66
2.4.2. Der Nachweis der notwendigen Optimalitätsbedingungen . . . . .	67
2.4.3. Hinreichende Bedingungen nach Arrow . . . . .	70
2.5. Aufgaben mit Zustandsbeschränkungen . . . . .	73
2.5.1. Notwendige Optimalitätsbedingungen . . . . .	73
2.5.2. Der Nachweis der notwendigen Optimalitätsbedingungen . . . . .	76
2.5.3. Hinreichende Bedingungen nach Arrow . . . . .	80
2.5.4. Freier Anfangs- und Endzeitpunkt . . . . .	86

<b>3. Erweiterungen der Standardaufgabe</b>	<b>91</b>
3.1. Zielfunktionale in gemischter Form und allgemeine Randbedingungen . . . . .	92
3.1.1. Das Pontrjaginsche Maximumprinzip . . . . .	92
3.1.2. Investition in Produktionskapazitäten . . . . .	98
3.1.3. Instandhaltungsmanagement . . . . .	99
3.2. Freier Anfangs- und Endzeitpunkt unter Zeitschranken . . . . .	101
3.3. Multiprozesse . . . . .	106
3.3.1. $k$ -fache Zerlegungen und die Aufgabenstellung . . . . .	107
3.3.2. Die elementare Aufgabe mit freiem Endpunkt . . . . .	110
3.3.3. Das Pontrjaginsche Maximumprinzip . . . . .	113
3.3.4. Der Nachweis der notwendigen Optimalitätsbedingungen . . . . .	114
3.3.5. Freier Anfangs- und Endzeitpunkt . . . . .	117
3.3.6. Ein Investitionsmodell . . . . .	119
3.3.7. Zeitoptimale Steuerung gekoppelter Kompartimente . . . . .	122
3.4. Zeitverzögerte dynamische Systeme . . . . .	126
3.4.1. Die elementare Aufgabe mit freiem Endpunkt . . . . .	126
3.4.2. Die Aufgabenstellung . . . . .	135
3.4.3. Das Pontrjaginsche Maximumprinzip . . . . .	136
3.4.4. Der Beweis des Maximumprinzips . . . . .	138
3.4.5. Hinreichende Bedingungen nach Arrow . . . . .	144
3.4.6. Optimale Steuerung einer Chemoimmuntherapie . . . . .	147
3.5. Differentialspiele . . . . .	149
3.5.1. Kapitalismusspiel . . . . .	151
3.5.2. Ein Fischerei-Differentialspiel . . . . .	155
<b>4. Starkes lokales Minimum über unendlichem Zeithorizont</b>	<b>157</b>
4.1. Die elementare Aufgabe mit freiem Endpunkt . . . . .	158
4.2. Die Aufgabenstellung . . . . .	163
4.3. Das Pontrjaginsche Maximumprinzip . . . . .	164
4.3.1. Notwendige Optimalitätsbedingungen . . . . .	164
4.3.2. Der Nachweis der notwendigen Optimalitätsbedingungen . . . . .	167
4.3.3. Zur normalen Form und zu Transversalitätsbedingungen . . . . .	169
4.3.4. Hinreichende Bedingungen nach Arrow . . . . .	171
4.4. Aufgaben mit Zustandsbeschränkungen . . . . .	173
4.4.1. Notwendige Optimalitätsbedingungen . . . . .	173
4.4.2. Der Nachweis der notwendigen Optimalitätsbedingungen . . . . .	176
4.4.3. Hinreichende Bedingungen nach Arrow . . . . .	178
4.5. Steuerungsprobleme mit endlichem und unendlichem Zeithorizont . . . . .	180
4.5.1. Zur Approximation durch eine Aufgabe über endlichem Horizont . . . . .	180
4.5.2. Ein Resultat zur Approximation mit endlichem Horizont . . . . .	185
4.5.3. Transformation der Zeit . . . . .	188
4.5.4. Die Einordnung der Aufgabenklassen mit verschiedenen Horizonten . . . . .	189

<b>5. Steuerung Volterrascher Integralgleichungen</b>	<b>193</b>
5.1. Die elementare Aufgabe mit freiem Endpunkt . . . . .	194
5.2. Die Aufgabenstellung . . . . .	200
5.3. Das Pontrjaginsche Maximumprinzip . . . . .	201
5.3.1. Notwendige Optimalitätsbedingungen . . . . .	201
5.3.2. Der Nachweis der notwendigen Optimalitätsbedingungen . . . . .	203
5.3.3. Hinreichende Bedingungen nach Arrow . . . . .	207
5.3.4. Optimale Werbestrategien bei festem Werbebudget . . . . .	209
5.4. Aufgaben mit Zustandsbeschränkungen . . . . .	211
5.4.1. Notwendige Optimalitätsbedingungen . . . . .	211
5.4.2. Der Nachweis der notwendigen Optimalitätsbedingungen . . . . .	212
5.4.3. Hinreichende Bedingungen nach Arrow . . . . .	215
5.4.4. Optimale Werbestrategien bei beschränktem Werbebudget . . . . .	218
5.5. Freier Anfangs- und Endzeitpunkt . . . . .	219
5.5.1. Die Methode der Substitution der Zeit . . . . .	220
5.5.2. Die Auswertung der Aufgabe mit Zuständen der äußeren Zeit . . . . .	221
5.5.3. Notwendige Optimalitätsbedingungen . . . . .	226
5.5.4. Optimaler Planungszeitraum einer Werbestrategie . . . . .	228
5.5.5. Zurück zur Standardaufgabe mit freiem Anfangs- und Endzeitpunkt	231
<b>Anhang</b>	<b>233</b>
<b>A. Grundzüge der Maß- und Integrationstheorie</b>	<b>233</b>
A.1. Maßtheoretische Grundlagen . . . . .	233
A.2. Integration bezüglich eines Borelschen Maßes . . . . .	234
A.3. Funktionen beschränkter Variation und Stieltjes-Integral . . . . .	235
A.4. Borelsche Maße über der erweiterten reellen Zahlengeraden . . . . .	236
<b>B. Funktionalanalytische Hilfsmittel</b>	<b>238</b>
B.1. Stetige lineare Operatoren auf normierten Räumen . . . . .	238
B.2. Differentialrechnung und Differenzierbarkeit konkreter Abbildungen . . . . .	241
B.3. Grundprinzipien der Funktionalanalysis . . . . .	247
B.4. Der Darstellungssatz von Riesz . . . . .	248
B.5. Der Satz von Ljusternik . . . . .	251
<b>C. Differentialgleichungen, Volterrasche Integralgleichungen</b>	<b>252</b>
C.1. Lineare Gleichungen . . . . .	252
C.2. Existenz und Eindeutigkeit, Abhängigkeit von Anfangsdaten . . . . .	255

<b>D. Elemente der Konvexen Analysis</b>	<b>262</b>
D.1. Das Subdifferential konvexer Funktionen . . . . .	262
D.2. Lokalkonvexe Funktionen . . . . .	263
D.3. Das Subdifferential konkreter Funktionen . . . . .	264
<b>E. Mehrfache Nadelvariationen nach Ioffe &amp; Tichomirov</b>	<b>268</b>
E.1. Die Konstruktion der Trägerfamilien . . . . .	268
E.2. Die Definition der mehrfachen Nadelvariation . . . . .	272
E.3. Eigenschaften der mehrfachen Nadelvariation . . . . .	273
E.4. Mehrfache Nadelvariationen in Multiprozessen . . . . .	278
E.5. Mehrfache Nadelvariationen über dem unendlichen Zeithorizont . . . . .	281
E.6. Mehrfache Nadelvariationen für Integralgleichungen . . . . .	285
<b>F. Zur Theorie der Extremalaufgaben</b>	<b>294</b>
F.1. Glatte Aufgaben mit Gleichungsnebenbedingungen . . . . .	296
F.2. Glatte Aufgaben mit Ungleichungsnebenbedingungen . . . . .	297
F.3. Ein Extremalprinzip für ein schwaches lokales Minimum . . . . .	300
F.4. Ein Extremalprinzip für ein starkes lokales Minimum . . . . .	305
<b>Abbildungs-, Literatur- und Sachverzeichnis</b>	<b>313</b>
<b>Abbildungsverzeichnis</b>	<b>313</b>
<b>Literatur</b>	<b>315</b>
<b>Sachverzeichnis</b>	<b>321</b>

## Einleitung

Die Theorie der Optimalen Steuerung entwickelte sich aus der Klassischen Variationsrechnung. Notwendig wurde die Weiterentwicklung der Methoden der Klassischen Variationsrechnung durch Problemstellungen aus verschiedenen Fachbereichen, z. B. der Physik, der Biologie, der Chemie, den Ingenieurwissenschaften und vorallem der Luft- und Raumfahrt. Die Aufgabenstellungen haben gemein, dass sie steuerbar, d. h. durch den Menschen beeinflussbar, sind. Es ergibt sich damit die Frage nach derjenigen Steuerung, die im gewünschten Sinn die beste, wir sagen die optimale, ist. Diese optimale Steuerung zeigt dem Anwender Handlungsweisen auf, wie auf den Zustand des steuerbaren Objektes einzuwirken ist, damit sich dieser entsprechend der Zielvorstellungen auf die beste Art und Weise verhält.

Historisch gilt als Geburtsstunde der Klassischen Variationsrechnung das Jahr 1696, als Johann Bernoulli (1667–1748) seine Zeitgenossen mit der Aufgabe der Brachistochrone herausforderte. Aber es gibt weitaus ältere Variationsprobleme.

Vergil (70–19 v. Chr.) berichtet in seinem antiken Epos der Aeneis die Sage von der Gründung Karthagos etwa 900 v. Chr. durch die phönizische Prinzessin Dido. Aus Furcht vor ihrem Bruder Pygmalion, der ihren Gemahl erschlagen hatte, floh Dido und gelangte an die Küste Nordafrikas. Man wollte ihr dort jedoch nur soviel Land überlassen, wie sie mit einer Ochsenhaut begrenzen könne. Dido schnitt die Haut in feine Streifen, nähte diese zusammen und konnte damit ein nicht unerhebliches Landstück an der Küste eingrenzen, auf dem sie die Burg Byrsa errichten ließ.

Das Problem der Dido wirft die Frage nach der Gestalt derjenigen geschlossenen, ebenen Kurve gegebener Länge auf, die den Bereich mit größtem Flächeninhalt berandet.

Der (orientierte) Inhalt  $I$  des Bereiches  $B$ , der von einer geschlossenen, ebenen und stetig differenzierbaren Kurve mit der Parameterdarstellung

$$t \rightarrow x(t) = (x_1(t), x_2(t)), \quad t \in [a, b],$$

umrandet wird, kann durch

$$I = \frac{1}{2} \int_a^b [x_1(t)\dot{x}_2(t) - x_2(t)\dot{x}_1(t)] dt$$

bestimmt werden (das Vorzeichen der Zahl  $I$  hängt vom Durchlaufsinne der Kurve ab). Dabei muss die Kurve die isoperimetrische Beschränkung der vorgegebenen Länge  $l$ ,

$$\int_a^b \sqrt{\dot{x}_1^2(t) + \dot{x}_2^2(t)} dt = l,$$

erfüllen. Zudem betrachten wir ausschließlich geschlossene Kurven, was wir durch die Angaben  $x_1(a) = x_1(b)$  und  $x_2(a) = x_2(b)$  erreichen. Wir beschreiben der Form halber die isoperimetrische Beschränkung durch die Funktion  $x_3(\cdot)$  mit den Eigenschaften

$$\dot{x}_3(t) = \sqrt{\dot{x}_1^2(t) + \dot{x}_2^2(t)}, \quad x_3(a) = 0, \quad x_3(b) = l.$$

Dann führt das Problem der Dido auf der Menge der geschlossenen und glatten Kurven gegebener Länge zu der Maximierungsaufgabe

$$J(x_1(\cdot), x_2(\cdot), x_3(\cdot)) = \frac{1}{2} \int_a^b [x_1(t)\dot{x}_2(t) - x_2(t)\dot{x}_1(t)] dt \rightarrow \sup$$

unter den Nebenbedingungen

$$\dot{x}_3(t) = \sqrt{\dot{x}_1^2(t) + \dot{x}_2^2(t)}, \quad x_1(a) = x_1(b), \quad x_2(a) = x_2(b), \quad x_3(a) = 0, \quad x_3(b) = l.$$

Die Lösung des Problems der Dido wird durch die isoperimetrische Eigenschaft des Kreises geliefert: Unter allen möglichen geschlossenen Kurven gegebener Länge ist diejenige, deren Innengebiet den größtmöglichen Flächeninhalt besitzt, die Kreislinie.

Das Problem der Dido zeigt, dass sich Variationsaufgaben grundlegend zu der Extremwertsuche einer Funktion unterscheiden. Während man bei Extremwertaufgaben einer Funktion diejenige Stelle sucht, an der die Funktion einen kleinsten oder größten Wert annimmt, ist man im Gegensatz dazu im Problem der Dido bestrebt eine Funktion zu finden, die dem Zielfunktional  $J$  den optimalen Wert zuordnet. Die Maximierung des Funktionals  $J$  drücken wir durch die Suche nach einem Supremum aus, da wir über die Existenz eines Maximum a priori keine Kenntnis besitzen.

Der Raketenpionier Robert H. Goddard (1882–1945) formulierte in der ersten Hälfte des 20. Jahrhunderts die Aufgabe, dass eine Höhenrakete mit einer vorgegebenen Treibstoffmenge eine möglichst große Flughöhe erreichen soll. Das besondere Merkmal daran ist, dass die Schubleistung gewissen Schranken unterliegt und Grenzlagen annehmen darf. Diese besondere Charakteristik ist in der klassischen Variationsrechnung nicht vorgesehen. Damit wird die Frage nach einer passenden Verallgemeinerung der klassischen Variationsrechnung aufgeworfen, die zur Antwort die Entwicklung der Steuerungstheorie erhielt.

In einer "einfachen" Formulierung einer Rakete maximaler Flughöhe (Maurer [54]) seien

- $h(t)$  – die Höhe der Rakete zur Zeit  $t$ ,
- $v(t)$  – die Geschwindigkeit der Rakete zur Zeit  $t$ ,
- $m(t)$  – die Masse der Rakete zur Zeit  $t$ ,
- $u(t)$  – Kraftstoffverbrauch zur Zeit  $t$ ,
- $D(h, v)$  – der Luftwiderstand,
- $g(h)$  – die Gravitation,
- $c$  – der spezifische Impuls pro Einheit Treibstoff.

Nach dem Luftwiderstands- und dem Gravitationsgesetz gelten

$$D(h, v) = \alpha v^2 e^{-\beta h}, \quad g(h) = g_0 \frac{r_0^2}{r_0^2 + h^2},$$

wobei  $\alpha, \beta$  spezifische Konstanten des Modells,  $r_0$  den Erdradius und  $g_0$  die Gravitationskonstante auf der Erdoberfläche bezeichnen.

Die Dynamik des Systems wird durch die Differentialgleichungen

$$\dot{h}(t) = v(t), \quad \dot{v}(t) = \frac{cu(t) - D(h(t), v(t))}{m(t)} - g(h(t)), \quad \dot{m}(t) = -u(t)$$

gegeben. Die Randbedingungen lauten

$$h(0) = 0, \quad v(0) = 0, \quad m(0) = m_0 \text{ (Startmasse)}, \quad m(T) = m_T \text{ (Leermasse)}$$

und es treten Steuerungsbeschränkungen der Form

$$u(t) \in [0, u_{\max}]$$

auf. Schließlich ist das Optimierungskriterium die Maximierung der Steighöhe:

$$h(T) = \int_0^T v(t) dt \rightarrow \sup.$$

Als naheliegende Lösung könnte man die Steuerung

$$u(t) = \begin{cases} u_{\max}, & t \in [0, \tau), \\ 0, & t \in [\tau, T], \end{cases}$$

erwarten, die im Goddard-Problem ohne Luftwiderstand optimal wäre. Jedoch wird die dadurch erreichte Flughöhe um fast 40% übertroffen, wenn man eine Steuerung anwendet,

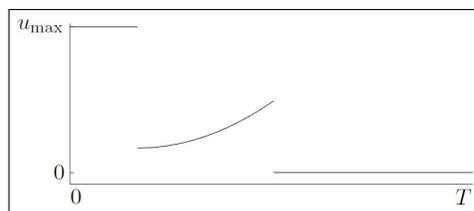


Abbildung 1: Optimale Steuerung im Goddard Problem mit Luftwiderstand.

deren charakteristischer Verlauf in Abbildung 1 dargestellt ist.

Weitere Einsatzmöglichkeiten der mathematischen Methoden für die Optimierung einer Höhenrakete ergeben sich, wenn gegensätzliche Ziele gleichzeitig beachtet werden müssen. Gewicht und Sicherheit sind Beispiele dafür. Einerseits sollte das Gesamtgewicht so gering wie möglich sein, um weniger Treibstoff zu verbrauchen. Andererseits ist die Explosionsgefahr bei dickeren Wänden der Brennstoffkammern geringer, dabei aber das Gewicht der Rakete höher. Die optimale Abstimmung dieser gegenläufigen Bestrebungen ist gesucht.

Wir geben nun eine allgemeine Gestalt für die Variations- und Steuerungsprobleme mit endlichem Zeithorizont an, die wir in dieser Arbeit unter verschiedenen Voraussetzungen und Rahmenbedingungen betrachten werden:

Ohne Einschränkung sei das Problem stets als Minimierungsaufgabe gestellt. Es bezeichne ferner  $x(\cdot) : \mathbb{R} \rightarrow \mathbb{R}^n$  den Zustand des steuerbaren Objektes und  $u(\cdot) : \mathbb{R} \rightarrow \mathbb{R}^m$  die Steuerung, mit der auf den Zustand Einfluss genommen werden kann. Die Einschränkung, dass die Steuerungsparameter  $u(t)$  nur Werte aus einer vorgegebenen Menge  $U$  (dem Steuerungsbereich) annehmen dürfen, nennen wir Steuerungsbeschränkungen.

Das Optimierungskriterium wird durch das Zielfunktional

$$J(x(\cdot), u(\cdot)) = \int_{t_0}^{t_1} f(t, x(t), u(t)) dt$$

mit dem Integranden  $f : \mathbb{R} \times \mathbb{R}^n \times \mathbb{R}^m \rightarrow \mathbb{R}$  beschrieben. Dabei bezeichnet die Variable  $t$  oft die Zeit. Die Dynamik, d. h. das dynamische Verhalten des Zustandes  $x(\cdot)$  über dem Zeitraum  $[t_0, t_1]$ , ist durch das Differentialgleichungssystem

$$\dot{x}(t) = \varphi(t, x(t), u(t))$$

mit der rechten Seite  $\varphi : \mathbb{R} \times \mathbb{R}^n \times \mathbb{R}^m \rightarrow \mathbb{R}^n$  beschrieben. Schließlich liegen durch

$$h_0(x(t_0)) = 0, \quad h_1(x(t_1)) = 0$$

Randbedingungen an die Start- und Zielwerte für den Zustand  $x(\cdot)$  im Anfangs- und Endpunkt des Betrachtungszeitraumes  $[t_0, t_1]$  vor. Zusätzliche Beschränkungen des Zustandes  $x(\cdot)$  der Form

$$g_j(t, x(t)) \leq 0 \quad \text{für alle } t \in [t_0, t_1], \quad j = 1, \dots, l,$$

nennen wir Zustandsbeschränkungen.

Zusammenfassend ergibt sich folgende Aufgabenklasse, in die sich das Problem der Dido und das Goddard-Problem einordnen lassen:

$$\left. \begin{aligned} J(x(\cdot), u(\cdot)) &= \int_{t_0}^{t_1} f(t, x(t), u(t)) dt \rightarrow \inf, \\ \dot{x}(t) &= \varphi(t, x(t), u(t)), \quad t \in [t_0, t_1], \\ h_0(x(t_0)) &= 0, \quad h_1(x(t_1)) = 0, \\ u(t) &\in U, \quad U \neq \emptyset, \\ g_j(t, x(t)) &\leq 0 \quad \text{für alle } t \in [t_0, t_1], \quad j = 1, \dots, l. \end{aligned} \right\} \quad (1)$$

Dabei sind die Zeitpunkte  $t_0 < t_1$  fest vorgegeben. Wird das Problem (1) mit freiem Anfangs- und Endzeitpunkt  $t_0, t_1$  betrachtet, so lauten die Randbedingungen

$$h_0(t_0, x(t_0)) = 0, \quad h_1(t_1, x(t_1)) = 0.$$

Im Jahr 1928 stellte Frank P. Ramsey (1903–1930) die Frage nach der optimalen Sparquote [62], die einer Ökonomie langfristiges und wohlfahrtsoptimiertes Wachstum garantiert. Das besondere an der Modellierung des Variationsproblems war die Einführung des unendlichen Zeithorizontes. Die Philosophie dahinter ist die Vorstellung, dass kein natürliches Ende für den Betrachtungszeitraum existiert. Möchte man sämtlichen nachfolgenden Generationen Beachtung schenken, dann ist die Idealisierung in Form des zeitlich unbeschränkten Rahmens die einzig mögliche Konsequenz.

In dieser Arbeit enthält die Aufgabe mit unendlichem Zeithorizont im Zielfunktional eine nichtnegative und integrable Dichtefunktion  $\omega(\cdot)$ , welche häufig die Diskontierung  $\omega(t) = e^{-\rho t}$  beschreibt. Damit besitzt die Aufgabe die Gestalt:

$$\left. \begin{aligned} J(x(\cdot), u(\cdot)) &= \int_0^\infty \omega(t) f(t, x(t), u(t)) dt \rightarrow \inf, \\ \dot{x}(t) &= \varphi(t, x(t), u(t)), \quad t \in [0, \infty), \\ h_0(x(0)) &= 0, \quad \lim_{t \rightarrow \infty} h_1(t, x(t)) = 0, \\ u(t) &\in U, \quad U \neq \emptyset, \\ g_j(t, x(t)) &\leq 0 \quad \text{für alle } t \in \mathbb{R}_+, \quad j = 1, \dots, l. \end{aligned} \right\} \quad (2)$$

Viele Phänomene in Natur, Technik oder Ökonomie lassen sich durch eine Differentialgleichung nicht adäquat beschreiben. Stattdessen treten Integralgleichungen in Erscheinung. Neben der Standardaufgabe (1) und der Aufgabe mit unendlichem Zeithorizont (2) gehen wir auf die Steuerung Volterrascher Integralgleichungen ausführlich ein. Diese Aufgabenklasse besitzt im vorliegenden Manuskript die folgende Gestalt:

$$\left. \begin{aligned} J(x(\cdot), u(\cdot)) &= \int_{t_0}^{t_1} f(t, x(t), u(t)) dt \rightarrow \inf, \\ x(t) &= x(t_0) + \int_{t_0}^t \varphi(t, s, x(s), u(s)), \quad t \in [t_0, t_1], \\ h_0(x(t_0)) &= 0, \quad h_1(x(t_1)) = 0, \\ u(t) &\in U, \quad U \neq \emptyset, \\ g_j(t, x(t)) &\leq 0 \quad \text{für alle } t \in [t_0, t_1], \quad j = 1, \dots, l. \end{aligned} \right\} \quad (3)$$

Im Rahmen dieser Arbeit befassen wir uns vorrangig mit notwendigen Bedingungen für die Standardaufgabe (1). Ausgehend von der klassischen Variationsrechnung werden wir die Standardaufgabe sukzessive zu einem Steuerungsproblem erweitern und Verallgemeinerungen wie Multiprozesse oder zeitverzögerte Systeme behandeln.

Zudem bilden im Hinblick auf Methoden und Resultate die Aufgabe mit unendlichem Zeithorizont (2) und die Steuerung Volterrascher Integralgleichungen (3) zwei grundlegende Erweiterungen der Standardaufgabe (1). Deshalb sind sie in dieser Einleitung besonders hervorgehoben und werden außerdem in eigenständigen Kapiteln behandelt.

Die Literatur zur Theorie der Optimalen Steuerung und zur Herleitung notwendiger Optimalitätsbedingungen ist diesbezüglich sehr umfangreich. Unser Verzeichnis spiegelt nur diejenigen wider, die die vorliegende Monographie am stärksten beeinflusst haben. Eine vollständige Angabe der Quellen und die Würdigung der einzelnen Beiträge, die maßgeblich zur Entwicklung der Optimalen Steuerung beigetragen haben, ist im Rahmen der vorliegenden Arbeit nicht möglich und ist auch nicht angestrebt.

Hervorheben möchten wir zunächst den fundamentalen Beitrag von Pontrjagin et al. [61]. Wesentlichen Einfluss auf die Entwicklung der Optimalen Steuerung haben außerdem u. a. Bellman [9], Isaacs [47], Gamkrelidze [30], McShane [55] und Young [76] genommen. Weiterhin beziehen sich unsere Darstellungen zur Theorie der Extremalaufgaben auf die Arbeiten von Dubovickii & Milyutin [24], Girsanov [32], Halkin [36], Hestenes [40], Ioffe & Tichomirov [48], Kurcyusz [50] und Neustadt [58].

Aus dem umfassenden Vorrat an Lehrbüchern und Übersichtsartikeln zählen wir Boltjanski [11], Carlson et al. [15], Hartl et al. [39], Sethi & Thompson [67] und Vinter [73] auf. Eine Vielzahl an Beispielen sind in den Lehrbüchern Feichtinger & Hartl [26], Grass et al. [35], Kamien & Schwartz [49] und Seierstad & Sydsæter [66] angegeben. Abschließend möchten wir auf die Arbeiten Pesch & Plail [59] und Plail [60] zur historischen Entwicklung der Optimalen Steuerung zu einem eigenständigen mathematischen Fachgebiet hinweisen. Der Einfluss des Ramsey-Modells auf die Ökonomische Wachstumstheorie ist in den Lehrbüchern von Arnold [1] und Barro & Sala-i-Martin [7] ausführlich dargestellt.

Im Aufbau der Arbeit mussten zwei wesentliche Kriterien berücksichtigt werden: die übersichtliche Darstellung und die mathematische Beweisführung. Zur besseren Lesbarkeit sind in den Kapiteln die einzelnen Aufgabenklassen und Resultate systematisch aufgeführt, es werden einfachere Beweise vorgestellt und es werden die Resultate an Beispielen demonstriert. Demgegenüber sind die Beweise der notwendigen Optimalitätsprinzipien sehr anspruchsvoll und äußerst aufwendig. Aus diesem Grund sind diese Beweise in den Kapiteln lediglich mit Verweis auf die entsprechenden Stellen im Anhang skizziert. Der Anhang für sich stellt in seinem Umfang einen eigenen Teil dieses Manuskriptes dar.

Im ersten Kapitel betrachten wir die klassischen Richtungsvariationen zur Herleitung der Euler-Lagrangeschen Gleichung. Für die Standardaufgabe (1) als Lagrange-Aufgabe der Klassischen Variationsrechnung bilden diese Variationen die Grundlage zur Auswertung notwendiger Optimalitätsbedingungen. Der wesentliche Punkt in der Auswertung der Lagrange-Aufgabe ist dabei das Verständnis des Problems als eine Extremalaufgabe in Funktionenräumen und der Nachweis der Gültigkeit des Lagrangeschen Prinzips in diesem abstrakten Rahmen. Mit der Erweiterung der Standardaufgabe um Steuerungsbeschränkungen verlassen wir die Klassische Variationsrechnung. Wiederum auf der Basis von Richtungsvariationen erhalten wir in der Standardaufgabe notwendige Bedingungen in Form eines Schwachen Optimalitätsprinzips.

Im zweiten Kapitel steht die Nadelvariationsmethode im Fokus. Der Unterschied zu den Richtungsvariationen besteht darin, dass sich ein Kandidat innerhalb einer größeren Kon-

kurrentenmenge behaupten muss. Folglich beziehen sich notwendige Bedingungen in Form des Pontrjaginschen Maximumprinzips, hergeleitet auf der Basis von Nadelvariationen, auf optimale Kandidaten "höherer Qualität". Dementsprechend spricht man im Zusammenhang mit Richtungsvariationen von schwachen lokalen Optimalstellen, während die Nadelvariationsmethode zum Begriff der starken lokalen Optimalität führt.

Das dritte Kapitel behandelt verschiedene Erweiterungen der Standardaufgabe. Zunächst die Zielfunktionale in gemischter Form und die Aufgabe mit freiem Anfangs- und Endzeitpunkt unter Zeitschranken. Die weiteren Aufgabenklassen, d. h. die optimalen Multi-prozesse, die Steuerung zeitverzögerter Systeme und die Differentialspiele, besitzen ihre eigenen Charakteristiken und sind methodisch von eigenständigem Interesse.

Im vierten Kapitel behandeln wir die Standardaufgabe (2) mit unendlichem Zeithorizont. Dabei müssen wir im Gegensatz zur Standardaufgabe (1) den unbeschränkten Zeithorizont beachten, der die Problemstellung grundlegend ändert. Im Zuge der Untersuchungen ergibt sich schließlich die Frage, wie sich die Steuerungsprobleme mit endlichem und unendlichem Zeithorizont einander zuordnen. Wir werden zeigen, dass sich die Ergebnisse für die Standardaufgabe (1) vollständig aus den Resultaten für die Aufgabe (2) ableiten lassen. Somit stellen die Betrachtungen im vierten Kapitel direkte Verallgemeinerungen der angewandten Methoden im zweiten Kapitel dar.

Im fünften Kapitel diskutieren die Steuerung von Voltterraschen Integralgleichungen. Diese Aufgabenklasse zeichnet sich durch das Vorhandensein von zwei Zeitvariablen aus. Deswegen muss die Nadelvariationsmethode auf einen zweidimensionalen Zeitbereich erweitert werden. Weiterhin treffen wir bei der Behandlung der Aufgabe mit freiem Anfangs- und Endzeitpunkt auf Zustände, die von jeweils einer der beiden Zeitvariablen beeinflusst werden. Dieser Umstand ist noch kein Bestandteil in der Aufgabenstellung (3). Im Vergleich zur Standardaufgabe (1) bestehen die Herausforderungen dieses Kapitels darin, den Einfluss der beiden Zeitvariablen aufzuzeigen und die Nadelvariationsmethode auf den zweidimensionalen Zeitbereich zu erweitern.

In dem Streben nach einer höheren Übersichtlichkeit und besseren Lesbarkeit der einzelnen Kapitel sind im Rahmen der Untersuchungen der verschiedenen Aufgabenklassen die komplexeren und aufwendigeren Beweise lediglich skizziert. Aber ohne Beweise und dem Prüfen der Richtigkeit der Aussagen nimmt man der Mathematik ihre Natur. Um diesen Anspruch doch gerecht zu werden, enthält der sehr umfangreiche Anhang wichtige Grundlagen und Resultate, die in die komplexen Beweise der Optimalitätsprinzipien maßgeblich einfließen und die Beweisskizzen vervollständigen. Weite Teile des Anhangs sind deswegen nur für diejenigen Leser von Interesse, die die Beweise genauer nachvollziehen möchten.



## Wichtige Bezeichnungen

Die Arbeit ist untergliedert in die Untersuchungen von Aufgabenstellungen der Klassischen Variationsrechnung und der Optimalen Steuerung in Bezug auf

- (1) schwache lokale Minimalstellen,
- (2) starke lokale Minimalstellen,
- (3) verschiedene Erweiterungen des Standardproblems,
- (4) die elementare Aufgabe mit freiem rechten Endpunkt.

Insbesondere der Aufbau der Steuerungsprobleme, die wir behandeln werden, enthält die wiederkehrenden Elemente von Zielfunktional, Dynamik, Randbedingungen, Zustands- und Steuerungsbeschränkungen. Dafür verwenden wir meistens die Bezeichnungen

- $J$  – für das Zielfunktional,
- $f$  – für den Integranden im Zielfunktional,
- $S$  – für den Wiedergewinnungswert,
- $\varphi$  – für die rechte Seite des dynamischen Systems,
- $h$  – für Randbedingungen an die Zustandstrajektorie,
- $g$  – für Zustandsbeschränkungen,
- $U$  – für den Steuerbereich,
- $x(\cdot)$  – für den Zustand,
- $u(\cdot)$  – für die Steuerung.

Die verschiedenen Problemklassen besitzen ihre eigenen Charakteristiken und erfordern teils individuelle Voraussetzungen. Das betrifft einerseits die Art der lokalen Optimalität und andererseits die Eigenheiten der spezifischen Problemklassen. Deswegen verwenden wir unterschiedliche Bezeichnungen für die Abbildungen und die Annahmen in den Untersuchungen von schwachen und starken Optimalstellen, und versehen sie zudem mit einem zusätzlichen, zur spezifischen Aufgabenstellung gehörenden Index.

Im Rahmen der Klassischen Variationsrechnung und der Anwendung der Richtungsvariationen verwenden wir für die Annahmen an die Aufgabenklasse die Schreibweise  $\mathcal{A}$ , z. B.  $\mathcal{A}_{\text{adm}}$  für die Menge der zulässigen Steuerungsprozesse.

Um im Gegensatz dazu den Rahmen der Optimalen Steuerung und insbesondere der Nadelvariationsmethode hervorzuheben, verwenden wir z. B. für die Menge der zulässigen Steuerungsprozesse die Abkürzung  $\mathcal{B}_{\text{adm}}$ .

Ferner werden die Pontrjagin-Funktion  $H$  und die Hamilton-Funktion  $\mathcal{H}$  eingeführt.

Zusammenfassend treten bei der Methode der Richtungsvariation die Bezeichnungen

$\mathcal{L}$ agrange-Aufgabe	–	$\mathcal{A}_{\text{adm}}^{\mathcal{L}}, \mathcal{A}_{\text{Lip}}^{\mathcal{L}};$
$\mathcal{I}$ soperimetrische Aufgabe	–	$\mathcal{A}_{\text{adm}}^{\mathcal{I}}, \mathcal{A}_{\text{Lip}}^{\mathcal{I}};$
$\mathcal{S}$ tandardaufgabe	–	$\mathcal{A}_{\text{adm}}^{\mathcal{S}}, \mathcal{A}_{\text{Lip}}^{\mathcal{S}}, H^{\mathcal{S}};$
$\mathcal{F}$ reie Zeit	–	$\mathcal{A}_{\text{adm}}^{\mathcal{F}}, \mathcal{A}_{\text{Lip}}^{\mathcal{F}};$

auf. Für die Nadelvariationsmethode verwenden wir die Symbole

$\mathcal{S}$ tandardaufgabe	–	$\mathcal{B}_{\text{adm}}^{\mathcal{S}}, \mathcal{B}_{\text{Lip}}^{\mathcal{S}}, H^{\mathcal{S}}, \mathcal{H}^{\mathcal{S}};$
$\mathcal{M}$ ultiprozesse	–	$\mathcal{B}_{\text{adm}}^{\mathcal{M}}, \mathcal{B}_{\text{Lip}}^{\mathcal{M}}, H^{\mathcal{M}}, \mathcal{H}^{\mathcal{M}};$
$\mathcal{U}$ nendlicher Zeithorizont	–	$\mathcal{B}_{\text{adm}}^{\mathcal{U}}, \mathcal{B}_{\text{Lip}}^{\mathcal{U}}, \mathcal{B}_{\text{lim}}^{\mathcal{U}}, H^{\mathcal{U}}, \mathcal{H}^{\mathcal{U}};$
$\mathcal{Z}$ eitverzögerte Systeme	–	$\mathcal{B}_{\text{adm}}^{\mathcal{Z}}, \mathcal{B}_{\text{Lip}}^{\mathcal{Z}}, H^{\mathcal{Z}}, \mathcal{H}^{\mathcal{Z}};$
$\mathcal{I}$ ntegralgleichungen	–	$\mathcal{B}_{\text{adm}}^{\mathcal{I}}, \mathcal{B}_{\text{Lip}}^{\mathcal{I}}, H^{\mathcal{I}}, \mathcal{H}^{\mathcal{I}};$
$\mathcal{F}$ reie Zeit	–	$\mathcal{B}_{\text{adm}}^{\mathcal{F}}, \mathcal{B}_{\text{Lip}}^{\mathcal{F}}.$

In der Behandlung von Problemen der Klassischen Variationsrechnung und der Optimalen Steuerung wandeln sich die Rahmenbedingungen bezüglich der Art der Funktionen und wir treffen die folgenden Funktionsklassen an:

$C([a, b], \mathbb{R})$	–	Raum der stetigen Funktionen;
$C_0([a, b], \mathbb{R})$	–	Raum der stetigen Funktionen $x(\cdot)$ mit $x(a) = 0$ ;
$C_1([a, b], \mathbb{R})$	–	Raum der stetig differenzierbaren Funktionen;
$C_0(\mathbb{R}_+, \mathbb{R})$	–	Raum der stetigen Funktionen, die im Unendlichen verschwinden;
$C_{\text{lim}}(\mathbb{R}_+, \mathbb{R})$	–	Raum der stetigen Funktionen, die im Unendlichen konvergieren;
$L_\infty([a, b], \mathbb{R})$	–	Raum der messbar und beschränkten Funktionen;
$W_\infty^1([a, b], \mathbb{R})$	–	Raum der absolutstetigen Funktionen.

Hierbei bezeichnet  $\mathbb{R}_+$  das halboffene Intervall  $[0, \infty)$ . Außerdem können wir den Raum  $C_{\text{lim}}(\mathbb{R}_+, \mathbb{R})$  mit dem Raum  $C(\overline{\mathbb{R}_+}, \mathbb{R}) = C([0, \infty], \mathbb{R})$  identifizieren.

In unseren Untersuchungen treten einseitige Grenzwerte wiederholt auf. Für den links- bzw. rechtseitigen Grenzwert einer Abbildung  $\psi$  an der Stelle  $x_0$  schreiben wir

$$\lim_{x \rightarrow x_0^-} \psi(x) \quad \text{bzw.} \quad \lim_{x \rightarrow x_0^+} \psi(x).$$

## Stückweise Stetigkeit und Differenzierbarkeit

Eine gewisse Sonderstellung haben die elementaren Aufgaben mit freiem rechten Endpunkt inne. Diese betrachten wir im Zuge der Standardaufgabe, der Multiprozesse, der zeitverzögerten Systeme, des unendlichen Zeithorizontes und der Volterraschen Integralgleichung in den Abschnitten 2.2, 3.3.2, 3.4.1, 4.1 und 5.1.

Für die Aufgaben mit freiem rechten Endpunkt eignet sich die Methode der einfachen Nadelvariation. Sie erlaubt eine vergleichsweise einfache Beweisführung und die Wahl von stückweise stetigen und stückweise stetig differenzierbaren Funktionen. Dieser Rahmen gestattet zudem die auftretenden Differentiationen und Integrationen im klassischen Sinn aufzufassen, d. h. es bezeichnen  $\dot{x}(t)$  die klassische Zeitableitung und  $\int_a^b dt$  das (für  $b = \infty$  uneigentliche) Riemann-Integral. Da wir die elementaren Aufgaben mit freiem rechten Endpunkt über den stückweise stetigen Funktionen betrachten, verwenden für die Menge der zulässigen Steuerungsprozesse die Bezeichnungen  $\mathcal{D}_{\text{adm}}^S, \dots, \mathcal{D}_{\text{adm}}^I$ .

**Definition** (Stückweise Stetigkeit). *Die Funktion  $f(\cdot) : [a, b] \rightarrow \mathbb{R}$  heißt stückweise stetig, wenn sie in endlich vielen Stellen  $a < s_1 < s_2 < \dots < s_N < b$  Sprünge besitzt, d. h. in diesen Stellen existieren beide einseitigen Grenzwerte von  $f$  im eigentlichen Sinn. In den Stellen  $s_1, \dots, s_N$  wählen die Werte der Funktion  $f$  so, dass  $f$  rechtsseitig stetig ist.*

**Definition** (Stückweise stetige Differenzierbarkeit). *Die Funktion  $f(\cdot) : [a, b] \rightarrow \mathbb{R}$  heißt stückweise stetig differenzierbar, wenn sie auf  $[a, b]$  stetig und in den endlich vielen Teilintervallen  $(a, s_1), (s_1, s_2), \dots, (s_N, b)$  stetig differenzierbar ist, sowie ihre Ableitung eine stückweise stetige und in den Stellen  $s_1, \dots, s_N$  rechtsseitig stetige Funktion über  $[a, b]$  ist.*

Diese Klassen stückweise stetiger Funktionen kennzeichnen wir mit

- $PC([a, b], \mathbb{R})$  – Raum der stückweise stetigen Funktionen,
- $PC_1([a, b], \mathbb{R})$  – Raum der stückweise stetig differenzierbaren Funktionen.

In der Aufgabe mit unendlichem Zeithorizont wird das Intervall  $[a, b]$  durch  $[0, \infty)$  ersetzt. Es ergeben sich die Funktionenräume

- $PC([0, \infty), \mathbb{R}^n)$  – Raum der stückweise stetigen Funktionen,
- $PC_1([0, \infty), \mathbb{R}^n)$  – Raum der stückweise stetig differenzierbaren Funktionen

über  $[0, \infty)$ . In dem Fall des unbeschränkten Intervalls  $[0, \infty)$  definieren wir:

**Definition** (Stückweise Stetigkeit). *Die Funktion  $f(\cdot) : [0, \infty) \rightarrow \mathbb{R}$  heißt stückweise stetig, wenn sie über  $[0, \infty)$  beschränkt und über jedem endlichen Intervall  $[0, T]$  stückweise stetig ist.*

**Definition** (Stückweise stetige Differenzierbarkeit). *Die Funktion  $f(\cdot) : [0, \infty) \rightarrow \mathbb{R}$  heißt stückweise stetig differenzierbar, wenn sie über  $[0, \infty)$  beschränkt und über jedem endlichen Intervall  $[0, T]$  stückweise stetig differenzierbar ist.*



# 1. Richtungsvariationen in der Variationsrechnung und Optimalen Steuerung

Die Entdeckungen der Variationsprinzipien der Optik und der Mechanik im 17. und 18. Jahrhundert stehen für den Beginn eines neuen Kapitels im Verständnis grundlegender Vorgänge in Natur und Technik. Angeregt durch das Problem der Brachistochrone, nämlich der Frage nach der Kurve kürzester Fallzeit, entstand die Variationsrechnung.

Im Problem der Brachistochrone ist diejenige Kurve gesucht, auf der ein Massenpunkt allein unter der Wirkung der Schwerkraft unter Vernachlässigung der Reibung am schnellsten von einem Punkt  $A$  zu einem tieferliegenden Punkt  $B$  gelangt.

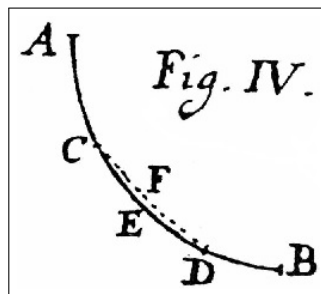


Abbildung 2: Kurve kürzester Fallzeit von  $A$  nach  $B$ .

Die Lösung ist eine nach oben geöffnete Zykloide mit der Parameterdarstellung

$$x(t) = r(t - \sin t), \quad y(t) = r(1 - \cos t), \quad 0 \leq t \leq \pi.$$

Den bedeutendsten Einfluss auf die Entwicklung der Klassischen Variationsrechnung nahmen im 18. Jahrhundert Leonhard Euler (1707–1783) und Joseph-Louis Lagrange (1736–1813), die die grundlegende notwendige Bedingung in Form einer Differentialgleichung, der Euler-Lagrange-Gleichung, entdeckten.

Wir werden zu Beginn dieses Abschnitts die Euler-Lagrangesche Gleichung ausführlich diskutieren. Als nächstes gehen wir zur Untersuchung der Lagrange-Aufgabe der Klassischen Variationsrechnung über. Dabei folgen wir Ioffe & Tichomirov [48].

Die Lagrange-Aufgabe ist die Standardaufgabe

$$\begin{aligned} J(x(\cdot), u(\cdot)) &= \int_{t_0}^{t_1} f(t, x(t), u(t)) dt \rightarrow \inf, \\ \dot{x}(t) &= \varphi(t, x(t), u(t)), \\ h_0(x(t_0)) &= 0, \quad h_1(x(t_1)) = 0, \\ u(t) &\in U, \quad U = \mathbb{R}^m. \end{aligned}$$

für Paare  $(x(\cdot), u(\cdot)) \in C_1([t_0, t_1], \mathbb{R}^n) \times C([t_0, t_1], \mathbb{R}^m)$ , die die Nebenbedingungen erfüllen. Als Optimalitätsbegriff verwenden wir das schwache lokale Minimum. Darunter verstehen

wir ein zulässiges Paar  $(x_*(\cdot), u_*(\cdot))$  der Lagrange-Aufgabe, zu dem eine Zahl  $\varepsilon > 0$  derart existiert, dass die Ungleichung

$$J(x(\cdot), u(\cdot)) \geq J(x_*(\cdot), u_*(\cdot))$$

für alle zulässigen Paare  $(x(\cdot), u(\cdot))$  mit  $\|x(\cdot) - x_*(\cdot)\|_{C_1} < \varepsilon$ ,  $\|u(\cdot) - u_*(\cdot)\|_\infty < \varepsilon$  gilt.

Der Umgebungsbegriff in der Definition eines schwachen lokalen Minimum erfordert geeignete Annahmen an die Standardaufgabe. Wir fordern in unseren Betrachtungen über schwache lokale Minimalstellen, dass die Abbildungen  $f(t, x, u)$ ,  $\varphi(t, x, u)$  und die Randbedingungen  $h_0(x_0)$ ,  $h_1(x_1)$  stetig und stetig differenzierbar auf einer gewissen, gleichmäßigen Umgebungsmenge des Referenzpaares  $(x_*(\cdot), u_*(\cdot))$  sind.

Die Zykloide als Lösung der Brachistochrone mit der oben angegebenen Parameterdarstellung besitzt im Anfangspunkt eine unbeschränkte Ableitung. Wir stehen damit vor der Frage, ob die angegebene Zykloide im Problem der Brachistochrone variierbar ist. Im Rahmen der vorliegenden Arbeit können wir diese Frage nicht klären.

Obwohl dieser Umstand stets in der Literatur auftaucht und eingehend bekannt ist, liegt unserer Kenntnis nach für das Problem der Brachistochrone in Gestalt der Standardaufgabe noch keine einwandfreie Analyse vor.

## 1.1. Die Euler-Lagrangesche Gleichung der Klassischen Variationsrechnung

### 1.1.1. Die Herleitung der Euler-Lagrange-Gleichung

Die Grundaufgabe der Klassischen Variationsrechnung besteht in der Minimierung des Zielfunktional

$$J(x(\cdot)) = \int_{t_0}^{t_1} f(t, x(t), \dot{x}(t)) dt \rightarrow \inf \quad (1.1)$$

unter den Nebenbedingungen

$$x(t_0) = x_0, \quad x(t_1) = x_1. \quad (1.2)$$

Dabei sind in (1.1) und (1.2) die Punkte  $t_0 < t_1$  und  $x_0, x_1$  fest vorgegeben. Ferner setzen wir voraus, dass in (1.1) die Funktion  $f : \mathbb{R} \times \mathbb{R} \times \mathbb{R} \rightarrow \mathbb{R}$  einmal stetig differenzierbar ist.

Wir nennen die Funktion  $x(\cdot) : [t_0, t_1] \rightarrow \mathbb{R}$  zulässig in der Aufgabe (1.1)–(1.2), wenn  $x(\cdot)$  stetig differenzierbar ist und die Randbedingungen (1.2) erfüllt. Die zulässige Funktion  $x_*(\cdot) \in C_1([t_0, t_1], \mathbb{R})$  ist eine schwache lokale Minimalstelle in der Aufgabe (1.1)–(1.2), falls ein  $\varepsilon > 0$  derart existiert, dass die Ungleichung

$$J(x(\cdot)) \geq J(x_*(\cdot))$$

für alle zulässigen Funktionen  $x(\cdot)$  mit  $\|x(\cdot) - x_*(\cdot)\|_{C_1} < \varepsilon$  gilt.

Zur Bestimmung einer notwendigen Optimalitätsbedingung für eine schwache lokale Minimalstelle  $x_*(\cdot)$  in der Aufgabe (1.1)–(1.2) betrachten wir die Funktion einer Veränderlichen

$$\varphi(\lambda) = J(x_*(\cdot) + \lambda x(\cdot)) = \int_{t_0}^{t_1} f(t, x_*(t) + \lambda x(t), \dot{x}_*(t) + \lambda \dot{x}(t)) dt, \quad (1.3)$$

die durch die Variation  $x_\lambda(\cdot) = x_*(\cdot) + \lambda x(\cdot)$  von  $x_*(\cdot)$  bezüglich der Richtung  $x(\cdot)$  erzeugt wird. Dies wirft die naheliegende Frage auf, ob  $x_\lambda(\cdot)$  die Randbedingungen (1.2) erfüllt. Fordern wir für die Richtung  $x(\cdot)$  die Bedingung

$$x(\cdot) \in M_0 = \{y(\cdot) \in C_1([t_0, t_1], \mathbb{R}) \mid y(t_0) = y(t_1) = 0\},$$

so ist die Variation  $x_\lambda(\cdot)$  stets ein zulässiges Element in der Aufgabe (1.1)–(1.2).

Unter unseren Voraussetzungen über die Funktionen  $f$ ,  $x_*(\cdot)$ ,  $x(\cdot)$  ist in (1.3) die Differentiation unter dem Integralzeichen zulässig, und es gilt mit den Funktionen

$$q(t) = f_x(t, x_*(t), \dot{x}_*(t)), \quad p(t) = f_{\dot{x}}(t, x_*(t), \dot{x}_*(t))$$

für die erste Variation

$$\varphi'(0) = \delta J(x_*(\cdot))x(\cdot) = \int_{t_0}^{t_1} (q(t)x(t) + p(t)\dot{x}(t)) dt.$$

Da zu  $x(\cdot) \in M_0$  für hinreichend kleine  $\lambda > 0$  die Variation  $x_\lambda(\cdot)$  die Bedingung

$$\|x_\lambda(\cdot) - x_*(\cdot)\|_{C_1} = \|\lambda x(\cdot)\|_{C_1} < \varepsilon$$

erfüllt, erhalten wir folgende notwendige Bedingung für eine schwache lokale Minimalstelle:

$$\varphi'(0) = \delta J(x_*(\cdot))x(\cdot) = 0 \quad \text{für alle } x(\cdot) \in M_0. \quad (1.4)$$

**Satz 1.1.** *Es sei die Funktion  $f$  stetig differenzierbar. Dann genügt ein schwaches lokales Minimum  $x_*(\cdot)$  der Aufgabe (1.1)–(1.2) auf  $[t_0, t_1]$  der Euler-Lagrange-Gleichung*

$$\left( -\frac{d}{dt} f_{\dot{x}} + f_x \right) \Big|_{x_*(t)} = -\frac{d}{dt} f_{\dot{x}}(t, x_*(t), \dot{x}_*(t)) + f_x(t, x_*(t), \dot{x}_*(t)) = 0. \quad (1.5)$$

**Definition 1.2.** *Jede Lösung  $x_*(\cdot) \in C_1([t_0, t_1], \mathbb{R})$  von (1.5) nennen wir eine Extremale.*

**Beweis** Wir zeigen Satz 1.1 auf zweierlei Weisen: Im ersten Vorgehen führen wir in (1.4) bzgl. dem Term  $p(t)\dot{x}(t)$  eine partielle Integration durch und wenden das Fundamentallemma von Lagrange an. Dies erfordert die zusätzliche Annahme, dass die Funktion  $f$  zweimal stetig differenzierbar ist. Im Gegensatz dazu erfordert die partielle Integration bezüglich dem Term  $q(t)x(t)$  in (1.4) keine zusätzlichen Annahmen. Das Fundamentallemma von du Bois-Reymond liefert dann die Euler-Lagrangesche Gleichung in Satz 1.1.

Wegen der zweimaligen stetigen Differenzierbarkeit von  $f$  und wegen  $x(\cdot) \in M_0$  erhalten wir nach partieller Integration des Terms  $p(t)\dot{x}(t)$  für (1.4) die Darstellung

$$\int_{t_0}^{t_1} (q(t) - \dot{p}(t))x(t) dt = 0 \quad \text{für alle } x(\cdot) \in M_0.$$

Daraus schließen wir mit dem Fundamentallemma von Lagrange, dass die stetige Funktion  $\varphi(t) = q(t) - \dot{p}(t)$  auf  $[t_0, t_1]$  identisch verschwinden muss. Das bedeutet ausführlich geschrieben, dass die Gleichung (1.5) gilt.

Führen wir demgegenüber in (1.4) die partielle Integration bezüglich dem Term  $q(t)x(t)$  durch, erhalten wir für alle  $x(\cdot) \in M_0$  die Darstellung

$$\int_{t_0}^{t_1} (-Q(t) + p(t))\dot{x}(t) dt = 0, \quad Q(t) = \int_{t_0}^t q(s) ds.$$

Es folgt dann aus dem Fundamentallemma von du Bois-Reymond, dass die stetige Funktion  $\psi(t) = -Q(t) + p(t)$  auf  $[t_0, t_1]$  konstant sein muss. Dies bedeutet ferner, dass  $\psi(\cdot)$  stetig differenzierbar ist und die Ableitung auf  $[t_0, t_1]$  verschwindet. Da nun  $Q(\cdot)$  eine stetige Ableitung besitzt, muss das auch für  $p(\cdot)$  gelten. Damit ist (1.5) gezeigt. ■

**Lemma 1.3** (Fundamentallemma von Lagrange). *Es sei  $\varphi(\cdot)$  auf  $[t_0, t_1]$  stetig mit*

$$\int_{t_0}^{t_1} \varphi(t)x(t) dt = 0 \quad \text{für alle } x(\cdot) \in M_0.$$

*Dann gilt  $\varphi(t) \equiv 0$  auf  $[t_0, t_1]$ .*

**Beweis** Angenommen, es ist  $\varphi(\tau) \neq 0$  für ein  $\tau \in (t_0, t_1)$ . Es sei  $\varphi(\tau) > 0$ . Dann gibt es ein  $\varepsilon > 0$  mit  $\varphi(t) > 0$  auf  $\Delta = [\tau - \varepsilon, \tau + \varepsilon] \subseteq [t_0, t_1]$ . Wir wählen

$$z(t) = \begin{cases} (t - \tau + \varepsilon)^2(t - \tau - \varepsilon)^2, & t \in \Delta, \\ 0, & t \notin \Delta. \end{cases}$$

Dann gehört  $z(\cdot)$  offenbar zur Menge  $M_0$  und es gilt

$$\int_{t_0}^{t_1} \varphi(t)z(t) dt = \int_{\Delta} \varphi(t)z(t) dt > 0,$$

im Widerspruch zur Annahme des Fundamentallemma von Lagrange. ■

**Lemma 1.4** (Fundamentallemma von du Bois-Reymond). *Es sei  $\psi(\cdot)$  eine stetige Funktion mit*

$$\int_{t_0}^{t_1} \psi(t)\dot{x}(t) dt = 0 \quad \text{für alle } x(\cdot) \in M_0.$$

*Dann ist  $\psi(\cdot)$  auf  $[t_0, t_1]$  konstant.*

**Beweis** Wir betrachten die Funktion

$$z(t) = \int_{t_0}^t (\psi(s) - c_0) ds, \quad c_0 := \frac{1}{t_1 - t_0} \int_{t_0}^{t_1} \psi(t) dt.$$

Dann gelten  $z(t_0) = z(t_1) = 0$ , also  $z(\cdot) \in M_0$ ,  $\dot{z}(t) = \psi(t) - c_0$  und wir erhalten

$$0 = \int_{t_0}^{t_1} \psi(t) \dot{z}(t) dt = \int_{t_0}^{t_1} \psi(t) \dot{z}(t) dt - c_0 \int_{t_0}^{t_1} \dot{z}(t) dt = \int_{t_0}^{t_1} (\psi(t) - c_0)^2 dt.$$

Daher muss  $\psi(\cdot)$  auf  $[t_0, t_1]$  konstant sein. ■

**Bemerkung 1.5.** Statt  $x(\cdot) \in M_0$  wird das Lemma von du Bois-Reymond oft für stetige Funktionen  $y(\cdot)$  mit Integralmittelwert Null, d. h.

$$\int_{t_0}^{t_1} y(t) dt = 0,$$

formuliert. Offensichtlich besitzt  $\dot{x}(\cdot)$  für jedes  $x(\cdot) \in M_0$  den Integralmittelwert Null. □

**Beispiel 1.6.** Wir betrachten eine Aufgabe mit quadratischem Zielfunktional:

$$J(x(\cdot)) = \int_0^T [(x(t) - 1)^2 + \dot{x}^2(t)] dt \rightarrow \inf, \quad x(0) = 0, \quad x(T) = 2, \quad T > 0.$$

Mit  $f(t, x, \dot{x}) = (x - 1)^2 + \dot{x}^2$  erhalten wir aus der Euler-Lagrange-Gleichung (1.5), dass eine schwache lokale Minimalstelle  $x_*(\cdot)$  der Differentialgleichung

$$\ddot{x}(t) - x(t) = -1$$

genügen muss. Die Anpassung an die Randbedingungen  $x(0) = 0, x(T) = 2$  liefert den Kandidaten

$$x_*(t) = 1 + \frac{1 + e^{-T}}{e^T - e^{-T}} e^t - \frac{1 + e^T}{e^T - e^{-T}} e^{-t}$$

für ein schwaches lokales Minimum. □

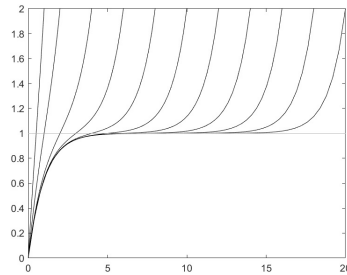


Abbildung 3: Optimale Trajektorien für  $T = 2, 4, \dots, 20$ .

**Folgerung 1.7.** Wir geben Spezialfälle der Euler-Lagrange-Gleichung (1.5) an, die sich für eine Lösung  $x_*(\cdot)$  des Variationsproblems ergeben.

(a) Hängt die Funktion  $f$  nicht von  $\dot{x}$  ab, dann muss auf  $[t_0, t_1]$  gelten:

$$f_x(t, x_*(t)) = 0.$$

(b) Hängt die Funktion  $f$  nicht von  $x$  ab, dann folgt auf  $[t_0, t_1]$ :

$$p(t) = f_{\dot{x}}(t, \dot{x}_*(t)) = \text{konstant}.$$

(c) Hängt die Funktion  $f$  nicht von  $t$  ab, so erhält man mit (1.5), dass die Ableitung nachstehender Funktion  $H(\cdot)$  auf  $[t_0, t_1]$  identisch verschwindet; oder gleichbedeutend

$$H(t) = f_{\dot{x}}(x_*(t), \dot{x}_*(t)) \cdot \dot{x}_*(t) - f(x_*(t), \dot{x}_*(t)) = \text{konstant} \quad \text{auf } [t_0, t_1].$$

An die Betrachtungen zur Grundaufgabe (1.1)–(1.2) schließt sich die Frage nach notwendigen Optimalitätsbedingungen für eine schwache lokale Minimalstelle in der Aufgabe mit freiem Endpunkt an:

$$J(x(\cdot)) = \int_{t_0}^{t_1} f(t, x(t), \dot{x}(t)) dt \rightarrow \inf, \quad x(t_0) = x_0, \quad x(t_1) \text{ frei.} \quad (1.6)$$

Unter den gleichen Voraussetzungen und mit dem gleichen Vorgehen wie in der Grundaufgabe (1.1)–(1.2) erhalten wir für eine schwache lokale Minimalstelle

$$\delta J(x_*(\cdot))x(\cdot) = \int_{t_0}^{t_1} (q(t)x(t) + p(t)\dot{x}(t)) dt = 0 \quad \text{für alle } x(\cdot) \in M_1. \quad (1.7)$$

Dabei bezeichnen  $M_1 = \{y(\cdot) \in C_1([t_0, t_1], \mathbb{R}) \mid y(t_0) = 0\}$  und  $q(\cdot), p(\cdot)$  die Funktionen

$$q(t) = f_x(t, x_*(t), \dot{x}_*(t)), \quad p(t) = f_{\dot{x}}(t, x_*(t), \dot{x}_*(t)).$$

Integrieren wir in (1.7) zunächst partiell den Term  $q(t)x(t)$ , so folgt

$$Q(t_1)x(t_1) + \int_{t_0}^{t_1} (-Q(t) + p(t))\dot{x}(t) dt = 0 \quad \text{für alle } x(\cdot) \in M_1, \quad Q(t) = \int_{t_0}^t q(s) ds.$$

Für  $x(\cdot) \in M_0$  erhalten wir nach dem Lemma von du Bois-Reymond die Euler-Lagrange-Gleichung (1.5). Außerdem liefert die Argumentation nach du Bois-Reymond, dass die Funktion  $p(\cdot)$  stetig differenzierbar ist. Daher dürfen wir ohne weitere Annahmen in (1.7) den Term  $p(t)\dot{x}(t)$  partiell integrieren. Damit folgt

$$p(t_1)x(t_1) + \int_{t_0}^{t_1} (q(t) - \dot{p}(t))x(t) dt = 0 \quad \text{für alle } x(\cdot) \in M_1.$$

Darin verschwindet  $\varphi(t) = q(t) - \dot{p}(t)$  identisch auf  $[t_0, t_1]$ . Damit diese Gleichung auf  $M_1$  erfüllt ist, muss also  $p(t_1) = 0$  gelten.

**Satz 1.8.** *Es sei  $f$  stetig differenzierbar. Ist  $x_*(\cdot)$  ein schwaches lokales Minimum in der Aufgabe (1.6), dann ist notwendig, dass auf  $[t_0, t_1]$  die Euler-Lagrange-Gleichung*

$$\left( -\frac{d}{dt} f_{\dot{x}} + f_x \right) \Big|_{x_*(t)} = -\frac{d}{dt} f_{\dot{x}}(t, x_*(t), \dot{x}_*(t)) + f_x(t, x_*(t), \dot{x}_*(t)) = 0 \quad (1.8)$$

zur Randbedingung

$$p(t_1) = f_{\dot{x}}(t_1, x_*(t_1), \dot{x}_*(t_1)) = 0 \quad (1.9)$$

erfüllt ist.

**Folgerung 1.9.** *Es folgt auf die gleiche Weise, dass in der Aufgabe freier Randpunkte, d. h.  $x(t_0), x(t_1)$  sind frei, folgende Randbedingungen gelten:*

$$p(t_0) = f_{\dot{x}}(t_0, x_*(t_0), \dot{x}_*(t_0)) = 0, \quad p(t_1) = f_{\dot{x}}(t_1, x_*(t_1), \dot{x}_*(t_1)) = 0.$$

**Bemerkung 1.10.** Sämtliche Ausführungen im Abschnitt 1.1 lassen sich unmittelbar auf den Vektorfall  $x(\cdot) \in C_1([t_0, t_1], \mathbb{R}^n)$  erweitern.  $\square$

### 1.1.2. Die Euler-Lagrangesche Gleichung in der Wirtschaftstheorie

**Beispiel 1.11** (Isoelastische Nutzenfunktion). Es bezeichnen  $K(\cdot)$  das Vermögen einer Ökonomie,  $Y(\cdot)$  das Nationaleinkommen und  $C(\cdot)$  die Konsumption. Mit einer streng wachsenden und konkaven Produktionsfunktion  $f$  sei  $Y(t) = f(K(t))$ . Zu jedem Zeitpunkt wird die Produktion  $Y$  in Konsumption und Investition aufgeteilt, d. h.

$$f(K(t)) = C(t) + \dot{K}(t).$$

Das Wohlbefinden der Gesellschaft wird durch die zweimal stetig differenzierbare, streng wachsende und streng konkave Nutzenfunktion  $U$  dargestellt.

Die Aufgabe der Ökonomischen Wachstumstheorie lautet dann: Man bestimme über dem Zeitrahmen  $[0, T]$  die optimale Konsumption  $C(\cdot)$ , die den Gesamtnutzen der Gesellschaft,

$$J(K(\cdot)) = \int_0^T e^{-\rho t} U(C(t)) dt = \int_0^T e^{-\rho t} U(f(K(t)) - \dot{K}(t)) dt,$$

unter den gegebenen Randbedingungen  $K(0) = K_0, K(T) = K_T$  maximiert.

In dieser Form lässt sich keine qualitative Aussage über eine optimale Konsumtionspolitik finden. Stattdessen leiten wir die Form der sogenannten isoelastischen Nutzenfunktionen mit Hilfe der Euler-Lagrangeschen Gleichung ab und gewinnen daraus die Fundamentalgleichung für die Wachstumsraten einer optimalen Konsumtion: Es gelten

$$\begin{aligned} \frac{\partial}{\partial K} [e^{-\rho t} U(f(K) - \dot{K})] &= e^{-\rho t} U'(f(K) - \dot{K}) f'(K) = e^{-\rho t} U'(C) f'(K), \\ \frac{\partial}{\partial \dot{K}} [e^{-\rho t} U(f(K) - \dot{K})] &= -e^{-\rho t} U'(f(K) - \dot{K}) = -e^{-\rho t} U'(C). \end{aligned}$$

Die Anwendung der Euler-Lagrange-Gleichung (1.5) liefert

$$\begin{aligned} 0 &= -\frac{d}{dt} [-e^{-\rho t} U'(C_*(t))] + e^{-\rho t} U'(C_*(t)) f'(K_*(t)) \\ &= e^{-\rho t} [U''(C_*(t)) \dot{C}_*(t) + [f'(K_*(t)) - \rho] U'(C_*(t))]. \end{aligned}$$

Nach einfachen Umformungen erhalten wir daraus die optimale Wachstumsrate

$$\frac{\dot{C}_*(t)}{C_*(t)} = \frac{U'(C_*(t))}{C_*(t) U''(C_*(t))} [\rho - f'(K_*(t))].$$

Eine isoelastische Nutzenfunktion genügt der Differentialgleichung der konstanten relativen Risikoaversion

$$-\sigma = \frac{CU''(C)}{U'(C)}, \quad C > 0.$$

Dabei gilt  $\sigma > 0$ , da die Funktion  $U$  streng monoton wachsend und streng konkav ist. Mit den Integrationskonstanten  $k_0, k_1$  lautet die Lösung der Differentialgleichung

$$U(C) = k_0 \frac{C^{1-\sigma}}{1-\sigma} + k_1 \quad \text{für } \sigma \neq 1, \quad U(C) = k_0 \ln(C) + k_1 \quad \text{für } \sigma = 1.$$

Die Festlegung  $k_0 = 1, k_1 = -1/(1-\sigma)$  liefert für alle  $\sigma > 0$

$$U(C) = \frac{C^{1-\sigma} - 1}{1-\sigma},$$

denn der Spezialfall  $U(C) = \ln(C)$  für  $\sigma = 1$  ergibt sich darin im Grenzübergang  $\sigma \rightarrow 1$  mit Hilfe der Regel von l'Hospital.

Damit erhalten wir bei einer isoelastischen Nutzenfunktion die Fundamentalgleichung

$$\frac{\dot{C}_*(t)}{C_*(t)} = \frac{f'(K_*(t)) - \varrho}{\sigma} \quad (1.10)$$

für die Wachstumsrate einer optimalen Konsumtionspolitik.  $\square$

**Beispiel 1.12.** Wir verwenden die Bezeichnungen aus Beispiel 1.11 und es seien

$$f(K) = rK + W, \quad r > 0, \quad K(T) \text{ frei.}$$

Darin bezeichnet  $W$  den Lohn für geleistete Arbeit. Dies führt zu der Aufgabe

$$J(K(\cdot)) = \int_0^T e^{-\varrho t} U(rK(t) + W(t) - \dot{K}(t)) dt \rightarrow \sup, \quad K(0) = K_0, \quad K(T) \text{ frei.}$$

Die Nutzenfunktion sei isoelastisch. Daher gelten  $U \in C_2, U' > 0, U'' < 0$  für  $C > 0$ .

Die Fundamentalgleichung (1.10) und die Randbedingung (1.9) liefern

$$\frac{\dot{C}_*(t)}{C_*(t)} = \frac{r - \varrho}{\sigma}, \quad 0 = -e^{-\varrho T} U'(C_*(T)).$$

Da  $U' > 0$  gilt, gibt es keinen Parameter  $C > 0$ , der die Gleichung  $U'(C) = 0$  löst. Deswegen erhalten wir keinen Kandidaten für eine schwache lokale Minimalstelle.

Bei näherer Betrachtung ist das wenig überraschend: Da keine Beschränkungen an die Entwicklung des Kapitalstocks vorliegen, liefert die Maximierung des Zielfunktional

$$J(K(\cdot)) = \int_0^T e^{-\varrho t} U(C(t)) dt$$

die wenig brauchbare Lösung  $C_*(t) \equiv \infty$ .  $\square$

**Beispiel 1.13.** Wir fahren mit dem vorherigen Beispiel fort, indem wir dem Gesamtnutzen der Gesellschaft den Rückkaufswert zum Abschluss der Planungsperiode gegenüberstellen:

$$\int_0^T e^{-\rho t} U(C(t)) dt + e^{-\rho T} K(T) \rightarrow \sup.$$

Da die zulässigen Trajektorien  $K(\cdot)$  stetig differenzierbar sind, können wir dies in äquivalenter Form so ausdrücken:

$$J(K(\cdot)) = \int_0^T e^{-\rho t} [U(rK(t) + W(t) - \dot{K}(t)) + \dot{K}(t) - \rho K(t)] dt \rightarrow \sup.$$

Die Euler-Lagrange-Gleichung führt wieder zur Konsumtion mit Wachstumsrate

$$\frac{\dot{C}_*(t)}{C_*(t)} = \frac{r - \rho}{\sigma}.$$

Ferner wird durch die Randbedingung (1.9) bei freiem Endpunkt,

$$0 = e^{-\rho T} [1 - U'(C_*(T))] \quad \Leftrightarrow \quad U'(C_*(T)) = 1,$$

die optimale Konsumtion eindeutig festgelegt. □

### 1.1.3. Notwendige Bedingungen in der einfachsten Bolza-Aufgabe

Wir geben nun den Weg zur Herleitung von notwendigen Bedingungen für eine schwache lokale Minimalstelle in der einfachsten Bolza-Aufgabe,

$$B(x(\cdot)) = \psi_0(x(t_0)) + \psi_1(x(t_1)) + \int_{t_0}^{t_1} f(t, x(t), \dot{x}(t)) dt \rightarrow \inf \quad (1.11)$$

an, wo im Unterschied zur Aufgabe (1.1)–(1.2) keine Randbedingungen auftreten, aber dafür die Terminalfunktionale  $\psi_0, \psi_1$  vorkommen. Wir setzen die stetige Differenzierbarkeit der Abbildungen  $\psi_0, \psi_1$  und  $f$  voraus. Dann erhalten wir für die erste Variation des Funktionals  $B$  die Darstellung

$$\begin{aligned} \delta B(x_*(\cdot))x(\cdot) &= \psi'_0(x_*(t_0))x(t_0) + \psi'_1(x_*(t_1))x(t_1) + \delta J(x_*(\cdot))x(\cdot) \\ &= \psi'_0(x_*(t_0))x(t_0) + \psi'_1(x_*(t_1))x(t_1) + \int_{t_0}^{t_1} (q(t)x(t) + p(t)\dot{x}(t)) dt \end{aligned}$$

mit den vertrauten Bezeichnungen

$$q(t) = f_x(t, x_*(t), \dot{x}_*(t)), \quad p(t) = f_{\dot{x}}(t, x_*(t), \dot{x}_*(t)).$$

Ist  $x_*(\cdot)$  ein schwaches lokales Minimum der Bolza-Aufgabe (1.11), dann muss gelten:

$$\delta B(x_*(\cdot))x(\cdot) = 0 \quad \text{für alle } x(\cdot) \in C_1([t_0, t_1], \mathbb{R}). \quad (1.12)$$

Auf dem Teilraum  $M_0 \subset C_1([t_0, t_1], \mathbb{R})$  stimmen  $\delta B(x_*(\cdot))$  und  $\delta J(x_*(\cdot))$  überein. Damit ist nach Lemma 1.1 die Euler-Lagrangesche Gleichung (1.5) erfüllt. Das Vorgehen nach du Bois-Reymond liefert zudem die stetige Differenzierbarkeit der Funktion  $p(\cdot)$ . Integrieren wir im Ausdruck für die erste Variation des Funktional  $B$  den Term  $p(t)\dot{x}(t)$  partiell und berücksichtigen die Euler-Lagrange-Gleichung, so erhalten wir

$$\delta B(x_*(\cdot))x(\cdot) = [\psi'_0(x_*(t_0)) - p(t_0)]x(t_0) + [\psi'_1(x_*(t_1)) + p(t_1)]x(t_1).$$

Wegen (1.12) gelten somit die zusätzlichen Bedingungen

$$p(t_0) = \psi'_0(x_*(t_0)), \quad p(t_1) = -\psi'_1(x_*(t_1)).$$

**Satz 1.14.** *Es seien  $\psi_0, \psi_1$  und  $f$  stetig differenzierbar. Ist  $x_*(\cdot)$  ein schwaches lokales Minimum in der Aufgabe (1.11), dann ist notwendig, dass auf  $[t_0, t_1]$  die Euler-Lagrange-Gleichung*

$$\left( -\frac{d}{dt}f_{\dot{x}} + f_x \right) \Big|_{x_*(t)} = -\frac{d}{dt}f_{\dot{x}}(t, x_*(t), \dot{x}_*(t)) + f_x(t, x_*(t), \dot{x}_*(t)) = 0 \quad (1.13)$$

mit den Randbedingungen

$$\left. \begin{aligned} p(t_0) &= f_{\dot{x}}(t_0, x_*(t_0), \dot{x}_*(t_0)) = \psi'_0(x_*(t_0)), \\ p(t_1) &= f_{\dot{x}}(t_1, x_*(t_1), \dot{x}_*(t_1)) = -\psi'_1(x_*(t_1)) \end{aligned} \right\} \quad (1.14)$$

erfüllt ist.

**Bemerkung 1.15.** Mit Hilfe der Funktion  $y(\cdot)$ , die der Differentialgleichung

$$\dot{y}(t) = f(t, x(t), \dot{x}(t)), \quad y(t_0) = 0$$

genügt, entsteht aus einem Integralfunktional ein äquivalentes Terminalfunktional:

$$\int_{t_0}^{t_1} f(t, x(t), \dot{x}(t)) dt \rightarrow \inf \quad \Leftrightarrow \quad y(t_1) \rightarrow \inf.$$

Auf diese Weise lässt sich ein gemischtes Zielfunktional in der Form nach Oskar Bolza (1857–1942) in die Gestalt

$$\psi(x(t_0), x(t_1)) + \int_{t_0}^{t_1} f(t, x(t), \dot{x}(t)) dt = \psi(x(t_0), x(t_1)) + y(t_1) = \tilde{\psi}(x(t_0), x(t_1))$$

eines Terminalfunktionals mit der zusätzlichen Nebenbedingung an die Funktion  $y(\cdot)$  überführen. Aufgaben der Variationsrechnung, die ausschließlich Terminalfunktionale enthalten, werden zu Ehren von Adolph Mayer (1839–1907) als Mayer-Aufgabe bezeichnet. In Abschnitt 3.1 gehen wir im Rahmen der Optimalen Steuerung auf Zielfunktionale in gemischter Form bestehend aus Integral- und Terminalfunktionalen nochmals ein. Vorerst beschränken wir uns jedoch auf Integralfunktionale und untersuchen im nächsten Abschnitt die Lagrange-Aufgabe.  $\square$

## 1.2. Die Lagrange-Aufgabe und das Isoperimetrische Problem

### 1.2.1. Notwendige Bedingungen in der Lagrange-Aufgabe

Als Lagrange-Aufgabe der Klassischen Variationsrechnung bezeichnen wir das Problem

$$J(x(\cdot), u(\cdot)) = \int_{t_0}^{t_1} f(t, x(t), u(t)) dt \rightarrow \inf, \quad (1.15)$$

$$\dot{x}(t) = \varphi(t, x(t), u(t)), \quad (1.16)$$

$$h_0(x(t_0)) = 0, \quad h_1(x(t_1)) = 0, \quad (1.17)$$

$$u(t) \in U = \mathbb{R}^m. \quad (1.18)$$

In der Lagrange-Aufgabe seien  $(x(\cdot), u(\cdot)) \in C_1([t_0, t_1], \mathbb{R}^n) \times C([t_0, t_1], \mathbb{R}^m)$  und

$$f : \mathbb{R} \times \mathbb{R}^n \times \mathbb{R}^m \rightarrow \mathbb{R}, \quad \varphi : \mathbb{R} \times \mathbb{R}^n \times \mathbb{R}^m \rightarrow \mathbb{R}^n, \quad h_i : \mathbb{R}^n \rightarrow \mathbb{R}^{s_i}, \quad i = 0, 1.$$

Zur Menge  $\mathcal{A}_{\text{Lip}}^{\mathcal{L}}$  gehören diejenigen  $(x(\cdot), u(\cdot)) \in C_1([t_0, t_1], \mathbb{R}^n) \times C([t_0, t_1], \mathbb{R}^m)$ , für die es eine Zahl  $\gamma > 0$  derart gibt, dass die Abbildungen  $f(t, x, u)$ ,  $\varphi(t, x, u)$ ,  $h_0(x_0)$ ,  $h_1(x_1)$  auf der Menge aller  $(t, x, x_0, x_1, u) \in \mathbb{R} \times \mathbb{R}^n \times \mathbb{R}^n \times \mathbb{R}^n \times \mathbb{R}^m$  mit

$$t_0 \leq t \leq t_1, \quad \|x - x(t)\| < \gamma, \quad \|x_0 - x(t_0)\| < \gamma, \quad \|x_1 - x(t_1)\| < \gamma, \quad \|u - u(t)\| < \gamma$$

stetig in allen Variablen und stetig differenzierbar bezüglich  $x, x_0, x_1, u$  sind.

Das Paar  $(x(\cdot), u(\cdot)) \in C_1([t_0, t_1], \mathbb{R}^n) \times C([t_0, t_1], \mathbb{R}^m)$  nennen wir zulässig in der Aufgabe (1.15)–(1.18), falls  $(x(\cdot), u(\cdot))$  dem System (1.16) genügt und die Randbedingungen (1.17) erfüllt. Die Menge  $\mathcal{A}_{\text{adm}}^{\mathcal{L}}$  bezeichnet die Menge der zulässigen Paare  $(x(\cdot), u(\cdot))$ .

Ein zulässiges Paar  $(x_*(\cdot), u_*(\cdot))$  ist in der Aufgabe (1.15)–(1.18) ein schwaches lokales Minimum, falls eine Zahl  $\varepsilon > 0$  derart existiert, dass die Ungleichung

$$J(x(\cdot), u(\cdot)) \geq J(x_*(\cdot), u_*(\cdot))$$

für alle  $(x(\cdot), u(\cdot)) \in \mathcal{A}_{\text{adm}}^{\mathcal{L}}$  mit  $\|x(\cdot) - x_*(\cdot)\|_{C_1} < \varepsilon$  und  $\|u(\cdot) - u_*(\cdot)\|_{\infty} < \varepsilon$  gilt.

Für die Aufgabe (1.15)–(1.18) bezeichnet  $L : \mathbb{R} \times \mathbb{R}^n \times \mathbb{R}^n \times \mathbb{R}^m \times \mathbb{R}^n \times \mathbb{R} \rightarrow \mathbb{R}$  die Funktion

$$L(t, x, \dot{x}, u, p, \lambda_0) = \lambda_0 f(t, x, u) + \langle p, \dot{x} - \varphi(t, x, u) \rangle.$$

**Theorem 1.16.** *Es sei  $(x_*(\cdot), u_*(\cdot)) \in \mathcal{A}_{\text{adm}}^{\mathcal{L}} \cap \mathcal{A}_{\text{Lip}}^{\mathcal{L}}$ . Ist  $(x_*(\cdot), u_*(\cdot))$  ein schwaches lokales Minimum der Aufgabe (1.15)–(1.18), dann existieren nicht gleichzeitig verschwindende Multiplikatoren  $\lambda_0 \geq 0$ ,  $l_0 \in \mathbb{R}^{s_0}$ ,  $l_1 \in \mathbb{R}^{s_1}$  und  $p(\cdot) \in C_1([t_0, t_1], \mathbb{R}^n)$  derart, dass auf  $[t_0, t_1]$*

(a) die Euler-Lagrangesche Gleichung für die Funktion  $L$  bezüglich  $x$ ,

$$\left( -\frac{d}{dt} L_{\dot{x}} + L_x \right) \Big|_{(x_*(t), u_*(t))} = 0, \quad (1.19)$$

(b) die Randbedingungen

$$L\dot{x}|_{(x_*(t_0), u_*(t_0))} = h_0'^T(x_*(t_0))l_0, \quad L\dot{x}|_{(x_*(t_1), u_*(t_1))} = -h_1'^T(x_*(t_1))l_1 \quad (1.20)$$

(c) und die Euler-Lagrangesche Gleichung für die Funktion  $L$  bezüglich  $u$ ,

$$L_u|_{(x_*(t), u_*(t))} = 0, \quad (1.21)$$

erfüllt sind.

**Bemerkung 1.17.** Ausführlich geschrieben nehmen die Bedingungen (1.19)–(1.21) in Hamiltonscher Form die folgende Gestalt an: Die Gleichung (1.19) stellt eine Differentialgleichung, die sogenannte adjungierte Gleichung,

$$\dot{p}(t) = -\varphi_x^T(t, x_*(t), u_*(t))p(t) + \lambda_0 f_x(t, x_*(t), u_*(t)) \quad \text{für alle } t \in [t_0, t_1],$$

für den Multiplikator  $p(\cdot) \in C_1([t_0, t_1], \mathbb{R}^n)$  dar. Die Randbedingungen (1.20) treten als die Transversalitätsbedingungen

$$p(t_0) = h_0'^T(x_*(t_0))l_0, \quad p(t_1) = -h_1'^T(x_*(t_1))l_1$$

für die Adjungierte  $p(\cdot)$  auf. Schließlich ist die Gleichung

$$\lambda_0 f_u(t, x_*(t), u_*(t)) - \varphi_u^T(t, x_*(t), u_*(t))p(t) = 0 \quad \text{für alle } t \in [t_0, t_1]$$

die ausführlich geschriebene Darstellung der Bedingung (1.21).  $\square$

**Bemerkung 1.18.** In der Lagrange-Aufgabe geben die Randbedingungen (1.17) Einschränkungen der zulässigen Trajektorie  $x(\cdot)$  in den Punkten  $t = t_0$  und  $t = t_1$  vor. Wir schließen dabei den Fall nicht aus, dass diese Einschränkungen nicht für alle Koordinaten der Punkte  $x(t_0)$  und  $x(t_1)$  gelten. Sind die Komponenten  $x_i(t_0)$ ,  $x_j(t_1)$  für gewisse  $i, j \in \{1, \dots, n\}$  frei, so gelten die Transversalitätsbedingungen  $p_i(t_0) = 0$  und  $p_j(t_1) = 0$ . Liegt die Lagrange-Aufgabe mit freiem Anfangs- bzw. Endpunkt vor, d. h. durch wenigstens eine der Abbildung  $h_0(x_0)$ ,  $h_1(x_1)$  sind keine Einschränkungen an die Punkte  $x(t_0)$  bzw.  $x(t_1)$  definiert, dann ergeben sich die Transversalitätsbedingungen  $p(t_0) = 0$  bzw.  $p(t_1) = 0$ . Wegen der Nichttrivialität der Multiplikatoren folgt in diesem Fall aus der adjungierten Gleichung unmittelbar der normale Fall, d. h.  $\lambda_0 = 1$ .  $\square$

Während die Euler-Lagrangesche Gleichung (1.5) für die Aufgabe (1.1)–(1.2) der Variationsrechnung das Gegenstück zur Fermatschen Gleichung  $J'(x_*(\cdot)) = 0$  darstellt, findet im Satz 1.16 das Lagrangesche Prinzip seine Bestätigung.

Dazu versehen wir die Nebenbedingungen mit geeigneten Lagrangeschen Multiplikatoren und bilden die Lagrange-Funktion  $\mathcal{L}$ ,

$$\mathcal{L} : C_1([t_0, t_1], \mathbb{R}^n) \times C([t_0, t_1], \mathbb{R}^m) \times C_1([t_0, t_1], \mathbb{R}^n) \times \mathbb{R} \times \mathbb{R}^{s_0} \times \mathbb{R}^{s_1},$$

mit Hilfe der zur Aufgabe (1.15)–(1.18) definierten Funktion  $L$  auf folgende Weise:

$$\begin{aligned}\mathcal{L} &= \mathcal{L}(x(\cdot), u(\cdot), p(\cdot), \lambda_0, l_0, l_1) \\ &= \int_{t_0}^{t_1} L(t, x(t), \dot{x}(t), u(t), p(t), \lambda_0) dt + \langle l_0, h_0(x(t_0)) \rangle + \langle l_1, h_1(x(t_1)) \rangle.\end{aligned}$$

Gemäß dem Lagrangeschen Prinzip betrachten wir die Aufgabe ohne Nebenbedingungen:

$$\inf_{(x(\cdot), u(\cdot))} \mathcal{L}.$$

Halten wir  $u_*(\cdot)$  fest, so führt dies zu einer Bolza-Aufgabe (1.11) in Vektorform,

$$\int_{t_0}^{t_1} L(t, x(t), \dot{x}(t), u_*(t), p(t), \lambda_0) dt + \langle l_0, h_0(x(t_0)) \rangle + \langle l_1, h_1(x(t_1)) \rangle \rightarrow \inf,$$

und (1.19), (1.20) ergeben sich in voller Übereinstimmung mit Satz 1.14.

Wird in der Lagrange-Funktion  $\mathcal{L}$  die Trajektorie  $x_*(\cdot)$  festgehalten, dann ergibt sich bezüglich  $u(\cdot) \in C([t_0, t_1], \mathbb{R}^m)$  die Aufgabe

$$\int_{t_0}^{t_1} g(t, u(t)) dt := \int_{t_0}^{t_1} L(t, x_*(t), \dot{x}_*(t), u(t), p(t), \lambda_0) dt \rightarrow \inf.$$

Setzen wir darin  $u(t) = \dot{w}(t)$  mit der Funktion  $w(\cdot) \in C_1([t_0, t_1], \mathbb{R}^m)$ , dann entsteht die Grundaufgabe mit freien Endpunkten

$$\int_{t_0}^{t_1} g(t, \dot{w}(t)) dt \rightarrow \inf.$$

Aufgrund Teil (b) in Folgerung 1.7 ist

$$p(t) = g_{\dot{w}}(t, \dot{w}_*(t)) = \text{konstant}.$$

Mit Folgerung 1.9 gelten weiterhin

$$p(t_0) = g_{\dot{w}}(t_0, \dot{x}_*(t_0)) = 0, \quad p(t_1) = g_{\dot{w}}(t_1, \dot{x}_*(t_1)) = 0,$$

und wir erhalten zusammen (1.21).

**Beispiel 1.19.** Wir betrachten ein einfaches Vorsorgemodell über dem gegebenen Zeitrahmen  $[0, T]$  und wollen das optimale Konsumptionsverhalten charakterisieren. Dabei bezeichne  $K(\cdot)$  den Kapitalstock,  $W(\cdot)$  den Lohn für die erbrachte Arbeitsleistung und  $C(\cdot)$  die Konsumption. Weiterhin seien  $U$  eine zweimal stetig differenzierbar, monoton wachsende und streng konkave Nutzenfunktion, d. h.  $U \in C_2$ ,  $U' > 0$ ,  $U'' < 0$ , und es seien  $r, \varrho > 0$  die Zins- bzw. Diskontrate. Die Lohnfunktion  $W(\cdot)$ , sowie der Kapitalbestand  $K_0$  zu Beginn und das angestrebte Vermögen  $K_T$  zum Zeitpunkt  $T$  sind vorgegeben.

Das Modell lautet mit diesen Größen

$$J(K(\cdot), C(\cdot)) = \int_0^T e^{-\varrho t} U(C(t)) dt \rightarrow \sup,$$

$$\dot{K}(t) = rK(t) + W(t) - C(t), \quad K(0) = K_0, \quad K(T) = K_T, \quad C(t) \in \mathbb{R}.$$

Als zulässige Paare fassen wir  $(K(\cdot), C(\cdot)) \in C_1([0, T], \mathbb{R}) \times C([0, T], \mathbb{R})$  auf.

Wir wenden die notwendigen Bedingungen (1.19)–(1.21) in der Form nach Bemerkung 1.17 an: Die adjungierte Gleichung ergibt

$$\dot{p}(t) = -rp(t)$$

und die Transversalitätsbedingungen liefern

$$p(t) = l_0 e^{-rt}.$$

Weiterhin erhalten wir aus der Euler-Lagrange-Gleichung bezüglich  $C$  die Bedingung

$$p(t) = \lambda_0 e^{-\varrho t} U'(C_*(t)).$$

Der Fall  $\lambda_0 = 0$  kann ausgeschlossen werden, da ansonsten sämtliche Multiplikatoren verschwinden würden. Ferner muss  $l_0 > 0$  gelten. Das Konsumptionsverhalten reduziert sich damit auf die Auswertung der Bedingung

$$U'(C_*(t)) = l_0 e^{(\varrho-r)t}.$$

- (a)  $r = \varrho$ : In diesem Fall ist  $C_*(t)$  über  $[0, T]$  konstant.
- (b)  $r > \varrho$ : Da  $U$  konkav ist, ist  $C_*(t)$  über  $[0, T]$  monoton wachsend.
- (c)  $r < \varrho$ : Es ist  $C_*(t)$  über  $[0, T]$  monoton fallend.

Ist daher die Teuerungsrate  $\varrho$  kleiner bzw. größer als die Zinsrate  $r$ , so wird in stetig höher bzw. geringer werdendem Maße konsumiert. Das eindeutige Konsumptionsverhalten  $C_*(\cdot)$  ergibt sich abschließend aus den Randbedingungen  $K_*(0) = K_0$  und  $K_*(T) = K_T$ .  $\square$

### 1.2.2. Der Nachweis der notwendigen Optimalitätsbedingungen

Wir definieren für  $(x(\cdot), u(\cdot)) \in C_1([t_0, t_1], \mathbb{R}^n) \times C([t_0, t_1], \mathbb{R}^m)$  die Abbildungen

$$J(x(\cdot), u(\cdot)) = \int_{t_0}^{t_1} f(t, x(t), u(t)) dt,$$

$$F(x(\cdot), u(\cdot))(t) = \dot{x}(t) - \varphi(t, x(t), u(t)), \quad t \in [t_0, t_1],$$

$$H_i(x(\cdot)) = h_i(x(t_i)), \quad i = 0, 1.$$

Dabei fassen wir sie als Abbildungen zwischen folgenden Funktionenräumen auf:

$$\begin{aligned} J & : C_1([t_0, t_1], \mathbb{R}^n) \times C([t_0, t_1], \mathbb{R}^m) \rightarrow \mathbb{R}, \\ F & : C_1([t_0, t_1], \mathbb{R}^n) \times C([t_0, t_1], \mathbb{R}^m) \rightarrow C([t_0, t_1], \mathbb{R}^n), \\ H_i & : C_1([t_0, t_1], \mathbb{R}^n) \rightarrow \mathbb{R}^{s_i}, \quad i = 0, 1. \end{aligned}$$

Wir setzen  $\mathcal{F} = (F, H_0, H_1)$  und prüfen für die Extremalaufgabe

$$J(x(\cdot), u(\cdot)) \rightarrow \inf, \quad \mathcal{F}(x(\cdot), u(\cdot)) = 0 \quad (1.22)$$

im Punkt  $(x_*(\cdot), u_*(\cdot)) \in \mathcal{A}_{\text{Lip}}^{\mathcal{L}}$  die Voraussetzungen des Extremalprinzips F.1:

(A<sub>1</sub>) Beachten wir für  $x(\cdot) \in C_1([t_0, t_1], \mathbb{R}^n)$  und  $u(\cdot) \in C([t_0, t_1], \mathbb{R}^m)$  die Relationen

$$\|x(\cdot)\|_{L^\infty} \leq \|x(\cdot)\|_{C_1}, \quad \|u(\cdot)\|_{L^\infty} = \|u(\cdot)\|_\infty,$$

so ist  $J$  nach Beispiel B.5 im Punkt  $(x_*(\cdot), u_*(\cdot))$  Fréchet-differenzierbar.

(A<sub>2</sub>) Die Abbildung  $F$  ist die Summe der stetigen linearen Abbildung  $x(\cdot) \rightarrow \dot{x}(t)$  und der Abbildung  $(x(\cdot), u(\cdot)) \rightarrow -\varphi(t, x(t), u(t))$ , deren stetige Fréchet-Differenzierbarkeit im Beispiel B.4 nachgewiesen ist. Für die Abbildungen  $H_i$  ist die stetige Differenzierbarkeit offensichtlich.

(B) Wir setzen  $A(t) = \varphi_x(t, x_*(t), u_*(t))$ . Dann ist die Surjektivität des Operators  $F_x(x_*(\cdot), u_*(\cdot))$  äquivalent zur Aussage, dass für jedes  $y(\cdot) \in C([t_0, t_1], \mathbb{R}^n)$  die Gleichung

$$\dot{x}(t) - A(t)x(t) = y(t), \quad t \in [t_0, t_1],$$

lösbar ist. Dies besagt gerade Lemma C.6. Somit besitzt der Operator  $\mathcal{F}_x(x_*(\cdot), u_*(\cdot))$  eine endliche Kodimension und  $\text{Im } \mathcal{F}'(x_*(\cdot), u_*(\cdot))$  ist abgeschlossen.

Zur Extremalaufgabe (1.22) definieren wir auf

$$C_1([t_0, t_1], \mathbb{R}^n) \times C([t_0, t_1], \mathbb{R}^m) \times \mathbb{R} \times C^*([t_0, t_1], \mathbb{R}^n) \times \mathbb{R}^{s_0} \times \mathbb{R}^{s_1}$$

die Lagrange-Funktion  $\mathcal{L} = \mathcal{L}(x(\cdot), u(\cdot), \lambda_0, y^*, l_0, l_1)$ ,

$$\mathcal{L} = \lambda_0 J(x(\cdot), u(\cdot)) + \langle y^*, F(x(\cdot), u(\cdot)) \rangle + l_0^T H_0(x(\cdot)) + l_1^T H_1(x(\cdot)).$$

Ist  $(x_*(\cdot), u_*(\cdot))$  ein lokales Minimum der Aufgabe (1.22), dann existieren nach Theorem F.1 nicht gleichzeitig verschwindende Lagrangesche Multiplikatoren  $\lambda_0 \geq 0$ ,  $l_i \in \mathbb{R}^{s_i}$  und  $y^* \in C^*([t_0, t_1], \mathbb{R}^n)$  derart, dass

$$0 = \mathcal{L}_x(x_*(\cdot), u_*(\cdot), \lambda_0, y^*, l_0, l_1), \quad 0 = \mathcal{L}_u(x_*(\cdot), u_*(\cdot), \lambda_0, y^*, l_0, l_1) \quad (1.23)$$

gelten. Wir folgern daraus nun die Beziehungen (1.19)–(1.21):

Nach dem Rieszschen Darstellungssatz in der Version der Folgerung B.19 existiert eine

Vektorfunktion  $\mu(\cdot) = (\mu_1(\cdot), \dots, \mu_n(\cdot))$ , wobei die  $\mu_i(\cdot)$  von beschränkter Variation und rechtsseitig stetig sind, mit

$$\langle y^*, F(x(\cdot), u(\cdot)) \rangle = \int_{t_0}^{t_1} [\dot{x}(t) - \varphi(t, x(t), u(t))]^T d\mu(t).$$

Dann folgt aus der ersten Gleichung in (1.23):

$$\begin{aligned} 0 &= \lambda_0 \int_{t_0}^{t_1} \langle f_x(t, x_*(t), u_*(t)), x(t) \rangle dt + \int_{t_0}^{t_1} [\dot{x}(t) - \varphi_x(t, x_*(t), u_*(t))x(t)]^T d\mu(t) \\ &\quad + \langle l_0, h'_0(x_*(t_0))x(t_0) \rangle + \langle l_1, h'_1(x_*(t_1))x(t_1) \rangle \end{aligned} \quad (1.24)$$

für alle  $x(\cdot) \in C_1([t_0, t_1], \mathbb{R}^n)$ . Wir setzen der Übersichtlichkeit halber

$$a(t) = f_x(t, x_*(t), u_*(t)), \quad A(t) = \varphi_x(t, x_*(t), u_*(t)), \quad \Gamma_i = h'_i(x_*(t_i)).$$

Unter Verwendung von  $x(t) = x(t_0) + \int_{t_0}^t \dot{x}(s) ds$  erhalten wir

$$\int_{t_0}^{t_1} \langle \lambda_0 a(t), x(t) \rangle dt = \int_{t_0}^{t_1} \lambda_0 a^T(t) \cdot \left[ x(t_0) + \int_{t_0}^t \dot{x}(s) ds \right] dt$$

und es ergibt sich weiter durch Vertauschen der Integrationsreihenfolge

$$\int_{t_0}^{t_1} \langle \lambda_0 a(t), x(t) \rangle dt = \int_{t_0}^{t_1} \left[ \int_t^{t_1} \lambda_0 a(s) ds \right]^T \dot{x}(t) dt + \left[ \int_{t_0}^{t_1} \lambda_0 a(t) dt \right]^T x(t_0).$$

Bezüglich der Abbildung  $A(\cdot)$  verfahren wir auf die gleiche Weise und erhalten

$$\int_{t_0}^{t_1} [A(t)x(t)]^T d\mu(t) = \int_{t_0}^{t_1} \left[ \int_t^{t_1} A^T(s) d\mu(s) \right]^T \dot{x}(t) dt + \left[ \int_{t_0}^{t_1} A^T(t) d\mu(t) \right]^T x(t_0).$$

Mit diesen Beziehung können wir (1.24) in folgende Form bringen:

$$\begin{aligned} 0 &= \int_{t_0}^{t_1} \left[ \int_t^{t_1} \lambda_0 a(s) ds - \int_t^{t_1} A^T(s) d\mu(s) + \Gamma_1^T l_1 \right]^T \dot{x}(t) dt + \int_{t_0}^{t_1} [\dot{x}(t)]^T d\mu(t) \\ &\quad + \left[ \Gamma_0^T l_0 + \Gamma_1^T l_1 + \int_{t_0}^{t_1} \lambda_0 a(t) dt - \int_{t_0}^{t_1} A^T(t) d\mu(t) \right]^T x(t_0). \end{aligned} \quad (1.25)$$

Die rechte Seite in (1.25) ist ein stetiges lineares Funktional im Raum  $C_1([t_0, t_1], \mathbb{R}^n)$ :

$$\langle x^*, x(\cdot) \rangle = \int_{t_0}^{t_1} [\dot{x}(t)]^T d\nu(t) + \langle a, x(t_0) \rangle$$

mit

$$\nu(t) = \mu(t) + \int_{t_0}^t \left[ \int_s^{t_1} \lambda_0 a(\tau) d\tau \right] ds - \int_{t_0}^t \left[ \int_s^{t_1} A^T(\tau) d\mu(\tau) \right] ds + \Gamma_1^T l_1 t, \quad (1.26)$$

$$a = \Gamma_0^T l_0 + \Gamma_1^T l_1 + \int_{t_0}^{t_1} \lambda_0 a(t) dt - \int_{t_0}^{t_1} A^T(t) d\mu(t). \quad (1.27)$$

Wegen der eindeutigen Darstellung (Folgerung B.21) eines stetigen linearen Funktionals im Raum  $C_1([t_0, t_1], \mathbb{R}^n)$  und aus der Gleichung  $\mathcal{L}_x = 0$  ergeben sich

$$\nu(t) \equiv 0, \quad a = 0. \quad (1.28)$$

Aus (1.26) und (1.28) ist ersichtlich, dass die Vektorfunktion  $\mu(\cdot)$  absolutstetig ist. Setzen wir nun  $p(t) = \dot{\mu}(t)$ , so folgt mit (1.26) und (1.28):

$$p(t) + \int_t^{t_1} \lambda_0 a(s) ds - \int_t^{t_1} A^T(s) p(s) ds + \Gamma_1^T l_1 = 0. \quad (1.29)$$

Für  $t = t_0$  bzw. für  $t = t_1$  liefert diese Gleichung zusammen mit (1.27) die Beziehungen

$$p(t_0) = \Gamma_0^T l_0 = h_0'^T(x_*(t_0)) l_0, \quad p(t_1) = -\Gamma_1^T l_1 = -h_1'^T(x_*(t_1)) l_1.$$

Differenzieren wir schließlich (1.29), so erhalten wir die adjungierte Gleichung

$$\dot{p}(t) = -A^T(t)p(t) + \lambda_0 a(t) = -\varphi_x^T(t, x_*(t), u_*(t))p(t) + \lambda_0 f_x(t, x_*(t), u_*(t)).$$

Wegen der Stetigkeit der Daten ergibt sich  $p(\cdot) \in C_1([t_0, t_1], \mathbb{R}^n)$ . Damit sind (1.19) und (1.20) in Theorem 1.16 gezeigt.

Setzen wir in der Lagrange-Funktion  $\mathcal{L}$  anstelle von  $d\mu(t)$  jetzt  $p(t) dt$  ein, so liefert die zweite Gleichung in (1.23) für alle  $u(\cdot) \in C([t_0, t_1], \mathbb{R}^m)$ :

$$0 = \int_{t_0}^{t_1} \left[ \lambda_0 f_u(t, x_*(t), u_*(t)) - \varphi_u^T(t, x_*(t), u_*(t)) p(t) \right]^T u(t) dt. \quad (1.30)$$

Die rechte Seite definiert im Raum  $C([t_0, t_1], \mathbb{R}^m)$  ein stetiges lineares Funktional. Nach dem Riesz'schen Darstellungssatzes (Satz B.18) folgt hieraus

$$\varphi_u^T(t, x_*(t), u_*(t)) p(t) = \lambda_0 f_u(t, x_*(t), u_*(t)).$$

Damit ist (1.21) gezeigt und Theorem 1.16 vollständig bewiesen. ■

### 1.2.3. Das Isoperimetrische Problem

Das Isoperimetrische Problem der Klassischen Variationsrechnung ist folgende Aufgabe:

$$J(x(\cdot)) = \int_{t_0}^{t_1} f_0(t, x(t), \dot{x}(t)) dt \rightarrow \inf, \quad (1.31)$$

$$\int_{t_0}^{t_1} f_i(t, x(t), \dot{x}(t)) dt = \alpha_j, \quad j = 1, \dots, m, \quad (1.32)$$

$$h_0(x(t_0)) = 0, \quad h_1(x(t_1)) = 0. \quad (1.33)$$

Dabei seien  $f_j : \mathbb{R} \times \mathbb{R}^n \times \mathbb{R}^n \rightarrow \mathbb{R}$ ,  $j = 0, \dots, m$ , und  $h_i : \mathbb{R}^n \rightarrow \mathbb{R}^{s_i}$ ,  $i = 0, 1$ .

In der Aufgabe (1.31)–(1.33) sind diejenigen Funktionen  $x(\cdot) \in C_1([t_0, t_1], \mathbb{R}^n)$  zulässig, die die isoperimetrischen Beschränkungen (1.32) und die Randbedingungen (1.33) erfüllen. Die Menge  $\mathcal{A}_{\text{adm}}^{\mathcal{I}}$  bezeichnet wieder die Menge der zulässigen Trajektorien  $x(\cdot)$ . Ferner ist  $\mathcal{A}_{\text{Lip}}^{\mathcal{I}}$  die Menge aller  $x(\cdot) \in C_1([t_0, t_1], \mathbb{R}^n)$ , für die die Abbildungen  $f_j(t, x, \dot{x})$ ,  $j = 0, \dots, m$ , und  $h_0(x_0), h_1(x_1)$  auf der Menge der  $(t, x, x_0, x_1, \dot{x}) \in \mathbb{R} \times \mathbb{R}^n \times \mathbb{R}^n \times \mathbb{R}^n \times \mathbb{R}^n$  mit

$$t_0 \leq t \leq t_1, \quad \|x - x(t)\| < \gamma, \quad \|x_0 - x(t_0)\| < \gamma, \quad \|x_1 - x(t_1)\| < \gamma, \quad \|\dot{x} - \dot{x}(t)\| < \gamma$$

stetig in allen Variablen und stetig differenzierbar bezüglich  $x, x_0, x_1, \dot{x}$  sind.

In der Aufgabe (1.31)–(1.33) bezeichnet  $L : \mathbb{R} \times \mathbb{R}^n \times \mathbb{R}^n \times \mathbb{R} \times \mathbb{R}^m \rightarrow \mathbb{R}$  die Funktion

$$L(t, x, \dot{x}, \lambda_0, \lambda) = \lambda_0 f_0(t, x, \dot{x}) + \sum_{j=1}^m \lambda_j f_j(t, x, \dot{x}) = \sum_{j=0}^m \lambda_j f_j(t, x, \dot{x}).$$

**Satz 1.20.** *Es sei  $x_*(\cdot) \in \mathcal{A}_{\text{adm}}^{\mathcal{I}} \cap \mathcal{A}_{\text{Lip}}^{\mathcal{I}}$ . Ist  $x_*(\cdot)$  ein schwaches lokales Minimum der Aufgabe (1.31)–(1.33), dann existieren nicht gleichzeitig verschwindende Multiplikatoren  $\lambda_j \in \mathbb{R}$ ,  $j = 0, \dots, m$ , und  $l_i \in \mathbb{R}^{s_i}$ ,  $i = 0, 1$ , derart, dass für die Funktion  $L$  die Euler-Lagrange-Gleichung*

$$\left( -\frac{d}{dt} L_{\dot{x}} + L_x \right) \Big|_{x_*(t)} = 0 \quad (1.34)$$

auf  $[t_0, t_1]$  erfüllt ist und folgende Randbedingungen gelten:

$$L_{\dot{x}} \Big|_{x_*(t_0)} = h_0'^T(x_*(t_0)) l_0, \quad L_{\dot{x}} \Big|_{x_*(t_1)} = -h_1'^T(x_*(t_1)) l_1. \quad (1.35)$$

**Beweis** Im Isoperimetrischen Problem (1.31)–(1.33) setzen wir

$$f = (f_1, \dots, f_m)^T, \quad \alpha = (\alpha_1, \dots, \alpha_m)^T, \quad u = \dot{x}, \quad \dot{y} = f(t, x, u).$$

Damit entsteht die Lagrange-Aufgabe

$$\begin{aligned} \tilde{J}(x(\cdot), y(\cdot), u(\cdot)) &= \int_{t_0}^{t_1} f_0(t, x(t), u(t)) dt \rightarrow \inf, \\ \dot{x}(t) &= u(t), \quad \dot{y}(t) = f(t, x(t), u(t)), \\ h_0(x(t_0)) &= 0, \quad h_1(x(t_1)) = 0, \quad y(t_0) = 0, \quad y(t_1) - \alpha = 0, \quad u(t) \in \mathbb{R}^n. \end{aligned}$$

Die dazugehörige Funktion  $\tilde{L}$  lautet

$$\tilde{L}(t, x, y, \dot{x}, \dot{y}, u, p, q, \lambda_0) = \lambda_0 f_0(t, x, u) + \langle p, \dot{x} - u \rangle + \langle q, \dot{y} - f(t, x, u) \rangle.$$

Betrachten wir zunächst (1.19) bezüglich  $y$ , so erhalten wir für  $q(\cdot) \in C_1([t_0, t_1], \mathbb{R}^n)$ :

$$-\frac{d}{dt}q(t) = 0 \quad \Rightarrow \quad q(t) \equiv -\lambda = -(\lambda_1, \dots, \lambda_m)^T \in \mathbb{R}^m \quad \text{auf } [t_0, t_1].$$

Damit folgt unmittelbar für (1.19) bezüglich  $x$  die Bedingung

$$\frac{d}{dt}\tilde{L}_{\dot{x}}|_{(x_*(t), y_*(t), u_*(t))} = \frac{d}{dt}p(t) = \sum_{j=0}^m \lambda_j f_{jx}(t, x_*(t), u_*(t)) = \tilde{L}_x|_{(x_*(t), y_*(t), u_*(t))}.$$

Aus den Randbedingungen (1.20) ergibt sich

$$p(t_0) = h_0'^T(x_*(t_0))l_0, \quad p(t_1) = -h_1'^T(x_*(t_1))l_1, \quad q(t_0) = q(t_1) = -\lambda = \tilde{l}_0 = -\tilde{l}_1.$$

Abschließend folgt mit  $\dot{x}_*(t) = u_*(t)$  aus (1.21) der Zusammenhang

$$\tilde{L}_u|_{(x_*(t), y_*(t), u_*(t))} = -p(t) + L_{\dot{x}}|_{x_*(t)} = 0.$$

Beachten wir in sämtlichen Bedingungen die Beziehungen

$$\dot{x}_*(t) = u_*(t), \quad p(t) = L_{\dot{x}}|_{x_*(t)},$$

dann ist Satz 1.20 aus Satz 1.16 vollständig abgeleitet. ■

**Beispiel 1.21** (Kettenlinie). Eine homogene schwere Kette der Länge  $l$  ist an ihren Enden in den Punkten  $(t_0, x_0)$  und  $(t_1, x_1)$  aufgehängt. Welche Form besitzt sie?



Abbildung 4: Seilkurven, die durch ihr Eigengewicht belastet sind.

Der Einfachheit halber besitzen die Aufhängepunkte die gleiche Höhe  $x_0 = x_1 = h$  und es seien  $t_0 = -a, t_1 = a$  mit einem  $a > 0$ . Damit die Aufgabe sinnvoll gestellt ist, dürfen die Punkte nicht weiter voneinander entfernt sein als die Länge  $l$  der Kette, d. h.  $l \geq 2a$ .



Abbildung 5: Golden Gate Bridge.

Die Aufgabe der Kettenlinie führt zur Minimierung der gesamten potentiellen Energie,

$$J(x(\cdot)) = \int_{-a}^a x(t) \sqrt{1 + \dot{x}^2(t)} dt \rightarrow \inf,$$

unter der isoperimetrischen Beschränkung

$$\int_{-a}^a \sqrt{1 + \dot{x}^2(t)} dt = l, \quad l \geq 2a,$$

und den Randbedingungen

$$x(-a) = x(a) = h.$$

Die Euler-Lagrange-Gleichung (1.34) liefert für die Funktion

$$L(x, \dot{x}, \lambda_0, \lambda) = \lambda_0 x \sqrt{1 + \dot{x}^2} + \lambda \sqrt{1 + \dot{x}^2},$$

bei Beachtung des Spezialfalles (c) in Folgerung 1.7, die Differentialgleichung

$$\lambda_0 x_*(t) + \lambda = \frac{1}{k} \sqrt{1 + \dot{x}_*^2(t)}.$$

Ist dabei  $\lambda_0 = 0$ , so muss  $\dot{x}_*(t)$  konstant sein. Dies kann nur für die direkte Verbindungsstrecke gelten, also im Fall  $l = 2a$ . Es sei nun  $l > 2a$  und  $\lambda_0 = 1$ . Dann erhalten wir aus der Differentialgleichung durch Differentiation nach  $t$ :

$$\ddot{x}_*(t) = k \sqrt{1 + \dot{x}_*^2(t)} \quad \Rightarrow \quad x_*(t) + \lambda = \frac{1}{k} \cosh(kt + D).$$

Aus physikalischen Gründen ist dabei  $k > 0$ . Wegen der Symmetrie der Randbedingungen gilt ferner  $D = 0$ . Die Länge der Kurve  $x_*(t)$  über  $[-a, a]$  ist gleich  $2 \sinh(ka)/k$  und es gibt genau eine positive Konstante  $k_0$  mit  $2 \sinh(k_0 a)/k_0 = l$ . Dies ergibt abschließend

$$x_*(t) = \frac{1}{k_0} \cosh(k_0 t) - \lambda,$$

wobei sich  $\lambda$  aus der Randbedingung  $x_*(a) = h$  ermitteln lässt. □

### 1.3. Richtungsvariationen in der Optimalen Steuerung

In diesem Abschnitt widmen wir uns einer direkten Verallgemeinerung der Lagrange-Aufgabe, indem wir den zulässigen Paaren die Anforderung

$$(x(\cdot), u(\cdot)) \in W_\infty^1([t_0, t_1], \mathbb{R}^n) \times L_\infty([t_0, t_1], U)$$

aufzulegen. Dabei erscheint der Übergang von der Lagrange-Aufgabe der Klassischen Variationsrechnung zu einem Steuerungsproblem einen rein formalen Charakter zu besitzen, denn wir behalten den grundlegenden Aufbau der Standardaufgabe:

$$\begin{aligned} J(x(\cdot), u(\cdot)) &= \int_{t_0}^{t_1} f(t, x(t), u(t)) dt \rightarrow \inf, \\ \dot{x}(t) &= \varphi(t, x(t), u(t)), \\ h_0(x(t_0)) &= 0, \quad h_1(x(t_1)) = 0, \\ u(t) &\in U, \quad U = \mathbb{R}^m. \end{aligned}$$

Jedoch enthält die Untersuchung der Standardaufgabe auf ein schwaches lokales Minimum im Rahmen der Optimalen Steuerung signifikante Unterschiede, die durch die Steuerungsbeschränkungen  $u(\cdot) \in L_\infty([t_0, t_1], U)$  bzw.  $u(t) \in U$  hervorgerufen werden.

Im Vergleich zur Lagrange-Aufgabe bestehen die wesentlichen Verallgemeinerungen darin, dass erstens die Steuerung unstetig sein kann und damit die Zustandstrajektorie nicht stetig differenzierbar sein muss. Sie braucht also nur stückweise der Euler-Lagrangeschen Gleichung genügen. Eine derartige Trajektorie heißt geknickte Extremale.

Aber insbesondere kann zweitens der Fall eines kompakten Steuerungsbereiches vorliegen, d. h. die Steuerungsparameter  $u \in U$  dürfen gewisse Grenzlagen annehmen. Der Umstand, dass der Steuerungsbereich  $U$  kompakt sein darf, hebt die nachfolgende Aufgabenklasse aus dem Rahmen der Klassischen Variationsrechnung heraus. In den Anwendungen sind jedoch die Aufgaben mit kompaktem Steuerungsbereich und mit Steuerungen, die Werte auf dem Rand des Steuerungsbereiches annehmen, von zentraler Bedeutung.

Neben der grundlegenden Verallgemeinerung der Aufgabenklasse erweitern wir außerdem das Spektrum an Methoden und Resultaten. Einerseits gehen wir nämlich auf hinreichende Bedingungen nach Mangasarian ein, die sich in der Standardaufgabe unter zusätzlichen Konkavitätsannahmen direkt einbinden lassen. Ferner zeigen wir, wie man mit Hilfe der Substitution der Zeit die Aufgaben mit freiem Anfangs- und Endzeitpunkt behandelt. Zum Abschluss behandeln wir die Aufgaben mit Zustandsbeschränkungen, d. h. Aufgaben mit punktwisen Ungleichungsrestriktionen für die Zustandstrajektorie.

Dieser Abschnitt behandelt die Standardaufgabe der Steuerungstheorie mit Hilfe der Richtungsvariationen. Allerdings greifen die Beweise der Optimalitätsprinzipien auf grundlegende funktionalanalytische und maßtheoretische Methoden zurück, die im Anhang aufgeführt sind.

### 1.3.1. Die Aufgabenstellung für ein schwaches lokales Minimum

Wir betrachten als Steuerungsproblem die Aufgabe

$$J(x(\cdot), u(\cdot)) = \int_{t_0}^{t_1} f(t, x(t), u(t)) dt \rightarrow \inf, \quad (1.36)$$

$$\dot{x}(t) = \varphi(t, x(t), u(t)), \quad (1.37)$$

$$h_0(x(t_0)) = 0, \quad h_1(x(t_1)) = 0, \quad (1.38)$$

$$u(t) \in U \subseteq \mathbb{R}^m, \quad U \neq \emptyset, \quad U \text{ konvex}, \quad (1.39)$$

$$g_j(t, x(t)) \leq 0 \quad \text{für alle } t \in [t_0, t_1], \quad j = 1, \dots, l. \quad (1.40)$$

Dabei gelten  $f : \mathbb{R} \times \mathbb{R}^n \times \mathbb{R}^m \rightarrow \mathbb{R}$ ,  $\varphi : \mathbb{R} \times \mathbb{R}^n \times \mathbb{R}^m \rightarrow \mathbb{R}^n$ ,  $h_i : \mathbb{R}^n \rightarrow \mathbb{R}^{s_i}$  für  $i = 0, 1$ , sowie  $g_j : \mathbb{R} \times \mathbb{R}^n \rightarrow \mathbb{R}$  für  $j = 1, \dots, l$  in den Zustandsbeschränkungen (1.40).

Die Aufgabe (1.36)–(1.40) betrachten wir bezüglich der Paare

$$(x(\cdot), u(\cdot)) \in W_\infty^1([t_0, t_1], \mathbb{R}^n) \times L_\infty([t_0, t_1], U).$$

Wir nennen die Trajektorie  $x(\cdot)$  eine Lösung der Gleichung (1.37) zur Steuerung  $u(\cdot)$ , falls  $x(\cdot)$  auf  $[t_0, t_1]$  definiert ist und die Dynamik im Sinn von Carathéodory löst.

Da die Steuerung lediglich messbar und beschränkt ist, gestaltet sich im Vergleich zur Lagrange-Aufgabe die Festlegung eines Umgebungstreifens für einen Steuerungsprozess  $(x(\cdot), u(\cdot))$  umständlicher. Deswegen schränken wir die Differenzierbarkeit bezüglich der Steuervariable  $u$  nicht auf eine gewisse Umgebung ein.

Zur Menge  $\mathcal{A}_{\text{Lip}}^S$  gehören diejenigen  $(x(\cdot), u(\cdot)) \in W_\infty^1([t_0, t_1], \mathbb{R}^n) \times L_\infty([t_0, t_1], U)$ , für die es eine Zahl  $\gamma > 0$  derart gibt, dass die Abbildungen  $f(t, x, u)$ ,  $\varphi(t, x, u)$ ,  $h_i(x_i)$  und  $g_j(t, x)$  auf der Menge aller  $(t, x, x_0, x_1, u) \in \mathbb{R} \times \mathbb{R}^n \times \mathbb{R}^n \times \mathbb{R}^n \times \mathbb{R}^m$  mit

$$t_0 \leq t \leq t_1, \quad \|x - x(t)\| < \gamma, \quad \|x_0 - x(t_0)\| < \gamma, \quad \|x_1 - x(t_1)\| < \gamma, \quad u \in \mathbb{R}^m$$

stetig in allen Variablen und stetig differenzierbar bezüglich  $x, x_0, x_1, u$  sind.

Das Paar  $(x(\cdot), u(\cdot)) \in W_\infty^1([t_0, t_1], \mathbb{R}^n) \times L_\infty([t_0, t_1], U)$  heißt ein zulässiger Steuerungsprozess in der Aufgabe (1.36)–(1.40), falls  $(x(\cdot), u(\cdot))$  dem System (1.37) genügt, sowie die Randbedingungen (1.38) und Zustandsbeschränkungen (1.40) erfüllt. Die Menge  $\mathcal{A}_{\text{adm}}^S$  bezeichnet die Menge der zulässigen Steuerungsprozesse.

Ein zulässiger Steuerungsprozess  $(x_*(\cdot), u_*(\cdot))$  ist eine schwache lokale Minimalstelle der Aufgabe (1.36)–(1.40), falls eine Zahl  $\varepsilon > 0$  derart existiert, dass die Ungleichung

$$J(x(\cdot), u(\cdot)) \geq J(x_*(\cdot), u_*(\cdot))$$

für alle  $(x(\cdot), u(\cdot)) \in \mathcal{A}_{\text{adm}}^S$  mit  $\|x(\cdot) - x_*(\cdot)\|_\infty < \varepsilon$  und  $\|u(\cdot) - u_*(\cdot)\|_{L_\infty} < \varepsilon$  gilt.

Ferner bezeichnet  $H^S : \mathbb{R} \times \mathbb{R}^n \times \mathbb{R}^m \times \mathbb{R}^n \times \mathbb{R} \rightarrow \mathbb{R}$  die Pontrjagin-Funktion

$$H^S(t, x, u, p, \lambda_0) = \langle p, \varphi(t, x, u) \rangle - \lambda_0 f(t, x, u)$$

der Standardaufgabe (1.36)–(1.40).

### 1.3.2. Ein Schwaches Optimalitätsprinzip

**Theorem 1.22.** *Es sei  $(x_*(\cdot), u_*(\cdot)) \in \mathcal{A}_{\text{adm}}^S \cap \mathcal{A}_{\text{Lip}}^S$ . Ist  $(x_*(\cdot), u_*(\cdot))$  ein schwaches lokales Minimum der Aufgabe (1.36)–(1.39), dann existieren nicht gleichzeitig verschwindende Multiplikatoren  $\lambda_0 \geq 0$ ,  $l_0 \in \mathbb{R}^{s_0}$ ,  $l_1 \in \mathbb{R}^{s_1}$  und  $p(\cdot) \in W_\infty^1([t_0, t_1], \mathbb{R}^n)$  derart, dass*

(a) für fast alle  $t \in [t_0, t_1]$  die adjungierte Gleichung

$$\dot{p}(t) = -H_x^S(t, x_*(t), u_*(t), p(t), \lambda_0), \quad (1.41)$$

(b) die Transversalitätsbedingungen

$$p(t_0) = h_0'^T(x_*(t_0))l_0, \quad p(t_1) = -h_1'^T(x_*(t_1))l_1 \quad (1.42)$$

(c) und in fast allen Punkten  $t \in [t_0, t_1]$  für alle  $u \in U$  die Variationsungleichung

$$\langle H_u^S(t, x_*(t), u_*(t), p(t), \lambda_0), (u - u_*(t)) \rangle \leq 0 \quad (1.43)$$

erfüllt sind.

**Bemerkung 1.23.** Ohne Einschränkung lässt sich an dieser Stelle die Bemerkung 1.18 über die Transversalitätsbedingungen und über das Eintreten des normalen Falles bei fehlenden Randbedingungen übernehmen.  $\square$

**Bemerkung 1.24.** Die adjungierte Gleichung (1.41) und die Variationsungleichung (1.43) besitzen in Hamiltonscher Form das Aussehen

$$\begin{aligned} \dot{p}(t) &= -\varphi_x^T(t, x_*(t), u_*(t))p(t) + \lambda_0 f_x(t, x_*(t), u_*(t)), \\ 0 &\geq \langle \varphi_u^T(t, x_*(t), u_*(t))p(t) + \lambda_0 f_u(t, x_*(t), u_*(t)), u - u_*(t) \rangle. \end{aligned}$$

Darin erkennt man die Optimalitätsbedingungen der Lagrange-Aufgabe in Theorem 1.16, deren Hamiltonsche Form in Bemerkung 1.17 angegeben sind. Wegen dem gewählten Rahmen  $x_*(\cdot) \in W_\infty^1([t_0, t_1], \mathbb{R}^n)$  und  $u_*(\cdot) \in L_\infty([t_0, t_1], U)$  gelten die Bedingungen (1.41) und (1.43) jedoch nur fast überall. Ferner führt die Steuerungsbeschränkung  $u \in U$  mit der konvexen Menge  $U \neq \emptyset$  zur Ungleichung (1.43) anstelle der Gleichung (1.21).  $\square$

**Beispiel 1.25.** Wir suchen eine Lösung des Variationsproblems

$$\int_0^1 (\dot{x}^2(t) - 1)^2 dt \rightarrow \inf, \quad x(0) = x(1) = 0.$$

Die Lösungen dieser Aufgabe bestehen aus allen “Zick-Zack-Kurven”, die nur die Anstiege  $\pm 1$  besitzen und die Punkte  $(0, 0)$  und  $(1, 0)$  miteinander verbinden. Zwischen den Stellen, in denen der Anstieg das Vorzeichen wechselt, genügen diese geknickten Extremalen der Euler-Lagrangeschen Gleichung.  $\square$

Die nachstehenden Investitionsmodelle sind Seierstad & Sydsæter [66] entnommen:

**Beispiel 1.26.** Es bezeichne  $K(t)$  das Kapital und  $u(t)$  die Investitions- bzw.  $(1 - u(t))$  die Konsumptionsrate zum Zeitpunkt  $t$ . Wir betrachten das lineare Investitionsmodell

$$\begin{aligned} J(K(\cdot), u(\cdot)) &= \int_0^T (1 - u(t)) \cdot K(t) dt \rightarrow \sup, \\ \dot{K}(t) &= u(t) \cdot K(t), \quad K(0) = K_0 > 0, \\ u(t) &\in [0, 1], \quad T > 1 \text{ fest.} \end{aligned}$$

Den Integranden multiplizieren wir mit  $-1$  und gehen zu einem Minimierungsproblem über. Wir erhalten damit in der Aufgabe die Abbildungen

$$f(t, K, u) = -(1 - u) \cdot K, \quad \varphi(t, K, u) = u \cdot K.$$

Nach Bemerkung 1.23 dürfen wir Theorem 1.22 mit  $\lambda_0 = 1$  anwenden. Damit gelten für alle  $u \in [0, 1]$  die Variationsungleichung

$$\langle H_u^S(t, x_*(t), u_*(t), p(t), 1), (u - u_*(t)) \rangle = \langle (p(t) - 1) \cdot K_*(t), u - u_*(t) \rangle \leq 0$$

und  $p(\cdot)$  ist die Lösung der adjungierten Gleichung

$$\dot{p}(t) = -u_*(t) \cdot p(t) - (1 - u_*(t)) = -1 - u_*(t)(p(t) - 1), \quad p(T) = 0.$$

Aus der Variationsungleichung können wir unmittelbar

$$u_*(t) = 0 \text{ für } p(t) < 1 \quad \text{und} \quad u_*(t) = 1 \text{ für } p(t) > 1$$

entnehmen. Für die adjungierte Gleichung folgt damit sofort

$$\dot{p}(t) = \begin{cases} -1, & p(t) < 1 \\ -p(t), & p(t) > 1 \end{cases} = -\max\{1, p(t)\} \leq -1 < 0 \text{ für alle } t \in (0, T).$$

Die Stelle  $\tau_1$  mit  $p(\tau_1) = 1$  ist wegen  $\dot{p}(t) < -1$  und  $p(T) = 0$  eindeutig bestimmt.

Aus formalen Gründen betrachten wir zur Bestimmung von  $\tau_1$  die Funktion  $g$  mit

$$\dot{g}(t) = -1 \text{ und } g(T) = 0 \quad \Rightarrow \quad g(t) = T - t \text{ für } t \leq T.$$

Also gibt es genau eine Lösung  $\tau_1 \in (0, T)$  der Gleichung  $g(t) = 1$  und es gilt  $\tau_1 = T - 1$ .

Da die adjungierte Funktion  $p(\cdot)$  streng monoton fallend ist, folgt für diese

$$p(t) = \begin{cases} -p(t), & t \in (0, T - 1), \\ -1, & t \in (T - 1, T), \end{cases} \quad p(t) = \begin{cases} e^{T-(1+t)}, & t \in [0, T - 1), \\ T - t, & t \in [T - 1, T]. \end{cases}$$

Mit der Steuerung

$$u_*(t) = \begin{cases} 1 & \text{für } t \in [0, T-1), \\ 0 & \text{für } t \in [T-1, T], \end{cases}$$

erhalten wir für das Kapital

$$\dot{K}_*(t) = \begin{cases} K_*(t), & t \in (0, T-1), \\ 0, & t \in (T-1, T), \end{cases} \quad K_*(t) = \begin{cases} K_0 \cdot e^t & t \in [0, T-1), \\ K_0 \cdot e^{T-1} & t \in [T-1, T], \end{cases}$$

und weiterhin für den Wert des Zielfunktional

$$J(K_*(\cdot), u_*(\cdot)) = \int_0^T (1 - u_*(t)) \cdot K_*(t) dt = \int_{T-1}^T K_0 \cdot e^{T-1} dt = K_0 \cdot e^{T-1}.$$

In diesem Beispiel ist die optimale Steuerung  $u_*(\cdot)$  unstetig und nimmt ausschließlich Werte auf dem Rand des Steuerungsbereiches  $U = [0, 1]$  an.  $\square$

**Beispiel 1.27.** Im Gegensatz zum vorherigen linearen Modell wird die Produktion durch die Cobb-Douglas-Funktion  $f(K) = K^\alpha$  mit  $\alpha \in (0, 1)$  angegeben. Damit erhalten wir folgende Aufgabe

$$\begin{aligned} J(K(\cdot), u(\cdot)) &= \int_0^T (1 - u(t)) \cdot K^\alpha(t) dt \rightarrow \sup, \\ \dot{K}(t) &= u(t) \cdot K^\alpha(t), \quad K(0) = K_0 > 0, \\ u(t) &\in [0, 1], \quad \alpha \in (0, 1) \text{ konstant, } \quad T \text{ fest mit } \alpha T - K_0^{1-\alpha} > 0. \end{aligned}$$

Der Term  $K^\alpha$  führt zur Einschränkung  $\gamma < K_0$  bei der Festlegung des Umgebungstreifens  $|x - x_*(t)| < \gamma$  einer zulässigen Zustandstrajektorie. Wir multiplizieren den Integranden mit  $-1$  und wenden Theorem 1.22 mit  $\lambda_0 = 1$  an: Es gelten für alle  $u \in [0, 1]$  die Variationsungleichung

$$\langle H_u^S(t, x_*(t), u_*(t), p(t), 1), (u - u_*(t)) \rangle = \langle (p(t) - 1) \cdot K_*^\alpha(t), u - u_*(t) \rangle \leq 0$$

und  $p(\cdot)$  ist die Lösung der adjungierten Gleichung

$$\dot{p}(t) = -\alpha K_*^{\alpha-1}(t) [1 + u_*(t)(p(t) - 1)], \quad p(T) = 0.$$

Aus der Variationsungleichung ergibt sich unmittelbar

$$u_*(t) = 0 \text{ für } p(t) < 1 \quad \text{und} \quad u_*(t) = 1 \text{ für } p(t) > 1.$$

Für die adjungierte Gleichung folgt weiterhin

$$\dot{p}(t) = \begin{cases} -\alpha K_*^{\alpha-1}(t), & p(t) < 1 \\ -\alpha K_*^{\alpha-1}(t) \cdot p(t), & p(t) > 1 \end{cases} = -\alpha K_*^{\alpha-1}(t) \cdot \max\{1, p(t)\} < 0 \text{ über } (0, T).$$

Die Adjungierte  $p(\cdot)$  ist stetig und streng monoton fallend über  $[0, T]$  mit  $p(T) = 0$ .

Wir zeigen nun die Existenz einer Zahl  $\tau_2 \in (0, T)$  mit  $p(\tau_2) = 1$ . Es sei  $\tau_2 \in [0, T]$  mit

$$\tau_2 = \inf\{t \in [0, T] \mid p(t) < 1\}.$$

Für  $t > \tau_2$  gilt  $u_*(t) = 0$  und es ist  $K_*(t)$  auf  $[\tau_2, T]$  konstant. Es bezeichne  $K = K_*(\tau_2)$  diesen konstanten Wert. Anstelle der Adjungierten  $p(\cdot)$  betrachten wir mit Hilfe der Konstanten  $K$  zunächst die Funktion  $g$  mit

$$\dot{g}(t) = -\alpha K^{\alpha-1}, \quad g(T) = 0, \quad \alpha \in (0, 1), \quad K > 0 \text{ konstant.}$$

Es ergibt sich  $g(t) = \alpha K^{\alpha-1}(T - t)$ . Nun bestimmen wir  $\tau_2$ . Für  $t < \tau_2$  ist  $p(t) > 1$  und damit  $u_*(t) = 1$ . In der Dynamik der Aufgabe sei  $u(t) \equiv 1$ . Es ergibt sich die Funktion  $h(\cdot)$  mit  $\dot{h}(t) = h^\alpha(t)$ ,  $\alpha \in (0, 1)$  und  $h(0) = K_0$ . Wir erhalten nach Trennung der Veränderlichen und anschließender Integration

$$\int_{K_0}^h x^{-\alpha} dx = \int_0^t 1 ds \quad \Rightarrow \quad \frac{1}{1-\alpha} [h^{1-\alpha} - K_0^{1-\alpha}] = t \quad \Rightarrow \quad h(t) = [(1-\alpha)t + K_0^{1-\alpha}]^{\frac{1}{1-\alpha}}.$$

Aus  $K = h(\tau_2)$  und  $g(\tau_2) = 1$  ergibt sich für  $\tau_2$  die Gleichung

$$1 = \underbrace{\alpha K^{\alpha-1}(T - \tau_2)}_{=g(\tau_2)} = \alpha \cdot \underbrace{[(1-\alpha)\tau_2 + K_0^{1-\alpha}]^{\frac{\alpha-1}{1-\alpha}}}_{=h^{\alpha-1}(\tau_2)} \cdot (T - \tau_2) = \frac{\alpha(T - \tau_2)}{(1-\alpha)\tau_2 + K_0^{1-\alpha}}.$$

Aus dieser Gleichung folgt zusammen mit der Annahme  $\alpha T - K_0^{1-\alpha} > 0$  der Zeitpunkt  $\tau_2 = \alpha T - K_0^{1-\alpha} > 0$ .

Wir erhalten als optimalen Steuerungsprozess

$$u_*(t) = \begin{cases} 1 & \text{für } t \in [0, \tau_2), \\ 0 & \text{für } t \in [\tau_2, T], \end{cases} \quad K_*(t) = \begin{cases} [(1-\alpha)t + K_0^{1-\alpha}]^{\frac{1}{1-\alpha}} & t \in [0, \tau_2), \\ [\alpha(1-\alpha)T + \alpha K_0^{1-\alpha}]^{\frac{1}{1-\alpha}} & t \in [\tau_2, T], \end{cases}$$

mit dem Umschaltzeitpunkt

$$\tau_2 = \alpha T - K_0^{1-\alpha}.$$

Die adjungierte Funktion lautet dabei

$$p(t) = \begin{cases} \left[ \frac{\alpha(1-\alpha)T + \alpha K_0^{1-\alpha}}{(1-\alpha)t + K_0^{1-\alpha}} \right]^{\frac{\alpha}{1-\alpha}} & \text{für } t \in [0, \tau_2), \\ \frac{T-t}{(1-\alpha)T + K_0^{1-\alpha}} & \text{für } t \in [\tau_2, T]. \end{cases}$$

Im Beispiel mit Cobb-Douglas-Produktionsfunktion ergibt sich

$$J(x_*(\cdot), u_*(\cdot)) = \alpha^{\frac{\alpha}{1-\alpha}} \cdot [(1-\alpha)T + K_0^{1-\alpha}]^{\frac{1}{1-\alpha}}$$

für den Wert des Zielfunktional. □

### 1.3.3. Der Nachweis der notwendigen Optimalitätsbedingungen

Wir betrachten für  $(x(\cdot), u(\cdot)) \in C([t_0, t_1], \mathbb{R}^n) \times L_\infty([t_0, t_1], \mathbb{R}^m)$  die Abbildungen

$$\begin{aligned} J(x(\cdot), u(\cdot)) &= \int_{t_0}^{t_1} f(t, x(t), u(t)) dt, \\ F(x(\cdot), u(\cdot))(t) &= x(t) - x(t_0) - \int_{t_0}^t \varphi(s, x(s), u(s)) ds, \quad t \in [t_0, t_1], \\ H_i(x(\cdot)) &= h_i(x(t_i)), \quad i = 0, 1. \end{aligned}$$

Da  $x(\cdot)$  zu  $C([t_0, t_1], \mathbb{R}^n)$  gehört, gilt für diese Abbildungen

$$\begin{aligned} J &: C([t_0, t_1], \mathbb{R}^n) \times L_\infty([t_0, t_1], \mathbb{R}^m) \rightarrow \mathbb{R}, \\ F &: C([t_0, t_1], \mathbb{R}^n) \times L_\infty([t_0, t_1], \mathbb{R}^m) \rightarrow C_0([t_0, t_1], \mathbb{R}^n), \\ H_i &: C([t_0, t_1], \mathbb{R}^n) \rightarrow \mathbb{R}^{s_i}, \quad i = 0, 1. \end{aligned}$$

Wir setzen  $\mathcal{F} = (F, H_0, H_1)$  und prüfen für die Extremalaufgabe

$$J(x(\cdot), u(\cdot)) \rightarrow \inf, \quad \mathcal{F}(x(\cdot), u(\cdot)) = 0, \quad u(\cdot) \in L_\infty([t_0, t_1], U) \quad (1.44)$$

im  $(x_*(\cdot), u_*(\cdot)) \in \mathcal{A}_{\text{Lip}}^S$ , wobei wir  $x_*(\cdot)$  als Element des Raumes  $C([t_0, t_1], \mathbb{R}^n)$  auffassen, die Voraussetzungen von Theorem F.3:

(A<sub>1</sub>) Beachten wir für  $x(\cdot) \in C([t_0, t_1], \mathbb{R}^n)$  die Gleichung  $\|x(\cdot)\|_{L_\infty} = \|x(\cdot)\|_\infty$ , so ist  $J$  nach Beispiel B.5 im Punkt  $(x_*(\cdot), u_*(\cdot))$  Fréchet-differenzierbar.

(A<sub>2</sub>) Die Abbildung  $F$  ist die Summe der Abbildung  $x(\cdot) \rightarrow x(t)$  und der Abbildung

$$(x(\cdot), u(\cdot)) \rightarrow - \int_{t_0}^t \varphi(s, x(s), u(s)) ds,$$

deren stetige Fréchet-Differenzierbarkeit im Beispiel B.8 nachgewiesen ist. Für die Abbildungen  $H_i$  ist die stetige Differenzierbarkeit offensichtlich.

(B) Wir setzen  $A(t) = \varphi_x(t, x_*(t), u_*(t))$ . Dann ergibt sich die Surjektivität des Operators  $F_x(x_*(\cdot), u_*(\cdot))$  aus der Aussage, dass für jedes  $y(\cdot) \in C([t_0, t_1], \mathbb{R}^n)$  die Gleichung

$$x(t) - \int_{t_0}^t A(s)x(s) ds = y(t), \quad t \in [t_0, t_1],$$

lösbar ist. Dies besagen Lemma C.4 und Bemerkung C.1. Somit besitzt der Operator  $\mathcal{F}_x(x_*(\cdot), u_*(\cdot))$  eine endliche Kodimension.

Zur Extremalaufgabe (1.44) definieren wir auf

$$C([t_0, t_1], \mathbb{R}^n) \times L_\infty([t_0, t_1], \mathbb{R}^m) \times \mathbb{R} \times C_0^*([t_0, t_1], \mathbb{R}^n) \times \mathbb{R}^{s_0} \times \mathbb{R}^{s_1}$$

die Lagrange-Funktion  $\mathcal{L} = \mathcal{L}(x(\cdot), u(\cdot), \lambda_0, y^*, l_0, l_1)$ ,

$$\mathcal{L} = \lambda_0 J(x(\cdot), u(\cdot)) + \langle y^*, F(x(\cdot), u(\cdot)) \rangle + l_0^T H_0(x(\cdot)) + l_1^T H_1(x(\cdot)).$$

Ist  $(x_*(\cdot), u_*(\cdot))$  eine schwache lokale Minimalstelle der Aufgabe (1.44), dann existieren nach Theorem F.3 nicht gleichzeitig verschwindende Lagrangesche Multiplikatoren  $\lambda_0 \geq 0$ ,  $y^* \in C_0^*([t_0, t_1], \mathbb{R}^n)$  und  $l_i \in \mathbb{R}^{s_i}$  derart, dass gelten:

(a) Die Lagrange-Funktion besitzt bezüglich  $x(\cdot)$  in  $x_*(\cdot)$  einen stationären Punkt, d. h.

$$\mathcal{L}_x(x_*(\cdot), u_*(\cdot), \lambda_0, y^*, l_0, l_1) = 0; \quad (1.45)$$

(b) Die Lagrange-Funktion erfüllt bezüglich  $u(\cdot)$  in  $u_*(\cdot)$  die Variationsungleichung

$$\langle \mathcal{L}_u(x_*(\cdot), u_*(\cdot), \lambda_0, y^*, l_0, l_1), u(\cdot) - u_*(\cdot) \rangle \geq 0 \quad (1.46)$$

für alle  $u(\cdot) \in L_\infty([t_0, t_1], U)$ .

Zu  $y^* \in C_0^*([t_0, t_1], \mathbb{R}^n)$  gibt es ein eindeutig bestimmtes reguläres Borelsches Vektormass  $\mu$  derart, dass nach (1.45) für alle  $x(\cdot) \in C([t_0, t_1], \mathbb{R}^n)$  die Variationsgleichung

$$\begin{aligned} 0 &= \lambda_0 \int_{t_0}^{t_1} \langle f_x(t, x_*(t), u_*(t)), x(t) \rangle dt + \langle l_0, h'_0(x_*(t_0))x(t_0) \rangle + \langle l_1, h'_1(x_*(t_1))x(t_1) \rangle \\ &+ \int_{t_0}^{t_1} \left[ x(t) - x(t_0) - \int_{t_0}^t \varphi_x(s, x_*(s), u_*(s))x(s) ds \right]^T d\mu(t) \end{aligned} \quad (1.47)$$

erfüllt ist. Der Kürze halber seien  $a(t) = f_x(t, x_*(t), u_*(t))$  und  $A(t) = \varphi_x(t, x_*(t), u_*(t))$ . Durch vertauschen der Integrationsreihenfolge,

$$\int_{t_0}^{t_1} \left[ \int_{t_0}^t A(s)x(s) ds \right]^T d\mu(t) = \int_{t_0}^{t_1} \left[ \int_t^{t_1} d\mu(s) \right]^T [A(t)x(t)] dt,$$

bringen wir (1.47) in die Gestalt

$$\begin{aligned} 0 &= \int_{t_0}^{t_1} \langle \lambda_0 a(t) - A^T(t) \int_t^{t_1} d\mu(s), x(t) \rangle dt + \int_{t_0}^{t_1} [x(t)]^T d\mu(t) \\ &+ \langle h_0'^T(x_*(t_0))l_0 - \int_{t_0}^{t_1} d\mu(t), x(t_0) \rangle + \langle h_1'^T(x_*(t_1))l_1, x(t_1) \rangle. \end{aligned} \quad (1.48)$$

Setzen wir  $p(t) = \int_t^{t_1} d\mu(s)$  in (1.48), so folgen wegen der eindeutigen Darstellung eines stetigen linearen Funktionals im Raum  $C([t_0, t_1], \mathbb{R}^n)$

$$\begin{aligned} p(t) &= -h_1'^T(x_*(t_1))l_1 + \int_t^{t_1} \left( \varphi_x^T(s, x_*(s), u_*(s))p(s) - \lambda_0 f_x(s, x_*(s), u_*(s)) \right) ds, \\ p(t_0) &= h_0'^T(x_*(t_0))l_0, \quad p(t_1) = -h_1'^T(x_*(t_1))l_1. \end{aligned}$$

Die Vektorfunktion  $p(\cdot)$  ist der Setzung nach über  $[t_0, t_1]$  messbar, beschränkt und besitzt die verallgemeinerte Ableitung

$$\dot{p}(t) = -\varphi_x^T(t, x_*(t), u_*(t))p(t) + \lambda_0 f_x(t, x_*(t), u_*(t)) = -H_x^S(t, x_*(t), u_*(t), p(t), \lambda_0).$$

Wegen der wesentlichen Beschränktheit der Abbildungen

$$t \rightarrow f_x(t, x_*(t), u_*(t)), \quad t \rightarrow \varphi_x(t, x_*(t), u_*(t))$$

gehört  $\dot{p}(\cdot)$  dem Raum  $L_\infty([t_0, t_1], \mathbb{R}^n)$  an. Damit sind (1.41) und (1.42) gezeigt.

Gemäß (1.46) gilt für alle  $u(\cdot) \in L_\infty([t_0, t_1], U)$  die Ungleichung

$$\int_{t_0}^{t_1} \langle H_u^S(t, x_*(t), u_*(t), p(t), \lambda_0), u(t) - u_*(t) \rangle dt \leq 0.$$

Es seien  $u \in U$ ,  $\lambda > 0$  und  $\tau \in (t_0, t_1)$  ein Lebesguescher Punkt der Abbildungen  $t \rightarrow u_*(t)$  und  $t \rightarrow H_u^S(t, x_*(t), u_*(t), p(t), \lambda_0)$ . Wir setzen für  $0 < \lambda < t_1 - \tau$

$$u_\lambda(t) = \begin{cases} u, & t \in [\tau, \tau + \lambda], \\ u_*(t), & t \notin [\tau, \tau + \lambda]. \end{cases}$$

Dann gilt  $u_\lambda(\cdot) \in L_\infty(\mathbb{R}_+, U)$ . Wir erhalten damit

$$\begin{aligned} & \frac{1}{\lambda} \int_{t_0}^{t_1} \langle H_u^S(t, x_*(t), u_*(t), p(t), \lambda_0), u_\lambda(t) - u_*(t) \rangle dt \\ &= \frac{1}{\lambda} \int_\tau^{\tau+\lambda} \langle H_u^S(t, x_*(t), u_*(t), p(t), \lambda_0), (u - u_*(t)) \rangle dt \leq 0. \end{aligned}$$

Da  $\tau \in [t_0, t_1)$  ein beliebiger Lebesguescher Punkt ist, folgt daraus für fast alle  $t \in [t_0, t_1]$ :

$$\langle H_u^S(t, x_*(t), u_*(t), p(t), \lambda_0), (u - u_*(t)) \rangle \leq 0.$$

Ferner, weil  $u \in U$  willkürlich gewählt war, gilt diese Ungleichung für alle  $u \in U$ . Damit ist (1.43) gezeigt und der Beweis von Theorem 1.22 ist abgeschlossen. ■

### 1.3.4. Hinreichende Bedingungen nach Mangasarian

Die Darstellung der hinreichenden Bedingungen nach Mangasarian [53] für das folgende Steuerungsproblem ist Seierstad & Sydsæter [66] entnommen:

$$J(x(\cdot), u(\cdot)) = \int_{t_0}^{t_1} f(t, x(t), u(t)) dt \rightarrow \inf, \quad (1.49)$$

$$\dot{x}(t) = \varphi(t, x(t), u(t)), \quad (1.50)$$

$$x(t_0) = x_0, \quad x(t_1) = x_1, \quad (1.51)$$

$$u(t) \in U \subseteq \mathbb{R}^m, \quad U \neq \emptyset, \quad U \text{ konvex.} \quad (1.52)$$

Wir schließen in der Aufgabenstellung nicht aus, dass durch die Randbedingungen (1.51) gewisse Komponenten der Punkte  $x_0$  und  $x_1$  nicht eingeschränkt werden. Genauer formuliert sind folgende Varianten von Randbedingungen enthalten:

- (1) freie Randwerte, falls  $x(t_0)$  und  $x(t_1)$  ohne Einschränkung sind;
- (2) feste Randwerte, falls  $x(t_0) = x_0$  und  $x(t_1) = x_1$  mit gegebenen  $x_0, x_1 \in \mathbb{R}^n$  gelten;
- (3) gemischt freie und feste Randwerte, falls die einzelnen Komponenten von  $x(t_0)$  und  $x(t_1)$  mit festen bzw. freien Randwerten vorliegen.

Ferner setzen wir  $U_\gamma(t) = \{(x, u) \in \mathbb{R}^n \times \mathbb{R}^m \mid \|x - x_*(t)\| < \gamma, \|u - u_*(t)\| < \gamma\}$ .

**Theorem 1.28.** Sei  $(x_*(\cdot), u_*(\cdot)) \in \mathcal{A}_{\text{Lip}}^S \cap \mathcal{A}_{\text{adm}}^S$ . Ferner gelte:

(a) Das Tripel  $(x_*(\cdot), u_*(\cdot), p(\cdot))$  erfüllt (1.41)–(1.43) in Theorem 1.22 mit  $\lambda_0 = 1$ .

(b) Für jedes  $t \in [t_0, t_1]$  ist  $H^S(t, x, u, p(t), 1)$  konkav bezüglich  $(x, u)$  auf  $U_\gamma(t)$ .

Dann ist  $(x_*(\cdot), u_*(\cdot))$  ein schwaches lokales Minimum der Aufgabe (1.49)–(1.52).

**Beweis** Es sei  $(x(\cdot), u(\cdot)) \in \mathcal{A}_{\text{adm}}^S$  mit  $\|x(\cdot) - x_*(\cdot)\|_\infty < \gamma$ ,  $\|u(\cdot) - u_*(\cdot)\|_{L^\infty} < \gamma$ . Wir betrachten die Differenz

$$\begin{aligned} \Delta &= \int_{t_0}^{t_1} [f(t, x(t), u(t)) - f(t, x_*(t), u_*(t))] dt \\ &= \int_{t_0}^{t_1} [H^S(t, x_*(t), u_*(t), p(t), 1) - H^S(t, x(t), u(t), p(t), 1)] dt \\ &\quad + \int_{t_0}^{t_1} \langle p(t), \dot{x}(t) - \dot{x}_*(t) \rangle dt. \end{aligned}$$

Aus den elementaren Eigenschaften konkaver Funktionen folgt

$$\begin{aligned} &H^S(t, x_*(t), u_*(t), p(t), 1) - H^S(t, x(t), u(t), p(t), 1) \\ &\geq -\langle H_x^S(t, x_*(t), u_*(t), p(t), 1), x(t) - x_*(t) \rangle \\ &\quad -\langle H_u^S(t, x_*(t), u_*(t), p(t), 1), u(t) - u_*(t) \rangle. \end{aligned}$$

Mit der adjungierten Gleichung (1.41) und der Ungleichung (1.43) ergibt sich daraus

$$H^S(t, x_*(t), u_*(t), p(t), 1) - H^S(t, x(t), u(t), p(t), 1) \geq \langle \dot{p}(t), x(t) - x_*(t) \rangle.$$

Somit gilt die Beziehung

$$\begin{aligned} \Delta &\geq \int_{t_0}^{t_1} [\langle \dot{p}(t), x(t) - x_*(t) \rangle + \langle p(t), \dot{x}(t) - \dot{x}_*(t) \rangle] dt \\ &= \langle p(t_1), x(t_1) - x_*(t_1) \rangle - \langle p(t_0), x(t_0) - x_*(t_0) \rangle. \end{aligned}$$

Im Fall fester Endbedingungen verschwinden die Differenzen  $x(t_i) - x_*(t_i)$ . Sind jedoch gewisse Komponenten im Anfangs- oder Endpunkt  $x_0$  bzw.  $x_1$  frei, dann liefern die Transversalitätsbedingungen, dass die entsprechenden Komponenten der Adjungierten  $p(\cdot)$  zum Zeitpunkt  $t_0$  bzw.  $t_1$  verschwinden. Daher folgt die Beziehung  $\Delta \geq 0$  für alle zulässigen  $(x(\cdot), u(\cdot))$  mit  $\|x(\cdot) - x_*(\cdot)\|_\infty < \gamma$  und  $\|u(\cdot) - u_*(\cdot)\|_{L_\infty} < \gamma$ . ■

**Beispiel 1.29.** Das Beispiel 1.6 überführen wir in die Form

$$\begin{aligned} J(x(\cdot), u(\cdot)) &= \int_0^T [(x(t) - 1)^2 + u^2(t)] dt \rightarrow \inf, \\ \dot{x}(t) &= u(t), \quad x(0) = 0, \quad x(T) = 2, \quad u(t) \in \mathbb{R}, \quad T > 0. \end{aligned}$$

Wir bilden die zugehörige Pontrjagin-Funktion:  $H^S(t, x, u, p, 1) = pu - (x - 1)^2 - u^2$ . Sie ist offenbar streng konkav in  $(x, u)$ . Daher liefert die Extremale

$$x_*(t) = 1 + \frac{1 + e^{-T}}{e^T - e^{-T}} e^t - \frac{1 + e^T}{e^T - e^{-T}} e^{-t}$$

ein schwaches lokales Minimum. □

**Beispiel 1.30.** Im einfachen Vorsorgemodell 1.19 mit konkaver Nutzenfunktion  $U$ ,

$$\begin{aligned} J(K(\cdot), C(\cdot)) &= \int_0^T e^{-\rho t} U(C(t)) dt \rightarrow \sup, \\ \dot{K}(t) &= rK(t) + W(t) - C(t), \quad K(0) = K_0, \quad K(T) = K_T, \quad C(t) \in \mathbb{R}, \end{aligned}$$

wird die optimale Konsumption  $C_*(\cdot)$  durch die Bedingung  $U'(C_*(t)) = l_0 e^{(\rho-r)t}$  vorgeschlagen. Die Pontrjagin-Funktion  $H^S(t, K, C, p, 1) = p(rK + W(t) - C) + e^{-\rho t} U(C)$  konkav in  $(K, C)$ . Daher ist der eindeutig bestimmte Steuerungsprozess  $(K_*(\cdot), C_*(\cdot))$ , der die Bedingungen

$$U'(C_*(t)) = l_0 e^{(\rho-r)t}$$

und

$$\dot{K}_*(t) = rK_*(t) + W(t) - C_*(t), \quad K_*(0) = K_0, \quad K_*(T) = K_T,$$

erfüllt, ein schwaches lokales Maximum. □

### 1.3.5. Freier Anfangs- und Endzeitpunkt

Wir betrachten in diesem Abschnitt die Aufgabe mit freiem Anfangs- und Endzeitpunkt. Im Gegensatz zur Aufgabe (1.36)–(1.39) bedeutet dies, dass die Abbildungen  $h_0$  bzw.  $h_1$ , die die Start- und Zielmannigfaltigkeiten definieren, zeitabhängig sind:

$$h_i(t_i, x_i) : \mathbb{R} \times \mathbb{R}^n \rightarrow \mathbb{R}^{s_i}, \quad i = 0, 1.$$

Zur Behandlung dieser Aufgaben gehen wir analog zu Ioffe & Tichomirov [48] vor und überführen das Problem mit freiem Anfangs- und Endzeitpunkt mittels einer Substitution der Zeit in eine Aufgabe auf festem Zeitintervall.

Wir untersuchen nun die Aufgabe mit freiem Anfangs- und Endzeitpunkt:

$$J(x(\cdot), u(\cdot)) = \int_{t_0}^{t_1} f(t, x(t), u(t)) dt \rightarrow \inf, \quad (1.53)$$

$$\dot{x}(t) = \varphi(t, x(t), u(t)), \quad (1.54)$$

$$h_0(t_0, x(t_0)) = 0, \quad h_1(t_1, x(t_1)) = 0, \quad (1.55)$$

$$u(t) \in U \subseteq \mathbb{R}^m, \quad U \neq \emptyset, \quad U \text{ konvex.} \quad (1.56)$$

Die Aufgabe (1.53)–(1.56) betrachten wir für Tripel  $([t_0, t_1], x(\cdot), u(\cdot))$  mit

$$[t_0, t_1] \subset \mathbb{R}, \quad x(\cdot) \in W_\infty^1([t_0, t_1], \mathbb{R}^n), \quad u(\cdot) \in L_\infty([t_0, t_1], U).$$

Zur Menge  $\mathcal{A}_{\text{Lip}}^{\mathcal{F}}$  gehören diejenigen Tripel  $([t_0, t_1], x(\cdot), u(\cdot))$ , für die es eine Zahl  $\gamma > 0$  derart gibt, dass die Abbildungen  $f(t, x, u)$ ,  $\varphi(t, x, u)$  und  $h_i(\tau_i, x_i)$  auf der Menge aller Punkte  $(t, \tau_0, \tau_1, x, x_0, x_1, u) \in \mathbb{R} \times \mathbb{R} \times \mathbb{R} \times \mathbb{R}^n \times \mathbb{R}^n \times \mathbb{R}^n \times \mathbb{R}^m$  mit

$$\begin{aligned} t_0 - \gamma < t < t_1 + \gamma, \quad t_0 - \gamma < \tau_0 < t_0 + \gamma, \quad t_1 - \gamma < \tau_1 < t_1 + \gamma, \\ \|x - x(t)\| < \gamma, \quad \|x_0 - x(t_0)\| < \gamma, \quad \|x_1 - x(t_1)\| < \gamma, \quad u \in \mathbb{R}^m \end{aligned}$$

stetig und stetig differenzierbar in allen Variablen sind. (Zur unmissverständlichen Angabe der Punktmenge treten  $\tau_0, \tau_1$  in  $h_i$  anstelle der Zeitvariablen  $t_0, t_1$  auf.)

In der Aufgabe (1.53)–(1.56) nennen wir ein Tripel  $([t_0, t_1], x(\cdot), u(\cdot))$  mit  $[t_0, t_1] \subset \mathbb{R}$ ,  $x(\cdot) \in W_\infty^1([t_0, t_1], \mathbb{R}^n)$  und  $u(\cdot) \in L_\infty([t_0, t_1], U)$  einen Steuerungsprozess. Ein Steuerungsprozess heißt in der Aufgabe (1.53)–(1.56) zulässig, wenn auf dem Intervall  $[t_0, t_1]$  die Funktion  $x(\cdot)$  fast überall der Gleichung (1.54) genügt und die Randbedingungen (1.55) erfüllt. Die Menge  $\mathcal{A}_{\text{adm}}^{\mathcal{F}}$  bezeichnet die Menge der zulässigen Steuerungsprozesse.

Einen zulässigen Steuerungsprozess  $([t_{0*}, t_{1*}], x_*(\cdot), u_*(\cdot))$  nennen wir ein schwaches lokales Minimum, wenn eine Zahl  $\varepsilon > 0$  derart existiert, dass für jeden anderen zulässigen Steuerungsprozess  $([t_0, t_1], x(\cdot), u(\cdot))$  mit  $|t_0 - t_{0*}| < \varepsilon$ ,  $|t_1 - t_{1*}| < \varepsilon$  und

$$\max_{t \in I} \|x(t) - x_*(t)\| < \varepsilon, \quad \text{ess sup}_{t \in I} \|u(t) - u_*(t)\| < \varepsilon, \quad I = [t_{0*}, t_{1*}] \cap [t_0, t_1]$$

die Ungleichung  $J(x(\cdot), u(\cdot)) \geq J(x_*(\cdot), u_*(\cdot))$  erfüllt ist.

Wir werden nun zeigen, wie man mit Hilfe des Theorems 1.22 für Aufgaben mit fester Zeit unter Verwendung der Substitution der Zeit die notwendigen Optimalitätsbedingungen für die Aufgabe mit freiem Anfangs- und Endzeitpunkt erhält:

Es sei  $([t_{0*}, t_{1*}], x_*(\cdot), u_*(\cdot))$  ein schwaches lokales Minimum der Aufgabe (1.53)–(1.56). Wir führen eine neue unabhängige Veränderliche  $s$  ein, die das Intervall  $[0, 1]$  durchläuft, und betrachten folgendes Differentialgleichungssystem:

$$t'(s) = v(s), \quad y'(s) = v(s) \cdot \varphi(t(s), y(s), w(s)). \quad (1.57)$$

Es sei  $v(s) > 0$  für alle  $s \in [0, 1]$ . Ist  $(t(\cdot), y(\cdot))$  eine Lösung dieses Systems, die der Steuerung  $(v(\cdot), w(\cdot))$  entspricht, so ist  $s \rightarrow t(s)$  eine streng wachsende stetige Funktion. Die zu ihr inverse Funktion  $t \rightarrow s(t)$  ist ebenfalls stetig und streng wachsend. In diesem Fall ist  $x(\cdot)$  mit  $x(t) = y(s(t))$  für  $t \in [t(0), t(1)]$  Lösung der Gleichung (1.54) zur Steuerung  $u(\cdot)$  mit  $u(t) = w(s(t))$  für  $t \in [t(0), t(1)]$ , wobei

$$\int_{t(0)}^{t(1)} f(t, x(t), u(t)) dt = \int_0^1 v(s) \cdot f(t(s), y(s), w(s)) ds \quad (1.58)$$

gilt. Weil  $v(\cdot)$  auf  $[0, 1]$  stets positiv ist, sind diese Behauptungen klar.

Ist umgekehrt  $x(\cdot)$  eine auf dem Intervall  $[t_0, t_1]$  definierte Lösung der Gleichung (1.54), die der Steuerung  $u(\cdot)$  entspricht, so ist  $(t(\cdot), y(\cdot))$  mit  $t(s) = t_0 + (t_1 - t_0)s$ ,  $y(s) = x(t(s))$  eine Lösung des Systems (1.57), die den Steuerungen  $(v(\cdot), w(\cdot))$  mit  $v(s) \equiv t_1 - t_0$ ,  $w(s) = u(t(s))$  zugeordnet ist. Dabei gilt die Beziehung (1.58).

Somit ist  $(t_*(\cdot), y_*(\cdot), w_*(\cdot), v_*(\cdot))$  mit

$$\begin{aligned} t_*(s) &= t_{0*} + (t_{1*} - t_{0*})s, & y_*(s) &= x_*(t_*(s)), \\ v_*(s) &\equiv v_* = t_{1*} - t_{0*}, & w_*(s) &= u_*(t_*(s)), \end{aligned}$$

für  $s \in [0, 1]$ , ein schwaches lokales Minimum der Aufgabe:

$$\int_0^1 v \cdot f(t(s), y(s), w(s)) ds \rightarrow \inf, \quad (1.59)$$

$$t'(s) = v, \quad y'(s) = v \cdot \varphi(t(s), y(s), w(s)), \quad (1.60)$$

$$h_0(t(0), y(0)) = 0, \quad h_1(t(1), y(1)) = 0, \quad (1.61)$$

$$v > 0, \quad w(s) \in U, \quad U \neq \emptyset, \quad U \text{ konvex.} \quad (1.62)$$

Dies ist bereits eine Aufgabe mit fester Zeit, auf die wir Theorem 1.22 anwenden können. Als Zustände agieren  $t(\cdot) \in W_\infty^1([0, 1], \mathbb{R})$  und  $y(\cdot) \in W_\infty^1([0, 1], \mathbb{R}^n)$ . Die Steuerungen werden durch  $w(\cdot) \in L_\infty([0, 1], U)$  und  $v > 0$  widergegeben.

Die Pontrjaginsche Funktion der Aufgabe (1.59)–(1.62) lautet

$$\begin{aligned}\tilde{H}(t, x, u, v, p, q, \lambda_0) &= \langle p, v \cdot \varphi(t, x, u) \rangle + qv - \lambda_0 v \cdot f(t, x, u) \\ &= v \cdot [H^S(t, x, u, p, \lambda_0) + q],\end{aligned}\quad (1.63)$$

wobei  $H^S(t, x, u, p, \lambda_0) = \langle p, \varphi(t, x, u) \rangle - \lambda_0 f(t, x, u)$  die Pontrjagin-Funktion zu der Aufgabe (1.53)–(1.56) ist. Dann existieren nach Theorem 1.22 nicht gleichzeitig verschwindende Multiplikatoren  $\lambda_0 \geq 0$ ,  $l_0 \in \mathbb{R}^{s_0}$ ,  $l_1 \in \mathbb{R}^{s_1}$ ,  $\tilde{p}(\cdot) \in W_\infty^1([0, 1], \mathbb{R}^n)$  und  $\tilde{q}(\cdot) \in W_\infty^1([0, 1], \mathbb{R})$  derart, dass die Beziehungen

$$\begin{aligned}\tilde{p}'(s) &= -\tilde{H}_x(t_*(s), y_*(s), w_*(s), v_*, \tilde{p}(s), \tilde{q}(s), \lambda_0), \\ \tilde{p}(0) &= h_{0, x_0}^T(t_*(0), y_*(0))l_0, \quad \tilde{p}(1) = -h_{1, x_1}^T(t_*(1), y_*(1))l_1\end{aligned}$$

und

$$\begin{aligned}\tilde{q}'(s) &= -\tilde{H}_t(t_*(s), y_*(s), w_*(s), v_*, \tilde{p}(s), \tilde{q}(s), \lambda_0), \\ \tilde{q}(0) &= \langle h_{0, t_0}(t_*(0), y_*(0)), l_0 \rangle, \quad \tilde{q}(1) = -\langle h_{1, t_1}(t_*(1), y_*(1)), l_1 \rangle\end{aligned}$$

gelten. Weiterhin sind die Variationsungleichungen

$$\begin{aligned}\langle \tilde{H}_u(t_*(s), y_*(s), w_*(s), v_*, \tilde{p}(s), \tilde{q}(s), \lambda_0), (w - w_*(s)) \rangle &\leq 0, \\ \langle \tilde{H}_v(t_*(s), y_*(s), w_*(s), v_*, \tilde{p}(s), \tilde{q}(s), \lambda_0), (v - v_*) \rangle &\leq 0\end{aligned}$$

für alle  $v > 0$ ,  $w \in U$  und für fast alle  $s \in [0, 1]$  erfüllt.

Es sei  $s_*(\cdot)$  die zu  $t_*(\cdot)$  inverse Funktion, d. h.

$$s_*(t) = \frac{t - t_{0*}}{t_{1*} - t_{0*}}, \quad t \in [t_{0*}, t_{1*}].$$

Wir führen die Bezeichnungen

$$p(t) = \tilde{p}(s_*(t)), \quad q(t) = \tilde{q}(s_*(t))$$

ein. So lassen sich die obigen Beziehungen unter Berücksichtigung von (1.63) auf folgende Form bringen:

$$\begin{aligned}\dot{p}(t) &= -H_x^S(t, x_*(t), u_*(t), p(t), \lambda_0), \\ p(t_{0*}) &= h_{0, x_0}^T(t_{0*}, x_*(t_{0*}))l_0, \quad p(t_{1*}) = -h_{1, x_1}^T(t_{1*}, x_*(t_{1*}))l_1, \\ \dot{q}(t) &= -H_t^S(t, x_*(t), u_*(t), p(t), \lambda_0),\end{aligned}\quad (1.64)$$

$$q(t_{0*}) = \langle h_{0, t_0}(t_{0*}, x_*(t_{0*})), l_0 \rangle, \quad q(t_{1*}) = -\langle h_{1, t_1}(t_{1*}, x_*(t_{1*})), l_1 \rangle \quad (1.65)$$

und wir erhalten die Variationsungleichungen

$$\begin{aligned}v_* \cdot \langle H_u^S(t, x_*(t), u_*(t), p(t), \lambda_0), (u - u_*(t)) \rangle &\leq 0, \\ \langle H^S(t, x_*(t), u_*(t), p(t), \lambda_0) + q(t), (v - v_*) \rangle &\leq 0.\end{aligned}$$

Wegen  $0 < v_* < \infty$  folgen daraus für alle  $u \in U$  die Variationsungleichung

$$\langle H_u^S(t, x_*(t), u_*(t), p(t), \lambda_0), (u - u_*(t)) \rangle \leq 0$$

und die Beziehung

$$H^S(t, x_*(t), u_*(t), p(t), \lambda_0) = -q(t).$$

Durch Vergleich mit (1.64) und (1.65) erhalten wir weiter

$$\begin{aligned} \frac{d}{dt} H^S(t, x_*(t), u_*(t), p(t), \lambda_0) &= H_t^S(t, x_*(t), u_*(t), p(t), \lambda_0), \\ H^S(t_{0*}, x_*(t_{0*}), u_*(t_{0*}), p(t_{0*}), \lambda_0) &= -\langle h_{0,t_0}(t_{0*}, x_*(t_{0*})), l_0 \rangle, \\ H^S(t_{1*}, x_*(t_{1*}), u_*(t_{1*}), p(t_{1*}), \lambda_0) &= \langle h_{1,t_1}(t_{1*}, x_*(t_{1*})), l_1 \rangle. \end{aligned}$$

Wir fassen alle Bedingungen zusammen und formulieren das Schwache Optimalitätsprinzip für die Aufgabe mit freiem Anfangs- und Endzeitpunkt:

**Theorem 1.31.** *In der Aufgabe (1.53)–(1.56) sei  $([t_{0*}, t_{1*}], x_*(\cdot), u_*(\cdot)) \in \mathcal{A}_{\text{adm}}^{\mathcal{F}} \cap \mathcal{A}_{\text{Lip}}^{\mathcal{F}}$ . Ist  $([t_{0*}, t_{1*}], x_*(\cdot), u_*(\cdot))$  ein schwaches lokales Minimum der Aufgabe (1.53)–(1.56), dann existieren nicht gleichzeitig verschwindende Multiplikatoren  $\lambda_0 \geq 0$ ,  $l_0 \in \mathbb{R}^{s_0}$ ,  $l_1 \in \mathbb{R}^{s_1}$  und  $p(\cdot) \in W_{\infty}^1([t_{0*}, t_{1*}], \mathbb{R}^n)$  derart, dass*

(a) für fast alle  $t \in [t_{0*}, t_{1*}]$  die adjungierte Gleichung

$$\dot{p}(t) = -H_x^S(t, x_*(t), u_*(t), p(t), \lambda_0), \quad (1.66)$$

(b) die Transversalitätsbedingungen

$$p(t_{0*}) = h_{0,x_0}^T(t_{0*}, x_*(t_{0*}))l_0, \quad p(t_{1*}) = -h_{1,x_1}^T(t_{1*}, x_*(t_{1*}))l_1, \quad (1.67)$$

(c) in fast allen Punkten  $t \in [t_{0*}, t_{1*}]$  für alle  $u \in U$  die Variationsungleichung

$$\langle H_u^S(t, x_*(t), u_*(t), p(t), \lambda_0), (u - u_*(t)) \rangle \leq 0 \quad (1.68)$$

(d) und für die Funktion  $t \rightarrow H^S(t, x_*(t), u_*(t), p(t), \lambda_0)$  die Bedingungen

$$\frac{d}{dt} H^S(t, x_*(t), u_*(t), p(t), \lambda_0) = H_t^S(t, x_*(t), u_*(t), p(t), \lambda_0), \quad (1.69)$$

$$\sup_{u \in U} H^S(t_{0*}, x_*(t_{0*}), u, p(t_{0*}), \lambda_0) = -\langle h_{0,t_0}(t_{0*}, x_*(t_{0*})), l_0 \rangle, \quad (1.70)$$

$$\sup_{u \in U} H^S(t_{1*}, x_*(t_{1*}), u, p(t_{1*}), \lambda_0) = \langle h_{1,t_1}(t_{1*}, x_*(t_{1*})), l_1 \rangle \quad (1.71)$$

erfüllt sind.

**Beispiel 1.32.** Wir betrachten die Aufgabe einer zeitminimalen Bewegung eines Massenpunktes entlang einer horizontalen Geraden bei vernachlässigter Reibung ([26], S. 75–77):

$$\begin{aligned}
 J(s(\cdot), v(\cdot), a(\cdot)) &= \int_0^T 1 \, dt \rightarrow \inf, \\
 \dot{s}(t) &= v(t), \quad \dot{v}(t) = a(t), \\
 s(0) &= 0, \quad s(T) = s_T > 0, \quad v(0) = v(T) = 0, \quad a(t) \in [-1, 1].
 \end{aligned}$$

Darin bezeichnen  $s = s(t)$  den Ort,  $v = v(t)$  die Geschwindigkeit und  $a = a(t)$  die Beschleunigung zum Zeitpunkt  $t$ . Der Steuerungsparameter wird durch ausgeübte Beschleunigung gegeben. Die Zustandsgrößen sind der Ort und die Geschwindigkeit.

Für diese Aufgabe lautet die Pontrjagin-Funktion

$$H^S(t, s, v, a, p_1, p_2, \lambda_0) = p_1 v + p_2 a - \lambda_0.$$

Die notwendigen Bedingungen in Theorem 1.31 liefern für die Adjungierten

$$\begin{aligned}
 \dot{p}_1(t) &\equiv 0 &\Rightarrow & p_1(t) \equiv \pi_1 \in \mathbb{R}, \\
 \dot{p}_2(t) &= -p_1(t) = -\pi_1 &\Rightarrow & p_2(t) = \pi_2 - \pi_1 t, \quad \pi_2 \in \mathbb{R}.
 \end{aligned}$$

Außerdem erhalten wir aus der Maximumbedingung

$$a_*(t) = -1 \quad \text{für } p_2(t) < 0, \quad a_*(t) = 1 \quad \text{für } p_2(t) > 0.$$

Da der Massenpunkt aus einer Ruhelage zeitoptimal in eine andere Ruhelage überführt wird, folgt aus der Darstellung von  $p_2(\cdot)$  ein Vorzeichenwechsel zum Zeitpunkt  $\tau = T_*/2$ . Weiterhin liegt eine autonome Aufgabe vor und es ergibt sich

$$H^S(t, s_*(t), v_*(t), a_*(t), p_1(t), p_2(t), \lambda_0) \equiv 0.$$

Daraus ergibt sich, dass der anormale Fall  $\lambda_0 = 0$  ausgeschlossen werden kann. Zusammenfassend liefern die notwendigen Bedingungen

$$\lambda_0 = 1, \quad \pi_1 = \frac{2}{T_*}, \quad \pi_2 = 1.$$

Die Bewegung des Massenpunktes besitzt damit die Darstellung

$$\begin{aligned}
 a_*(t) &= \begin{cases} 1, & t \in [0, \tau), \\ -1, & t \in [\tau, T_*], \end{cases} \\
 v_*(t) &= \begin{cases} t, & t \in [0, \tau), \\ T_* - t, & t \in [\tau, T_*], \end{cases} \\
 s_*(t) &= \begin{cases} \frac{1}{2}t^2, & t \in [0, \tau), \\ \tau^2 - \frac{1}{2}(T_* - t)^2, & t \in [\tau, T_*]. \end{cases}
 \end{aligned}$$

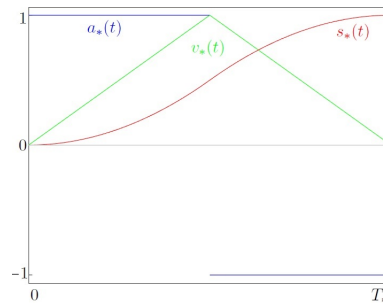


Abbildung 6: Bewegung für  $s(T) = 1$ .

Abschließend erhalten wir aus  $s_*(T_*) = s_T$  unmittelbar  $T_* = 2\sqrt{s_T}$ . □

### 1.3.6. Ein Schwaches Optimalitätsprinzip unter Zustandsbeschränkungen

**Theorem 1.33.** *Es sei  $(x_*(\cdot), u_*(\cdot)) \in \mathcal{A}_{\text{adm}}^S \cap \mathcal{A}_{\text{Lip}}^S$ . Ist  $(x_*(\cdot), u_*(\cdot))$  ein schwaches lokales Minimum der Aufgabe (1.36)–(1.40), dann existieren eine Zahl  $\lambda_0 \geq 0$ , eine Vektorfunktion  $p(\cdot) : [t_0, t_1] \rightarrow \mathbb{R}^n$ , Vektoren  $l_0 \in \mathbb{R}^{s_0}$ ,  $l_1 \in \mathbb{R}^{s_1}$  und auf den Mengen*

$$T_j = \{t \in [t_0, t_1] \mid g_j(t, x_*(t)) = 0\}, \quad j = 1, \dots, l,$$

*konzentrierte nichtnegative reguläre Borelsche Maße  $\mu_j$  endlicher Totalvariation (wobei sämtliche Größen nicht gleichzeitig verschwinden) derart, dass die Vektorfunktion  $p(\cdot)$  von beschränkter Variation und rechtsseitig stetig ist, und*

(a) *die adjungierte Gleichung*

$$\begin{aligned} p(t) = & -h_1'^T(x_*(t_1))l_1 + \int_t^{t_1} H_x^S(s, x_*(s), u_*(s), p(s), \lambda_0) ds \\ & - \sum_{j=1}^l \int_t^{t_1} g_{j,x}(s, x_*(s)) d\mu_j(s), \end{aligned} \quad (1.72)$$

(b) *die Transversalitätsbedingung*

$$p(t_0) = h_0'^T(x_*(t_0))l_0, \quad p(t_1) = -h_1'^T(x_*(t_1))l_1, \quad (1.73)$$

*in  $t = t_1$  die Sprung-Transversalitätsbedingung*

$$p(t_1^-) - p(t_1) = - \sum_{j=1}^l \mu_j(\{t_1\}) g_{j,x}(t_1, x_*(t_1)) \quad (1.74)$$

(c) *und in fast allen Punkten  $t \in [t_0, t_1]$  für alle  $u \in U$  die Variationsungleichung*

$$\langle H_u^S(t, x_*(t), u_*(t), p(t), \lambda_0), (u - u_*(t)) \rangle \leq 0 \quad (1.75)$$

*erfüllt sind.*

Als Funktion beschränkter Variation existieren an jeder Stelle  $t \in [t_0, t_1]$  die einseitigen Grenzwerte der Adjungierten  $p(\cdot)$ . Wegen der rechtsseitigen Stetigkeit kann die Adjungierte an der Stelle  $t = t_1$  unstetig sein. In diesem Fall gilt im Endpunkt  $t_1$  die Sprung-Transversalitätsbedingung (1.74).

Als ein anschauliches Beispiel, in dem die Zustandsbeschränkung eine Sprungbedingung im Endpunkt hervorruft, betrachten wir nach Seierstad & Sydsæter [66] das folgende Lagerhaltungsmodell:

**Beispiel 1.34.** Ein Geschäft möchte die Nachfrage  $a$  des Produktes  $x$  gegenüber seinen Kunden gewährleisten. Es entstehen dadurch zum Zeitpunkt  $t$  die Einkaufs- und Lagerhaltungskosten  $\alpha u(t)$  bzw.  $\beta x(t)$ . Daraus ergibt sich das folgende Modell:

$$J(x(\cdot), u(\cdot)) = \int_0^T (\alpha u(t) + \beta x(t)) dt \rightarrow \inf,$$

$$\dot{x}(t) = u(t) - a, \quad x(0) = 1, \quad x(T) \text{ frei}, \quad x(t) \geq 0, \quad u(t) \geq 0, \quad T > 1/a.$$

Der Fall  $\lambda_0 = 0$  kann ausgeschlossen werden und die Pontrjagin-Funktion lautet

$$H^S(t, x, u, p, 1) = p(u - a) - (\alpha u + \beta x) = (p - \alpha)u - (pa + \beta x).$$

In diesem Modell können wir als optimalen Kandidaten den Steuerungsprozess

$$u_*(t) = \begin{cases} 0, & t \in [0, 1/a), \\ a, & t \in [1/a, T], \end{cases} \quad x_*(t) = \begin{cases} 1 - at, & t \in [0, 1/a), \\ 0, & t \in [1/a, T], \end{cases}$$

ableiten. Für  $t \in [0, 1/a)$  sind die Zustandsbeschränkungen nicht aktiv und es gilt

$$\dot{p}(t) = \beta, \quad p(t) = p(0) + \beta t.$$

Für  $t \in [1/a, T]$  ist  $u_*(t) = a$  ein innerer Punkt des Steuerungsbereiches  $U = \mathbb{R}_+$ . Also folgt aus der Variationsungleichung (1.75), dass  $p(t) = \alpha$  gelten muss. Damit erhalten wir

$$p(t) = \begin{cases} \alpha + \beta(t - 1/a), & t \in [0, 1/a), \\ \alpha, & t \in [1/a, T), \\ 0, & t = T. \end{cases}$$

Mit der Zustandsbeschränkung  $g(x(t)) = -x(t) \leq 0$  lautet die adjungierte Gleichung

$$\dot{p}(t) = 0 = \beta + \lambda(t)g'(x_*(t)) = \beta - \lambda(t), \quad t \in (1/a, T),$$

und wir erhalten den absolutstetigen Anteil  $\lambda(t) = \beta$  für das positive Maß  $\mu$ . Ferner ergibt sich in der Sprungbedingung (1.74) im Endpunkt

$$p(T^-) - p(T) = p(T^-) = -g_x(x_*(T)) \mu(\{T\}) = \mu(\{T\}) = \alpha$$

für den atomaren Anteil des Maßes  $\mu$  im Punkt  $t = T$ .

Wir zeigen nun, dass der Kandidat  $(x_*(\cdot), u_*(\cdot))$  in der Tat global optimal ist:

Für den Zustand  $x_*(\cdot)$  gilt, dass keine zulässige Trajektorie  $x(\cdot)$  mit  $x(t) < x_*(t)$  für ein  $t \in [0, T]$  existiert. Damit ergibt sich direkt:

$$\begin{aligned} J(x(\cdot), u(\cdot)) &= \int_0^T (\alpha u(t) + \beta x(t)) dt = \int_0^T (\alpha[a + \dot{x}(t)] + \beta x(t)) dt \\ &= \alpha a T + \alpha[x(T) - x(0)] + \int_0^T \beta x(t) dt \\ &\geq \alpha(aT - 1) + \int_0^T \beta x_*(t) dt = J(x_*(\cdot), u_*(\cdot)). \end{aligned}$$

Diese Ungleichung zeigt die globale Optimalität des Steuerungsprozesses  $(x_*(\cdot), u_*(\cdot))$ .  $\square$

### 1.3.7. Der Nachweis der notwendigen Optimalitätsbedingungen

Wir betrachten für  $(x(\cdot), u(\cdot)) \in C([t_0, t_1], \mathbb{R}^n) \times L_\infty([t_0, t_1], \mathbb{R}^m)$  die Abbildungen

$$\begin{aligned} J(x(\cdot), u(\cdot)) &= \int_{t_0}^{t_1} f(t, x(t), u(t)) dt, \\ F(x(\cdot), u(\cdot))(t) &= x(t) - x(t_0) - \int_{t_0}^t \varphi(s, x(s), u(s)) ds, \quad t \in [t_0, t_1], \\ H_i(x(\cdot)) &= h_i(x(t_i)), \quad i = 0, 1, \\ G_j(x(\cdot))(t) &= g_j(t, x(t)), \quad t \in [t_0, t_1], \quad j = 1, \dots, l. \end{aligned}$$

Da  $x(\cdot)$  zu  $C([t_0, t_1], \mathbb{R}^n)$  gehört, gilt für diese Abbildungen

$$\begin{aligned} J &: C([t_0, t_1], \mathbb{R}^n) \times L_\infty([t_0, t_1], \mathbb{R}^m) \rightarrow \mathbb{R}, \\ F &: C([t_0, t_1], \mathbb{R}^n) \times L_\infty([t_0, t_1], \mathbb{R}^m) \rightarrow C_0([t_0, t_1], \mathbb{R}^n), \\ H_i &: C([t_0, t_1], \mathbb{R}^n) \rightarrow \mathbb{R}^{s_i}, \quad i = 0, 1, \\ G_j &: C([t_0, t_1], \mathbb{R}^n) \rightarrow C([t_0, t_1], \mathbb{R}), \quad j = 1, \dots, l. \end{aligned}$$

Wir setzen  $\mathcal{F} = (F, H_0, H_1)$  und  $G = (G_1, \dots, G_l)$ . Außerdem führen wir für die Elemente  $x(\cdot) = (x_1(\cdot), \dots, x_l(\cdot))$  des Raumes  $C([t_0, t_1], \mathbb{R}^l)$  folgende Halbordnung “ $\preceq$ ” ein:

$$x(\cdot) \preceq y(\cdot) \quad \Leftrightarrow \quad x_j(t) \leq y_j(t) \text{ für alle } t \in [t_0, t_1], \quad j = 1, \dots, l.$$

Im Raum  $C([t_0, t_1], \mathbb{R}^l)$  bezeichnen wir mit  $\mathcal{K}$  den Kegel

$$\mathcal{K} = \{x(\cdot) \in C([t_0, t_1], \mathbb{R}^l) \mid x(\cdot) \preceq 0\}.$$

$\mathcal{K}$  ist ein konvexer, abgeschlossener Kegel mit Spitze in Null. Zudem besitzt der Kegel  $\mathcal{K}$  ein nichtleeres Inneres, d. h.  $\text{int } \mathcal{K} \neq \emptyset$ .

Mit diesen Setzungen prüfen wir für die Extremalaufgabe

$$J(x(\cdot), u(\cdot)) \rightarrow \inf, \quad \mathcal{F}(x(\cdot), u(\cdot)) = 0, \quad G(x(\cdot)) \in \mathcal{K}, \quad u(\cdot) \in L_\infty([t_0, t_1], U) \quad (1.76)$$

in  $(x_*(\cdot), u_*(\cdot)) \in \mathcal{A}_{\text{Lip}}^S$ , wobei wir  $x_*(\cdot)$  als Element des Raumes  $C([t_0, t_1], \mathbb{R}^n)$  auffassen, die Voraussetzungen von Theorem F.3:

(A<sub>2</sub>) Mit Verweis auf Abschnitt 1.3.3 ist nur noch die Abbildung  $G$  zu diskutieren, deren stetige Fréchet-Differenzierbarkeit im Beispiel B.4 nachgewiesen ist.

Zur Extremalaufgabe (1.76) definieren wir auf

$$C([t_0, t_1], \mathbb{R}^n) \times L_\infty([t_0, t_1], \mathbb{R}^m) \times \mathbb{R} \times C_0^*([t_0, t_1], \mathbb{R}^n) \times \mathbb{R}^{s_0} \times \mathbb{R}^{s_1} \times (C^*([t_0, t_1], \mathbb{R}))^l$$

die Lagrange-Funktion  $\mathcal{L} = \mathcal{L}(x(\cdot), u(\cdot), \lambda_0, y^*, l_0, l_1, z_1^*, \dots, z_l^*)$ ,

$$\mathcal{L} = \lambda_0 J(x(\cdot), u(\cdot)) + \langle y^*, F(x(\cdot), u(\cdot)) \rangle + l_0^T H_0(x(\cdot)) + l_1^T H_1(x(\cdot)) + \sum_{j=1}^l \langle z_j^*, G_j(x(\cdot)) \rangle.$$

Ist  $(x_*(\cdot), u_*(\cdot))$  eine schwache lokale Minimalstelle der Aufgabe (1.76), dann existieren nach Theorem F.3 nicht gleichzeitig verschwindende Lagrangesche Multiplikatoren  $\lambda_0 \geq 0$ ,  $y^* \in C_0^*([t_0, t_1], \mathbb{R}^n)$ ,  $l_i \in \mathbb{R}^{s_i}$  und  $z_j^* \in C^*([t_0, t_1], \mathbb{R})$  derart, dass gelten:

(a) Die Lagrange-Funktion besitzt bezüglich  $x(\cdot)$  in  $x_*(\cdot)$  einen stationären Punkt, d. h.

$$\mathcal{L}_x(x_*(\cdot), u_*(\cdot), \lambda_0, y^*, l_0, l_1, z_1^*, \dots, z_l^*) = 0; \quad (1.77)$$

(b) Die Lagrange-Funktion erfüllt bezüglich  $u(\cdot)$  in  $u_*(\cdot)$  die Variationsungleichung

$$\langle \mathcal{L}_u(x_*(\cdot), u_*(\cdot), \lambda_0, y^*, l_0, l_1, z_1^*, \dots, z_l^*), u(\cdot) - u_*(\cdot) \rangle \geq 0 \quad (1.78)$$

für alle  $u(\cdot) \in L_\infty([t_0, t_1], U)$ ;

(c) Die komplementären Schlupfbedingungen gelten, d. h.

$$0 = \langle z_i^*, G_i(x_*(\cdot)) \rangle, \quad \langle z_i^*, z(\cdot) \rangle \leq 0 \quad \text{für alle } z(\cdot) \preceq 0, \quad i = 1, \dots, l. \quad (1.79)$$

Die zweite Bedingung in (1.79) liefert, dass die Funktionale  $z_j^* \in C^*([t_0, t_1], \mathbb{R})$  positiv sind. Dann ergibt sich aus der ersten Bedingung in (1.79), dass nur diejenigen stetigen linearen Funktionale  $z_j^*$  von Null verschieden sein können, für welche die Zustandsbeschränkungen aktiv sind. Außerdem folgt in diesem Fall aus der ersten Bedingung, dass die zugehörigen endlichen nichtnegativen regulären Borelschen Maße  $\mu_j$  auf den Mengen

$$T_j = \{t \in [t_0, t_1] \mid g_j(t, x_*(t)) = 0\}, \quad j = 1, \dots, l,$$

konzentriert sind. Daher kann man ohne Einschränkung annehmen, dass alle Maße  $\mu_j$  auf den Mengen  $T_j$  konzentriert sind.

Aufgrund (1.77) ist folgende Variationsgleichung für alle  $x(\cdot) \in C([t_0, t_1], \mathbb{R}^n)$  erfüllt:

$$\begin{aligned} 0 &= \lambda_0 \int_{t_0}^{t_1} \langle f_x(t, x_*(t), u_*(t)), x(t) \rangle dt + \langle l_0, h'_0(x_*(t_0))x(t_0) \rangle + \langle l_1, h'_1(x_*(t_1))x(t_1) \rangle \\ &+ \int_{t_0}^{t_1} \left[ x(t) - x(0) - \int_0^t \varphi_x(s, x_*(s), u_*(s))x(s) ds \right]^T d\mu(t) \\ &+ \sum_{j=1}^l \int_{t_0}^{t_1} \langle g_{j,x}(t, x_*(t)), x(t) \rangle d\mu_j(t). \end{aligned} \quad (1.80)$$

In der Gleichung (1.80) ändern wir die Integrationsreihenfolge im zweiten Summanden und bringen sie in die Form

$$\begin{aligned}
0 &= \int_{t_0}^{t_1} \langle \lambda_0 f_x(t, x_*(t), u_*(t)) - \varphi_x^T(t, x_*(t), u_*(t)) \int_t^{t_1} d\mu(s), x(t) \rangle dt \\
&+ \int_{t_0}^{t_1} [x(t)]^T d\mu(t) + \langle h_0'^T(x_*(t_0))l_0 - \int_{t_0}^{t_1} d\mu(t), x(t_0) \rangle + \langle h_1'^T(x_*(t_1))l_1, x(t_1) \rangle \\
&+ \sum_{j=1}^l \int_{t_0}^{t_1} \langle g_{j,x}(t, x_*(t)), x(t) \rangle d\mu_j(t). \tag{1.81}
\end{aligned}$$

Wir setzen  $p(t) = \int_t^{t_1} d\mu(s)$ , so ist  $p(\cdot)$  eine Funktion von beschränkter Variation und gemäß den Eigenschaften einer Verteilungsfunktion rechtsseitig stetig.

Die rechte Seite in (1.81) definiert ein stetiges lineares Funktional im Raum  $C([t_0, t_1], \mathbb{R}^n)$ . Wenden wir den Darstellungssatz von Riesz an, so folgen aus der eindeutigen Darstellung eines stetigen linearen Funktionalen im Raum  $C([t_0, t_1], \mathbb{R}^n)$  die Beziehungen

$$\begin{aligned}
p(t) &= -h_1'^T(x_*(t_1))l_1 + \int_t^{t_1} [\varphi_x^T(s, x_*(s), u_*(s))p(s) - \lambda_0 f_x(s, x_*(s), u_*(s))] ds \\
&- \sum_{j=1}^l \int_t^{t_1} g_{j,x}(s, x_*(s)) d\mu_j(s) \\
&= -h_1'^T(x_*(t_1))l_1 + \int_t^{t_1} H_x^S(s, x_*(s), u_*(s), p(s), \lambda_0) ds \\
&- \sum_{j=1}^l \int_t^{t_1} g_{j,x}(s, x_*(s)) d\mu_j(s), \\
p(t_0) &= h_0'^T(x_*(t_0))l_0.
\end{aligned}$$

Damit sind (1.72) und (1.73) gezeigt. Die Beziehung (1.78) ist äquivalent zu

$$\int_{t_0}^{t_1} \langle H_u^S(t, x_*(t), u_*(t), p(t), \lambda_0), u(t) - u_*(t) \rangle dt \leq 0.$$

Wir bemerken, dass die Funktion  $p(\cdot)$  von beschränkter Variation ist. Daher kann man  $p(\cdot)$  als Differenz zweier monotoner Funktionen schreiben und  $p(\cdot)$  besitzt höchstens abzählbar viele Unstetigkeiten. Mit Hilfe dieser Anmerkung folgt abschließend die Variationsungleichung (1.75) via Standardtechniken für Lebesguesche Punkte.  $\blacksquare$



---

## 2. Nadelvariationen in der Optimalen Steuerung

Die Methoden der Optimalen Steuerung liefern geeignete Werkzeuge für viele Problemklassen. In den meisten praktischen Anwendungen sind allerdings Steuerungselemente enthalten, die nur gewisse Positionen annehmen dürfen. Eine Richtungsvariation des letzten Kapitels ist bezüglich dieser Elemente nicht zulässig. Deswegen wollen wir in diesem Kapitel eine neue Klasse von Variationen betrachten. Die Grundlage dafür wurde im Rahmen der Klassischen Variationsrechnung von Karl Weistraß (1815–1897) durch die Einführung der Nadelvariationsmethode gelegt. Im Vergleich zur schwachen lokalen Optimalstelle entsteht dadurch ein allgemeinerer Optimalitätsbegriff.

Der Übergang von der Klassischen Variationsrechnung zur Optimalen Steuerung wurde durch die Identifizierung der Aufgabenklassen der Steuerungstheorie und durch die Entwicklung von geeigneten Methoden realisiert. Wesentliche Beiträge zu diesen Entdeckungen haben Constantin Carathéodory (1873–1950), Edward James McShane (1904–1989), Magnus Hestenes (1906–1991), Richard Bellman (1920–1984), Rufus Isaacs (1914–1977), sowie Lew Semjonowitsch Pontrjagin (1908–1988) in Zusammenarbeit mit Wladimir Boltjanski (1925–2019) und Rewas Gamkrelidze (1927–) geleistet. Die bedeutendsten Ergebnisse in der Entwicklung von Optimalitätsbedingungen sind das Pontrjaginsche Maximumprinzip und das Bellmansche Prinzip der Dynamischen Programmierung.

Im Fokus dieses Kapitels steht das Pontrjaginsche Maximumprinzip. Der Errungenschaft des Maximumprinzips gehen wichtige Entwicklungen der Mathematik in der ersten Hälfte des 20. Jahrhunderts voraus. Ohne die Methoden der Funktionalanalysis oder der Theorie von Differentialgleichungen mit un stetigen rechten Seiten ist dessen vollständiger Nachweis kaum denkbar. Dieses vielschichtige und umfassende theoretische Fundament, der komplexe Beweis des Maximumprinzips und die eigenständigen Methoden, die zum Nachweis ausgearbeitet wurden, bilden einen maßgeblichen Beitrag zur Etablierung der Optimalen Steuerung als eigenständige mathematische Disziplin.

Das Kapitel zu Nadelvariationen und starken lokalen Minimalstellen in Steuerungsproblemen beginnen wir mit der Untersuchung der Aufgabe mit freiem Endpunkt. Da neben der Dynamik zu einem Anfangswert keine weiteren Beschränkungen an die Zustandstrajektorie vorliegen, ist die Methode der einfachen Nadelvariation ein geeignetes Mittel zur Herleitung von notwendigen Optimalitätsbedingungen.

Der Übergang zu allgemeineren Aufgabenklassen ist mit der einfachen Nadelvariationsmethode nicht möglich. Das Pontrjaginsche Maximumprinzip für die Standardaufgabe und die Aufgabe mit Zustandsbeschränkungen beweisen wir deswegen auf der Grundlage der mehrfachen Nadelvariationen nach Ioffe & Tichomirov [48], die im Anhang ausführlich behandelt werden. Außerdem behandeln wir hinreichende Bedingungen nach Arrow und die Aufgabe mit freiem Anfangs- und Endzeitpunkt.

## 2.1. Die Nadelvariation der Klassischen Variationsrechnung

Zur Einstimmung auf die Untersuchung von starken lokalen Minimalstellen betrachten wir zunächst wieder die einfachste Aufgabe der Klassischen Variationsrechnung:

$$J(x(\cdot)) = \int_{t_0}^{t_1} f(t, x(t), \dot{x}(t)) dt \rightarrow \inf, \quad (2.1)$$

$$x(t_0) = x_0, \quad x(t_1) = x_1. \quad (2.2)$$

Ebenso wie in Abschnitt 1.1 seien die Punkte  $t_0 < t_1$ ,  $x_0, x_1$  fest vorgegeben und es sei die Funktion  $f : \mathbb{R} \times \mathbb{R} \times \mathbb{R} \rightarrow \mathbb{R}$  in (2.1) stetig differenzierbar.

Im Gegensatz zur Analyse der Aufgabe (1.1)–(1.2) betrachten wir an dieser Stelle nicht die Richtungsvariation  $x_\lambda(\cdot) = x_*(\cdot) + \lambda x(\cdot)$  mit  $x_*(\cdot), x(\cdot) \in C_1([t_0, t_1], \mathbb{R})$  und entsprechender Normkonvergenz  $\|x_\lambda(\cdot) - x_*(\cdot)\|_{C_1} = |\lambda| \|x(\cdot)\|_{C_1} \rightarrow 0$  für  $\lambda \rightarrow 0$ . Sondern wir definieren zu  $v \in \mathbb{R}$ ,  $\tau \in (t_0, t_1)$  und  $0 < \lambda < \varepsilon$  mit  $\tau + \varepsilon < t_1$  folgende stückweise lineare Funktion:

$$\xi_\lambda(t) = \begin{cases} 0, & t \notin [\tau, \tau + \varepsilon], \\ v(t - \tau), & t \in [\tau, \tau + \lambda), \\ \text{linear}, & t \in [\tau + \lambda, \tau + \varepsilon], \end{cases} \quad \dot{\xi}_\lambda(t) = \begin{cases} 0, & t \notin [\tau, \tau + \varepsilon], \\ v, & t \in [\tau, \tau + \lambda), \\ -\frac{\lambda v}{\varepsilon - \lambda}, & t \in [\tau + \lambda, \tau + \varepsilon]. \end{cases} \quad (2.3)$$

Die Funktion  $\xi_\lambda(\cdot)$  besitzt die Form einer Nadelspitze, die bei Verkleinerung des Parameters  $\lambda$  zwar schmaler wird, aber deren Anstieg sich auf dem Intervall  $[\tau, \tau + \lambda)$  nicht verringert.

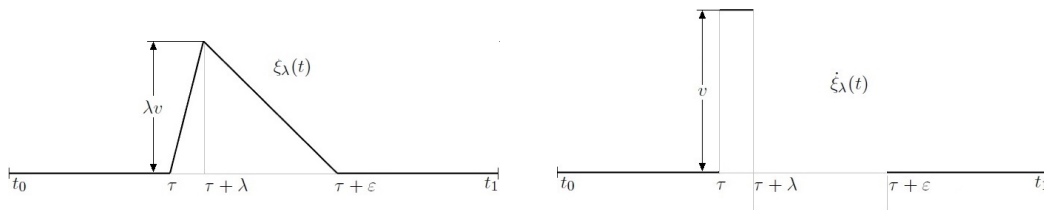


Abbildung 7: Nadelvariation der Klassischen Variationsrechnung.

Die daraus resultierende Variation  $x_\lambda(\cdot) = x_*(\cdot) + \xi_\lambda(\cdot)$  besitzt dann die Eigenschaften

$$\begin{aligned} \|x_\lambda(\cdot) - x_*(\cdot)\|_\infty &= \|\xi_\lambda(\cdot)\|_\infty = \lambda|v| \rightarrow 0 && \text{für } \lambda \rightarrow 0, \\ \|x_\lambda(\cdot) - x_*(\cdot)\|_{C_1} &\geq \|\dot{\xi}_\lambda(\cdot)\|_\infty \geq |v| \not\rightarrow 0 && \text{für } \lambda \rightarrow 0. \end{aligned}$$

Der Übergang von den Richtungs- zu den Nadelvariationen vergrößert die Menge der konkurrierenden Trajektorien. Entsprechend muss der Optimalitätsbegriff angepasst werden. Wir nennen  $x_*(\cdot)$  ein starkes lokales Minimum in der Aufgabe (2.1)–(2.2), wenn sie die Randbedingungen (2.2) erfüllt und falls ein  $\varepsilon > 0$  derart existiert, dass die Ungleichung  $J(x(\cdot)) \geq J(x_*(\cdot))$  für alle zulässigen Funktionen  $x(\cdot)$  mit  $\|x(\cdot) - x_*(\cdot)\|_\infty < \varepsilon$  gilt.

Einen anschaulichen Vergleich von starken und schwachen lokalen Minimalstellen liefert die folgende Aufgabe der Klassischen Variationsrechnung ([48], S. 107/108):

$$J(x(\cdot)) = \int_0^1 \dot{x}^3(t) dt \rightarrow \inf, \quad x(0) = 0, \quad x(1) = 1.$$

Wir werden nun zeigen, dass es in dieser Aufgabe eine eindeutig bestimmte Lösung der Euler-Lagrange-Gleichung gibt, diese ein schwaches lokales Minimum darstellt, aber kein starkes. Demgegenüber existiert kein starkes lokales Minimum, denn  $\inf J(x(\cdot)) = -\infty$  in jeder gleichmäßigen Umgebung der schwachen lokalen Minimalstelle.

Zum schwachen lokalen Minimum: Die Euler-Lagrangesche Gleichung als notwendige Bedingung für ein schwaches lokales Minimum besitzt die Gestalt

$$-\frac{d}{dt} f_{\dot{x}}(t, x_*(t), \dot{x}_*(t)) + f_x(t, x_*(t), \dot{x}_*(t)) = -\frac{d}{dt} 3\dot{x}_*^2(t) = 0.$$

Eindeutige Lösung dieser Gleichung, die den Randbedingungen genügt, ist  $x_*(t) = t$ . Wir weisen jetzt nach, dass  $x_*(\cdot)$  tatsächlich ein schwaches lokales Minimum liefert. Es sei  $x(\cdot) \in C_1([0, 1], \mathbb{R})$  mit  $x(0) = x(1) = 0$ . Dann ist  $x_*(\cdot) + x(\cdot)$  zulässig. Wir erhalten

$$J(x_*(\cdot) + x(\cdot)) = \int_0^1 \left[ \frac{d}{dt} (t + x(t)) \right]^3 dt = J(x_*(\cdot)) + \int_0^1 [3\dot{x}^2(t) + \dot{x}^3(t)] dt.$$

Wenn daher  $3\dot{x}^2(t) + \dot{x}^3(t) \geq 0$  auf  $[0, 1]$  gilt, was insbesondere bei  $\|x(\cdot)\|_{C_1} \leq 3$  wegen  $|\dot{x}^3(t)| = |\dot{x}(t)| \cdot \dot{x}^2(t) \leq 3\dot{x}^2(t)$  erfüllt ist, so ist

$$J(x_*(\cdot) + x(\cdot)) \geq J(x_*(\cdot)).$$

D. h., dass  $x_*(t) = t$  ein schwaches lokales Minimum in der Aufgabe liefert.

Zum starken lokalen Minimum: Es ergeben sich für die Funktionen  $x_n(\cdot) = x_*(\cdot) + \xi_n(\cdot)$ ,

$$\xi_n(0) = \xi_n(1) = 0, \quad \dot{\xi}_n(t) = \begin{cases} -\sqrt{n}, & t \notin [0, 1/n], \\ \frac{\sqrt{n}}{n-1}, & t \in (1/n, 1), \end{cases} \quad n = 2, 3, \dots,$$

dass das Funktional  $J$  für große  $n$  asymptotisch gleich  $-\sqrt{n}$  ausfällt und deswegen

$$J(x_n(\cdot)) \rightarrow -\infty \quad \text{für } n \rightarrow \infty$$

gilt. Da nun bezüglich der Supremumsnorm aber

$$\|x_n(\cdot) - x_*(\cdot)\|_\infty = \|\xi_n(\cdot)\|_\infty = 1/\sqrt{n}$$

ist, liegt mit  $x_*(\cdot)$  kein starkes lokales Minimum vor.

Wir leiten nun die notwendige Weierstraßsche Bedingung für ein starkes lokales Minimum in der Grundaufgabe (2.1)–(2.2) der Klassischen Variationsrechnung,

$$J(x(\cdot)) = \int_{t_0}^{t_1} f(t, x(t), \dot{x}(t)) dt \rightarrow \inf; \quad x(t_0) = x_0, \quad x(t_1) = x_1,$$

her. Wir folgen dabei [48]. Es seien die Voraussetzungen von Satz 1.1 erfüllt. Ferner bezeichne die stetig differenzierbare Funktion  $x_*(\cdot)$  ein starkes lokales Minimum der Grundaufgabe. Zu  $\tau \in (t_0, t_1)$  und  $0 < \lambda < \varepsilon$  mit  $\tau + \varepsilon < t_1$  betrachten wir die Schar  $x_\lambda(\cdot) = x_*(\cdot) + \xi_\lambda(\cdot)$ , wobei  $\xi_\lambda(\cdot)$  nach (2.3) definiert ist. Wir bilden die Funktion

$$\begin{aligned} \varphi(\lambda) &= J(x_\lambda(\cdot)) = \int_{t_0}^{t_1} f(t, x_\lambda(t), \dot{x}_\lambda(t)) dt \\ &= \int_{[t_0, t_1] \setminus [\tau, \tau + \varepsilon]} f(t, x_*(t), \dot{x}_*(t)) dt + \int_\tau^{\tau + \varepsilon} f(t, x_\lambda(t), \dot{x}_\lambda(t)) dt \\ &= J(x_*(\cdot)) - \int_\tau^{\tau + \varepsilon} f(t, x_*(t), \dot{x}_*(t)) dt + \int_\tau^{\tau + \lambda} f(t, x_*(t) + (t - \tau)v, \dot{x}_*(t) + v) dt \\ &\quad + \int_{\tau + \lambda}^{\tau + \varepsilon} f\left(t, x_*(t) + \lambda v - (t - \tau - \lambda)\frac{\lambda v}{\varepsilon - \lambda}, \dot{x}_*(t) - \frac{\lambda v}{\varepsilon - \lambda}\right) dt. \end{aligned}$$

Deren Differenzenquotient besitzt in  $\lambda_0 = 0$  für hinreichend kleine  $\lambda > 0$  die Gestalt

$$\begin{aligned} \frac{\varphi(\lambda) - \varphi(0)}{\lambda} &= \frac{1}{\lambda} \left[ \int_\tau^{\tau + \lambda} \left[ f(t, x_*(t) + (t - \tau)v, \dot{x}_*(t) + v) - f(t, x_*(t), \dot{x}_*(t)) \right] dt \right. \\ &\quad \left. + \int_{\tau + \lambda}^{\tau + \varepsilon} \left[ f\left(t, x_*(t) + \lambda v - (t - \tau - \lambda)\frac{\lambda v}{\varepsilon - \lambda}, \dot{x}_*(t) - \frac{\lambda v}{\varepsilon - \lambda}\right) - f(t, x_*(t), \dot{x}_*(t)) \right] dt. \right] \end{aligned}$$

Im Grenzübergang  $\lambda \rightarrow 0^+$  ergeben sich für die einzelnen Terme auf der rechten Seite

$$\begin{aligned} \lim_{\lambda \rightarrow 0^+} \frac{1}{\lambda} \int_\tau^{\tau + \lambda} \left[ f(t, x_*(t) + (t - \tau)v, \dot{x}_*(t) + v) - f(t, x_*(t), \dot{x}_*(t)) \right] dt \\ = f(\tau, x_*(\tau), \dot{x}_*(\tau) + v) - f(\tau, x_*(\tau), \dot{x}_*(\tau)) \end{aligned}$$

und

$$\begin{aligned} \lim_{\lambda \rightarrow 0^+} \frac{1}{\lambda} \int_{\tau + \lambda}^{\tau + \varepsilon} \left[ f\left(t, x_*(t) + \lambda v - (t - \tau - \lambda)\frac{\lambda v}{\varepsilon - \lambda}, \dot{x}_*(t) - \frac{\lambda v}{\varepsilon - \lambda}\right) - f(t, x_*(t), \dot{x}_*(t)) \right] dt \\ = \int_\tau^{\tau + \varepsilon} f_x(t, x_*(t), \dot{x}_*(t)) \left( v - (t - \tau)\frac{v}{\varepsilon} \right) dt - \int_\tau^{\tau + \varepsilon} f_{\dot{x}}(t, x_*(t), \dot{x}_*(t)) \frac{v}{\varepsilon} dt. \end{aligned}$$

In der letzten Gleichung gilt

$$\int_\tau^{\tau + \varepsilon} f_x(t, x_*(t), \dot{x}_*(t)) \cdot (t - \tau)\frac{v}{\varepsilon} dt = O(\varepsilon).$$

Damit ergibt sich zusammenfassend:

$$\begin{aligned}\varphi'(0^+) &= f(\tau, x_*(\tau), \dot{x}_*(\tau) + v) - f(\tau, x_*(\tau), \dot{x}_*(\tau)) \\ &\quad + v \int_{\tau}^{\tau+\varepsilon} f_x(t, x_*(t), \dot{x}_*(t)) dt - \frac{v}{\varepsilon} \int_{\tau}^{\tau+\varepsilon} f_{\dot{x}}(t, x_*(t), \dot{x}_*(t)) dt + O(\varepsilon).\end{aligned}$$

Der Beweis von Satz 1.1 mit Hilfe des Fundamentallemmas von du Bois-Reymond führte auf die Euler-Lagrangische Gleichung in Integralform:

$$Q(t) - p(t) = \int_{t_0}^t f_x(s, x_*(s), \dot{x}_*(s)) ds - f_{\dot{x}}(t, x_*(t), \dot{x}_*(t)) = \text{konstant.}$$

Es sei  $x_*(\cdot)$  eine Extremale der Grundaufgabe, so ergibt sich unter Benutzung der Euler-Lagrangischen Gleichung

$$\int_{\tau}^{\tau+\varepsilon} f_x(t, x_*(t), \dot{x}_*(t)) dt = f_{\dot{x}}(\tau + \varepsilon, x_*(\tau + \varepsilon), \dot{x}_*(\tau + \varepsilon)) - f_{\dot{x}}(\tau, x_*(\tau), \dot{x}_*(\tau))$$

und demzufolge

$$\begin{aligned}\varphi'(0^+) &= f(\tau, x_*(\tau), \dot{x}_*(\tau) + v) - f(\tau, x_*(\tau), \dot{x}_*(\tau)) \\ &\quad + v [f_{\dot{x}}(\tau + \varepsilon, x_*(\tau + \varepsilon), \dot{x}_*(\tau + \varepsilon)) - f_{\dot{x}}(\tau, x_*(\tau), \dot{x}_*(\tau))] \\ &\quad - \frac{v}{\varepsilon} \int_{\tau}^{\tau+\varepsilon} f_{\dot{x}}(t, x_*(t), \dot{x}_*(t)) dt + O(\varepsilon).\end{aligned}$$

Weiterhin muss  $\varphi'(0^+) \geq 0$  gelten, da  $x_*(\cdot)$  ein starkes lokales Minimum der Grundaufgabe darstellt. Führen wir nun abschließend den Grenzübergang  $\varepsilon \rightarrow 0^+$  durch, so erhalten wir die Ungleichung

$$f(\tau, x_*(\tau), \dot{x}_*(\tau) + v) - f(\tau, x_*(\tau), \dot{x}_*(\tau)) - v f_{\dot{x}}(\tau, x_*(\tau), \dot{x}_*(\tau)) \geq 0.$$

Als Weierstraßsche  $\mathcal{E}$ -Funktion bezeichnet man die Funktion

$$\mathcal{E}(t, x, \dot{x}, v) = f(t, x, v) - f(t, x, \dot{x}) - (v - \dot{x}) f_{\dot{x}}(t, x, \dot{x}).$$

Dann lautet die notwendige Weierstraßsche Bedingung für ein starkes lokales Minimum der Grundaufgabe:

**Satz 2.1.** *Unter den genannten Voraussetzungen an die Grundaufgabe und an  $x_*(\cdot)$  sei  $x_*(\cdot)$  eine Extremale der Grundaufgabe. Liefert  $x_*(\cdot)$  ein starkes lokales Minimum in der Grundaufgabe der Klassischen Variationsrechnung, so ist für jeden Punkt  $t \in (t_0, t_1)$  und für jedes  $v \in \mathbb{R}$  die Ungleichung*

$$\mathcal{E}(t, x_*(t), \dot{x}_*(t), v) = f(t, x_*(t), v) - f(t, x_*(t), \dot{x}_*(t)) - (v - \dot{x}_*(t)) f_{\dot{x}}(t, x_*(t), \dot{x}_*(t)) \geq 0$$

erfüllt.

## 2.2. Die elementare Aufgabe mit freiem Endpunkt

### 2.2.1. Formulierung der Aufgabe und das Maximumprinzip

Über dem gegebenen Intervall  $[t_0, t_1]$  betrachten wir zu  $x_0 \in \mathbb{R}^n$  die Aufgabe

$$J(x(\cdot), u(\cdot)) = \int_{t_0}^{t_1} f(t, x(t), u(t)) dt \rightarrow \inf, \quad (2.4)$$

$$\dot{x}(t) = \varphi(t, x(t), u(t)), \quad x(t_0) = x_0, \quad (2.5)$$

$$u(t) \in U \subseteq \mathbb{R}^m, \quad U \neq \emptyset. \quad (2.6)$$

Die Aufgabe untersuchen wir bezüglich  $(x(\cdot), u(\cdot)) \in PC_1([t_0, t_1], \mathbb{R}^n) \times PC([t_0, t_1], U)$ .

Mit  $\mathcal{D}_{\text{Lip}}^S$  bezeichnen wir die Menge aller Paare  $(x(\cdot), u(\cdot))$ , für die es ein  $\gamma > 0$  derart gibt, dass die Abbildungen  $f(t, x, u)$ ,  $\varphi(t, x, u)$  auf der Menge aller  $(t, x, u) \in \mathbb{R} \times \mathbb{R}^n \times \mathbb{R}^m$  mit

$$t \in [t_0, t_1], \quad \|x - x(t)\| < \gamma, \quad u \in \mathbb{R}^m$$

stetig in der Gesamtheit aller Variablen und stetig differenzierbar bezüglich  $x$  sind.

Das Paar  $(x(\cdot), u(\cdot)) \in PC_1([t_0, t_1], \mathbb{R}^n) \times PC([t_0, t_1], U)$  heißt ein zulässiger Steuerungsprozess in der Aufgabe (2.4)–(2.6), falls  $(x(\cdot), u(\cdot))$  dem System (2.5) zu  $x(t_0) = x_0$  genügt. Mit  $\mathcal{D}_{\text{adm}}^S$  bezeichnen wir die Menge der zulässigen Steuerungsprozesse.

Ein zulässiger Steuerungsprozess  $(x_*(\cdot), u_*(\cdot))$  ist eine starke lokale Minimalstelle der Aufgabe (2.4)–(2.6), falls eine Zahl  $\varepsilon > 0$  derart existiert, dass die Ungleichung

$$J(x(\cdot), u(\cdot)) \geq J(x_*(\cdot), u_*(\cdot))$$

für alle  $(x(\cdot), u(\cdot)) \in \mathcal{D}_{\text{adm}}^S$  mit  $\|x(\cdot) - x_*(\cdot)\|_\infty < \varepsilon$  gilt.

Weiterhin bezeichnet  $H^S : \mathbb{R} \times \mathbb{R}^n \times \mathbb{R}^m \times \mathbb{R}^n \times \mathbb{R} \rightarrow \mathbb{R}$  die Pontrjagin-Funktion

$$H^S(t, x, u, p, \lambda_0) = \langle p, \varphi(t, x, u) \rangle - \lambda_0 f(t, x, u).$$

**Theorem 2.2** (Pontrjaginsches Maximumprinzip). *Es sei  $(x_*(\cdot), u_*(\cdot)) \in \mathcal{D}_{\text{adm}}^S \cap \mathcal{D}_{\text{Lip}}^S$ . Ist  $(x_*(\cdot), u_*(\cdot))$  ein starkes lokales Minimum der Aufgabe (2.4)–(2.6), dann existiert eine Vektorfunktion  $p(\cdot) \in PC_1([t_0, t_1], \mathbb{R}^n)$  derart, dass*

(a) die adjungierten Gleichung

$$\dot{p}(t) = -H_x^S(t, x_*(t), u_*(t), p(t), 1), \quad (2.7)$$

(b) in  $t = t_1$  die Transversalitätsbedingung

$$p(t_1) = 0 \quad (2.8)$$

(c) und in fast allen Punkten  $t \in [t_0, t_1]$  die Maximumbedingung

$$H^S(t, x_*(t), u_*(t), p(t), 1) = \max_{u \in U} H^S(t, x_*(t), u, p(t), 1) \quad (2.9)$$

erfüllt sind.

### 2.2.2. Der Beweis des Maximumprinzips

Der nachstehende Beweis ist [48] entnommen. Da sämtliche Abbildungen stetig und stetig differenzierbar bezüglich  $x$  sind, und die Funktion  $u_*(\cdot)$  dem Raum  $PC([t_0, t_1], U)$  angehört, erfüllt die adjungierte Gleichung (2.7) die Voraussetzungen von Lemma C.4 und Lemma C.6. Daher gibt es eine eindeutige Lösung  $p(\cdot)$  der Gleichung (2.7) zur Randbedingung  $p(t_1) = 0$ , die dem Raum  $PC_1([t_0, t_1], \mathbb{R}^n)$  angehören muss.

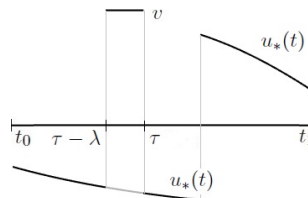
Das Pontrjaginsche Maximumprinzip 2.2 ist mit  $\lambda_0 = 1$  in der normalen Form angegeben, der für die Aufgabe mit freiem rechten Endpunkt stets vorliegt. Angenommen, es ist  $\lambda_0 = 0$ . Dann besitzt die adjungierte Gleichung die Form

$$\dot{p}(t) = -H_x^S(t, x_*(t), u_*(t), p(t), 0) = -\varphi_x^T(t, x_*(t), u_*(t))p(t)$$

und es würde wegen der Transversalitätsbedingung  $p(t_1) = 0$  außerdem  $p(t) \equiv 0$  im Widerspruch zur Nichttrivialität der Multiplikatoren  $(\lambda_0, p(\cdot))$  gelten.

Es sei  $\tau \in (t_0, t_1)$  ein Stetigkeitspunkt der Steuerung  $u_*(\cdot)$ . Dann ist  $u_*(\cdot)$  auch in einer gewissen hinreichend kleinen Umgebung von  $\tau$  stetig und wir wählen ein festes  $\lambda$  positiv und hinreichend klein, so dass sich  $\tau - \lambda$  in dieser Umgebung befindet. Weiter sei nun  $v$  ein beliebiger Punkt aus  $U$ . Wir setzen

$$u(t; v, \tau, \lambda) = u_\lambda(t) = \begin{cases} u_*(t) & \text{für } t \notin [\tau - \lambda, \tau), \\ v & \text{für } t \in [\tau - \lambda, \tau), \end{cases}$$



und es bezeichne  $x_\lambda(\cdot)$ ,  $x_\lambda(t) = x(t; v, \tau, \lambda)$ , die eindeutige Lösung der Gleichung

$$\dot{x}(t) = \varphi(t, x(t), u_\lambda(t)), \quad x(t_0) = x_0. \quad \text{Abbildung 8: Variation } u(t; v, \tau, \lambda).$$

Dann ist  $x_\lambda(t) = x_*(t)$  für  $t_0 \leq t \leq \tau - \lambda$ . Für  $t \geq \tau$  betrachten wir den Grenzwert

$$y(t) = \lim_{\lambda \rightarrow 0^+} \frac{x_\lambda(t) - x_*(t)}{\lambda},$$

und werden zeigen, dass dieser existiert, die Funktion  $y(\cdot)$  der Integralgleichung

$$y(t) = y(\tau) + \int_\tau^t \varphi_x(s, x_*(s), u_*(s)) y(s) ds \quad (2.10)$$

zur Anfangsbedingung

$$y(\tau) = \varphi(\tau, x_*(\tau), v) - \varphi(\tau, x_*(\tau), u_*(\tau)) \quad (2.11)$$

genügt und die Beziehung

$$\langle p(\tau), y(\tau) \rangle = - \int_\tau^{t_1} \langle f_x(t, x_*(t), u_*(t)), y(t) \rangle dt \quad (2.12)$$

erfüllt ist.

Herleitung von (2.11): Nach Wahl des Punktes  $\tau$  ist  $\dot{x}_*(\cdot)$  in einer Umgebung dieses Punktes stetig und für hinreichend kleine positive  $\lambda$  gelten

$$\begin{aligned}x_*(\tau) &= x_*(\tau - \lambda) + \lambda\varphi(\tau - \lambda, x_*(\tau - \lambda), u_*(\tau - \lambda)) + o(\lambda), \\x_\lambda(\tau) &= x_*(\tau - \lambda) + \lambda\varphi(\tau - \lambda, x_*(\tau - \lambda), v) + o(\lambda).\end{aligned}$$

Hieraus folgt

$$\frac{x_\lambda(\tau) - x_*(\tau)}{\lambda} = \varphi(\tau - \lambda, x_*(\tau - \lambda), v) - \varphi(\tau - \lambda, x_*(\tau - \lambda), u_*(\tau - \lambda)) + \frac{o(\lambda)}{\lambda}.$$

D. h., dass der Grenzwert

$$y(\tau) = \lim_{\lambda \rightarrow 0^+} \frac{x_\lambda(\tau) - x_*(\tau)}{\lambda}$$

existiert und gleich (2.11) ist.

Herleitung von (2.10): Auf dem Intervall  $[\tau, t_1]$  genügen sowohl  $x_*(\cdot)$  als auch  $x_\lambda(\cdot)$  der Gleichung

$$\dot{x}(t) = \varphi(t, x(t), u_*(t)).$$

Aus den Sätzen C.11 und C.12 über die Stetigkeit und Differenzierbarkeit der Lösung eines Differentialgleichungssystems in Abhängigkeit von den Anfangsdaten folgt, dass für hinreichend kleine positive  $\lambda$  die Vektorfunktionen  $x_\lambda(\cdot)$  auf  $[\tau, t_1]$  definiert sind, dass sie für  $\lambda \rightarrow 0^+$  gleichmäßig gegen  $x_*(\cdot)$  konvergieren und dass der Grenzwert

$$y(t) = \lim_{\lambda \rightarrow 0^+} \frac{x_\lambda(t) - x_*(t)}{\lambda}$$

für jedes  $t \in [\tau, t_1]$  existiert. Weiterhin liefert Satz C.12, dass  $y(\cdot)$  für alle  $t \in [\tau, t_1]$  der Gleichung

$$y(t) = y(\tau) + \int_\tau^t \varphi_x(s, x_*(s), u_*(s)) y(s) ds$$

genügt, d. h.  $y(\cdot)$  die Gleichung (2.10) zum Anfangswert (2.11) erfüllt.

Herleitung von (2.12): Mit (2.7) und (2.10) erhalten wir für  $t \geq \tau$

$$\frac{d}{dt} \langle p(t), y(t) \rangle = \langle f_x(t, x_*(t), u_*(t)), y(t) \rangle.$$

Daher gilt für  $t \in [\tau, t_1]$  die Gleichung

$$\langle p(t_1), y(t_1) \rangle - \langle p(t), y(t) \rangle = \int_t^{t_1} \langle f_x(s, x_*(s), u_*(s)), y(s) \rangle ds.$$

Für  $t = \tau$  folgt daraus mit  $p(t_1) = 0$  insbesondere (2.12):

$$\langle p(\tau), y(\tau) \rangle = - \int_\tau^{t_1} \langle f_x(s, x_*(s), u_*(s)), y(s) \rangle ds.$$

Beweisschluss: Da  $(x_*(\cdot), u_*(\cdot))$  ein starkes lokales Minimum ist, ist für alle hinreichend kleine und positive  $\lambda$

$$\frac{J(x_\lambda(\cdot), u_\lambda(\cdot)) - J(x_*(\cdot), u_*(\cdot))}{\lambda} \geq 0.$$

In diesem Ausdruck ergibt sich im Grenzwert  $\lambda \rightarrow 0^+$ :

$$\begin{aligned} & \lim_{\lambda \rightarrow 0^+} \frac{1}{\lambda} \int_{\tau-\lambda}^{\tau} [f(t, x_\lambda(t), u_\lambda(t)) - f(t, x_*(t), u_*(t))] dt \\ & + \lim_{\lambda \rightarrow 0^+} \frac{1}{\lambda} \int_{\tau}^{\tau+\lambda} [f(t, x_\lambda(t), u_\lambda(t)) - f(t, x_*(t), u_*(t))] dt \\ = & f(\tau, x_*(\tau), v) - f(\tau, x_*(\tau), u_*(\tau)) + \int_{\tau}^{\tau+\lambda} \langle f_x(t, x_*(t), u_*(t)), y(t) \rangle dt. \end{aligned}$$

Zusammenfassend haben wir

$$\begin{aligned} 0 & \leq \lim_{\lambda \rightarrow 0^+} \frac{J(x_\lambda(\cdot), u_\lambda(\cdot)) - J(x_*(\cdot), u_*(\cdot))}{\lambda} \\ & = f(\tau, x_*(\tau), v) - f(\tau, x_*(\tau), u_*(\tau)) + \int_{\tau}^{\tau+\lambda} \langle f_x(t, x_*(t), u_*(t)), y(t) \rangle dt \end{aligned}$$

gezeigt. Nach (2.12) besteht in dieser Ungleichung der Zusammenhang

$$-\langle p(\tau), y(\tau) \rangle = \int_{\tau}^{\tau+\lambda} \langle f_x(t, x_*(t), u_*(t)), y(t) \rangle dt$$

und die Ungleichung erhält die Gestalt

$$0 \leq f(\tau, x_*(\tau), v) - f(\tau, x_*(\tau), u_*(\tau)) - \langle p(\tau), y(\tau) \rangle.$$

Bei Anwendung der Gleichungen (2.11) und (2.12) ergibt sich weiter

$$\begin{aligned} & \langle p(\tau), \varphi(\tau, x_*(\tau), u_*(\tau)) \rangle - f(\tau, x_*(\tau), u_*(\tau)) \\ & \geq \langle p(\tau), \varphi(\tau, x_*(\tau), v) \rangle - f(\tau, x_*(\tau), v). \end{aligned}$$

Damit folgt aus der Definition der Pontrjagin-Funktion mit  $\lambda_0 = 1$ :

$$H^S(\tau, x_*(\tau), u_*(\tau), p(\tau), 1) \geq H^S(\tau, x_*(\tau), v, p(\tau), 1).$$

Nun ist  $\tau$  ein beliebiger Stetigkeitspunkt von  $u_*(\cdot)$  und  $v$  ein beliebiger Punkt der Menge  $U$ . Demzufolge ist die Beziehung (2.9) in allen Stetigkeitspunkten von  $u_*(\cdot)$  wahr und damit ist das Maximumprinzip bewiesen.  $\blacksquare$

### 2.2.3. Ökonomische Deutung des Maximumprinzips

Die ökonomische Interpretation des Pontrjaginschen Maximumprinzips wurde von Dorfman [23] angeregt. Wir geben eine Variante an, die sich auf den Beweis von Theorem 2.2 im letzten Abschnitt bezieht.

Der Kern des Beweises im letzten Abschnitt war, die Auswirkungen der Nadelvariation

$$u_\lambda(t) = \begin{cases} u_*(t) & \text{für } t \notin [\tau - \lambda, \tau), \\ v & \text{für } t \in [\tau - \lambda, \tau), \end{cases}$$

auf das Steuerungsproblem (2.4)–(2.6) zu untersuchen. Die erzeugte marginale Änderung

$$y(t) = \lim_{\lambda \rightarrow 0^+} \frac{x_\lambda(t) - x_*(t)}{\lambda}$$

des optimalen Zustandes  $x_*(\cdot)$  bewirkt im Zielfunktional

$$\langle p(\tau), y(\tau) \rangle = - \int_\tau^{t_1} \langle f_x(t, x_*(t), u_*(t)), y(t) \rangle dt, \quad (2.13)$$

wobei  $p(\cdot)$  die Lösung der adjungierten Gleichung ist. Außerdem gilt für den marginalen Profit die Beziehung

$$\begin{aligned} & \lim_{\lambda \rightarrow 0^+} \frac{J(x_\lambda(\cdot), u_\lambda(\cdot)) - J(x_*(\cdot), u_*(\cdot))}{\lambda} \\ &= f(\tau, x_*(\tau), v) - f(\tau, x_*(\tau), u_*(\tau)) + \int_\tau^{t_1} \langle f_x(t, x_*(t), u_*(t)), y(t) \rangle dt \\ &= H^S(\tau, x_*(\tau), u_*(\tau), p(\tau), 1) - H^S(\tau, x_*(\tau), v, p(\tau), 1). \end{aligned} \quad (2.14)$$

Die Entscheidung zum Zeitpunkt  $\tau$  mit dem Parameter  $v$  statt  $u_*(\tau)$  zu steuern hat einen direkten und indirekten Effekt (Feichtinger & Hartl [26], S. 29):

- Der unmittelbare Effekt besteht darin, dass die Profitrate  $f(\tau, x_*(\tau), v)$  erzielt wird.
- Die indirekte Wirkung manifestiert sich in der Änderung der Kapitalbestände um  $y(\tau)$ . Der Kapitalstock wird durch die in  $\tau$  getroffene Entscheidung transformiert, was bemessen mit der Adjungierten  $p(\cdot)$  in (2.13) ausgedrückt wird.

Die Gleichung (2.13) beschreibt damit die Opportunitätskosten, die sich durch die Entscheidung  $v$  zum Zeitpunkt  $\tau$  ergeben. Wegen der Darstellung der Opportunitätskosten in der Form  $\langle p(\tau), y(\tau) \rangle$  in (2.13), wird die Adjungierte  $p(\cdot)$  in der Ökonomie häufig als Schattenpreis bezeichnet.

Ferner bemisst die Funktion  $v \rightarrow H^S(\tau, x_*(\tau), v, p(\tau), 1)$  nach Gleichung (2.14) die Profitrate aus direktem und indirektem Gewinn, die sich aus der Änderung der Kapitalbestände ergibt. Die Maximumbedingung sagt daher aus, dass die Instrumente zu jedem Zeitpunkt so eingesetzt werden sollen, dass die totale Profitrate maximal wird.

### 2.3. Die Aufgabenstellung für ein starkes lokales Minimum

Wir betrachten als Steuerungsproblem die Aufgabe

$$J(x(\cdot), u(\cdot)) = \int_{t_0}^{t_1} f(t, x(t), u(t)) dt \rightarrow \inf, \quad (2.15)$$

$$\dot{x}(t) = \varphi(t, x(t), u(t)), \quad (2.16)$$

$$h_0(x(t_0)) = 0, \quad h_1(x(t_1)) = 0, \quad (2.17)$$

$$u(t) \in U \subseteq \mathbb{R}^m, \quad U \neq \emptyset, \quad (2.18)$$

$$g_j(t, x(t)) \leq 0 \quad \text{für alle } t \in [t_0, t_1], \quad j = 1, \dots, l. \quad (2.19)$$

Darin gelten für die Abbildungen

$$f : \mathbb{R} \times \mathbb{R}^n \times \mathbb{R}^m \rightarrow \mathbb{R}, \quad \varphi : \mathbb{R} \times \mathbb{R}^n \times \mathbb{R}^m \rightarrow \mathbb{R}^n, \quad h_i : \mathbb{R}^n \rightarrow \mathbb{R}^{s_i}, \quad i = 0, 1,$$

sowie

$$g_j : \mathbb{R} \times \mathbb{R}^n \rightarrow \mathbb{R}, \quad j = 1, \dots, l.$$

Die Aufgabe (2.15)–(2.19) betrachten wir bezüglich der Paare

$$(x(\cdot), u(\cdot)) \in W_\infty^1([t_0, t_1], \mathbb{R}^n) \times L_\infty([t_0, t_1], U).$$

Wir nennen die Trajektorie  $x(\cdot)$  eine Lösung der Gleichung (2.16) zur Steuerung  $u(\cdot)$ , falls  $x(\cdot)$  auf  $[t_0, t_1]$  definiert ist und die Dynamik im Sinn von Carathéodory löst.

Mit  $\mathcal{B}_{\text{Lip}}^{\mathcal{S}}$  bezeichnen wir die Menge aller Paare  $(x(\cdot), u(\cdot))$ , für die es ein  $\gamma > 0$  derart gibt, dass die Abbildungen  $f(t, x, u)$ ,  $\varphi(t, x, u)$ ,  $h_i(x_i)$  und  $g_j(t, x)$  auf der Menge aller Punkte  $(t, x, x_0, x_1, u) \in \mathbb{R} \times \mathbb{R}^n \times \mathbb{R}^n \times \mathbb{R}^n \times \mathbb{R}^m$  mit

$$t_0 \leq t \leq t_1, \quad \|x - x(t)\| < \gamma, \quad \|x_0 - x(t_0)\| < \gamma, \quad \|x_1 - x(t_1)\| < \gamma, \quad u \in \mathbb{R}^m$$

stetig in der Gesamtheit der Variablen und stetig differenzierbar bezüglich  $x, x_0, x_1$  sind.

Das Paar  $(x(\cdot), u(\cdot)) \in W_\infty^1([t_0, t_1], \mathbb{R}^n) \times L_\infty([t_0, t_1], U)$  heißt ein zulässiger Steuerungsprozess in der Aufgabe (2.15)–(2.19), falls  $(x(\cdot), u(\cdot))$  dem System (2.16) genügt, sowie die Randbedingungen (2.17) und Zustandsbeschränkungen (2.19) erfüllt. Die Menge  $\mathcal{B}_{\text{adm}}^{\mathcal{S}}$  bezeichnet die Menge der zulässigen Steuerungsprozesse.

Ein zulässiger Steuerungsprozess  $(x_*(\cdot), u_*(\cdot))$  ist eine starke lokale Minimalstelle der Aufgabe (2.15)–(2.19), falls eine Zahl  $\varepsilon > 0$  derart existiert, dass die Ungleichung

$$J(x(\cdot), u(\cdot)) \geq J(x_*(\cdot), u_*(\cdot))$$

für alle  $(x(\cdot), u(\cdot)) \in \mathcal{B}_{\text{adm}}^{\mathcal{S}}$  mit  $\|x(\cdot) - x_*(\cdot)\|_\infty < \varepsilon$  gilt.

Für die Aufgabe (2.15)–(2.19) bezeichnet  $H^{\mathcal{S}} : \mathbb{R} \times \mathbb{R}^n \times \mathbb{R}^m \times \mathbb{R}^n \times \mathbb{R} \rightarrow \mathbb{R}$  die Pontrjagin-Funktion, die wir wie folgt definieren:

$$H^{\mathcal{S}}(t, x, u, p, \lambda_0) = \langle p, \varphi(t, x, u) \rangle - \lambda_0 f(t, x, u).$$

## 2.4. Das Pontrjaginsche Maximumprinzip

### 2.4.1. Notwendige Optimalitätsbedingungen

**Theorem 2.3** (Pontrjaginsches Maximumprinzip). *Es sei  $(x_*(\cdot), u_*(\cdot)) \in \mathcal{B}_{\text{adm}}^S \cap \mathcal{B}_{\text{Lip}}^S$ . Ist  $(x_*(\cdot), u_*(\cdot))$  ein starkes lokales Minimum der Aufgabe (2.15)–(2.18), dann existieren nicht gleichzeitig verschwindende Multiplikatoren  $\lambda_0 \geq 0$ ,  $p(\cdot) \in W_\infty^1([t_0, t_1], \mathbb{R}^n)$  und  $l_i \in \mathbb{R}^{s_i}$ ,  $i = 0, 1$ , derart, dass*

(a) die adjungierte Gleichung

$$\dot{p}(t) = -H_x^S(t, x_*(t), u_*(t), p(t), \lambda_0), \quad (2.20)$$

(b) die Transversalitätsbedingungen

$$p(t_0) = h_0'^T(x_*(t_0))l_0, \quad p(t_1) = -h_1'^T(x_*(t_1))l_1 \quad (2.21)$$

(c) und in fast allen Punkten  $t \in [t_0, t_1]$  die Maximumbedingung

$$H^S(t, x_*(t), u_*(t), p(t), \lambda_0) = \max_{u \in U} H^S(t, x_*(t), u, p(t), \lambda_0) \quad (2.22)$$

erfüllt sind.

**Bemerkung 2.4.** Für das Pontrjaginsche Maximumprinzip lässt sich an dieser Stelle die Bemerkung 1.18 über die Transversalitätsbedingungen und über das Eintreten des normalen Falles bei fehlenden Randbedingungen übernehmen.  $\square$

Das Pontrjaginsche Maximumprinzip enthält die vorgestellten notwendigen Optimalitätsbedingungen der Klassischen Variationsrechnung und des Schwachen Optimalitätsprinzips. In der Grundaufgabe der Klassischen Variationsrechnung über dem Raum  $C_1([t_0, t_1], \mathbb{R}^n)$ ,

$$J(x(\cdot)) = \int_{t_0}^{t_1} f(t, x(t), \dot{x}(t)) dt \rightarrow \inf; \quad x(t_0) = x_0, \quad x(t_1) = x_1,$$

setzen wir  $\dot{x}(t) = u(t)$  und schreiben sie in der Form

$$J(x(\cdot), u(\cdot)) = \int_{t_0}^{t_1} f(t, x(t), u(t)) dt \rightarrow \inf; \quad \dot{x}(t) = u(t), \quad x(t_0) = x_0, \quad x(t_1) = x_1.$$

Die Pontrjagin-Funktion lautet dann  $H^S(t, x, u, p, \lambda_0) = pu - \lambda_0 f(t, x, u)$ , die adjungierte Gleichung besitzt die Gestalt

$$\dot{p}(t) = \lambda_0 f_x(t, x_*(t), u_*(t)) = -H_x^S(t, x_*(t), u_*(t), p(t), \lambda_0)$$

und die Maximumbedingung erhält für  $u \in \mathbb{R}$  die Form

$$H_u^S(t, x_*(t), u_*(t), p(t), \lambda_0) = p(t) - \lambda_0 f_u(t, x_*(t), u_*(t)) = 0.$$

Es sei nun die stetig differenzierbare Funktion  $x_*(\cdot)$  ein lokales Minimum in der Grundaufgabe. Da in diesem Fall  $u_*(\cdot)$  stetig ist, so würde für  $\lambda_0 = 0$  nach der eben umgeformten Maximumbedingung die Adjungierte  $p(\cdot)$  im Widerspruch zur Nichttrivialität der Multiplikatoren ebenfalls identisch verschwinden. Daher kann man  $\lambda_0 = 1$  annehmen und gelangt zur Euler-Lagrangeschen Gleichung

$$\dot{p}(t) - \frac{d}{dt} f_u(t, x_*(t), u_*(t)) = f_x(t, x_*(t), u_*(t)) = \frac{d}{dt} f_u(t, x_*(t), u_*(t)) = 0.$$

Aus der Maximumbedingung ergibt sich weiterhin

$$\max_{u \in U} [p(t)u - f(t, x_*(t), u)] = p(t)u_*(t) - f(t, x_*(t), u_*(t))$$

für alle  $t$ , da  $u_*(\cdot) = \dot{x}_*(\cdot)$  stetig ist. Beachten wir nun  $p(t) = f_u(t, x_*(t), u_*(t))$  wegen  $H_u^S = 0$ , so gewinnen wir die Gültigkeit der Weierstraßschen Bedingung

$$\mathcal{E}(t, x_*(t), u_*(t), u) = f(t, x_*(t), u) - f(t, x_*(t), u_*(t)) - (u - u_*(t))f_u(t, x_*(t), u_*(t)) \geq 0$$

für alle  $t \in (t_0, t_1)$  und alle  $u \in \mathbb{R}^n$ .

Der Bezug des Pontrjaginschen Maximumprinzips zu den Optimalitätsbedingungen in Satz 1.16 für die Lagrange-Aufgabe ist der Bemerkung 1.17 unmittelbar zu entnehmen. Entsprechend ist der Zusammenhang zum Schwachen Optimalitätsprinzip in Theorem 1.22 direkt einsichtig.

#### 2.4.2. Der Nachweis der notwendigen Optimalitätsbedingungen

Wir betrachten für  $(x(\cdot), u(\cdot)) \in C([t_0, t_1], \mathbb{R}^n) \times L_\infty([t_0, t_1], \mathbb{R}^m)$  die Abbildungen

$$\begin{aligned} J(x(\cdot), u(\cdot)) &= \int_{t_0}^{t_1} f(t, x(t), u(t)) dt, \\ F(x(\cdot), u(\cdot))(t) &= x(t) - x(t_0) - \int_{t_0}^t \varphi(s, x(s), u(s)) ds, \quad t \in [t_0, t_1], \\ H_i(x(\cdot)) &= h_i(x(t_i)), \quad i = 0, 1. \end{aligned}$$

Da  $x(\cdot)$  zu  $C([t_0, t_1], \mathbb{R}^n)$  gehört, gilt für diese Abbildungen

$$\begin{aligned} J &: C([t_0, t_1], \mathbb{R}^n) \times L_\infty([t_0, t_1], \mathbb{R}^m) \rightarrow \mathbb{R}, \\ F &: C([t_0, t_1], \mathbb{R}^n) \times L_\infty([t_0, t_1], \mathbb{R}^m) \rightarrow C_0([t_0, t_1], \mathbb{R}^n), \\ H_i &: C([t_0, t_1], \mathbb{R}^n) \rightarrow \mathbb{R}^{s_i}, \quad i = 0, 1. \end{aligned}$$

Wir setzen  $\mathcal{F} = (F, H_0, H_1)$  und prüfen für die Extremalaufgabe

$$J(x(\cdot), u(\cdot)) \rightarrow \inf, \quad \mathcal{F}(x(\cdot), u(\cdot)) = 0, \quad u(\cdot) \in L_\infty([t_0, t_1], U) \quad (2.23)$$

im Punkt  $(x_*(\cdot), u_*(\cdot)) \in \mathcal{B}_{\text{Lip}}^{\mathcal{S}}$ , wobei wir  $x_*(\cdot)$  als Element des Raumes  $C([t_0, t_1], \mathbb{R}^n)$  auffassen, die Voraussetzungen von Theorem F.5:

(A<sub>1</sub>) Für jedes  $u(\cdot) \in L_\infty([t_0, t_1], U)$  ist die Abbildung  $x(\cdot) \rightarrow J(x(\cdot), u(\cdot))$  nach Beispiel B.6 im Punkt  $x_*(\cdot)$  Fréchet-differenzierbar.

(A<sub>2</sub>) Die Abbildung  $F$  ist die Summe der Abbildung  $x(\cdot) \rightarrow x(t)$  und der Abbildung

$$(x(\cdot), u(\cdot)) \rightarrow - \int_{t_0}^t \varphi(s, x(s), u(s)) ds.$$

Im Beispiel B.9 ist die Fréchet-Differenzierbarkeit der zweiten Abbildung im Punkt  $x_*(\cdot)$  für jedes  $u(\cdot) \in L_\infty([t_0, t_1], U)$  nachgewiesen. Für die Abbildungen  $H_i$  ist die stetige Differenzierbarkeit offensichtlich.

(B) Die endliche Kodimension des Operators  $\mathcal{F}_x(x_*(\cdot), u_*(\cdot))$  folgt wie in Abschnitt 1.3.3.

(C) Der Nachweis dieser Voraussetzungen ist im Anhang E, speziell in Lemma E.4 und Lemma E.5 im Abschnitt E.3, dargestellt.

Zur Extremalaufgabe (2.23) definieren wir auf

$$C([t_0, t_1], \mathbb{R}^n) \times L_\infty([t_0, t_1], \mathbb{R}^m) \times \mathbb{R} \times C_0^*([t_0, t_1], \mathbb{R}^n) \times \mathbb{R}^{s_0} \times \mathbb{R}^{s_1}$$

die Lagrange-Funktion  $\mathcal{L} = \mathcal{L}(x(\cdot), u(\cdot), \lambda_0, y^*, l_0, l_1)$ ,

$$\mathcal{L} = \lambda_0 J(x(\cdot), u(\cdot)) + \langle y^*, F(x(\cdot), u(\cdot)) \rangle + l_0^T H_0(x(\cdot)) + l_1^T H_1(x(\cdot)).$$

Ist  $(x_*(\cdot), u_*(\cdot))$  eine starke lokale Minimalstelle der Aufgabe (2.23), dann existieren nach Theorem F.5 nicht gleichzeitig verschwindende Lagrangesche Multiplikatoren

$$\lambda_0 \geq 0, \quad y^* \in C_0^*([t_0, t_1], \mathbb{R}^n), \quad l_i \in \mathbb{R}^{s_i}$$

derart, dass folgende Bedingungen gelten:

(a) Die Lagrange-Funktion besitzt bezüglich  $x(\cdot)$  in  $x_*(\cdot)$  einen stationären Punkt, d. h.

$$\mathcal{L}_x(x_*(\cdot), u_*(\cdot), \lambda_0, y^*, l_0, l_1) = 0; \quad (2.24)$$

(b) Die Lagrange-Funktion erfüllt bezüglich  $u(\cdot)$  in  $u_*(\cdot)$  die Minimumbedingung

$$\mathcal{L}(x_*(\cdot), u_*(\cdot), \lambda_0, y^*, l_0, l_1) = \min_{u(\cdot) \in L_\infty([t_0, t_1], U)} \mathcal{L}(x_*(\cdot), u(\cdot), \lambda_0, y^*, l_0, l_1). \quad (2.25)$$

Zu  $y^* \in C_0^*([t_0, t_1], \mathbb{R}^n)$  gibt es ein eindeutig bestimmtes reguläres Borelsches Vektormass  $\mu$  derart, dass nach (2.24) für alle  $x(\cdot) \in C([t_0, t_1], \mathbb{R}^n)$  die Variationsgleichung

$$\begin{aligned} 0 &= \lambda_0 \int_{t_0}^{t_1} \langle f_x(t, x_*(t), u_*(t)), x(t) \rangle dt + \langle l_0, h'_0(x_*(t_0))x(t_0) \rangle + \langle l_1, h'_1(x_*(t_1))x(t_1) \rangle \\ &\quad + \int_{t_0}^{t_1} \left[ x(t) - x(t_0) - \int_{t_0}^t \varphi_x(s, x_*(s), u_*(s))x(s) ds \right]^T d\mu(t) \end{aligned} \quad (2.26)$$

erfüllt ist. In der Gleichung (2.26) ändern wir die Integrationsreihenfolge im zweiten Summanden und bringen sie in die Form

$$\begin{aligned} 0 &= \int_{t_0}^{t_1} \langle \lambda_0 f_x(t, x_*(t), u_*(t)) - \varphi_x^T(t, x_*(t), u_*(t)) \int_t^{t_1} d\mu(s), x(t) \rangle dt + \int_{t_0}^{t_1} [x(t)]^T d\mu(t) \\ &\quad + \langle h_0^T(x_*(t_0))l_0 - \int_{t_0}^{t_1} d\mu(t), x(t_0) \rangle + \langle h_1^T(x_*(t_1))l_1, x(t_1) \rangle. \end{aligned} \quad (2.27)$$

Setzen wir  $p(t) = \int_t^{t_1} d\mu(s)$  in (2.27), so folgen wegen der eindeutigen Darstellung eines stetigen linearen Funktionals im Raum  $C([t_0, t_1], \mathbb{R}^n)$

$$\begin{aligned} p(t) &= -h_1^T(x_*(t_1))l_1 + \int_t^{t_1} \left( \varphi_x^T(s, x_*(s), u_*(s))p(s) - \lambda_0 f_x(s, x_*(s), u_*(s)) \right) ds, \\ p(t_0) &= h_0^T(x_*(t_0))l_0, \quad p(t_1) = -h_1^T(x_*(t_1))l_1. \end{aligned}$$

Damit sind (2.20) und (2.21) gezeigt. Die Beziehung (2.25) ist äquivalent zu

$$\begin{aligned} &\int_{t_0}^{t_1} \lambda_0 f(t, x_*(t), u_*(t)) dt - \int_{t_0}^{t_1} \left[ \int_{t_0}^t \varphi(s, x_*(s), u_*(s)) ds \right]^T d\mu(t) \\ &= \min_{u(\cdot) \in L_\infty([t_0, t_1], U)} \left\{ \int_{t_0}^{t_1} \lambda_0 f(t, x_*(t), u(t)) dt - \int_{t_0}^{t_1} \left[ \int_{t_0}^t \varphi(s, x_*(s), u(s)) ds \right]^T d\mu(t) \right\}. \end{aligned}$$

Es gilt aber

$$\begin{aligned} \int_{t_0}^{t_1} \left[ \int_{t_0}^t \varphi(s, x_*(s), u(s)) ds \right]^T d\mu(t) &= \int_{t_0}^{t_1} \left( [\varphi(t, x_*(t), u(t))]^T \int_t^{t_1} d\mu(s) \right) dt \\ &= \int_{t_0}^{t_1} \langle p(t), \varphi(t, x_*(t), u(t)) \rangle dt. \end{aligned}$$

Aus diesen beiden Beziehungen folgt

$$\int_{t_0}^{t_1} H^S(t, x_*(t), u_*(t), p(t), \lambda_0) dt \geq \int_{t_0}^{t_1} H^S(t, x_*(t), u(t), p(t), \lambda_0) dt$$

für alle  $u(\cdot) \in L_\infty([t_0, t_1], U)$ . Daraus folgt abschließend die Maximumbedingung (2.22) via Standardtechniken für Lebesguesche Punkte.  $\blacksquare$

### 2.4.3. Hinreichende Bedingungen nach Arrow

Unser Vorgehen zur Herleitung der hinreichenden Bedingungen basiert auf der Darstellung in Seierstad & Sydsæter [66], die wir um Ausführungen in Aseev & Kryazhimskii [2] ergänzt haben. Wir betrachten das Steuerungsproblem

$$J(x(\cdot), u(\cdot)) = \int_{t_0}^{t_1} f(t, x(t), u(t)) dt \rightarrow \inf, \quad (2.28)$$

$$\dot{x}(t) = \varphi(t, x(t), u(t)), \quad (2.29)$$

$$x(t_0) = x_0, \quad x(t_1) = x_1, \quad (2.30)$$

$$u(t) \in U \subseteq \mathbb{R}^m, \quad U \neq \emptyset. \quad (2.31)$$

In der Aufgabenstellung schließen wir wieder den Fall nicht aus, dass durch die Randbedingungen (2.30) gewisse Komponenten der Punkte  $x_0$  und  $x_1$  nicht fest vorgegeben, sondern ohne Einschränkung sind.

Wir definieren die Menge  $V_\gamma^S(t) = \{x \in \mathbb{R}^n \mid \|x - x_*(t)\| < \gamma\}$ . Außerdem bezeichnet

$$\mathcal{H}^S(t, x, p) = \sup_{u \in U} H^S(t, x, u, p, 1) \quad (2.32)$$

die Hamilton-Funktion  $\mathcal{H}^S$  im normalen Fall.

**Theorem 2.5.** *In der Aufgabe (2.28)–(2.31) sei  $(x_*(\cdot), u_*(\cdot)) \in \mathcal{B}_{\text{Lip}}^S \cap \mathcal{B}_{\text{adm}}^S$  und es sei  $p(\cdot) \in W_\infty^1([t_0, t_1], \mathbb{R}^n)$ . Ferner gelte:*

(a) *Das Tripel  $(x_*(\cdot), u_*(\cdot), p(\cdot))$  erfüllt (2.20)–(2.22) in Theorem 2.3 mit  $\lambda_0 = 1$ .*

(b) *Für jedes  $t \in [t_0, t_1]$  ist die Funktion  $\mathcal{H}^S(t, x, p(t))$  konkav in  $x$  auf  $V_\gamma^S(t)$ .*

*Dann ist  $(x_*(\cdot), u_*(\cdot))$  ein starkes lokales Minimum der Aufgabe (2.28)–(2.31).*

**Beweis** Es sei  $t \in [t_0, t_1]$  gegeben. Da die Abbildung  $x \rightarrow -\mathcal{H}^S(t, x, p(t))$  auf  $V_\gamma^S(t)$  konvex ist, ist die Menge  $Z = \{(\alpha, x) \in \mathbb{R} \times \mathbb{R}^n \mid x \in V_\gamma^S(t), \alpha \geq -\mathcal{H}^S(t, x, p(t))\}$  konvex und besitzt ein nichtleeres Inneres. Wir setzen  $\alpha_* = -\mathcal{H}^S(t, x_*(t), p(t))$ . Dann ist  $(\alpha_*, x_*(t))$  mit ein Randpunkt der Menge  $Z$ . Daher existiert nach dem Trennungssatz für konvexe Mengen ein nichttrivialer Vektor  $(a_0(t), a(t)) \in \mathbb{R} \times \mathbb{R}^n$  mit

$$a_0(t)\alpha + \langle a(t), x \rangle \geq a_0(t)\alpha_* + \langle a(t), x_*(t) \rangle \quad \text{für alle } (\alpha, x) \in Z. \quad (2.33)$$

Es ist  $x_*(t)$  ein innerer Punkt der Menge  $V_\gamma^S(t)$ . Weiterhin folgt aus den elementaren Eigenschaften konvexer Funktionen, dass  $x \rightarrow -\mathcal{H}^S(t, x, p(t))$  in  $V_\gamma^S(t)$  stetig ist, da sie auf  $V_\gamma^S(t)$  konvex und nach oben durch  $x \rightarrow -H^S(t, x, u_*(t), p(t))$  beschränkt ist. Deswegen existiert ein  $\delta > 0$  mit  $x_*(t) + \xi \in V_\gamma^S(t)$  und  $(\alpha_* + 1, x_*(t) + \xi) \in Z$  für alle

$\|\xi\| < \delta$ . Aus (2.33) folgt daher  $a_0(t) + \langle a(t), \xi \rangle \geq 0$  für alle  $\|\xi\| < \delta$ . Dies zeigt  $a_0(t) > 0$  und wir können ohne Einschränkung  $a_0(t) = 1$  annehmen. Wiederum (2.33) liefert damit

$$\langle a(t), x - x_*(t) \rangle \geq \mathcal{H}^S(t, x, p(t)) - \mathcal{H}^S(t, x_*(t), p(t)) \quad \text{für alle } x \in V_\gamma^S(t). \quad (2.34)$$

Es sei nun  $t \in [t_0, t_1]$  so gewählt, dass die Maximumbedingung (2.9) zu diesem Zeitpunkt erfüllt ist. Dann folgt aus (2.34), dass

$$\begin{aligned} \langle a(t), x - x_*(t) \rangle &\geq \sup_{u \in U} H^S(t, x, u, p(t)) - H^S(t, x_*(t), u_*(t), p(t), 1) \\ &\geq H^S(t, x, u_*(t), p(t), 1) - H^S(t, x_*(t), u_*(t), p(t), 1) \end{aligned}$$

für alle  $x \in V_\gamma^S(t)$  gilt. Wir setzen

$$\Phi(x) = H^S(t, x, u_*(t), p(t), 1) - H^S(t, x_*(t), u_*(t), p(t), 1) - \langle a(t), x - x_*(t) \rangle.$$

Die Funktion  $\Phi(x)$  ist stetig differenzierbar auf  $V_\gamma^S(t)$ . Ferner gelten  $\Phi(x) \leq 0$  für alle  $x \in V_\gamma^S(t)$  und  $\Phi(x_*(t)) = 0$ . Damit nimmt die Funktion  $\Phi$  in dem inneren Punkt  $x_*(t)$  der Menge  $V_\gamma^S(t)$  ihr globales Maximum an. Also gilt  $0 = \Phi'(x_*(t))$ , d. h.

$$-a(t) = -\varphi_x^T(t, x_*(t), u_*(t))p(t) + f_x(t, x_*(t), u_*(t)). \quad (2.35)$$

Die Gleichung (2.35) wurde unter der Annahme erzielt, dass die Maximumbedingung (2.9) in dem Zeitpunkt  $t \in [t_0, t_1]$  erfüllt ist. Da (2.9) für fast alle  $t \in [t_0, t_1]$  gilt, stimmt  $-a(t)$  mit der Ableitung  $\dot{p}(t)$  überein. Also gilt auf  $V_\gamma^S$  die Ungleichung

$$\langle \dot{p}(t), x - x_*(t) \rangle \leq \mathcal{H}^S(t, x_*(t), p(t)) - \mathcal{H}^S(t, x, p(t)) \quad (2.36)$$

für fast alle  $t \in [t_0, t_1]$ . Für  $(x(\cdot), u(\cdot)) \in \mathcal{B}_{\text{adm}}^S$  mit  $\|x(\cdot) - x_*(\cdot)\|_\infty < \gamma$  erhalten wir:

$$\begin{aligned} J(x(\cdot), u(\cdot)) - J(x_*(\cdot), u_*(\cdot)) &= \int_{t_0}^{t_1} [f(t, x(t), u(t)) - f(t, x_*(t), u_*(t))] dt \\ &\geq \int_{t_0}^{t_1} [\mathcal{H}^S(t, x_*(t), p(t)) - \mathcal{H}^S(t, x(t), p(t))] dt + \int_{t_0}^{t_1} \langle p(t), \dot{x}(t) - \dot{x}_*(t) \rangle dt \\ &\geq \int_{t_0}^{t_1} [\langle \dot{p}(t), x(t) - x_*(t) \rangle + \langle p(t), \dot{x}(t) - \dot{x}_*(t) \rangle] dt \\ &= \langle p(t_1), x(t_1) - x_*(t_1) \rangle - \langle p(t_0), x(t_0) - x_*(t_0) \rangle. \end{aligned}$$

Im Fall fester Anfangs- und Endbedingungen verschwinden die Differenzen  $x(t_i) - x_*(t_i)$ . Sind jedoch gewissen Komponenten im Anfangs- oder Endpunkt  $x_0$  bzw.  $x_1$  frei, dann liefern die Transversalitätsbedingungen, dass die entsprechenden Komponenten der Adjungierten  $p(\cdot)$  zum Zeitpunkt  $t_0$  bzw.  $t_1$  verschwinden. Daher folgt die Beziehung

$$J(x(\cdot), u(\cdot)) - J(x_*(\cdot), u_*(\cdot)) \geq 0$$

für alle zulässigen  $(x(\cdot), u(\cdot))$  mit  $\|x(\cdot) - x_*(\cdot)\|_\infty < \gamma$ . ■

**Beispiel 2.6.** Wir betrachten nach Seierstad & Sydsæter [66] ein Zwei-Sektoren-Modell, das aus der Produktion von Investitions- und Konsumgüter besteht. Wir bezeichnen mit  $x(t)$  bzw.  $y(t)$  die Rate der Güterproduktion im Investitions- bzw. Konsumsektor und es beschreibe  $u(t) \in [0, 1]$  die Aufteilung der Investitionsgüter auf beide Sektoren zur Produktion. Es entsteht damit die Aufgabe

$$\left. \begin{aligned} J(x(\cdot), y(\cdot), u(\cdot)) &= \int_0^T y(t) dt \rightarrow \sup, \\ \dot{x}(t) &= u(t)x(t), \quad x(0) = x_0 > 0, \\ \dot{y}(t) &= (1 - u(t))x(t), \quad y(0) = y_0 > 0, \\ u &\in [0, 1], \quad T > 2. \end{aligned} \right\} \quad (2.37)$$

Wir gehen zu einem Minimierungsproblem über und wenden Theorem 2.3 an.

Die Pontrjagin-Funktion lautet  $H^S(t, x, y, u, p, q) = uxp + (1 - u)xq + y$ . Für die Adjungierten  $p(\cdot)$  und  $q(\cdot)$  ergeben sich die Gleichungen

$$\dot{p}(t) = -u_*(t)p(t) - (1 - u_*(t))q(t), \quad p(T) = 0, \quad \dot{q}(t) = -1, \quad q(T) = 0.$$

Es folgt unmittelbar  $q(t) = T - t$ . Die Maximumbedingung ist äquivalent zu der Bedingung  $\max_{u \in [0, 1]} u \cdot [p(t) - q(t)] \cdot x(t)$  und wir erhalten  $u_*(t) = 1$  für  $p(t) > q(t)$  und  $u_*(t) = 0$  für

$p(t) < q(t)$  für die optimale Steuerung.

Wegen  $p(T) = 0$  und  $q(t) = T - t$  ist  $\dot{p}(t) > -1$  über einem gewissen Intervall  $(\tau, T)$ . Demzufolge gilt  $p(t) < q(t)$  und  $\dot{p}(t) = -(T - t)$  über  $(\tau, T)$ . Daraus ergibt sich  $\tau = T - 2$ . Andererseits ist  $\dot{p}(t) < -2$  für  $t \in (0, T - 2)$  und  $p(t) > q(t)$  über  $[0, T - 2)$ .

Wir erhalten zusammenfassend für die adjungierten Funktionen

$$p(t) = \begin{cases} 2e^{T-(t+2)}, & t \in [0, T - 2), \\ \frac{1}{2}(T - t)^2, & t \in [T - 2, T], \end{cases} \quad q(t) = T - t,$$

für die optimale Steuerung

$$u_*(t) = 1 \text{ für } t \in [0, T - 2) \quad \text{und} \quad u_*(t) = 0 \text{ für } t \in [T - 2, T],$$

für die zugehörigen Zustandstrajektorien

$$(x_*(t), y_*(t)) = \begin{cases} (x_0 e^t, y_0), & t \in [0, T - 2), \\ (x_0 e^{T-2}, y_0 + (t - T + 2)x_0 e^{T-2}), & t \in [T - 2, T], \end{cases}$$

und für den Wert des Zielfunktional

$$J(x_*(\cdot), y_*(\cdot), u_*(\cdot)) = \int_0^T y_*(t) dt = y_0 T + \frac{1}{2}(T - t - 2)^2 x_0 e^{T-2}.$$

Die Pontrjagin-Funktion  $H^S(t, x, y, u, p, q)$  ist nicht konkav bezüglich  $(x, y, u)$  und die hinreichenden Bedingungen nach Mangasarian im Abschnitt 1.3.4 sind nicht anwendbar. Beachten wir, dass für alle zulässigen Trajektorien die Bedingung  $x(t) \geq x_0 > 0$  gilt, dann erhalten wir für die Hamilton-Funktion

$$\mathcal{H}^S(t, x, y, p, q) = \sup_{u \in U} H^S(t, x, y, u, p, q, 1) = \begin{cases} xp + y, & p > q, \\ xq + y, & p \leq q. \end{cases}$$

Für jedes  $t \in [0, T]$  ist  $\mathcal{H}^S$  linear in  $(x, y)$ , also eine konkave Funktion in  $(x, y)$ . Da der Kandidat  $(x_*(\cdot), y_*(\cdot), u_*(\cdot))$  alle Bedingungen des Maximumprinzips erfüllt, ist er eine starke lokale Minimalstelle.  $\square$

## 2.5. Aufgaben mit Zustandsbeschränkungen

### 2.5.1. Notwendige Optimalitätsbedingungen

**Theorem 2.7** (Pontrjaginsches Maximumprinzip). *Sei  $(x_*(\cdot), u_*(\cdot)) \in \mathcal{B}_{\text{adm}}^S \cap \mathcal{B}_{\text{Lip}}^S$ . Ist  $(x_*(\cdot), u_*(\cdot))$  ein starkes lokales Minimum der Aufgabe (2.15)–(2.19), dann existieren eine Zahl  $\lambda_0 \geq 0$ , Vektoren  $l_0 \in \mathbb{R}^{s_0}$  und  $l_1 \in \mathbb{R}^{s_1}$ , eine Vektorfunktion  $p(\cdot) : [t_0, t_1] \rightarrow \mathbb{R}^n$  und auf den Mengen*

$$T_j = \{t \in [t_0, t_1] \mid g_j(t, x_*(t)) = 0\}, \quad j = 1, \dots, l,$$

*konzentrierte nichtnegative reguläre Borelsche Maße  $\mu_j$  endlicher Totalvariation (wobei sämtliche Größen nicht gleichzeitig verschwinden) derart, dass die Vektorfunktion  $p(\cdot)$  von beschränkter Variation und rechtsseitig stetig ist, und*

(a) *die adjungierte Gleichung*

$$\begin{aligned} p(t) &= -h_1'^T(x_*(t_1))l_1 + \int_t^{t_1} H_x^S(s, x_*(s), u_*(s), p(s), \lambda_0) ds \\ &\quad - \sum_{j=1}^l \int_t^{t_1} g_{j,x}(s, x_*(s)) d\mu_j(s), \end{aligned} \quad (2.38)$$

(b) *die Transversalitätsbedingungen*

$$p(t_0) = h_0'^T(x_*(t_0))l_0, \quad p(t_1) = -h_1'^T(x_*(t_1))l_1, \quad (2.39)$$

*in  $t = t_1$  die Sprung-Transversalitätsbedingung*

$$p(t_1^-) - p(t_1) = - \sum_{j=1}^l \mu_j(\{t_1\}) g_{j,x}(t_1, x_*(t_1)) \quad (2.40)$$

(c) *und in fast allen Punkten  $t \in [t_0, t_1]$  die Maximumbedingung*

$$H^S(t, x_*(t), u_*(t), p(t), \lambda_0) = \max_{u \in U} H^S(t, x_*(t), u, p(t), \lambda_0) \quad (2.41)$$

*erfüllt sind.*

Wie im Abschnitt 1.3.6 existieren an jeder Stelle  $t \in [t_0, t_1]$  die einseitigen Grenzwerte der Adjungierten  $p(\cdot)$ . Jedoch kann die Adjungierte an der Stelle  $t = t_1$  unstetig sein und es gilt (2.40).

**Beispiel 2.8.** Wir betrachten nach Seierstad & Sydsæter [66] eine Aufgabe, in welcher der Ertragsmaximierung eine Umweltschutzrichtlinie gegenüber steht. Es sei zu jedem Zeitpunkt  $t$  die Produktion proportional zum Kapital  $k(t)$  mit einer positiven Proportionalitätskonstanten  $a > 0$ . Ein Teil  $s(t)$  vom Kapital wird wieder in die weitere Produktion investiert und der verbleibende Teil  $(1 - s(t))$  dient zur Konsumption. Ferner besteht die Möglichkeit die Produktionskapazitäten über die Auslastungsrate  $u(t)$  zu steuern.

Bei der Produktion fällt Abfall an. Es beschreibt  $z(t)$  das gesamte Müllvolumen zur Zeit  $t$  und  $\dot{z}(t)$  den bei der Produktion zum Zeitpunkt  $t$  entstehenden Abfall. Wir nehmen an, dass  $\dot{z}(t)$  proportional zur Produktion und somit proportional zum Kapital ist, d. h.  $\dot{z}(t) = ck(t)$  mit einer Konstanten  $c > 0$ .

In diesem Modell hat die Verschmutzung  $z(t)$  keinen direkten Einfluss auf die Ertragsmaximierung. Die Planungsperiode  $[0, T]$  und die Startwerte  $k(0), z(0)$  für das Kapital und das Müllvolumen sind bekannt. An den Endwert  $k(T)$  wird keine Bedingung gestellt, aber das Abfallvolumen  $z(t)$  soll über  $[0, T]$  die vorgegebene Richtlinie  $Z$  nicht übersteigen.

Wir betrachten demnach die folgende Aufgabe:

$$J(k(\cdot), z(\cdot), u(\cdot), s(\cdot)) = \int_0^T (1 - s(t))u(t)k(t) dt \rightarrow \sup, \quad (2.42)$$

$$\dot{k}(t) = s(t)u(t)k(t), \quad k(0) = k_0, \quad k(T) \text{ frei}, \quad (2.43)$$

$$\dot{z}(t) = u(t)k(t) - az(t), \quad z(0) = z_0, \quad z(T) \text{ frei}, \quad (2.44)$$

$$(u, s) \in U = [0, 1] \times [0, 1], \quad (2.45)$$

$$g(t, k, z) = z(t) - Z \leq 0. \quad (2.46)$$

Weiterhin sind  $k_0, z_0, Z, T$  und  $a$  positive Konstanten, für die die Relationen

$$z_0 < Z, \quad T > 1, \quad \left(z_0 - \frac{k_0}{a}\right)e^{-aT} + \frac{k_0}{a} < Z \quad (2.47)$$

gelten. Die letzte Annahme wird dadurch erklärt, dass zulässige Handlungsmöglichkeiten existieren. Werden nämlich keine Investitionen getätigt, d. h.  $s(t) \equiv 0$  auf  $[0, T]$ , so folgt  $k(t) \equiv k_0$  und wir erhalten mit der Auslastungsrate  $u(t) \equiv 1$ :

$$z(T) = \left(z_0 - \frac{k_0}{a}\right)e^{-aT} + \frac{k_0}{a}.$$

Das Modell legt es nahe folgende drei Fälle zu betrachten:

- (A) Bei der Produktion wird in der Planungsperiode niemals die Grenze  $Z$  für die Abfallmenge erreicht und es kann über dem gesamten Planungshorizont das maximal mögliche Produktionsvolumen ausgenutzt werden, d. h.

$$z(t) < Z \quad \text{für alle } t \in [0, T].$$

(B) Die Richtlinie  $Z$  wird genau im Endzeitpunkt der Planungsperiode erreicht, d. h.

$$z(t) < Z \quad \text{für alle } t \in [0, T), \quad z(T) = Z.$$

(C) Innerhalb der Planungsperiode wird bereits die Grenze  $Z$  erreicht. Anschließend läuft die Produktion auf der höchstmöglichen Stufe, so dass die Abfallmenge  $z(t)$  die Richtlinie  $Z$  nicht überschreitet, d. h.

$$z(t) < Z \quad \text{für alle } t \in [0, t'), \quad 0 < t' < T, \quad z(t) = Z \quad \text{für alle } t \in [t', T].$$

Im Weiteren geben wir für jeden Fall nach [66] optimale Steuerungsprozesse und die wesentlichen Merkmale der Adjungierten an. Auf die Details der Analyse, die wir nicht ausführlich belegen, verweisen wir auf [66].

(A) Ist die Zustandsbeschränkung nicht aktiv, so erhalten wir die Steuerungen

$$s_*(t) = \begin{cases} 1, & t \in [0, T-1), \\ 0, & t \in [T-1, T], \end{cases} \quad u_*(t) \equiv 1 \text{ auf } [0, T].$$

Für die Dynamiken der Zustandstrajektorien  $k_*(\cdot)$ ,  $z_*(\cdot)$  ergeben sich daraus

$$\dot{k}_*(t) = \begin{cases} k_*(t), & t \in [0, T-1), \\ 0, & t \in [T-1, T], \end{cases} \quad \dot{z}_*(t) = \begin{cases} k_0 e^t - a z_*(t), & t \in [0, T-1), \\ k_0 e^{T-1} - a z_*(t), & t \in [T-1, T]. \end{cases}$$

Die Adjungierten  $p_1(\cdot)$ ,  $p_2(\cdot)$ , die den Zuständen  $k_*(\cdot)$  bzw.  $z_*(\cdot)$  zugeordnet sind, sind absolutstetig und erfüllen die Transversalitätsbedingungen  $p_1(T) = 0$  und  $p_2(T) = 0$ .

(B) Ist die Zustandsbeschränkung in  $t = T$  aktiv, dann gilt für die Steuerungen

$$s_*(t) = \begin{cases} 1, & t \in [0, t_*), \\ 0, & t \in [t_*, T], \end{cases} \quad u_*(t) \equiv 1 \text{ auf } [0, T],$$

wobei  $t_*$  der Bedingung

$$e^{t_*} - \frac{e^{-aT}}{1+a} e^{(1+a)t_*} = \frac{a}{k_0} \left[ Z - \left( z_0 - \frac{k_0}{1+a} \right) e^{-aT} \right]$$

genügt. Die Zustandstrajektorien verhalten sich entsprechend dem Fall (A), wobei der Umschaltzeitpunkt  $t = T-1$  durch  $t = t_*$  zu ersetzen ist. Für die Adjungierte  $p_2(\cdot)$  ergibt sich in  $t = T$  die Transversalitätsbedingung

$$p_2(T) = -\mu(\{T\}) = a \frac{t_* - (T-1)}{1 - e^{-a(T-t_*)}} \in [-1, 0].$$

Daher muss  $t_* \leq T-1$  gelten. Im Vergleich zum Fall (A) werden die Investitionen gegebenenfalls früher beendet. Ist dabei  $t_* = T-1$ , dann stimmt die Lösung mit derjenigen Lösung im Fall (A) überein.

(C) Es sei  $t' = \sup\{t \in [0, T] \mid z_*(t) < Z\}$ . Ist die Zustandsbeschränkung auf dem Intervall  $[t', T]$  aktiv, dann gibt es einen Zeitpunkt  $t''$  mit  $0 < t'' < t' < T$  und

$$s_*(t) = \begin{cases} 1, & t \in [0, t''), \\ 0, & t \in [t'', T], \end{cases} \quad u_*(t) = \begin{cases} 1, & t \in [0, t'), \\ \frac{aZ}{k_*(t'')}, & t \in [t', T]. \end{cases}$$

Dabei erfüllen die Zeitpunkte  $t', t''$  die gekoppelten Bedingungen

$$1 + \frac{1}{a} = t' - t'' + \frac{1}{a}e^{-a(t'-t'')}, \\ Z = \left[ z_0 - \frac{k_0}{1+a} - \frac{k_0}{a(1+a)}e^{(1+a)t''} \right] e^{-at'} + \frac{k_0}{a}e^{t''}.$$

Für die Dynamiken der Zustandstrajektorien  $k_*(\cdot), z_*(\cdot)$  ergeben sich daraus

$$\dot{k}_*(t) = \begin{cases} k_*(t), & t \in [0, t''), \\ 0, & t \in [t'', T], \end{cases} \quad \dot{z}_*(t) = \begin{cases} k_*(t) - az_*(t), & t \in [0, t'), \\ 0, & t \in [t', T]. \end{cases}$$

Die Adjungierte  $p_2(t)$  genügt auf  $(t', T)$  der Differentialgleichung

$$\dot{p}_2(t) = ap_2(t) + \lambda(t), \quad \lambda(t) = a$$

und es ergibt sich in  $t = T$  die Transversalitätsbedingung  $p_2(T) = -1$ .  $\square$

### 2.5.2. Der Nachweis der notwendigen Optimalitätsbedingungen

Wir betrachten für  $(x(\cdot), u(\cdot)) \in C([t_0, t_1], \mathbb{R}^n) \times L_\infty([t_0, t_1], \mathbb{R}^m)$  die Abbildungen

$$J(x(\cdot), u(\cdot)) = \int_{t_0}^{t_1} f(t, x(t), u(t)) dt, \\ F(x(\cdot), u(\cdot))(t) = x(t) - x(t_0) - \int_{t_0}^t \varphi(s, x(s), u(s)) ds, \quad t \in [t_0, t_1], \\ H_i(x(\cdot)) = h_i(x(t_i)), \quad i = 0, 1, \\ G_j(x(\cdot)) = \max_{t \in [t_0, t_1]} g_j(t, x(t)), \quad j = 1, \dots, l.$$

Da  $x(\cdot)$  zu  $C([t_0, t_1], \mathbb{R}^n)$  gehört, gilt für diese Abbildungen

$$J : C([t_0, t_1], \mathbb{R}^n) \times L_\infty([t_0, t_1], \mathbb{R}^m) \rightarrow \mathbb{R}, \\ F : C([t_0, t_1], \mathbb{R}^n) \times L_\infty([t_0, t_1], \mathbb{R}^m) \rightarrow C_0([t_0, t_1], \mathbb{R}^n), \\ H_i : C([t_0, t_1], \mathbb{R}^n) \rightarrow \mathbb{R}^{s_i}, \quad i = 0, 1, \\ G_j : C([t_0, t_1], \mathbb{R}^n) \rightarrow \mathbb{R}, \quad j = 1, \dots, l.$$

Wir setzen  $\mathcal{F} = (F, H_0, H_1)$  und prüfen für die Extremalaufgabe

$$J(x(\cdot), u(\cdot)) \rightarrow \inf, \quad \mathcal{F}(x(\cdot), u(\cdot)) = 0, \quad G_j(x(\cdot)) \leq 0, \quad u(\cdot) \in L_\infty([t_0, t_1], U) \quad (2.48)$$

im Punkt  $(x_*(\cdot), u_*(\cdot)) \in \mathcal{B}_{\text{Lip}}^{\mathcal{S}}$ , wobei wir  $x_*(\cdot)$  als Element des Raumes  $C([t_0, t_1], \mathbb{R}^n)$  auffassen, die Voraussetzungen von Theorem F.5:

(A<sub>2</sub>) Mit Verweis auf Abschnitt 2.4.2 sind nur noch die Abbildungen  $G_j$  zu diskutieren. In den Beispielen D.4 und D.5 wird gezeigt, dass die Funktionen  $G_j$  Hintereinanderausführungen einer stetigen, konvexen, eigentlichen Funktion und einer Fréchet-differenzierbaren Abbildung sind. Daher sind nach Lemma D.1 die Funktionen  $G_j$  in  $x_*(\cdot)$  lokalkonvex und bezüglich jeder Richtung gleichmäßig differenzierbar.

Zur Extremalaufgabe (2.48) definieren wir auf

$$C([t_0, t_1], \mathbb{R}^n) \times L_\infty([t_0, t_1], \mathbb{R}^m) \times \mathbb{R} \times C_0^*([t_0, t_1], \mathbb{R}^n) \times \mathbb{R}^{s_0} \times \mathbb{R}^{s_1} \times \mathbb{R}^l$$

die Lagrange-Funktion  $\mathcal{L} = \mathcal{L}(x(\cdot), u(\cdot), \lambda_0, y^*, l_0, l_1, \lambda)$ ,

$$\mathcal{L} = \lambda_0 J(x(\cdot), u(\cdot)) + \langle y^*, F(x(\cdot), u(\cdot)) \rangle + l_0^T H_0(x(\cdot)) + l_1^T H_1(x(\cdot)) + \sum_{j=1}^l \lambda_j G_j(x(\cdot)).$$

Ist  $(x_*(\cdot), u_*(\cdot))$  eine starke lokale Minimalstelle der Extremalaufgabe (2.48), dann existieren nach Theorem F.5 nicht gleichzeitig verschwindende Lagrangesche Multiplikatoren  $\lambda_0 \geq 0$ ,  $y^* \in C_0^*([t_0, t_1], \mathbb{R}^n)$ ,  $l_i \in \mathbb{R}^{s_i}$  und  $\lambda_1 \geq 0, \dots, \lambda_l \geq 0$  derart, dass gelten:

(a) Die Lagrange-Funktion besitzt bezüglich  $x(\cdot)$  in  $x_*(\cdot)$  einen stationären Punkt, d. h.

$$0 \in \partial_x \mathcal{L}(x_*(\cdot), u_*(\cdot), \lambda_0, y^*, l_0, l_1, \lambda); \quad (2.49)$$

(b) Die Lagrange-Funktion erfüllt bezüglich  $u(\cdot)$  in  $u_*(\cdot)$  die Minimumbedingung

$$\mathcal{L}(x_*(\cdot), u_*(\cdot), \lambda_0, y^*, l_0, l_1, \lambda) = \min_{u(\cdot) \in L_\infty([t_0, t_1], U)} \mathcal{L}(x_*(\cdot), u(\cdot), \lambda_0, y^*, l_0, l_1, \lambda); \quad (2.50)$$

(c) Die komplementären Schlupfbedingungen gelten, d. h.

$$0 = \lambda_j G_j(x(\cdot)), \quad i = 1, \dots, l. \quad (2.51)$$

Aufgrund (2.49) ist folgende Variationsgleichung für alle  $x(\cdot) \in C([t_0, t_1], \mathbb{R}^n)$  erfüllt:

$$\begin{aligned} 0 &= \lambda_0 \int_{t_0}^{t_1} \langle f_x(t, x_*(t), u_*(t)), x(t) \rangle dt + \langle l_0, h'_0(x_*(t_0))x(t_0) \rangle + \langle l_1, h'_1(x_*(t_1))x(t_1) \rangle \\ &+ \int_{t_0}^{t_1} \left[ x(t) - x(0) - \int_0^t \varphi_x(s, x_*(s), u_*(s))x(s) ds \right]^T d\mu(t) \\ &+ \sum_{j=1}^l \lambda_j \int_{t_0}^{t_1} \langle g_{j,x}(t, x_*(t)), x(t) \rangle d\tilde{\mu}_j(t). \end{aligned} \quad (2.52)$$

In (2.52) verschwinden die Lagrangeschen Multiplikatoren  $\lambda_j \geq 0$ , falls die entsprechende Zustandsbeschränkung nichtaktiv ist. Andernfalls besitzen die nichtnegativen regulären Borelschen Maße  $\tilde{\mu}_j$  die Totalvariation  $\|\tilde{\mu}_j\| = 1$  und sind jeweils auf der Menge

$$T_j = \{t \in [t_0, t_1] \mid g_j(t, x_*(t)) = 0\}$$

konzentriert. Wir schreiben  $\mu_j = \lambda_j \tilde{\mu}_j$ . Dann können unter den Maßen  $\mu_j$  nur diejenigen von Null verschieden sein, für die die Menge  $T_j \neq \emptyset$  ist. Daher kann man o. B. d. A. annehmen, alle Maße  $\mu_j$  seien auf den Mengen  $T_j$  konzentriert.

In der Gleichung (2.52) ändern wir die Integrationsreihenfolge im zweiten Summanden und bringen sie in die Form

$$\begin{aligned} 0 &= \int_{t_0}^{t_1} \langle \lambda_0 f_x(t, x_*(t), u_*(t)) - \varphi_x^T(t, x_*(t), u_*(t)) \int_t^{t_1} d\mu(s), x(t) \rangle dt \\ &+ \int_{t_0}^{t_1} [x(t)]^T d\mu(t) + \langle h_0'^T(x_*(t_0))l_0 - \int_{t_0}^{t_1} d\mu(t), x(t_0) \rangle + \langle h_1'^T(x_*(t_1))l_1, x(t_1) \rangle \\ &+ \sum_{j=1}^l \int_{t_0}^{t_1} \langle g_{j,x}(t, x_*(t)), x(t) \rangle d\mu_j(t). \end{aligned} \quad (2.53)$$

Wir setzen  $p(t) = \int_t^{t_1} d\mu(s)$ , so ist  $p(\cdot)$  eine Funktion von beschränkter Variation und gemäß den Eigenschaften einer Verteilungsfunktion rechtsseitig stetig.

Die rechte Seite in (2.53) definiert ein stetiges lineares Funktional im Raum  $C([t_0, t_1], \mathbb{R}^n)$ . Wenden wir den Darstellungssatz von Riesz an, so folgen aus der eindeutigen Darstellung eines stetigen linearen Funktionals im Raum  $C([t_0, t_1], \mathbb{R}^n)$  die Beziehungen

$$\begin{aligned} p(t) &= -h_1'^T(x_*(t_1))l_1 + \int_t^{t_1} H_x^S(s, x_*(s), u_*(s), p(s), \lambda_0) ds \\ &\quad - \sum_{j=1}^l \int_t^{t_1} g_{j,x}(s, x_*(s)) d\mu_j(s), \\ p(t_0) &= h_0'^T(x_*(t_0))l_0. \end{aligned}$$

Damit sind (2.38) und (2.39) gezeigt.

Genauso wie im Abschnitt 2.4.2 ist die Beziehung (2.50) äquivalent zu

$$\begin{aligned} &\int_{t_0}^{t_1} \lambda_0 f(t, x_*(t), u_*(t)) dt - \int_{t_0}^{t_1} \left[ \int_{t_0}^t \varphi(s, x_*(s), u_*(s)) ds \right]^T d\mu(t) \\ &= \min_{u(\cdot) \in L_\infty([t_0, t_1], U)} \left\{ \int_{t_0}^{t_1} \lambda_0 f(t, x_*(t), u(t)) dt - \int_{t_0}^{t_1} \left[ \int_{t_0}^t \varphi(s, x_*(s), u(s)) ds \right]^T d\mu(t) \right\} \end{aligned}$$

und es ergibt sich durch Vertauschen der Integrationsreihenfolge die Ungleichung

$$\begin{aligned} & \int_{t_0}^{t_1} [\lambda_0 f(t, x_*(t), u_*(t)) - \langle p(t), \varphi(t, x_*(t), u_*(t)) \rangle] dt \\ & \leq \int_{t_0}^{t_1} [\lambda_0 f(t, x_*(t), u(t)) - \langle p(t), \varphi(t, x_*(t), u(t)) \rangle] dt \end{aligned} \quad (2.54)$$

für alle  $u(\cdot) \in L_\infty([t_0, t_1], U)$ . Die Herleitung der Maximumbedingung (2.41) aus (2.54) basiert auf den Lebesgueschen Punkten: Ist  $f(t)$  über  $[a, b]$  integrierbar, so ist fast jeder Punkt  $t \in (a, b)$ , insbesondere jeder Stetigkeitspunkt, ein Lebesguescher Punkt (vgl. [57]) und es gilt in diesen Stellen

$$\lim_{h \rightarrow 0^+} \frac{1}{h} \int_0^h |f(t_0 \pm t) - f(t_0)| dt = 0.$$

In (2.54) sind  $t \rightarrow f(t, x_*(t), u_*(t))$  und  $t \rightarrow \varphi(t, x_*(t), u_*(t))$  über  $[t_0, t_1]$  integrierbar. Demnach besitzen sie fast überall in  $(t_0, t_1)$  Lebesguesche Punkte. Mit  $T_f$  bzw.  $T_\varphi$  bezeichnen wir die Stellen, in denen für diese Abbildungen keine Lebesgueschen Punkte vorliegen.

Ferner ist in (2.54) die Adjungierte  $p(\cdot)$  eine Funktion beschränkter Variation. Damit besitzt  $p(\cdot)$  als Differenz zweier monotoner Funktionen ([57], S. 229) nur abzählbar viele Unstetigkeitsstellen. Mit  $T_p$  bezeichnen wir die Menge der Unstetigkeitsstellen. Ferner sind für jedes  $u \in U$  die Abbildungen  $t \rightarrow f(t, x_*(t), u)$  und  $t \rightarrow \varphi(t, x_*(t), u)$  über  $[t_0, t_1]$  integrierbar und stetig. Also sind für jedes  $u \in U$  alle  $t \in (t_0, t_1)$  Lebesguesche Punkte.

Es seien  $u \in U$ ,  $\lambda > 0$  und  $\tau \in (t_0, t_1) \setminus (T_f \cup T_\varphi \cup T_p)$ . Wir setzen für  $0 < \lambda < t_1 - \tau$

$$u_\lambda(t) = \begin{cases} u, & t \in [\tau, \tau + \lambda], \\ u_*(t), & t \notin [\tau, \tau + \lambda]. \end{cases}$$

Dann gilt  $u_\lambda(\cdot) \in L_\infty(\mathbb{R}_+, U)$  und ist zulässig. In (2.54) ergibt sich nun

$$\begin{aligned} & \frac{1}{\lambda} \int_{t_0}^{t_1} [H^S(t, x_*(t), u_\lambda(t), p(t), \lambda_0) - H^S(t, x_*(t), u_*(t), p(t), \lambda_0)] dt \\ & = \frac{1}{\lambda} \int_\tau^{\tau+\lambda} [H^S(t, x_*(t), u, p(t), \lambda_0) - H^S(t, x_*(t), u_*(t), p(t), \lambda_0)] dt \leq 0. \end{aligned}$$

Da  $\tau \in (t_0, t_1) \setminus (T_f \cup T_\varphi \cup T_p)$  ein Lebesguescher Punkt aller eingehender Abbildungen ist, folgt  $H^S(\tau, x_*(\tau), u, p(\tau), \lambda_0) - H^S(\tau, x_*(\tau), u_*(\tau), p(\tau), \lambda_0) \leq 0$ . Zusammenfassend gilt diese Ungleichung für alle  $\tau \in (t_0, t_1) \setminus (T_f \cup T_\varphi \cup T_p)$  und alle  $u \in U$ . Somit ist für fast alle  $t \in [t_0, t_1]$  die Maximumbedingung (2.41) erfüllt. ■

### 2.5.3. Hinreichende Bedingungen nach Arrow

Die Herleitung der hinreichenden Bedingungen basiert wieder auf Seierstad & Sydsæter [66] mit den ergänzenden Ausführungen in Aseev & Kryazhimskii [2].

Wir betrachten das Steuerungsproblem

$$J(x(\cdot), u(\cdot)) = \int_{t_0}^{t_1} f(t, x(t), u(t)) dt \rightarrow \inf, \quad (2.55)$$

$$\dot{x}(t) = \varphi(t, x(t), u(t)), \quad (2.56)$$

$$x(t_0) = x_0, \quad x(t_1) = x_1, \quad (2.57)$$

$$u(t) \in U \subseteq \mathbb{R}^m, \quad U \neq \emptyset, \quad (2.58)$$

$$g_j(t, x(t)) \leq 0 \quad \text{für alle } t \in [t_0, t_1], \quad j = 1, \dots, l. \quad (2.59)$$

In der Aufgabenstellung schließen wir wieder den Fall nicht aus, dass durch die Randbedingungen (2.57) gewisse Komponenten der Punkte  $x_0$  und  $x_1$  nicht fest vorgegeben, sondern ohne Einschränkung sind.

Wir definieren die Menge  $V_\gamma^S(t) = \{x \in \mathbb{R}^n \mid \|x - x_*(t)\| < \gamma\}$ . Weiterhin bezeichnet

$$\mathcal{H}^S(t, x, p) = \sup_{u \in U} H^S(t, x, u, p, 1) \quad (2.60)$$

die Hamilton-Funktion  $\mathcal{H}^S$  im normalen Fall.

**Theorem 2.9.** *In der Aufgabe (2.55)–(2.59) sei  $(x_*(\cdot), u_*(\cdot)) \in \mathcal{B}_{\text{Lip}}^S \cap \mathcal{B}_{\text{adm}}^S$ . Außerdem sei die Vektorfunktion  $p(\cdot) : [t_0, t_1] \rightarrow \mathbb{R}^n$  stückweise stetig, besitze höchstens endlich viele Sprungstellen (d. h. die einseitigen Grenzwerte existieren)  $s_k \in (t_0, t_1)$  und sei zwischen diesen Sprüngen stetig differenzierbar. Ferner gelte:*

- (a) *Das Tripel  $(x_*(\cdot), u_*(\cdot), p(\cdot))$  erfüllt (2.38)–(2.41) in Theorem 2.7 mit  $\lambda_0 = 1$ .*
- (b) *Für jedes  $t \in [t_0, t_1]$  ist die Funktion  $\mathcal{H}^S(t, x, p(t))$  konkav und es sind die Funktionen  $g_j(t, x)$ ,  $j = 1, \dots, l$ , konvex bezüglich  $x$  auf  $V_\gamma^S(t)$ .*

*Dann ist  $(x_*(\cdot), u_*(\cdot))$  ein starkes lokales Minimum der Aufgabe (2.55)–(2.59).*

**Bemerkung 2.10.** Der Teil (a) in Theorem 2.9 bedarf einer detaillierteren Diskussion:

Da wir von einer stückweise, nach Theorem 2.7 rechtsseitig stetigen und zwischen den Sprungstellen stetig differenzierbaren Adjungierten  $p(\cdot)$  ausgehen, können wir die adjungierte Gleichung (2.38) in Integraldarstellung in die Form einer stückweise definierten Differentialgleichung mit Sprungbedingungen überführen.

Es bezeichnen  $t_0 < s_1 < \dots < s_d < t_1$  die Unstetigkeitsstellen der Adjungierten  $p(\cdot)$  im Intervall  $(t_0, t_1)$ . Dann gelten die Sprungbedingungen

$$p(s_k) - p(s_k^-) = \sum_{j=1}^l \beta_j^k g_{j,x}(s_k, x_*(s_k)), \quad \beta_j^k = \mu_j(\{s_k\}) \geq 0, \quad k = 1, \dots, d.$$

Ferner gibt es eine stückweise stetige Vektorfunktion  $\lambda(\cdot) : [t_0, t_1] \rightarrow \mathbb{R}^l$  derart, dass

$$\dot{p}(t) = -H_x^S(t, x_*(t), u_*(t), p(t), 1) + \sum_{j=1}^l \lambda_j(t) g_{j,x}(t, x_*(t))$$

stückweise auf  $(s_{k-1}, s_k)$ ,  $k = 1, \dots, d+1$ , gilt. Dabei haben wir  $s_0 = t_0$ ,  $s_{d+1} = t_1$  gesetzt. Abschließend halten wir fest, dass wegen der Positivität der Maße  $\mu_j$  und der Konzentration dieser Maße auf den Mengen  $T_j = \{t \in [t_0, t_1] \mid g_j(t, x_*(t)) = 0\}$  die Komplementaritätsbedingungen  $\lambda_j(t) \geq 0$  und  $\lambda_j(t) g_j(t, x_*(t)) = 0$  auf  $[t_0, t_1]$ , in den Sprungstellen  $\beta_j^k \geq 0$  und  $\beta_j^k g_j(s_k, x_*(s_k)) = 0$  für  $j = 1, \dots, l$  und  $k = 1, \dots, d$ , sowie  $\beta_j = \mu_j(\{t_1\}) \geq 0$  und  $\beta_j g_j(t_1, x_*(t_1)) = 0$  im Endpunkt  $t_1$  gelten.  $\square$

**Beweis** Wie im Beweis von Theorem 2.5 in Abschnitt 2.4.3 ergibt sich

$$\langle a(t), x - x_*(t) \rangle \geq \mathcal{H}^S(t, x, p(t)) - \mathcal{H}^S(t, x_*(t), p(t)) \quad \text{für alle } x \in V_\gamma(t),$$

wobei  $a(t) = H_x^S(t, x_*(t), u_*(t), p(t), 1)$  für fast alle  $t \in [t_0, t_1]$  erfüllt ist, vgl. (2.34) und (2.35). Damit und mit Bemerkung 2.10 gilt für fast alle  $t \in [t_0, t_1]$  die Ungleichung

$$\mathcal{H}^S(t, x_*(t), p(t)) - \mathcal{H}^S(t, x, p(t)) \geq \left\langle \dot{p}(t) - \sum_{j=1}^l \lambda_j(t) g_{j,x}(t, x_*(t)), x - x_*(t) \right\rangle.$$

Ferner gelten die Komplementaritätsbedingungen  $\lambda_j(t) \geq 0$  und  $\lambda_j(t) g_j(t, x_*(t)) = 0$ .

Wir betrachten zunächst den Fall, dass  $p(\cdot)$  stetig ist. Die Konvexität der Abbildungen  $g_j(t, x)$  bezüglich  $x$  auf  $V_\gamma(t)$  liefert die Ungleichungen

$$g_j(t, x) \geq g_j(t, x_*(t)) + \langle g_{j,x}(t, x_*(t)), x - x_*(t) \rangle.$$

Genügt  $x(\cdot)$  den Zustandsbeschränkungen  $g_j(t, x) \leq 0$ , dann ergeben sich mit den Komplementaritätsbedingungen  $\lambda_j(t) g_j(t, x_*(t)) = 0$  und  $\lambda_j(t) \geq 0$  die Ungleichungen

$$-\lambda_j(t) \langle g_{j,x}(t, x_*(t)), x(t) - x_*(t) \rangle \geq -\lambda_j(t) g_j(t, x(t)) \geq 0, \quad j = 1, \dots, l.$$

Die gleiche Argumentation führt an der Stelle  $t = t_1$  zu der Ungleichung

$$-\sum_{j=1}^l \langle \beta_j g_{j,x}(t_1, x_*(t_1)), x(t_1) - x_*(t_1) \rangle \geq 0. \quad (2.61)$$

Damit erhalten wir für  $(x(\cdot), u(\cdot)) \in \mathcal{B}_{\text{adm}}^{\mathcal{S}}$  mit  $\|x(\cdot) - x_*(\cdot)\|_{\infty} < \gamma$ :

$$\begin{aligned}
J(x(\cdot), u(\cdot)) - J(x_*(\cdot), u_*(\cdot)) &= \int_{t_0}^{t_1} [f(t, x(t), u(t)) - f(t, x_*(t), u_*(t))] dt \\
&\geq \int_{t_0}^{t_1} [\mathcal{H}^{\mathcal{S}}(t, x_*(t), p(t)) - \mathcal{H}^{\mathcal{S}}(t, x(t), p(t))] dt + \int_{t_0}^{t_1} \langle p(t), \dot{x}(t) - \dot{x}_*(t) \rangle dt \\
&\geq \int_{t_0}^{t_1} [\langle \dot{p}(t), x(t) - x_*(t) \rangle + \langle p(t), \dot{x}(t) - \dot{x}_*(t) \rangle] dt \\
&\quad - \int_{t_0}^{t_1} \sum_{j=1}^l \lambda_j(t) \langle g_{j,x}(t, x_*(t)), x(t) - x_*(t) \rangle dt \\
&\geq \int_{t_0}^{t_1} [\langle \dot{p}(t), x(t) - x_*(t) \rangle + \langle p(t), \dot{x}(t) - \dot{x}_*(t) \rangle] dt \\
&= \langle p(t_1), x(t_1) - x_*(t_1) \rangle - \langle p(t_0), x(t_0) - x_*(t_0) \rangle \\
&\geq -\langle l_1, x(t_1) - x_*(t_1) \rangle - \langle l_0, x(t_0) - x_*(t_0) \rangle.
\end{aligned}$$

Die letzte Zeile folgt mit Hilfe (2.61) und der Transversalitätsbedingungen (2.39), (2.40).

Es besitze nun  $p(\cdot)$  im Intervall  $(t_0, t_1)$  die Unstetigkeitsstellen  $t_0 < s_1 < \dots < s_d \leq t_1$ . Dann gelten nach Bemerkung 2.10 die Sprungbedingungen

$$p(s_k) - p(s_k^-) = \sum_{j=1}^l \beta_j^k g_{j,x}(s_k, x_*(s_k)), \quad \beta_j^k \geq 0, \quad k = 1, \dots, d.$$

Erneut mit Hilfe der Konvexität der Abbildungen  $g_j(t, x)$  und der Komplementaritätsbedingungen erhalten wir die Ungleichungen

$$-\langle p(s_k) - p(s_k^-), x - x_*(s_k) \rangle \geq 0, \quad x \in V_{\gamma}(s_k), \quad k = 1, \dots, d.$$

Für  $(x(\cdot), u(\cdot)) \in \mathcal{B}_{\text{adm}}^{\mathcal{S}}$  mit  $\|x(\cdot) - x_*(\cdot)\|_{\infty} < \gamma$  ergibt sich im Fall  $s_d < t_1$

$$\begin{aligned}
&\int_{t_0}^{t_1} \langle \dot{p}(t), x(t) - x_*(t) \rangle + \langle p(t), \dot{x}(t) - \dot{x}_*(t) \rangle dt \\
&= \langle p(t_1), x(t_1) - x_*(t_1) \rangle - \sum_{k=1}^d \langle p(s_k) - p(s_k^-), x(s_k) - x_*(s_k) \rangle - \langle p(t_0), x(t_0) - x_*(t_0) \rangle \\
&\geq -\langle l_1, x(t_1) - x_*(t_1) \rangle - \langle l_0, x(t_0) - x_*(t_0) \rangle.
\end{aligned}$$

Mit der gleichen Argumentation wie im Abschnitt 2.4.3 folgt damit

$$J(x(\cdot), u(\cdot)) - J(x_*(\cdot), u_*(\cdot)) \geq 0$$

für alle zulässigen  $(x(\cdot), u(\cdot))$  mit  $\|x(\cdot) - x_*(\cdot)\|_{\infty} < \gamma$ . ■



Abbildung 9: Panorama-Ansicht des Stausees Mooserboden.

**Beispiel 2.11.** Im Folgenden untersuchen wir ein optimales Speichermanagement eines Wasserkraftwerkes. Es bezeichne  $x(t)$  die Höhe des Stausees innerhalb der Stauanlage. Die natürliche Zulaufmenge, die in den Stausee einfließt, wird durch die Funktion  $w(t) > 0$  beschrieben. Gesteuert wird die Stauhöhe  $x(t)$  durch die Ablaufmenge  $v(t)$ . Weiterhin bezeichnen  $x_{\min}, x_{\max}$  die minimale bzw. maximale Stauhöhe und  $v_{\min}, v_{\max}$  die minimale bzw. maximale Ablaufmenge. Die erzeugte elektrische Energie bei der Energieumwandlung bestimmt sich aus physikalischen Gründen mit Hilfe der streng konkaven Produktionsfunktion  $U$ . Außerdem sei  $\pi$  der Preis, der pro Einheit elektrischer Energie am Markt erzielt wird. Damit stellt sich die Aufgabe wie folgt dar:

$$\begin{aligned} J(x(\cdot), v(\cdot)) &= \int_0^T \pi U(x(t)) v(t) dt \rightarrow \sup, \\ \dot{x}(t) &= w(t) - v(t), \quad x(0) = x_0, \quad x(T) \text{ frei}, \\ v &\in [v_{\min}, v_{\max}], \quad 0 \leq v_{\min} < v_{\max}, \\ x_{\min} &\leq x(t) \leq x_{\max}, \quad v_{\min} < w(t) < v_{\max} \quad \text{für alle } t \in [0, T]. \end{aligned}$$

Im normalen Fall lautet die Pontrjagin-Funktion  $H^S(t, x, v, p, 1) = p[w(t) - v] + \pi U(x)v$ . Da die Produktionsfunktion  $U$  streng konkav und die Zustandsbeschränkungen linear in  $x$  sind, sind die notwendigen Optimalitätsbedingungen (2.38)–(2.41) nach Theorem 2.9 auch hinreichend. Die Maximumbedingung (2.41) liefert

$$H^S(t, x_*(t), v_*(t), p(t), 1) = \max_{v \in [v_{\min}, v_{\max}]} v \cdot [\pi U(x_*(t)) - p(t)] + p(t)w(t).$$

Daraus ergibt sich:

$$v_*(t) \begin{cases} = v_{\max}, & \pi U(x_*(t)) > p(t), \\ \in [v_{\min}, v_{\max}], & \pi U(x_*(t)) = p(t), \\ = v_{\min}, & \pi U(x_*(t)) < p(t). \end{cases}$$

Ist keine Zustandsbeschränkung aktiv, dann lautet die adjungierte Gleichung (2.38)

$$\dot{p}(t) = -\pi U'(x_*(t))v_*(t).$$

Die Adjungierte ist in diesem Fall monoton fallend und wir erhalten unmittelbar

$$\pi \frac{d}{dt} U(x_*(t)) = -\pi U'(x_*(t)) \cdot (v_*(t) - w(t)) > -\pi U'(x_*(t))v_*(t) = \dot{p}(t). \quad (2.62)$$

D. h., dass für  $x_*(t) \in (x_{\min}, x_{\max})$  keine singuläre Steuerung  $v_*(t) \in (v_{\min}, v_{\max})$  auftritt. Ist auf einem Teilstück die Zustandsbeschränkung  $g_1(x(t)) = x(t) - x_{\max} \leq 0$  aktiv, dann erhalten wir aus  $\pi U(x_*(t)) = p(t)$  für die stückweise stetige Funktion  $\lambda_1(\cdot)$  mit

$$\dot{p}(t) = -H_x^S(t, x_*(t), v_*(t), p(t), 1) + \lambda_1(t)g_1'(x_*(t))$$

die Darstellung  $\lambda_1(t) = \pi U'(x_{\max})w(t) \geq 0$ . Im Gegensatz dazu darf die Zustandsbeschränkung  $g_2(x(t)) = x_{\min} - x(t) \leq 0$  auf keinem Teilstück aktiv sein, denn dies hätte  $\lambda_2(t) = -\pi U'(x_{\min})w(t) < 0$  zur Folge. Andererseits kann  $p(\cdot)$  in  $t = T$  den Wert

$$p(T) = -\beta_2 g_2'(x_*(T)) = \beta_2 \geq 0$$

aufweisen, wenn die Zustandsbeschränkung  $g_2(x(t))$  in  $t = T$  aktiv ist. Damit ergeben sich auf gewissen Teilintervallen von  $[0, T]$  folgende Verhaltensweisen, die auftreten können:

- (A) Für  $\pi U(x_*(t)) < p(t)$  wird das Becken mit der Rate  $v_*(t) = w(t) - v_{\min} > 0$  gefüllt.
- (B) Für  $\pi U(x_*(t)) = \pi U(x_{\max}) = p(t)$  wird das maximale Stauvolumen in dem Wasserkraftwerk gehalten. Die zugehörige Steuerung ist  $v_*(t) = w(t)$ .
- (C) Für  $\pi U(x_*(t)) > p(t)$  wird das Becken mit der Rate  $v_*(t) = v_{\max} - w(t) > 0$  geleert.

In Abhängigkeit des Planungszeitraumes ergeben sich folgende Szenarien:

- (i) Ist der Zeitraum  $[0, T]$  kurz, dann tritt nur (C) ein.
- (ii) Bei einer mittelfristigen Planung ergibt sich der Übergang (A)→(C).
- (iii) Im Fall eines langfristigen Zeithorizontes erhalten wir (A)→(B)→(C).

Wir demonstrieren die Szenarien anhand folgender gewählter Daten:

$$\begin{aligned} J(x(\cdot), v(\cdot)) &= \int_0^T \ln(x(t))v(t) dt \rightarrow \sup, \\ \dot{x}(t) &= 1 - v(t), \quad x(0) = 5, \quad x(T) \text{ frei}, \\ v &\in [0, 2], \quad 1 \leq x(t) \leq 20, \quad \pi = 1. \end{aligned}$$

In Abhängigkeit vom Planungszeitraum  $[0, T]$  ergeben sich:

- (1) Für  $0 < T \leq 5 - \sqrt{5}$  tritt nur (C) ein. Durch

$$v_*(t) = 2, \quad x_*(t) = 5 - t, \quad x_*(T) \in [\sqrt{5}, 5)$$

wird der optimale Steuerungsprozess gegeben. Die Adjungierte lautet

$$p(t) = 2[\ln(5 - t) - \ln(5 - T)], \quad p(T) = 0.$$

Unter Beachtung von (2.62) und  $U(x_*(0)) \geq p(0)$  erhalten wir  $T \leq 5 - \sqrt{5}$ .

(2) Für  $5 - \sqrt{5} < T \leq 15 - \sqrt{10}$  liegt der Fall (A)→(C) vor. Es gelten

$$v_*(t) = \begin{cases} 0, & t \in [0, \tau), \\ 2, & t \in [\tau, T], \end{cases} \quad x_*(t) = \begin{cases} 5 + t, & t \in [0, \tau), \\ 5 + 2\tau - t, & t \in [\tau, T], \end{cases}$$

$x_*(T) \in (\sqrt{5}, \sqrt{10}]$  und die zugehörige Adjungierte ist

$$p(t) = \begin{cases} 2[\ln(5 + t) - \ln(5 + 2\tau - T)], & t \in [0, \tau), \\ 2[\ln(5 + 2\tau - t) - \ln(5 + 2\tau - T)], & t \in [\tau, T], \end{cases} \quad p(T) = 0.$$

Die Beziehungen  $\tau \leq 5$  und  $T - \tau = 5 + \tau - \sqrt{5 + \tau}$  ergeben sich aus den Bedingungen

$$x_*(t) < 10 \quad \text{für alle } t \neq \tau, \quad U(x_*(\tau)) = p(\tau).$$

(3) Im Fall eines langfristigen Horizontes  $T > 15 - \sqrt{10}$  erhalten wir (A)→(B)→(C). Der optimale Steuerungsprozess ist

$$v_*(t) = \begin{cases} 0, & t \in [0, \tau_1), \\ 1, & t \in [\tau_1, \tau_2), \\ 2, & t \in [\tau_2, T], \end{cases} \quad x_*(t) = \begin{cases} 5 + t, & t \in [0, \tau_1), \\ 10, & t \in [\tau_1, \tau_2), \\ 10 - (t - \tau_2), & t \in [\tau_2, T], \end{cases}$$

es gilt  $x_*(T) = \sqrt{10}$  und die zugehörige Adjungierte lautet

$$p(t) = \begin{cases} \ln(10), & t \in [0, \tau_2), \\ 2[\ln(10 + \tau_2 - t) - \ln(10 + \tau_2 - T)], & t \in [\tau_2, T], \end{cases} \quad p(T) = 0.$$

Es ergeben sich  $\tau_1 = 5$  und  $T - \tau_2 = 10 - \sqrt{10}$  aus den Beziehungen

$$x_*(t) < 10, \quad t \in [0, \tau_1), \quad x_*(\tau_1) = 10, \quad \ln(10) = p(\tau_2), \quad p(T) = 0.$$

Eine interessante Erweiterung ergibt sich im letzten Fall, wenn der Preis  $\pi$  nicht konstant ist, sondern im Zeitpunkt  $\sigma \in (\tau_1, \tau_2)$  eine Preiserhöhung  $\pi^+$  bzw. -verringerung  $\pi^-$  erwartet wird. Im Fall der Preiserhöhung wird die interne Bewertung (Schattenpreis) der Ressource im Zeitpunkt  $t = \sigma$  durch eine Sprungstelle der Adjungierten angepasst:

$$p(\sigma^-) - p(\sigma) = (\pi - \pi^+)U(x_{\max}) = -\beta_1 g'_1(x_*(\sigma)) = -\beta_1 < 0.$$

Wird eine Preissenkung erwartet, dann wird die Ressource ab dem Zeitpunkt  $\sigma_1$  vor der Änderung zum Preis  $\pi$  mit  $v_*(t) = v_{\max}$  veräußert und danach mit der Steuerung  $v_*(t) = v_{\min}$  eingelagert. Und zwar in der Form, dass die Bewertung der Ressource durch die Bedingung  $p(\sigma_2) = \pi^- U(x_{\max})$  dem aktuellen Marktpreis  $\pi^-$  angepasst wird. Dieser Argumentation ist die Annahme  $[\sigma_1, \sigma_2] \subseteq [\tau_1, \tau_2]$  auferlegt. In dem spezifizierten Modell erhalten wir im Fall der Preissenkung mit  $\pi = 2$  und  $\pi^- = 1$  für die Zeitpunkte den Zusammenhang  $\sigma - \sigma_1 = \sigma_2 - \sigma = 10 - \sqrt{10}$ .  $\square$

### 2.5.4. Freier Anfangs- und Endzeitpunkt

Wir betrachten in diesem Abschnitt die zustandsbeschränkte Aufgabe mit freiem Anfangs- und Endzeitpunkt. Ebenso wie im Abschnitt 1.3.5 seien daher die Abbildungen  $h_0$  bzw.  $h_1$ , die die Start- und Zielmannigfaltigkeit definieren, zeitabhängig:

$$h_i(t_i, x_i) : \mathbb{R} \times \mathbb{R}^n \rightarrow \mathbb{R}^{s_i}, \quad i = 0, 1.$$

Mit den getroffenen Bezeichnungen und Festlegungen untersuchen wir die Aufgabe:

$$J(x(\cdot), u(\cdot)) = \int_{t_0}^{t_1} f(t, x(t), u(t)) dt \rightarrow \inf, \quad (2.63)$$

$$\dot{x}(t) = \varphi(t, x(t), u(t)), \quad (2.64)$$

$$h_0(t_0, x(t_0)) = 0, \quad h_1(t_1, x(t_1)) = 0, \quad (2.65)$$

$$u(t) \in U \subseteq \mathbb{R}^m, \quad U \neq \emptyset, \quad (2.66)$$

$$g_j(t, x(t)) \leq 0 \quad \text{für alle } t \in [t_0, t_1], \quad j = 1, \dots, l. \quad (2.67)$$

Die Aufgabe (2.63)–(2.67) betrachten wir für Tripel  $([t_0, t_1], x(\cdot), u(\cdot))$  mit

$$[t_0, t_1] \subset \mathbb{R}, \quad x(\cdot) \in W_\infty^1([t_0, t_1], \mathbb{R}^n), \quad u(\cdot) \in L_\infty([t_0, t_1], U).$$

Zur Menge  $\mathcal{B}_{\text{Lip}}^{\mathcal{F}}$  gehören diejenigen Tripel  $([t_0, t_1], x(\cdot), u(\cdot))$ , für die es eine Zahl  $\gamma > 0$  derart gibt, dass die Abbildungen  $f(t, x, u)$ ,  $\varphi(t, x, u)$ ,  $g_j(t, x)$  und  $h_i(\tau_i, x_i)$  auf der Menge aller Punkte  $(t, \tau_0, \tau_1, x, x_0, x_1, u) \in \mathbb{R} \times \mathbb{R} \times \mathbb{R} \times \mathbb{R}^n \times \mathbb{R}^n \times \mathbb{R}^n \times \mathbb{R}^m$  mit

$$\begin{aligned} t_0 - \gamma < t < t_1 + \gamma, \quad t_0 - \gamma < \tau_0 < t_0 + \gamma, \quad t_1 - \gamma < \tau_1 < t_1 + \gamma, \\ \|x - x(t)\| < \gamma, \quad \|x_0 - x(t_0)\| < \gamma, \quad \|x_1 - x(t_1)\| < \gamma, \quad u \in \mathbb{R}^m \end{aligned}$$

stetig in der Gesamtheit aller Variablen und stetig differenzierbar bezüglich der Variablen  $t, t_0, t_1, x, x_0, x_1$  sind. (Zur unmissverständlichen Angabe der Punktmenge treten  $\tau_0, \tau_1$  in  $h_i$  anstelle der Zeitvariablen  $t_0, t_1$  auf.)

In der Aufgabe (2.63)–(2.67) mit freiem Anfangs- und Endzeitpunkt nennen wir ein Tripel  $([t_0, t_1], x(\cdot), u(\cdot))$  mit  $[t_0, t_1] \subset \mathbb{R}$ ,  $x(\cdot) \in W_\infty^1([t_0, t_1], \mathbb{R}^n)$  und  $u(\cdot) \in L_\infty([t_0, t_1], U)$  einen Steuerungsprozess. Ein Steuerungsprozess heißt zulässig in dem Steuerungsproblem (2.63)–(2.67), wenn auf dem Intervall  $[t_0, t_1]$  die Funktion  $x(\cdot)$  fast überall der Gleichung (2.64) genügt, die Randbedingungen (2.65) und die Zustandsbeschränkungen (2.67) erfüllt. Die Menge  $\mathcal{B}_{\text{adm}}^{\mathcal{F}}$  bezeichnet die Menge der zulässigen Steuerungsprozesse.

Einen zulässigen Steuerungsprozess  $([t_{0*}, t_{1*}], x_*(\cdot), u_*(\cdot))$  nennen wir ein starkes lokales Minimum, wenn eine Zahl  $\varepsilon > 0$  derart existiert, dass für jeden zulässigen Steuerungsprozess  $([t_0, t_1], x(\cdot), u(\cdot))$  mit den Eigenschaften

$$|t_0 - t_{0*}| < \varepsilon, \quad |t_1 - t_{1*}| < \varepsilon, \quad \|x(t) - x_*(t)\| < \varepsilon \quad \text{für alle } t \in [t_{0*}, t_{1*}] \cap [t_0, t_1]$$

die Ungleichung  $J(x(\cdot), u(\cdot)) \geq J(x_*(\cdot), u_*(\cdot))$  gilt.

Wir wenden die Methode der Substitution der Zeit aus Abschnitt 1.3.5 an und erhalten folgende Aufgabe mit fester Zeit, auf die wir Theorem 2.7 anwenden können:

$$\int_0^1 v \cdot f(t(s), y(s), w(s)) ds \rightarrow \inf, \quad (2.68)$$

$$t'(s) = v, \quad y'(s) = v \cdot \varphi(t(s), y(s), w(s)), \quad (2.69)$$

$$h_0(t(0), y(0)) = 0, \quad h_1(t(1), y(1)) = 0, \quad (2.70)$$

$$v > 0, \quad w(s) \in U, \quad (2.71)$$

$$g_j(t(s), y(s)) \leq 0, \quad s \in [0, 1], \quad j = 1, \dots, l. \quad (2.72)$$

Die Pontrjagin-Funktion der Aufgabe (2.68)–(2.72) lautet

$$\begin{aligned} \tilde{H}(t, x, u, v, p, q, \lambda_0) &= \langle p, v \cdot \varphi(t, x, u) \rangle + qv - \lambda_0 v \cdot f(t, x, u) \\ &= v \cdot [H^S(t, x, u, p, \lambda_0) + q], \end{aligned} \quad (2.73)$$

wobei  $H^S(t, x, u, p, \lambda_0) = \langle p, \varphi(t, x, u) \rangle - \lambda_0 f(t, x, u)$  die Pontrjagin-Funktion zu der Aufgabe (2.63)–(2.67) ist. Weiterhin seien  $\Delta_j = \{s \in [0, 1] \mid g_j(t_*(s), y_*(s)) = 0\}$  für  $j = 1, \dots, l$ . Dann existieren nach Theorem 2.7 eine Zahl  $\lambda_0 \geq 0$ , Vektoren  $l_0 \in \mathbb{R}^{s_0}, l_1 \in \mathbb{R}^{s_1}$ , eine Vektorfunktion  $\tilde{p}(\cdot)$ , eine Funktion  $\tilde{q}(\cdot)$  und nichtnegative, reguläre, auf den Mengen  $\Delta_j$  konzentrierte Borelsche Maße  $\tilde{\mu}_j, j = 1, \dots, l$ , (diese Größen verschwinden nicht gleichzeitig) derart, dass die Beziehungen

$$\begin{aligned} \tilde{p}(s) &= -h_{1, x_1}^T(t_*(1), y_*(1))l_1 + \int_s^1 \tilde{H}_x(t_*(\sigma), y_*(\sigma), w_*(\sigma), v_*, \tilde{p}(\sigma), \tilde{q}(\sigma), \lambda_0) d\sigma \\ &\quad - \sum_{j=1}^l \int_s^1 g_{j, x}(t_*(\sigma), y_*(\sigma)) d\tilde{\mu}_j(\sigma), \\ \tilde{p}(0) &= h_{0, x_0}^T(t_*(0), y_*(0))l_0, \\ \tilde{q}(s) &= -\langle h_{1, t_1}(t_*(1), y_*(1)), l_1 \rangle + \int_s^1 \tilde{H}_t(t_*(\sigma), y_*(\sigma), w_*(\sigma), v_*, \tilde{p}(\sigma), \tilde{q}(\sigma), \lambda_0) d\sigma \\ &\quad - \sum_{j=1}^l \int_s^1 g_{j, t}(t_*(\sigma), y_*(\sigma)) d\tilde{\mu}_j(\sigma), \\ \tilde{q}(0) &= \langle h_{0, t_0}(t_*(0), y_*(0)), l_0 \rangle \end{aligned}$$

gelten und die Maximumbedingung

$$\tilde{H}(t_*(s), y_*(s), w_*(s), v_*, \tilde{p}(s), \tilde{q}(s), \lambda_0) = \max_{u \in U, v > 0} v \cdot [H^S(t_*(s), y_*(s), u, \tilde{p}(s), \lambda_0) + \tilde{q}(s)]$$

für fast alle  $s \in [0, 1]$  erfüllt ist. Es sei  $s_*(\cdot)$  die zu  $t_*(\cdot)$  inverse Funktion, d. h.

$$s_*(t) = \frac{t - t_{0*}}{t_{1*} - t_{0*}}, \quad t \in [t_{0*}, t_{1*}].$$

Wir führen die Bezeichnungen

$$p(t) = \tilde{p}(s_*(t)), \quad q(t) = \tilde{q}(s_*(t)),$$

$$T_j = \{t \in [t_{0*}, t_{1*}] \mid g_j(t, x_*(t)) = 0\} = t_*(\Delta_j), \quad j = 1, \dots, l,$$

ein und verwenden die Bildmaße  $\mu_j$  der Maße  $\tilde{\mu}_j$  bei der Abbildung  $t_*(\cdot)$ . Dann gilt

$$\int_{t_{0*}}^{t_{1*}} \psi(t) d\mu_j(t) = \int_0^1 \psi(t_*(s)) d\tilde{\mu}_j(s) \quad \text{für alle } \psi(\cdot) \in C([t_{0*}, t_{1*}], \mathbb{R})$$

und die Maße  $\mu_j$  sind offensichtlich auf  $T_j$  konzentriert. So lassen sich die obigen Beziehungen unter Berücksichtigung von (2.73) auf folgende Form bringen:

$$\begin{aligned} p(t) &= -h_{1,x_1}^T(t_{1*}, x_*(t_{1*}))l_1 + \int_t^{t_{1*}} H_x^S(s, x_*(s), u_*(s), p(s), \lambda_0) ds \\ &\quad - \sum_{j=1}^l \int_t^{t_{1*}} g_{j,x}(s, x_*(s)) d\mu_j(s), \\ p(t_{0*}) &= h_{0,x_0}^T(t_{0*}, x_*(t_{0*}))l_0, \\ q(t) &= -\langle h_{1,t_1}(t_{1*}, x_*(t_{1*})), l_1 \rangle + \int_t^{t_{1*}} H_t^S(s, x_*(s), u_*(s), p(s), \lambda_0) ds \\ &\quad - \sum_{j=1}^l \int_t^{t_{1*}} g_{j,t}(s, x_*(s)) d\mu_j(s), \end{aligned} \tag{2.74}$$

$$q(t_{0*}) = \langle h_{0,t_0}(t_{0*}, x_*(t_{0*})), l_0 \rangle \tag{2.75}$$

und wir erhalten die Maximumbedingung

$$v_* \cdot \left( H^S(t, x_*(t), u_*(t), p(t), \lambda_0) + q(t) \right) = \max_{u \in U, v > 0} v \cdot [H^S(t, x_*(t), u, p(t), \lambda_0) + q(t)]. \tag{2.76}$$

Aus (2.76) folgt

$$H^S(t, x_*(t), u_*(t), p(t), \lambda_0) = \max_{u \in U} H^S(t, x_*(t), u, p(t), \lambda_0).$$

Ferner erhalten wir wegen  $0 < v_* < \infty$  aus (2.76) die Beziehung

$$\max_{u \in U} H^S(t, x_*(t), u, p(t), \lambda_0) = -q(t).$$

Nachstehend verwenden wir die Hamilton-Funktion  $\mathcal{H}^S(t, x, p, \lambda_0) = \max_{u \in U} H^S(t, x, u, p, \lambda_0)$ :

Durch Vergleich mit (2.74) und (2.75) erhalten wir weiter

$$\begin{aligned} \mathcal{H}^S(t, x_*(t), p(t), \lambda_0) &= \langle h_{1,t_1}(t_{1*}, x_*(t_{1*})), l_1 \rangle - \int_t^{t_{1*}} H_t^S(s, x_*(s), u_*(s), p(s), \lambda_0) ds \\ &\quad + \sum_{j=1}^l \int_t^{t_{1*}} g_{j,t}(s, x_*(s)) d\mu_j(s), \\ \mathcal{H}^S(t_{0*}, x_*(t_{0*}), p(t_{0*}), \lambda_0) &= -\langle h_{0,t_0}(t_{0*}, x_*(t_{0*})), l_0 \rangle. \end{aligned}$$

Zusammenfassend lautet damit das Maximumprinzip für Aufgaben mit freier Zeit:

**Theorem 2.12** (Pontrjaginsches Maximumprinzip). *In der Aufgabe (2.63)–(2.67) sei der Steuerungsprozess  $([t_{0*}, t_{1*}], x_*(\cdot), u_*(\cdot)) \in \mathcal{B}_{\text{adm}}^{\mathcal{F}} \cap \mathcal{B}_{\text{Lip}}^{\mathcal{F}}$ . Ist  $([t_{0*}, t_{1*}], x_*(\cdot), u_*(\cdot))$  ein starkes lokales Minimum der Aufgabe (2.63)–(2.67), dann existieren eine Zahl  $\lambda_0 \geq 0$ , Vektoren  $l_0 \in \mathbb{R}^{s_0}$  und  $l_1 \in \mathbb{R}^{s_1}$ , eine Vektorfunktion  $p(\cdot) : [t_{0*}, t_{1*}] \rightarrow \mathbb{R}^n$  und auf den Mengen*

$$T_j = \{t \in [t_{0*}, t_{1*}] \mid g_j(t, x_*(t)) = 0\}, \quad j = 1, \dots, l,$$

*konzentrierte nichtnegative reguläre Borelsche Maße  $\mu_j$  endlicher Totalvariation (wobei sämtliche Größen nicht gleichzeitig verschwinden) derart, dass die Vektorfunktion  $p(\cdot)$  von beschränkter Variation und rechtsseitig stetig ist, und*

(a) *die adjungierte Gleichung*

$$\begin{aligned} p(t) &= -h_{1,x_1}^T(t_{1*}, x_*(t_{1*}))l_1 + \int_t^{t_{1*}} H_x^{\mathcal{S}}(s, x_*(s), u_*(s), p(s), \lambda_0) ds \\ &\quad - \sum_{j=1}^l \int_t^{t_{1*}} g_{j,x}(s, x_*(s)) d\mu_j(s), \end{aligned} \quad (2.77)$$

(b) *die Transversalitätsbedingungen*

$$\left. \begin{aligned} p(t_{0*}) &= h_{0,x_0}^T(t_{0*}, x_*(t_{0*}))l_0, \\ p(t_{1*}^-) - p(t_{1*}) &= - \sum_{j=1}^l \mu_j(\{t_{1*}\}) g_{j,x}(t_{1*}, x_*(t_{1*})) \end{aligned} \right\} \quad (2.78)$$

(c) *und in fast allen Punkten  $t \in [t_{0*}, t_{1*}]$  die Maximumbedingung*

$$H^{\mathcal{S}}(t, x_*(t), u_*(t), p(t), \lambda_0) = \max_{u \in U} H^{\mathcal{S}}(t, x_*(t), u, p(t), \lambda_0) \quad (2.79)$$

*erfüllt sind und weiterhin*

(d) *die Beziehungen*

$$\begin{aligned} \mathcal{H}^{\mathcal{S}}(t, x_*(t), p(t), \lambda_0) &= \langle h_{1,t_1}(t_{1*}, x_*(t_{1*})), l_1 \rangle - \int_t^{t_{1*}} H_t^{\mathcal{S}}(s, x_*(s), u_*(s), p(s), \lambda_0) ds \\ &\quad + \sum_{j=1}^l \int_t^{t_{1*}} g_{j,t}(s, x_*(s)) d\mu_j(s), \end{aligned} \quad (2.80)$$

$$\mathcal{H}^{\mathcal{S}}(t_{0*}, x_*(t_{0*}), p(t_{0*}), \lambda_0) = -\langle h_{0,t_0}(t_{0*}, x_*(t_{0*})), l_0 \rangle \quad (2.81)$$

*gelten.*



---

### 3. Erweiterungen der Standardaufgabe

Im ersten Kapitel wurde ausgehend von den Richtungsvariationen die Euler-Lagrangesche Gleichung und die Schwachen Optimalitätsprinzipien hergeleitet. Nachfolgend wurden im zweiten Kapitel auf der Basis von Nadelvariationen das Pontrjaginsche Maximumprinzip für die Standardaufgabe über endlichem Zeithorizont entwickelt. Dieses Kapitel befasst sich nun mit verschiedenen Erweiterungen der Standardaufgabe. Die Charakteristiken der nachstehenden Themen sind grundverschiedenen; folglich von eigenständigem Interesse.

In der Literatur gibt es häufig abweichende Formulierungen der Standardaufgabe, nämlich in der Gestalt des Zielfunktional oder in der Beschreibung der Randbedingungen. Aus diesem Grund gehen wir auf gemischte Zielfunktionale bestehend aus Integral- und Terminalfunktionalen ein. Weiterhin ergeben sich in den nachfolgenden Abschnitten Randbedingungen, auf welche die bisherige Form nicht passt. Deswegen verallgemeinern wir außerdem die Formulierungen der Randbedingungen in Gleichungs- und Ungleichungsform.

Im Rahmen der Multiprozesse besteht der Ausbau der bisherigen Betrachtungen darin, dass eine spezifische Steuervariable “Wechselstrategie” eingeführt wird. Diese Variable darf ausschließlich Werte annehmen, die Eckpunkte eines  $k$ -dimensionalen Simplexes darstellen. Die mathematische Modellierung eines “Springen” zwischen verschiedenen Eckpunkten ist mittels Richtungsvariationen nicht realisierbar. An dieser Stelle zeigt sich der Vorteil der Nadelvariationsmethode, mit der das Springen zwischen den Eckpunkten beschrieben und in die Modellierung aufgenommen werden kann.

Dies offenbart neben der Verallgemeinerung des Optimalitätsbegriffes vom schwachen zum starken lokalen Minimum einen neuen Aspekt der Nadelvariationsmethode: Sie ermöglicht eine flexiblere und realistischere Modellierung der Problemstellung.

Differentialgleichungen mit Zeitverzögerungen von fester Zeitspanne unterscheiden sich vom Standardtyp dynamischer Systeme. Jedoch tritt mittels eines Rekursionsansatzes die Eigenschaft hervor, dass sich eine zeitverzögerte Differentialgleichung auf die sukzessive Betrachtung der Differentialgleichung über vorangegangene Teilintervalle gegebener Länge zurückführen lässt. Auf diese Weise kann man eine verzögerte Differentialgleichung in ein System üblicher Differentialgleichungen überführen. Das Zurückführen des rekursiven Ersatzsystems induziert letztlich zeitverzögerte Terme im Pontrjaginschen Maximumprinzip für die Aufgabe mit verzögerten Steuerungsprozessen.

In der Spieltheorie untersucht man Entscheidungssituationen, in denen Interessenkonflikte durch das Auftreten verschiedener Zielkriterien zustande kommen. Charakteristisch für Differentialspiele sind dabei dynamische Nebenbedingungen, die durch ein Differentialgleichungssystem gegeben sein können. Die Spielsituation entsteht durch das Zuordnen der verschiedenen Zielkriterien zu einzelnen “Spielern”, die in der “Spielsituation” Konkurrenten um das bestmögliche Ergebnis darstellen. Lösungsstrategien für Differentialspiele sind Gleichgewichtskonzepte wie zum Beispiel das Nash-Gleichgewicht, welches wir vorstellen und in Beispielen anwenden werden.

### 3.1. Zielfunktionale in gemischter Form und allgemeine Randbedingungen

Bisher beschränkten wir unsere Betrachtungen auf Zielfunktionale in Integralform. Eine unmittelbare Erweiterung ist der Einbezug von Terminalfunktionalen. Terminalfunktionale waren bereits Bestandteil der einfachsten Bolza-Aufgabe in Abschnitt 1.1.3. In diesem Abschnitt binden wir Terminalfunktionale in die Standardaufgabe (2.15)–(2.19) ein. Gekoppelte Randbedingungen der Form  $x(t_0) = x(t_1)$  traten in der Standardaufgabe bisher nicht auf, da diese Bedingungen für Anfangs- und Endzeitpunkt getrennt wurden. Wir werden nun allgemeinere Randbedingungen in Gleichungs- und Ungleichungsform in die Aufgabe aufnehmen.

Die Aufgabe (2.15)–(2.19) mit Terminalfunktionalen und Randbedingungen in allgemeiner Gleichungs- und Ungleichungsform besitzt die Gestalt

$$\tilde{J}(x(\cdot), u(\cdot)) = \int_{t_0}^{t_1} f(t, x(t), u(t)) dt + S(x(t_0), x(t_1)) \rightarrow \inf, \quad (3.1)$$

$$\dot{x}(t) = \varphi(t, x(t), u(t)), \quad (3.2)$$

$$h(x(t_0), x(t_1)) = 0, \quad r(x(t_0), x(t_1)) \leq 0, \quad (3.3)$$

$$u(t) \in U \subseteq \mathbb{R}^m, \quad U \neq \emptyset, \quad (3.4)$$

$$g_j(t, x(t)) \leq 0 \quad \text{für alle } t \in [t_0, t_1], \quad j = 1, \dots, l, \quad (3.5)$$

wobei wir sämtliche Annahmen und Bezeichnungen aus Kapitel 2 übernehmen. Das Terminalfunktional  $S$  und die Randbedingungen fassen wir als Funktionen der Variablen  $x_0, x_1$  auf, d. h.  $S = S(x_0, x_1)$ ,  $h = h(x_0, x_1)$  und  $r = r(x_0, x_1)$ . Ferner setzen wir die Abbildungen  $S : \mathbb{R}^n \times \mathbb{R}^n \rightarrow \mathbb{R}$ ,  $h : \mathbb{R}^n \times \mathbb{R}^n \rightarrow \mathbb{R}^s$  und  $r : \mathbb{R}^n \times \mathbb{R}^n \times \mathbb{R} \rightarrow \mathbb{R}$  als stetig differenzierbar voraus. Zwischen (2.15) und (3.1) gilt außerdem der Zusammenhang

$$\tilde{J}(x(\cdot), u(\cdot)) = J(x(\cdot), u(\cdot)) + S(x(t_0), x(t_1)). \quad (3.6)$$

Die Bezeichnung der Terminalfunktionale mit  $S$  ist durch ökonomische Anwendungen motiviert: Bei der Betrachtung von Strategien zur optimalen Instandhaltung einer Maschine bezeichnet  $S(x(t_1))$  den Schrotterlös (“scrap value”) oder den Wert von wiederverwendbaren Materialien oder Teilen (“salvage value”) einer nicht weiter nutzbaren Maschine.

#### 3.1.1. Das Pontrjaginsche Maximumprinzip

Wir formulieren in diesem Abschnitt das Pontrjaginsche Maximumprinzip für verschiedene Varianten der Aufgabe (3.1)–(3.5). Da sich die Aufgabe (3.1)–(3.5) von der Standardaufgabe (2.15)–(2.19) lediglich im Zielfunktional durch die Beziehung (3.6) und in den Randbedingungen (3.3) unterscheidet, stimmen die Kernelemente des Pontrjaginschen Maximumprinzips und dessen Herleitung mit den Ausführungen in Kapitel 2 überein. Die Unterschiede manifestieren sich hier ausschließlich in den Transversalitätsbedingungen und der komplementären Schlupfbedingung bezüglich der Randbedingung  $r \leq 0$ .

Für die Aufgabe (3.1)–(3.5) bezeichnet  $H^S$  die Pontrjagin-Funktion

$$H^S(t, x, u, p, \lambda_0) = \langle p, \varphi(t, x, u) \rangle - \lambda_0 f(t, x, u).$$

**Theorem 3.1** (Pontrjaginsches Maximumprinzip). *Sei  $(x_*(\cdot), u_*(\cdot)) \in \mathcal{B}_{\text{adm}}^S \cap \mathcal{B}_{\text{Lip}}^S$ . Ist  $(x_*(\cdot), u_*(\cdot))$  ein starkes lokales Minimum der Aufgabe (3.1)–(3.5), dann existieren Zahlen  $\lambda_0 \geq 0$  und  $\alpha \geq 0$ , ein Vektor  $\nu \in \mathbb{R}^s$ , eine Vektorfunktion  $p(\cdot) : [t_0, t_1] \rightarrow \mathbb{R}^n$  und auf den Mengen*

$$T_j = \{t \in [t_0, t_1] \mid g_j(t, x_*(t)) = 0\}, \quad j = 1, \dots, l,$$

*konzentrierte nichtnegative reguläre Borelsche Maße  $\mu_j$  endlicher Totalvariation (wobei sämtliche Größen nicht gleichzeitig verschwinden) derart, dass die Vektorfunktion  $p(\cdot)$  von beschränkter Variation und rechtsseitig stetig ist, und*

(a) *die adjungierte Gleichung*

$$\begin{aligned} p(t) &= -h_{x_1}^T(x_*(t_0), x_*(t_1))\nu - \alpha r_{x_1}(x_*(t_0), x_*(t_1)) \\ &\quad + \int_t^{t_1} H_x^S(s, x_*(s), u_*(s), p(s), \lambda_0) ds - \lambda_0 S_{x_1}(x_*(t_0), x_*(t_1)) \\ &\quad - \sum_{j=1}^l \int_t^{t_1} g_{j,x}(s, x_*(s)) d\mu_j(s), \end{aligned} \quad (3.7)$$

(b) *die Transversalitätsbedingungen*

$$\left. \begin{aligned} p(t_0) &= h_{x_0}^T(x_*(t_0), x_*(t_1))\nu + \lambda_0 S_{x_0}(x_*(t_0), x_*(t_1)) \\ &\quad + \alpha r_{x_0}(x_*(t_0), x_*(t_1)), \\ p(t_1^-) - p(t_1) &= - \sum_{j=1}^l \mu_j(\{t_1\}) g_{j,x}(t_1, x_*(t_1)), \end{aligned} \right\} \quad (3.8)$$

(c) *in fast allen Punkten  $t \in [t_0, t_1]$  die Maximumbedingung*

$$H^S(t, x_*(t), u_*(t), p(t), \lambda_0) = \max_{u \in U} H^S(t, x_*(t), u, p(t), \lambda_0) \quad (3.9)$$

(d) *und die komplementäre Schlupfbedingung*

$$\alpha r(x_*(t_0), x_*(t_1)) = 0 \quad (3.10)$$

*erfüllt sind.*

**Beweis** Die Randbedingungen (3.3) verbinden wir mit den Abbildungen

$$\begin{aligned} H(x(\cdot)) &= h(x(t_0), x(t_1)), & H &: C([t_0, t_1], \mathbb{R}^n) \rightarrow \mathbb{R}^s, \\ R(x(\cdot)) &= r(x(t_0), x(t_1)), & R &: C([t_0, t_1], \mathbb{R}^n) \rightarrow \mathbb{R}. \end{aligned}$$

Die Abbildungen  $H$  und  $R$  sind stetig Fréchet-differenzierbar und es gelten

$$\begin{aligned} H'(x(\cdot))\xi(\cdot) &= h_{x_0}(x(t_0), x(t_1))\xi(t_0) + h_{x_1}(x(t_0), x(t_1))\xi(t_1), \\ R'(x(\cdot))\xi(\cdot) &= \langle r_{x_0}(x(t_0), x(t_1)), \xi(t_0) \rangle + \langle r_{x_1}(x(t_0), x(t_1)), \xi(t_1) \rangle. \end{aligned}$$

Zur Aufgabe (3.1)–(3.5) besitzt die Lagrange-Funktion  $\tilde{\mathcal{L}} = \tilde{\mathcal{L}}(x_*(\cdot), u_*(\cdot), \lambda_0, y^*, \nu, \alpha, \lambda)$  die Gestalt

$$\tilde{\mathcal{L}} = \lambda_0 \tilde{J}(x(\cdot), u(\cdot)) + \langle y^*, F(x(\cdot), u(\cdot)) \rangle + \nu^T H(x(\cdot)) + \alpha R(x(\cdot)) + \sum_{j=1}^l \lambda_j G_j(x(\cdot)).$$

Die Bedingungen des Extremalprinzips F.5 in Form von (2.49)–(2.51) lauten:

- (a) Die Lagrange-Funktion besitzt bezüglich  $x(\cdot)$  in  $x_*(\cdot)$  einen stationären Punkt:

$$0 \in \partial_{x^*} \tilde{\mathcal{L}}(x_*(\cdot), u_*(\cdot), \lambda_0, y^*, \nu, \alpha, \lambda). \quad (3.11)$$

- (b) Die Lagrange-Funktion erfüllt bezüglich  $u(\cdot)$  in  $u_*(\cdot)$  die Minimumbedingung:

$$\tilde{\mathcal{L}}(x_*(\cdot), u_*(\cdot), \lambda_0, y^*, \nu, \alpha, \lambda) = \min_{u(\cdot) \in L_\infty([t_0, t_1], U)} \tilde{\mathcal{L}}(x_*(\cdot), u(\cdot), \lambda_0, y^*, \nu, \alpha, \lambda). \quad (3.12)$$

- (c) Die komplementären Schlupfbedingungen sind gültig:

$$\alpha R(x_*(\cdot)) = 0, \quad \lambda_1 G_1(x_*(\cdot)) = 0, \dots, \lambda_l G_l(x_*(\cdot)) = 0. \quad (3.13)$$

Diese Bedingungen führen auf die gleiche Weise wie im Abschnitt 2.5.2 auf folgende Beziehungen: Die Gleichung (3.11) kann in die Form

$$\begin{aligned} 0 &= \int_{t_0}^{t_1} \left\langle \lambda_0 f_x(t, x_*(t), u_*(t)) - \varphi_x^T(t, x_*(t), u_*(t)) \int_t^{t_1} d\mu(s), x(t) \right\rangle dt + \int_{t_0}^{t_1} [x(t)]^T d\mu(t) \\ &\quad + \langle h_{x_1}^T(x_*(t_0), x_*(t_1))\nu + \alpha r_{x_1}(x_*(t_0), x_*(t_1)) + \lambda_0 S_{x_1}(x_*(t_0), x_*(t_1)), x(t_1) \rangle \\ &\quad + \langle h_{x_0}^T(x_*(t_0), x_*(t_1))\nu + \alpha r_{x_0}(x_*(t_0), x_*(t_1)) + \lambda_0 S_{x_0}(x_*(t_0), x_*(t_1)), x(t_0) \rangle \\ &\quad - \left\langle \int_{t_0}^{t_1} d\mu(t), x(t_0) \right\rangle + \sum_{j=1}^l \int_{t_0}^{t_1} \langle g_{j,x}(t, x_*(t)), x(t) \rangle d\mu_j(t) \end{aligned}$$

überführt werden. Die eindeutige Darstellung eines stetigen linearen Funktionals im Raum  $C_0([t_0, t_1], \mathbb{R}^n)$  liefert für  $p(t) = \int_t^{t_1} d\mu(s)$  die Gleichungen

$$\begin{aligned} p(t) &= -h_{x_1}^T(x_*(t_0), x_*(t_1))\nu - \alpha r_{x_1}(x_*(t_0), x_*(t_1)) - \lambda_0 S_{x_1}(x_*(t_0), x_*(t_1)) \\ &\quad + \int_t^{t_1} [\varphi_x^T(s, x_*(s), u_*(s))p(s) - \lambda_0 f_x(s, x_*(s), u_*(s))] ds \\ &\quad - \sum_{j=1}^l \int_t^{t_1} g_{j,x}(s, x_*(s)) d\mu_j(s), \\ p(t_0) &= h_{x_0}^T(x_*(t_0), x_*(t_1))\nu + \alpha r_{x_0}(x_*(t_0), x_*(t_1)) + \lambda_0 S_{x_0}(x_*(t_0), x_*(t_1)). \end{aligned}$$

Damit sind die Optimalitätsbedingungen (3.7) und (3.8) gezeigt.

Aufgrund von (3.12) gilt für alle  $u(\cdot) \in L_\infty([t_0, t_1], U)$  die Ungleichung

$$\begin{aligned} &\int_{t_0}^{t_1} [\lambda_0 f(t, x_*(t), u_*(t)) - \langle p(t), \varphi(t, x_*(t), u_*(t)) \rangle] dt \\ &\leq \int_{t_0}^{t_1} [\lambda_0 f(t, x_*(t), u(t)) - \langle p(t), \varphi(t, x_*(t), u(t)) \rangle] dt, \end{aligned}$$

woraus sich mit Hilfe der Eigenschaft Lebesguescher Punkte die Maximumbedingung (3.9) ableitet. Abschließend ergibt sich (3.10) unmittelbar aus (3.13).  $\blacksquare$

**Theorem 3.2** (Pontrjaginsches Maximumprinzip). *Es sei  $(x_*(\cdot), u_*(\cdot)) \in \mathcal{B}_{\text{adm}}^S \cap \mathcal{B}_{\text{Lip}}^S$ . Ist  $(x_*(\cdot), u_*(\cdot))$  ein starkes lokales Minimum der Aufgabe (3.1)–(3.4), dann existieren nicht gleichzeitig verschwindende Multiplikatoren  $\lambda_0 \geq 0$ ,  $\alpha \geq 0$ ,  $p(\cdot) \in W_\infty^1([t_0, t_1], \mathbb{R}^n)$  und  $\nu \in \mathbb{R}^s$  derart, dass*

(a) die adjungierte Gleichung

$$\dot{p}(t) = -H_x^S(t, x_*(t), u_*(t), p(t), \lambda_0), \quad (3.14)$$

(b) die Transversalitätsbedingungen

$$\left. \begin{aligned} p(t_0) &= h_{x_0}^T(x_*(t_0), x_*(t_1))\nu + \alpha r_{x_0}(x_*(t_0), x_*(t_1)) + \lambda_0 S_{x_0}(x_*(t_0), x_*(t_1)), \\ p(t_1) &= -h_{x_1}^T(x_*(t_0), x_*(t_1))\nu - \alpha r_{x_1}(x_*(t_0), x_*(t_1)) - \lambda_0 S_{x_1}(x_*(t_0), x_*(t_1)), \end{aligned} \right\} (3.15)$$

(c) in fast allen Punkten  $t \in [t_0, t_1]$  die Maximumbedingung

$$H^S(t, x_*(t), u_*(t), p(t), \lambda_0) = \max_{u \in U} H^S(t, x_*(t), u, p(t), \lambda_0) \quad (3.16)$$

(d) und die komplementäre Schlupfbedingung

$$\alpha r(x_*(t_0), x_*(t_1)) = 0 \quad (3.17)$$

erfüllt sind.

Weiterhin lassen sich hinreichende Bedingungen nach Arrow direkt anfügen. Wir übernehmen die im Abschnitt 2.5.3 getroffenen Bezeichnungen und formulieren die hinreichenden Bedingungen bei gemischtem Zielfunktional:

**Theorem 3.3.** *In der Aufgabe (3.1)–(3.5) mit den festen Randbedingungen  $x(t_0) = x_0$  und  $x(t_1) = x_1$  sei  $(x_*(\cdot), u_*(\cdot)) \in \mathcal{B}_{\text{Lip}}^S \cap \mathcal{B}_{\text{adm}}^S$ . Außerdem sei  $p(\cdot) : [t_0, t_1] \rightarrow \mathbb{R}^n$  stückweise stetig, besitze höchstens endlich viele Sprungstellen (d. h. die einseitigen Grenzwerte existieren)  $s_k \in (t_0, t_1)$  und sei zwischen diesen Sprüngen stetig differenzierbar. Ferner:*

- (a) Das Tripel  $(x_*(\cdot), u_*(\cdot), p(\cdot))$  erfüllt (3.7)–(3.9) in Theorem 3.1 mit  $\lambda_0 = 1$ .
- (b) Für jedes  $t \in [t_0, t_1]$  ist die Funktion  $\mathcal{H}^S(t, x, p(t))$  konkav und es sind die Funktionen  $g_j(t, x)$ ,  $j = 1, \dots, l$ , konvex bezüglich  $x$  auf  $V_\gamma^S(t)$ .
- (c) Die Funktion  $S(x_0, x_1)$  ist auf  $V_\gamma^S(t_0) \times V_\gamma^S(t_1)$  konvex.

Dann ist  $(x_*(\cdot), u_*(\cdot))$  ein starkes lokales Minimum der Aufgabe (3.1)–(3.5).

**Beweis** Die Beweise der Arrow-Bedingungen in den Abschnitten 2.4.3 und 2.5.3 liefern zusammen mit der Konvexität der Funktion  $S$ :

$$\begin{aligned} \Delta &= \tilde{J}(x(\cdot), u(\cdot)) - \tilde{J}(x_*(\cdot), u_*(\cdot)) \\ &\geq \langle p(t_1), x(t_1) - x_*(t_1) \rangle - \langle p(t_0), x(t_0) - x_*(t_0) \rangle \\ &\quad + \langle S_{x_0}(x_*(t_0), x_*(t_1), x(t_0) - x_*(t_0)) \rangle + \langle S_{x_1}(x_*(t_0), x_*(t_1), x(t_1) - x_*(t_1)) \rangle \\ &= \langle p(t_1) + S_{x_1}(x_*(t_0), x_*(t_1), x(t_1) - x_*(t_1)) \rangle \\ &\quad - \langle p(t_0) - S_{x_0}(x_*(t_0), x_*(t_1), x(t_0) - x_*(t_0)) \rangle. \end{aligned}$$

Zusammen mit den Transversalitätsbedingungen, die auf die gleiche Weise wie im Abschnitt 2.5.3 um die Anteile der Zustandsbeschränkungen bereinigt sind, ergibt sich  $\Delta \geq 0$  in den Fällen fester und freier Randwerte. ■

In der Aufgabe (3.1)–(3.5) mit freier Zeit seien neben der Randbedingungen außerdem im Zielfunktional das Terminalfunktional eine Funktion der Anfangs- und Endzeit:

$$S = S(t_0, t_1, x_0, x_1), \quad h = h(t_0, t_1, x_0, x_1), \quad r = r(t_0, t_1, x_0, x_1).$$

Die Methode der Substitution der Zeit in Abschnitt 2.5.4 führt dabei im Zielfunktional zu  $S(t(0), t(1), y(0), y(1))$ , sowie in den Randbedingungen zu  $h(t(0), t(1), y(0), y(1))$  und  $r(t(0), t(1), y(0), y(1))$ . Dem weiteren Ablauf in Abschnitt 2.5.4 folgend ergibt sich:

**Theorem 3.4** (Pontrjaginsches Maximumprinzip). *In der Aufgabe (3.1)–(3.5) mit freier Zeit sei  $([t_{0*}, t_{1*}], x_*(\cdot), u_*(\cdot)) \in \mathcal{B}_{\text{adm}}^F \cap \mathcal{B}_{\text{Lip}}^F$ . Ist  $([t_{0*}, t_{1*}], x_*(\cdot), u_*(\cdot))$  ein starkes lokales Minimum in der Aufgabe mit freier Zeit, dann existieren Zahlen  $\lambda_0 \geq 0$  und  $\alpha \geq 0$ , ein  $\nu \in \mathbb{R}^s$ , eine Vektorfunktion  $p(\cdot) : [t_{0*}, t_{1*}] \rightarrow \mathbb{R}^n$  und auf den Mengen*

$$T_j = \{t \in [t_{0*}, t_{1*}] \mid g_j(t, x_*(t)) = 0\}, \quad j = 1, \dots, l,$$

konzentrierte nichtnegative reguläre Borelsche Maße  $\mu_j$  endlicher Totalvariation (wobei sämtliche Größen nicht gleichzeitig verschwinden) derart, dass die Vektorfunktion  $p(\cdot)$  von beschränkter Variation und rechtsseitig stetig, und

(a) die adjungierte Gleichung

$$\begin{aligned} p(t) &= -h_{x_1}^T(t_{0*}, t_{1*}, x_*(t_{0*}), x_*(t_{1*}))\nu - \alpha r_{x_1}(t_{0*}, t_{1*}, x_*(t_{0*}), x_*(t_{1*})) \\ &\quad - \lambda_0 S_{x_1}(t_{0*}, t_{1*}, x_*(t_{0*}), x_*(t_{1*})) + \int_t^{t_{1*}} H_x^S(s, x_*(s), u_*(s), p(s), \lambda_0) ds \\ &\quad - \sum_{j=1}^l \int_t^{t_{1*}} g_{j,x}(s, x_*(s)) d\mu_j(s), \end{aligned} \quad (3.18)$$

(b) die Transversalitätsbedingungen

$$\left. \begin{aligned} p(t_{0*}) &= h_{x_0}^T(t_{0*}, t_{1*}, x_*(t_{0*}), x_*(t_{1*}))\nu + \lambda_0 S_{x_0}(t_{0*}, t_{1*}, x_*(t_{0*}), x_*(t_{1*})) \\ &\quad + \alpha r_{x_0}(t_{0*}, t_{1*}, x_*(t_{0*}), x_*(t_{1*})), \\ p(t_{1*}^-) - p(t_{1*}) &= - \sum_{j=1}^l \mu_j(\{t_{1*}\}) g_{j,x}(t_{1*}, x_*(t_{1*})) \end{aligned} \right\} \quad (3.19)$$

(c) in fast allen Punkten  $t \in [t_0, t_1]$  die Maximumbedingung

$$H^S(t, x_*(t), u_*(t), p(t), \lambda_0) = \max_{u \in U} H^S(t, x_*(t), u, p(t), \lambda_0), \quad (3.20)$$

(d) die komplementäre Schlupfbedingung

$$\alpha r(t_{0*}, t_{1*}, x_*(t_{0*}), x_*(t_{1*})) = 0, \quad (3.21)$$

(e) die Hamilton-Funktion eine Funktion beschränkter Variation ist und

$$\begin{aligned} \mathcal{H}^S(t, x_*(t), p(t), \lambda_0) &= \langle h_{t_1}(t_{0*}, t_{1*}, x_*(t_{0*}), x_*(t_{1*})), \nu \rangle \\ &\quad + \lambda_0 S_{t_1}(t_{0*}, t_{1*}, x_*(t_{0*}), x_*(t_{1*})) + \alpha r_{t_1}(t_{0*}, t_{1*}, x_*(t_{0*}), x_*(t_{1*})) \\ &\quad - \int_t^{t_{1*}} H_t^S(s, x_*(s), u_*(s), p(s), \lambda_0) ds + \sum_{j=1}^l \int_t^{t_{1*}} g_{j,t}(s, x_*(s)) d\mu_j(s), \end{aligned} \quad (3.22)$$

$$\begin{aligned} \mathcal{H}^S(t_{0*}, x_*(t_{0*}), p(t_{0*}), \lambda_0) &= - \langle h_{t_0}(t_{0*}, t_{1*}, x_*(t_{0*}), x_*(t_{1*})), \nu \rangle \\ &\quad - \alpha r_{t_0}(t_{0*}, t_{1*}, x_*(t_{0*}), x_*(t_{1*})) - \lambda_0 S_{t_0}(t_{0*}, t_{1*}, x_*(t_{0*}), x_*(t_{1*})) \end{aligned} \quad (3.23)$$

erfüllt sind.

### 3.1.2. Investition in Produktionskapazitäten

Ein Investor hat die Möglichkeit eine Unternehmung aufzubauen. Die Produktion schafft Werte und Güter in Höhe von  $f(x(t))$  Einheiten wenn die Produktionsrate  $x(t)$  beträgt. Beim Aufbau der Unternehmung und der Investition in die Produktionsstruktur entstehen Kosten  $c$  pro Einheit für die Anschaffungen, die am Ende der Planungsperiode zum Preis  $d$  wieder veräußert werden können. Über den gesamten Planungszeitraum kann ein Teil  $(1 - u(t))f(x(t))$  der Einnahmen konsumiert und der verbliebene Anteil  $u(t)f(x(t))$  in die weitere Produktion mit Effizienz  $\alpha$  eingesetzt werden.

Es entsteht ein interessantes Beispiel (Seierstad [66], S. 187), in dem der Anfangszustand  $x(0)$  frei angepasst werden kann, um eine adäquate Startsituation zu schaffen:

$$J(x(\cdot), u(\cdot)) = \int_0^T (1 - u(t))f(x(t))e^{-rt} dt - cx(0) + dx(T)e^{-rT} \rightarrow \sup, \quad (3.24)$$

$$\dot{x}(t) = \alpha u(t)f(x(t)), \quad x(0) \text{ frei}, \quad x(T) \text{ frei}, \quad u(t) \in [0, 1]. \quad (3.25)$$

Dabei sei  $f$  eine zweimal stetig differenzierbare und streng konkave Funktion mit  $f'(x) \rightarrow 0$  für  $x \rightarrow \infty$ . Ferner gelte  $d < 1/\alpha < c$ . In der Aufgabe liegen keine Randbedingungen vor, so dass die Transversalitätsbedingungen in den notwendigen Optimalitätsbedingungen einzig durch die Terminalfunktionale festgelegt werden.

Wir wenden auf die Aufgabe (3.24)–(3.25) mit freien Randbedingungen das Pontrjagin-sche Maximumprinzip in der Form von Theorem 3.2 an: Die Pontrjagin-Funktion  $H^S$  der Aufgabe lautet im normalen Fall

$$H^S(t, x, u, p, 1) = p\alpha u f(x) + (1 - u)f(x)e^{-rt} = [p\alpha u + (1 - u)e^{-rt}]f(x).$$

Die Optimalitätsbedingungen in Theorem 3.2 liefern für die Adjungierte

$$\dot{p}(t) = -[p(t)\alpha u_*(t) + (1 - u_*(t))e^{-rt}]f'(x_*(t)), \quad p(0) = c, \quad p(T) = de^{-rT},$$

und mittels der Maximumbedingung an eine optimale Steuerung die Kriterien

$$u_*(t) = 1 \quad \text{für } \alpha p(t) > e^{-rt}, \quad u_*(t) = 0 \quad \text{für } \alpha p(t) < e^{-rt}.$$

Weiter ergibt sich  $\dot{p}(t) = -\max\{e^{-rt}, \alpha p(t)\} \cdot f'(x_*(t)) < 0$  und  $p(t)$  fällt streng monoton vom Wert  $p(0) = c$  zum Wert  $p(T) = de^{-rT}$ . Zu dem gelten  $\alpha p(0) = \alpha c > 1$  und  $\alpha p(T) = \alpha de^{-rT} < e^{-rT}$ . Daher existiert ein eindeutiger Schaltzeitpunkt  $\tau \in (0, T)$ , in welchem von Investition in Konsumtion gewechselt wird.

Zusammenfassend ergibt sich  $u_*(t) = 1$  für  $t \in [0, \tau)$  und  $u_*(t) = 0$  für  $t \in [\tau, T]$  als die optimale Investitionsstrategie. Die zugehörige Trajektorie  $x_*(t)$  erhält man als die Lösung von  $\dot{x}_*(t) = \alpha f(x_*(t))$  zum Anfangswert  $x_*(0)$  für  $t \in [0, \tau)$  und ist konstant  $x_*(t) = x_*(\tau)$  für  $t \in [\tau, T]$ . Die Parameter  $x_*(0)$  und  $\tau$  sind dabei so zu bestimmen, dass die Transversalitätsbedingungen  $p(0) = c$ ,  $p(T) = de^{-rT}$  und ferner  $\alpha p(\tau) = e^{-r\tau}$  erfüllt sind.

Die Aufgabe der optimalen Investition in Produktionskapazitäten genügt den Anforderungen der Arrow-Bedingungen in Theorem 3.3. Damit ist der Steuerungsprozess  $(x_*(\cdot), u_*(\cdot))$  ein starkes lokales Minimum der Aufgabe.  $\square$

### 3.1.3. Instandhaltungsmanagement

Vorbeugende Instandhaltung wirkt sich positiv auf Lebensdauer und Funktionalität von Produktionsanlagen aus, woraus sich außerdem Einsparungen beim Ersatz von Anlagen ergeben. Die Aufgabe besteht hier in der Ermittlung eines optimierten Zusammenspiels von Instandhaltungsintensität im Laufe der Produktionsdauer und dem Verkaufswert bzw. dem Schrotterlös der Anlage am Ende der Produktionsdauer.

Das nachstehende Modell wurde durch die Betrachtungen in Feichtinger [26] angeregt.

Es sei  $x(t)$  der Zustand einer Maschine, die im Produktionseinsatz den Erlös  $E \cdot x(t)$  pro Zeiteinheit einbringt. Der Einsatz der Maschine führt zum Verschleiß mit der Rate  $\delta \cdot x(t)$ , welchem durch instandhaltende Maßnahmen entgegengewirkt werden kann. Die Kosten für die Instandhaltung wird durch  $u(t)$  angegeben und die Effizienz der Maßnahmen durch  $C(u(t))$ . Zusammenfassend bezeichnen:

- $x(t)$  – den Zustand der Maschine zur Zeit  $t$ ,
- $E \cdot x(t)$  – den Erlös der Maschine pro Zeiteinheit aus dem Betrieb der Maschine,
- $\delta \cdot x(t)$  – den Verschleiß der Maschine bei Produktion,
- $W \cdot x(T)$  – den Wiederverkaufswert am Ende der Planungsperiode,
- $u(t)$  – die Instandhaltungskosten,
- $C(u)$  – die Effizienz der Instandhaltung zur Rate  $u$ .

Der zu erwartende Nettoerlös aus dem Betrieb der Maschine, den anfallenden Instandhaltungskosten und dem Barwert des Verkaufes berechnet sich gemäß

$$\int_0^T e^{-\varrho t} [Ex(t) - u(t)] dt + e^{-\varrho T} \cdot Wx(T).$$

Die instandhaltenden Maßnahmen  $C(u)$  seien mit wachsendem Kostenaufwand  $u$  weniger effizient. Daher besitze die Funktion  $C$  die Eigenschaften:

$$C(0) = 0, \quad C(\infty) = \infty, \quad C'(u) > 0, \quad C'(0) = \infty, \quad C'(\infty) = 0, \quad C''(u) < 0, \quad u \geq 0.$$

Diese Eigenschaften spiegelt zum Beispiel die Funktion  $C(u) = u^\sigma$  mit  $\sigma \in (0, 1)$  wider. Über dem Planungszeitraum werden außerdem die instandhaltenden Maßnahmen durch den betrieblichen Verschleiß und durch wiederkehrende Reparaturen weniger effektiv. Wir machen für diese Beobachtung den Ansatz  $e^{-\alpha t} \cdot C(u)$ .

Zusammenfassend ergibt sich für unser Instandhaltungsmodell die Aufgabe

$$\left. \begin{aligned} J(x(\cdot), u(\cdot)) &= \int_0^T e^{-\varrho t} [Ex(t) - u(t)] dt + e^{-\varrho T} \cdot Wx(T) \rightarrow \sup, \\ \dot{x}(t) &= e^{-\alpha t} \cdot C(u(t)) - \delta x(t), \quad x(0) = x_0 > 0, \\ u &\geq 0, \quad \varrho, \delta, \alpha, E, W > 0, \quad W < \frac{E}{\varrho + \delta}. \end{aligned} \right\} \quad (3.26)$$

Wir wenden Theorem 3.2 an: Die Pontrjagin-Funktion  $H^S$  der Aufgabe (3.26) hat die Form

$$H^S(t, x, u, p) = p(e^{-\alpha t}C(u) - \delta x) + e^{-\rho t}(Ex - u).$$

Sie ist linear in  $x$ , womit die Hamilton-Funktion  $\mathcal{H}^S(t, x, p)$  konkav ist. Daher sind die Bedingungen des Maximumprinzips hinreichend für ein starkes lokales Maximum. Die Maximumbedingung (2.9) lautet

$$H^S(t, x_*(t), u_*(t), p(t)) = \max_{u \geq 0} \left[ p(t)(e^{-\alpha t}C(u) - \delta x_*(t)) + e^{-\rho t}(Ex_*(t) - u) \right].$$

Aufgrund der Eigenschaften der Funktion  $C(u)$  können nur positive Instandhaltungskosten  $u_*(t)$  optimal sein. Deswegen führt die Maximumbedingung nach Ausschluss der Randlösung  $u = 0$  auf die Gleichung

$$H_u^S(t, x_*(t), u_*(t), p(t)) = p(t)e^{-\alpha t}C'(u_*(t)) - e^{-\rho t} = 0 \Leftrightarrow p(t) = e^{-(\rho-\alpha)t} \frac{1}{C'(u_*(t))}.$$

Wir beachten den Vorzeichenwechsel beim Übergang zu einem Minimierungsproblem in der Transversalitätsbedingung. Damit erhalten (3.14) und (3.15) die Form

$$\dot{p}(t) = \delta p(t) - E \cdot e^{-\rho t}, \quad p(T) = W \cdot e^{-\rho T}.$$

Für die adjungierte Funktion  $p(\cdot)$  erhalten wir die Abbildung

$$p(t) = W e^{-(\rho+\delta)T} e^{\delta t} + \frac{E}{\rho + \delta} [e^{-\rho t} - e^{-(\rho+\delta)T} e^{\delta t}].$$

Den Ausdruck in der letzten Klammer formen wir um und erhalten

$$e^{-\rho t} - e^{-(\rho+\delta)T} e^{\delta t} = e^{-\rho t} - e^{-\rho T} \cdot e^{-\delta(T-t)} > e^{-\rho t} - e^{-\rho T} > 0$$

für  $t \in [0, T)$ . Daher nimmt die Adjungierte  $p(t)$  nur positive Werte über  $[0, T]$  an und die optimale Strategie  $u_*(\cdot)$  ist durch  $p(t) = e^{-(\rho-\alpha)t}/C'(u_*(t))$  sinnvoll festgelegt.

In  $t = 0$  ergibt sich für die Adjungierte  $p(\cdot)$  der Wert

$$p(0) = W e^{-(\rho+\delta)T} + \frac{E}{\rho + \delta} [1 - e^{-(\rho+\delta)T}] \approx \frac{E}{\rho + \delta}.$$

Im Sinn des Schattenpreises bemisst  $p(\cdot)$  zu Beginn den gesamten Erlös unter Beachtung von Diskontierung und Verschleiß,

$$p(0) \approx \int_0^T E e^{-(\rho+\delta)t} dt \approx \int_0^\infty E e^{-(\rho+\delta)t} dt = \frac{E}{\rho + \delta},$$

und nimmt am Ende des Planungszeitraumes den Barwert  $p(T) = W e^{-\rho T}$  des Verkaufspreises an.  $\square$

### 3.2. Freier Anfangs- und Endzeitpunkt unter Zeitschranken

In dem Lehrbuch von Feichtinger & Hartl [26] werden unter der Rubrik “Optimale Wahl des Endzeitpunktes” für die Aufgabe mit freiem Anfangs- und Endzeitpunkt notwendige Optimalitätsbedingungen in dem Fall formuliert, wenn sich der Zeitraum  $[t_0, t_1]$  innerhalb eines gewissen Zeitfensters  $[T_0, T_1]$  befinden soll. Die Argumentation in [26] basiert auf einer getrennten Herleitung der bekannten Optimalitätsbedingungen und der anschließenden Analyse der Zeitpunkte  $t_{0*}$  und  $t_{1*}$ . Da ein optimaler Steuerungsprozess und damit die Gestalt von Optimalitätsbedingungen wesentlich durch das optimale Zeitintervall  $[t_{0*}, t_{1*}]$  beeinflusst werden, binden wir in den nachstehenden Untersuchungen das vorgegebene Zeitfenster unmittelbar ein. Die Aufgabe mit einem gegebenen Zeitfenster gehört nicht zum Standard in den Darstellungen von Optimalitätsbedingungen. Deswegen widmen wir diesem Detail diesen eigenständigen Abschnitt.

Wir kehren zurück zur Standardaufgabe (2.63)–(2.67) mit freiem Anfangs- und Endzeitpunkt im Abschnitt 2.5.4 und fügen dieser Aufgabe gewisse Zeitschranken hinzu:

$$\left. \begin{aligned} J(x(\cdot), u(\cdot)) &= \int_{t_0}^{t_1} f(t, x(t), u(t)) dt \rightarrow \inf, \\ \dot{x}(t) &= \varphi(t, x(t), u(t)), \\ h_0(t_0, x(t_0)) &= 0, \quad h_1(t_1, x(t_1)) = 0, \\ [\Theta_0, \Theta_1] &\subseteq [t_0, t_1] \subseteq [T_0, T_1], \quad T_0 \leq \Theta_0 < \Theta_1 \leq T_1, \\ u(t) &\in U \subseteq \mathbb{R}^m, \quad U \neq \emptyset, \\ g_j(t, x(t)) &\leq 0 \quad \text{für alle } t \in [t_0, t_1], \quad j = 1, \dots, l. \end{aligned} \right\} \quad (3.27)$$

Die Methode der Substitution der Zeit führt auf das Steuerungsproblem

$$\left. \begin{aligned} \int_0^1 v \cdot f(t(s), y(s), w(s)) ds &\rightarrow \inf, \\ t'(s) = v, \quad y'(s) &= v \cdot \varphi(t(s), y(s), w(s)), \\ h_0(t(0), y(0)) &= 0, \quad h_1(t(1), y(1)) = 0, \\ T_0 - t(0) \leq 0, \quad t(1) - T_1 &\leq 0, \quad t(0) - \Theta_0 \leq 0, \quad \Theta_1 - t(1) \leq 0, \\ v > 0, \quad w(s) &\in U, \\ g_j(t(s), y(s)) &\leq 0, \quad s \in [0, 1], \quad j = 1, \dots, l. \end{aligned} \right\} \quad (3.28)$$

Da die Zustandsvariable  $t(\cdot)$  wegen  $t'(s) = v > 0$  streng monoton wachsend ist, bewirken die Randbedingungen  $r_0(t(0)) = T_0 - t(0) \leq 0$  und  $r_1(t(1)) = t(1) - T_1 \leq 0$  die Eingrenzung der Zeit  $t(\cdot)$  in das Zeitfenster  $[T_0, T_1]$  bzw. die Randbedingungen  $\varrho_0(t(0)) = t(0) - \Theta_0 \leq 0$  und  $\varrho_1(t(1)) = \Theta_1 - t(1) \leq 0$  die Berücksichtigung der Zeitdauer  $[\Theta_0, \Theta_1]$ .

Die Randbedingungen  $r_0(t_0) = T_0 - t_0$ ,  $r_1(t_1) = t_1 - T_1$ ,  $\varrho_0(t_0) = t_0 - \Theta_0$ ,  $\varrho_1(t_1) = \Theta_1 - t_1$  haben eine denkbar einfache Gestalt und besitzen die einfachen Ableitungen  $r'_0 = \varrho'_1 = -1$  und  $r'_1 = \varrho'_0 = 1$ . Deswegen fließen lediglich die Lagrangeschen Multiplikatoren  $\alpha_0, \alpha_1$  bezüglich  $r_0, r_1$  bzw.  $\beta_0, \beta_1$  bezüglich  $\varrho_0, \varrho_1$  in die Optimalitätsbedingungen ein.

Die Aufgabe (3.28) gliedert sich in den Rahmen der Aufgabe (3.1)–(3.5) mit allgemeinen Randbedingungen ein. Daher existieren nach Theorem 3.1 Zahlen  $\lambda_0 \geq 0$ ,  $\alpha_0 \geq 0$ ,  $\alpha_1 \geq 0$ ,  $\beta_0 \geq 0$  und  $\beta_1 \geq 0$ , Vektoren  $l_0 \in \mathbb{R}^{s_0}$ ,  $l_1 \in \mathbb{R}^{s_1}$ , eine Vektorfunktion  $\tilde{p}(\cdot)$ , eine Funktion  $\tilde{q}(\cdot)$ , sowie nichtnegative, reguläre und auf den Mengen  $\Delta_j$  konzentrierte Borelsche Maße  $\tilde{\mu}_j$ ,  $j = 1, \dots, l$ , (diese Größen verschwinden nicht gleichzeitig) derart, dass die Beziehungen

$$\begin{aligned}\tilde{p}(s) &= -h_{1,x_1}^T(t_*(1), y_*(1))l_1 + \int_s^1 \tilde{H}_x^S(t_*(\sigma), y_*(\sigma), w_*(\sigma), v_*, \tilde{p}(\sigma), \tilde{q}(\sigma), \lambda_0) d\sigma \\ &\quad - \sum_{j=1}^l \int_s^1 g_{j,x}(t_*(\sigma), y_*(\sigma)) d\tilde{\mu}_j(\sigma), \\ \tilde{p}(0) &= h_{0,x_0}^T(t_*(0), y_*(0))l_0, \\ \tilde{q}(s) &= -\langle h_{1,t_1}(t_*(1), y_*(1)), l_1 \rangle + \int_s^1 \tilde{H}_t^S(t_*(\sigma), y_*(\sigma), w_*(\sigma), v_*, \tilde{p}(\sigma), \tilde{q}(\sigma), \lambda_0) d\sigma \\ &\quad - \sum_{j=1}^l \int_s^1 g_{j,t}(t_*(\sigma), y_*(\sigma)) d\tilde{\mu}_j(\sigma) - \alpha_1 + \beta_1, \\ \tilde{q}(0) &= \langle h_{0,t_0}(t_*(0), y_*(0)), l_0 \rangle - \alpha_0 + \beta_0,\end{aligned}$$

für fast alle  $s \in [0, 1]$  die Maximumbedingung

$$\tilde{H}^S(t_*(s), y_*(s), w_*(s), v_*, \tilde{p}(s), \tilde{q}(s), \lambda_0) = \max_{u \in U, v > 0} v \cdot [H^S(t_*(s), y_*(s), u, \tilde{p}(s), \lambda_0) + \tilde{q}(s)]$$

und die komplementären Schlupfbedingungen

$$\alpha_0(T_0 - t(0)) = 0, \quad \alpha_1(t(1) - T_1) = 0, \quad \beta_0(t(0) - \Theta_0) = 0, \quad \beta_1(\Theta_1 - t(1)) = 0$$

erfüllt sind.

Die Randbedingungen  $r_0, \dots, \varrho_1$  wirken sich lediglich bezüglich der Zeitvariablen und damit nur auf die Adjungierte  $\tilde{q}(\cdot)$  in Form der Multiplikatoren  $\alpha_0, \dots, \beta_1$  aus. Dieser Einfluss wird durch die Beziehung  $H^S(t_*(s), y_*(s), u, \tilde{p}(s), \lambda_0) = -\tilde{q}(s)$  an die Hamilton-Funktion  $\mathcal{H}^S(t, x, p, \lambda_0) = \max_{u \in U} H^S(t, x, u, p, \lambda_0)$  übergeben.

Für die Auswirkung der Zeitschranken auf die ursprüngliche Aufgabe (3.27) bedeutet dies, dass in den notwendigen Optimalitätsbedingungen nur die zeitabhängigen Elemente durch das Auftreten der Multiplikatoren  $\alpha_0, \dots, \beta_1$  beeinflusst werden.

Die Umkehrung der Substitution der Zeit erfolgt wieder auf die gleiche Weise wie im Abschnitt 2.5.4. Zusammenfassend lautet damit das Pontrjaginsche Maximumprinzip wir für die Aufgabe mit freiem Anfangs- und Endzeitpunkt unter Zeitschranken wie folgt:

**Theorem 3.5** (Pontrjaginsches Maximumprinzip). *In der Aufgabe (3.27) sei der Steuerungsprozess  $([t_{0*}, t_{1*}], x_*(\cdot), u_*(\cdot)) \in \mathcal{B}_{\text{adm}}^{\mathcal{F}} \cap \mathcal{B}_{\text{Lip}}^{\mathcal{F}}$ . Ist  $([t_{0*}, t_{1*}], x_*(\cdot), u_*(\cdot))$  ein starkes lokales Minimum der Aufgabe (3.27), dann existieren Zahlen  $\lambda_0 \geq 0$ ,  $\alpha_0 \geq 0$ ,  $\alpha_1 \geq 0$ ,  $\beta_0 \geq 0$  und  $\beta_1 \geq 0$ , Vektoren  $l_0 \in \mathbb{R}^{s_0}$  und  $l_1 \in \mathbb{R}^{s_1}$ , eine Vektorfunktion  $p(\cdot) : [t_{0*}, t_{1*}] \rightarrow \mathbb{R}^n$  und auf den Mengen*

$$T_j = \{t \in [t_{0*}, t_{1*}] \mid g_j(t, x_*(t)) = 0\}, \quad j = 1, \dots, l,$$

*konzentrierte nichtnegative reguläre Borelsche Maße  $\mu_j$  endlicher Totalvariation (wobei sämtliche Größen nicht gleichzeitig verschwinden) derart, dass die Vektorfunktion  $p(\cdot)$  von beschränkter Variation und rechtsseitig stetig ist, und*

(a) *die adjungierte Gleichung*

$$\begin{aligned} p(t) &= -h_{1,x_1}^T(t_{1*}, x_*(t_{1*}))l_1 + \int_t^{t_{1*}} H_x^{\mathcal{S}}(s, x_*(s), u_*(s), p(s), \lambda_0) ds \\ &\quad - \sum_{j=1}^l \int_t^{t_{1*}} g_{j,x}(s, x_*(s)) d\mu_j(s), \end{aligned} \quad (3.29)$$

(b) *die Transversalitätsbedingungen*

$$\left. \begin{aligned} p(t_{0*}) &= h_{0,x_0}^T(t_{0*}, x_*(t_{0*}))l_0, \\ p(t_{1*}^-) - p(t_{1*}) &= - \sum_{j=1}^l \mu_j(\{t_{1*}\}) g_{j,x}(t_{1*}, x_*(t_{1*})), \end{aligned} \right\} \quad (3.30)$$

(c) *in fast allen Punkten  $t \in [t_{0*}, t_{1*}]$  die Maximumbedingung*

$$H^{\mathcal{S}}(t, x_*(t), u_*(t), p(t), \lambda_0) = \max_{u \in U} H^{\mathcal{S}}(t, x_*(t), u, p(t), \lambda_0) \quad (3.31)$$

(d) *die komplementären Schlupfbedingungen*

$$\alpha_0(t_{0*} - T_0) = 0, \quad \alpha_1(t_{1*} - T_1) = 0, \quad \beta_0(t_{0*} - \Theta_0) = 0, \quad \beta_1(t_{1*} - \Theta_1) = 0 \quad (3.32)$$

*erfüllt sind und weiterhin*

(e) *die Beziehungen*

$$\begin{aligned} \mathcal{H}^{\mathcal{S}}(t, x_*(t), p(t), \lambda_0) &= \langle h_{1,t_1}(t_{1*}, x_*(t_{1*})), l_1 \rangle - \int_t^{t_{1*}} H_t^{\mathcal{S}}(s, x_*(s), u_*(s), p(s), \lambda_0) ds \\ &\quad + \sum_{j=1}^l \int_t^{t_{1*}} g_{j,t}(s, x_*(s)) d\mu_j(s) + \alpha_1 - \beta_1, \end{aligned} \quad (3.33)$$

$$\mathcal{H}^{\mathcal{S}}(t_{0*}, x_*(t_{0*}), p(t_{0*}), \lambda_0) = -\langle h_{0,t_0}(t_{0*}, x_*(t_{0*})), l_0 \rangle + \alpha_0 - \beta_0 \quad (3.34)$$

*gelten.*

**Theorem 3.6.** In der Aufgabe (3.27) sei  $([t_{0*}, t_{1*}], x_*(\cdot), u_*(\cdot)) \in \mathcal{B}_{\text{adm}}^{\mathcal{F}} \cap \mathcal{B}_{\text{Lip}}^{\mathcal{F}}$ . Ist der Steuerungsprozess  $([t_{0*}, t_{1*}], x_*(\cdot), u_*(\cdot))$  ein starkes lokales Minimum der Aufgabe (3.27), dann existieren nicht gleichzeitig verschwindende Multiplikatoren  $\lambda_0 \geq 0$ ,  $\alpha_0 \geq 0$ ,  $\alpha_1 \geq 0$ ,  $\beta_0 \geq 0$ ,  $\beta_1 \geq 0$ ,  $l_0 \in \mathbb{R}^{s_0}$ ,  $l_1 \in \mathbb{R}^{s_1}$  und  $p(\cdot) \in W_{\infty}^1([t_{0*}, t_{1*}], \mathbb{R}^n)$  derart, dass

(a) für fast alle  $t \in [t_{0*}, t_{1*}]$  die adjungierte Gleichung

$$\dot{p}(t) = -H_x^{\mathcal{S}}(t, x_*(t), u_*(t), p(t), \lambda_0), \quad (3.35)$$

(b) die Transversalitätsbedingungen

$$p(t_{0*}) = h_{0,x_0}^T(t_{0*}, x_*(t_{0*}))l_0, \quad p(t_{1*}) = -h_{1,x_1}^T(t_{1*}, x_*(t_{1*}))l_1, \quad (3.36)$$

(c) in fast allen Punkten  $t \in [t_{0*}, t_{1*}]$  die Maximumbedingung

$$H^{\mathcal{S}}(t, x_*(t), u_*(t), p(t), \lambda_0) = \max_{u \in U} H^{\mathcal{S}}(t, x_*(t), u, p(t), \lambda_0), \quad (3.37)$$

(d) die komplementären Schlupfbedingungen

$$\alpha_0(t_{0*} - T_0) = 0, \quad \alpha_1(t_{1*} - T_1) = 0, \quad \beta_0(t_{0*} - \Theta_0) = 0, \quad \beta_1(t_{1*} - \Theta_1) = 0 \quad (3.38)$$

(e) und für die Funktion  $t \rightarrow \mathcal{H}^{\mathcal{S}}(t, x_*(t), p(t), \lambda_0)$  die Bedingungen

$$\frac{d}{dt} \mathcal{H}^{\mathcal{S}}(t, x_*(t), p(t), \lambda_0) = H_t^{\mathcal{S}}(t, x_*(t), u_*(t), p(t), \lambda_0), \quad (3.39)$$

$$\mathcal{H}^{\mathcal{S}}(t_{0*}, x_*(t_{0*}), p(t_{0*}), \lambda_0) = -\langle h_{0,t_0}(t_{0*}, x_*(t_{0*})), l_0 \rangle + \alpha_0 - \beta_0, \quad (3.40)$$

$$\mathcal{H}^{\mathcal{S}}(t_{1*}, x_*(t_{1*}), p(t_{1*}), \lambda_0) = \langle h_{1,t_1}(t_{1*}, x_*(t_{1*})), l_1 \rangle + \alpha_1 - \beta_1 \quad (3.41)$$

erfüllt sind.

**Beispiel 3.7.** Wir modifizieren das Beispiel 1.32 zur Bewegung eines Massenpunktes indem wir der zeitminimalen Bewegung den Beschleunigungsaufwand gegenüber stellen:

$$\left. \begin{aligned} J(s(\cdot), v(\cdot), a(\cdot)) &= \int_0^T \left( 1 + \frac{1}{2} a^2(t) \right) dt \rightarrow \inf, \\ \dot{s}(t) &= v(t), \quad \dot{v}(t) = a(t), \\ s(0) &= 0, \quad s(T) = s_T > 0, \quad v(0) = v(T) = 0, \quad a(t) \in \mathbb{R}. \end{aligned} \right\} \quad (3.42)$$

Für diese Aufgabe lautet die Pontrjagin-Funktion

$$H^{\mathcal{S}}(t, s, v, a, p_1, p_2, \lambda_0) = p_1 v + p_2 a - \lambda_0 \left( 1 + \frac{1}{2} a^2 \right).$$

Die notwendigen Bedingungen in Theorem 3.6 liefern für die Adjungierten wieder

$$\begin{aligned} \dot{p}_1(t) &\equiv 0 &\Rightarrow & p_1(t) \equiv \pi_1 \in \mathbb{R}, \\ \dot{p}_2(t) &= -p_1(t) = -\pi_1 &\Rightarrow & p_2(t) = \pi_2 - \pi_1 t, \pi_2 \in \mathbb{R}. \end{aligned}$$

Mit Hilfe der Maximumbedingung ergibt sich  $\lambda_0 = 1$  und wir erhalten für  $a_*(\cdot)$ :

$$\max_{a \in \mathbb{R}} \left( p_2(t)a - \frac{1}{2}a^2 \right) \Rightarrow a_*(t) = p_2(t).$$

Weiterhin liegt eine autonome Aufgabe vor und es ergibt sich

$$\begin{aligned} 0 &\equiv \mathcal{H}^S(t, s_*(t), v_*(t), p_1(t), p_2(t), \lambda_0) = p_1(t)v_*(t) + p_2(t)a_*(t) - 1 - \frac{1}{2}a_*^2(t) \\ &= \pi_1 \left( \pi_2 t - \frac{1}{2}\pi_1 t^2 \right) + (\pi_2 - \pi_1 t)^2 - 1 - \frac{1}{2}(\pi_2 - \pi_1 t)^2 = \frac{1}{2}\pi_2^2 - 1. \end{aligned}$$

Damit gilt  $\pi_2^2 = 2$ . Der Parameter  $\pi_1$  und die optimale Stoppzeit  $T_*$  ergeben sich aus

$$v_*(T_*) = \pi_2 T_* - \frac{1}{2}\pi_1 T_*^2 = 0, \quad s_*(T_*) = \frac{1}{2}\pi_2 T_*^2 - \frac{1}{6}\pi_1 T_*^3 = S_T.$$

Es sei nun  $0 < T_1 < T_*$  und wir fügen der Aufgabe 3.42 das Zeitfenster  $[0, T_1]$  hinzu. Dadurch entsteht die Aufgabe

$$\left. \begin{aligned} J(s(\cdot), v(\cdot), a(\cdot)) &= \int_{t_0}^{t_1} \left( 1 + \frac{1}{2}a^2(t) \right) dt \rightarrow \inf, \\ \dot{s}(t) &= v(t), \quad \dot{v}(t) = a(t), \quad [t_0, t_1] \subseteq [0, T_1], \\ s(t_0) &= 0, \quad s(t_1) = S_T > 0, \quad v(t_0) = v(t_1) = 0, \quad a(t) \in \mathbb{R}. \end{aligned} \right\} \quad (3.43)$$

Während die adjungierten Gleichungen und die Maximumbedingung mit denen der Aufgabe 3.42 übereinstimmen, liegen nun die Randbedingungen

$$\mathcal{H}^S(t_{0*}, x_*(t_{0*}), p(t_{0*}), \lambda_0) = \alpha_0, \quad \mathcal{H}^S(t_{1*}, x_*(t_{1*}), p(t_{1*}), \lambda_0) = \alpha_1$$

an die Hamilton-Funktion vor. Wegen  $H_t^S(t, x_*(t), u_*(t), p(t), \lambda_0) \equiv 0$  muss darin  $\alpha_0 = \alpha_1$  gelten und weiterhin sind beide Zahlen positiv, da  $T_1 < T_*$  vorausgesetzt wurde. Da  $\alpha_0 > 0$  und  $\alpha_1 > 0$  ausfallen, gelten  $t_{0*} = 0$  und  $t_{1*} = T_1$ . Ferner ergibt sich

$$\alpha_0 \equiv \mathcal{H}^S(t, s_*(t), v_*(t), p_1(t), p_2(t), \lambda_0) = \frac{1}{2}\pi_2^2 - 1,$$

also  $\pi_2^2 = 2(\alpha_0 + 1)$ . Anhand der Beziehungen

$$v_*(T_1) = \pi_2 T_1 - \frac{1}{2}\pi_1 T_1^2 = 0, \quad s_*(T_1) = \frac{1}{2}\pi_2 T_1^2 - \frac{1}{6}\pi_1 T_1^3 = S_T$$

können die Größen  $\pi_1 = 12S_T/T_1^3$  und  $\pi_2 = 6S_T/T_1^2$ , z. B. mit Hilfe der Cramerschen Regel, ermittelt werden.  $\square$

### 3.3. Multiprozesse

Der Begriff des Multiprozesses lässt sich am Beispiel des Autofahrens illustrieren: Neben den kontinuierlichen Steuerungen “beschleunigen” und “bremsen” bildet die Wahl des konkreten Ganges einen wesentlichen Beitrag zur Minimierung des Treibstoffverbrauchs oder zum Erreichen des Zielortes in kürzester Zeit. Denn die Auswahl des jeweiligen Ganges beeinflusst maßgeblich das dynamische Beschleunigungsverhalten, den momentanen Benzinverbrauch und die Geschwindigkeit. Das Fahrverhalten und der Treibstoffverbrauch wird in jedem einzelnen Gang durch eine eigene Dynamik und Verbrauchsfunktion beschrieben. Dementsprechend setzt sich dieses Optimierungsproblem aus verschiedenen, dem jeweilig ausgewählten Gang zugeordneten, Steuerungsproblemen zusammen. Die Schaltfolge zwischen den einzelnen Gängen wird durch eine Wechselstrategie beschrieben. Das Beispiel des Autofahrens verdeutlicht dabei den speziellen Charakter der Wechselstrategie: Im Vergleich zu den Pedalen, die stufenlos gesteuert werden können, ist die Auswahl des Ganges eine rein diskrete Größe.

Ein Multiprozess besteht aus einer gewissen endlichen Anzahl von einzelnen Steuerungssystemen, welche sich jeweils aus individuellen Dynamiken, Zielfunktionalen und Steuerungsbereichen zusammensetzen. Neben der Suche nach der optimalen Steuerung für das jeweils gewählte Steuerungssystem liegt das Hauptaugenmerk bei der Untersuchung von Multiprozessen auf der Bestimmung der optimalen Wechselstrategie. Dabei wird eine Wechselstrategie durch die Anzahl der Wechsel zwischen den einzelnen Steuerungssystemen, durch die konkrete Auswahl des jeweiligen Steuerungssystems und durch diejenigen Zeitpunkte, zu denen diese Wechsel stattfinden, beschrieben. Wir betrachten ausschließlich Multiprozesse mit stetigen Zuständen. Außerdem dürfen keine Wechselkosten anfallen.

Eine anschauliche Beschreibung eines Multiprozesses wird durch die Auflistung der jeweilig ausgewählten Steuerungssysteme gegeben. Dazu zerlegt man das Zeitintervall  $[t_0, t_1]$  zu den Wechselzeitpunkten in Teilintervalle,

$$t_0 = s_0 < s_1 < \dots < s_N = t_1,$$

und beschreibt für  $j = 1, \dots, N$  auf den Teilabschnitten das Steuerungsproblem:

$$\int_{s_{j-1}}^{s_j} f_{i_j}(t, x(t), u(t)) dt, \quad \dot{x}(t) = \varphi_{i_j}(t, x(t), u(t)) \text{ für } t \in (s_{j-1}, s_j), \quad u(t) \in U_{i_j} \subseteq \mathbb{R}^{m_{i_j}}.$$

Dabei gehört die Zahl  $i_j$  zu der gegebenen Menge  $\{1, \dots, k\}$  und gibt das ausgewählte Steuerungssystem an. Der Multiprozess erhält dadurch die Gestalt

$$\begin{aligned} J(x(\cdot), u(\cdot)) &= \sum_{j=1}^N \int_{s_{j-1}}^{s_j} f_{i_j}(t, x(t), u(t)) dt \rightarrow \inf, \\ \dot{x}(t) &= \varphi_{i_j}(t, x(t), u(t)) \quad \text{für } t \in (s_{j-1}, t_j), \quad j = 1, \dots, N, \\ u(t) &\in U_{i_j} \subseteq \mathbb{R}^{m_{i_j}}, \quad i_j \in \{1, \dots, k\}, \quad j = 1, \dots, N. \end{aligned}$$

In dieser Darstellung eines Multiprozesses ist anzumerken, dass durch die Folge der Indizes  $\{i_j\}$  die Wechselstrategie vordefiniert ist. D. h., dass die Anzahl der Wechsel und die jeweilige Auswahl des Steuerungssystems implizit bereits determiniert werden. Die Beschreibung einer Wechselstrategie als "echte" Steuerungsvariable wird in dieser Form nicht erreicht.

Allerdings basiert auf dieser Formulierung weitestgehend die Strategie zur Untersuchung von allgemeinen Multiprozessen. Nämlich auf dem Vergleich von Multiprozessen, die auf der gleichen Wechselstrategie beruhen. Die fundamentale Arbeit von Sussmann [70] baut auf diesem Ansatz auf. Jedoch bezieht sie sich auf allgemeinere Aufgaben als wir sie betrachten werden, da sie ebenso unstetige Zustände und Wechselkosten beinhaltet. Weitere grundlegenden Beiträge zu notwendigen Optimalitätsbedingungen für Multiprozesse, z. B. bei Clarke & Vinter [17, 18], Dmitruk & Kaganovich [19], Galbraith & Vinter [28], Garavello & Piccoli [31], Shaikh & Caines [68, 69], basieren ebenso auf dieser Philosophie.

Wir werden im Folgenden für Multiprozesse einen Weg aufzeigen, die Wechselstrategien als "echte" Steuerungsvariable einzuführen. Damit sind wir in der Lage, Multiprozesse auf starke lokale Optimalstellen zu untersuchen. Das beinhaltet, dass wir zur Bestimmung von notwendigen Optimalitätsbedingungen Multiprozesse mit beliebigen Wechselstrategien vergleichen (vgl. Tauchnitz [71]).

Unser grundlegendes Element zur Beschreibung von Wechselstrategien sind gewisse Zerlegungen des Zeitintervalls und die Verknüpfung dieser Zerlegungen mit vektorwertigen Abbildungen. Die Wechselstrategien in Form von Zerlegungen dienen als Steuerungsvariable in der Beschreibung eines Multiprozesses und fließen so in die konkrete Aufgabestellung und in das Pontrjaginsche Maximumprinzip ein.

### 3.3.1. $k$ -fache Zerlegungen und die Aufgabenstellung

In diesem Abschnitt führen wir auf der Grundlage einfacher Überlegungen die  $k$ -fachen Zerlegungen eines Intervalls ein. Anschließend legen wir dar, wie diese Größen eine Wechselstrategie zwischen einer gegebenen Anzahl von Abbildungen realisiert.

Es seien das Intervall  $I \subseteq \mathbb{R}$  und  $k \in \mathbb{N}$  gegeben.

**Definition 3.8.** *Unter einer  $k$ -fachen Zerlegung des Intervalls  $I \subseteq \mathbb{R}$  verstehen wir ein endliches System  $\mathcal{A} = \{\mathcal{A}_1, \dots, \mathcal{A}_k\}$  von Lebesgue-messbaren Teilmengen von  $I$  mit*

$$\bigcup_{1 \leq s \leq k} \mathcal{A}_s = I, \quad \mathcal{A}_s \cap \mathcal{A}_{s'} = \emptyset \quad \text{für } s \neq s'.$$

Es bezeichnet  $\mathcal{Z}^k(I) = \{\mathcal{A}\} = \{\{\mathcal{A}_s\}_{1 \leq s \leq k}\}$  die Menge der  $k$ -fachen Zerlegungen von  $I$ .

Wir identifizieren ein Element  $\mathcal{A} \in \mathcal{Z}^k(I)$  durch die Vektorfunktion

$$\chi_{\mathcal{A}}(t) = (\chi_{\mathcal{A}_1}(t), \dots, \chi_{\mathcal{A}_k}(t)), \quad t \in I,$$

der charakteristischen Funktionen der Mengen  $\mathcal{A}_s$ . Jede Funktion  $\chi_{\mathcal{A}}(\cdot)$  gehört der Menge

$$\mathcal{Y}^k(I) = \left\{ y(\cdot) \in L_\infty(I, \mathbb{R}^k) \mid y(t) = (y_1(t), \dots, y_k(t)), y_s(t) \in \{0, 1\}, \sum_{s=1}^k y_s(t) = 1 \right\}$$

an. Die Menge  $\mathcal{Z}^k(I)$  der  $k$ -fachen Zerlegungen bzw.  $\mathcal{Y}^k(I)$  der charakteristischen Vektorfunktionen repräsentieren bei geeigneter Verknüpfung sämtliche Wechselstrategien in Multiprozessen mit  $k$  Steuerungssystemen.

Die Grundlage bilden dafür die folgenden Bezeichnungen:

Wir betrachten  $k$  Funktionen  $h_s(t, x, u_s) : I \times \mathbb{R}^n \times \mathbb{R}^{m_s} \rightarrow \mathbb{R}^m$  und fassen diese zur Vektorfunktion  $h = (h_1, \dots, h_k)$  zusammen. Dabei setzen wir  $u = (u_1, \dots, u_k) \in \mathbb{R}^{m_1 + \dots + m_k}$ . Die Verknüpfung der Funktion  $h$  mit einer  $k$ -fachen Zerlegung legen wir wie folgt fest:

$$\mathcal{A} \circ h(t, x, u) = \chi_{\mathcal{A}}(t) \circ h(t, x, u) = \sum_{s=1}^k \chi_{\mathcal{A}_s}(t) \cdot h_s(t, x, u_s).$$

Sind die Funktionen  $h^i$  differenzierbar, dann setzen wir für die partiellen Ableitungen:

$$\begin{aligned} \mathcal{A} \circ h_t(t, x, u) &= \chi_{\mathcal{A}}(t) \circ h_t(t, x, u) = \sum_{s=1}^k \chi_{\mathcal{A}_s}(t) \cdot h_{s,t}(t, x, u_s), \\ \mathcal{A} \circ h_x(t, x, u) &= \chi_{\mathcal{A}}(t) \circ h_x(t, x, u) = \sum_{s=1}^k \chi_{\mathcal{A}_s}(t) \cdot h_{s,x}(t, x, u_s). \end{aligned}$$

In diesen Bezeichnungen wählt eine  $k$ -fache Zerlegung zum Zeitpunkt  $t \in I$  einerseits in eindeutiger Weise eine der Funktionen  $h_s(t, x, u_s)$  und außerdem die entsprechende Komponente  $u_s$  des Vektors  $u = (u_1, \dots, u_k)$  aus.

Es sei  $k \in \mathbb{N}$  die Anzahl der verschiedenen gegebenen Steuerungssysteme, die individuelle Integranden  $f_s(t, x, u_s) : \mathbb{R} \times \mathbb{R}^n \times \mathbb{R}^{m_s} \rightarrow \mathbb{R}$ , Dynamiken  $\varphi_s(t, x, u_s) : \mathbb{R} \times \mathbb{R}^n \times \mathbb{R}^{m_s} \rightarrow \mathbb{R}^n$  und Steuerbereiche  $U_s \subseteq \mathbb{R}^{m_s}$  besitzen können. Ferner seien

$$h_0(x_0) : \mathbb{R}^n \rightarrow \mathbb{R}^{s_0}, \quad h_1(x_1) : \mathbb{R}^n \rightarrow \mathbb{R}^{s_1}, \quad g_j(t, x) : \mathbb{R} \times \mathbb{R}^n \rightarrow \mathbb{R}, \quad j = 1, \dots, l.$$

Wir fassen die Steuerungssysteme durch die Setzungen

$$f = (f_1, \dots, f_k), \quad \varphi = (\varphi_1, \dots, \varphi_k), \quad U = U_1 \times \dots \times U_k$$

zusammen. Mit den Vorbetrachtungen des letzten Abschnitts formulieren wir über  $[t_0, t_1]$

die Aufgabe des optimalen Multiprozesses mit Zustandsbeschränkungen wie folgt:

$$J(x(\cdot), u(\cdot), \mathcal{A}) = \int_{t_0}^{t_1} \chi_{\mathcal{A}}(t) \circ f(t, x(t), u(t)) dt \rightarrow \inf, \quad (3.44)$$

$$\dot{x}(t) = \chi_{\mathcal{A}}(t) \circ \varphi(t, x(t), u(t)), \quad (3.45)$$

$$h_0(x(t_0)) = 0, \quad h_1(x(t_1)) = 0, \quad (3.46)$$

$$u(t) \in U = U_1 \times \dots \times U_k, \quad U_s \neq \emptyset, \quad \mathcal{A} \in \mathcal{Z}^k([t_0, t_1]), \quad (3.47)$$

$$g_j(t, x(t)) \leq 0, \quad t \in [t_0, t_1], \quad j = 1, \dots, l. \quad (3.48)$$

Die Aufgabe (3.44)–(3.48) mit Zustandsbeschränkungen betrachten wir bezüglich

$$(x(\cdot), u(\cdot), \mathcal{A}) \in W_{\infty}^1([t_0, t_1], \mathbb{R}^n) \times L_{\infty}([t_0, t_1], U) \times \mathcal{Z}^k([t_0, t_1]).$$

Mit  $\mathcal{B}_{\text{Lip}}^{\mathcal{M}}$  bezeichnen wir die Menge aller Tripel  $(x(\cdot), u(\cdot), \mathcal{A})$ , für die es ein  $\gamma > 0$  derart gibt, dass die Abbildungen  $f_s(t, x, u_s)$ ,  $\varphi_s(t, x, u_s)$ ,  $h_i(x_i)$  und  $g_j(t, x)$  auf der Menge aller  $(t, x, x_0, x_1, u) \in \mathbb{R} \times \mathbb{R}^n \times \mathbb{R}^n \times \mathbb{R}^n \times \mathbb{R}^m$  mit

$$t_0 \leq t \leq t_1, \quad \|x - x(t)\| < \gamma, \quad \|x_0 - x(t_0)\| < \gamma, \quad \|x_1 - x(t_1)\| < \gamma, \quad u \in \mathbb{R}^m$$

stetig in der Gesamtheit der Variablen und stetig differenzierbar bezüglich  $x$  sind.

Das Tripel  $(x(\cdot), u(\cdot), \mathcal{A}) \in W_{\infty}^1([t_0, t_1], \mathbb{R}^n) \times L_{\infty}([t_0, t_1], U) \times \mathcal{Z}^k([t_0, t_1])$  heißt ein zulässiger Multiprozess in der Aufgabe (3.44)–(3.48), falls  $(x(\cdot), u(\cdot), \mathcal{A})$  dem System (3.45) genügt, die Randbedingungen (3.46) und die Zustandsbeschränkungen (3.48) erfüllt. Die Menge  $\mathcal{B}_{\text{adm}}^{\mathcal{M}}$  bezeichnet die Menge der zulässigen Multiprozesse.

Ein zulässiger Multiprozess  $(x_*(\cdot), u_*(\cdot), \mathcal{A}_*)$  ist eine starke lokale Minimalstelle der Aufgabe (3.44)–(3.48), falls eine Zahl  $\varepsilon > 0$  derart existiert, dass die Ungleichung

$$J(x(\cdot), u(\cdot), \mathcal{A}) \geq J(x_*(\cdot), u_*(\cdot), \mathcal{A}_*)$$

für alle  $(x(\cdot), u(\cdot), \mathcal{A}) \in \mathcal{B}_{\text{adm}}^{\mathcal{M}}$  mit  $\|x(\cdot) - x_*(\cdot)\|_{\infty} < \varepsilon$  gilt.

In der Aufgabe (3.44)–(3.48) definieren wir für die einzelnen Steuerungssysteme die partiellen Pontrjaginschen Funktionen  $H_s : \mathbb{R} \times \mathbb{R}^n \times \mathbb{R}^{m_s} \times \mathbb{R}^n \times \mathbb{R} \rightarrow \mathbb{R}$  gemäß

$$H_s(t, x, u_s, p, \lambda_0) = \langle p, \varphi_s(t, x, u_s) \rangle - \lambda_0 f_s(t, x, u_s).$$

Wir fassen die Pontrjaginschen Funktionen  $H_s$  zu der Vektorfunktion  $H^{\mathcal{M}} = (H_1, \dots, H_k)$  zusammen. Dann heißt für die Aufgabe optimaler Multiprozesse die Funktion

$$\begin{aligned} \mathcal{A} \circ H^{\mathcal{M}} &: \mathbb{R} \times \mathbb{R}^n \times \mathbb{R}^{m_1 + \dots + m_k} \times \mathbb{R}^n \times \mathbb{R} \rightarrow \mathbb{R}, \\ \mathcal{A} \circ H^{\mathcal{M}}(t, x, u, p, \lambda_0) &= \chi_{\mathcal{A}}(t) \circ H^{\mathcal{M}}(t, x, u, p, \lambda_0) = \sum_{s=1}^k \chi_{\mathcal{A}_s}(t) \cdot H_s(t, x, u_s, p, \lambda_0) \\ &= \sum_{s=1}^k \chi_{\mathcal{A}_s}(t) \cdot (\langle p, \varphi_s(t, x, u_s) \rangle - \lambda_0 f_s(t, x, u_s)) \end{aligned}$$

die Pontrjagin-Funktion der Aufgabe optimaler Multiprozesse.

### 3.3.2. Die elementare Aufgabe mit freiem Endpunkt

Für die Aufgabe (3.44)–(3.48) untersuchen wir zunächst den Spezialfall im Rahmen der stückweise stetigen Steuerungen und stückweise stetig differenzierbaren Zustände. Dafür bezeichne  $\mathcal{Z}_0^k([t_0, t_1]) \subset \mathcal{Z}^k([t_0, t_1])$  die Menge aller  $k$ -fachen Zerlegungen, in denen sich die Mengen  $\mathcal{A}_1, \dots, \mathcal{A}_k$  durch endliche Vereinigungen von rechtsseitig halboffenen oder abgeschlossenen Teilintervallen von  $[t_0, t_1]$  ergeben. Ganz entsprechend ergibt sich für die charakteristischen Vektorfunktionen  $\chi_{\mathcal{A}}(\cdot)$  die Menge

$$\mathcal{Y}^k(I) = \left\{ y(\cdot) \in PC([t_0, t_1], \mathbb{R}) \mid y(t) = (y_1(t), \dots, y_k(t)), y_s(t) \in \{0, 1\}, \sum_{s=1}^k y_s(t) = 1 \right\}.$$

Die Aufgabe mit freiem Endpunkt ist das Steuerungsproblem

$$J(x(\cdot), u(\cdot), \mathcal{A}) = \int_{t_0}^{t_1} \chi_{\mathcal{A}}(t) \circ f(t, x(t), u(t)) dt \rightarrow \inf, \quad (3.49)$$

$$\dot{x}(t) = \chi_{\mathcal{A}}(t) \circ \varphi(t, x(t), u(t)), \quad x(t_0) = x_0, \quad (3.50)$$

$$u(t) \in U = U_1 \times \dots \times U_k, \quad U_s \neq \emptyset, \quad \mathcal{A} \in \mathcal{Z}_0^k([t_0, t_1]) \quad (3.51)$$

auf dem gegebenen Intervall  $[t_0, t_1]$  und mit festem Punkt  $x_0 \in \mathbb{R}^n$ .

Die Aufgabe (3.49)–(3.51) untersuchen wir bezüglich der Tripel

$$(x(\cdot), u(\cdot), \mathcal{A}) \in PC_1([t_0, t_1], \mathbb{R}^n) \times PC([t_0, t_1], U) \times \mathcal{Z}_0^k([t_0, t_1]).$$

Mit  $\mathcal{D}_{\text{Lip}}^{\mathcal{M}}$  bezeichnen wir die Menge aller Tripel  $(x(\cdot), u(\cdot), \mathcal{A})$ , für die es ein  $\gamma > 0$  derart gibt, dass die Abbildungen  $f_s(t, x, u_s)$ ,  $\varphi_s(t, x, u_s)$  für  $s = 1, \dots, k$  auf der Menge aller Punkte  $(t, x, u) \in \mathbb{R} \times \mathbb{R}^n \times \mathbb{R}^m$  mit

$$t \in [t_0, t_1], \quad \|x - x(t)\| < \gamma, \quad u \in \mathbb{R}^m$$

stetig in der Gesamtheit aller Variablen und stetig differenzierbar bezüglich  $x$  sind.

Ein Tripel  $(x(\cdot), u(\cdot), \mathcal{A}) \in PC_1([t_0, t_1], \mathbb{R}^n) \times PC([t_0, t_1], U) \times \mathcal{Z}_0^k([t_0, t_1])$  ist ein zulässiger Steuerungsprozess der Aufgabe (3.49)–(3.51), falls  $(x(\cdot), u(\cdot), \mathcal{A})$  dem System (3.50) zu  $x(t_0) = x_0$  genügt. Mit  $\mathcal{D}_{\text{adm}}^{\mathcal{M}}$  bezeichnen wir die Menge der zulässigen Steuerungsprozesse.

Ein zulässiger Steuerungsprozess  $(x_*(\cdot), u_*(\cdot), \mathcal{A}_*)$  ist eine starke lokale Minimalstelle der Aufgabe (3.49)–(3.51), falls eine Zahl  $\varepsilon > 0$  derart existiert, dass die Ungleichung

$$J(x(\cdot), u(\cdot), \mathcal{A}) \geq J(x_*(\cdot), u_*(\cdot), \mathcal{A}_*)$$

für alle  $(x(\cdot), u(\cdot), \mathcal{A}) \in \mathcal{D}_{\text{adm}}^{\mathcal{M}}$  mit  $\|x(\cdot) - x_*(\cdot)\|_{\infty} < \varepsilon$  gilt.

Weiterhin bezeichnet  $\mathcal{A} \circ H^{\mathcal{M}}$  die Pontrjagin-Funktion

$$\mathcal{A} \circ H^{\mathcal{M}}(t, x, u, p, \lambda_0) = \chi_{\mathcal{A}}(t) \circ H^{\mathcal{M}}(t, x, u, p, \lambda_0) = \sum_{s=1}^k \chi_{\mathcal{A}_s}(t) \cdot H_s(t, x, u_s, p, \lambda_0).$$

**Theorem 3.9** (Pontrjaginsches Maximumprinzip). Sei  $(x_*(\cdot), u_*(\cdot), \mathcal{A}_*) \in \mathcal{D}_{\text{adm}}^{\mathcal{M}} \cap \mathcal{D}_{\text{Lip}}^{\mathcal{M}}$ . Ist  $(x_*(\cdot), u_*(\cdot), \mathcal{A}_*)$  ein starkes lokales Minimum der Aufgabe (3.49)–(3.51), dann existiert eine Vektorfunktion  $p(\cdot) \in PC_1([t_0, t_1], \mathbb{R}^n)$  derart, dass

(a) die adjungierte Gleichung

$$\dot{p}(t) = -\chi_{\mathcal{A}_*}(t) \circ H_x^{\mathcal{M}}(t, x_*(t), u_*(t), p(t), 1), \quad (3.52)$$

(b) die Transversalitätsbedingung

$$p(t_1) = 0 \quad (3.53)$$

(c) und in fast allen Punkten  $t \in [t_0, t_1]$  die Maximumbedingung

$$\chi_{\mathcal{A}_*}(t) \circ H^{\mathcal{M}}(t, x_*(t), u_*(t), p(t), 1) = \max_{\substack{u_s \in U_s \\ 1 \leq s \leq k}} H_s^{\mathcal{M}}(t, x_*(t), u_s, p(t), 1) \quad (3.54)$$

erfüllt sind.

**Beweis** Genauso wie im Abschnitt 2.2.2 ergibt sich wieder, dass die Lösung  $p(\cdot)$  der adjungierten Gleichung (3.52) zur Transversalitätsbedingung (3.53) im Fall  $\lambda_0 = 0$  im Widerspruch zur Nichttrivialität der Multiplikatoren über  $[t_0, t_1]$  identisch verschwinden würde. Also gilt  $\lambda_0 > 0$  und Theorem 3.9 gilt in der normalen Form mit  $\lambda_0 = 1$ .

Wir passen den Beweis für die elementare Standardaufgabe in Abschnitt 2.2.2 an die zusätzliche Steuerung  $\mathcal{A} \in \mathcal{L}_0^k([t_0, t_1])$  an: Es sei  $\tau \in (t_0, t_1)$  ein Stetigkeitspunkt der Steuerungen  $u_*(\cdot)$  und  $\chi_{\mathcal{A}_*}(\cdot)$ . Weiterhin seien  $v = (v_1, \dots, v_k) \in U = U_1 \times \dots \times U_k$  und  $s \in \{1, \dots, k\}$ . Damit legen wir die einfachen Nadelvariationen  $u_\lambda(\cdot)$ ,  $\chi_{\mathcal{A}_\lambda}(\cdot)$  durch

$$u_\lambda(t) = \begin{cases} u_*(t) & \text{für } t \notin [\tau - \lambda, \tau) \\ v & \text{für } t \in [\tau - \lambda, \tau) \end{cases} \quad \text{und} \quad \begin{cases} \chi_{\mathcal{A}_\lambda}(t) = \chi_{\mathcal{A}_*}(t) & \text{für } t \notin [\tau - \lambda, \tau) \\ \chi_{\mathcal{A}_{s,\lambda}}(t) = 1 & \text{für } t \in [\tau - \lambda, \tau) \end{cases}$$

fest. Dabei wählt  $\chi_{\mathcal{A}_\lambda}(\cdot)$  über  $[\tau - \lambda, \tau)$  von den gegebenen Steuerungssystemen dasjenige zum Index  $s \in \{1, \dots, k\}$  aus. Weiter sei  $x_\lambda(\cdot)$  die eindeutige Lösung der Gleichung

$$\dot{x}_\lambda(t) = \chi_{\mathcal{A}_\lambda}(t) \circ \varphi(t, x(t), u_\lambda(t)), \quad x(t_0) = x_0.$$

Dann ist  $x_\lambda(t) = x_*(t)$  für  $t_0 \leq t \leq \tau - \lambda$ .

Für  $t \geq \tau$  untersuchen wir den Grenzwert  $y(t) = \lim_{\lambda \rightarrow 0^+} \frac{x_\lambda(t) - x_*(t)}{\lambda}$ : Nach Voraussetzung sind  $u_*(\cdot)$  und  $\chi_{\mathcal{A}_*}(\cdot)$  für hinreichend kleine  $\lambda > 0$  auf  $[\tau - \lambda, \tau]$  stetig. Daher gelten

$$\begin{aligned} x_*(\tau) &= x_*(\tau - \lambda) + \lambda \cdot \chi_{\mathcal{A}_*}(\tau - \lambda) \circ \varphi(\tau - \lambda, x_*(\tau - \lambda), u_*(\tau - \lambda)) + o(\lambda), \\ x_\lambda(\tau) &= x_*(\tau - \lambda) + \lambda \cdot \chi_{\mathcal{A}_\lambda}(\tau - \lambda) \circ \varphi(\tau - \lambda, x_*(\tau - \lambda), u_\lambda(\tau - \lambda)) + o(\lambda). \end{aligned}$$

Deswegen existiert der Grenzwert  $y(\tau) = \lim_{\lambda \rightarrow 0^+} \frac{x_\lambda(\tau) - x_*(\tau)}{\lambda}$  und ist gleich

$$y(\tau) = \chi_{\mathcal{A}_\lambda}(\tau) \circ \varphi(\tau, x_*(\tau), u_\lambda(\tau)) - \chi_{\mathcal{A}_*}(\tau) \circ \varphi(\tau, x_*(\tau), u_*(\tau)). \quad (3.55)$$

Über  $[\tau, t_1]$  ergibt sich aus den Sätzen C.11 und C.12 über die Stetigkeit und Differenzierbarkeit der Lösung eines Differentialgleichungssystems in Abhängigkeit von den Anfangsdaten, dass  $y(t)$  existiert und der Integralgleichung

$$y(t) = y(\tau) + \int_\tau^t [\chi_{\mathcal{A}_*}(s) \circ \varphi_x(s, x_*(s), u_*(s))] y(s) ds \quad (3.56)$$

genügt. Mit (3.52), (3.53) und (3.56) erhalten wir für  $t \geq \tau$  die Beziehung

$$\langle p(\tau), y(\tau) \rangle = - \int_\tau^{t_1} \langle \chi_{\mathcal{A}_*}(t) \circ f_x(t, x_*(t), u_*(t)), y(t) \rangle dt. \quad (3.57)$$

Da  $(x_*(\cdot), u_*(\cdot))$  ein starkes lokales Minimum ist, gilt für hinreichend kleine  $\lambda > 0$

$$\frac{J(x_\lambda(\cdot), u_\lambda(\cdot), \mathcal{A}_\lambda) - J(x_*(\cdot), u_*(\cdot), \mathcal{A}_*)}{\lambda} \geq 0.$$

Im Grenzwert  $\lambda \rightarrow 0^+$  ergibt sich in dieser Ungleichung

$$\begin{aligned} 0 &\leq \lim_{\lambda \rightarrow 0^+} \frac{J(x_\lambda(\cdot), u_\lambda(\cdot), \mathcal{A}_\lambda) - J(x_*(\cdot), u_*(\cdot), \mathcal{A}_*)}{\lambda} \\ &= \chi_{\mathcal{A}_\lambda}(\tau) \circ f(\tau, x_*(\tau), u_\lambda(\tau)) - \chi_{\mathcal{A}_*}(\tau) \circ f(\tau, x_*(\tau), u_*(\tau)) \\ &\quad + \int_\tau^{t_1} \langle \chi_{\mathcal{A}_*}(t) \circ f_x(t, x_*(t), u_*(t)), y(t) \rangle dt. \end{aligned}$$

Bei Anwendung von Gleichung (3.57) ergibt sich die Ungleichung

$$\begin{aligned} &\langle p(\tau), \chi_{\mathcal{A}_*}(\tau) \circ \varphi(\tau, x_*(\tau), u_*(\tau)) \rangle - \chi_{\mathcal{A}_*}(\tau) \circ f(\tau, x_*(\tau), u_*(\tau)) \\ &\geq \langle p(\tau), \chi_{\mathcal{A}_\lambda}(\tau) \circ \varphi(\tau, x_*(\tau), u_\lambda(\tau)) \rangle - \chi_{\mathcal{A}_\lambda}(\tau) \circ f(\tau, x_*(\tau), u_\lambda(\tau)). \end{aligned}$$

Darin ist  $u_\lambda(\tau) = v$  und  $\mathcal{A}_\lambda$  wählt das Steuerungssystem zum Index  $s \in \{1, \dots, k\}$  aus. Mit der Pontrjagin-Funktion erhält die Ungleichung die Form

$$\chi_{\mathcal{A}_*}(\tau) \circ H^{\mathcal{M}}(\tau, x_*(\tau), u_*(\tau), p(\tau), 1) \geq H_s(\tau, x_*(\tau), v_s, p(\tau), 1).$$

Nun ist  $\tau$  ein beliebiger Stetigkeitspunkt von  $u_*(\cdot)$ ,  $v$  ein beliebiger Punkt der Menge  $U$  und  $s$  ein beliebiger Index aus der Menge  $\{1, \dots, k\}$ . Daher ist die Beziehung (3.54) in allen Stetigkeitspunkten von  $u_*(\cdot)$ ,  $\chi_{\mathcal{A}_*}(\cdot)$  wahr und das Maximumprinzip bewiesen. ■

### 3.3.3. Das Pontrjaginsche Maximumprinzip

**Theorem 3.10** (Pontrjaginsches Maximumprinzip). Sei  $(x_*(\cdot), u_*(\cdot), \mathcal{A}_*) \in \mathcal{B}_{\text{adm}}^{\mathcal{M}} \cap \mathcal{B}_{\text{Lip}}^{\mathcal{M}}$ . Ist  $(x_*(\cdot), u_*(\cdot), \mathcal{A}_*)$  ein starkes lokales Minimum der Aufgabe (3.44)–(3.48), dann existieren eine Zahl  $\lambda_0 \geq 0$ , Vektoren  $l_0 \in \mathbb{R}^{s_0}$ ,  $l_1 \in \mathbb{R}^{s_1}$ , eine Vektorfunktion  $p(\cdot) : [t_0, t_1] \rightarrow \mathbb{R}^n$  und auf den Mengen

$$T_j = \{t \in [t_0, t_1] \mid g_j(t, x_*(t)) = 0\}, \quad j = 1, \dots, l,$$

konzentrierte nichtnegative reguläre Borelsche Maße  $\mu_j$  endlicher Totalvariation (wobei sämtliche Größen nicht gleichzeitig verschwinden) derart, dass die Vektorfunktion  $p(\cdot)$  von beschränkter Variation und rechtsseitig stetig ist, und

(a) die adjungierte Gleichung

$$\begin{aligned} p(t) &= -h_1'^T(x_*(t_1)) l_1 + \int_t^{t_1} \chi_{\mathcal{A}_*}(s) \circ H_x^{\mathcal{M}}(s, x_*(s), u_*(s), p(s), \lambda_0) ds \\ &\quad - \sum_{j=1}^l \int_t^{t_1} g_{j,x}(s, x_*(s)) d\mu_j(s), \end{aligned} \quad (3.58)$$

(b) die Transversalitätsbedingungen

$$\left. \begin{aligned} p(t_0) &= h_0'^T(x_*(t_0)) l_0, \\ p(t_1^-) - p(t_1) &= - \sum_{j=1}^l \mu_j(\{t_1\}) g_{j,x}(t_1, x_*(t_1)) \end{aligned} \right\} \quad (3.59)$$

(c) und in fast allen Punkten  $t \in [t_0, t_1]$  die Maximumbedingung

$$\chi_{\mathcal{A}_*}(t) \circ H^{\mathcal{M}}(t, x_*(t), u_*(t), p(t), \lambda_0) = \max_{\substack{u_s \in U_s \\ 1 \leq s \leq k}} H_s(t, x_*(t), u_s, p(t), \lambda_0) \quad (3.60)$$

erfüllt sind.

**Bemerkung 3.11.** Mit den Hamilton-Funktionen

$$\begin{aligned} \mathcal{H}^{\mathcal{M}}(t, x, p, \lambda_0) &= \chi_{\mathcal{A}_*}(t) \circ H^{\mathcal{M}}(t, x, u_*(t), p, \lambda_0), \\ \mathcal{H}_s^{\mathcal{M}}(t, x, p, \lambda_0) &= H_s(t, x, u_{*s}(t), p, \lambda_0) \end{aligned}$$

liefert die Maximumbedingung (3.60) bezüglich der optimalen Wechselstrategie die Beziehung

$$\mathcal{H}^{\mathcal{M}}(t, x_*(t), p(t), \lambda_0) = \max_{1 \leq s \leq k} \mathcal{H}_s^{\mathcal{M}}(t, x_*(t), p(t), \lambda_0),$$

die man auch als Prinzip der konkurrierenden Hamilton-Funktionen bezeichnet (Bock & Longman [10]).  $\square$

### 3.3.4. Der Nachweis der notwendigen Optimalitätsbedingungen

Wir betrachten für die Tripel

$$(x(\cdot), u(\cdot), \mathcal{A}) \in C([t_0, t_1], \mathbb{R}^n) \times L_\infty([t_0, t_1], \mathbb{R}^m) \times \mathcal{L}^k([t_0, t_1])$$

die Abbildungen

$$\begin{aligned} J(x(\cdot), u(\cdot), \mathcal{A}) &= \int_{t_0}^{t_1} \chi_{\mathcal{A}}(t) \circ f(t, x(t), u(t)) dt, \\ F(x(\cdot), u(\cdot), \mathcal{A})(t) &= x(t) - x(t_0) - \int_{t_0}^t \chi_{\mathcal{A}}(s) \circ \varphi(s, x(s), u(s)) ds, \quad t \in [t_0, t_1], \\ H_i(x(\cdot)) &= h_i(x(t_i)), \quad i = 0, 1, \\ G_j(x(\cdot))(t) &= \max_{t \in [t_0, t_1]} g_j(t, x(t)), \quad j = 1, \dots, l. \end{aligned}$$

Da  $x(\cdot)$  zu  $C([t_0, t_1], \mathbb{R}^n)$  gehört, gilt für diese Abbildungen

$$\begin{aligned} J &: C([t_0, t_1], \mathbb{R}^n) \times L_\infty([t_0, t_1], \mathbb{R}^m) \times \mathcal{L}^k([t_0, t_1]) \rightarrow \mathbb{R}, \\ F &: C([t_0, t_1], \mathbb{R}^n) \times L_\infty([t_0, t_1], \mathbb{R}^m) \times \mathcal{L}^k([t_0, t_1]) \rightarrow C_0([t_0, t_1], \mathbb{R}^n), \\ H_i &: C([t_0, t_1], \mathbb{R}^n) \rightarrow \mathbb{R}^{s_i}, \quad i = 0, 1, \\ G_j &: C([t_0, t_1], \mathbb{R}^n) \rightarrow \mathbb{R}, \quad j = 1, \dots, l. \end{aligned}$$

Wir setzen  $\mathcal{F} = (F, H_0, H_1)$  und prüfen für die Extremalaufgabe

$$J(x(\cdot), u(\cdot), \mathcal{A}) \rightarrow \inf, \quad \mathcal{F}(x(\cdot), u(\cdot), \mathcal{A}) = 0, \quad G_j(x(\cdot)) \leq 0, \quad u(\cdot) \in L_\infty([t_0, t_1], U) \quad (3.61)$$

im Punkt  $(x_*(\cdot), u_*(\cdot), \mathcal{A}_*) \in \mathcal{B}_{\text{Lip}}^{\mathcal{M}}$ , wobei wir  $x_*(\cdot)$  als Element des Raumes  $C([t_0, t_1], \mathbb{R}^n)$  auffassen, die Voraussetzungen von Theorem F.5:

- (A) Zum Nachweis der Voraussetzungen (A<sub>1</sub>)–(A<sub>2</sub>) merken wir an, dass jedes einzelne Steuerungssystem die Eigenschaften der Aufgabe (2.15)–(2.19) im letzten Kapitel besitzt. Beachten wir nun ferner die Ungleichung

$$\|\chi_{\mathcal{A}}(t) \circ h(t, x, u)\| \leq \sum_{s=1}^k \|h^s(t, x, u^s)\|,$$

so lassen sich die Voraussetzungen (A<sub>1</sub>)–(A<sub>2</sub>) wie im Kapitel 2 prüfen.

- (B) Die endliche Kodimension des Operators  $\mathcal{F}_x(x_*(\cdot), u_*(\cdot), \mathcal{A}_*)$  folgt wie in Abschnitt 1.3.3.
- (C) Diese Eigenschaften sind im Anhang E, speziell in Lemma E.6 und Lemma E.7 im Abschnitt E.4, dargestellt.

Zur Extremalaufgabe (3.61) definieren wir auf

$$C([t_0, t_1], \mathbb{R}^n) \times L_\infty([t_0, t_1], \mathbb{R}^m) \times \mathcal{L}^k([t_0, t_1]) \times \mathbb{R} \times C_0^*([t_0, t_1], \mathbb{R}^n) \times \mathbb{R}^{s_0} \times \mathbb{R}^{s_1} \times \mathbb{R}^l$$

die Lagrange-Funktion  $\mathcal{L} = \mathcal{L}(x(\cdot), u(\cdot), \mathcal{A}, \lambda_0, y^*, l_0, l_1, \lambda)$ ,

$$\begin{aligned} \mathcal{L} &= \lambda_0 J(x(\cdot), u(\cdot), \mathcal{A}) + \langle y^*, F(x(\cdot), u(\cdot), \mathcal{A}) \rangle \\ &\quad + l_0^T H_0(x(\cdot)) + l_1^T H_1(x(\cdot)) + \sum_{j=1}^l \lambda_j G_j(x(\cdot)). \end{aligned}$$

Ist  $(x_*(\cdot), u_*(\cdot), \mathcal{A}_*)$  eine starke lokale Minimalstelle der Extremalaufgabe (3.61), dann existieren nach Theorem F.5 nicht gleichzeitig verschwindende Lagrangesche Multiplikatoren  $\lambda_0 \geq 0$ ,  $y^* \in C_0^*([t_0, t_1], \mathbb{R}^n)$ ,  $l_i \in \mathbb{R}^{s_i}$  und  $\lambda_1 \geq 0, \dots, \lambda_l \geq 0$  derart, dass gelten:

(a) Die Lagrange-Funktion besitzt bezüglich  $x(\cdot)$  in  $x_*(\cdot)$  einen stationären Punkt, d. h.

$$0 \in \partial_x \mathcal{L}(x_*(\cdot), u_*(\cdot), \mathcal{A}_*, \lambda_0, y^*, l_0, l_1, \lambda); \quad (3.62)$$

(b) Die Lagrange-Funktion erfüllt bezüglich  $(u(\cdot), \mathcal{A})$  in  $(u_*(\cdot), \mathcal{A}_*)$  die Bedingung

$$\mathcal{L}(x_*(\cdot), u_*(\cdot), \mathcal{A}_*, \lambda_0, \dots, \lambda) = \min_{\substack{u(\cdot) \in L_\infty([t_0, t_1], U) \\ \mathcal{A} \in \mathcal{L}^k([t_0, t_1])}} \mathcal{L}(x_*(\cdot), u(\cdot), \mathcal{A}, \lambda_0, \dots, \lambda); \quad (3.63)$$

(c) Die komplementären Schlupfbedingungen gelten, d. h.

$$0 = \lambda_j G_j(x(\cdot)), \quad i = 1, \dots, l. \quad (3.64)$$

Ebenso wie in Kapitel 2 liefert (3.64), dass nur diejenigen Multiplikatoren  $\lambda_j \geq 0$  von Null verschieden sein können, für die die zugehörigen Maße  $\tilde{\mu}_j$  die Totalvariation  $\|\tilde{\mu}_j\| = 1$  besitzen und die auf den Mengen

$$T_j = \{t \in [t_0, t_1] \mid g_j(t, x_*(t)) = 0\}$$

konzentriert sind. Deswegen können wir ohne Einschränkung annehmen, dass alle Maße  $\mu_j = \lambda_j \tilde{\mu}_j$  auf den Mengen  $T_j$  konzentriert sind.

Aufgrund (3.62) ist folgende Variationsgleichung für alle  $x(\cdot) \in C([t_0, t_1], \mathbb{R}^n)$  erfüllt:

$$\begin{aligned} 0 &= \lambda_0 \int_{t_0}^{t_1} \langle \chi_{\mathcal{A}_*}(t) \circ f_x(t, x_*(t), u_*(t)), x(t) \rangle dt \\ &\quad + \langle l_0, h'_0(x_*(t_0))x(t_0) \rangle + \langle l_1, h'_1(x_*(t_1))x(t_1) \rangle + \sum_{j=1}^l \int_{t_0}^{t_1} \langle g_{j,x}(t, x_*(t)), x(t) \rangle d\mu_j(t) \\ &\quad + \int_{t_0}^{t_1} \left[ x(t) - x(0) - \int_{t_0}^t \chi_{\mathcal{A}_*}(s) \circ \varphi_x(s, x_*(s), u_*(s))x(s) ds \right]^T d\mu(t). \end{aligned} \quad (3.65)$$

In der Gleichung (3.65) ändern wir die Integrationsreihenfolge im letzten Summanden und bringen sie in die Form

$$\begin{aligned}
 0 &= \int_{t_0}^{t_1} \langle \lambda_0 [\chi_{\mathcal{A}_*}(t) \circ f_x(t, x_*(t), u_*(t))] \\
 &\quad - [\chi_{\mathcal{A}_*}(t) \circ \varphi_x^T(t, x_*(t), u_*(t))] \int_t^{t_1} d\mu(s), x(t) \rangle dt \\
 &\quad + \int_{t_0}^{t_1} [x(t)]^T d\mu(t) + \langle h_0'^T(x_*(t_0))l_0 - \int_{t_0}^{t_1} d\mu(t), x(t_0) \rangle + \langle h_1'^T(x_*(t_1))l_1, x(t_1) \rangle \\
 &\quad + \sum_{j=1}^l \int_{t_0}^{t_1} \langle g_{j,x}(t, x_*(t)), x(t) \rangle d\mu_j(t). \tag{3.66}
 \end{aligned}$$

Wir setzen  $p(t) = \int_t^{t_1} d\mu(s)$ , so ist  $p(\cdot)$  eine Funktion von beschränkter Variation und gemäß den Eigenschaften einer Verteilungsfunktion rechtsseitig stetig.

Die rechte Seite in (3.66) definiert ein stetiges lineares Funktional im Raum  $C([t_0, t_1], \mathbb{R}^n)$ . Wenden wir den Darstellungssatz von Riesz an, so folgen aus der eindeutigen Darstellung eines stetigen linearen Funktional im Raum  $C([t_0, t_1], \mathbb{R}^n)$  die adjungierte Gleichung

$$\begin{aligned}
 p(t) &= -h_1'^T(x_*(t_1))l_1 + \int_t^{t_1} \left[ [\chi_{\mathcal{A}_*}(s) \circ \varphi_x^T(s, x_*(s), u_*(s))] p(s) \right. \\
 &\quad \left. - \lambda_0 [\chi_{\mathcal{A}_*}(s) \circ f_x(s, x_*(s), u_*(s))] \right] ds \\
 &= -h_1'^T(x_*(t_1))l_1 + \int_t^{t_1} \chi_{\mathcal{A}_*}(s) \circ H_x^{\mathcal{M}}(s, x_*(s), u_*(s), p(s), \lambda_0) ds \\
 &\quad - \sum_{j=1}^l \int_t^{t_1} g_{j,x}(s, x_*(s)) d\mu_j(s)
 \end{aligned}$$

und die Transversalitätsbedingung

$$p(t_0) = h_0'^T(x_*(t_0))l_0.$$

Damit sind (3.58) und (3.59) gezeigt.

Genauso wie im letzten Kapitel erhalten wir aus (3.63) die Beziehung

$$\int_{t_0}^{t_1} \chi_{\mathcal{A}_*}(t) \circ H^{\mathcal{M}}(t, x_*(t), u_*(t), p(t), \lambda_0) dt \geq \int_{t_0}^{t_1} \chi_{\mathcal{A}}(t) \circ H^{\mathcal{M}}(t, x_*(t), u(t), p(t), \lambda_0) dt$$

für alle  $u(\cdot) \in L_\infty([t_0, t_1], U)$  und alle  $\mathcal{A} \in \mathcal{L}^k([t_0, t_1])$ .

Wir bemerken, dass die Funktion  $p(\cdot)$  von beschränkter Variation ist. Daher kann man  $p(\cdot)$  als Differenz zweier monotoner Funktionen schreiben und  $p(\cdot)$  besitzt höchstens abzählbar viele Unstetigkeiten. Mit Hilfe dieser Anmerkung folgt abschließend die Maximumbedingung (3.60) via Standardtechniken für Lebesguesche Punkte.  $\blacksquare$

### 3.3.5. Freier Anfangs- und Endzeitpunkt

Wir wenden uns der Aufgabe mit freiem Anfangs- und Endzeitpunkt zu:

$$J(x(\cdot), u(\cdot), \mathcal{A}) = \int_{t_0}^{t_1} \chi_{\mathcal{A}}(t) \circ f(t, x(t), u(t)) dt \rightarrow \inf, \quad (3.67)$$

$$\dot{x}(t) = \chi_{\mathcal{A}}(t) \circ \varphi(t, x(t), u(t)), \quad (3.68)$$

$$h_0(t_0, x(t_0)) = 0, \quad h_1(t_1, x(t_1)) = 0, \quad (3.69)$$

$$u(t) \in U = U^1 \times \dots \times U^k, \quad U^s \neq \emptyset, \quad \mathcal{A} \in \mathcal{Z}^k([t_0, t_1]), \quad (3.70)$$

$$g_j(t, x(t)) \leq 0, \quad t \in [t_0, t_1], \quad j = 1, \dots, l. \quad (3.71)$$

Die Aufgabe (3.67)–(3.71) betrachten wir bezüglich

$$(x(\cdot), u(\cdot), \mathcal{A}) \in W_{\infty}^1([t_0, t_1], \mathbb{R}^n) \times L_{\infty}([t_0, t_1], U) \times \mathcal{Z}^k([t_0, t_1]), \quad [t_0, t_1] \subset \mathbb{R}.$$

Zur Menge  $\mathcal{B}_{\text{Lip}}^{\mathcal{F}}$  gehören diejenigen  $(x(\cdot), u(\cdot), \mathcal{A})$ , für die es eine Zahl  $\gamma > 0$  derart gibt, dass die Abbildungen  $f_s(t, x, u_s)$ ,  $\varphi_s(t, x, u_s)$ ,  $g_j(t, x)$  und  $h_i(\tau_i, x_i)$  auf der Menge aller Punkte  $(t, \tau_0, \tau_1, x, x_0, x_1, u) \in \mathbb{R} \times \mathbb{R} \times \mathbb{R} \times \mathbb{R}^n \times \mathbb{R}^n \times \mathbb{R}^n \times \mathbb{R}^m$  mit

$$\begin{aligned} t_0 - \gamma < t < t_1 + \gamma, \quad t_0 - \gamma < \tau_0 < t_0 + \gamma, \quad t_1 - \gamma < \tau_1 < t_1 + \gamma, \\ \|x - x(t)\| < \gamma, \quad \|x_0 - x(t_0)\| < \gamma, \quad \|x_1 - x(t_1)\| < \gamma, \quad u \in \mathbb{R}^m \end{aligned}$$

stetig in der Gesamtheit aller Variablen und stetig differenzierbar bezüglich der Variablen  $t, t_0, t_1, x, x_0, x_1$  sind. (In  $h_0, h_1$  treten wieder die Zeitvariablen  $\tau_0, \tau_1$  auf.)

In der Aufgabe mit freiem Anfangs- und Endzeitpunkt nennen wir  $([t_0, t_1], x(\cdot), u(\cdot), \mathcal{A})$  mit  $[t_0, t_1] \subset \mathbb{R}$ ,  $x(\cdot) \in W_{\infty}^1([t_0, t_1], \mathbb{R}^n)$ ,  $u(\cdot) \in L_{\infty}([t_0, t_1], U)$  und  $\mathcal{A} \in \mathcal{Z}^k([t_0, t_1])$  einen Multiprozess. Ein Multiprozess heißt zulässig in der Aufgabe (3.67)–(3.71), wenn auf dem Intervall  $[t_0, t_1]$  die Funktion  $x(\cdot)$  fast überall der Gleichung (3.68) genügt, die Randbedingungen (3.69) und die Zustandsbeschränkungen (3.71) erfüllt. Die Menge  $\mathcal{B}_{\text{adm}}^{\mathcal{F}}$  bezeichnet die Menge der zulässigen Multiprozesse.

Ein zulässiger Multiprozess  $([t_{0*}, t_{1*}], x_*(\cdot), u_*(\cdot), \mathcal{A}_*)$  ist ein starkes lokales Minimum, wenn eine Zahl  $\varepsilon > 0$  derart existiert, dass für jeden anderen zulässigen Multiprozess  $([t_0, t_1], x(\cdot), u(\cdot), \mathcal{A})$  mit den Eigenschaften

$$|t_0 - t_{0*}| < \varepsilon, \quad |t_1 - t_{1*}| < \varepsilon, \quad \|x(t) - x_*(t)\| < \varepsilon \quad \text{für jedes } t \in [t_{0*}, t_{1*}] \cap [t_0, t_1]$$

die Ungleichung  $J(x(\cdot), u(\cdot), \mathcal{A}) \geq J(x_*(\cdot), u_*(\cdot), \mathcal{A}_*)$  gilt.

In der Aufgabe (3.67)–(3.71) bezeichnet

$$\mathcal{H}^{\mathcal{M}}(t, x, p, \lambda_0) = \max_{\substack{u_s \in U_s \\ 1 \leq s \leq k}} H_s(t, x, u_s, p, \lambda_0)$$

die Hamilton-Funktion.

Zum Beweis notwendiger Optimalitätsbedingungen lässt sich wieder die Methode der Substitution der Zeit aus Abschnitt 1.3.5 anwenden und wir erhalten das Pontrjaginschen Maximumprinzip für die Aufgabe mit freier Zeit in der Form:

**Theorem 3.12** (Pontrjaginsches Maximumprinzip). *In der Aufgabe (3.67)–(3.71) sei der Multiprozess  $([t_{0*}, t_{1*}], x_*(\cdot), u_*(\cdot), \mathcal{A}_*) \in \mathcal{B}_{\text{adm}}^{\mathcal{F}} \cap \mathcal{B}_{\text{Lip}}^{\mathcal{F}}$ . Ist  $([t_{0*}, t_{1*}], x_*(\cdot), u_*(\cdot), \mathcal{A}_*)$  ein starkes lokales Minimum der Aufgabe (3.67)–(3.71), dann existieren  $\lambda_0 \geq 0$ , Vektoren  $l_0 \in \mathbb{R}^{s_0}$ ,  $l_1 \in \mathbb{R}^{s_1}$ , eine Vektorfunktion  $p(\cdot) : [t_{0*}, t_{1*}] \rightarrow \mathbb{R}^n$  und auf den Mengen*

$$T_j = \{t \in [t_{0*}, t_{1*}] \mid g_j(t, x_*(t)) = 0\}, \quad j = 1, \dots, l,$$

*konzentrierte nichtnegative reguläre Borelsche Maße  $\mu_j$  endlicher Totalvariation (wobei sämtliche Größen nicht gleichzeitig verschwinden) derart, dass die Vektorfunktion  $p(\cdot)$  von beschränkter Variation und rechtsseitig stetig ist, und*

(a) *die adjungierte Gleichung*

$$\begin{aligned} p(t) &= -h_{1,x_1}^T(t_{1*}, x_*(t_{1*}))l_1 + \int_t^{t_{1*}} \chi_{\mathcal{A}_*}(s) \circ H_x^{\mathcal{M}}(s, x_*(s), u_*(s), p(s), \lambda_0) ds \\ &\quad - \sum_{j=1}^l \int_t^{t_{1*}} g_{j,x}(s, x_*(s)) d\mu_j(s), \end{aligned} \quad (3.72)$$

(b) *die Transversalitätsbedingungen*

$$\left. \begin{aligned} p(t_{0*}) &= h_{0,x_0}^T(t_{0*}, x_*(t_{0*}))l_0, \\ p(t_{1*}^-) - p(t_{1*}) &= - \sum_{j=1}^l \mu_j(\{t_{1*}\}) g_{j,x}(t_{1*}, x_*(t_{1*})) \end{aligned} \right\} \quad (3.73)$$

(c) *und in fast allen Punkten  $t \in [t_{0*}, t_{1*}]$  die Maximumbedingung*

$$\chi_{\mathcal{A}_*}(t) \circ H^{\mathcal{M}}(t, x_*(t), u_*(t), p(t), \lambda_0) = \max_{\substack{u_s \in U_s \\ 1 \leq s \leq k}} H_s(t, x_*(t), u_s, p(t), \lambda_0) \quad (3.74)$$

*erfüllt sind und weiterhin*

(d) *die Beziehungen*

$$\begin{aligned} \mathcal{H}^{\mathcal{M}}(t, x_*(t), p(t), \lambda_0) &= \langle h_{1,t_1}(t_{1*}, x_*(t_{1*})), l_1 \rangle \\ &\quad - \int_t^{t_{1*}} \chi_{\mathcal{A}_*}(s) \circ H_t^{\mathcal{M}}(s, x_*(s), u_*(s), p(s), \lambda_0) ds \\ &\quad + \sum_{j=1}^l \int_t^{t_{1*}} g_{j,t}(s, x_*(s)) d\mu_j(s), \end{aligned} \quad (3.75)$$

$$\mathcal{H}^{\mathcal{M}}(t_{0*}, x_*(t_{0*}), p(t_{0*}), \lambda_0) = -\langle h_{0,t_0}(t_{0*}, x_*(t_{0*})), l_0 \rangle \quad (3.76)$$

*gelten.*

### 3.3.6. Ein Investitionsmodell

Wir untersuchen ein Investitionsmodell, dass sich aus dem linearen und dem konkaven Beispielen 1.26, 1.27 zusammensetzt:

$$\begin{aligned} J(x(\cdot), u(\cdot), \mathcal{A}) &= \int_0^T \chi_{\mathcal{A}}(t) \circ f(t, x(t), u(t)) dt \rightarrow \sup, \\ \dot{x}(t) &= \chi_{\mathcal{A}}(t) \circ \varphi(t, x(t), u(t)), \quad x(0) = x_0 > 0, \\ u(t) &\in [0, 1] \times [0, 1], \quad \mathcal{A} = \{\mathcal{A}_1, \mathcal{A}_2\} \in \mathcal{L}^2([0, T]), \end{aligned}$$

mit den einzelnen Steuerungssystemen

$$\begin{aligned} f_1(t, x, u_1) &= (1 - u_1)x, & \varphi_1(t, x, u_1) &= u_1x, \\ f_2(t, x, u_2) &= (1 - u_2)x^\alpha, & \varphi_2(t, x, u_2) &= u_2x^\alpha, \end{aligned} \quad U^1 = U^2 = [0, 1]$$

und mit den Modellparametern

$$\alpha \in (0, 1) \text{ konstant}, \quad T \text{ fest mit } T > \max \left\{ 1, \frac{x_0^{1-\alpha}}{\alpha} \right\}.$$

Da  $U_1 = U_2$  ist, unterscheiden wir nicht zwischen den Steuervariablen  $u_1, u_2$  und schreiben  $u$ . Wir wenden Theorem 3.10 mit  $\lambda_0 = 1$  an. Es gilt nach (3.60):

$$\begin{aligned} \chi_{\mathcal{A}_*}(t) \circ H^{\mathcal{M}}(t, x_*(t), u_*(t), p(t), 1) &= \max_{s \in \{1, 2\}} H_s(t, x_*(t), u_*(t), p(t), 1) \\ &= \max_{s \in \{1, 2\}} \left\{ \max_{u \in [0, 1]} [(p(t) - 1)u + 1] \cdot x_*(t), \max_{u \in [0, 1]} [(p(t) - 1)u + 1] \cdot x_*^\alpha(t) \right\}. \end{aligned}$$

Dies können wir weiterhin in die Form

$$\max_{u \in [0, 1]} [(p(t) - 1)u] \cdot \max_{s \in \{1, 2\}} \{x_*(t), x_*^\alpha(t)\}$$

bringen. Daraus erhalten wir für die optimale Investitionsrate und Wechselstrategie

$$u_*(t) = \begin{cases} 1, & p(t) < 1, \\ 0, & p(t) > 1, \end{cases} \quad \chi_{\mathcal{A}_*}(t) = \begin{cases} (1, 0), & x_*(t) > 1, \\ (0, 1), & 0 < x_*(t) < 1. \end{cases}$$

Die Funktion  $p(\cdot)$  ist die Lösung der adjungierten Gleichung (3.58):

$$\dot{p}(t) = \begin{cases} -[(p(t) - 1)u_*(t) + 1], & t \in \mathcal{A}_1, \\ -[(p(t) - 1)u_*(t) + 1] \cdot \alpha x_*^{\alpha-1}(t), & t \in \mathcal{A}_2, \end{cases} \quad p(T) = 0.$$

Betrachten wir die einzelnen Steuerungssysteme, so sind nach den Beispielen 1.26, 1.27 durch  $t_1 = T - 1$  bzw.  $t_2 = \alpha T - x_0^{1-\alpha}$  die Zeitpunkte für den optimalen Wechsel von vollständiger Investition in komplette Konsumtion gegeben. Außerdem ist für die Lösung

$x(\cdot)$  der Differentialgleichung  $\dot{x}(t) = x^\alpha(t)$  mit  $x_0 \in (0, 1)$  der Zeitpunkt  $\sigma$ , in dem  $x(\sigma) = 1$  gilt, durch  $\sigma = \frac{1-x_0^{1-\alpha}}{1-\alpha}$  bestimmt. Im Weiteren seien also

$$t_1 = T - 1, \quad t_2 = \alpha T - x_0^{1-\alpha}, \quad \sigma = \frac{1 - x_0^{1-\alpha}}{1 - \alpha}.$$

Wir diskutieren die einzelnen möglichen Szenarien:

(a) Sei  $x_0 \geq 1$ : In diesem Fall lautet der Kandidat

$$x_*(t) = \begin{cases} x_0 \cdot e^t, & t \in [0, t_1), \\ x_0 \cdot e^{t_1}, & t \in [t_1, T], \end{cases} \quad u_*(t) = \begin{cases} 1, & t \in [0, t_1), \\ 0, & t \in [t_1, T], \end{cases}$$

$$\chi_{\mathcal{A}_*}(t) = (1, 0), \quad J(x_*(\cdot), u_*(\cdot), \mathcal{A}_*) = x_0 \cdot e^{t_1}.$$

(b) Seien  $x_0 < 1$  und  $T < \frac{1-\alpha x_0^{1-\alpha}}{\alpha(1-\alpha)}$ : Dann lautet der Kandidat

$$y_*(t) = \begin{cases} [(1-\alpha)t + x_0^{1-\alpha}]^{\frac{1}{1-\alpha}}, & t \in [0, t_2), \\ [\alpha(1-\alpha)T + \alpha x_0^{1-\alpha}]^{\frac{1}{1-\alpha}}, & t \in [t_2, T], \end{cases} \quad v_*(t) = \begin{cases} 1, & t \in [0, t_2), \\ 0, & t \in [t_2, T], \end{cases}$$

$$\chi_{\mathcal{B}_*}(t) = (0, 1), \quad J(y_*(\cdot), v_*(\cdot), \mathcal{B}_*) = \alpha^{\frac{\alpha}{1-\alpha}} \cdot [(1-\alpha)T + x_0^{1-\alpha}]^{\frac{1}{1-\alpha}}.$$

(c) Seien  $x_0 < 1$  und  $T > \frac{1-\alpha x_0^{1-\alpha}}{\alpha(1-\alpha)}$ : Nun erhalten wir den Kandidaten

$$z_*(t) = \begin{cases} [(1-\alpha)t + x_0^{1-\alpha}]^{\frac{1}{1-\alpha}}, & t \in [0, \sigma), \\ e^{t-\sigma}, & t \in [\sigma, t_1), \\ e^{t_1-\sigma}, & t \in [t_1, T], \end{cases} \quad w_*(t) = \begin{cases} 1, & t \in [0, t_1), \\ 0, & t \in [t_1, T], \end{cases}$$

$$\chi_{\mathcal{C}_*}(t) = \begin{cases} (0, 1), & t \in [0, \sigma), \\ (1, 0), & t \in [\sigma, T], \end{cases} \quad J(z_*(\cdot), w_*(\cdot), \mathcal{C}_*) = e^{T-1-\sigma}.$$

(d) Seien  $x_0 < 1$  und  $T = \frac{1-\alpha x_0^{1-\alpha}}{\alpha(1-\alpha)}$ : Wegen  $\sigma = t_2$  sind alle Bedingungen von Theorem 3.10 für die Multiprozesse  $(y_*(\cdot), v_*(\cdot), \mathcal{B}_*)$  und  $(z_*(\cdot), w_*(\cdot), \mathcal{C}_*)$  erfüllt.

Sei  $n_0 \in \mathbb{N}$  mit  $n_0 > \alpha/(1-\alpha)$ . Für  $n \geq n_0$  betrachten wir die Steuerungen

$$v_n(t) = v_*(t) + \chi_{[\sigma, \sigma + \frac{1}{n}]}(t) \cdot (w_*(t) - v_*(t)), \quad \chi_{\mathcal{B}_n}(t) = \chi_{\mathcal{C}_*}(t),$$

die wie im Fall (c) einen Wechsel des Steuerungssystems zum Zeitpunkt  $t = \sigma = t_2$  und eine verlängerte Investitionsphase vorgeben. Für den zugehörigen Kapitalbestand  $y_n(\cdot)$  gilt  $\|y_n(\cdot) - y_*(\cdot)\|_\infty = e^{\frac{1}{n}} - 1$  und für den Wert des Zielfunktionals

$$J(y_n(\cdot), v_n(\cdot), \mathcal{B}_n) - J(y_*(\cdot), v_*(\cdot), \mathcal{B}_*) = e^{\frac{1}{n}} \left( T - \sigma - \frac{1}{n} \right) - (T - \sigma)$$

$$> \left( 1 + \frac{1}{n} \right) \left( \frac{1}{\alpha} - \frac{1}{n} \right) - \frac{1}{\alpha} = \frac{1}{n} \left( \frac{1}{\alpha} - 1 - \frac{1}{n} \right) > 0 \quad \text{für alle } n \geq n_0.$$

Daher stellt  $(y_*(\cdot), v_*(\cdot), \mathcal{B}_*)$  in diesem Fall kein starkes lokales Maximum dar. Der Multiprozess  $(z_*(\cdot), w_*(\cdot), \mathcal{C}_*)$  ist der einzige der Kandidat.  $\square$

Die Aufgabe eines optimalen Multiprozesses enthält die Menge  $\mathcal{L}^k([t_0, t_1])$ , welche die Wechselstrategien charakterisiert und keine konvexe Menge darstellt. Im vorliegenden Beispiel sind deswegen die hinreichenden Arrow-Bedingungen nur eingeschränkt anwendbar. Der Beweis der nachstehenden Bedingungen erfolgt wie im Abschnitt 2.4.3.

**Theorem 3.13.** *In der Aufgabe (3.49)–(3.51) sei  $(x_*(\cdot), u_*(\cdot), \mathcal{A}_*) \in \mathcal{B}_{\text{adm}}^{\mathcal{M}} \cap \mathcal{B}_{\text{Lip}}^{\mathcal{M}}$  und es sei  $p(\cdot) \in PC_1([t_0, t_1], \mathbb{R}^n)$ . Ferner gelte:*

- (a) *Das Quadrupel  $(x_*(\cdot), u_*(\cdot), \mathcal{A}_*, p(\cdot))$  erfüllt (3.52)–(3.54) in Theorem 3.9.*
- (b) *Für jedes  $t \in [t_0, t_1]$  ist die Funktion  $\mathcal{H}^{\mathcal{M}}(t, x, p(t), 1)$  konkav in  $x$  auf  $V_\gamma^{\mathcal{S}}(t)$ .*

*Dann ist  $(x_*(\cdot), u_*(\cdot), \mathcal{A}_*)$  ein starkes lokales Minimum der Aufgabe (3.49)–(3.51).*

In unserem Investitionsmodell lauten die Pontrjagin-Funktionen  $H_1, H_2$  zu den beiden Steuerungssystemen

$$H_1(t, x, u, p, 1) = [(p-1)u + 1] \cdot x, \quad H_2(t, x, u, p, 1) = [(p-1)u + 1] \cdot x^\alpha.$$

Dies führt zu der Hamilton-Funktion

$$\mathcal{H}^{\mathcal{M}}(t, x, p, 1) = \max_{s \in \{1, 2\}} \left\{ \max_{u_s \in [0, 1]} H_s(t, x, u_s, p, 1) \right\} = \max\{p, 1\} \cdot \max\{x, x^\alpha\},$$

welche die Funktion

$$f(x) = \max\{p, 1\} \cdot \begin{cases} x^\alpha, & x \in (0, 1), \\ x, & x \geq 1, \end{cases}$$

enthält. Die Funktion  $f(x)$  ist nicht konkav an der Stelle  $x = 1$ .

Damit ist die Hamilton-Funktion  $\mathcal{H}^{\mathcal{M}}(t, x, p(t), 1)$  bezüglich der Trajektorie  $x_*(\cdot)$  genau dann für jedes  $t \in [t_0, t_1]$  konkav in der Variable  $x$  auf  $V_\gamma^{\mathcal{S}}(t)$ , wenn  $x_*(t) \neq 1$  für alle  $t \in [t_0, t_1]$  gilt. Für die einzelnen Fälle ergeben sich damit:

- (a) Theorem 3.13 ist nur dann anwendbar, wenn  $x_0 > 1$  gilt. In diesem Fall ist der Kandidat  $(x_*(\cdot), u_*(\cdot), \mathcal{A}_*)$  optimal.
- (b) Da in diesem Fall  $x_0 \leq y_*(t) < 1$  auf  $[0, T]$  gilt, ist Theorem 3.13 anwendbar und der Kandidat  $(y_*(\cdot), v_*(\cdot), \mathcal{B}_*)$  optimal.
- (c) Wegen  $z_*(\sigma) = 1$  ist Theorem 3.13 nicht anwendbar.
- (d) Wegen  $y_*(\sigma) = 1$  und  $z_*(\sigma) = 1$  ist Theorem 3.13 auf keinen der ermittelten Kandidaten  $(y_*(\cdot), v_*(\cdot), \mathcal{B}_*)$ ,  $(z_*(\cdot), w_*(\cdot), \mathcal{C}_*)$  anwendbar. Die lokale Optimalität des Kandidaten  $(y_*(\cdot), v_*(\cdot), \mathcal{B}_*)$  wurde bereits ausgeschlossen.  $\square$

### 3.3.7. Zeioptimale Steuerung gekoppelter Kompartimente

Kompartimentmodelle sind vereinfachte Darstellungen für komplexe Abläufe und Interaktionen. Anwendung finden sie z. B. bei der Abbildung von Mischungsprozessen oder der chemischen Reaktionskinetik oder bei einer medikamentösen Dauertherapie (Heuser [43]).

Das System in Abbildung 10 zeigt zwei gekoppelte Behälter, die mit einer Flüssigkeit gefüllt sind. In diesem Modell besteht die Kopplung der Behälter durch den zustandsabhängigen Zufluss  $ax_1$  vom ersten in den zweiten Behälter. Der zweite Behälter gibt seinen Inhalt mit der Rate  $ax_2$  an die Umwelt ab. Die beiden Steuerungssysteme bestehen einerseits aus dem Auffüllen der Behälter mit konstanter Rate  $A$ , die zwischen beiden Behältern durch die Steuerung  $u$  aufgeteilt wird. Andererseits kann die Befüllung komplett gestoppt werden.

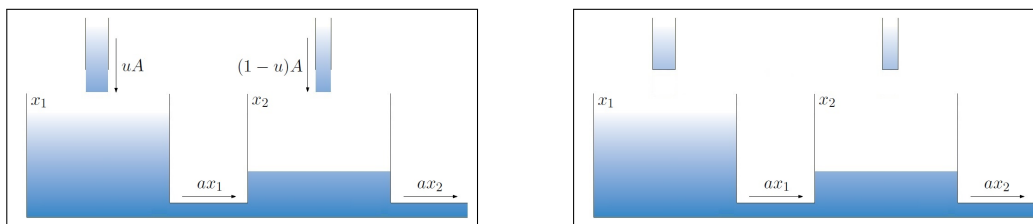


Abbildung 10: Die Behälter in den verschiedenen Steuerungssystemen.

Dies liefert folgende Dynamiken in den jeweiligen Steuerungssystemen:

$$\begin{aligned} \dot{x}_1(t) &= -ax_1(t) + u(t)A, & \dot{x}_1(t) &= -ax_1(t), \\ \dot{x}_2(t) &= ax_1(t) - ax_2(t) + (1-u(t))A, & \dot{x}_2(t) &= ax_1(t) - ax_2(t). \end{aligned}$$

Dabei beachte man, dass die ungesteuerte zweite Dynamik kein Spezialfall der ersten Dynamik ist. In diesem Modell besteht das Ziel darin, die Anfangszustände  $(x_1^0, x_2^0)$  in kürzester Zeit in einen Sollzustand  $(x_1^f, x_2^f)$  zu überführen. Die Aufgabe des zeioptimalen Multiprozesses lautet damit:

$$J(x(\cdot), u(\cdot), \mathcal{A}) = \int_0^T 1 dt \rightarrow \inf, \quad (3.77)$$

$$\dot{x}(t) = \chi_{\mathcal{A}}(t) \circ \varphi(t, x(t), u(t)), \quad (3.78)$$

$$(x_1(0), x_2(0)) = (x_1^0, x_2^0), \quad (x_1(T), x_2(T)) = (x_1^f, x_2^f), \quad (3.79)$$

$$u(t) \in [0, 1], \quad \mathcal{A} \in \mathcal{F}^2([0, T]), \quad a, A > 0. \quad (3.80)$$

Wir wenden Theorem 3.12 an: Die Pontrjagin-Funktion der Aufgabe (3.77)–(3.80) lautet

$$\mathcal{A} \circ H^{\mathcal{M}}(t, x, u, p, q, \lambda_0) = \begin{cases} p[-ax_1 + uA] + q[ax_1 - ax_2 + (1-u)A] - \lambda_0, & t \in \mathcal{A}_1, \\ p[-ax_1] + q[ax_1 - ax_2] - \lambda_0, & t \in \mathcal{A}_2. \end{cases}$$

Unabhängig von  $\mathcal{A}$  erhalten wir daraus für die Adjungierten  $p(\cdot), q(\cdot)$ :

$$\begin{pmatrix} \dot{p}(t) \\ \dot{q}(t) \end{pmatrix} = a \cdot \begin{pmatrix} p(t) - q(t) \\ q(t) \end{pmatrix} \Rightarrow \begin{pmatrix} p(t) \\ q(t) \end{pmatrix} = e^{at} \cdot \begin{pmatrix} p_0 - atq_0 \\ q_0 \end{pmatrix}. \quad (3.81)$$

Die Maximumbedingung (3.74) ist äquivalent zur Maximierungsaufgabe

$$\max_{s \in \{1,2\}} \left\{ \max_{u \in [0,1]} [up(t) + (1-u)q(t)], 0 \right\}. \quad (3.82)$$

Außerdem folgt, da die Aufgabe autonom ist,  $\mathcal{H}^M(t, x_*(t), p(t), \lambda_0) \equiv 0$ .

Zur Auswertung der Maximierungsaufgabe (3.82) sind die Relationen zwischen  $p(t), q(t)$  und  $r(t) \equiv 0$  zu klären. Zunächst gilt  $(p_0, q_0) \neq (0, 0)$  in (3.81), denn sonst würde für

- (i)  $\lambda_0 = 0$  der Fall trivialer Multiplikatoren in Theorem 3.12 bzw.
- (ii)  $\lambda_0 \neq 0$  ein Widerspruch zu  $\mathcal{H}^M(t, x_*(t), p(t), \lambda_0) \equiv 0$

auftreten. Dann ergeben sich in Abhängigkeit von  $q_0 \in \mathbb{R}$  folgende Situation für die Adjungierten, wobei  $\sigma_S$  den möglichen Schnittpunkt der Graphen von  $p(\cdot)$  und  $q(\cdot)$  bezeichnet:

- (1)  $q_0 = 0$ :  $p(t) > q(t) \equiv 0$  für  $p_0 > 0$  oder  $p(t) < q(t) \equiv 0$  für  $p_0 < 0$ .
- (2)  $q_0 > 0$ :  $p(t) < q(t)$  für  $p_0 \leq q_0$  und  $t > 0$  oder es existiert  $\sigma_S > 0$  für  $p_0 > q_0$ .
- (3)  $q_0 < 0$ :  $p(t) > q(t)$  für  $p_0 \geq q_0$  und  $t > 0$  oder es existiert  $\sigma_S > 0$  für  $p_0 < q_0$ .

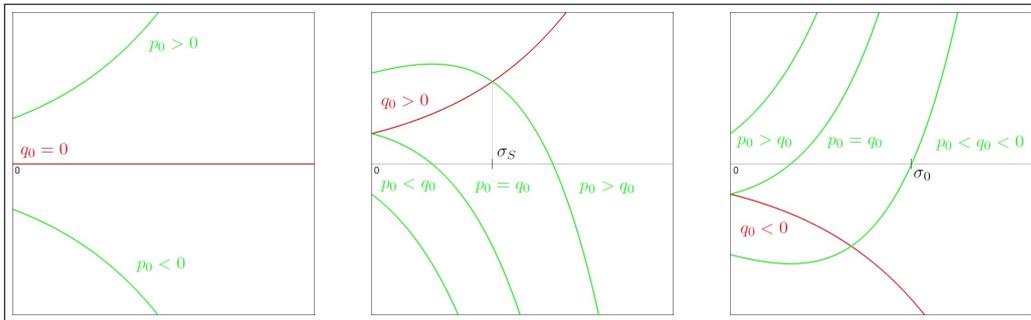


Abbildung 11: Lagebeziehungen (1)–(3) der Adjungierten  $p(\cdot)$  und  $q(\cdot)$ .

Es sei  $\sigma_0$  die Nullstelle von  $p(\cdot)$ . Unter Beachtung der optimalen Stoppzeit  $T_*$  lassen sich der Abbildung 11 folgende Wechselstrategien  $\mathcal{A}_*$  und Steuerungen  $u_*(t)$  entnehmen:

- (a) Es ist nur ein Steuerungssystem aktiv auf  $[0, T_*]$ , wenn
  - (i)  $p(t) > \max\{q(t), 0\}$  für alle  $t \in (0, T_*)$  gilt und es ist

$$(u_*(t), \chi_{\mathcal{A}_{1*}}(t), \chi_{\mathcal{A}_{2*}}(t)) \equiv (1, 1, 0);$$

(ii)  $q(t) > \max\{p(t), 0\}$  für alle  $t \in (0, T_*)$  gilt und es ist

$$(u_*(t), \chi_{\mathcal{A}_{1*}}(t), \chi_{\mathcal{A}_{2*}}(t)) \equiv (0, 1, 0);$$

(iii)  $0 > \max\{p(t), q(t)\}$  für alle  $t \in (0, T_*)$  gilt und es ist

$$(\chi_{\mathcal{A}_{1*}}(t), \chi_{\mathcal{A}_{2*}}(t)) \equiv (0, 1).$$

(b) Es gibt einen Strategiewechsel, und zwar wenn

(i)  $p_0 > q_0 > 0$  und  $\sigma_S \in (0, T_*)$ :

$$(u_*(t), \chi_{\mathcal{A}_{1*}}(t), \chi_{\mathcal{A}_{2*}}(t)) = (1, 1, 0) \longrightarrow (u_*(t), \chi_{\mathcal{A}_{1*}}(t), \chi_{\mathcal{A}_{2*}}(t)) = (0, 1, 0);$$

(ii)  $p_0, q_0 < 0$  und  $\sigma_0 \in (0, T_*)$ :

$$(\chi_{\mathcal{A}_{1*}}(t), \chi_{\mathcal{A}_{2*}}(t)) = (0, 1) \longrightarrow (u_*(t), \chi_{\mathcal{A}_{1*}}(t), \chi_{\mathcal{A}_{2*}}(t)) = (1, 1, 0).$$

(c) Der Strategiewechsel ist nicht eindeutig bestimmbar, wenn  $p_0 < q_0 = 0$ :

$$(u_*(t), \chi_{\mathcal{A}_{1*}}(t), \chi_{\mathcal{A}_{2*}}(t)) = (0, 1, 0) \longleftrightarrow (\chi_{\mathcal{A}_{1*}}(t), \chi_{\mathcal{A}_{2*}}(t)) = (0, 1).$$

Zur Illustration sei  $a = 1$ ,  $A = 10$ ,  $x_1^0, x_2^0 \in [0, 10]$  und  $(x_1^f, x_2^f) = (5, 5)$ . Die Zustände  $(x_{1*}(t), x_{2*}(t))$ , die zu den Steuerungen und dem aktiven System im Fall (a) gehören, teilen das Phasendiagramm  $(x_1, x_2) \in [0, 10] \times [0, 10]$  in die Bereiche  $X, Y, Z$  ein (Abbildung 12).

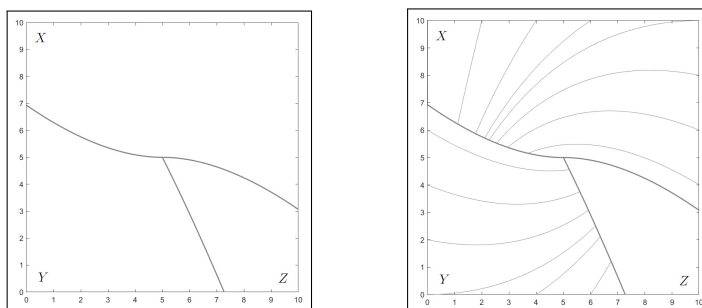


Abbildung 12: Die Einteilung des Phasendiagramms und die optimalen Trajektorien.

Zur Erläuterung der Vorgänge innerhalb der einzelnen Bereiche:

- (X) Die optimale Steuerung und Wechselstrategie wird durch (ii) im Fall (b) gegeben. Zur Zeit  $t = \sigma_0$  erreicht die Trajektorie  $(x_{1*}(t), x_{2*}(t))$  den Rand des Bereiches  $X$ .
- (Y) Die optimale Steuerung und Wechselstrategie wird durch (i) im Fall (b) gegeben. Zur Zeit  $t = \sigma_S$  erreicht die Trajektorie  $(x_{1*}(t), x_{2*}(t))$  den Rand des Bereiches  $Y$ .

(Z) Die optimale Strategie ist nicht eindeutig, denn es tritt der Fall (c) ein. In diesem Bereich bestimmt sich die optimale Stoppzeit  $T_*$  durch die schnellste Reduktion des Zustandes  $x_1^0$  zu  $x_1^f$ . Im zweiten Behälter muss zum Zeitpunkt  $t = T_*$  lediglich die Bedingung  $x_2(T_*) = x_2^f$  sichergestellt werden.

Wir fügen dem Behältermodell (3.77)–(3.80) eine Zustandsbeschränkung hinzu:

$$x_2(t) \geq S \text{ für alle } t \in [0, T], \quad x_2^0, x_2^f, A > S.$$

Sei nun  $(x_{1*}(t), x_{2*}(t))$  eine optimale Trajektorie in der Aufgabe (3.77)–(3.80) ohne Zustandsbeschränkung mit  $x_{2*}(t) < S$  für ein  $t \in (0, T_*)$ . Dann existieren Zeitpunkte  $t_1, t_2$  mit  $0 < t_1 < t_2 < T_*$  und  $x_2(t_1) = x_2(t_2) = S$ .

Aus Theorem 3.12 können wir folgenden Kandidaten ableiten: Auf dem Teilstück  $[t_1, t_2]$ , auf dem die Zustandsbeschränkung aktiv wird, erhalten wir für die Adjungierten

$$p(t) = q(t) > 0, \quad \dot{p}(t) = \dot{q}(t) = 0.$$

Für das Borelsche Maß liefert der Ansatz  $d\mu(t) = \lambda(t) dt$  die Darstellung

$$\lambda(t) = a(2q(t) - p(t)) > 0.$$

Eingeschränkt auf das Teilstück  $[t_1, t_2]$  erhalten wir für den Multiprozess

$$\begin{aligned} x_{1*}(t) &= x_{1*}(t_1) + (t - t_1)(A - S), & x_{2*}(t) &= S, \\ u_*(t) &= \frac{x_{1*}(t) - S + A}{A}, & (\chi_{\mathcal{A}_{1*}}(t), \chi_{\mathcal{A}_{2*}}(t)) &= (1, 0). \end{aligned}$$

Für die bereits verwendeten Parameter  $a = 1, A = 10, x_1^0, x_2^0 \in [0, 10], (x_1^f, x_2^f) = (5, 5)$  und für die untere Schranke  $S = 3, 5$  ergibt sich das folgende Phasenportrait:

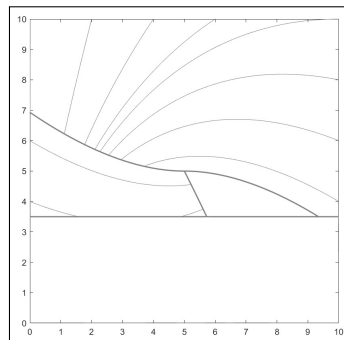


Abbildung 13: Phasenportrait unter der Zustandsbeschränkung.

Mit der Betrachtung der Zustandsbeschränkung ist unsere Diskussion der gekoppelten Kompartimente abgeschlossen. □

### 3.4. Zeitverzögerte dynamische Systeme

Dynamische Systeme mit Zeitverzögerungen sind wesentliche Elemente in der Modellierung und Auswertung existenzieller und lebensnaher Phänomene in Anwendungsfeldern wie der Biologie oder der Biomedizin. So zählt zu den gängigen Beispielen einer retardierten Arznei die Form, bei der der Wirkstoff zeitlich verzögert freigesetzt wird.

Das verzögerte System entsteht dadurch, dass die Zustandsänderung  $\dot{x}(t)$  nicht ausschließlich auf den vorliegenden Zustand  $x(t)$  und die simultanen Maßnahmen  $u(t)$  interagiert, sondern mit zeitlichen Verzögerungen  $\delta_x, \delta_u > 0$  auf den vorherigen Status  $x(t - \delta_x)$  und auf die getroffenen Maßnahmen  $u(t - \delta_u)$  reagiert:

$$\dot{x}(t) = \varphi(t, x(t), x(t - \delta_x), u(t), u(t - \delta_u)).$$

Für die Erweiterung der Standardaufgabe um zeitverzögerte Systeme werden wir eine rekursive Herangehensweise vorstellen. Dabei greifen wir die Annahme kommensurabler Größen  $\delta_x$  und  $\delta_u$  auf, die z. B. bei Göllmann & Maurer [33, 34] Anwendung findet. Die erzielten Ergebnisse in Form des Pontrjaginschen Maximumprinzips spiegeln dabei die Komplexität der herausfordernden Aufgabenstellung wider. So ist die Auswertung verzögerter Steuerungsprobleme und die Anwendung von Optimalitätsbedingungen im Wesentlichen nur mit Computerunterstützung möglich.

Als Anwendung für ein verzögertes Steuerungsproblem geben wir das Modell einer Chemotherapie nach Rihan et. al. [63] und nach Göllmann & Maurer in [33] an. Die numerischen Ergebnisse sind [33] entnommen.

#### 3.4.1. Die elementare Aufgabe mit freiem Endpunkt

In der elementaren Aufgabe mit freiem rechten Endpunkt liegt nur eine Zeitverzögerung  $\delta > 0$  bezüglich dem Zustand  $x(t)$  und der Steuerung  $u(t)$  vor. Damit gelangen wir zu dem zeitverzögerten Steuerungsproblem

$$J(x(\cdot), u(\cdot)) = \int_{t_0}^{t_1} f(t, x(t), x(t - \delta), u(t), u(t - \delta)) dt \rightarrow \inf, \quad (3.83)$$

$$\dot{x}(t) = \varphi(t, x(t), x(t - \delta), u(t), u(t - \delta)), \quad x(t) = x_0 \text{ für } t \in [t_0 - \delta, t_0], \quad (3.84)$$

$$u(t) \in U \subseteq \mathbb{R}^m, \quad u(t) = u_0 \in U \text{ für } t \in [t_0 - \delta, t_0), \quad U \neq \emptyset. \quad (3.85)$$

Im Vergleich zur Aufgabe (2.4)–(2.6) ergänzen wir in den Abbildungen  $f$  und  $\varphi$  die Variablen  $y$  und  $v$  bezüglich des verzögerten Zustandes bzw. der verzögerten Steuerung:

$$f = f(t, x, y, u, v) : \mathbb{R} \times \mathbb{R}^n \times \mathbb{R}^n \times \mathbb{R}^m \times \mathbb{R}^m \rightarrow \mathbb{R},$$

$$\varphi = \varphi(t, x, y, u, v) : \mathbb{R} \times \mathbb{R}^n \times \mathbb{R}^n \times \mathbb{R}^m \times \mathbb{R}^m \rightarrow \mathbb{R}^n.$$

Bei der Behandlung von Steuerungsproblemen mit einer Zeitverzögerung stellt sich die Frage, wie das dynamische System (3.84) zu behandeln ist. Für den Teilabschnitt  $[t_0, t_0 + \delta]$  reduziert es sich auf die Gleichung

$$\dot{x}(t) = \varphi(t, x(t), x_0, u(t), u_0), \quad x(t_0) = x_0,$$

welche sich für eine stückweise stetige rechte Seite  $\varphi$  mit den Werkzeugen im Anhang über Differentialgleichungen handhaben lässt. Dieser Gedankengang kann anschließend schrittweise über den Teilabschnitten  $[t_0 + \delta, t_0 + 2\delta]$ ,  $[t_0 + 2\delta, t_0 + 3\delta]$ , ... wiederholt werden. Daher kann die Dynamik mit Zeitverzögerung abschnittsweise wie eine Differentialgleichung mit stückweise stetigen rechten Seiten aufgefasst werden.

Die Aufgabe (3.83)–(3.85) betrachten wir bezüglich der Paare

$$(x(\cdot), u(\cdot)) \in PC_1([t_0, t_1], \mathbb{R}^n) \times PC([t_0, t_1], U).$$

Mit  $\mathcal{D}_{\text{Lip}}^{\mathcal{Z}}$  bezeichnen wir die Menge aller Paare  $(x(\cdot), u(\cdot))$ , für die es ein  $\gamma > 0$  derart gibt, dass die Abbildungen  $f(t, x, y, u, v)$ ,  $\varphi(t, x, y, u, v)$  auf der Menge aller Punkte  $(t, x, y, u, v) \in \mathbb{R} \times \mathbb{R}^n \times \mathbb{R}^n \times \mathbb{R}^m \times \mathbb{R}^m$  mit

$$t \in [t_0, t_1], \quad \|x - x(t)\| < \gamma, \quad \|y - x(t - \delta)\| < \gamma, \quad u, v \in \mathbb{R}^m$$

stetig in der Gesamtheit aller Variablen und stetig differenzierbar bezüglich  $x$  und  $y$  sind.

Das Paar  $(x(\cdot), u(\cdot)) \in PC_1([t_0, t_1], \mathbb{R}^n) \times PC([t_0, t_1], U)$  heißt ein zulässiger Steuerungsprozeß der Aufgabe (3.83)–(3.85), falls  $(x(\cdot), u(\cdot))$  dem System (3.84) genügt und die Steuerbeschränkungen (3.85) erfüllt. Mit  $\mathcal{D}_{\text{adm}}^{\mathcal{Z}}$  bezeichnen wir die Menge der zulässigen Steuerungsprozesse.

Ein zulässiger Steuerungsprozess  $(x_*(\cdot), u_*(\cdot))$  ist eine starke lokale Minimalstelle der Aufgabe (3.83)–(3.85), falls eine Zahl  $\varepsilon > 0$  derart existiert, dass die Ungleichung

$$J(x(\cdot), u(\cdot)) \geq J(x_*(\cdot), u_*(\cdot))$$

für alle  $(x(\cdot), u(\cdot)) \in \mathcal{D}_{\text{adm}}^{\mathcal{Z}}$  mit  $\|x(\cdot) - x_*(\cdot)\|_{\infty} < \varepsilon$  gilt.

Es bezeichnet  $H^{\mathcal{Z}} : \mathbb{R} \times \mathbb{R}^n \times \mathbb{R}^n \times \mathbb{R}^m \times \mathbb{R}^m \times \mathbb{R}^n \times \mathbb{R} \rightarrow \mathbb{R}$  die Pontrjagin-Funktion

$$H^{\mathcal{Z}}(t, x, y, u, v, p, \lambda_0) = \langle p, \varphi(t, x, y, u, v) \rangle - \lambda_0 f(t, x, y, u, v).$$

Weiterhin führen wir die folgenden abkürzenden Bezeichnungen ein:

$$\begin{aligned} H^{\mathcal{Z}}[t] &= H^{\mathcal{Z}}(t, x_*(t), x_*(t - \delta), u_*(t), u_*(t - \delta), p(t), 1), \\ H^{\mathcal{Z}}[t, u, v] &= H^{\mathcal{Z}}(t, x_*(t), x_*(t - \delta), u, v, p(t), 1). \end{aligned}$$

Im Gegensatz zu später folgenden Abschnitten beziehen sich diese Abkürzungen auf den normalen Fall  $\lambda_0 = 1$ .

Damit formulieren wir das Pontrjaginsche Maximumprinzip der Aufgabe (3.83)–(3.85):

**Theorem 3.14** (Pontrjaginsches Maximumprinzip). *Es sei  $(x_*(\cdot), u_*(\cdot)) \in \mathcal{D}_{\text{adm}}^{\mathcal{Z}} \cap \mathcal{D}_{\text{Lip}}^{\mathcal{Z}}$ . Ist  $(x_*(\cdot), u_*(\cdot))$  ein starkes lokales Minimum der Aufgabe (3.83)–(3.85), dann existiert eine Vektorfunktion  $p(\cdot) \in PC_1([t_0, t_1], \mathbb{R}^n)$  derart, dass*

(a) *fast überall in  $[t_0, t_1]$  die adjungierte Gleichung*

$$\dot{p}(t) = -H_x^{\mathcal{Z}}[t] - \chi_{[t_0, t_1 - \delta]}(t) \cdot H_y^{\mathcal{Z}}[t + \delta], \quad (3.86)$$

(b) *in  $t = t_1$  die Transversalitätsbedingung*

$$p(t_1) = 0 \quad (3.87)$$

(c) *und in fast allen Punkten  $t \in [t_0, t_1]$  die Maximumbedingung*

$$\begin{aligned} & H^{\mathcal{Z}}[t, u_*(t), u_*(t - \delta)] + \chi_{[t_0, t_1 - \delta]}(t) \cdot H^{\mathcal{Z}}[t + \delta, u_*(t + \delta), u_*(t)] \\ &= \max_{u \in U} \left\{ H^{\mathcal{Z}}[t, u, u_*(t - \delta)] + \chi_{[t_0, t_1 - \delta]}(t) \cdot H^{\mathcal{Z}}[t + \delta, u_*(t + \delta), u] \right\} \end{aligned} \quad (3.88)$$

*erfüllt sind.*

In Theorem 3.14 sind die Bedingungen kompakt formuliert. Die adjungierte Gleichung (3.86) besitzt ausführlich aufgeschrieben die Gestalt

$$\begin{aligned} \dot{p}(t) &= -\varphi_x^T(t, x_*(t), x_*(t - \delta), u_*(t), u_*(t - \delta))p(t) \\ &\quad + f_x(t, x_*(t), x_*(t - \delta), u_*(t), u_*(t - \delta)) \\ &\quad + \chi_{[t_0, t_1 - \delta]}(t) \cdot \left[ -\varphi_y^T(t + \delta, x_*(t + \delta), x_*(t), u_*(t + \delta), u_*(t))p(t + \delta) \right. \\ &\quad \left. + f_y(t + \delta, x_*(t + \delta), x_*(t), u_*(t + \delta), u_*(t)) \right]. \end{aligned}$$

Ähnlich wie das System (3.84) besitzt die adjungierte Gleichung (3.86) über  $[t_1 - \delta, t_1]$  die ‘gewöhnliche’ Form  $\dot{p}(t) = -H_x^{\mathcal{Z}}[t]$  zur Transversalitätsbedingung (3.87) und lässt sich dann abschnittsweise über  $[t_1 - 2\delta, t_1 - \delta]$ ,  $[t_1 - 3\delta, t_1 - 2\delta]$ , ... behandeln. Ferner hat die Maximumbedingung (3.88) ausführlich die Form

$$\begin{aligned} & \langle \varphi(t, x_*(t), x_*(t - \delta), u_*(t), u_*(t - \delta)), p(t) \rangle \\ & \quad f(t, x_*(t), x_*(t - \delta), u_*(t), u_*(t - \delta)) \\ & + \chi_{[t_0, t_1 - \delta]}(t) \cdot \left[ \langle \varphi(t + \delta, x_*(t + \delta), x_*(t), u_*(t + \delta), u_*(t)) \rangle \right. \\ & \quad \left. - f(t + \delta, x_*(t + \delta), x_*(t), u_*(t + \delta), u_*(t)) \right] \\ &= \max_{u \in U} \left\{ \langle \varphi(t, x_*(t), x_*(t - \delta), u, u_*(t - \delta)), p(t) \rangle \right. \\ & \quad f(t, x_*(t), x_*(t - \delta), u, u_*(t - \delta)) \\ & \quad \left. + \chi_{[t_0, t_1 - \delta]}(t) \cdot \left[ \langle \varphi(t + \delta, x_*(t + \delta), x_*(t), u_*(t + \delta), u) \rangle \right. \right. \\ & \quad \left. \left. - f(t + \delta, x_*(t + \delta), x_*(t), u_*(t + \delta), u) \right] \right\}. \end{aligned}$$

**Beweis** Im Zuge der Herleitung des Pontrjaginschen Maximumprinzips für die elementare Aufgabe gelangen wir zu Ausdrücken, welche Verzögerungen in verschiedene Zeitrichtungen aufweisen. Mit der Substitution  $t = s + \delta$  gilt  $f(t)g(t - \delta) = f(s + \delta)g(s)$  und es ergibt sich (nach Umbenennung von  $s$  zu  $t$ ) die Beziehung

$$\int_a^b \chi_{[c+\delta, d]}(t) \cdot f(t)g(t - \delta) dt = \int_a^b \chi_{[c, d-\delta]}(t) \cdot f(t + \delta)g(t) dt. \quad (3.89)$$

Beachten wir die oben getroffenen Bemerkungen zur Lösung von Differentialgleichungen mit Zeitverzögerungen, so gibt es nach Lemma C.4 und Lemma C.6 eine eindeutige Lösung  $p(\cdot) \in PC_1([t_0, t_1], \mathbb{R}^n)$  der Gleichung (3.86) zur Randbedingung (3.87).

Für  $\lambda < \delta$  betrachten wir wieder die einfache Nadelvariation

$$u(t; v, \tau, \lambda) = u_\lambda(t) = \begin{cases} u_*(t) & \text{für } t \notin [\tau - \lambda, \tau), \\ v & \text{für } t \in [\tau - \lambda, \tau), \end{cases}$$

und untersuchen für  $t \geq \tau$  den Grenzwert (vgl. Abschnitt 2.2.2)

$$y(t) = \lim_{\lambda \rightarrow 0^+} \frac{x_\lambda(t) - x_*(t)}{\lambda}. \quad (3.90)$$

Im weiteren Vorgehen müssen wir beachten, dass in der Aufgabe (3.83)–(3.85) die Nadelvariation  $u_\lambda(\cdot)$  über den beiden Intervall  $[\tau - \lambda, \tau)$  und  $[\tau + \delta - \lambda, \tau + \delta)$  in die Abbildungen  $f$  und  $\varphi$  einfließt. Für den Quotienten auf der rechten Seite in (3.90) ergeben sich für  $t \geq \tau$  abschnittsweise über dem Intervall  $[\tau - \lambda, t_1]$  die folgenden Ausdrücke:

$$\begin{aligned} & \frac{1}{\lambda} \int_{\tau-\lambda}^{\tau} \chi_{[t_0, t]}(s) \cdot \left[ \varphi(s, x_\lambda(s), x_*(s - \delta), v, u_*(s - \delta)) \right. \\ & \quad \left. - \varphi(s, x_*(s), x_*(s - \delta), u_*(s), u_*(s - \delta)) \right] ds \\ & + \frac{1}{\lambda} \int_{\tau}^{\tau+\delta-\lambda} \chi_{[t_0, t]}(s) \cdot \left[ \varphi(s, x_\lambda(s), x_*(s - \delta), u_*(s), u_*(s - \delta)) \right. \\ & \quad \left. - \varphi(s, x_*(s), x_*(s - \delta), u_*(s), u_*(s - \delta)) \right] ds \\ & + \frac{1}{\lambda} \int_{\tau+\delta-\lambda}^{\tau+\delta} \chi_{[t_0, t]}(s) \cdot \left[ \varphi(s, x_\lambda(s), x_*(s - \delta), u_*(s), v) \right. \\ & \quad \left. - \varphi(s, x_*(s), x_*(s - \delta), u_*(s), u_*(s - \delta)) \right] ds \\ & + \frac{1}{\lambda} \int_{\tau+\delta}^{t_1} \chi_{[t_0, t]}(s) \cdot \left[ \varphi(s, x_\lambda(s), x_\lambda(s - \delta), u_*(s), u_*(s - \delta)) \right. \\ & \quad \left. - \varphi(s, x_*(s), x_*(s - \delta), u_*(s), u_*(s - \delta)) \right] ds. \end{aligned}$$

Wir erweitern diese Summe um die Terme

$$\pm \frac{1}{\lambda} \int_{\tau+\delta-\lambda}^{\tau+\delta} \chi_{[t_0, t]}(s) \cdot \varphi(s, x_\lambda(s), x_*(s - \delta), u_*(s), u_*(s - \delta)) ds,$$

formen damit den zweiten und dritten Summanden um und bringen die gesamte Summe in die Gestalt

$$\begin{aligned}
& \frac{1}{\lambda} \int_{\tau-\lambda}^{\tau} \chi_{[t_0, t]}(s) \cdot \left[ \varphi(s, x_\lambda(s), x_*(s-\delta), v, u_*(s-\delta)) \right. \\
& \quad \left. - \varphi(s, x_*(s), x_*(s-\delta), u_*(s), u_*(s-\delta)) \right] ds \\
& + \frac{1}{\lambda} \int_{\tau}^{\tau+\delta} \chi_{[t_0, t]}(s) \cdot \left[ \varphi(s, x_\lambda(s), x_*(s-\delta), u_*(s), u_*(s-\delta)) \right. \\
& \quad \left. - \varphi(s, x_*(s), x_*(s-\delta), u_*(s), u_*(s-\delta)) \right] ds \\
& + \frac{1}{\lambda} \int_{\tau+\delta-\lambda}^{\tau+\delta} \chi_{[t_0, t]}(s) \cdot \left[ \varphi(s, x_\lambda(s), x_*(s-\delta), u_*(s), v) \right. \\
& \quad \left. - \varphi(s, x_\lambda(s), x_*(s-\delta), u_*(s), u_*(s-\delta)) \right] ds \\
& + \frac{1}{\lambda} \int_{\tau+\delta}^{t_1} \chi_{[t_0, t]}(s) \cdot \left[ \varphi(s, x_\lambda(s), x_\lambda(s-\delta), u_*(s), u_*(s-\delta)) \right. \\
& \quad \left. - \varphi(s, x_*(s), x_*(s-\delta), u_*(s), u_*(s-\delta)) \right] ds.
\end{aligned}$$

Nun ergänzen wir in dieser Summe die Terme

$$\pm \frac{1}{\lambda} \int_{\tau+\delta}^{t_1} \chi_{[t_0, t]}(s) \cdot \varphi(s, x_\lambda(s), x_*(s-\delta), u_*(s), u_*(s-\delta)) ds,$$

formen damit den zweiten und vierten Summanden um und bringen die Summe in diejenige Form, für die wir den Grenzübergang  $\lambda \rightarrow 0^+$  bilden wollen:

$$\begin{aligned}
& \frac{1}{\lambda} \int_{\tau-\lambda}^{\tau} \chi_{[t_0, t]}(s) \cdot \left[ \varphi(s, x_\lambda(s), x_*(s-\delta), v, u_*(s-\delta)) \right. \\
& \quad \left. - \varphi(s, x_*(s), x_*(s-\delta), u_*(s), u_*(s-\delta)) \right] ds \\
& + \frac{1}{\lambda} \int_{\tau}^{t_1} \chi_{[t_0, t]}(s) \cdot \left[ \varphi(s, x_\lambda(s), x_*(s-\delta), u_*(s), u_*(s-\delta)) \right. \\
& \quad \left. - \varphi(s, x_*(s), x_*(s-\delta), u_*(s), u_*(s-\delta)) \right] ds \\
& + \frac{1}{\lambda} \int_{\tau+\delta-\lambda}^{\tau+\delta} \chi_{[t_0, t]}(s) \cdot \left[ \varphi(s, x_\lambda(s), x_*(s-\delta), u_*(s), v) \right. \\
& \quad \left. - \varphi(s, x_\lambda(s), x_*(s-\delta), u_*(s), u_*(s-\delta)) \right] ds \\
& + \frac{1}{\lambda} \int_{\tau+\delta}^{t_1} \chi_{[t_0, t]}(s) \cdot \left[ \varphi(s, x_\lambda(s), x_\lambda(s-\delta), u_*(s), u_*(s-\delta)) \right. \\
& \quad \left. - \varphi(s, x_\lambda(s), x_*(s-\delta), u_*(s), u_*(s-\delta)) \right] ds. \quad (3.91)
\end{aligned}$$

Um uns von den klobigen Ausdrücken der Art (3.91) zu lösen, verwenden wir im Weiteren die Kurzschreibweisen

$$\begin{aligned}\varphi[t] &= \varphi(t, x_*(t), x_*(t - \delta), u_*(t), u_*(t - \delta)), \\ \varphi[t, u, v] &= \varphi(t, x_*(t), x_*(t - \delta), u, v), \\ f[t] &= f(t, x_*(t), x_*(t - \delta), u_*(t), u_*(t - \delta)), \\ f[t, u, v] &= f(t, x_*(t), x_*(t - \delta), u, v).\end{aligned}$$

Mit diesen Schreibweisen ergibt der Grenzübergang  $\lambda \rightarrow 0^+$  in (3.91):

$$\begin{aligned}y(t) &= \underbrace{\varphi[\tau, v, u_*(\tau - \delta)] - \varphi[\tau, u_*(\tau), u_*(\tau - \delta)]}_{=y(\tau)} + \int_{\tau}^{t_1} \chi_{[t_0, t]}(s) \cdot \varphi_x[s]y(s) ds \\ &\quad + \chi_{[t_0, t]}(\tau + \delta) \cdot \underbrace{\left[ \varphi[\tau + \delta, u_*(\tau + \delta), v] - \varphi[\tau + \delta, u_*(\tau + \delta), u_*(\tau)] \right]}_{=\eta(\tau + \delta)} \\ &\quad + \int_{\tau + \delta}^{t_1} \chi_{[t_0, t]}(s) \cdot \varphi_y[s]y(s - \delta) ds.\end{aligned}$$

Das erste Integral beschränken wir auf das Intervall  $[\tau, t]$  und entfernen dafür die charakteristische Funktion im Integranden. Im zweiten Integral stimmt der Geltungsbereich  $[\tau + \delta, t_1] \cap [t_0, t]$  mit  $[\tau, t] \cap [\tau + \delta, t_1]$  überein. Ferner dürfen wir  $\chi_{[t_0, t - \delta]}(\tau)$  anstelle von  $\chi_{[t_0, t]}(\tau + \delta)$  schreiben. Es ergibt sich

$$\begin{aligned}y(t) &= y(\tau) + \chi_{[t_0, t - \delta]}(\tau) \cdot \eta(\tau + \delta) \\ &\quad + \int_{\tau}^t \varphi_x[s]y(s) ds + \int_{\tau}^t \chi_{[\tau + \delta, t_1]}(s) \cdot \varphi_y[s]y(s - \delta) ds.\end{aligned}\quad (3.92)$$

Es kann  $y(t)$  in  $t = \tau + \delta \in (t_0, t_1)$  unstetig sein und dann gilt

$$\lim_{\varepsilon \rightarrow 0^+} [y(\tau + \delta + \varepsilon) - y(\tau + \delta - \varepsilon)] = \eta(\tau + \delta).$$

Wir werten nun die Ableitung  $\frac{d}{dt} \langle p(t), y(t) \rangle = \langle \dot{p}(t), y(t) \rangle + \langle p(t), \dot{y}(t) \rangle$  aus. Es gelten für  $y(\cdot)$  und nach (3.86) für die Adjungierte  $p(\cdot)$  in  $[\tau, t_1]$ :

$$\begin{aligned}\dot{y}(t) &= \varphi_x[t]y(t) + \chi_{[\tau + \delta, t_1]}(t) \cdot \varphi_y[t]y(t - \delta), \\ \dot{p}(t) &= -\varphi_x^T[t]p(t) + f_x[t] + \chi_{[\tau, t_1 - \delta]}(t) \cdot (-\varphi_y^T[t + \delta]p(t + \delta) + f_y[t + \delta]).\end{aligned}$$

Für die  $\varphi$ -Terme mit Zeitverschiebung  $\pm\delta$  ergibt sich mit Hilfe von (3.89)

$$\int_{\tau}^{t_1} \chi_{[\tau + \delta, t_1]}(t) \cdot \langle p(t), \varphi_y[t]y(t - \delta) \rangle dt = \int_{\tau}^{t_1} \chi_{[\tau, t_1 - \delta]}(t) \cdot \langle \varphi_y^T[t + \delta]p(t + \delta), y(t) \rangle dt.$$

Da außerdem  $\langle -\varphi_x^T[t]p(t), y(t) \rangle = -\langle p(t), \varphi_x[t]y(t) \rangle$  gilt, erhalten wir

$$\begin{aligned} \langle p(t_1), y(t_1) \rangle &= \langle p(\tau), y(\tau) \rangle + \chi_{[t_0, t_1 - \delta]}(\tau) \cdot \langle p(\tau + \delta), \eta(\tau + \delta) \rangle + \int_{\tau}^{t_1} \frac{d}{dt} \langle p(t), y(t) \rangle dt \\ &= \langle p(\tau), y(\tau) \rangle + \chi_{[t_0, t_1 - \delta]}(\tau) \cdot \langle p(\tau + \delta), \eta(\tau + \delta) \rangle \\ &\quad + \int_{\tau}^{t_1} \langle f_x[t], y(t) \rangle dt + \int_{\tau}^{t_1} \chi_{[\tau, t_1 - \delta]}(t) \cdot \langle f_y[t + \delta], y(t) \rangle dt. \end{aligned}$$

Im zweiten Integral ebenso die Umformung (3.89) angewendet liefert dann

$$\begin{aligned} \langle p(t_1), y(t_1) \rangle &= \langle p(\tau), y(\tau) \rangle + \chi_{[t_0, t_1 - \delta]}(\tau) \cdot \langle p(\tau + \delta), \eta(\tau + \delta) \rangle \\ &\quad + \int_{\tau}^{t_1} \langle f_x[t], y(t) \rangle dt + \int_{\tau}^{t_1} \chi_{[\tau + \delta, t_1]}(t) \cdot \langle f_y[t], y(t - \delta) \rangle dt, \end{aligned} \quad (3.93)$$

$$y(\tau) = \varphi[\tau, v, u_*(\tau - \delta)] - \varphi[\tau, u_*(\tau), u_*(\tau - \delta)], \quad (3.94)$$

$$\eta(\tau + \delta) = \varphi[\tau + \delta, u_*(\tau + \delta), v] - \varphi[\tau + \delta, u_*(\tau + \delta), u_*(\tau)]. \quad (3.95)$$

Die Auswertung der dynamischen Wirkung der Nadelvariation ist (endlich) abgeschlossen und wir kommen zum Abschluss des Beweises: Da  $(x_*(\cdot), u_*(\cdot))$  ein starkes lokales Minimum ist, gilt für alle hinreichend kleine  $\lambda > 0$  die Ungleichung

$$0 \leq \frac{J(x_\lambda(\cdot), u_\lambda(\cdot)) - J(x_*(\cdot), u_*(\cdot))}{\lambda}.$$

Den Quotienten auf der rechten Seite der Ungleichung formen wir auf die gleiche Weise wie zur Herleitung von (3.91) bzw. (3.92) um und erhalten im Grenzübergang  $\lambda \rightarrow 0^+$ :

$$\begin{aligned} 0 &\leq f[\tau, v, u_*(\tau - \delta)] - f[\tau, u_*(\tau), u_*(\tau - \delta)] \\ &\quad + \chi_{[t_0, t_1 - \delta]}(\tau) \cdot \left[ f[\tau + \delta, u_*(\tau + \delta), v] - f[\tau + \delta, u_*(\tau + \delta), u_*(\tau)] \right] \\ &\quad + \int_{\tau}^{t_1} \langle f_x[t], y(t) \rangle dt + \int_{\tau}^{t_1} \chi_{[\tau + \delta, t_1]}(t) \cdot \langle f_y[t], y(t - \delta) \rangle dt. \end{aligned} \quad (3.96)$$

Die Bedingungen (3.93)–(3.96) und die Transversalitätsbedingung (3.86) ergeben

$$\begin{aligned} 0 &\leq f[\tau, v, u_*(\tau - \delta)] - f[\tau, u_*(\tau), u_*(\tau - \delta)] \\ &\quad + \chi_{[t_0, t_1 - \delta]}(\tau) \cdot \left[ f[\tau + \delta, u_*(\tau + \delta), v] - f[\tau + \delta, u_*(\tau + \delta), u_*(\tau)] \right] \\ &\quad - \langle p(\tau), y(\tau) \rangle - \chi_{[t_0, t_1 - \delta]}(\tau) \cdot \langle p(\tau + \delta), \eta(\tau + \delta) \rangle. \end{aligned} \quad (3.97)$$

Da  $\tau \in (t_0, t_1)$  als ein Stetigkeitspunkt der Steuerung  $u_*(\cdot)$  und zudem  $v \in U$  beliebig gewählt waren, liefert (3.96) die Gültigkeit der Maximumbedingung (3.88). Der Beweis von Theorem 3.14 ist damit abgeschlossen.  $\blacksquare$

**Beispiel 3.15.** In Anlehnung an Beispiel 1.26 betrachten wir eine Aufgabe, in welcher sich die Investitionen mit der Verzögerung von einer Zeiteinheit  $\delta = 1$  auf den Kapitalbestand auswirken. Es ergibt sich das Investitionsmodell

$$J(K(\cdot), u(\cdot)) = \int_0^T (1 - u(t)) \cdot K(t) dt \rightarrow \sup, \quad (3.98)$$

$$\dot{K}(t) = u(t-1) \cdot K(t-1), \quad K(0) = K_0 > 0, \quad (3.99)$$

$$u(t) \in [0, 1] \text{ für } t \in [0, T], \quad u(t) = 0 \text{ für } t \in [-1, 0), \quad T > 2 \text{ fest.} \quad (3.100)$$

In der Aufgabe (3.98)–(3.100) verwenden wir für  $K(t), K(t-1), u(t), u(t-1)$  die Variablenbezeichnungen  $K, L, u, v$ . Damit lauten die Abbildungen der Aufgabe

$$f(t, K, L, u, v) = -(1 - u) \cdot K, \quad \varphi(t, K, L, u, v) = v \cdot L$$

und die Pontrjaginsche Funktion

$$H^Z(t, K, L, u, v, p) = pvL + (1 - u)K.$$

Die Maximumbedingung (3.88) besitzt die Form

$$\begin{aligned} & \max_{u \in U} \left\{ H^Z[t, u, u_*(t-1)] + \chi_{[0, T-1]}(t) \cdot H^Z[t+1, u_*(t+1), u] \right\} \\ & = \max_{u \in [0, 1]} \left\{ p(t)u_*(t-1)K_*(t-1) + (1 - u)K_*(t) \right. \\ & \quad \left. + \chi_{[0, T-1]}(t) \cdot [p(t+1)uK_*(t) + (1 - u_*(t+1))K_*(t+1)] \right\} \end{aligned}$$

und ist äquivalent zu folgenden Maximierungen über Teilabschnitte:

$$\max_{u \in [0, 1]} \begin{cases} u(p(t+1) - 1)K_*(t), & t \in [0, T-1], \\ -uK_*(t), & t \in [T-1, T]. \end{cases} \quad (3.101)$$

Die adjungierte Gleichung (3.86) erhält die Gestalt

$$\dot{p}(t) = -H_K^Z[t] - \chi_{[0, T-1]}(t) \cdot H_L^Z[t+1] = -(1 - u_*(t)) - \chi_{[0, T-1]}(t) \cdot p(t+1)u_*(t)$$

und lautet abschnittsweise

$$\dot{p}(t) = \begin{cases} -(1 - u_*(t)) - p(t+1)u_*(t), & t \in (0, T-1), \\ -(1 - u_*(t)), & t \in (T-1, T), \end{cases} \quad (3.102)$$

zur Transversalitätsbedingung  $p(T) = 0$ .

Da  $\dot{K}(t) \geq 0$  und  $\dot{p}(t) < 0$  in  $(0, T)$  gelten, führen (3.101) und (3.102) zu:

- Über  $[T - 1, T]$  lauten (3.101) und (3.102)

$$\max_{u \in [0,1]} -uK_*(t), \quad \dot{p}(t) = -(1 - u_*(t)), \quad p(T) = 0.$$

Daraus ist unmittelbar  $u_*(t) = 0$  und  $p(t) = T - t$  über  $[T - 1, T]$  einzusehen.

- Damit folgt für (3.101) über  $[T - 2, T - 1]$ :  $\max_{u \in [0,1]} u(p(t+1) - 1)K_*(t)$ . Da  $p(t) < 1$  für  $t \in (T - 1, T]$  ausfällt, ist  $u_*(t) = 0$  für  $t \in [T - 2, T - 1)$ . In (3.102) ergibt sich ferner  $\dot{p}(t) = -1$  und es gilt weiterhin  $p(t) = T - t$  für  $t \in [T - 2, T - 1)$ .
- Da stets  $\dot{p} < 0$  ausfällt, ist  $p(t + 1) > 2$  über  $[0, T - 2)$ . Dies hat anhand der Maximumbedingung (3.101) die Investitionsrate  $u_*(t) = 1$  für  $t \in [0, T - 2)$  zur Folge. Weiterhin ergibt sich  $\dot{p}(t) = -p(t + 1)$  in (3.102).

In der Aufgabe (3.98)–(3.100) mit verzögerten Investitionen konnten wir die Steuerung

$$u_*(t) = \begin{cases} 0, & t \in [-1, 0), \\ 1, & t \in [0, T - 2), \\ 0, & t \in [T - 2, T], \end{cases} \quad u_*(t - 1) = \begin{cases} 0, & t \in [0, 1), \\ 1, & t \in [1, T - 1), \\ 0, & t \in [T - 1, T], \end{cases}$$

ermitteln. Mit dieser ergeben sich für den Kapitalbestand und für die Adjungierte die dynamischen Entwicklungen

$$\dot{K}_*(t) = \begin{cases} 0, & t \in (0, 1), \\ K_*(t - 1), & t \in (1, T - 1), \\ 0, & t \in (T - 1, T), \end{cases} \quad \dot{p}(t) = \begin{cases} -p(t + 1), & t \in (0, T - 2), \\ -1, & t \in (T - 2, T). \end{cases}$$

Zusammen mit  $K(0) = K_0$  und  $p(T) = 0$  führt dies abschnittsweise auf die Darstellungen

$$K_*(t) = \begin{cases} K_0, & t \in [0, 1), \\ K_0 + K_0(t - 1), & t \in [1, 2), \\ 2K_0 + K_0(t - 2) + \frac{1}{2}K_0((t - 1)^2 - 1), & t \in [2, 3), \\ \vdots \\ K_*(T - 1), & t \in [T - 1, T], \end{cases}$$

$$p(t) = \begin{cases} \vdots \\ 2 + \frac{1}{2}[(T - (t + 1))^2 - 1], & t \in [T - 3, T - 2), \\ T - t, & t \in [T - 2, T]. \end{cases}$$

Aufgrund der abschnittsweise rekursiven Bildung des optimalen Kapitalbestandes  $K_*(\cdot)$  verzichten wir an dieser Stelle auf die Berechnung des Optimalwertes.  $\square$

### 3.4.2. Die Aufgabenstellung

Unsere Betrachtungen schränken wir jeweils auf eine Verzögerung  $\delta_x > 0$  bezüglich dem Zustand und eine Verzögerung  $\delta_u > 0$  bezüglich der Steuerung ein. Wir betrachten im Folgenden die allgemeine Aufgabenstellung eines verzögerten Steuerungsproblems der Form

$$J(x(\cdot), u(\cdot)) = \int_{t_0}^{t_1} f(t, x(t), x(t - \delta_x), u(t), u(t - \delta_u)) dt \rightarrow \inf, \quad (3.103)$$

$$\dot{x}(t) = \varphi(t, x(t), x(t - \delta_x), u(t), u(t - \delta_u)), \quad (3.104)$$

$$x(t_0) = x_0, \quad x(t_1) = x_1, \quad x(t) = x_0 \text{ für } t \in [t_0 - \delta_x, t_0], \quad (3.105)$$

$$u(t) \in U \subseteq \mathbb{R}^m, \quad u(t) = u_0 \in U \text{ für } t \in [t_0 - \delta_u, t_0], \quad U \neq \emptyset, \quad (3.106)$$

$$g_j(t, x(t), x(t - \delta_x)) \leq 0 \quad \text{für alle } t \in [t_0, t_1] \text{ und alle } j = 1, \dots, l. \quad (3.107)$$

Im Vergleich zur Aufgabe (2.15)–(2.19) ergänzen wir in den Abbildungen  $f, \varphi$  und  $g_j$  die Variablen  $y$  und  $v$  bezüglich des verzögerten Zustandes bzw. der verzögerten Steuerung:

$$\begin{aligned} f &= f(t, x, y, u, v) : \mathbb{R} \times \mathbb{R}^n \times \mathbb{R}^n \times \mathbb{R}^m \times \mathbb{R}^m \rightarrow \mathbb{R}, \\ \varphi &= \varphi(t, x, y, u, v) : \mathbb{R} \times \mathbb{R}^n \times \mathbb{R}^n \times \mathbb{R}^m \times \mathbb{R}^m \rightarrow \mathbb{R}^n, \\ g_j &= g_j(t, x, y) : \mathbb{R} \times \mathbb{R}^n \times \mathbb{R}^n \rightarrow \mathbb{R}^n. \end{aligned}$$

Wir treffen die Annahme kommensurabler Zeitgrößen, d. h. es gibt ein  $\Delta > 0$  und natürliche Zahlen  $k, \kappa, N \in \mathbb{N}$  mit

$$k \cdot \Delta = \delta_x, \quad \kappa \cdot \Delta = \delta_u, \quad (N + 1) \cdot \Delta = t_1 - t_0. \quad (3.108)$$

Wir nennen die Trajektorie  $x(\cdot)$  eine Lösung der Gleichung (3.104) zur Steuerung  $u(\cdot)$ , falls  $x(\cdot)$  auf  $[t_0, t_1]$  definiert ist und die Dynamik im Sinn von Carathéodory löst.

Mit  $\mathcal{B}_{\text{Lip}}^{\mathcal{Z}}$  bezeichnen wir die Menge aller Paare  $(x(\cdot), u(\cdot))$ , für die es ein  $\gamma > 0$  derart gibt, dass die Abbildungen  $f(t, x, y, u, v)$ ,  $\varphi(t, x, y, u, v)$  und  $g(t, x, y)$  auf der Menge aller Punkte  $(t, x, y, u, v) \in \mathbb{R} \times \mathbb{R}^n \times \mathbb{R}^n \times \mathbb{R}^m \times \mathbb{R}^m$  mit

$$t \in [t_0, t_1], \quad \|x - x(t)\| < \gamma, \quad \|y - x(t - \delta)\| < \gamma, \quad u, v \in \mathbb{R}^m$$

stetig in der Gesamtheit aller Variablen und stetig differenzierbar bezüglich  $x$  und  $y$  sind.

Das Paar  $(x(\cdot), u(\cdot)) \in W_{\infty}^1([t_0, t_1], \mathbb{R}^n) \times L_{\infty}([t_0, t_1], U)$  heißt ein zulässiger Steuerungsprozess in der Aufgabe (3.103)–(3.107), falls  $(x(\cdot), u(\cdot))$  dem System (3.104) genügt, sowie die Randbedingungen (3.105) und Zustandsbeschränkung (3.107) erfüllt. Die Menge  $\mathcal{B}_{\text{adm}}^{\mathcal{Z}}$  bezeichnet die Menge der zulässigen Steuerungsprozesse.

Ein zulässiger Steuerungsprozess  $(x_*(\cdot), u_*(\cdot))$  ist ein starkes lokales Minimum der Aufgabe (3.103)–(3.107), falls eine Zahl  $\varepsilon > 0$  derart existiert, dass die Ungleichung

$$J(x(\cdot), u(\cdot)) \geq J(x_*(\cdot), u_*(\cdot))$$

für alle  $(x(\cdot), u(\cdot)) \in \mathcal{B}_{\text{adm}}^{\mathcal{Z}}$  mit  $\|x(\cdot) - x_*(\cdot)\|_{\infty} < \varepsilon$  gilt.

### 3.4.3. Das Pontrjaginsche Maximumprinzip

Wir definieren zur Aufgabe (3.103)–(3.107) die Pontrjagin-Funktion  $H^Z$  gemäß

$$H^Z(t, x, y, u, v, p, \lambda_0) = \langle p, \varphi(t, x, y, u, v) \rangle - \lambda_0 f(t, x, y, u, v).$$

Weiterhin führen wir die folgenden abkürzenden Bezeichnungen ein:

$$\begin{aligned} H^Z[t] &= H(t, x_*(t), x_*(t - \delta_x), u_*(t), u_*(t - \delta_u), p(t), \lambda_0), \\ H^Z[t, u, v] &= H(t, x_*(t), x_*(t - \delta_x), u, v, p(t), \lambda_0). \end{aligned}$$

Damit formulieren wir das Pontrjaginsche Maximumprinzip der Aufgabe (3.103)–(3.106):

**Theorem 3.16** (Pontrjaginsches Maximumprinzip). *Es sei  $(x_*(\cdot), u_*(\cdot)) \in \mathcal{B}_{\text{adm}}^Z \cap \mathcal{B}_{\text{Lip}}^Z$  und es sei (3.108) erfüllt. Ist  $(x_*(\cdot), u_*(\cdot))$  ein starkes lokales Minimum der Aufgabe (3.103)–(3.106), dann existieren nicht gleichzeitig verschwindende Multiplikatoren  $\lambda_0 \geq 0$ ,  $p(\cdot) \in W_\infty^1([t_0, t_1], \mathbb{R}^n)$  und  $l_0, l_1 \in \mathbb{R}^n$  derart, dass*

(a) die adjungierte Gleichung

$$\dot{p}(t) = -H_x^Z[t] - \chi_{[t_0, t_1 - \delta_x]}(t) \cdot H_y^Z[t + \delta_x] \quad (3.109)$$

(b) die Transversalitätsbedingungen

$$p(t_0) = l_0, \quad p(t_1) = l_1 \quad (3.110)$$

(c) und in fast allen Punkten  $t \in [t_0, t_1]$  die Maximumbedingung

$$\begin{aligned} &H^Z[t, u_*(t), u_*(t - \delta_u)] + \chi_{[t_0, t_1 - \delta_u]}(t) \cdot H^Z[t + \delta_u, u_*(t + \delta_u), u_*(t)] \\ &= \max_{u \in U} \left\{ H^Z[t, u, u_*(t - \delta_u)] + \chi_{[t_0, t_1 - \delta_u]}(t) \cdot H^Z[t + \delta_u, u_*(t + \delta_u), u] \right\} \end{aligned} \quad (3.111)$$

erfüllt sind.

Die komplexen Strukturen der Bedingungen (3.109) und (3.111) wurden bereits im Anschluss an Theorem 3.14 für den normalen Fall mit  $\lambda_0 = 1$  angegeben.

Wir wenden uns den notwendigen Bedingungen der Aufgabe (3.103)–(3.107) mit Zustandsbeschränkungen zu. Bezüglich der Abbildungen in den Zustandsbeschränkungen (3.107) setzen wir der Kürze halber:

$$g_j[t] = g_j(t, x_*(t), x_*(t - \delta_x)), \quad j = 1, \dots, l.$$

Damit lautet das Pontrjaginsche Maximumprinzip der Aufgabe (3.103)–(3.107):

**Theorem 3.17** (Pontrjaginsches Maximumprinzip). *Es sei  $(x_*(\cdot), u_*(\cdot)) \in \mathcal{B}_{\text{adm}}^{\mathcal{Z}} \cap \mathcal{B}_{\text{Lip}}^{\mathcal{Z}}$  und es sei (3.108) erfüllt. Ist  $(x_*(\cdot), u_*(\cdot))$  ein starkes lokales Minimum der Aufgabe (3.103)–(3.107), dann existieren nicht gleichzeitig verschwindende Multiplikatoren  $\lambda_0 \geq 0$ ,  $p(\cdot) \in W_{\infty}^1([0, T], \mathbb{R}^n)$ ,  $l_0, l_1 \in \mathbb{R}^n$  und auf den Mengen*

$$T_j = \{t \in [t_0, t_1] \mid g_j(t, x_*(t), x_*(t - \delta_x)) = 0\}, \quad j = 1, \dots, l,$$

*konzentrierte nichtnegative reguläre Borelsche Maß  $\mu_j$  endlicher Totalvariation derart, dass die Funktion  $p(\cdot)$  von beschränkter Variation und rechtsseitig stetig ist, und*

(a) *die adjungierte Gleichung*

$$\begin{aligned} p(t) = & l_1 + \int_t^{t_1} H_x^{\mathcal{Z}}[s] ds - \sum_{j=1}^l \int_t^{t_1} g_{j,x}[s] d\mu_j(s) \\ & + \chi_{[t_0, t_1 - \delta_x]}(t) \cdot \left( \int_t^{t_1 - \delta_x} H_y^{\mathcal{Z}}[s + \delta_x] ds \right. \\ & \left. - \sum_{j=1}^l \int_t^{t_1 - \delta_x} g_{j,y}[s + \delta_x] d\mu_j(s + \delta_x) \right), \end{aligned} \quad (3.112)$$

(b) *die Transversalitätsbedingungen*

$$\left. \begin{aligned} p(t_0) &= l_0, \\ p(t_1^-) - p(t_1) &= - \sum_{j=1}^l \mu_j(\{t_1\}) g_{j,x}(t_1, x_*(t_1), x_*(t_1 - \delta_x)) \end{aligned} \right\} \quad (3.113)$$

(c) *und in fast allen Punkten  $t \in [t_0, t_1]$  die Maximumbedingung*

$$\begin{aligned} & H^{\mathcal{Z}}[t, u_*(t), u_*(t - \delta_u)] + \chi_{[t_0, t_1 - \delta_u]}(t) \cdot H^{\mathcal{Z}}[t + \delta_u, u_*(t + \delta_u), u_*(t)] \\ & = \max_{u \in U} \left\{ H^{\mathcal{Z}}[t, u, u_*(t - \delta_u)] + \chi_{[t_0, t_1 - \delta_u]}(t) \cdot H^{\mathcal{Z}}[t + \delta_u, u_*(t + \delta_u), u] \right\} \end{aligned} \quad (3.114)$$

*erfüllt sind.*

Die Optimalitätsbedingungen für die Aufgabe mit Zustandsbeschränkungen in Theorem 3.17 erweisen sich durch das gleichzeitige Auftreten der regulären Borelschen Maße zu den Zeitpunkten  $t$  und  $t + \delta_x$  als sehr komplex. Dadurch gestaltet sich die Auswertung der Bedingungen in Theorem 3.17 mehr als “nur” schwierig.

Die Herleitung von Theorem 3.17 bzw. Theorem 3.16 baut wesentlich auf der Annahme (3.108) der kommensurablen Zeitgrößen mit  $k \cdot \Delta = \delta_x$ ,  $\kappa \cdot \Delta = \delta_u$ ,  $(N + 1) \cdot \Delta = t_1 - t_0$ , der Zahl  $\Delta > 0$  und den natürlichen Zahlen  $k, \kappa, N$  auf.

### 3.4.4. Der Beweis des Maximumprinzips

Wir folgen im Weiteren [34] und führen die Aufgabe stückweise auf das “Elementarintervall”  $[t_0, t_0 + \Delta]$  zurück. Es gelte  $(N + 1)\Delta = t_1 - t_0$  mit der Zahl  $\Delta > 0$  aus (3.108). Für  $t \in [t_0, t_0 + \Delta]$  setzen wir zu  $(x(\cdot), u(\cdot)) \in W_\infty^1([t_0, t_1], \mathbb{R}^n) \times L_\infty([t_0, t_1], U)$ :

$$\left. \begin{aligned} \xi_i(t) &= x(t + i\Delta), \quad i = 0, \dots, N, \quad \xi_i(\cdot) \in W_\infty^1([t_0, t_0 + \Delta], \mathbb{R}^n), \\ \omega_i(t) &= u(t + i\Delta), \quad i = 0, \dots, N, \quad \omega_i(\cdot) \in L_\infty([t_0, t_0 + \Delta], U). \end{aligned} \right\} \quad (3.115)$$

Nach (3.115) wird jeder Einschränkung von  $x(\cdot)$  bzw.  $u(\cdot)$  auf eines der Teilintervalle  $I_i = [t_0 + i\Delta, t_0 + (i + 1)\Delta]$ ,  $i = 0, \dots, N$ , eine neue Größe über  $[t_0, t_0 + \Delta]$  zugeordnet:

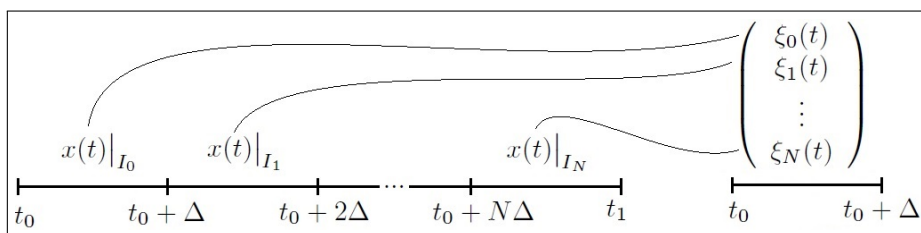


Abbildung 14: Zerlegung der Trajektorien.

Durch die Zeitverzögerungen  $\delta_x$  und  $\delta_u$  entstehen außerdem Variablen zu negativen Indizes. Diese Variablen stellen keine eigentlichen Optimierungsvariablen dar, denn mit den gegebenen Größen  $x_0 \in \mathbb{R}^n$  und  $u_0 \in U$  gelten

$$\xi_i(t) = x_0 \text{ für } i = -k, \dots, -1 \text{ und } \omega_i(t) = u_0 \text{ für } i = -\kappa, \dots, -1. \quad (3.116)$$

Die Stetigkeit von  $x(\cdot)$  über  $[t_0, t_1]$  liefert für die  $\xi_i(\cdot)$  die gekoppelten Randbedingungen

$$\xi_i(t_0 + \Delta) = \xi_{i+1}(t_0) \quad \Leftrightarrow \quad \xi_{i+1}(t_0) - \xi_i(t_0 + \Delta) = 0 \quad \text{für } i = 0, \dots, N - 1.$$

Die Umkehrung von (3.115) ergibt die Zusammenhänge

$$x(t) = \xi_i(t - i\Delta), \quad u(t) = \omega_i(t - i\Delta) \quad \text{für } t \in [t_0 + i\Delta, t_0 + (i + 1)\Delta] \text{ und } i = 0, \dots, N,$$

sowie die “Wiederherstellung” der Eingangsfunktionen über  $[t_0, t_1]$  durch

$$\left. \begin{aligned} x(t) &= \sum_{i=0}^N \chi_{[t_0+i\Delta, t_0+(i+1)\Delta]}(t) \cdot \xi_i(t - i\Delta), \\ u(t) &= \sum_{i=0}^N \chi_{[t_0+i\Delta, t_0+(i+1)\Delta]}(t) \cdot \omega_i(t - i\Delta). \end{aligned} \right\} \quad (3.117)$$

Trotz der abgeschlossenen Teilintervalle wird  $x(\cdot)$  in den inneren Nahtstellen  $t = t_0 + i\Delta$  durch die gekoppelten Randbedingungen eindeutig und stetig festgelegt. Für die messbare Steuerung  $u(\cdot)$  ist die Setzung in den Nahtstellen ohne Bedeutung.

Wir fassen  $\xi_0(\cdot), \dots, \xi_N(\cdot)$  und  $\omega_0(\cdot), \dots, \omega_N(\cdot)$  zu den Vektorfunktionen

$$(\xi(\cdot), \omega(\cdot)) \in W_\infty^1([t_0, t_0 + \Delta], \mathbb{R}^{n \cdot (N+1)}) \times L_\infty([t_0, t_0 + \Delta], U^{N+1}), \quad U^{N+1} = \underbrace{U \times \dots \times U}_{(N+1)\text{-mal}}$$

zusammen. Auf diese Weise erhalten wir anstelle von (3.103)–(3.107) die Aufgabe

$$\left. \begin{aligned} \tilde{J}(\xi(\cdot), \omega(\cdot)) &= \int_{t_0}^{t_0+\Delta} \left( \sum_{i=0}^N f(t+i\Delta, \xi_i(t), \xi_{i-k}(t), \omega_i(t), \omega_{i-\kappa}(t)) \right) dt \rightarrow \inf, \\ \dot{\xi}_i(t) &= \varphi(t+i\Delta, \xi_i(t), \xi_{i-k}(t), \omega_i(t), \omega_{i-\kappa}(t)), \quad i=0, \dots, N, \\ \xi_0(t_0) &= x_0, \quad \xi_N(t_0+\Delta) = x_1, \quad \xi_{i+1}(t_0) - \xi_i(t_0+\Delta) = 0, \quad i=0, \dots, N-1, \\ \omega(t) &= (\omega_0(t), \dots, \omega_N(t)) \in U^{N+1}, \quad U \subseteq \mathbb{R}^m, \quad U \neq \emptyset, \\ g_j(t+i\Delta, \xi_i(t), \xi_{i-k}(t)) &\leq 0 \quad \text{für alle } t \in [t_0, t_0+\Delta], \quad j=1, \dots, l, \quad i=0, \dots, N. \end{aligned} \right\} \quad (3.118)$$

In (3.118) führen wir folgende Abbildungen ein:

$$\begin{aligned} \tilde{f}(t, \xi(t), \omega(t)) &= \sum_{i=0}^N f(t+i\Delta, \xi_i(t), \xi_{i-k}(t), \omega_i(t), \omega_{i-\kappa}(t)), \\ \tilde{\varphi}(t, \xi(t), \omega(t)) &= \begin{pmatrix} \varphi(t, \xi_0(t), \xi_{-k}(t), \omega_0(t), \omega_{-\kappa}(t)) \\ \varphi(t+\Delta, \xi_1(t), \xi_{1-k}(t), \omega_1(t), \omega_{1-\kappa}(t)) \\ \vdots \\ \varphi(t+N\Delta, \xi_N(t), \xi_{N-k}(t), \omega_N(t), \omega_{N-\kappa}(t)) \end{pmatrix}, \\ \tilde{h}(\xi(t_0), \xi(t_1)) &= \begin{pmatrix} \xi_0(t_0) - x_0 \\ \xi_1(t_0) - \xi_0(t_0+\Delta) \\ \vdots \\ \xi_N(t_0) - \xi_{N-1}(t_0+\Delta) \\ x_1 - \xi_N(t_0+\Delta) \end{pmatrix}, \\ \tilde{g}_{ij}(t, \xi(t)) &= g_j(t+i\Delta, \xi_i(t), \xi_{i-k}(t)), \quad i=0, \dots, N, \quad j=1, \dots, l. \end{aligned}$$

So erhält (3.118) die Gestalt der Aufgabe (3.1)–(3.5):

$$\tilde{J}(\xi(\cdot), \omega(\cdot)) = \int_{t_0}^{t_0+\Delta} \tilde{f}(t, \xi(t), \omega(t)) dt \rightarrow \inf, \quad (3.119)$$

$$\dot{\xi}(t) = \tilde{\varphi}(t, \xi(t), \omega(t)), \quad (3.120)$$

$$\tilde{h}(\xi(t_0), \xi(t_0+\Delta)) = 0, \quad (3.121)$$

$$\omega(t) \in U^{N+1}, \quad U \subseteq \mathbb{R}^m, \quad U \neq \emptyset, \quad (3.122)$$

$$\tilde{g}_{ij}(t, \xi(t)) \leq 0 \quad \text{für alle } t \in [t_0, t_0+\Delta], \quad i=0, \dots, N, \quad j=1, \dots, l. \quad (3.123)$$

In dieser Aufgabenstellung sind  $\xi_{-k}(\cdot), \dots, \xi_{-1}(\cdot), \omega_{-\kappa}(\cdot), \dots, \omega_{-1}(\cdot)$  enthalten, die weiterhin keine echten Optimierungsgrößen darstellen, sondern durch (3.116) bereits festgelegt sind.

Die Pontrjagin-Funktion  $\tilde{H}(t, \xi, w, \tilde{p}, \lambda_0)$ ,  $\tilde{p} = (\tilde{p}_0, \dots, \tilde{p}_N)^T$ , besitzt die Gestalt

$$\begin{aligned} \tilde{H}(t, \xi, w, \tilde{p}, \lambda_0) &= \langle \tilde{p}, \tilde{\varphi}(t, \xi, w) \rangle - \lambda_0 \tilde{f}(t, \xi, w) \\ &= \sum_{i=0}^N \left( \underbrace{\langle \tilde{p}_i, \varphi(t + i\Delta, \xi_i, \xi_{i-k}, \omega_i, \omega_{i-k}) \rangle - \lambda_0 f(t + i\Delta, \xi_i, \xi_{i-k}, \omega_i, \omega_{i-k})}_{=\tilde{H}_i(t, \xi_i, \xi_{i-k}, \omega_i, \omega_{i-k}, \tilde{p}_i, \lambda_0)} \right). \end{aligned} \quad (3.124)$$

Ist  $(\xi_*(\cdot), \omega_*(\cdot))$  ein starkes lokales Minimum in (3.119)–(3.122), dann existieren nach Theorem 3.2 nicht gleichzeitig verschwindende Multiplikatoren  $\lambda_0 \geq 0$ , die adjungierte Funktion  $\tilde{p}(\cdot) = (\tilde{p}_0(\cdot), \dots, \tilde{p}_N(\cdot))^T$  mit  $\tilde{p}_0(\cdot), \dots, \tilde{p}_N(\cdot) \in W_\infty^1([t_0, t_0 + \Delta], \mathbb{R}^n)$  und der Vektor  $\tilde{l} = (l_0, \tilde{l}_0, \dots, \tilde{l}_{N-1}, l_1)^T$  mit  $l_0, \dots, l_1 \in \mathbb{R}^n$  derart, dass die adjungierte Gleichung

$$\dot{\tilde{p}}(t) = -\tilde{H}_\xi(t, \xi_*(t), w_*(t), \tilde{p}(t), \lambda_0), \quad (3.125)$$

mit der Abbildung  $\tilde{h} = \tilde{h}(\xi^0, \xi^1)$  in (3.121), deren Ableitungen  $\tilde{h}_{\xi^0}$  und  $\tilde{h}_{\xi^1}$  Diagonalmatrizen mit Eintragungen aus dem  $\mathbb{R}^n$  sind, die Transversalitätsbedingungen

$$\left. \begin{aligned} \tilde{p}(t_0) &= \tilde{h}_{\xi^0}^T(\xi_*(t_0), \xi_*(t_0 + \Delta))\tilde{l} = (l_0, \tilde{l}_0, \dots, \tilde{l}_{N-1}, 0)^T, \\ \tilde{p}(t_0 + \Delta) &= -\tilde{h}_{\xi^1}^T(\xi_*(t_0), \xi_*(t_0 + \Delta))\tilde{l} = (0, \tilde{l}_0, \dots, \tilde{l}_{N-1}, l_1)^T \end{aligned} \right\} \quad (3.126)$$

und für fast alle  $t \in [t_0, t_1]$  die Maximumbedingung

$$\tilde{H}(t, \xi_*(t), w_*(t), \tilde{p}(t), \lambda_0) = \max_{\omega \in U^{N+1}} \tilde{H}(t, \xi_*(t), w, \tilde{p}(t), \lambda_0) \quad (3.127)$$

erfüllt sind.

Zum weiteren Vorgehen geben wir die Bedingungen (3.125)–(3.127) für alle Komponenten zu den Indizes  $i = 0, \dots, N$  explizit an. Dazu führen wir mit Hilfe von (3.124) folgende abkürzenden Bezeichnungen ein:

$$\begin{aligned} \tilde{H}_i[t] &= \tilde{H}_i(t, \xi_i^*(t), \xi_{i-k}^*(t), \omega_i^*(t), \omega_{i-k}^*(t), \tilde{p}_i(t), \lambda_0), \\ \tilde{H}_i[t, u, v] &= \tilde{H}_i(t, \xi_i^*(t), \xi_{i-k}^*(t), u, v, \tilde{p}_i(t), \lambda_0). \end{aligned}$$

Bezüglich der einzelnen Zustandsvariablen  $\xi_0, \dots, \xi_N$  führt die adjungierte Gleichung (3.125) zu dem System

$$\dot{\tilde{p}}_i(t) = -\tilde{H}_{i, \xi_i}[t] - \chi_{\{0, \dots, N-k\}}(i+k) \cdot \tilde{H}_{i+k, \xi_i}[t], \quad i = 0, \dots, N. \quad (3.128)$$

Darin ist zu beachten, dass sich die Indizes  $i$  bzw.  $i+k$  auf verschiedene Teilintervalle über dem Intervall  $[t_0, t_1]$  und dass sich die Ableitungen  $\tilde{H}_{i, \xi_i}[t]$  und  $\tilde{H}_{i+k, \xi_i}[t]$  nach der Variable  $\xi_i$  auf verschiedene Variablenpositionen beziehen.

Die Transversalitätsbedingungen (3.126) ergeben die Kopplungen

$$\tilde{p}_0(t_0 + \Delta) = \tilde{p}_1(t_0) = \tilde{l}_0, \dots, \tilde{p}_{N-1}(t_0 + \Delta) = \tilde{p}_N(t_0) = \tilde{l}_{N-1}, \quad (3.129)$$

sowie die zusätzlichen Bedingungen

$$\tilde{p}_0(t_0) = l_0, \quad \tilde{p}_N(t_0 + \Delta) = l_1. \quad (3.130)$$

Wir wählen einen Index  $i \in \{0, \dots, N\}$  und betrachten  $\omega(i) \in U^{N+1}$  mit  $\omega_j(i) = \omega_j^*$  für  $j \neq i$ . So führt die Maximumbedingung (3.127) auf die Beziehung

$$\begin{aligned} & \tilde{H}_i[t, \omega^*, \omega_{i-\kappa}^*(t)] + \chi_{\{0, \dots, N-\kappa\}}(i + \kappa) \cdot \tilde{H}_{i+\kappa}[t, \omega_{i+\kappa}^*(t), \omega^*] \\ &= \max_{\omega \in U} \left\{ \tilde{H}_i[t, \omega, \omega_{i-\kappa}^*(t)] + \chi_{\{0, \dots, N-\kappa\}}(i + \kappa) \cdot \tilde{H}_{i+\kappa}[t, \omega_{i+\kappa}^*(t), \omega] \right\}, \end{aligned} \quad (3.131)$$

die für jeden Index  $i \in \{0, \dots, N\}$  und fast alle  $t \in [t_0, t_0 + \Delta]$  gültig ist.

Zum Beweis von Theorem 3.16 müssen die Ergebnisse der Aufgabe (3.119)–(3.122) auf die Aufgabe (3.103)–(3.106) zurückgeführt werden. Durch die Umkehrung (3.117) lassen sich die Steuerungsprozesse  $(x(\cdot), u(\cdot))$  der Aufgabe (3.103)–(3.106) und  $(\xi(\cdot), \omega(\cdot))$  der Aufgabe (3.119)–(3.122) einander zuordnen. In gleicher Weise verfahren wir mit den Adjungierten und den Pontrjagin-Funktionen:

$$\begin{aligned} p(t) &= \sum_{i=0}^N \chi_{[t_0+i\Delta, t_0+(i+1)\Delta]}(t) \cdot \tilde{p}_i(t - i\Delta), \\ H^Z[t] &= \sum_{i=0}^N \chi_{[t_0+i\Delta, t_0+(i+1)\Delta]}(t) \cdot \tilde{H}_i[t - i\Delta]. \end{aligned}$$

In den inneren Nahtstellen  $t_0 + i\Delta$  ist  $p(\cdot)$  durch die Kopplungsbedingungen (3.129) eindeutig festgelegt. Weiterhin ist zu beachten, dass der Steuerungsprozess  $(\xi(\cdot), \omega(\cdot))$  in  $\tilde{H}_i[t, u, v]$  einfließt, während  $(x(\cdot), u(\cdot))$  in  $H[t, u, v]$  berücksichtigt wird.

Wir verwenden nun diese Zuordnungen zwischen den Steuerungsprozessen  $(x_*(\cdot), u_*(\cdot))$  und  $(\xi_*(\cdot), \omega_*(\cdot))$ . Ferner beachten wir (3.108), d. h.  $k \cdot \Delta = \delta_x$  und  $\kappa \cdot \Delta = \delta_u$ . Außerdem erinnern wir an die Bezeichnungen  $f = f(t, x, y, u, v)$  und  $\varphi = \varphi(t, x, y, u, v)$  der Variablen der Abbildungen  $f$  und  $\varphi$  in der Aufgabe (3.103)–(3.106), die zu den Ableitungen  $H_x^Z$  und  $H_y^Z$  der Pontrjagin-Funktion  $H^Z$  anstelle der Ableitungen  $\tilde{H}_{i, \xi_i}$  und  $\tilde{H}_{i+k, \xi_i}$  der Pontrjagin-Funktion  $\tilde{H}$  der Aufgabe (3.103)–(3.106) führen. Zu alledem beziehen sich die Indizes  $i$  bzw.  $i + k$  auf verschiedene Teilintervalle über dem Intervall  $[t_0, t_1]$ . Diese Sachverhalte sind in der Abbildung 15 dargestellt.

Es ergibt sich also, dass die Funktion  $p(\cdot)$  aufgrund von (3.128) in jedem Teilintervall  $(t_0 + i\Delta, t_0 + (i + 1)\Delta)$  die verallgemeinerte Ableitung

$$\dot{p}(t) = -H_x^Z[t] - \chi_{[0, T-\delta_x]}(t) \cdot H_y^Z[t + \delta_x]$$

besitzt, aufgrund der Bedingungen (3.129) in den Stellen  $t = t_0 + i\Delta$  für  $i = 1, \dots, N$  stetig ist (also dem Raum  $W_\infty^1([t_0, t_1], \mathbb{R}^n)$  angehört) und nach (3.130) die Bedingungen

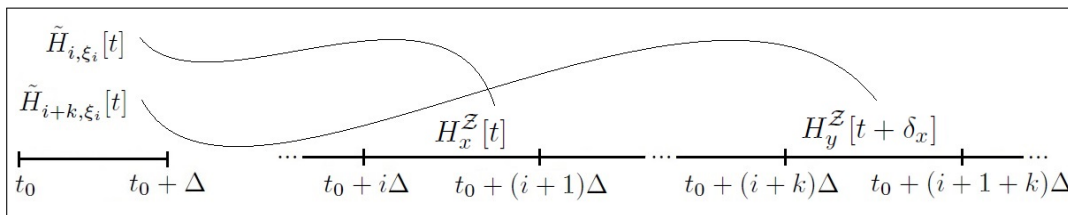


Abbildung 15: Zuordnungen der Pontrjagin-Funktionen.

$p(t_0) = l_0$  und  $p(t_1) = l_1$  erfüllt. Da ferner die Maximumbedingung (3.131) für jedes  $i \in \{0, \dots, N\}$  erfüllt ist, ergibt sich in jedem Teilintervall  $(t_0 + i\Delta, t_0 + (i+1)\Delta)$  fast überall die Gültigkeit der Beziehung

$$\begin{aligned} & H^Z[t, u_*(t), u_*(t - \delta_u)] + \chi_{[0, T - \delta_u]}(t) \cdot H^Z[t + \delta_u, u_*(t + \delta_u), u_*(t)] \\ &= \max_{u \in U} \left\{ H^Z[t, u, u_*(t - \delta_u)] + \chi_{[0, T - \delta_u]}(t) \cdot H^Z[t + \delta_u, u_*(t + \delta_u), u] \right\}. \end{aligned}$$

Die Verschiebungen um die Verzögerung  $\delta_u$  ergeben sich hierin auf die gleiche Weise wie sie in Abbildung 15 für die Verzögerung  $\delta_x$  dargestellt sind. Zusammenfassend sind über jedem Teilintervall  $(t_0 + i\Delta, t_0 + (i+1)\Delta)$  die adjungierte Gleichung und die Maximumbedingung erfüllt; somit gelten diese Beziehungen fast überall über  $[t_0, t_1]$ . Ferner gehört die Funktion  $p(\cdot)$  dem Raum  $W_\infty^1([t_0, t_1], \mathbb{R}^n)$  an und erfüllt die Randbedingungen  $p(t_0) = l_0, p(t_1) = l_1$ . Damit ist Theorem 3.16 bewiesen.

Wir betrachten nun die Zustandsbeschränkungen (3.123). Es bezeichne:

$$\tilde{g}_{ij}[t] = g_j(t + i\Delta, \xi_i^*(t), \xi_{i-k}^*(t)), \quad i = 0, \dots, N, \quad j = 1, \dots, l.$$

Ist  $(\xi_*(\cdot), \omega_*(\cdot))$  ein starkes lokales Minimum der Aufgabe (3.119)–(3.123), dann gibt es nach Theorem 3.1 auf den Mengen

$$\tilde{T}_{ij} = \{t \in [t_0, t_0 + \Delta] \mid g_{ij}(t, \xi_*(t)) = 0\}, \quad i = 0, \dots, N, \quad j = 1, \dots, l,$$

konzentrierte nichtnegative reguläre Borelsche Maße  $\tilde{\mu}_{ij}$  endlicher Totalvariation derart, dass zu  $i \in \{0, \dots, N\}$  die adjungierte Gleichung die Gestalt

$$\begin{aligned} \tilde{p}_i(t) &= \tilde{p}_i(t_0 + \Delta) + \int_t^{t_0 + \Delta} \tilde{H}_{i, \xi_i}[s] ds - \sum_{j=1}^l \int_t^{t_0 + \Delta} \tilde{g}_{ij, \xi_i}[s] d\tilde{\mu}_{ij}(s) \\ &+ \chi_{\{0, \dots, N-k\}}(i+k) \cdot \left( \int_t^{t_0 + \Delta} \tilde{H}_{i+k, \xi_i}[s] ds - \sum_{j=1}^l \int_t^{t_0 + \Delta} \tilde{g}_{(i+k)j, \xi_i}[s] d\tilde{\mu}_{(i+k)j}(s) \right) \quad (3.132) \end{aligned}$$

besitzt und die Sprung-Transversalitätsbedingungen

$$\begin{aligned}\tilde{p}_i(t_0 + \Delta^-) - \tilde{p}_i(t_0 + \Delta) &= - \sum_{j=1}^l \tilde{\mu}_{ij}(\{t_0 + \Delta\}) \tilde{g}_{ij, \xi_i}[t_0 + \Delta] \\ &\quad - \chi_{\{0, \dots, N-k\}}(i+k) \cdot \sum_{j=1}^l \tilde{\mu}_{(i+k)j}(\{t_0 + \Delta\}) \tilde{g}_{(i+k)j, \xi_i}[t_0 + \Delta], \quad i < N, \\ \tilde{p}_N(t_0 + \Delta^-) - \tilde{p}_N(t_0 + \Delta) &= - \sum_{j=1}^l \tilde{\mu}_{Nj}(\{t_0 + \Delta\}) \tilde{g}_{Nj, \xi_N}[t_0 + \Delta]\end{aligned}$$

gelten. Zur Rückführung über  $[t_0, t_1]$  verfahren wir wie eben und übernehmen die obigen Bezeichnungen, z. B. für  $p[t]$  und  $H^Z[t]$ . Die Sprung-Transversalitätsbedingungen beziehen sich für  $i < N$  auf die inneren Nahtstellen  $t = t_0 + (i+1)\Delta$  des Intervalls  $[t_0, t_1]$ , in denen durch diese Bedingungen Sprungstellen entstehen können. Für  $i = N$  ergibt sich die Transversalitätsbedingung in  $t = t_1$ .

Wir setzen nun bezüglich der Zustandsbeschränkungen für  $j = 1, \dots, l$ :

$$\begin{aligned}g_j[t] &= \sum_{i=0}^N \chi_{[t_0+i\Delta, t_0+(i+1)\Delta)}(t) \cdot \tilde{g}_{ij}[t - i\Delta], \\ \mu_j(t) &= \sum_{i=0}^N \int_{t_0}^t \chi_{[t_0+i\Delta, t_0+(i+1)\Delta)}(s) d\tilde{\mu}_{ij}(s - i\Delta).\end{aligned}$$

In den Abbildungen  $\tilde{g}_{ij}$  ersetzen wir  $\xi_i^*(t)$ ,  $\xi_{i-k}^*(t)$  in den Teilintervallen  $[t_0+i\Delta, t_0+(i+1)\Delta]$  durch  $x_*(t)$  bzw.  $x_*(t - \delta_x)$ . Die Abbildungen  $g_j[\cdot]$  sind dann über  $[t_0, t_1]$  stetig, da sämtliche einfließende Abbildungen in den Anschlusspunkten  $t = t_0 + i\Delta$  stetig sind.

Bezüglich der Maße muss die charakteristische Funktion über dem Abschluss der Teilintervalle betrachtet werden, damit keine atomaren Anteile in den Anschlusspunkten verloren gehen. Die Maße  $\mu_j$  sind damit nichtnegativ und von beschränkter Totalvariation. Ferner verschwindet für  $j \in \{1, \dots, l\}$  das Maß  $\mu_j$  genau dann über  $[t_0, t_1]$ , wenn sämtliche Maße  $\tilde{\mu}_{ij}$  für  $i = 0, \dots, N$  über  $[t_0, t_0 + \Delta]$  verschwinden.

Die Mengen  $\tilde{T}_{ij}$  erhalten bei der Rückführung die Gestalt

$$T_{ij} = \{t \in [t_0 + i\Delta, t_0 + (i+1)\Delta] \mid g_j(t, x_*(t), x_*(t - \delta_x)) = 0\}$$

und wir setzen lediglich noch  $T_j = T_{0j} \cup \dots \cup T_{Nj}$  für  $j = 1, \dots, l$ .

Zusammenfassend gibt es auf den Mengen  $T_j = \{t \in [t_0, t_1] \mid g_j(t, x_*(t), x_*(t - \delta_x)) = 0\}$ ,  $j = 1, \dots, l$ , konzentrierte nichtnegative reguläre Borelsche Maß  $\mu_j$  endlicher Totalvariation derart, dass die Funktion  $p(\cdot)$  von beschränkter Variation und rechtsseitig stetig ist, der adjungierten Gleichung (3.112) genügt und die Transversalitätsbedingungen (3.113) erfüllt. Schließlich ist somit auch Theorem 3.17 nachgewiesen. ■

### 3.4.5. Hinreichende Bedingungen nach Arrow

Die Ableitung von hinreichenden Optimalitätsbedingungen nach Arrow gestaltet sich durch das Auftreten der zeitlichen Verschiebung um  $\delta_x > 0$  schwieriger. Dennoch führt uns das Vorgehen in Abschnitt 2.4.3 zum Ziel. Auf die Betrachtung der Zustandsbeschränkungen (3.107) verzichten wir und konzentrieren uns auf die Behandlung der Terme zu verschiedenen Zeitpunkten.

In der Untersuchung der Aufgabe (3.103)–(3.106) verwenden wir wieder die Menge

$$V_\gamma^{\mathcal{S}}(t) = \{x \in \mathbb{R}^n \mid \|x - x_*(t)\| < \gamma\}$$

aus Abschnitt 2.4.3, sowie die Menge  $V_\gamma^{\mathcal{Z}}(t) = V_\gamma^{\mathcal{S}}(t) \times V_\gamma^{\mathcal{S}}(t - \delta_x)$ , d. h.

$$V_\gamma^{\mathcal{Z}}(t) = \{(x, y) \in \mathbb{R}^n \times \mathbb{R}^n \mid \|x - x_*(t)\| < \gamma, \|y - x_*(t - \delta_x)\| < \gamma\}.$$

Ferner bezeichnet  $\mathcal{H}^{\mathcal{Z}}$  die Hamilton-Funktion

$$\mathcal{H}^{\mathcal{Z}}(t, x, y, p) = \sup_{u, v \in U} H^{\mathcal{Z}}(t, x, y, u, v, p, 1).$$

**Theorem 3.18.** *In der Aufgabe (3.103)–(3.106) sei  $(x_*(\cdot), u_*(\cdot)) \in \mathcal{B}_{\text{adm}}^{\mathcal{Z}} \cap \mathcal{B}_{\text{Lip}}^{\mathcal{Z}}$  und es sei  $p(\cdot) \in W_\infty^1([t_0, t_1], \mathbb{R}^n)$ . Ferner gelte:*

- (a) *Das Tripel  $(x_*(\cdot), u_*(\cdot), p(\cdot))$  erfüllt (3.109)–(3.111) in Theorem 3.16.*
- (b) *Für jedes  $t \in [t_0, t_1]$  ist die Hamilton-Funktion  $\mathcal{H}^{\mathcal{Z}}(t, x, y, p(t))$  konkav auf  $V_\gamma^{\mathcal{Z}}(t)$ .*

*Dann ist  $(x_*(\cdot), u_*(\cdot))$  ein starkes lokales Minimum der Aufgabe (3.103)–(3.106).*

**Beweis** Wie im Abschnitt 2.4.3 folgt, dass  $\alpha_* = -\mathcal{H}^{\mathcal{Z}}(t, x_*(t), x_*(t - \delta_x), p(t))$  ein Randpunkt der konvexen Menge

$$Z = \{(\alpha, x, y) \in \mathbb{R} \times \mathbb{R}^n \times \mathbb{R}^n \mid (x, y) \in V_\gamma^{\mathcal{Z}}(t), \alpha \geq -\mathcal{H}^{\mathcal{Z}}(t, x, y, p(t))\}$$

ist. Daher existiert ein nichttrivialer Vektor  $(a_0(t), a_1(t), a_2(t)) \in \mathbb{R} \times \mathbb{R}^n \times \mathbb{R}^n$  mit

$$a_0(t)\alpha + \langle a_1(t), x \rangle + \langle a_2(t), y \rangle \geq a_0(t)\alpha_* + \langle a_1(t), x_*(t) \rangle + \langle a_2(t), x_*(t - \delta_x) \rangle$$

für alle  $(\alpha, x, y) \in Z$ . Weiterhin ergibt sich für  $y = x_*(t - \delta_x)$  mit der gleichen Argumentation wie in Abschnitt 2.4.3, dass wir ohne Einschränkung  $a_0(t) = 1$  annehmen können und erhalten

$$\begin{aligned} & \langle a_1(t), x - x_*(t) \rangle + \langle a_2(t), y - x_*(t - \delta_x) \rangle \\ & \geq \mathcal{H}^{\mathcal{Z}}(t, x, y, p(t)) - \mathcal{H}^{\mathcal{Z}}(t, x_*(t), x_*(t - \delta_x), p(t)). \end{aligned} \quad (3.133)$$

Aus (3.133) ergeben sich für alle  $x \in V_\gamma^S(t)$  und alle  $y \in V_\gamma^S(t - \delta_x)$  die Relationen

$$\begin{aligned} \langle a_1(t), x - x_*(t) \rangle &\geq \mathcal{H}^Z(t, x, x_*(t - \delta_x), p(t)) - \mathcal{H}^Z(t, x_*(t), x_*(t - \delta_x), p(t)), \\ \langle a_2(t), y - x_*(t - \delta_x) \rangle &\geq \mathcal{H}^Z(t, x_*(t), y, p(t)) - \mathcal{H}^Z(t, x_*(t), x_*(t - \delta_x), p(t)). \end{aligned}$$

In der zweiten Ungleichung nehmen wir eine Zeitverschiebung um  $\delta_x$  vor und überführen den Zeitpunkt  $t$  in  $t + \delta_x$ . Damit gehört  $y$  der Menge  $V_\gamma^S(t)$  an und wir dürfen nach der Verschiebung  $y = x \in V_\gamma^S(t)$  wählen. So ergibt sich für alle  $x \in V_\gamma^S(t)$  die Ungleichung

$$\begin{aligned} &\langle a_1(t) + \chi_{[t_0, t_1 - \delta_x]}(t) \cdot a_2(t + \delta_x), x - x_*(t) \rangle \\ &\geq \mathcal{H}^Z(t, x, x_*(t - \delta_x), p(t)) - \mathcal{H}^Z(t, x_*(t), x_*(t - \delta_x), p(t)) \\ &\quad + \chi_{[t_0, t_1 - \delta_x]}(t) \cdot \left( \mathcal{H}^Z(t + \delta_x, x_*(t + \delta_x), x, p(t + \delta_x)) \right. \\ &\quad \left. - \mathcal{H}^Z(t + \delta_x, x_*(t + \delta_x), x_*(t), p(t + \delta_x)) \right). \end{aligned} \quad (3.134)$$

Es sei in  $t \in [t_0, t_1]$  die Maximumbedingung (3.111) erfüllt. Mit Hilfe der Pontrjagin-Funktion können wir die Ungleichung (3.134) weiterführen und erhalten

$$\begin{aligned} &\geq H^Z(t, x, x_*(t - \delta_x), u_*(t), u_*(t - \delta_x), p(t), 1) - \mathcal{H}^Z(t, x_*(t), x_*(t - \delta_x), p(t)) \\ &\quad + \chi_{[t_0, t_1 - \delta_x]}(t) \cdot \left( H^Z(t + \delta_x, x_*(t + \delta_x), x, u_*(t + \delta_x), u_*(t), p(t + \delta_x), 1) \right. \\ &\quad \left. - \mathcal{H}^Z(t + \delta_x, x_*(t + \delta_x), x_*(t), p(t + \delta_x)) \right) = \Psi(x) \end{aligned} \quad (3.135)$$

für alle  $x \in V_\gamma^S(t)$ . Mit Hilfe der rechten Seite  $\Psi(x)$  von (3.135) bilden wir die Funktion

$$\Phi(x) = \Psi(x) - \langle a_1(t) + \chi_{[t_0, t_1 - \delta_x]}(t) \cdot a_2(t + \delta_x), x - x_*(t) \rangle,$$

welche in dem inneren Punkt  $x_*(t)$  der Menge  $V_\gamma^S(t)$  ihr globales Maximum annimmt. Also gilt  $0 = \Phi'(x_*(t))$ , d. h.

$$\begin{aligned} &-a_1(t) - \chi_{[t_0, t_1 - \delta_x]}(t) \cdot a_2(t + \delta_x) \\ &= -H_x^Z(t, x_*(t), x_*(t - \delta_x), u_*(t), u_*(t - \delta_x), p(t), 1) \\ &\quad - \chi_{[t_0, t_1 - \delta_x]}(t) \cdot H_y^Z(t + \delta_x, x_*(t + \delta_x), x_*(t), u_*(t + \delta_x), u_*(t), p(t + \delta_x), 1). \end{aligned} \quad (3.136)$$

Die adjungierte Gleichung (3.109) zeigt nun

$$\dot{p}(t) = -a_1(t) - \chi_{[t_0, t_1 - \delta_x]}(t) \cdot a_2(t + \delta_x) \quad \text{für fast alle } t \in [t_0, t_1]. \quad (3.137)$$

Es sei  $(x(\cdot), u(\cdot)) \in \mathcal{B}_{\text{adm}}^{\mathcal{Z}}$  mit  $\|x(\cdot) - x_*(\cdot)\|_{\infty} < \gamma$ . Wir erhalten mit (3.133) und (3.137):

$$\begin{aligned}
& \int_{t_0}^{t_1} [H^{\mathcal{Z}}(t, x_*(t), x_*(t - \delta_x), u_*(t), u_*(t - \delta_x), p(t), 1) \\
& \quad - H^{\mathcal{Z}}(t, x(t), x(t - \delta_x), u(t), u(t - \delta_x), p(t), 1)] dt \\
&= \int_{t_0}^{t_1} [\mathcal{H}^{\mathcal{Z}}(t, x_*(t), x_*(t - \delta_x), p(t)) - H^{\mathcal{Z}}(t, x(t), x(t - \delta_x), u(t), u(t - \delta_x), p(t), 1)] dt \\
&\geq \int_{t_0}^{t_1} [\mathcal{H}^{\mathcal{Z}}(t, x_*(t), x_*(t - \delta_x), p(t)) - \mathcal{H}^{\mathcal{Z}}(t, x(t), x(t - \delta_x), p(t))] dt \\
&\geq \int_{t_0}^{t_1} (\langle -a_1(t), x(t) - x_*(t) \rangle + \langle -a_2(t), x(t - \delta_x) - x_*(t - \delta_x) \rangle) dt \\
&= \int_{t_0}^{t_1} \underbrace{\langle -a_1(t) - \chi_{[t_0, t_1 - \delta_x]}(t) \cdot a_2(t + \delta_x), x(t) - x_*(t) \rangle}_{=\dot{p}(t)} dt.
\end{aligned}$$

Abschließend können wir festhalten:

$$\begin{aligned}
J(x(\cdot), u(\cdot)) - J(x_*(\cdot), u_*(\cdot)) &= \int_{t_0}^{t_1} [f(t, x(t), x(t - \delta_x), u(t), u(t - \delta_x)) \\
& \quad - f(t, x_*(t), x_*(t - \delta_x), u_*(t), u_*(t - \delta_x))] dt \\
&= \int_{t_0}^{t_1} [H^{\mathcal{Z}}(t, x_*(t), x_*(t - \delta_x), u_*(t), u_*(t - \delta_x), p(t), 1) \\
& \quad - H^{\mathcal{Z}}(t, x(t), x(t - \delta_x), u(t), u(t - \delta_x), p(t), 1)] dt \\
& \quad + \int_{t_0}^{t_1} \langle p(t), \dot{x}(t) - \dot{x}_*(t) \rangle dt \\
&\geq \int_{t_0}^{t_1} [\langle \dot{p}(t), x(t) - x_*(t) \rangle + \langle p(t), \dot{x}(t) - \dot{x}_*(t) \rangle] dt \\
&= \langle p(t_1), x(t_1) - x_*(t_1) \rangle - \langle p(t_0), x(t_0) - x_*(t_0) \rangle \geq 0
\end{aligned}$$

für alle  $(x(\cdot), u(\cdot)) \in \mathcal{B}_{\text{adm}}^{\mathcal{Z}}$  mit  $\|x(\cdot) - x_*(\cdot)\|_{\infty} < \gamma$ . ■

**Beispiel 3.19.** Die Hamilton-Funktion im Beispiel 3.15,

$$\mathcal{H}^{\mathcal{Z}}(t, K, L, u, v, p) = \sup_{u, v \in [0, 1]} \{pvL + (1 - u)K\} = pL + K,$$

ist für  $p, K, L \geq 0$  konkav und die notwendigen Optimalitätsbedingungen sind in diesem Beispiel gleichzeitig hinreichend. □

### 3.4.6. Optimale Steuerung einer Chemoimmuntherapie

Eine Chemoimmuntherapie ist die Kombination von Chemotherapie und Immuntherapie. Bei einer Chemotherapie verwendet man verschiedene Medikamente (Zytostatika), um Krebszellen abzutöten oder das Wachstum der Krebszellen zu verlangsamen. Bei der Behandlung bösartiger Tumorerkrankungen nutzen die meisten Zytostatika die schnelle Teilungsfähigkeit der Tumorzellen, da diese empfindlicher als gesunde Zellen auf Störungen der Zellteilung reagieren. Auf gesunde Zellen mit ähnlich guter Teilungsfähigkeit üben sie allerdings eine ähnliche Wirkung aus, wodurch sich Nebenwirkungen wie Haarausfall oder Durchfall einstellen können. Immuntherapien beinhalten Behandlungen, die das Immunsystem im Kampf gegen Krebs stimulieren oder stärken. Effektorzellen wie B-Lymphozyten (kurz B-Zellen) gehören zu den Leukozyten (weiße Blutkörperchen), die Plasmazellen bilden, die wiederum Antikörper bilden.

Das folgende Model wurde von Rihan et. al. [63] vorgeschlagen. Die folgenden numerischen Untersuchungen wurden von Göllmann & Maurer in [33] unternommen. Im Rahmen des Modells treten die folgenden Größen auf:

Variable	Beschreibung
$E$	Konzentration der Effektorzellen (B-Zellen)
$K$	Konzentration der Krebszellen
$G$	Konzentration der gesunden Zellen
$Z$	Konzentration der Zytostatika der Chemotherapie
$u_1$	Dosierung der Chemotherapie
$u_2$	Dosierung der Immuntherapie zur Bildung von Effektorzellen

Die Dynamik der Therapie besteht aus dem nachstehenden nicht-linearen Differentialgleichungssystem, in dem die Entwicklungen der verschiedenen Zellpopulationen miteinander verknüpft sind:

$$\begin{aligned}\dot{E}(t) &= \sigma + \left( \frac{\varrho}{\eta + K(t - \Delta)} - \mu_E \right) E(t - \Delta) K(t - \Delta) \\ &\quad - (\vartheta + a_1(1 - e^{-Z(t)})) E(t) + r_1 u_2(t - \delta), \\ \dot{K}(t) &= \left( r_2(1 - \beta_K K(t)) - n_K E(t) - c_1 G(t) - a_2(1 - e^{-Z(t)}) \right) K(t), \\ \dot{G}(t) &= \left( r_3(1 - \beta_G G(t)) - c_2 K(t) - a_3(1 - e^{-Z(t)}) \right) G(t), \\ \dot{Z}(t) &= u_1(t) - dZ(t).\end{aligned}$$

Im Vergleich zu [63] beinhaltet die Gleichung für  $E(\cdot)$  nach [33] die verzögerte Steuerung  $u_2(t - \delta)$ , da das menschliche Immunsystem auf die Immuntherapie mit einer gewissen Verzögerung reagiert. Ferner ist in dem verzögerten Differentialgleichungssystem die realistische Annahme getroffen, dass vor Beginn der Immuntherapie keine extern erwirkte Bildung von Effektorzellen vorliegt, d. h.  $u_2(t) = 0$  für  $t < 0$  ist.

Den Erwartungen entsprechend besteht das Ziel einer Chemoimmuntherapie in der Minimierung der Krebszellenpopulation. Gleichzeitig muss aber der Einsatz der Chemo- und

Immuntherapie einbezogen werden, sowie die Bildung der Effektorzellen.

In [33] wird die Minimierung des Zielfunktional

$$J_1 = \int_0^T (K(t) - E(t) + B_1 u_1(t) + B_2 u_2(t)) dt \rightarrow \inf$$

vorgeschlagen und anschließend die Ergebnisse beim Einsatz des Funktional

$$J_2 = \int_0^T (K(t) - E(t) + B_1 u_1^2(t) + B_2 u_2^2(t)) dt \rightarrow \inf,$$

welches in [63] Anwendung findet, verglichen.

Die numerische Auswertung in [33] basiert auf folgenden Parameterwerten:

Parameter	Beschreibung	Parameterwerte
$T$	Dauer der Therapie	30 Tage
$(E_0, K_0, G_0, Z_0)$	Anfangsbedingungen	(0,3; 300; 0,9; 0,0)
$\Delta$	Verzögerung der Zustände $E, K$	1,5 Tage
$\delta$	Verzögerung der Steuerung $u_2$	3,0 Tage
$U$	Steuerbereich für $u_1$ und $u_2$	[0, 1]
$(a_1, a_2, a_3)$	Reaktion auf die Zellsterberate	(0,2; 0,4; 0,1)
$(\beta_K, \beta_G)$	gegenseitige Tragfähigkeit von Krebszellen und gesunden Zellen	(0,002; 1,0)
$(c_1, c_2)$	Skalierungsparameter	$(3 \cdot 10^{-5}, 3 \cdot 10^{-8})$
$d$	Medikamentenabbaurate	0,01
$\vartheta$	Absterberate der Immunzellen	0,2
$\eta$	Anstieg der Immunantwort	0,3
$\mu_E$	Reduktionsrate der uninfizierten Effektorzellen	0,003611
$(\sigma, \rho)$	Zuwachs- und Abnahmerate der Immunzellen	(0,2; 0,2)
$(r_1, r_2, r_3)$	Zellwachstumsfaktoren	(0,3; 1,03; 1,0)
$n_K$	Abnahmerate der immunen Effektorzellen	1,0
$(B_1, B_2)$	Bewertungsfaktoren	(5; 10)

Während die Optimierung bezüglich  $J_2$  stetige Steuerungen  $u_1(\cdot)$ ,  $u_2(\cdot)$  liefert, führt die Optimierung bezüglich dem Kriterium  $J_1$  zu “bang-bang” Steuerungen. Die numerischen Lösungen in [33] im unverzögerten Problem ( $\Delta = \delta = 0$  Tage) bzw. im verzögerten Problem ( $\Delta = 1,5$  Tage,  $\delta = 3,0$  Tage) sind in den Abbildungen 16 und 17 dargestellt.

Die Steuerungen  $u_1(\cdot)$  und  $u_2(\cdot)$  in den Abbildungen 16 und 17 implizieren eine blockweise Verabreichung der Medikamente bzw. eine Impulstherapie (therapeutischer “Impuls” durch kurze Gabe eines Medikamentes); die Dosierungen  $u_1(\cdot)$ ,  $u_2(\cdot)$  spiegeln damit die gängige medizinische Praxis wider.

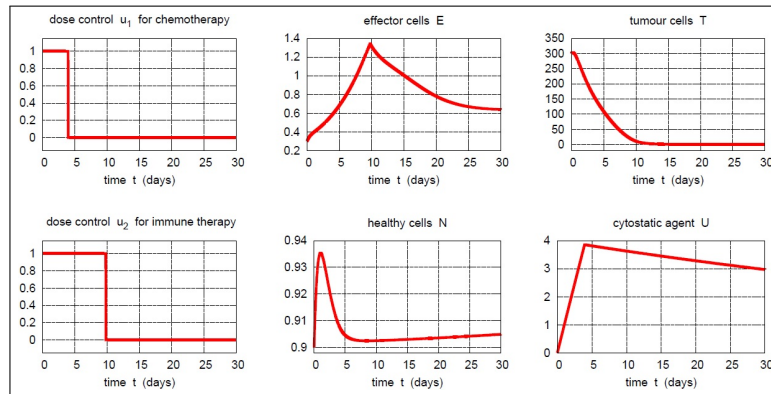


Abbildung 16: Darstellung der optimalen Lösung in [33] im unverzögerten Problem.

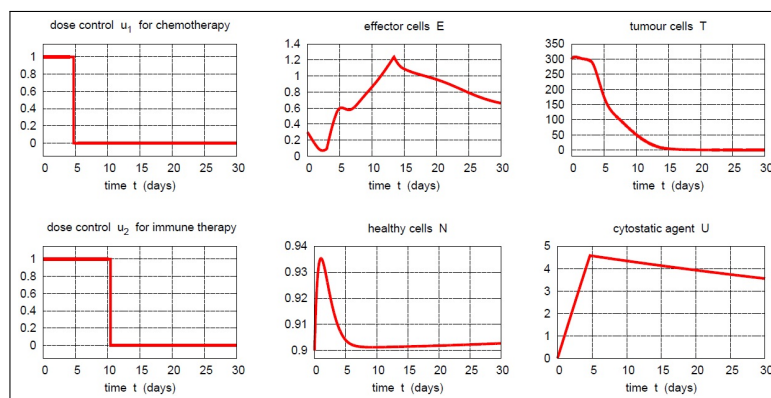


Abbildung 17: Darstellung der optimalen Lösung in [33] im verzögerten Problem.

### 3.5. Differentialspiele

In vielen Problemstellungen sind verschiedene Entscheidungsträger involviert, deren Interessen nicht im Einklang stehen müssen. Eine derartige Situation bezeichnet man als mathematisches Spiel. Unterliegen die Zielkriterien der Konfliktgruppen dynamischen Nebenbedingungen, so spricht man von einem Differentialspiel.

Als Wegbereiter der Differentialspiele gilt Rufus Isaacs (1914–1981), dessen Untersuchungen von Differentialspielen bei der Rand Corporation begannen und erste Ergebnisse in der Arbeit [46] im Jahr 1951 angegeben sind.

Die Entwicklung der Differentialspiele erfolgte unabhängig vom Pontrjaginschen Maximumprinzip. Vielfach werden Differentialspiele, in denen anstatt einem mehrere Entscheidungsträger agieren, als Verallgemeinerung von Steuerungsproblemen angesehen (vgl. [26]). Erst nach der Veröffentlichung der Monographie [47] von Isaacs (1963) wurde man sich der Verbindung zwischen dynamischen Spielen und der Steuerungstheorie bewusst.

Wir betrachten ein dynamisches Spiel, in dem die Steuerungen  $u_1(\cdot)$  und  $u_2(\cdot)$  die Einflussnahmen durch den ersten bzw. zweiten Spieler wiedergeben. Wir gelangen zur Spielsituation durch das Hinzufügen eines weiteren Zielfunktional in der Standardaufgabe:

$$J_1(x(\cdot), u_1(\cdot), u_2(\cdot)) = \int_{t_0}^{t_1} f_1(t, x(t), u_1(t), u_2(t)) dt \rightarrow \inf,$$

$$J_2(x(\cdot), u_1(\cdot), u_2(\cdot)) = \int_{t_0}^{t_1} f_2(t, x(t), u_1(t), u_2(t)) dt \rightarrow \inf,$$

$$\dot{x}(t) = \varphi(t, x(t), u_1(t), u_2(t)), \quad x(t_0) = x_0, \quad x(t_1) = x_1, \quad u_1(t) \in U_1, \quad u_2(t) \in U_2.$$

Ein Lösungskonzept zur Behandlung eines solchen Spiels ist das Nash-Gleichgewicht für nichtkooperative Spiele. Neben diesem existieren weitere Gleichgewichtskonzepte.

Beispielsweise besitzt bei einem Stackelberg-Gleichgewicht ein Spieler eine dominante Verhandlungsposition ("Stackelbergführer"), während der andere Spieler ("Stackelbergfolger") die bestmögliche Antwort aus der unterlegenen Position heraus finden muss. Der Stackelbergführer muss bei seiner Entscheidungsfindung die Antwort nach Nachfolgers berücksichtigen, denn die einseitige Optimierung kann im Extremfall zu einer destruktiven Antwort führen.

In unserem Differentialspiel ist ein Nash-Gleichgewicht ein Tripel  $(x^*(\cdot), u_1^*(\cdot), u_2^*(\cdot))$  mit

$$J_1(x^*(\cdot), u_1^*(\cdot), u_2^*(\cdot)) = \min_{(x(\cdot), u_1(\cdot))} J_1(x(\cdot), u_1(\cdot), u_2^*(\cdot)),$$

$$J_2(x^*(\cdot), u_1^*(\cdot), u_2^*(\cdot)) = \min_{(x(\cdot), u_2(\cdot))} J_2(x(\cdot), u_1^*(\cdot), u_2(\cdot)).$$

Befindet sich also das Spiel im Nash-Gleichgewicht  $(x^*(\cdot), u_1^*(\cdot), u_2^*(\cdot))$ , so hat kein Spieler einen Anreiz seine Strategie zu ändern, denn das bestmögliche Ergebnis zur Strategie des Konkurrenten wurde gefunden.

Ausführlich geschrieben ist das Nash-Gleichgewicht ein System von zwei gekoppelten Steuerungsproblemen. Für den ersten Spieler ergibt sich das Steuerungsproblem

$$J_1(x(\cdot), u_1(\cdot), u_2^*(\cdot)) = \int_{t_0}^{t_1} f_1(t, x(t), u_1(t), u_2^*(t)) dt \rightarrow \inf,$$

$$\dot{x}(t) = \varphi(t, x(t), u_1(t), u_2^*(t)), \quad x(t_0) = x_0, \quad x(t_1) = x_1, \quad u_1(t) \in U_1$$

bei gegebener Strategie  $u_2^*(\cdot)$  des zweiten Spielers; entsprechend für den zweiten Spieler:

$$J_2(x(\cdot), u_1^*(\cdot), u_2(\cdot)) = \int_{t_0}^{t_1} f_2(t, x(t), u_1^*(t), u_2(t)) dt \rightarrow \inf,$$

$$\dot{x}(t) = \varphi(t, x(t), u_1^*(t), u_2(t)), \quad x(t_0) = x_0, \quad x(t_1) = x_1, \quad u_2(t) \in U_2.$$

Formal sind die Abbildungen  $f_1(t, x, u_1, u_2^*(t))$ ,  $f_2(t, x, u_1^*(t), u_2)$  und  $\varphi(t, x, u_1, u_2^*(t))$ ,  $\varphi(t, x, u_1^*(t), u_2)$  nicht stetig bezüglich der Variable  $t$  und verletzen die Anforderungen an die Standardaufgabe in den ersten Kapiteln. Sind die Steuerungen  $u_1^*(\cdot)$  und  $u_2^*(\cdot)$  zumindest stückweise stetig, so bleiben die Optimalitätsbedingungen in Form des Schwachen Optimalitätsprinzips und des Pontrjaginschen Maximumprinzips gültig.

### 3.5.1. Kapitalismusspiel

Wir betrachten ein Differentialspiel zwischen Arbeitern und Unternehmern. Beide Parteien sind bestrebt ihr Konsumverlangen zu befriedigen. Zudem zeichnen sich die Unternehmer für Investitionen verantwortlich. Für die Arbeiter stellt sich dabei das Problem, inwieweit sie den produzierten Ertrag konsumieren oder den Unternehmern überlassen sollen, damit eine künftige hohe Güterproduktion ermöglicht wird, von der auch die Arbeiter wieder profitieren. Das Dilemma, das sich dem Arbeiter stellt, ist, dass sie keine Garantien über ausreichende Neuinvestitionen seitens der Unternehmer haben.

Die Unternehmer stehen ihrerseits vor der Frage, wie sie mit dem verbliebenen Teil des Ertrages, der nicht dem Arbeiter zugesprochen wird, umgehen: Sollen sie diesen investieren oder konsumieren?

Die Spielsituation entsteht dadurch, dass der Nutzen für den Arbeiter und den Unternehmern durch den aufgeteilten Ertrag miteinander gekoppelt ist. D. h. der Gewinn eines jeden Spielers hängt von der Entscheidung des anderen Spielers ab.

In diesem Modell werden die Geld- und Güterwerte im Kapitalstock  $K(\cdot)$  zusammengefasst. Weiter bezeichne  $u(t)$  denjenigen relativen Anteil an der Produktion, der dem Arbeiter zum Zeitpunkt  $t$  zugesprochen wird. Von dem verbliebenen Teil kann der Unternehmer mit der Rate  $v(t)$  zur Zeit  $t$  investieren. Mit den Zielfunktionalen  $W$  bzw.  $C$  für den Arbeiter bzw. Unternehmer entsteht damit die folgende Aufgabe

$$J^W(K(\cdot), u(\cdot), v(\cdot)) = \int_0^T u(t)K(t) dt \rightarrow \sup, \quad (3.138)$$

$$J^C(K(\cdot), u(\cdot), v(\cdot)) = \int_0^T (1 - v(t))(1 - u(t))K(t) dt \rightarrow \sup, \quad (3.139)$$

$$\dot{K}(t) = v(t)(1 - u(t))K(t), \quad K(0) = K_0 > 0, \quad K(T) \text{ frei}, \quad (3.140)$$

$$(u(t), v(t)) \in [a, b] \times [0, 1], \quad 0 < a < b < 1, \quad b > \frac{1}{2}, \quad T > \frac{1}{1 - b}. \quad (3.141)$$

Das Modell geht auf Lancaster [51] zurück. Wir folgen der Darstellung und untersuchen das Nash-Gleichgewicht und die Kollusionslösung, die wir abschließend miteinander vergleichen. Wir verweisen außerdem auf die umfassenden Ausführungen in Feichtinger & Hartl [26] und Seierstad & Sydsæter [66].

Wir platzieren die zwei Spieler Arbeiter und Unternehmer in einer Spielsituation und benutzen als Lösungskonzept das Nash-Gleichgewicht für nichtkooperative Spiele. Im vorliegenden Differentialspiel ist ein Nash-Gleichgewicht ein Tripel

$$(K_*(\cdot), u_*(\cdot), v_*(\cdot)),$$

für das die folgenden Gleichungen erfüllt sind:

$$J^W(K_*(t), u_*(t), v_*(t)) = \max_{(K(\cdot), u(\cdot))} J^W(K(\cdot), u(\cdot), v_*(t)),$$

$$J^C(K_*(t), u_*(t), v_*(t)) = \max_{(K(\cdot), v(\cdot))} J^C(K(\cdot), u_*(t), v(\cdot)).$$

Ausführlich geschrieben ist das Nash-Gleichgewicht das folgende System von zwei gekoppelten Steuerungsproblemen für den Arbeiter,

$$\left. \begin{aligned} J^W(K(\cdot), u(\cdot), v_*(\cdot)) &= \int_0^T u(t)K(t) dt \rightarrow \sup, \\ \dot{K} &= v_*(t)(1 - u(t))K(t), \quad K(0) = K_0 > 0, \quad u \in [a, b], \end{aligned} \right\} \quad (3.142)$$

und für den Unternehmer,

$$\left. \begin{aligned} J^C(K(\cdot), u_*(\cdot), v(\cdot)) &= \int_0^T (1 - v(t))(1 - u_*(t))K(t) dt \rightarrow \sup, \\ \dot{K} &= v(t)(1 - u_*(t))K(t), \quad K(0) = K_0 > 0, \quad v \in [0, 1]. \end{aligned} \right\} \quad (3.143)$$

Auf beide Steuerungsprobleme wenn wir die Optimalitätsbedingungen im Pontrjaginsche Maximumprinzip unter Beachtung der Strategie des Gegenspielers an:

In der Aufgabe der Arbeiter (3.142) erhalten wir die Maximumbedingung

$$H^W(t, K_*(t), u_*(t), p(t), 1) = \max_{u \in [a, b]} \left\{ (1 - p(t)v_*(t))uK_*(t) \right\} + p(t)v_*(t)K_*(t).$$

Da jede zulässige Trajektorie  $K(\cdot)$  stets positiv ist, gilt

$$\left. \begin{aligned} u_*(t) &= a, & \text{wenn } p(t)v_*(t) > 1, \\ u_*(t) &= b, & \text{wenn } p(t)v_*(t) < 1, \\ u_*(t) &\in [a, b], & \text{wenn } p(t)v_*(t) = 1. \end{aligned} \right\} \quad (3.144)$$

Weiterhin genügt  $p(\cdot)$  der adjungierten Gleichung (2.7) und der Bedingung (2.8):

$$\dot{p}(t) = -v_*(t)(1 - u_*(t))p(t) - u_*(t), \quad p(T) = 0. \quad (3.145)$$

In Gleichung (3.145) erkennt man unmittelbar  $\dot{p}(t) \leq -u_*(t) \leq -a$  für  $t \in (0, T)$ . Daher gilt  $p(t) > 0$  für  $t \in [0, T)$ .

Entsprechend ergibt sich in der Aufgabe des Unternehmers (3.143) die Maximumbedingung

$$H^C(t, K_*(t), v_*(t), q(t), 1) = \max_{v \in [0, 1]} \left\{ (q(t) - 1)v(1 - u_*(t))K_*(t) \right\} + (1 - u_*(t))K_*(t)$$

und es gelten daher

$$\left. \begin{aligned} v_*(t) &= 0 & \text{wenn } q(t) < 1, \\ v_*(t) &= 1 & \text{wenn } q(t) > 1, \\ v_*(t) &\in [0, 1] & \text{wenn } q(t) = 1. \end{aligned} \right\} \quad (3.146)$$

Ferner genügt  $q(\cdot)$  der adjungierten Gleichung zur Transversalitätsbedingung:

$$\dot{q}(t) = -v_*(t)(1 - u_*(t))q(t) - (1 - v_*(t))(1 - u_*(t)), \quad q(T) = 0. \quad (3.147)$$

Zusammen erhalten wir aus (3.146) und (3.147)

$$\dot{q}(t) = -(1 - u_*(t)) \cdot \max\{1, q(t)\} < 0.$$

Aufgrund der strengen Monotonie existiert eine eindeutig bestimmte Lösung von

$$\tau = \min\{t \in [0, T] \mid q(t) \leq 1\}.$$

Wegen (3.146) gilt  $v_*(t) = 0$  für alle  $t \in [\tau, T]$  und aus (3.144) folgt nun  $u_*(t) = b$  auf  $[\tau, T]$ . Auf  $[\tau, T]$  erhalten wir daraus

$$q(t) = (1 - b)(T - t), \quad q(\tau) = 1, \quad p(t) = b(T - t), \quad p(\tau) = \frac{b}{1 - b}.$$

Weiterhin folgt nach (3.141) und aus der Bedingung  $q(\tau) = 1$

$$\tau = T - \frac{1}{1 - b} > 0. \quad (3.148)$$

Aufgrund  $b \geq 1/2$  in (3.141) ist  $p(\tau) \geq 1$ . Da  $p(\cdot)$  streng monoton fallend ist, erhalten wir  $u_*(t) = a$  und  $v_*(t) = 1$  für alle  $t \in [0, \tau)$ .

Zusammenfassend lauten im Nash-Gleichgewicht die jeweiligen Strategien

$$u_*(t) = \begin{cases} a, & t \in [0, \tau), \\ b, & t \in [\tau, T], \end{cases} \quad v_*(t) = \begin{cases} 1, & t \in [0, \tau), \\ 0, & t \in [\tau, T], \end{cases}$$

zum Kapitalstock

$$K_*(t) = \begin{cases} K_0 e^{(1-a)t}, & t \in [0, \tau), \\ K_0 e^{(1-a)\tau}, & t \in [\tau, T]. \end{cases}$$

Für die Zielfunktionale ergeben sich

$$\left. \begin{aligned} J^W(K_*(t), u_*(t), v_*(t)) &= \left( \frac{a}{1-a} + \frac{b}{1-b} \right) K_0 e^{(1-a)\tau} - \frac{a}{1-a} K_0, \\ J^C(K_*(t), u_*(t), v_*(t)) &= K_0 e^{(1-a)\tau}. \end{aligned} \right\} \quad (3.149)$$

Die Untersuchung des Nash-Gleichgewichtes ist damit abgeschlossen.

Im Gegensatz zur Spielsituation besprechen sich die Arbeiter und Unternehmer, wie sie gemeinsam am besten agieren können. Für das gemeinsame Zielfunktional ergibt sich

$$\int_0^T u(t)K(t) dt + \int_0^T (1 - v(t))(1 - u(t))K(t) dt = \int_0^T [1 - v(t)(1 - u(t))]K(t) dt.$$

Führen wir die neue Steuerungsvariable  $w(\cdot)$  durch

$$w(t) = v(t)(1 - u(t)), \quad w(t) \in [0, 1 - a],$$

ein, so erhalten wir die Aufgabe

$$\begin{aligned} J(K(\cdot), w(\cdot)) &= \int_0^T (1-w(t))K(t) dt \rightarrow \sup, \\ \dot{K}(t) &= w(t)K(t), \quad K(0) = K_0 > 0, \quad K(T) \text{ frei}, \\ w(t) &\in [0, 1-a], \quad 0 < a < b < 1, \quad b > \frac{1}{2}, \quad T > \frac{1}{1-b}. \end{aligned}$$

Die kooperative Lösung ist

$$w_*(t) = \begin{cases} 1-a, & t \in [0, T-1), \\ b, & 0 \in [T-1, T], \end{cases} \quad K_*(t) = \begin{cases} K_0 e^{(1-a)t}, & t \in [0, T-1), \\ K_0 e^{(1-a)(T-1)}, & t \in [T-1, T], \end{cases}$$

mit folgendem Optimalwert für das Zielfunktional

$$J(K_*(t), w_*(t)) = \frac{1}{1-a} K_0 e^{(1-a)(T-1)} - \frac{a}{1-a} K_0. \quad (3.150)$$

Der Gesamtnutzen im Nash-Gleichgewicht nach (3.149) ist gleich

$$\begin{aligned} J^W(K_*(t), u_*(t), v_*(t)) + J^C(K_*(t), u_*(t), v_*(t)) \\ = \left( \frac{1}{1-a} + \frac{b}{1-b} \right) K_0 e^{(1-a)\tau} - \frac{a}{1-a} K_0. \end{aligned} \quad (3.151)$$

Zum Vergleich der Werte (3.150) und (3.151) verwenden wir die Beziehungen

$$T-1 = \tau + \frac{b}{1-b}.$$

Damit erhalten wir

$$\begin{aligned} J(K_*(t), w_*(t)) &> J^W(K_*(t), u_*(t), v_*(t)) + J^C(K_*(t), u_*(t), v_*(t)) \\ \Leftrightarrow \frac{1}{1-a} e^{(1-a)\frac{b}{1-b}} &> \frac{1}{1-a} + \frac{b}{1-b}. \end{aligned}$$

Benutzen wir die elementare Ungleichung  $e^x > 1+x$  für alle  $x > 0$  folgt abschließend

$$\frac{1}{1-a} e^{(1-a)\frac{b}{1-b}} > \frac{1}{1-a} \left( 1 + (1-a)\frac{b}{1-b} \right) = \frac{1}{1-a} + \frac{b}{1-b}.$$

D. h. der Gesamtnutzen ist im sozialen Optimum größer als im Wettbewerb. Aber es bleibt die spannende Frage nach der "gerechten" Aufteilung des Nutzens auf Unternehmer und Arbeiter an dieser Stelle offen.

### 3.5.2. Ein Fischerei-Differentialspiel

Wir betrachten nach Dockner et al. [22] das Differentialspiel

$$\begin{aligned}\tilde{J}_i(x(\cdot), u_1(\cdot), u_2(\cdot)) &= \int_0^T e^{-\rho t} (px(t) - c_i) u_i(t) dt \rightarrow \sup, \\ \dot{x}(t) &= x(t)(\alpha - r \ln x(t)) - u_1(t)x(t) - u_2(t)x(t), \quad x(0) = x_0 > 0, \\ u_i &> 0, \quad \alpha, c_i, p, r, \rho > 0, \quad \alpha > \frac{1}{c_1 + c_2}, \quad i = 1, 2.\end{aligned}$$

In dieser Aufgabe sei der Preis  $p$  nicht konstant, sondern umgekehrt proportional zum Angebot:

$$p = p(u_1x + u_2x) = \frac{1}{u_1x + u_2x}.$$

Dieser Ansatz spiegelt die Ökonomie einer "Eskimo"-Gesellschaft wider, in der der Fischbestand die wichtigste Nahrungsgrundlage darstellt und kein echtes Ersatzprodukt existiert. Unter diesen Umständen führt eine prozentuale Preissteigerung zu einem Umsatzrückgang in gleicher Relation.

Wenden wir die Transformation  $z = \ln x$  an, so erhalten wir das Spielproblem

$$\begin{aligned}J_i(z(\cdot), u_1(\cdot), u_2(\cdot)) &= \int_0^T e^{-\rho t} \left( \frac{1}{u_1(t) + u_2(t)} - c_i \right) u_i(t) dt \rightarrow \sup, \\ \dot{z}(t) &= -rz(t) + \alpha - u_1(t) - u_2(t), \quad z(0) = \ln x_0 > 0, \\ u_i &> 0, \quad \alpha, c_i, p, r, \rho > 0, \quad \alpha > \frac{1}{c_1 + c_2}, \quad i = 1, 2.\end{aligned}$$

Ein zulässiger Steuerungsprozess  $(z^*(\cdot), u_1^*(\cdot), u_2^*(\cdot))$  ist ein Nash-Gleichgewicht des Spiels, falls für alle anderen zulässigen Steuerungsprozesse  $(z(\cdot), u_1(\cdot), u_2(\cdot))$ ,  $(z(\cdot), u_1^*(\cdot), u_2(\cdot))$  die Ungleichungen

$$J_1(z^*(\cdot), u_1^*(\cdot), u_2^*(\cdot)) \geq J_1(z(\cdot), u_1(\cdot), u_2^*(\cdot)), \quad J_2(z^*(\cdot), u_1^*(\cdot), u_2^*(\cdot)) \geq J_2(z(\cdot), u_1^*(\cdot), u_2(\cdot))$$

gelten. Halten wir die optimale Strategie des Gegenspielers fest, dann ergeben sich für  $i, j \in \{1, 2\}$ ,  $i \neq j$ , folgende miteinander gekoppelte Steuerungsprobleme:

$$\begin{aligned}J_i(z(\cdot), u_i(\cdot), u_j^*(\cdot)) &= \int_0^T e^{-\rho t} \left( \frac{1}{u_i(t) + u_j^*(t)} - c_i \right) u_i(t) dt \rightarrow \sup, \\ \dot{z}(t) &= -rz(t) + \alpha - u_i(t) - u_j^*(t), \quad z(0) = \ln x_0 > 0, \quad u_i > 0.\end{aligned}$$

Die zulässigen Steuerungen gehören dem Raum  $L_\infty([0, T], U)$  an. Deshalb sind im Ansatz des Nash-Gleichgewichtes die Abbildungen

$$f_i(t, z, u_i) = \left( \frac{1}{u_i + u_j^*(t)} - c_i \right) u_i, \quad \varphi_i(t, z, u_i) = -rz + \alpha - u_i - u_j^*(t)$$

nicht stetig bezüglich der Variable  $t$ . Die Voraussetzungen an die Aufgabe sind nicht erfüllt. Da aber  $\varphi_i(t, z, u_i)$  linear in  $z$  und  $u_i$  sind und die Variable  $z$  in  $f_i(t, z, u_i)$  nicht einfließt, sind die gleichmäßigen Eigenschaften der Voraussetzungen für fast alle  $t \in [0, T]$  erfüllt. Unter diesen Rahmenbedingungen behält Theorem 2.3 seine Gültigkeit.

Die Pontrjagin-Funktionen lauten

$$H_i(t, z, u_i, p_i, \lambda_0) = p_i(-rz + \alpha - u_i - u_j^*(t)) + \lambda_0 e^{-\alpha t} \left( \frac{1}{u_i + u_j^*(t)} - c_i \right) u_i.$$

Es liegt ein freier Endpunkt vor. Deswegen dürfen wir  $\lambda_0 = 1$  annehmen und es gelten die Transversalitätsbedingungen  $p_i(T) = 0$ . Damit erhalten wir aus der adjungierten Gleichung (2.20)

$$\dot{p}_i(t) = r p_i(t), \quad p_i(T) = 0, \quad \Rightarrow \quad p_i(t) \equiv 0.$$

Aus der Maximumbedingung (2.22) folgt schließlich

$$u_1^*(t) \equiv \frac{c_2}{(c_1 + c_2)^2}, \quad u_2^*(t) \equiv \frac{c_1}{(c_1 + c_2)^2}$$

und für die optimale Trajektorie

$$z_*(t) = (z_0 - c_0)e^{-rt} + c_0, \quad c_0 = \frac{1}{r} \left( \alpha - \frac{1}{c_1 + c_2} \right).$$

Die Funktion  $z_*(\cdot)$  ist streng monoton und nimmt nur Werte des Segments  $[z_0, c_0]$  an. Da  $c_0$  und  $z_0$  positiv sind, ist  $x_*(t) = \exp(z_*(t))$  über  $[0, T]$  wohldefiniert und  $(x_*(\cdot), u_1^*(\cdot), u_2^*(\cdot))$  liefert einen Kandidaten für das ursprüngliche Differentialspiel.

---

## 4. Starkes lokales Minimum über unendlichem Zeithorizont

Wir untersuchen in diesem Kapitel Aufgaben der Optimalen Steuerung über unendlichem Zeithorizont unter Zustandsbeschränkungen und mit Randwerten im Unendlichen. Die erzielten Resultate beinhalten das Pontrjaginsche Maximumprinzip, d. h. einen vollständigen Satz notwendiger Optimalitätsbedingungen für ein starkes lokales Minimum, und die Gültigkeit verschiedener Transversalitätsbedingungen wie der “natürlichen” Transversalitätsbedingungen und der Bedingung von Michel [56]. Außerdem nehmen wir Bezug zu den hinreichenden Optimalitätsbedingungen nach Arrow für Aufgaben mit freiem und festem Randwert im Unendlichen und für die Aufgabe mit Zustandsrestriktionen.

Die Herleitung notwendiger Optimalitätsbedingungen für starke lokale Minimalstellen in der Klassischen Variationsrechnung und in der Optimalen Steuerung basiert vor allem auf der Nadelvariationsmethode. Für Aufgaben mit einem unbeschränkten Zeitintervall sieht man sich dabei mit verschiedenen Hürden konfrontiert. Zur Verdeutlichung betrachten wir diesbezüglich zu Beginn dieses Kapitels die einfachen Nadelvariationen. Dabei zeigen sich bereits die Schwierigkeiten bei der Variierbarkeit einer Trajektorie, bei der Beschränktheit des Zielfunktional und beim Nachweis von Transversalitätsbedingungen.

In der Folge weisen wir das Pontrjaginsche Maximumprinzip für Steuerungsprobleme mit unendlichem Zeithorizont nach. Dabei erweitern wir die mehrfachen Nadelvariationen nach Ioffe & Tichomirov [48] für das unbeschränkte Zeitintervall. Weiterhin gehen wir auf Zustandsbeschränkungen über dem unendlichen Zeithorizont ein. Zu dieser Aufgabenklasse existieren bisher nur sehr wenige Beiträge. Wir präsentieren einen Zugang im Rahmen der stetigen Funktionen, die im Unendlichen einen Grenzwert besitzen. Auf dieser Grundlage besitzen die erzielten Ergebnisse eine enge Verwandtschaft mit dem Maximumprinzip für Aufgaben mit endlichem Zeitintervall. Die Anforderung, die wir dabei an die Aufgabe stellen, sind ähnlich zu denen bei Brodskii [13].

In [13] wird die Aufgabe mit unendlichem Zeithorizont mittels Richtungsvariationen auf schwache lokale Minimalstellen im Rahmen beschränkter Funktionen untersucht. Im Gegensatz dazu behandeln wir die Aufgabe mit unendlichem Zeithorizont mittels der Nadelvariationsmethode und zeigen Optimalitätsbedingungen für starke lokale Minimalstellen. Dazu benötigen wir einen geeigneten Rahmen und schlagen die stetigen Funktionen, die im Unendlichen konvergieren, vor. Dementsprechend sind zusätzliche Anforderungen an die Standardaufgabe zu stellen, die die Konvergenz zulässiger Trajektorien gewährleisten.

Die Form der notwendigen Optimalitätsbedingungen in Gestalt der Pontrjaginschen Maximumprinzips geben Anlass die Resultate über endlich und unendlichem Zeithorizont miteinander in Bezug zu setzen. Das ist Gegenstand eines eigenständigen Abschnitts zur Einordnung der Aufgabenklassen.

#### 4.1. Die elementare Aufgabe mit freiem Endpunkt

In der Literatur werden die Steuerungsprobleme mit unendlichem Zeithorizont häufig als eine Folgerung der Standardaufgabe dargestellt. Dabei sind die Hürden, die das unbeschränkte Zeitintervall mit sich führt, von grundlegender Natur und mit den bisher zur Verfügung gestellten Methoden nicht erfassbar. Anhand der elementaren Aufgabe mit freiem Endpunkt lassen sich diese Schwierigkeiten bereits sehr gut verdeutlichen.

Unsere Betrachtungen beschränken wir auf Problemstellungen, in denen der optimale Wert des Zielfunktional endlich ist. Darin liegt unsere grundsätzliche Position, dass sich bei Vorhandensein des Zielwertes “ $+\infty$ ” oder “ $-\infty$ ” die Suche nach einem “Maximum” bzw. “Minimum” bereits von selbst ausschließt.

Unsere Untersuchungen der elementaren Aufgaben auf starke lokale Optimalstellen basieren auf der einfachen Nadelvariation

$$u(t; v, \tau, \lambda) = u_\lambda(t) = \begin{cases} u_*(t) & \text{für } t \notin [\tau - \lambda, \tau), \\ v & \text{für } t \in [\tau - \lambda, \tau), \end{cases} \quad v \in U.$$

Im Vergleich zum endlichen Zeitintervall ist die Variation mittels  $u_\lambda(\cdot)$  nicht in jedem Fall möglich. Zur Veranschaulichung betrachten wir die Dynamik

$$\dot{x}(t) = x(t) + x^2(t) + u(t), \quad x(0) = 0, \quad u(t) \in U = [0, \infty).$$

Die Trajektorie  $x_0(t) \equiv 0$  zur Steuerung  $u_0(t) \equiv 0$  ist nicht variierbar. Denn jede Steuerung  $u(t; v, \tau, \lambda)$  mit  $\lambda > 0$  und  $v > 0$  liefert eine Trajektorie  $x_\lambda(\cdot)$ , die als Lösung der Differentialgleichung nicht über der gesamten Halbachse  $[0, \infty)$  existiert.

Im Beweis des Pontrjaginschen Maximumprinzips für die elementare Aufgabe sind die Abhängigkeitssätze im Anhang C.2 zentraler Bestandteil. Auf das unbeschränkte Zeitintervall sind diese Resultate nicht unmittelbar übertragbar.

Die einfache Nadelvariation  $u_\lambda(\cdot)$  kann zu einer Trajektorie  $x_\lambda(\cdot)$  führen, die über  $[0, \infty)$  wohldefiniert ist, aber das Zielfunktional keinen endlichen Wert annimmt. In der folgenden Variante des Beispiels von Halkin [37],

$$J(x(\cdot), u(\cdot)) = \int_0^\infty e^{-\varrho t} (u(t) - x(t)) dt \rightarrow \sup, \\ \dot{x}(t) = u^2(t) + x(t), \quad x(0) = 0, \quad u(t) \in [0, 1], \quad \varrho \in (0, 1),$$

ist der Steuerungsprozess  $(x_*(t), u_*(t)) \equiv (0, 0)$  das globale Maximum, da für jeden anderen Steuerungsprozess zur Steuerung  $u(t) \not\equiv 0$  das Zielfunktional den Wert  $-\infty$  besitzt.

In unseren weiteren Untersuchungen legen wir uns auf beschränkte Steuerungsprozesse fest, für die das Zielfunktional endlich ausfällt. Im Rahmen der elementaren Aufgabe beschränken wir uns außerdem auf Variationen  $x_\lambda(\cdot)$ , die für  $\lambda \rightarrow 0^+$  gleichmäßig gegen  $x_*(\cdot)$  über  $[0, \infty)$  konvergieren. Die Existenz derartiger Variationen bleibt an dieser Stelle offen, da wir auf adäquate Abhängigkeitssätze nicht zugreifen können. Schließlich ist zudem die Existenz der adjungierten Funktion über  $[0, \infty)$  sicherzustellen.

Die Aufgabe mit unendlichem Zeithorizont besitzt die Gestalt

$$J(x(\cdot), u(\cdot)) = \int_0^{\infty} e^{-\varrho t} f(t, x(t), u(t)) dt \rightarrow \inf, \quad (4.1)$$

$$\dot{x}(t) = \varphi(t, x(t), u(t)), \quad x(0) = x_0, \quad (4.2)$$

$$u(t) \in U \subseteq \mathbb{R}^m, \quad U \neq \emptyset, \quad \varrho > 0. \quad (4.3)$$

Die Aufgabe (4.1)–(4.3) untersuchen wir bezüglich der Steuerungsprozesse

$$(x(\cdot), u(\cdot)) \in PC_1([0, \infty), \mathbb{R}^n) \times PC([0, \infty), U).$$

Dabei sind  $PC([0, \infty), \mathbb{R})$  bzw.  $PC_1([0, \infty), \mathbb{R})$  die Räume derjenigen Funktionen, die über  $[0, \infty)$  beschränkt und die über jedem endlichen Intervall  $[0, T]$  stückweise stetig bzw. stückweise stetig differenzierbar sind.

Mit  $\mathcal{D}_{\text{Lip}}^U$  bezeichnen wir die Menge aller Paare  $(x(\cdot), u(\cdot))$ , für die es ein  $\gamma > 0$  derart gibt, dass die Abbildungen  $f(t, x, u)$ ,  $\varphi(t, x, u)$  für jede kompakte Teilmenge  $U_1 \subset \mathbb{R}^m$  auf der Menge aller Punkte  $(t, x, u) \in \mathbb{R} \times \mathbb{R}^n \times \mathbb{R}^m$  mit  $0 \leq t < \infty$ ,  $\|x - x(t)\| < \gamma$  und  $u \in U_1$  beschränkt, stetig in der Gesamtheit aller Variablen und stetig differenzierbar bezüglich  $x$  mit beschränkten Ableitungen  $f_x(t, x, u)$ ,  $\varphi_x(t, x, u)$  sind.

Das Paar  $(x(\cdot), u(\cdot)) \in PC_1([0, \infty), \mathbb{R}^n) \times PC([0, \infty), U)$  heißt ein zulässiger Steuerungsprozess in der Aufgabe (4.1)–(4.3), falls  $(x(\cdot), u(\cdot))$  über jedem endlichen Intervall der Dynamik (4.2) zu  $x(t_0) = x_0$  genügt, die Steuerbeschränkungen (4.3) erfüllt und das Zielfunktional (4.1) endlich ist. Mit  $\mathcal{D}_{\text{adm}}^U$  bezeichnen wir die Menge der zulässigen Steuerungsprozesse.

Ein zulässiger Steuerungsprozess  $(x_*(\cdot), u_*(\cdot))$  ist eine starke lokale Minimalstelle der Aufgabe (4.1)–(4.3), falls eine Zahl  $\varepsilon > 0$  derart existiert, dass die Ungleichung

$$J(x(\cdot), u(\cdot)) \geq J(x_*(\cdot), u_*(\cdot))$$

für alle  $(x(\cdot), u(\cdot)) \in \mathcal{D}_{\text{adm}}^U$  mit  $\|x(\cdot) - x_*(\cdot)\|_{\infty} < \varepsilon$  gilt.

Eine wesentliche Herausforderung bei der Behandlung von Steuerungsproblemen mit unendlichem Zeithorizont ist der Nachweis einer adjungierten Funktion, die sowohl die adjungierte Gleichung als auch eine Transversalitätsbedingung im Unendlichen erfüllt. Die Existenz der Adjungierten wird im Folgenden mit Hilfe der Bedingung

$$\int_0^{\infty} \|\varphi_x(t, x(t), u(t))\| dt < \infty \quad (4.4)$$

nach Lemma C.5 und C.7 gesichert. Allerdings ist diese Bedingung nicht unkritisch, da sie zum Beispiel lineare Dynamiken mit konstanten Koeffizienten ausschließt. Ungeachtet der umfassenden Einschränkungen können und wollen wir auf die Bedingung (4.4) nicht verzichten und bezeichnen mit  $\mathcal{D}_{\text{lim}}^U$  die Menge aller Paare  $(x(\cdot), u(\cdot))$ , welche der Bedingung (4.4) genügen.

Im Folgenden bezeichnet  $H^{\mathcal{U}} : \mathbb{R} \times \mathbb{R}^n \times \mathbb{R}^m \times \mathbb{R}^n \times \mathbb{R} \rightarrow \mathbb{R}$  die Pontrjagin-Funktion

$$H^{\mathcal{U}}(t, x, u, p, \lambda_0) = \langle p, \varphi(t, x, u) \rangle - \lambda_0 e^{-\rho t} f(t, x, u).$$

**Theorem 4.1** (Pontrjaginsches Maximumprinzip). *Sei  $(x_*(\cdot), u_*(\cdot)) \in \mathcal{D}_{\text{adm}}^{\mathcal{U}} \cap \mathcal{D}_{\text{Lip}}^{\mathcal{U}} \cap \mathcal{D}_{\text{lim}}^{\mathcal{U}}$ . Ist  $(x_*(\cdot), u_*(\cdot))$  ein starkes lokales Minimum der Aufgabe (4.1)–(4.3), dann existiert eine Vektorfunktion  $p(\cdot) \in PC_1([0, \infty), \mathbb{R}^n)$  derart, dass*

(a) *die adjungierte Gleichung*

$$\dot{p}(t) = -H_x^{\mathcal{U}}(t, x_*(t), u_*(t), p(t), 1), \quad (4.5)$$

(b) *für  $t \rightarrow \infty$  die Transversalitätsbedingung*

$$\lim_{t \rightarrow \infty} p(t) = 0 \quad (4.6)$$

(c) *und in fast allen Punkten  $t \in [0, \infty)$  die Maximumbedingung*

$$H^{\mathcal{U}}(t, x_*(t), u_*(t), p(t), 1) = \max_{u \in U} H^{\mathcal{U}}(t, x_*(t), u, p(t), 1). \quad (4.7)$$

erfüllt sind.

**Beweis** Da der Steuerungsprozess  $(x_*(\cdot), u_*(\cdot))$  der Menge  $\mathcal{D}_{\text{adm}}^{\mathcal{U}} \cap \mathcal{D}_{\text{Lip}}^{\mathcal{U}} \cap \mathcal{D}_{\text{lim}}^{\mathcal{U}}$  angehört, ist er beschränkt. Ferner sind  $t \rightarrow e^{-\rho t} f_x(t, x_*(t), u_*(t))$  und  $t \rightarrow \varphi_x(t, x_*(t), u_*(t))$  über  $[0, \infty)$  integrierbar, beschränkt und stückweise stetig. Damit sind die Voraussetzungen von Lemma C.5 und von Lemma C.7 erfüllt und es existiert eine eindeutige stetige Lösung  $p(\cdot)$  der adjungierten Gleichung (4.5) zur Transversalitätsbedingung (4.6). Wegen der stückweisen Stetigkeit der einfließenden Abbildungen ist  $\dot{p}(\cdot)$  ebenfalls stückweise stetig und die Adjungierte  $p(\cdot)$  gehört dem Raum  $PC_1([0, \infty), \mathbb{R}^n)$  an.

Außerdem ergibt sich mit der gleichen Argumentation wie im Abschnitt 2.2.2, dass man ohne Einschränkung  $\lambda_0 = 1$  annehmen darf.

Da  $t \rightarrow \varphi_x(t, x_*(t), u_*(t))$  integrierbar ist, besitzt die Integralgleichung

$$y(t) = y(\tau) + \int_{\tau}^t \varphi_x(s, x_*(s), u_*(s)) y(s) ds, \quad t \in [0, \infty), \quad (4.8)$$

nach Lemma C.5 für jedes  $\tau \in [0, \infty)$  und jedes  $y(\tau) \in \mathbb{R}^n$  eine eindeutige Lösung.

Wir wenden wieder die einfache Nadelvariation  $u(t; v, \tau, \lambda) = u_{\lambda}(t)$  des Beweises in Abschnitt 2.2.2 an. Für  $T > \tau$  folgt mit den gleichen Argumenten wie ebenda, dass für  $t \in [\tau, T]$  der Grenzwert

$$y(t; T) = \lim_{\lambda \rightarrow 0^+} \frac{x_{\lambda}(t) - x_*(t)}{\lambda}$$

existiert, die Funktion  $y(\cdot; T)$  der Integralgleichung

$$\begin{aligned} y(t; T) &= y(\tau) + \int_{\tau}^t \varphi_x(s, x_*(s), u_*(s)) y(s; T) ds, \\ y(\tau) &= \varphi(\tau, x_*(\tau), v) - \varphi(\tau, x_*(\tau), u_*(\tau)) \end{aligned}$$

genügt. Da die Integralgleichung (4.8) eine eindeutige Lösung  $y(\cdot)$  über  $[0, \infty)$  besitzt, gilt  $y(t; T) = y(t)$  für alle  $[\tau, T]$ , und dies für beliebiges  $T > \tau$ . Ferner ist die Beziehung

$$\langle p(\tau), y(\tau) \rangle - \langle p(T), y(T) \rangle = - \int_{\tau}^T e^{-\varrho t} \langle f_x(t, x_*(t), u_*(t)), y(t) \rangle dt$$

erfüllt. Da  $y(\cdot)$  nach Lemma C.5 einen Grenzwert im Unendlichen besitzt, ergibt sich

$$\langle p(\tau), y(\tau) \rangle = - \int_{\tau}^{\infty} e^{-\varrho t} \langle f_x(t, x_*(t), u_*(t)), y(t) \rangle dt. \quad (4.9)$$

Es sei  $x_{\lambda}(\cdot)$  die Variation von  $x_*(\cdot)$  zur Steuerung  $u_{\lambda}(\cdot)$ , die auf  $[\tau, \infty)$  gleichmäßig konvergent gegen  $x_*(\cdot)$  sei. Es zeigt sich abschließend wie in Abschnitt 2.2.2

$$\begin{aligned} 0 &\leq \lim_{\lambda \rightarrow 0^+} \frac{J(x_{\lambda}(\cdot), u_{\lambda}(\cdot)) - J(x_*(\cdot), u_*(\cdot))}{\lambda} \\ &= f(\tau, x_*(\tau), v) - f(\tau, x_*(\tau), u_*(\tau)) + \int_{\tau}^{\infty} e^{-\varrho t} \langle f_x(t, x_*(t), u_*(t)), y(t) \rangle dt, \end{aligned}$$

welche zusammen mit (4.9) der Gültigkeit der Maximumbedingung (4.7) entspricht. ■

**Bemerkung 4.2.** Im Beweis sind die Wohldefiniertheit von  $x_{\lambda}(\cdot)$  auf  $[0, \infty)$  und die gleichmäßige Konvergenz von  $x_{\lambda}(\cdot)$  gegen  $x_*(\cdot)$  nicht gesichert! □

**Beispiel 4.3.** Wir betrachten eine Variante des Differentialspiels 3.5.2 nach Dockner et al. [22], welches bereits im Abschnitt 3.5.2 über einem endlichen Zeitraum diskutiert wurde:

$$\begin{aligned} \tilde{J}_i(x(\cdot), u_1(\cdot), u_2(\cdot)) &= \int_0^{\infty} e^{-\varrho t} (px(t) - c_i) u_i(t) dt \rightarrow \sup, \\ \dot{x}(t) &= e^{-\delta t} [x(t)(\alpha - r \ln x(t)) - u_1(t)x(t) - u_2(t)x(t)], \quad x(0) = x_0 > 0, \\ u_i &> 0, \quad \alpha, c_i, p, r, \varrho > 0, \quad \alpha > \frac{1}{c_1 + c_2}, \quad i = 1, 2. \end{aligned}$$

Im Vergleich zu [22] haben wir den Faktor  $e^{-\delta t}$  in der Dynamik hinzugefügt, um die Stabilität des dynamischen Systems gemäß der Bedingungen (4.4) zu sichern.

Wir wenden wieder die Transformation  $z = \ln x$  an und erhalten für ein Nash-Gleichgewicht  $(z^*(\cdot), u_1^*(\cdot), u_2^*(\cdot))$  für  $i, j \in \{1, 2\}$ ,  $i \neq j$ , die gekoppelten Steuerungsprobleme:

$$\begin{aligned} J_i(z(\cdot), u_i(\cdot), u_j^*(\cdot)) &= \int_0^{\infty} e^{-\varrho t} \left( \frac{1}{u_i(t) + u_j^*(t)} - c_i \right) u_i(t) dt \rightarrow \sup, \\ \dot{z}(t) &= e^{-\delta t} [-rz(t) + \alpha - u_i(t) - u_j^*(t)], \quad z(0) = \ln x_0 > 0, \quad u_i > 0. \end{aligned}$$

Die zulässigen Steuerungen gehören dem Raum  $PC([0, \infty), U)$  an. Deshalb sind im Ansatz des Nash-Gleichgewichtes die Abbildungen

$$f_i(t, z, u_i) = e^{-\delta t} \left( \frac{1}{u_i + u_j^*(t)} - c_i \right) u_i, \quad \varphi_i(t, z, u_i) = e^{-\delta t} [-rz + \alpha - u_i - u_j^*(t)]$$

nicht stetig bezüglich der Variable  $t$ . An dieser Stelle verweisen auf die Bemerkungen im Rahmen der Differentialspiele im Abschnitt 3.5, dass unter diesen Rahmenbedingungen Theorem 4.1 seine Gültigkeit behält.

Die Pontrjagin-Funktionen lauten

$$\begin{aligned} H_1^U(t, z, u_1, p_1) &= p_1 e^{-\delta t} [-rz + \alpha - u_1 - u_2^*(t)] + e^{-\delta t} \left( \frac{1}{u_1 + u_2^*(t)} - c_1 \right) u_1, \\ H_2^U(t, z, u_2, p_2) &= p_2 e^{-\delta t} [-rz + \alpha - u_1^*(t) - u_2] + e^{-\delta t} \left( \frac{1}{u_1^*(t) + u_2} - c_2 \right) u_2. \end{aligned}$$

Mit Lemma C.7 ergibt sich die eindeutige Lösung der adjungierten Gleichung (4.5):

$$\dot{p}_i(t) = r e^{-\delta t} p_i(t), \quad \lim_{t \rightarrow \infty} p_i(t) = 0, \quad \Rightarrow \quad p_i(t) \equiv 0.$$

Die Maximumbedingung (4.6) liefert das Gleichungssystem

$$\frac{\partial}{\partial u_i} H_i^U(t, z_*(t), u_i^*(t), p_i(t)) = 0 \quad \Rightarrow \quad \frac{1}{u_1^*(t) + u_2^*(t)} - \frac{u_i^*(t)}{(u_1^*(t) + u_2^*(t))^2} = c_i, \quad i = 1, 2.$$

Aus der Summe beider Gleichungen ergibt sich

$$\frac{2}{u_1^*(t) + u_2^*(t)} - \frac{u_1^*(t) + u_2^*(t)}{(u_1^*(t) + u_2^*(t))^2} = \frac{1}{u_1^*(t) + u_2^*(t)} = c_1 + c_2$$

und wir erhalten die optimalen Steuerungen

$$u_1^*(t) \equiv \frac{c_2}{(c_1 + c_2)^2}, \quad u_2^*(t) \equiv \frac{c_1}{(c_1 + c_2)^2}.$$

Die optimale Trajektorie besitzt die Gestalt

$$z_*(t) = \left( z_0 - \frac{c_0}{r} \right) \exp \left\{ \frac{r}{\delta} (e^{-\delta t} - 1) \right\} + \frac{c_0}{r}, \quad c_0 = \alpha - \frac{1}{c_1 + c_2}.$$

Für diese gilt im Unendlichen

$$z_\infty = \lim_{t \rightarrow \infty} z_*(t) = \left( z_0 - \frac{c_0}{r} \right) e^{-\frac{r}{\delta}} + \frac{c_0}{r} = z_0 e^{-\frac{r}{\delta}} + \left( \alpha - \frac{1}{c_1 + c_2} \right) (1 - e^{-\frac{r}{\delta}}) > 0.$$

Die Funktion  $z_*(\cdot)$  ist streng monoton und nimmt nur Werte zwischen  $z_0$  und  $z_\infty$  an. Somit ist  $x_*(t) = \exp(z_*(t))$  über  $[0, \infty)$  wohldefiniert, besitzt eine untere positive Schranke und  $(x_*(\cdot), u_1^*(\cdot), u_2^*(\cdot))$  liefert einen Kandidaten für das ursprüngliche Differentialspiel.  $\square$

## 4.2. Die Aufgabenstellung

Wir betrachten starke lokale Minimalstellen in der folgenden Aufgabe:

$$J(x(\cdot), u(\cdot)) = \int_0^\infty \omega(t) f(t, x(t), u(t)) dt \rightarrow \inf, \quad (4.10)$$

$$\dot{x}(t) = \varphi(t, x(t), u(t)), \quad (4.11)$$

$$h_0(x(0)) = 0, \quad \lim_{t \rightarrow \infty} h_1(t, x(t)) = 0, \quad (4.12)$$

$$u(t) \in U \subseteq \mathbb{R}^m, \quad U \neq \emptyset, \quad (4.13)$$

$$g_j(t, x(t)) \leq 0 \quad \text{für alle } t \in \mathbb{R}_+, \quad j = 1, \dots, l. \quad (4.14)$$

Dabei ist  $\omega(\cdot) \in L_1(\mathbb{R}_+, \mathbb{R}_+)$  und es gelten für die eingehenden Abbildungen

$$f : \mathbb{R} \times \mathbb{R}^n \times \mathbb{R}^m \rightarrow \mathbb{R}, \quad \varphi : \mathbb{R} \times \mathbb{R}^n \times \mathbb{R}^m \rightarrow \mathbb{R}^n, \quad g_j : \mathbb{R} \times \mathbb{R}^n \rightarrow \mathbb{R},$$

sowie für die Randbedingungen  $h_0 : \mathbb{R}^n \rightarrow \mathbb{R}^{s_0}$  und  $h_1 : \mathbb{R} \times \mathbb{R}^n \rightarrow \mathbb{R}^{s_1}$ .

Wir nennen die Trajektorie  $x(\cdot)$  eine Lösung des dynamischen Systems (4.11), falls  $x(\cdot)$  auf  $\mathbb{R}_+$  definiert ist und auf jedem endlichen Intervall die Dynamik mit Steuerung  $u(\cdot)$  im Sinn von Carathéodory löst.

Mit  $\mathcal{B}_{\text{Lip}}^U$  bezeichnen wir die Menge aller Paare  $(x(\cdot), u(\cdot))$ , für die es ein  $\gamma > 0$  derart gibt, dass die Abbildungen  $f(t, x, u)$ ,  $\varphi(t, x, u)$ ,  $h_0(x_0)$ ,  $h_1(t, x)$  und  $g_j(t, x)$  auf der Menge aller  $(t, x, x_0, u) \in \mathbb{R} \times \mathbb{R}^n \times \mathbb{R}^n \times \mathbb{R}^m$  mit  $0 \leq t < \infty$ ,  $\|x - x(t)\| < \gamma$ ,  $\|x_0 - x(0)\| < \gamma$  und  $u \in U_1$  beschränkt und gleichmäßig stetig in allen Variablen, sowie gleichmäßig stetig differenzierbar bezüglich  $x, x_0$  mit beschränkten Ableitungen  $f_x(t, x, u)$ ,  $\varphi_x(t, x, u)$ ,  $h_0'(x_0)$ ,  $h_{1,x}(t, x)$  und  $g_{j,x}(t, x)$  sind. Außerdem seien diese Eigenschaften für  $g_j(t, x)$  und  $h_1(t, x)$  in  $t = \infty$  fortsetzbar, da sich dieser Zeitpunkt auf die Aufgabe maßgeblich auswirkt.

Der Steuerungsprozess  $(x(\cdot), u(\cdot)) \in W_\infty^1(\mathbb{R}_+, \mathbb{R}^n) \times L_\infty(\mathbb{R}_+, U)$  heißt zulässig in der Aufgabe (4.10)–(4.14), falls  $(x(\cdot), u(\cdot))$  dem System (4.11) genügt, die Restriktionen (4.12) und (4.13) erfüllt, sowie das Lebesgue-Integral in (4.10) endlich ist. Die Menge  $\mathcal{B}_{\text{adm}}^U$  bezeichnet in der Aufgabe (4.10)–(4.14) die Menge der zulässigen Steuerungsprozesse.

Der zulässige Steuerungsprozess  $(x_*(\cdot), u_*(\cdot))$  ist eine starke lokale Minimalstelle in der Aufgabe (4.10)–(4.14), falls eine Zahl  $\varepsilon > 0$  derart existiert, dass die Ungleichung

$$J(x(\cdot), u(\cdot)) \geq J(x_*(\cdot), u_*(\cdot))$$

für alle  $(x(\cdot), u(\cdot)) \in \mathcal{B}_{\text{adm}}^U$  mit  $\|x(\cdot) - x_*(\cdot)\|_\infty < \varepsilon$  gilt.

Bezüglich des speziellen Rahmens, in die wir die Aufgabe (4.10)–(4.14) einbetten, sind zusätzliche Einschränkungen erforderlich: Zu  $(x(\cdot), u(\cdot)) \in W_\infty^1(\mathbb{R}_+, \mathbb{R}^n) \times L_\infty(\mathbb{R}_+, U)$  seien die folgenden Integralterme endlich

$$\int_0^\infty \|\varphi(t, x(t), u(t))\| dt < \infty, \quad \int_0^\infty \|\varphi_x(t, x(t), u(t))\| dt < \infty. \quad (4.15)$$

Weiterhin nehmen wir an, dass es zu jedem  $\delta > 0$  ein  $T > 0$  existiert mit

$$\int_T^\infty \left\| \varphi(t, \xi(t), u(t)) - \varphi(t, \xi'(t), u(t)) - \varphi_x(t, x(t), u(t))(\xi(t) - \xi'(t)) \right\| dt \leq \delta \|\xi(\cdot) - \xi'(\cdot)\|_\infty \quad (4.16)$$

für alle  $\xi(\cdot), \xi'(\cdot) \in W_\infty^1(\mathbb{R}_+, \mathbb{R}^n)$  mit  $\|\xi(\cdot) - x(\cdot)\|_\infty < \gamma$ ,  $\|\xi'(\cdot) - x(\cdot)\|_\infty < \gamma$ . Die Menge  $\mathcal{B}_{\text{lim}}^{\mathcal{U}}$  bezeichnet die Menge aller  $(x(\cdot), u(\cdot)) \in W_\infty^1(\mathbb{R}_+, \mathbb{R}^n) \times L_\infty(\mathbb{R}_+, U)$ , die die Eigenschaften (4.15) und (4.16) besitzen.

**Bemerkung 4.4.** Aus der ersten Bedingung in (4.15) ergibt sich, dass die Trajektorie  $x(\cdot)$  im Unendlichen einen Grenzwert besitzt. Damit lässt sich die Dynamik als eine Abbildung in den Raum  $C_{\text{lim}}(\mathbb{R}_+, \mathbb{R}^n)$  auffassen. Die zweite Bedingung in (4.15) und die Bedingung (4.16) sind in dem vorliegenden Rahmen entscheidend für die stetige Differenzierbarkeit der Dynamik im Sinne einer Abbildung in Banachräumen. Andererseits sind die strengen Einschränkungen (4.15) und (4.16) zum Beispiel nicht für lineare Systeme mit konstanten Koeffizienten erfüllt. An dieser Stelle sind hinreichende Bedingungen nach Arrow besser geeignet, da die Annahmen (4.15) und (4.16) fallen gelassen werden können.  $\square$

Abschließend bezeichnen wir mit  $H^{\mathcal{U}} : \mathbb{R} \times \mathbb{R}^n \times \mathbb{R}^m \times \mathbb{R}^n \times \mathbb{R} \rightarrow \mathbb{R}$  die Pontrjagin-Funktion

$$H^{\mathcal{U}}(t, x, u, p, \lambda_0) = \langle p, \varphi(t, x, u) \rangle - \lambda_0 \omega(t) f(t, x, u)$$

der Aufgabe (4.10)–(4.14).

### 4.3. Das Pontrjaginsche Maximumprinzip

#### 4.3.1. Notwendige Optimalitätsbedingungen

**Theorem 4.5** (Pontrjaginsches Maximumprinzip). *Sei  $(x_*(\cdot), u_*(\cdot)) \in \mathcal{B}_{\text{adm}}^{\mathcal{U}} \cap \mathcal{B}_{\text{Lip}}^{\mathcal{U}} \cap \mathcal{B}_{\text{lim}}^{\mathcal{U}}$ . Ist  $(x_*(\cdot), u_*(\cdot))$  ein starkes lokales Minimum der Aufgabe (4.10)–(4.13), dann existieren nicht gleichzeitig verschwindende Multiplikatoren  $\lambda_0 \geq 0$ , eine absolutstetige Funktion  $p(\cdot) : \mathbb{R}_+ \rightarrow \mathbb{R}^n$  und  $l_i \in \mathbb{R}^{s_i}$ ,  $i = 0, 1$ , derart, dass*

(a) die adjungierte Gleichung

$$\dot{p}(t) = -H_x^{\mathcal{U}}(t, x_*(t), u_*(t), p(t), \lambda_0), \quad (4.17)$$

(b) die Transversalitätsbedingungen

$$p(0) = h_0'^T(x_*(0))l_0, \quad \lim_{t \rightarrow \infty} p(t) = - \lim_{t \rightarrow \infty} h_{1,x}^T(t, x_*(t))l_1 \quad (4.18)$$

(c) und in fast allen Punkten  $t \in \mathbb{R}_+$  die Maximumbedingung

$$H^{\mathcal{U}}(t, x_*(t), u_*(t), p(t), \lambda_0) = \max_{u \in U} H^{\mathcal{U}}(t, x_*(t), u, p(t), \lambda_0) \quad (4.19)$$

erfüllt sind. Anhand (4.17) kann für die verallgemeinerte Ableitung  $\dot{p}(\cdot) \in L_1(\mathbb{R}_+, \mathbb{R}^n)$  im Fall einer unbeschränkten Verteilungsfunktion  $\omega(\cdot) \in L_1(\mathbb{R}_+, \mathbb{R}_+)$  gelten.

**Beispiel 4.6.** Wir betrachten die Aufgabe

$$J(x(\cdot), u(\cdot)) = \int_0^\infty e^{-\varrho t} (1 - u(t)) x(t) dt \rightarrow \sup,$$

$$\dot{x}(t) = u(t)x(t), \quad x(0) = 1, \quad \lim_{t \rightarrow \infty} x(t) = x_1 > 1, \quad u(t) \in [0, 1], \quad \varrho \in (0, 1).$$

Wir stellen zunächst die Pontrjagin-Funktion auf:

$$H^U(t, x, z, u, p, q, \lambda_0) = pux + \lambda_0 e^{-\varrho t} (1 - u)x.$$

Mit Hilfe der Bedingungen (4.17)–(4.19) können wir den Fall  $\lambda_0 = 0$  ausschließen. Weiterhin ergeben sich der Steuerungsprozess

$$x_*(t) = \begin{cases} e^t, & t \in [0, \tau), \\ x_1, & t \in [\tau, \infty), \end{cases} \quad u_*(t) = \begin{cases} 1, & t \in [0, \tau), \\ 0, & t \in [\tau, \infty), \end{cases} \quad \tau = \ln x_1$$

und die Adjungierte

$$p(t) = \begin{cases} e^{(1-\varrho)\tau} e^{-t}, & t \in [0, \tau), \\ \frac{\varrho - 1}{\varrho} e^{-\varrho\tau} + \frac{1}{\varrho} e^{-\varrho t}, & t \in [\tau, \infty). \end{cases}$$

Für die Adjungierte gilt dabei  $\lim_{t \rightarrow \infty} p(t) = \frac{\varrho - 1}{\varrho} e^{-\varrho\tau} \neq 0$  im Unendlichen. Damit konnten wir aus den notwendigen Bedingungen (4.17)–(4.19) des Maximumprinzips einen eindeutigen Kandidaten bestimmen.  $\square$

**Beispiel 4.7.** Wir betrachten die Aufgabe

$$J(x(\cdot), u(\cdot)) = \int_0^\infty e^{-\varrho t} (1 - u(t)) x(t) dt \rightarrow \sup,$$

$$\dot{x}(t) = u(t)x(t), \quad x(0) = 1, \quad u \in [0, 1], \quad \varrho \in (0, 1)$$

mit der Budgetbeschränkung

$$\int_0^\infty e^{-\varrho t} x(t) dt = Z, \quad Z > \frac{1}{\varrho}.$$

Bezüglich der Budgetbeschränkung führen wir die folgende Zustandsgleichung mit Randwert im Unendlichen ein:

$$\dot{z}(t) = e^{-\varrho t} x(t), \quad z(0) = 0, \quad \lim_{t \rightarrow \infty} z(t) = Z.$$

Offensichtlich ist  $\dot{z}(t) > 0$  auf  $\mathbb{R}_+$  und damit  $z(t)$  streng monoton wachsend. Demzufolge kann die Beschränkung  $z(t) \leq Z$  erst im Unendlichen aktiv werden und greift nur durch das Verhalten in  $t = \infty$  in die gestellte Aufgabe ein.

Da stets  $\dot{x}(t) \geq 0$  ist, muss für jede zulässige Trajektorie  $e^{-\varrho t}x(t) \rightarrow 0$  für  $t \rightarrow \infty$  gelten, denn nur dann ist  $z(t) \leq Z$  erfüllt. Damit erhalten wir für zulässige Steuerungsprozesse im Zielfunktional zunächst

$$\begin{aligned} J(x(\cdot), z(\cdot), u(\cdot)) &= \int_0^\infty e^{-\varrho t} (1 - u(t)) x(t) dt = \int_0^\infty \dot{z}(t) dt - \int_0^\infty e^{-\varrho t} \dot{x}(t) dt \\ &= \int_0^\infty \dot{z}(t) dt + 1 - \varrho \int_0^\infty e^{-\varrho t} x(t) dt \leq 1 + (1 - \varrho)Z. \end{aligned}$$

Es ergibt sich also für das Zielfunktional die obere Schranke  $1 + (1 - \varrho)Z$ . D. h., dass jeder Steuerungsprozess  $(x(\cdot), z(\cdot), u(\cdot))$ , für den die Zustandsbeschränkung  $z(t) \leq Z$  im Unendlichen aktiv wird, global optimal ist und  $J(x(\cdot), z(\cdot), u(\cdot)) = 1 + (1 - \varrho)Z$  gilt.

Die Voraussetzungen des Pontrjaginschen Maximumprinzips an einen zulässigen Steuerungsprozess sind in dem vorliegenden Beispiel genau dann erfüllt, wenn die Steuerung  $u(\cdot)$  dem Raum  $L_1(\mathbb{R}_+, [0, 1])$  angehört. Denn in diesem Fall gelten für die korrespondierende Trajektorie  $x(\cdot)$  die Bedingungen (4.15), (4.16). Wir diskutieren zwei Fälle:

(A) Es liefert der Steuerungsprozess  $(x_*(\cdot), z_*(\cdot), u_*(\cdot))$  mit

$$x_*(t) = e^{\alpha t}, \quad z_*(t) = \frac{1}{\alpha - \varrho} (e^{(\alpha - \varrho)t} - 1), \quad u_*(t) = \alpha, \quad \alpha = \varrho - \frac{1}{Z} \in (0, \varrho)$$

ein globales Maximum. Da die vorgeschlagene Steuerung  $u_*(\cdot)$  über  $\mathbb{R}_+$  nicht integrierbar ist, sind für  $x_*(\cdot)$  die Bedingungen (4.15) nicht erfüllt. Das Maximumprinzip ist in diesem Fall nicht anwendbar.

(B) Es stellt der Steuerungsprozess  $(y_*(\cdot), \zeta_*(\cdot), w_*(\cdot))$  mit

$$y_*(t) = \begin{cases} e^t, & t \in [0, \tau), \\ e^\tau, & t \in [\tau, \infty), \end{cases} \quad w_*(t) = \begin{cases} 1, & t \in [0, \tau), \\ 0, & t \in [\tau, \infty) \end{cases}$$

mit dem Umschaltzeitpunkt  $\tau > 0$ , der der Bedingung

$$e^{(1-\varrho)\tau} \left( \frac{1}{\varrho} + \frac{1}{1-\varrho} \right) = Z + \frac{1}{1-\varrho}, \quad Z > \frac{1}{\varrho},$$

genügt, ebenfalls ein globales Maximum dar. Die zugehörige Trajektorie  $\zeta_*(\cdot)$  lautet

$$\zeta_*(t) = \begin{cases} \frac{1}{1-\varrho} (e^{(1-\varrho)t} - 1), & t \in [0, \tau), \\ \zeta(\tau) + \frac{1}{\varrho} (e^{(1-\varrho)\tau} - e^{\tau-\varrho t}), & t \in [\tau, \infty). \end{cases}$$

Da die Steuerung  $w_*(\cdot)$  dem Raum  $L_1(\mathbb{R}_+, [0, 1])$  angehört, gelten sämtliche Voraussetzungen von Theorem 4.5. Mit den Multiplikatoren

$$\lambda_0 = 1, \quad p(t) = e^{-\varrho t}, \quad q(t) = \varrho - 1$$

sind dann die notwendigen Bedingungen (4.17)–(4.19) erfüllt.  $\square$

### 4.3.2. Der Nachweis der notwendigen Optimalitätsbedingungen

Wir betrachten für  $(x(\cdot), u(\cdot)) \in C_{\lim}(\mathbb{R}_+, \mathbb{R}^n) \times L_\infty(\mathbb{R}_+, \mathbb{R}^m)$  die Abbildungen

$$\begin{aligned} J(x(\cdot), u(\cdot)) &= \int_0^\infty \omega(t) f(t, x(t), u(t)) dt, \\ F(x(\cdot), u(\cdot))(t) &= x(t) - x(t_0) - \int_0^t \varphi(s, x(s), u(s)) ds, \quad t \in \mathbb{R}_+, \\ H_0(x(\cdot)) &= h_0(x(0)), \quad H_1(x(\cdot)) = \lim_{t \rightarrow \infty} h_1(t, x(t)). \end{aligned}$$

Die Abbildungen fassen wir in folgenden Funktionenräumen auf:

$$\begin{aligned} J &: C_{\lim}(\mathbb{R}_+, \mathbb{R}^n) \times L_\infty(\mathbb{R}_+, \mathbb{R}^m) \rightarrow \mathbb{R}, \\ F &: C_{\lim}(\mathbb{R}_+, \mathbb{R}^n) \times L_\infty(\mathbb{R}_+, \mathbb{R}^m) \rightarrow C_{\lim}(\mathbb{R}_+, \mathbb{R}^n), \\ H_i &: C_{\lim}(\mathbb{R}_+, \mathbb{R}^n) \rightarrow \mathbb{R}^{s_i}, \quad i = 0, 1. \end{aligned}$$

Wir setzen  $\mathcal{F} = (F, H_0, H_1)$ , sowie die Menge  $\mathcal{U}$  gemäß

$$\mathcal{U} = \left\{ u(\cdot) \in L_\infty(\mathbb{R}_+, U) \mid u(t) = u_*(t) + \chi_M(t)(w(t) - u_*(t)), w(\cdot) \in L_\infty(\mathbb{R}_+, U), \right. \\ \left. M \subset \mathbb{R}_+ \text{ meßbar und beschränkt} \right\}$$

und prüfen für die Extremalaufgabe

$$J(x(\cdot), u(\cdot)) \rightarrow \inf, \quad \mathcal{F}(x(\cdot), u(\cdot)) = 0, \quad u(\cdot) \in \mathcal{U} \quad (4.20)$$

im Punkt  $(x_*(\cdot), u_*(\cdot)) \in \mathcal{B}_{\text{Lip}}^U \cap \mathcal{B}_{\text{lim}}^U$  die Voraussetzungen von Theorem F.5:

- (A<sub>1</sub>) Für jedes  $u(\cdot) \in \mathcal{U}$  ist die Abbildung  $x(\cdot) \rightarrow J(x(\cdot), u(\cdot))$  nach Beispiel B.7 im Punkt  $x_*(\cdot)$  Fréchet-differenzierbar.
- (A<sub>2</sub>) Die Abbildung  $F$  ist die Summe der Abbildung  $x(\cdot) \rightarrow x(t)$  und der Abbildung

$$(x(\cdot), u(\cdot)) \rightarrow - \int_0^t \varphi(s, x(s), u(s)) ds.$$

Im Beispiel B.10 ist die Fréchet-Differenzierbarkeit der zweiten Abbildung im Punkt  $x_*(\cdot)$  für jedes  $u(\cdot) \in \mathcal{U}$  nachgewiesen. Da  $x_*(\cdot)$  dem Raum  $C_{\lim}(\mathbb{R}_+, \mathbb{R}^n)$  angehört und  $h_1(t, x)$  in  $t = \infty$  stetig und stetig differenzierbar bezüglich  $x$  ist, sind die Abbildungen  $H_i$  stetig differenzierbar.

- (B) Nach Lemma C.5 besitzt der Operator  $\mathcal{F}_x(x_*(\cdot), u_*(\cdot))$  eine endliche Kodimension.
- (C) Der Nachweis dieser Voraussetzungen sind in Lemma E.9 und Lemma E.10 über mehrfache Nadelvariationen über dem unendlichen Zeithorizont dargestellt.

Zur Extremalaufgabe (4.20) definieren wir auf

$$C_{\lim}(\mathbb{R}_+, \mathbb{R}^n) \times L_\infty(\mathbb{R}_+, \mathbb{R}^m) \times \mathbb{R} \times C_{\lim}^*(\mathbb{R}_+, \mathbb{R}^n) \times \mathbb{R}^{s_0} \times \mathbb{R}^{s_1}$$

die Lagrange-Funktion  $\mathcal{L} = \mathcal{L}(x(\cdot), u(\cdot), \lambda_0, y^*, l_0, l_1)$ ,

$$\mathcal{L} = \lambda_0 J(x(\cdot), u(\cdot)) + \langle y^*, F(x(\cdot), u(\cdot)) \rangle + l_0^T H_0(x(\cdot)) + l_1^T H_1(x(\cdot)).$$

Ist  $(x_*(\cdot), u_*(\cdot))$  eine starke lokale Minimalstelle der Aufgabe (4.20), dann existieren nach Theorem F.5 nicht gleichzeitig verschwindende Lagrangesche Multiplikatoren  $\lambda_0 \geq 0$ , das Funktional  $y^* \in C_{\lim}^*(\mathbb{R}_+, \mathbb{R}^n)$  und  $l_i \in \mathbb{R}^{s_i}$  derart, dass folgende Bedingungen gelten:

(a) Die Lagrange-Funktion besitzt bezüglich  $x(\cdot)$  in  $x_*(\cdot)$  einen stationären Punkt, d. h.

$$\mathcal{L}_x(x_*(\cdot), u_*(\cdot), \lambda_0, y^*, l_0, l_1) = 0; \quad (4.21)$$

(b) Die Lagrange-Funktion erfüllt bezüglich  $u(\cdot)$  in  $u_*(\cdot)$  die Minimumbedingung

$$\mathcal{L}(x_*(\cdot), u_*(\cdot), \lambda_0, y^*, l_0, l_1) = \min_{u(\cdot) \in \mathcal{U}} \mathcal{L}(x_*(\cdot), u(\cdot), \lambda_0, y^*, l_0, l_1). \quad (4.22)$$

Aufgrund (4.21) ist folgende Variationsgleichung für alle  $x(\cdot) \in C_{\lim}(\mathbb{R}_+, \mathbb{R}^n)$  erfüllt:

$$\begin{aligned} 0 &= \lambda_0 \cdot \int_0^\infty \omega(t) \langle f_x(t, x_*(t), u_*(t)), x(t) \rangle dt \\ &\quad + \int_0^\infty \left[ x(t) - x(0) - \int_0^t \varphi_x(s, x_*(s), u_*(s)) x(s) ds \right]^T d\mu(t) \\ &\quad + \langle l_0, h'_0(x_*(0)) x(0) \rangle + \langle l_1, \lim_{t \rightarrow \infty} h_{1,x}(t, x_*(t)) x(t) \rangle. \end{aligned}$$

Dabei ist  $\mu$  nach Folgerung B.25 ein signiertes reguläres Borelsches Maß über  $\overline{\mathbb{R}}_+$ , welche im Anhang A.4 in Definition A.9 eingeführt sind. Wir ändern die Integrationsreihenfolge und setzen  $p(t) = \int_t^\infty d\mu(s)$ . Damit ist  $p(\cdot)$  von beschränkter Variation. Wir erhalten wegen der eindeutigen Darstellung eines stetigen linearen Funktional im Raum  $C_{\lim}(\mathbb{R}_+, \mathbb{R}^n)$

$$\begin{aligned} p(t) &= - \lim_{t \rightarrow \infty} h_{1,x}(t, x_*(t)) l_1 \\ &\quad + \int_t^\infty \left( \varphi_x^T(s, x_*(s), u_*(s)) p(s) - \lambda_0 \omega(s) f_x(s, x_*(s), u_*(s)) \right) ds, \\ p(t_0) &= h_0'^T(x_*(t_0)) l_0, \quad \lim_{t \rightarrow \infty} p(t) = - \lim_{t \rightarrow \infty} h_{1,x}(t, x_*(t)) l_1. \end{aligned}$$

Die erste Gleichung liefert die absolute Stetigkeit von  $p(\cdot)$ . Damit sind die Bedingungen (4.17) und (4.18) von Theorem 4.5 gezeigt.

Gemäß (4.22) gilt für alle  $u(\cdot) \in \mathcal{U}$  die Ungleichung

$$\int_0^\infty H^u(t, x_*(t), u_*(t), p(t), \lambda_0) dt \geq \int_0^\infty H^u(t, x_*(t), u(t), p(t), \lambda_0) dt.$$

Daraus folgt abschließend durch Standardtechniken für Lebesguesche Punkte die Maximumbedingung (4.19). Der Beweis von Theorem 4.5 ist abgeschlossen. ■

### 4.3.3. Zur normalen Form und zu Transversalitätsbedingungen

Für die Aufgabe (4.10)–(4.13) lassen sich Aussagen über die Normalform des Pontrjaginschen Maximumprinzips und zu diversen Transversalitätsbedingungen ableiten.

Wir betrachten zunächst die Aufgabe (4.10)–(4.13) mit freiem Endpunkt im Unendlichen. Dann genügt die Adjungierte  $p(\cdot)$  nach Theorem 4.5 dem Randwertproblem

$$\dot{p}(t) = -\varphi_x^T(t, x_*(t), u_*(t))p(t) + \lambda_0\omega(t)f_x(t, x_*(t), u_*(t)), \quad \lim_{t \rightarrow \infty} p(t) = 0.$$

**Folgerung 4.8.** *In der Aufgabe (4.10)–(4.13) mit freiem Endpunkt im Unendlichen ergeben sich aus dem Maximumprinzip die “natürlichen” Transversalitätsbedingungen:*

$$\lim_{t \rightarrow \infty} p(t) = 0, \quad \lim_{t \rightarrow \infty} \langle p(t), x(t) \rangle = 0 \text{ für alle } x(\cdot) \in W_\infty^1(\mathbb{R}_+, \mathbb{R}^n).$$

Nach Voraussetzung des Maximumprinzips ist

$$\int_0^\infty \|\varphi_x(t, x_*(t), u_*(t))\| dt < \infty.$$

Unter der Annahme  $\lambda_0 = 0$  würde die Adjungierte als Lösung der Gleichung

$$\dot{p}(t) = -\varphi_x^T(t, x_*(t), u_*(t))p(t), \quad \lim_{t \rightarrow \infty} p(t) = 0,$$

nach Lemma C.7 im Widerspruch zu Theorem 4.5 identisch verschwinden.

**Folgerung 4.9.** *In der Aufgabe (4.10)–(4.13) mit freiem Endpunkt im Unendlichen gilt  $\lambda_0 \neq 0$  und wir können ohne Einschränkung  $\lambda_0 = 1$  annehmen.*

Wegen der Integrierbarkeit der Abbildung  $t \rightarrow \varphi_x(t, x_*(t), u_*(t))$  über  $\mathbb{R}_+$  können wir die die in  $t = 0$  normalisierten Fundamentalmatrizen  $Y_*(t)$  bzw.  $Z_*(t)$  der homogenen Systeme

$$\dot{y}(t) = \varphi_x(t, x_*(t), u_*(t))y(t), \quad \dot{z}(t) = -\varphi_x^T(t, x_*(t), u_*(t))z(t)$$

im Rahmen des Raumes  $C_{\lim}(\mathbb{R}_+, \mathbb{R}^n)$  betrachten. Die Adjungierte  $p(\cdot)$  erfüllt nach Theorem 4.5 die Gleichung (4.17) und es gilt  $\lambda_0 = 1$  nach Folgerung 4.9. Damit besitzt die Adjungierte  $p(\cdot)$  für  $t, T \in \mathbb{R}_+$  die Darstellung (vgl. Aseev & Kryazhimskii [2])

$$p(t) = Z_*(t) \left( Z_*^{-1}(T)p(T) + \int_T^t \omega(s)Z_*^{-1}(s)f_x(s, x_*(s), u_*(s))ds \right).$$

Es bezeichne ferner  $y_\xi(\cdot) \in C_{\lim}(\mathbb{R}_+, \mathbb{R}^n)$  die Funktion  $y_\xi(t) = Y_*(t)Y_*^{-1}(T)\xi$  mit  $\xi \in \mathbb{R}^n$  und  $\|\xi\| = 1$ . Verwenden wir nun  $Z_*^{-1}(t) = Y_*^T(t)$ , so ergibt sich

$$\langle p(t), y_\xi(t) \rangle = \left\langle p(T) + Z_*(T) \int_T^t \omega(s)Z_*^{-1}(s)f_x(s, x_*(s), u_*(s))ds, \xi \right\rangle.$$

Unter Verwendung der “natürlichen” Transversalitätsbedingungen in Folgerung 4.8 und wegen der Willkürlichkeit von  $\xi$  erhalten wir daraus die Integraldarstellung der Arbeiten von Aseev & Kryazhimskii und Aseev & Veliov [2–5]:

**Folgerung 4.10.** *Es genüge  $(x_*(\cdot), u_*(\cdot))$  den Voraussetzungen des Pontrjaginschen Maximumprinzips 4.5. Ist  $(x_*(\cdot), u_*(\cdot))$  ein starkes lokales Minimum der Aufgabe (4.10)–(4.13) mit freiem Endpunkt im Unendlichen, dann besitzt die Adjungierte  $p(\cdot)$  die Darstellung*

$$p(t) = -Z_*(t) \int_t^\infty \omega(s) Z_*^{-1}(s) f_x(s, x_*(s), u_*(s)) ds.$$

Dabei ist  $Z_*(t)$  die in  $t = 0$  normalisierte Fundamentalmatrix des linearen Systems

$$\dot{z}(t) = -\varphi_x^T(t, x_*(t), u_*(t))z(t).$$

In der Aufgabe (4.10)–(4.13) seien nun gewisse Randwerte im Unendlichen explizit gegeben, d. h.  $h_1(t, x(t)) = x(t) - x_1$ . Wir schließen dabei nicht aus, dass dabei gewisse Komponenten von  $x_1$  nicht fest vorgegeben, sondern ohne Einschränkung sind. Wir sprechen dabei von expliziten Randbedingungen wenn für  $x(t) = (x_1(t), \dots, x_n(t))$  gilt:

$$\lim_{t \rightarrow \infty} x_i(t) = x_i \in \mathbb{R}, \quad \lim_{t \rightarrow \infty} x_j(t) \text{ frei}, \quad i = 1, \dots, l, \quad j = l + 1, \dots, n.$$

Daher verschwinden einerseits bei expliziten Randwerten im Unendlichen die entsprechenden Komponenten  $x_i(t) - x_{*i}(t)$  für  $t \rightarrow \infty$ ,  $i = 1, \dots, l$ . Für diejenigen Komponenten, für die die Randwerte im Unendlichen frei sind, verschwinden die entsprechenden Komponenten  $p_j(t)$  der Adjungierten für  $t \rightarrow \infty$ ,  $j = l + 1, \dots, n$ . Damit können wir festhalten:

**Folgerung 4.11.** *In der Aufgabe (4.10)–(4.13) mit expliziten Randbedingungen im Unendlichen ergibt sich aus dem Maximumprinzip die "natürliche" Transversalitätsbedingung*

$$\lim_{t \rightarrow \infty} \langle p(t), x(t) - x_*(t) \rangle = 0 \quad \text{für alle zulässige } x(\cdot) \in W_\infty^1(\mathbb{R}_+, \mathbb{R}^n).$$

In der Aufgabe (4.10)–(4.13) mit freiem Endpunkt nehmen wir nun an, dass die Verteilungsfunktion  $\omega(\cdot) \in L_1(\mathbb{R}_+, \mathbb{R}_+)$  im Unendlichen verschwindet. Dann folgen aus der gleichmäßigen Stetigkeit der Abbildungen  $f$ ,  $\varphi$  und aus der Beschränktheit des Steuerungsprozesses  $(x_*(\cdot), u_*(\cdot))$  die Grenzwerte

$$\lim_{t \rightarrow \infty} \omega(t) f(t, x_*(t), u_*(t)) = 0, \quad \lim_{t \rightarrow \infty} \langle p(t), \varphi(t, x_*(t), u_*(t)) \rangle = 0.$$

**Folgerung 4.12.** *In der Aufgabe (4.10)–(4.13) mit freiem Endpunkt im Unendlichen besitze die Verteilungsfunktion  $\omega(\cdot)$  einen Grenzwert im Unendlichen, d. h.*

$$\lim_{t \rightarrow \infty} \omega(t) = 0.$$

Dann ergibt sich die Bedingung von Michel [56] :

$$\lim_{t \rightarrow \infty} H(t, x_*(t), u_*(t), p(t), \lambda_0) = 0.$$

#### 4.3.4. Hinreichende Bedingungen nach Arrow

Unser Vorgehen zur Herleitung der hinreichenden Bedingungen basiert wieder auf der Darstellung in Seierstad & Sydsæter [66] (vgl. auch Abschnitt 2.4.3). Wir betrachten das Steuerungsproblem

$$J(x(\cdot), u(\cdot)) = \int_0^\infty \omega(t) f(t, x(t), u(t)) dt \rightarrow \inf, \quad (4.23)$$

$$\dot{x}(t) = \varphi(t, x(t), u(t)), \quad (4.24)$$

$$x(0) = x_0, \quad \lim_{t \rightarrow \infty} x(t) = x_1, \quad (4.25)$$

$$u(t) \in U \subseteq \mathbb{R}^m, \quad U \neq \emptyset. \quad (4.26)$$

Ebenso wie im Abschnitt 2.4.3 liegen in der Aufgabenstellung die Bedingungen (4.25) in gemischter Form mit freien und festen Randwerten vor.

Wir betrachten die Menge  $V_\gamma^S(t) = \{x \in \mathbb{R}^n \mid \|x - x_*(t)\| < \gamma\}$ . Außerdem bezeichnet

$$\mathcal{H}^U(t, x, p) = \sup_{u \in U} H^U(t, x, u, p, 1)$$

die Hamilton-Funktion  $\mathcal{H}^U$  im normalen Fall.

**Theorem 4.13.** *In der Aufgabe (4.23)–(4.26) sei  $(x_*(\cdot), u_*(\cdot)) \in \mathcal{B}_{\text{Lip}}^U \cap \mathcal{B}_{\text{adm}}^U$  und es sei  $p(\cdot) : \mathbb{R}_+ \rightarrow \mathbb{R}^n$ . Ferner gelte:*

(a) *Das Tripel  $(x_*(\cdot), u_*(\cdot), p(\cdot))$  erfüllt (4.17)–(4.19) in Theorem 4.5 mit  $\lambda_0 = 1$ .*

(b) *Für jedes  $t \in \mathbb{R}_+$  ist die Funktion  $\mathcal{H}^U(t, x, p(t))$  konkav in  $x$  auf  $V_\gamma^S(t)$ .*

*Dann ist  $(x_*(\cdot), u_*(\cdot))$  ein starkes lokales Minimum der Aufgabe (4.23)–(4.26).*

**Beweis** Auf die gleiche Weise wie im Beweis von Theorem 2.5 in Abschnitt 2.4.3 ergibt sich zu  $T \in \mathbb{R}_+$  die Beziehung

$$\begin{aligned} \Delta(T) &= \int_0^T \omega(t) [f(t, x(t), u(t)) - f(t, x_*(t), u_*(t))] dt \\ &\geq \int_0^T [\mathcal{H}^U(t, x_*(t), p(t)) - \mathcal{H}^U(t, x(t), p(t))] dt + \int_0^T \langle p(t), \dot{x}(t) - \dot{x}_*(t) \rangle dt \\ &\geq \langle p(T), x(T) - x_*(T) \rangle - \langle p(0), x(0) - x_*(0) \rangle. \end{aligned}$$

Im Fall fester Anfangs- und Endbedingungen verschwinden die Differenzen  $x(0) - x_*(0)$  und  $x(T) - x_*(T)$  für  $T \rightarrow \infty$ . Sind jedoch gewissen Komponenten im Anfangs- oder Endpunkt  $x_0$  bzw.  $x_1$  frei, dann liefern die Transversalitätsbedingungen, dass die entsprechenden Komponenten der Adjungierten  $p(\cdot)$  zum Zeitpunkt  $t = 0$  bzw. im Unendlichen verschwinden. Daher folgt die Beziehung

$$\lim_{T \rightarrow \infty} \Delta(T) \geq \lim_{T \rightarrow \infty} \langle p(T), x(T) - x_*(T) \rangle - \langle p(0), x(0) - x_*(0) \rangle = 0$$

für alle zulässigen  $(x(\cdot), u(\cdot))$  mit  $\|x(\cdot) - x_*(\cdot)\|_\infty < \gamma$ . ■

**Bemerkung 4.14.** Die Herleitung der hinreichenden Bedingungen in Theorem 4.13 basiert im Wesentlichen auf der Konkavität der Hamilton-Funktion  $\mathcal{H}^U$ . Daher müssen bei der Anwendung von Theorem 4.13 die Einschränkungen (4.15) und (4.16) nicht gelten. Dies hat weiterhin zur Folge, dass im Fall des freien Endpunktes die Trajektorie  $x_*(\cdot)$  lediglich beschränkt sein muss.  $\square$

**Beispiel 4.15.** Im Beispiel 4.6 lieferten die notwendigen Bedingungen (4.17)–(4.19) den Schaltpunkt  $\tau = \ln x_1$  und das Tripel

$$\begin{aligned} x_*(t) &= \begin{cases} e^t, & t \in [0, \tau), \\ x_1, & t \in [\tau, \infty), \end{cases} & u_*(t) &= \begin{cases} 1, & t \in [0, \tau), \\ 0, & t \in [\tau, \infty), \end{cases} \\ p(t) &= \begin{cases} e^{(1-\varrho)\tau} e^{-t}, & t \in [0, \tau), \\ \frac{\varrho-1}{\varrho} e^{-\varrho\tau} + \frac{1}{\varrho} e^{-\varrho t}, & t \in [\tau, \infty). \end{cases} \end{aligned}$$

Es ist die Hamilton-Funktion  $\mathcal{H}^U$  konkav in  $x$  und damit  $(x_*(\cdot), u_*(\cdot))$  ein starkes lokales Maximum der Aufgabe.  $\square$

**Beispiel 4.16.** In der Aufgabe des linear-quadratischen Reglers

$$\begin{aligned} J(x(\cdot), u(\cdot)) &= \int_0^\infty e^{-2t} \cdot \frac{1}{2} (x^2(t) + u^2(t)) dt \rightarrow \inf, \\ \dot{x}(t) &= 2x(t) + u(t), \quad x(0) = 2, \quad u(t) \in \mathbb{R} \end{aligned}$$

sind die restriktiven Bedingungen (4.15), (4.16) nicht erfüllt und es ist das Pontrjaginsche Maximumprinzip 4.5 nicht anwendbar.

Es liefern die Bedingungen (4.17)–(4.19) den Steuerungsprozess und die Adjungierte

$$x_*(t) = 2e^{(1-\sqrt{2})t}, \quad u_*(t) = -2(1 + \sqrt{2})e^{(1-\sqrt{2})t}, \quad p(t) = e^{-2t}u_*(t).$$

Da die Hamilton-Funktion  $\mathcal{H}^U$  konkav bezüglich  $x$  ist, ist  $(x_*(\cdot), u_*(\cdot))$  nach Theorem 4.13 ein starkes lokales Minimum.  $\square$

**Beispiel 4.17.** Im Beispiel 4.7 mit Budgetbeschränkung,

$$\begin{aligned} J(x(\cdot), z(\cdot), u(\cdot)) &= \int_0^\infty e^{-\varrho t} (1 - u(t))x(t) dt \rightarrow \sup, \\ \dot{x}(t) &= u(t)x(t), \quad x(0) = 1, \quad \dot{z}(t) = e^{-\varrho t}x(t), \quad z(0) = 0, \quad \lim_{t \rightarrow \infty} z(t) = Z, \\ u &\in [0, 1], \quad \varrho \in (0, 1), \end{aligned}$$

ist jeder zulässige Steuerungsprozess  $(x(\cdot), z(\cdot), u(\cdot))$  global optimal. Die Voraussetzung  $(x(\cdot), z(\cdot), u(\cdot)) \in \mathcal{B}_{\text{adm}}^U$  in Theorem 4.13 ist genau dann erfüllt, wenn die Steuerung  $u(\cdot)$  dem Raum  $L_1(\mathbb{R}_+, [0, 1])$  angehört. Für jeden zulässigen Steuerungsprozess sind mit den Multiplikatoren

$$\lambda_0 = 1, \quad p(t) = e^{-\varrho t}, \quad q(t) = \varrho - 1$$

die notwendigen Bedingungen (4.17)–(4.19) erfüllt. Weiterhin ist die Hamilton-Funktion  $\mathcal{H}^U$  offenbar bezüglich  $(x, z)$  konkav und es gilt Theorem 4.13.  $\square$

## 4.4. Aufgaben mit Zustandsbeschränkungen

### 4.4.1. Notwendige Optimalitätsbedingungen

**Theorem 4.18** (Pontrjaginsches Maximumprinzip). *In der Aufgabe (4.10)–(4.14) sei  $(x_*(\cdot), u_*(\cdot)) \in \mathcal{B}_{\text{adm}}^{\mathcal{U}} \cap \mathcal{B}_{\text{Lip}}^{\mathcal{U}} \cap \mathcal{B}_{\text{lim}}^{\mathcal{U}}$ . Ist  $(x_*(\cdot), u_*(\cdot))$  ein starkes lokales Minimum der Aufgabe (4.10)–(4.14), dann existieren eine Zahl  $\lambda_0 \geq 0$ , Vektoren  $l_0 \in \mathbb{R}^{s_0}$  und  $l_1 \in \mathbb{R}^{s_1}$ , eine Vektorfunktion  $p(\cdot) : \mathbb{R}_+ \rightarrow \mathbb{R}^n$  und auf den Mengen*

$$T_j = \{t \in \overline{\mathbb{R}}_+ \mid g_j(t, x_*(t)) = 0\}, \quad j = 1, \dots, l,$$

*konzentrierte nichtnegative reguläre Borelsche Maße  $\mu_j$  endlicher Totalvariation (wobei sämtliche Größen nicht gleichzeitig verschwinden) derart, dass die Vektorfunktion  $p(\cdot)$  von beschränkter Variation und rechtsseitig stetig ist, und*

(a) *die adjungierte Gleichung*

$$\begin{aligned} p(t) &= - \lim_{t \rightarrow \infty} h_{1,x}^T(t, x_*(t)) l_1 + \int_t^\infty H_x^{\mathcal{U}}(s, x_*(s), u_*(s), p(s), \lambda_0) ds \\ &\quad - \sum_{j=1}^l \int_t^\infty g_{j,x}(s, x_*(s)) d\mu_j(s), \end{aligned} \quad (4.27)$$

(b) *die Transversalitätsbedingungen*

$$p(0) = h_0^T(x_*(0)) l_0, \quad (4.28)$$

$$\lim_{t \rightarrow \infty} p(t) = \lim_{t \rightarrow \infty} \left[ - h_{1,x}^T(t, x_*(t)) l_1 - \sum_{j=1}^l \mu_j(\{\infty\}) g_{j,x}(t, x_*(t)) \right] \quad (4.29)$$

(c) *und für fast alle  $t \in \mathbb{R}_+$  die Maximumbedingung*

$$H^{\mathcal{U}}(t, x_*(t), u_*(t), p(t), \lambda_0) = \max_{u \in U} H^{\mathcal{U}}(t, x_*(t), u, p(t), \lambda_0) \quad (4.30)$$

*erfüllt sind.*

Gemäß Definition A.9 besitzen die regulären Borelschen Maße  $\mu_j$  in Theorem 4.18 die eindeutige Darstellung  $\mu_j = \mu_{0j} + \mu_j(\{\infty\})$  mit einem regulären Borelschen Maß  $\mu_{0j}$  über  $\mathbb{R}_+$  und mit einem in  $t = \infty$  konzentrierten Maß  $\mu_j(\{\infty\})$ . Ferner gilt nach Anhang A.4:

$$\int_t^\infty g_{j,x}(s, x_*(s)) d\mu_j(s) = \int_t^\infty g_{j,x}(s, x_*(s)) d\mu_{0j}(s) + \lim_{s \rightarrow \infty} \mu_j(\{\infty\}) g_{j,x}(s, x_*(s)).$$

Da die Totalvariation der regulären Borelschen Maße  $\mu_{0j}$  im Unendlichen verschwindet, ergibt sich im Unendlichen die Transversalitätsbedingung (4.29).

**Beispiel 4.19** (Abbau einer nicht erneuerbaren Ressource). Wir betrachten die Aufgabe

$$J(x(\cdot), y(\cdot), u(\cdot)) = \int_0^\infty e^{-\rho t} [pf(u(t)) - ry(t) - qu(t)] dt \rightarrow \sup, \quad (4.31)$$

$$\dot{x}(t) = -u(t), \quad \dot{y}(t) = cf(u(t)), \quad x(0) = x_0 > 0, \quad y(0) = y_0 \geq 0, \quad (4.32)$$

$$x(t) \geq 0, \quad u(t) \geq 0, \quad b, c, \rho, q, r > 0, \quad \rho - rc > 0. \quad (4.33)$$

Die Funktion  $f$  sei zweimal stetig differenzierbar,  $f' > 0$ ,  $f'(0) < \infty$ ,  $f'' < 0$  und es sei  $f'(u) \rightarrow 0$  für  $u \rightarrow \infty$ . In der vorliegenden Formulierung der Aufgabe wurde im Vergleich zu Seierstad & Sydsæter [66] die Restriktion  $\liminf_{t \rightarrow \infty} x(t) \geq 0$  durch die Zustandsbeschränkung  $x(t) \geq 0$  in (4.33) ersetzt.

Ökonomische Interpretation:  $x(t)$  bezeichnet die Menge einer natürlichen Ressource und  $u(t)$  ist die industrielle Abbaurrate dieser Ressource. Auf Basis der Ressource werden Güter mit der Produktionsrate  $f(u(t))$  hergestellt. Die Kosten der Herstellung einer Produktionseinheit ist  $q$  und der Preis einer Gütereinheit am Markt beträgt  $p$ . Bei der Herstellung der Güter entstehen proportional zur Produktion Abfälle, deren Gesamtmenge durch  $y(t)$  beschrieben wird. Die Kosten der Beseitigung der negativen Auswirkungen der Abfallmenge sind  $ry(t)$ . Im Weiteren gehen wir von dem Preis  $p = 1$  aus.

Wegen der Zustandsbeschränkung sind für jeden zulässigen Steuerungsprozess die Beschränkungen an die Dynamik in Theorem 4.18 erfüllt. Wir stellen die Optimalitätsbedingungen von Theorem 4.18 mit  $\lambda_0 = 1$  auf:

(a) Die Pontrjagin-Funktion der Aufgabe (4.31)–(4.33) lautet

$$H^U(t, x, y, u, p_1, p_2, 1) = p_1(-u) + p_2cf(u) + e^{-\rho t}[f(u) - ry - qu].$$

(b) Die Adjungierten genügen den Gleichungen

$$p_1(t) = \int_t^\infty d\mu(s), \quad \dot{p}_2(t) = re^{-\rho t} \Rightarrow p_2(t) = -\frac{r}{\rho}e^{-\rho t} + K.$$

Das auf der Menge  $T = \{t \in \overline{\mathbb{R}}_+ \mid x_*(t) = 0\}$  konzentrierte Maß  $\mu$  ist nichtnegativ. Daher ist  $p_1(t) \geq 0$  über  $\mathbb{R}_+$  und monoton fallend. Ferner erhalten wir  $K = 0$  aus der Transversalitätsbedingung (4.29) bezüglich dem Zustand  $y$ .

(c) Die Maximumbedingung können wir auf folgende Aufgabe reduzieren:

$$\max_{u \geq 0} \left[ -p_1(t)u + cp_2(t)f(u) + e^{-\rho t}[f(u) - qu] \right].$$

Das Einsetzen der Darstellung für  $p_2(t)$  liefert mit  $d = (\rho - rc)/\rho$  weiterhin:

$$\max_{u \geq 0} \left( df(u)e^{-\rho t} - u(p_1(t) + qe^{-\rho t}) \right).$$

Die Reduktion der Maximumbedingung führt für festes  $t$  zu der Funktion

$$g(u) = df(u)e^{-\varrho t} - u(p_1(t) + qe^{-\varrho t}).$$

Diese Funktion ist zweimal stetig differenzierbar und es gilt

$$g'(u) = (df'(u) - q)e^{-\varrho t} - p_1(t), \quad g''(u) = df''(u)e^{-\varrho t}, \quad d = (\varrho - rc)/\varrho > 0.$$

Daher ist  $g$  streng konkav und besitzt auf der Menge  $U = \{u \geq 0\}$  ein Maximum, da  $f'(u) > 0$  und  $f'(u) \rightarrow 0$  für  $u \rightarrow \infty$  gelten. Wir diskutieren drei Fälle:

(A)  $df'(0) \leq q$ : In diesem Fall ist  $g'(0) \leq 0$  und man erhält

$$u_*(t) \equiv 0, \quad x_*(t) \equiv x_0, \quad y_*(t) = y_0 + cf(0)t, \quad p_1(t) \equiv 0, \quad p_2(t) = -\frac{r}{\varrho}e^{-\varrho t}.$$

(B)  $df'(0) > q$  und  $p_1(0) = 0$ : Aus  $g'(u) = (df'(u) - q)e^{-\varrho t} = 0$  erhalten wir die optimale Strategie  $u_*(t) = u_0 > 0$  für alle  $t \in \mathbb{R}_+$ . Also gilt  $x_*(t) = x_0 - u_0t$  auf  $\mathbb{R}_+$ , was  $x_*(t) \geq 0$  widerspricht. In diesem Fall lässt sich kein optimaler Kandidat ableiten.

(C)  $df'(0) > q$  und  $p_1(0) > 0$ : Wegen  $p_1(0) > 0$  wird die Ressource vollständig abgebaut. Andernfalls wäre  $p_1(t) \equiv p_1(0) > 0$ ; im Widerspruch zu (4.29).

Da die Ressource vollständig abgebaut wird, gibt es ein  $t' > 0$  mit  $x_*(t) > 0$  für  $t \in [0, t')$  und  $x_*(t) = 0$  für  $t \geq t'$ . Demnach folgt unmittelbar  $u_*(t) = 0$  für  $t \geq t'$ .

Für  $t \geq t'$  ist  $p_1(\cdot)$  monoton fallend. Ferner erhalten wir für  $t \in \mathbb{R}_+$  die Beziehung

$$g'(u) = 0 \quad \Rightarrow \quad f'(u_*(t)) = \frac{1}{d}(q + p_1(t)e^{\varrho t}).$$

Würde demnach die Adjungierte  $p_1(\cdot)$  für  $t \geq t'$  eine Unstetigkeitsstelle besitzen, dann folgt aus der Monotonie von  $p_1(\cdot)$ , dass die Abbaurate sich wieder sprunghaft vergrößert. Diese Steuerung führt zu einem erneuten Abbau der Ressource, obwohl diese bereits vollständig aufgebraucht ist. Daher ist  $p_1(\cdot)$  in  $t = t'$  stetig.

Für die Adjungierte  $p_1(\cdot)$  erhalten wir damit

$$p_1(t) = (df'(0) - q)e^{-\varrho t'} \quad \text{für } t \leq t', \quad p_1(t) = (df'(0) - q)e^{-\varrho t} \quad \text{für } t \geq t'.$$

Wir zeigen noch, dass der Zeitpunkt  $t' \in (0, \infty)$  existiert und eindeutig ist: Durch

$$f'(u_\tau(t)) = \frac{1}{d}(q + p_1(0)e^{\varrho t}) = \frac{1}{d}(q + [df'(0) - q]e^{\varrho(t-\tau)}), \quad t \in [0, \tau],$$

und  $u_\tau(t) = 0$  für  $t \geq \tau$  wird wegen  $f'(u_\tau(\tau)) = f'(0)$  eine Familie  $u_\tau(\cdot)$  stetiger Funktionen definiert. Dabei gilt  $f'(u_\tau(t)) < f'(u_s(t))$ , d. h.  $u_\tau(t) > u_s(t)$ , für alle  $t \in [0, \tau)$  und  $\tau > s$ . Ferner besitzen die Funktionen  $u_\tau(\cdot)$  die obere Schranke  $\hat{u}$  mit  $f'(\hat{u}) = q/d$ . Außerdem gelten  $u_1(0) = u_1 > 0$  und  $u_{\tau+\Delta}(t + \Delta) = u_\tau(t)$  für  $\tau > 0$ . Damit ist die Funktion  $U(\tau)$ ,

$$U(\tau) := \int_0^\infty u_\tau(t) dt, \quad U(\tau) = \int_0^\tau u_\tau(t) dt > \int_0^{\tau-1} u_1(0) dt = (\tau - 1)u_1 \quad \text{für } \tau > 1,$$

streng monoton wachsend und es gelten  $U(0) = 0$ ,  $U(\tau) \rightarrow \infty$  für  $\tau \rightarrow \infty$ . Der Parameter  $t'$  ergibt sich dann aus der Bedingung  $U(t') = x_0$ .  $\square$

#### 4.4.2. Der Nachweis der notwendigen Optimalitätsbedingungen

Wir betrachten für  $(x(\cdot), u(\cdot)) \in C_{\lim}(\mathbb{R}_+, \mathbb{R}^n) \times L_\infty(\mathbb{R}_+, \mathbb{R}^m)$  die Abbildungen

$$\begin{aligned} J(x(\cdot), u(\cdot)) &= \int_0^\infty \omega(t) f(t, x(t), u(t)) dt, \\ F(x(\cdot), u(\cdot))(t) &= x(t) - x(t_0) - \int_0^t \varphi(s, x(s), u(s)) ds, \quad t \in \mathbb{R}_+, \\ H_0(x(\cdot)) &= h_0(x(0)), \quad H_1(x(\cdot)) = \lim_{t \rightarrow \infty} h_1(t, x(t)), \\ G_j(x(\cdot)) &= \max_{t \in \mathbb{R}_+} g_j(t, x(t)), \quad j = 1, \dots, l. \end{aligned}$$

Die Abbildungen fassen wir in folgenden Funktionenräumen auf:

$$\begin{aligned} J &: C_{\lim}(\mathbb{R}_+, \mathbb{R}^n) \times L_\infty(\mathbb{R}_+, \mathbb{R}^m) \rightarrow \mathbb{R}, \\ F &: C_{\lim}(\mathbb{R}_+, \mathbb{R}^n) \times L_\infty(\mathbb{R}_+, \mathbb{R}^m) \rightarrow C_{\lim}(\mathbb{R}_+, \mathbb{R}^n), \\ H_i &: C_{\lim}(\mathbb{R}_+, \mathbb{R}^n) \rightarrow \mathbb{R}^{s_i}, \quad i = 0, 1, \\ G_j &: C_{\lim}(\mathbb{R}_+, \mathbb{R}^n) \rightarrow \mathbb{R}, \quad j = 1, \dots, l. \end{aligned}$$

Wir setzen  $\mathcal{F} = (F, H_0, H_1)$ , sowie die Menge  $\mathcal{U}$  gemäß

$$\mathcal{U} = \{u(\cdot) \in L_\infty(\mathbb{R}_+, U) \mid u(t) = u_*(t) + \chi_M(t)(w(t) - u_*(t)), \quad w(\cdot) \in L_\infty(\mathbb{R}_+, U), \\ M \subset \mathbb{R}_+ \text{ meßbar und beschränkt}\}$$

und prüfen für die Extremalaufgabe

$$J(x(\cdot), u(\cdot)) \rightarrow \inf, \quad \mathcal{F}(x(\cdot), u(\cdot)) = 0, \quad G_j(x(\cdot)) \leq 0, \quad u(\cdot) \in \mathcal{U} \quad (4.34)$$

im Punkt  $(x_*(\cdot), u_*(\cdot)) \in \mathcal{B}_{\text{Lip}}^U \cap \mathcal{B}_{\text{lim}}^U$  die Voraussetzungen von Theorem F.5:

(A<sub>2</sub>) Mit Verweis auf Abschnitt 4.3.2 sind nur noch die Abbildungen  $G_j$  zu diskutieren. In den Beispielen D.6 und D.7 wird gezeigt, dass die Funktionen  $G_j$  Hintereinanderausführungen einer stetigen, konvexen, eigentlichen Funktion und einer Fréchet-differenzierbaren Abbildung sind. Daher sind nach Lemma D.1 die Funktionen  $G_j$  in  $x_*(\cdot)$  lokalkonvex und bezüglich jeder Richtung gleichmäßig differenzierbar.

Zur Extremalaufgabe (4.34) definieren wir auf

$$C_{\lim}(\mathbb{R}_+, \mathbb{R}^n) \times L_\infty(\mathbb{R}_+, \mathbb{R}^m) \times \mathbb{R} \times C_{\text{lim}}^*(\mathbb{R}_+, \mathbb{R}^n) \times \mathbb{R}^n \times \mathbb{R}^{s_0} \times \mathbb{R}^{s_1}$$

die Lagrange-Funktion  $\mathcal{L} = \mathcal{L}(x(\cdot), u(\cdot), \lambda_0, y^*, l_0, l_1, \lambda)$ ,

$$\mathcal{L} = \lambda_0 J(x(\cdot), u(\cdot)) + \langle y^*, F(x(\cdot), u(\cdot)) \rangle + l_0^T H_0(x(\cdot)) + l_1^T H_1(x(\cdot)) + \sum_{j=1}^l \lambda_j G_j(x(\cdot)).$$

Ist  $(x_*(\cdot), u_*(\cdot))$  eine starke lokale Minimalstelle der Extremalaufgabe (4.34), dann existieren nach Theorem F.5 nicht gleichzeitig verschwindende Lagrangesche Multiplikatoren

$$\lambda_0 \geq 0, \quad y^* \in C_{\text{lim}}^*(\mathbb{R}_+, \mathbb{R}^n), \quad l_0 \in \mathbb{R}^{s_0}, \quad l_1 \in \mathbb{R}^{s_1}$$

und  $\lambda_1 \geq 0, \dots, \lambda_l \geq 0$  derart, dass gelten:

(a) Die Lagrange-Funktion besitzt bezüglich  $x(\cdot)$  in  $x_*(\cdot)$  einen stationären Punkt, d. h.

$$0 \in \partial_x \mathcal{L}(x_*(\cdot), u_*(\cdot), \lambda_0, y^*, l_0, l_1, \lambda); \quad (4.35)$$

(b) Die Lagrange-Funktion erfüllt bezüglich  $u(\cdot)$  in  $u_*(\cdot)$  die Minimumbedingung

$$\mathcal{L}(x_*(\cdot), u_*(\cdot), \lambda_0, y^*, l_0, l_1, \lambda) = \min_{u(\cdot) \in \mathcal{U}} \mathcal{L}(x_*(\cdot), u(\cdot), \lambda_0, y^*, l_0, l_1, \lambda); \quad (4.36)$$

(c) Die komplementären Schlupfbedingungen gelten, d. h.

$$0 = \lambda_j G_j(x(\cdot)), \quad i = 1, \dots, l. \quad (4.37)$$

Aufgrund (4.35) ist folgende Variationsgleichung für alle  $x(\cdot) \in C_{\text{lim}}(\mathbb{R}_+, \mathbb{R}^n)$  erfüllt:

$$\begin{aligned} 0 &= \lambda_0 \cdot \int_0^\infty \omega(t) \langle f_x(t, x_*(t), u_*(t)), x(t) \rangle dt \\ &+ \int_0^\infty \left[ x(t) - x(0) - \int_0^t \varphi_x(s, x_*(s), u_*(s)) x(s) ds \right]^T d\mu(t) \\ &+ \langle l_0, h'_0(x_*(0)) x(0) \rangle + \langle l_1, \lim_{t \rightarrow \infty} h_{1,x}(t, x_*(t)) x(t) \rangle \\ &+ \sum_{j=1}^l \lambda_j \int_0^\infty \langle g_{j,x}(t, x_*(t)), x(t) \rangle d\tilde{\mu}_j(t). \end{aligned}$$

Ebenso wie im Abschnitt 2.5.2 ergibt sich, dass alle Maße  $\mu_j = \lambda_j \tilde{\mu}_j$  auf den Mengen

$$T_j = \{t \in \overline{\mathbb{R}}_+ \mid g_j(t, x_*(t)) = 0\}, \quad j = 1, \dots, l,$$

konzentriert sind. Wir ändern die Integrationsreihenfolge und setzen  $p(t) = \int_t^\infty d\mu(s)$ . Die Funktion  $p(\cdot)$  ist von beschränkter Variation und gemäß den Eigenschaften einer Verteilungsfunktion rechtsseitig stetig über  $\mathbb{R}_+$ . Dann ergeben sich mit den gleichen Argumenten wie in den Abschnitten 2.5.2 und 4.3.2 die Bedingungen (4.27) und (4.28). Gemäß (4.36) gilt für alle  $u(\cdot) \in \mathcal{U}$  die Ungleichung

$$\int_0^\infty H^{\mathcal{U}}(t, x_*(t), u_*(t), p(t), \lambda_0) dt \geq \int_0^\infty H^{\mathcal{U}}(t, x_*(t), u(t), p(t), \lambda_0) dt.$$

Daraus folgt abschließend durch Standardtechniken für Lebesguesche Punkte die Maximumbedingung (4.30).

### 4.4.3. Hinreichende Bedingungen nach Arrow

Die folgende Herleitung von hinreichenden Bedingungen in einem Steuerungsproblem mit gemischten freien und festen Randwerten im Unendlichen basiert wieder auf der Darstellung in Seierstad & Sydsæter [66]. Es wird das folgende Steuerungsproblem untersucht:

$$J(x(\cdot), u(\cdot)) = \int_0^\infty \omega(t) f(t, x(t), u(t)) dt \rightarrow \inf, \quad (4.38)$$

$$\dot{x}(t) = \varphi(t, x(t), u(t)), \quad (4.39)$$

$$x(0) = x_0, \quad \lim_{t \rightarrow \infty} x(t) = x_1, \quad (4.40)$$

$$u(t) \in U \subseteq \mathbb{R}^m, \quad U \neq \emptyset, \quad (4.41)$$

$$g_j(t, x(t)) \leq 0 \quad \text{für alle } t \in \mathbb{R}_+, \quad j = 1, \dots, l. \quad (4.42)$$

Gemäß den vorhergehenden Betrachtungen und Beweisführungen besitzen in dieser Aufgabe die einfließenden Elemente sinnvolle Grenzwerte im Unendlichen. Deswegen beruht der Beweis der hinreichenden Arrow-Bedingungen auf den bekannten Argumenten über dem endlichen Intervall  $[0, T]$  und dem anschließenden Grenzübergang  $T \rightarrow \infty$ .

Wir betrachten die Menge  $V_\gamma^S(t) = \{x \in \mathbb{R}^n \mid \|x - x_*(t)\| < \gamma\}$ . Außerdem bezeichnet

$$\mathcal{H}^U(t, x, p) = \sup_{u \in U} H^U(t, x, u, p, 1)$$

die Hamilton-Funktion  $\mathcal{H}^U$  im normalen Fall.

**Theorem 4.20.** *In der Aufgabe (4.38)–(4.42) sei  $(x_*(\cdot), u_*(\cdot)) \in \mathcal{B}_{\text{Lip}}^U \cap \mathcal{B}_{\text{adm}}^U$ . Außerdem sei die Vektorfunktion  $p(\cdot) : \mathbb{R}_+ \rightarrow \mathbb{R}^n$  stückweise stetig, besitze höchstens abzählbar viele Sprungstellen  $s_k \in (0, \infty)$ , die sich nirgends im Endlichen häufen, und  $p(\cdot)$  sei zwischen diesen Sprüngen stetig differenzierbar. Ferner gelte:*

- (a) *Das Tripel  $(x_*(\cdot), u_*(\cdot), p(\cdot))$  erfüllt (4.17)–(4.19) in Theorem 4.5 mit  $\lambda_0 = 1$ .*
- (b) *Für jedes  $t \in \mathbb{R}_+$  ist die Funktion  $\mathcal{H}^U(t, x, p(t))$  konkav und es sind die Funktionen  $g_j(t, x)$ ,  $j = 1, \dots, l$ , konvex bezüglich  $x$  auf  $V_\gamma^S(t)$ .*

*Dann ist  $(x_*(\cdot), u_*(\cdot))$  ein starkes lokales Minimum der Aufgabe (4.38)–(4.42).*

**Beweis** Wie im Abschnitt 2.4.3 ergibt sich die Ungleichung

$$\begin{aligned} \Delta(T) &= \int_0^T \omega(t) [f(t, x(t), u(t)) - f(t, x_*(t), u_*(t))] dt \\ &\geq \int_0^T [\mathcal{H}^U(t, x_*(t), p(t)) - \mathcal{H}^U(t, x(t), p(t))] dt + \int_0^T \langle p(t), \dot{x}(t) - \dot{x}_*(t) \rangle dt. \end{aligned}$$

Für  $T \neq s_k$  ergibt sich ferner mit den Argumenten aus Abschnitt 2.5.3:

$$\begin{aligned} \Delta(T) &\geq \int_0^T \langle \dot{p}(t), x(t) - x_*(t) \rangle + \langle p(t), \dot{x}(t) - \dot{x}_*(t) \rangle dt \\ &\quad - \int_0^T \sum_{j=1}^l \lambda_j(t) \langle g_{j,x}(t, x_*(t)), x(t) - x_*(t) \rangle dt \\ &\quad - \sum_{s_k < T} \langle p(s_k) - p(s_k^-), x(s_k) - x_*(s_k) \rangle \\ &\geq \int_0^T \langle \dot{p}(t), x(t) - x_*(t) \rangle + \langle p(t), \dot{x}(t) - \dot{x}_*(t) \rangle dt \\ &= \langle p(T), x(T) - x_*(T) \rangle - \langle p(0), x(0) - x_*(0) \rangle. \end{aligned}$$

Da  $p(\cdot)$  eine Funktion beschränkter Variation ist, gilt außerdem

$$\lim_{k \rightarrow \infty} \|p(s_k) - p(s_k^-)\| = 0.$$

Damit ist der Grenzübergang  $T \rightarrow \infty$  gerechtfertigt und wir erhalten aus der Transversalitätsbedingung

$$\lim_{t \rightarrow \infty} p(t) = \lim_{t \rightarrow \infty} \left[ l_1 - \sum_{j=1}^l \mu_j(\{\infty\}) g_{j,x}(t, x_*(t)) \right]$$

die Ungleichung

$$\lim_{T \rightarrow \infty} \Delta(T) = \lim_{T \rightarrow \infty} \int_0^T \omega(t) [f(t, x(t), u(t)) - f(t, x_*(t), u_*(t))] dt \geq 0$$

für alle zulässigen  $(x(\cdot), u(\cdot))$  mit  $\|x(\cdot) - x_*(\cdot)\|_\infty < \gamma$ . ■

**Beispiel 4.21.** Im Beispiel 4.19,

$$\begin{aligned} J(x(\cdot), y(\cdot), u(\cdot)) &= \int_0^\infty e^{-\varrho t} [pf(u(t)) - ry(t) - qu(t)] dt \rightarrow \sup, \\ \dot{x}(t) &= -u(t), \quad \dot{y}(t) = cf(u(t)), \quad x(0) = x_0 > 0, \quad y(0) = y_0 \geq 0, \\ x(t) &\geq 0, \quad u(t) \geq 0, \quad b, c, \varrho, q, r > 0, \quad \varrho - rc > 0, \end{aligned}$$

enthält die Pontrjagin-Funktion

$$H^U(t, x, y, u, p_1, p_2, 1) = p_1(-u) + p_2cf(u) + e^{-\varrho t}[f(u) - ry - qu]$$

bezüglich der Zustandsvariablen  $x$  und  $y$  nur den Term  $e^{-\varrho t}ry$ . Damit ist die Hamilton-Funktion  $\mathcal{H}^U$  konkav bezüglich  $(x, y)$ . Außerdem ist die Zustandsbeschränkung linear in  $x$ . Damit sind die gefundenen Kandidaten in den Fällen (A) und (C) optimal.

## 4.5. Steuerungsprobleme mit endlichem und unendlichem Zeithorizont

Der unendliche Zeithorizont wird oft als sehr langes, aber endliches Zeitintervall aufgefasst. Daraus ergibt sich die Frage, ob ein Steuerungsproblem mit unendlichem Zeithorizont lediglich ein Standardproblem mit endlichem Zeithorizont darstellt. Damit ist zu klären in welcher Beziehung die Standardaufgaben über endlichem und unendlichem Zeithorizont zueinander stehen; es fehlt bisher eine Einordnung der Aufgabe mit unendlichem Zeithorizont in die Theorie der Optimalen Steuerung. Dieser Unternehmung wollen wir uns in diesem Abschnitt stellen.

Ein häufig angewandter Zugang zu Steuerungsproblemen mit unendlichem Zeithorizont ist die Approximation durch eine Aufgabe mit endlichem Zeithorizont. Allerdings zeigt sich bei diesem Ansatz, dass der vollständige Satz an notwendigen Optimalitätsbedingungen verloren geht und das resultierende Pontrjaginsche Maximumprinzip im Hinblick auf die Angabe korrekter Transversalitätsbedingungen unvollständig ist.

Weiterhin basieren Zugänge zu Aufgaben mit dem unbeschränkten Zeitintervall auf der Rückführung auf ein endliches Zeitintervall mittels der Substitution der Zeit. Hierbei offenbart sich das Wesen des unendlichen Zeithorizonts als eine Singularität in der transformierten Aufgabe über endlichem Zeitintervall. Auf diese Weise entsteht also keine Standardaufgabe, sondern durch Auftreten der Singularität eine kaum untersuchte Aufgabenklasse.

Damit sind wir wieder an unserer zentralen Fragestellung: Welche Beziehung besteht zwischen den Aufgaben mit endlichem und unendlichem Zeithorizont? Wir werden zum Abschluss dieses Abschnitts zeigen, dass die entwickelten Methoden und erzielten Ergebnisse für Steuerungsprobleme mit unendlichem Zeithorizont eine direkte Verallgemeinerung für die entsprechenden Argumente und Resultate über endlichem Zeithorizont darstellen. Dies unterstreicht die besonderen Herausforderungen, mit denen wir bei der Behandlung der Aufgabe mit unendlichem Zeithorizont konfrontiert wurden.

### 4.5.1. Zur Approximation durch eine Aufgabe über endlichem Horizont

Es bezeichnet  $\mathcal{B}_{\text{adm}}$  die Menge aller zulässigen Steuerungsprozesse in der Aufgabe

$$J(x(\cdot), u(\cdot)) = \int_0^{\infty} \omega(t) f(t, x(t), u(t)) dt \rightarrow \inf, \quad (4.43)$$

$$\dot{x}(t) = \varphi(t, x(t), u(t)), \quad (4.44)$$

$$h_0(x(0)) = 0, \quad \lim_{t \rightarrow \infty} h_1(t, x(t)) = 0, \quad (4.45)$$

$$u(t) \in U \subseteq \mathbb{R}^m, \quad U \neq \emptyset, \quad (4.46)$$

$$g_j(t, x(t)) \leq 0 \quad \text{für alle } t \in \mathbb{R}_+, \quad j = 1, \dots, l. \quad (4.47)$$

D. h. die Menge aller  $(x(\cdot), u(\cdot))$ , die der Dynamik (4.44) zur Anfangs- und Randbedingung (4.45), den Steuerrestriktionen (4.46) und den Zustandsbeschränkungen (4.47) genügen,

und für die das Zielfunktional (4.43) endlich ist. Zur Gegenüberstellung von verschiedenen Optimalitätsbegriffen betrachten wir globale Optimalitätskriterien.

- (a) Der Steuerungsprozess  $(x_*(\cdot), u_*(\cdot)) \in \mathcal{B}_{\text{adm}}$  heißt global optimal (GO), falls

$$J(x_*(\cdot), u_*(\cdot)) \leq J(x(\cdot), u(\cdot))$$

für alle  $(x(\cdot), u(\cdot)) \in \mathcal{B}_{\text{adm}}$  gilt.

- (b) Der Steuerungsprozess  $(x_*(\cdot), u_*(\cdot)) \in \mathcal{B}_{\text{adm}}$  heißt streng global optimal (SGO), falls

$$J(x_*(\cdot), u_*(\cdot)) < J(x(\cdot), u(\cdot))$$

für alle  $(x(\cdot), u(\cdot)) \in \mathcal{B}_{\text{adm}}$  mit  $(x(\cdot), u(\cdot)) \neq (x_*(\cdot), u_*(\cdot))$  gilt.

Zur Untersuchung des Steuerungsproblems mit unendlichem Zeithorizont wird in den meisten Ansätzen der Aufgabe (4.43)–(4.47) ein Problem über einem endlichen Zeitintervall  $[0, T]$  zugeordnet und der Grenzübergang  $T \rightarrow \infty$  betrachtet. Wir nennen dies die “Approximation durch endlichen Horizont”.

Das zur Aufgabe (4.43)–(4.47) gehörende Problem mit endlichem Zeithorizont lautet

$$J_T(x(\cdot), u(\cdot)) = \int_0^T \omega(t) f(t, x(t), u(t)) dt \rightarrow \inf, \quad (4.48)$$

$$\dot{x}(t) = \varphi(t, x(t), u(t)), \quad (4.49)$$

$$h_0(x(0)) = 0, \quad h_1(T, x(T)) = 0, \quad (4.50)$$

$$u(t) \in U \subseteq \mathbb{R}^m, \quad U \neq \emptyset, \quad (4.51)$$

$$g_j(t, x(t)) \leq 0 \quad \text{für alle } t \in [0, T], \quad j = 1, \dots, l. \quad (4.52)$$

Wegen des Überganges zu einer Aufgabe über endlichem Zeithorizont und der anschließenden Betrachtung des Grenzwertes  $T \rightarrow \infty$  werden die Optimalitätsbegriffe angepasst. Zur Aufgabe (4.48)–(4.52) definieren wir den Defekt  $\Delta(T)$ :

$$\Delta(T) = J_T(x(\cdot), u(\cdot)) - J_T(x_*(\cdot), u_*(\cdot)).$$

- (c) Der Steuerungsprozess  $(x_*(\cdot), u_*(\cdot)) \in \mathcal{B}_{\text{adm}}$  heißt overtaking optimal (OT), falls es zu jedem  $(x(\cdot), u(\cdot)) \in \mathcal{B}_{\text{adm}}$  eine Zahl  $T_0$  gibt mit

$$\Delta(T) = J_T(x(\cdot), u(\cdot)) - J_T(x_*(\cdot), u_*(\cdot)) \geq 0$$

für alle  $T \geq T_0$  (von Weizsäcker [74]).

- (d) Der Steuerungsprozess  $(x_*(\cdot), u_*(\cdot)) \in \mathcal{B}_{\text{adm}}$  heißt catching up optimal (CU), falls

$$\liminf_{T \rightarrow \infty} \Delta(T) = \liminf_{T \rightarrow \infty} J_T(x(\cdot), u(\cdot)) - J_T(x_*(\cdot), u_*(\cdot)) \geq 0$$

für jedes  $(x(\cdot), u(\cdot)) \in \mathcal{B}_{\text{adm}}$  gilt (Gale [29]).

(e) Das Paar  $(x_*(\cdot), u_*(\cdot)) \in \mathcal{B}_{\text{adm}}$  heißt *sporadically catching up optimal* (SCU), falls

$$\limsup_{T \rightarrow \infty} \Delta(T) = \limsup_{T \rightarrow \infty} J_T(x(\cdot), u(\cdot)) - J_T(x_*(\cdot), u_*(\cdot)) \geq 0$$

für jedes  $(x(\cdot), u(\cdot)) \in \mathcal{B}_{\text{adm}}$  gilt (Halkin [37]).

Durch die Betrachtung auf der Menge  $\mathcal{B}_{\text{adm}}$  haben wir in den Definitionen bereits eingefügt, dass für einen zulässigen Steuerungsprozess das Zielfunktional endlich ist. In diversen Arbeiten zu Steuerungsproblemen mit unendlichem Zeithorizont, z. B. bei Aseev & Veliov [3–5], darf das Integral in (4.43) divergieren.

Konvergiert das Zielfunktional für jeden zulässigen Steuerungsprozess, so sind die Optimalitätsbegriffe (CU), (SCU) und (GO) äquivalent, denn es gilt

$$\liminf_{T \rightarrow \infty} \Delta(T) \geq 0 \quad \Leftrightarrow \quad \limsup_{T \rightarrow \infty} \Delta(T) \geq 0 \quad \Leftrightarrow \quad \lim_{T \rightarrow \infty} \Delta(T) \geq 0.$$

Zur Einordnung der Begriffe (SGO) und (OT) führen wir folgendes Beispiel an:

**Beispiel 4.22.** Wir betrachten die Aufgabe

$$\int_0^\infty -u(t)x(t) dt \rightarrow \inf, \quad \dot{x}(t) = -u(t)x(t), \quad x(0) = 1, \quad u(t) \in [0, 1], \quad \varrho > 0.$$

Offenbar ist jede zulässige Trajektorie  $x(\cdot)$  monoton fallend und wegen  $1 \geq x(t) > 0$  beschränkt. Also besitzt sie deswegen einen Grenzwert für  $t \rightarrow \infty$ . Damit gilt

$$J(x(\cdot), u(\cdot)) = \int_0^\infty -u(t)x(t) dt = \int_0^\infty \dot{x}(t) dt = \lim_{t \rightarrow \infty} x(t) - 1 \geq -1.$$

Daher ist jedes Paar  $(x(\cdot), u(\cdot)) \in \mathcal{B}_{\text{adm}}$  mit  $x(t) \rightarrow 0$  global optimal. Dabei gilt:

$$\lim_{t \rightarrow \infty} x(t) = 0 \quad \Leftrightarrow \quad \int_0^\infty u(t) dt = \infty.$$

In diesem Beispiel ist jeder Steuerungsprozess  $(x(\cdot), u(\cdot)) \in \mathcal{B}_{\text{adm}}$  mit  $x(t) \rightarrow 0$  für  $t \rightarrow \infty$  optimal im Sinn von (GO), (CU) und (SCU). Wegen  $J_T(x(\cdot), u(\cdot)) \geq x(T) - 1$  ist unter diesen Steuerungsprozessen nur derjenige optimal im Sinn von (OT), für den  $u(t) \equiv 1$  auf  $\mathbb{R}_+$  gilt. Eine (SGO)-Lösung existiert nicht.  $\square$

Dieses Beispiel verdeutlicht, dass unter der Annahme eines endlichen Zielfunktional zu den bereits erwähnten Äquivalenzen folgende weitere Relationen zwischen den verschiedenen Optimalitätsbegriffen bestehen:

$$(\text{SGO}) \implies (\text{OT}) \implies (\text{CU}) \iff (\text{SCU}) \iff (\text{GO}).$$

Ist demnach die globale Optimalstelle eindeutig, so fallen bei endlichem Zielfunktional die aufgeführten Optimalitätsbegriffe zusammen.

Die Betrachtungen dieses Abschnitts ordnen die Begriffe der globalen Optimalität in den Kontext gängiger Optimalitätsbegriffe ein, die bei der Approximation mit einem endlichen Horizont angewendet werden. Unbehandelt bleibt dabei allerdings die wesentliche Frage, wann eine Familie  $\{(x_*^T(\cdot), u_*^T(\cdot))\}_{T \in \mathbb{R}_+}$  von optimalen Steuerungsprozessen, die sich in der Approximation ergibt, gegen ein globales Optimum konvergiert. Dazu muss man sich vorab im Klaren sein, dass für die Approximation die fundamentale Beziehung

$$\lim_{T \rightarrow \infty} \int_0^T f(t) dt = \int_0^\infty f(t) dt$$

im Allgemeinen nur bei vorliegender Existenz des Lebesgue-Integrals im Zielfunktional gilt. Ein bekanntes Gegenbeispiel ist der Integralsinus:

$$\lim_{T \rightarrow \infty} \int_0^T \frac{\sin t}{t} dt = \frac{\pi}{2}, \quad \int_0^\infty \frac{\sin t}{t} dt \text{ existiert nicht.}$$

Noch weniger überschaubar wird die Situation in der Aufgabe (4.43)–(4.47), in der die Dynamik, sowie Zustands- und Steuerungsbeschränkungen vorkommen. Dann können noch weitere unerwünschte Situationen eintreten. Dazu geben wir das folgende Beispiel an:

**Beispiel 4.23.** Wir betrachten die Aufgabe

$$\int_0^T e^{-\varrho t} (1 - u(t)) x(t) dt \rightarrow \sup, \quad \dot{x}(t) = u(t)x(t), \quad x(0) = 1, \quad u(t) \in [0, 1], \quad \varrho \in (0, 1).$$

Für jedes feste  $T > \tau$  liefert der Steuerungsprozess

$$x_*^T(t) = \begin{cases} e^t, & t \in [0, \tau), \\ e^\tau, & t \in [\tau, T], \end{cases} \quad u_*^T(t) = \begin{cases} 1, & t \in [0, \tau), \\ 0, & t \in [\tau, T], \end{cases} \quad \tau = T + \frac{\ln(1 - \varrho)}{\varrho}$$

das globale Maximum. Betrachten wir den Grenzübergang  $T \rightarrow \infty$ , dann konvergiert die Familie  $\{(x_*^T(\cdot), u_*^T(\cdot))\}_{T \in \mathbb{R}_+}$  punktweise gegen den Steuerungsprozess

$$x_*(t) = e^t, \quad u_*(t) = 1, \quad t \in \mathbb{R}_+.$$

Dieses Paar ist das globale Minimum der Aufgabe mit unendlichem Zeithorizont. □

Ein wesentlicher Augenmerk bei der Herleitung notwendiger Optimalitätsbedingungen liegt auf der Gültigkeit der “natürlichen” Transversalitätsbedingungen

$$\lim_{t \rightarrow \infty} \|p(t)\| = 0, \quad \lim_{t \rightarrow \infty} \langle p(t), x(t) \rangle = 0 \quad \text{für alle zulässigen } x(\cdot)$$

in der Aufgabe (4.43)–(4.46) mit freiem Endpunkt. In diesem Zusammenhang gibt Halkin [37] folgendes Gegenbeispiel an:

**Beispiel 4.24.** In der Aufgabe

$$\int_0^\infty u(t)(1-x(t)) dt \rightarrow \sup, \quad \dot{x}(t) = u(t)(1-x(t)), \quad x(0) = 0, \quad u \in [0, 1],$$

liefert der Steuerungsprozess

$$u_*(t) = \begin{cases} 0, & t \in [0, 1], \\ 1, & t \in [1, \infty), \end{cases} \quad x_*(t) = \begin{cases} 0, & t \in [0, 1], \\ 1 - e^{1-t}, & t \in [1, \infty), \end{cases}$$

ein globales Optimum. Für die zugehörigen Multiplikatoren  $(\lambda_0, p(\cdot)) \neq (0, 0)$ , mit denen die Bedingungen des Maximumprinzips erfüllt sind, gilt dann  $p(t) \equiv -\lambda_0$ ; ein Widerspruch zur Gültigkeit der "natürlichen" Transversalitätsbedingung.  $\square$

**Beispiel 4.25.** In der folgenden Variante eines Beispiels nach Halkin [37],

$$J(x(\cdot), u(\cdot)) = \int_0^\infty e^{-\varrho t} (u(t) - x(t)) dt \rightarrow \sup, \\ \dot{x}(t) = x(t) + u(t), \quad x(0) = 0, \quad u(t) \in [0, 1], \quad \varrho \in (0, 1),$$

erhalten wir für einen zulässigen Steuerungsprozess  $(x(\cdot), u(\cdot))$  für den Zustand

$$x(t) = e^t \cdot \int_0^t u(s)e^{-s} ds, \quad t \geq 0.$$

Damit liefert der Steuerungsprozess  $(x_*(t), u_*(t)) \equiv (0, 0)$  das globale Maximum der Aufgabe. Denn für jeden anderen zulässigen Steuerungsprozess mit einer stückweise stetigen Steuerung, die nicht identisch verschwindet, besitzt das Zielfunktional den Wert  $-\infty$ .

Wir werten die Bedingungen des Pontrjaginschen Maximumprinzips im allgemeinen Fall aus: Die Pontrjagin-Funktion lautet  $H^U(t, x, u, p, \lambda_0) = p(x+u) + \lambda_0 e^{-\varrho t} (u-x)$ . Für die Lösung  $p(\cdot)$  der adjungierten Gleichung ergibt sich

$$\dot{p}(t) = -p(t) + \lambda_0 e^{-\varrho t} \Rightarrow p(t) = \left( p(0) - \frac{\lambda_0}{1-\varrho} \right) e^{-t} + \frac{\lambda_0}{1-\varrho} e^{-\varrho t}, \quad p(0) \in \mathbb{R},$$

und es gilt  $p(t) \rightarrow 0$  für  $t \rightarrow \infty$ . Die Maximumbedingung lautet

$$H^U(t, x_*(t), u_*(t), p(t), \lambda_0) = \max_{u \in [0, 1]} \left[ p(t)(x_*(t) + u) + \lambda_0 e^{-\varrho t} (u - x_*(t)) \right]$$

und ist äquivalent zu der Maximierungsaufgabe

$$\max_{u \in [0, 1]} u [p(t) + \lambda_0 e^{-\varrho t}] = \max_{u \in [0, 1]} u \cdot \left[ \left( p(0) - \frac{\lambda_0}{1-\varrho} \right) e^{-t} + \frac{2-\varrho}{1-\varrho} \lambda_0 e^{-\varrho t} \right].$$

Wäre nun  $\lambda_0 > 0$ , so fällt wegen  $\varrho \in (0, 1)$  der Ausdruck in der eckigen Klammer für alle hinreichend große  $t$  positiv aus, und  $u_*(t) \equiv 0$  kann nicht der Maximumbedingung für fast alle  $t \geq 0$  genügen. Deswegen muss der anormale Fall der notwendigen Optimalitätsbedingungen mit  $\lambda_0 = 0$  eintreten.  $\square$

Die letzten beiden Beispiele zeigen, dass ohne strenge Vorkehrungen die Transversalitätsbedingungen in Abschnitt 4.3.3 oder für die Aufgabe mit freiem Endpunkt der normale Fall mit  $\lambda_0 = 1$  nicht gültig sein müssen.

### 4.5.2. Ein Resultat zur Approximation mit endlichem Horizont

Im letzten Abschnitt wurden die verschiedenen Optimalitätsbegriffe (GO), (SGO) und (OT), (CU), (SCU) eingeführt und die Beziehungen bei endlichem Zielfunktional diskutiert. Dabei kam der Konvergenz des Zielfunktional die tragende Rolle zu.

Dies erweitern wir nun durch folgenden Approximationssatz:

**Satz 4.26.** *In der Aufgabe (4.48)–(4.52) sei  $\{(x_*^T(\cdot), u_*^T(\cdot))\}_{T \in \mathbb{R}_+}$  eine Familie von globalen Minimalstellen, für die folgendes erfüllt sei:*

(A) *Es existiert der endliche Grenzwert  $\lim_{T \rightarrow \infty} J_T(x_*^T(\cdot), u_*^T(\cdot))$ .*

(B) *Es gibt einen zulässigen Steuerungsprozess  $(x_*(\cdot), u_*(\cdot))$  der Aufgabe (4.43)–(4.47) mit*

$$\lim_{T \rightarrow \infty} J_T(x_*^T(\cdot), u_*^T(\cdot)) = J(x_*(\cdot), u_*(\cdot)).$$

*Dann ist  $(x_*(\cdot), u_*(\cdot))$  ein globales Minimum der Aufgabe (4.43)–(4.47).*

**Beweis** Sei  $(x(\cdot), u(\cdot))$  zulässig in der Aufgabe (4.43)–(4.47). Insbesondere ist dann das Zielfunktional in (4.43) endlich. Dann lässt sich zu jedem  $\varepsilon > 0$  eine Zahl  $T' > 0$  derart angeben, dass die Einschränkung des Zielfunktional  $J(x(\cdot), u(\cdot))$  auf das Intervall  $[T, \infty)$  vom Betrag kleiner oder gleich  $\varepsilon$  für alle  $T \geq T'$  ausfällt. Ferner kann die Zahl  $T'$  so gewählt werden, dass  $|J_T(x_*^T(\cdot), u_*^T(\cdot)) - J(x_*(\cdot), u_*(\cdot))| \leq \varepsilon$  für alle  $T \geq T'$  gilt. Mit den suggestiven Bezeichnungen, dass  $J_T$  bzw.  $J$  die Integration des Zielfunktional über  $[0, T]$  bzw. über  $\mathbb{R}_+$  angeben, können wir die Differenz  $J(x(\cdot), u(\cdot)) - J(x_*(\cdot), u_*(\cdot))$  in die Form

$$\begin{aligned} & \left[ J(x(\cdot), u(\cdot)) - J_T(x(\cdot), u(\cdot)) \right] + \left[ J_T(x(\cdot), u(\cdot)) - J_T(x_*^T(\cdot), u_*^T(\cdot)) \right] \\ & + \left[ J_T(x_*^T(\cdot), u_*^T(\cdot)) - J(x_*(\cdot), u_*(\cdot)) \right] \end{aligned}$$

bringen. Aufgrund der Wahl von  $T'$  fallen der erste und dritte Summand größer oder gleich  $-\varepsilon$  für alle  $T \geq T'$  aus. Der zweite Ausdruck ist nichtnegativ, da  $(x_*^T(\cdot), u_*^T(\cdot))$  ein globales Minimum über  $[0, T]$  darstellt. Daher gilt  $J(x(\cdot), u(\cdot)) - J(x_*(\cdot), u_*(\cdot)) \geq -2\varepsilon$  mit beliebigem  $\varepsilon > 0$ . ■

Der Satz 4.26 ist zwar eine hinreichende Bedingung, aber:

- 1.) Der Satz trifft keine Annahmen an eine Konvergenz der Familie  $\{(x_*^T(\cdot), u_*^T(\cdot))\}$ . Im Allgemeinen bleibt damit die Frage nach der Gestalt von  $(x_*(\cdot), u_*(\cdot))$  offen.
- 2.) Selbst bei gewisser Konvergenz der Familie  $\{(x_*^T(\cdot), u_*^T(\cdot))\}$  muss der resultierende Steuerungsprozess keine Lösung liefern.
- 3.) Der Satz enthält keinen Existenznachweis für den Steuerungsprozesses  $(x_*(\cdot), u_*(\cdot))$ .

Bei Aseev & Kryazhinskii [2], Theorem 2.1, sind Voraussetzungen angegeben, unter denen in der Aufgabe (4.43)–(4.46) mit freiem Endpunkt die Annahmen von Satz 4.26 erfüllt sind. Ferner liefert dabei in [2] die Approximation durch die Aufgabe (4.48)–(4.51) mit endlichem Horizont eine Familie von globalen Minimalstellen, die auf jedem endlichen Intervall gleichmäßig gegen das globale Minimum der Aufgabe (4.43)–(4.46) konvergiert.

Wir geben einige Beispiele an, die verschiedene Aspekte von Satz 4.26 dokumentieren. In den ersten beiden Beispielen wird die Bedeutung der Voraussetzungen (A) und (B) hervorgehoben; in den weiteren Beispielen wird die Anwendbarkeit verdeutlicht:

**Beispiel 4.27.** Im Beispiel 4.23 lieferten

$$x_*^T(t) = \begin{cases} e^t, & t \in [0, \tau), \\ e^\tau, & t \in [\tau, T], \end{cases} \quad u_*^T(t) = \begin{cases} 1, & t \in [0, \tau), \\ 0, & t \in [\tau, T], \end{cases} \quad \tau = T + \frac{\ln(1-\varrho)}{\varrho}$$

eine Familie globaler Maxima. Da der Grenzwert von

$$J_T(x_*^T(\cdot), u_*^T(\cdot)) = \int_0^T e^{-\varrho t} (1 - u_*(t)) x_*(t) dt = \int_\tau^T e^{-\varrho t} e^\tau dt = (1 - \varrho)^{\frac{1-\varrho}{\varrho}} \cdot e^{(1-\varrho)T}$$

für  $T \rightarrow \infty$  nicht endlich ist, ist die Voraussetzung (A) nicht erfüllt und Satz 4.26 darf nicht angewendet werden.  $\square$

**Beispiel 4.28.** Wesentlicher Punkt beim Nachweis von Satz 4.26 war die Endlichkeit des Zielfunktions. Das Auftreten einer Gewichtsfunktion  $\omega(\cdot)$  wurde nicht ausdrücklich gefordert. Diesbezüglich betrachten wir eine Aufgabe ohne gewichtetes Zielfunktional:

$$J(x(\cdot)) = \int_0^\infty [(x(t) - 1)^2 + \dot{x}^2(t)] dt \rightarrow \inf, \quad x(0) = 0, \quad \lim_{t \rightarrow \infty} x(t) = 2.$$

Für  $T > 0$  ergibt sich die Grundaufgabe im Beispiel 1.6,

$$J_T(x(\cdot)) = \int_0^T [(x(t) - 1)^2 + \dot{x}^2(t)] dt \rightarrow \inf, \quad x(0) = 0, \quad x(T) = 2,$$

mit der Lösung

$$x_*^T(t) = 1 + \frac{1 + e^{-T}}{e^T - e^{-T}} e^t - \frac{1 + e^T}{e^T - e^{-T}} e^{-t}.$$

Im Grenzwert  $T \rightarrow \infty$  ergibt sich die Trajektorie  $x_*(t) = 1 - e^{-t}$ , die in der Aufgabe mit unendlichem Zeithorizont nicht zulässig ist, da sie die Randbedingung  $\lim_{t \rightarrow \infty} x(t) = 2$  verletzt. Obwohl der Grenzwert  $\lim_{T \rightarrow \infty} J_T(x_*^T(\cdot), u_*^T(\cdot))$  existiert und endlich ist, gibt es keine zulässige Trajektorie  $(x_*(\cdot), u_*(\cdot))$ , die die Voraussetzung (B) in Satz 4.26 erfüllt. Die Aufgabe mit unendlichem Zeithorizont besitzt keine Lösung.  $\square$

**Beispiel 4.29.** Die Voraussetzungen an die Aufgabe (4.10)–(4.14) schließt Probleme mit zyklischen Daten bzw. Lösungen aus, da gewisse Voraussetzungen über Konvergenz im Unendlichen erfüllt sein müssen. Eine einfache Aufgabe mit periodischen Daten ist

$$J(x(\cdot), u(\cdot)) = \frac{1}{2} \int_0^\infty [(x(t) - \cos t)^2 + (u(t) + \sin t)^2] dt \rightarrow \inf,$$

$$\dot{x}(t) = u(t), \quad x(0) = 0, \quad u(t) \in \mathbb{R}.$$

Über jedem endlichen Horizont  $[0, T]$  liefern das Pontrjaginsche Maximumprinzip und die Arrow-Bedingungen in Kapitel 2 die globale Lösung

$$x_*^T(t) = c_1(T)e^t - c_2(T)e^{-t} + \cos t, \quad u_*^T(t) = c_1(T)e^t + c_2(T)e^{-t} - \sin t$$

zu den Koeffizienten

$$c_1(T) = -\frac{e^{-T}}{e^T + e^{-T}}, \quad c_2(T) = \frac{e^T}{e^T + e^{-T}}.$$

In der nachstehenden Abbildung sind die optimalen Trajektorien  $x_*^1(t)$ ,  $x_*^2(t)$ ,  $x_*^3(t)$  zu  $T = 1, 2, 3$ , und  $x_*(t)$  für  $T = \infty$  dargestellt:

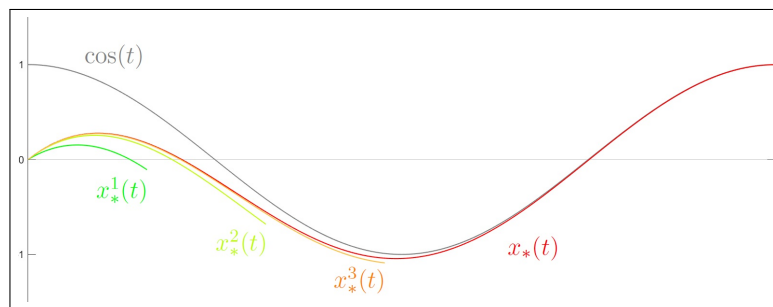


Abbildung 18: Optimale Trajektorien für  $T = 1, 2, 3$  und  $T = \infty$ .

Im Grenzwert  $T \rightarrow \infty$  ergibt sich der Steuerungsprozess

$$x_*(t) = -e^{-t} + \cos t, \quad u_*(t) = e^{-t} - \sin t$$

und für den Wert des Zielfunktional

$$\lim_{T \rightarrow \infty} J_T(x_*^T(\cdot), u_*^T(\cdot)) = \lim_{T \rightarrow \infty} \frac{1}{2} \cdot \frac{1 - e^{-4T}}{(1 + e^{-2T})^2} = \frac{1}{2} = J(x_*(\cdot), u_*(\cdot)).$$

Damit ist der im Unendlichen divergente Prozess  $(x_*(\cdot), u_*(\cdot))$  die globale Lösung. □

### 4.5.3. Transformation der Zeit

Ein Zugang zu Aufgaben mit unendlichem Zeithorizont ist das Zurückführen auf eine Aufgabe über endlichem Zeitintervall mit Hilfe der Substitution der Zeit. Dabei muss eine Zeittransformation stets eine eindeutige Zuordnung zwischen den Intervallen  $[0, 1]$  und  $[0, \infty]$  liefern; also der Stelle 1 den Wert  $\infty$  zuordnen. In der Literatur gebräuchliche Vertreter derartiger Transformationen  $s : [0, \infty] \rightarrow [0, 1]$  bzw.  $t : [0, 1] \rightarrow [0, \infty]$  sind

- die kanonische Kompaktifizierung

$$s(t) = \frac{t}{1+t}, \quad t(s) = \frac{s}{1-s},$$

- die Abbildung

$$s(t) = 1 - e^{-t}, \quad t(s) = -\ln(1-s).$$

Betrachten wir z. B. die Transformation  $t(s) = -\ln(1-s)$ , so gilt

$$t'(s) = v(s) = \frac{1}{1-s} > 0 \quad \text{für } s \in [0, 1)$$

und es wird die Aufgabe (4.43)–(4.47) eindeutig in die Aufgabe (4.48)–(4.52) über dem endlichen Intervall  $[0, 1]$  überführt. Im Abschnitt 1.3.5 wurde gezeigt, dass damit über dem Intervall  $[0, 1]$  die Beziehungen (1.57) und (1.58), d. h.

$$t'(s) = v(s), \quad y'(s) = v(s) \cdot \varphi(t(s), y(s), w(s)), \quad \int_0^1 v(s) \cdot f(t(s), y(s), w(s)) ds,$$

folgen. Beachten wir außerdem die Zustandsbeschränkungen, so besitzt die transformierte Aufgabe nach Abschnitt 2.5.4 die Form

$$\begin{aligned} & \int_0^1 v(s) \cdot \omega(t(s)) f(t(s), y(s), w(s)) ds \rightarrow \inf, \\ & y'(s) = v(s) \cdot \varphi(t(s), y(s), w(s)), \quad t'(s) = v(s), \\ & y(0) = x_0, \quad h(t(1), y(1)) = 0, \quad t(0) = 0, \quad t(1) = \infty, \\ & w(s) \in U, \quad v(s) > 0 \text{ für } s \in [0, 1), \\ & g_j(t(s), y(s)) \leq 0, \quad s \in [0, 1], \quad j = 1, \dots, l. \end{aligned}$$

Die Aufgabe enthält für den Zustand  $t(\cdot)$  die Singularität  $t(1) = \infty$ , die in sämtlichen Elementen dieser Aufgabe einfließt, und außerdem die über  $[0, 1]$  nicht integrierbare und unbeschränkte Funktion  $v(\cdot)$ . Die auf  $[0, 1]$  überführte Aufgabenstellung gehört damit nicht in den Rahmen der klassischen Steuerungsprobleme. Sondern die Substitution der Zeit verdeutlicht viel mehr, dass der unendliche Horizont in der Aufgabe (4.43)–(4.47) selbst eine Singularität ist, die man nicht aus der Betrachtung argumentieren kann. Also kann die Aufgabe (4.43)–(4.47) kein klassisches Problem der Optimalen Steuerung sein.

Das Wesen des unendlichen Zeithorizontes als eine Singularität in der Aufgabe bei der Zurückführung auf ein endliches Zeitintervall mittels der Substitution der Zeit ist nicht unbekannt (vgl. [2]), findet aber in der Literatur weitestgehend keine Beachtung.

#### 4.5.4. Die Einordnung der Aufgabenklassen mit verschiedenen Horizonten

In diesem Abschnitt gehen wir der grundlegenden Frage nach, wie sich die Aufgabenklassen mit endlichem und mit unendlichem Zeithorizont zueinander einordnen.

In den letzten Abschnitten zeigte sich, dass weder die Approximation der Aufgabe mit einem endlichen Zeithorizont noch die Transformation der Zeit im Allgemeinen geeignete Methoden sind, um Steuerungsprobleme mit unendlichem Zeithorizont zu behandeln. Ferner wurde durch das Auftreten der Singularität nach einer Zeittransformation verdeutlicht, in welchem umfassenden Maße sich die Steuerungsprobleme mit unendlichem Zeithorizont von Aufgaben über endlichem Zeitintervall unterscheiden.

Damit stellt sich umgekehrt die Frage, ob sich die Aufgabe mit endlichem Zeitintervall der Aufgabe mit unendlichem Horizont unterordnet: Die Aufgabe (2.15)–(2.19) über endlichem Zeithorizont in Kapitel 2 lautete

$$\left. \begin{aligned} J(x(\cdot), u(\cdot)) &= \int_{t_0}^{t_1} f(t, x(t), u(t)) dt \rightarrow \inf, \\ \dot{x}(t) &= \varphi(t, x(t), u(t)), \\ h_0(x(t_0)) &= 0, \quad h_1(x(t_1)) = 0, \\ u(t) &\in U \subseteq \mathbb{R}^m, \quad U \neq \emptyset, \\ g_j(t, x(t)) &\leq 0 \quad \text{für alle } t \in [t_0, t_1], \quad j = 1, \dots, l. \end{aligned} \right\} \quad (4.53)$$

Bezüglich des Integranden  $f$  und der rechten Seite  $\varphi$  der Dynamik setzen wir:

$$\tilde{f}(t, x, u) = \begin{cases} f(t, x, u), & t \in [t_0, t_1], \\ 0, & t \notin [t_0, t_1], \end{cases} \quad \tilde{\varphi}(t, x, u) = \begin{cases} \varphi(t, x, u), & t \in [t_0, t_1], \\ 0, & t \notin [t_0, t_1]. \end{cases}$$

Mit den Randbedingungen verknüpfen wir die Abbildungen

$$\tilde{h}_0(x) = h_0(x), \quad \tilde{h}_1(t, x) = h_1(x).$$

Außerdem setzen wir bezüglich der Zustandsbeschränkungen

$$\tilde{g}_j(t, x) = \begin{cases} g_j(t_0, x) - (1 - e^{-(t-t_0)^2}), & t < t_0, \\ g_j(t, x), & t \in [t_0, t_1], \\ g_j(t_1, x) - (1 - e^{-(t-t_1)^2}), & t > t_1. \end{cases}$$

Mit der Verteilungsfunktion  $\omega(t) = \chi_{[t_0, t_1]}(t)$  ergibt sich auf diese Weise über dem unendlichen Zeithorizont die Aufgabe

$$\left. \begin{aligned} J(x(\cdot), u(\cdot)) &= \int_0^{\infty} \omega(t) \tilde{f}(t, x(t), u(t)) dt \rightarrow \inf, \\ \dot{x}(t) &= \tilde{\varphi}(t, x(t), u(t)), \\ \tilde{h}_0(x(0)) &= 0, \quad \lim_{t \rightarrow \infty} \tilde{h}_1(t, x(t)) = 0, \\ u(t) &\in U \subseteq \mathbb{R}^m, \quad U \neq \emptyset, \\ \tilde{g}_j(t, x(t)) &\leq 0 \quad \text{für alle } t \in \mathbb{R}_+, \quad j = 1, \dots, l. \end{aligned} \right\} \quad (4.54)$$

Die Aufgabe (4.54) besitzt damit die Gestalt der Aufgabe (4.43)–(4.47). Bezüglich der Verweise auf die Theoreme 4.5 und 4.18 ist anzumerken, dass die unstetigen Anschlüsse der Abbildungen  $\tilde{f}$  und  $\tilde{\varphi}$  in den Stellen  $t = t_0$  und  $t = t_1$  sich nicht nachteilig auf die Beweise der Maximumprinzipien auswirken.

Aus den Festlegungen ist ersichtlich, dass ein Steuerungsprozess  $(\tilde{x}(\cdot), \tilde{u}(\cdot))$  genau dann in der Aufgabe (4.54) zulässig bzw. ein starkes lokales Minimum ist, wenn die Einschränkung  $(x(\cdot), u(\cdot))$  mit  $(x(t), u(t)) = (\tilde{x}(t), \tilde{u}(t))$  für  $t \in [t_0, t_1]$  zulässig bzw. ein starkes lokales Minimum in der Aufgabe (4.53) darstellt. Insbesondere stimmen dann bezüglich der Zustandsbeschränkungen die Mengen

$$T_j = \{t \in [t_0, t_1] \mid g_j(t, x(t)) = 0\}, \quad \tilde{T}_j = \{t \in \overline{\mathbb{R}}_+ = [0, \infty] \mid \tilde{g}_j(t, \tilde{x}(t)) = 0\}$$

für  $j = 1, \dots, l$  überein. Bei der Anwendung der Theoreme 4.5 und 4.18 auf die Aufgabe (4.54) sind die restriktiven Annahmen (4.15) und (4.16) zu beachten, die der Setzung nach für  $\tilde{\varphi}(t, x, u)$  offensichtlich erfüllt sind. Daher existieren nach dem Pontrjaginschen Maximumprinzip (Theorem 4.18) für ein starkes lokales Minimum  $(x_*(\cdot), u_*(\cdot))$  der Aufgabe (4.54) eine Zahl  $\lambda_0 \geq 0$ , Vektoren  $l_0 \in \mathbb{R}^{s_0}$ ,  $l_1 \in \mathbb{R}^{s_1}$ , eine Vektorfunktion  $p(\cdot) : \mathbb{R}_+ \rightarrow \mathbb{R}^n$  und auf den Mengen

$$\tilde{T}_j = \{t \in \overline{\mathbb{R}}_+ \mid \tilde{g}_j(t, x_*(t)) = 0\}, \quad j = 1, \dots, l,$$

konzentrierte nichtnegative Borelsche Maße  $\mu_j$  endlicher Totalvariation (wobei sämtliche Größen nicht gleichzeitig verschwinden) derart, dass die Vektorfunktion  $p(\cdot)$  von beschränkter Variation und rechtsseitig stetig ist, und

(a) die adjungierte Gleichung

$$\begin{aligned} p(t) &= - \lim_{t \rightarrow \infty} \tilde{h}_{1,x}^T(t, x_*(t))l_1 + \int_t^\infty H_x^{\mathcal{U}}(s, x_*(s), u_*(s), p(s), \lambda_0) ds \\ &\quad - \sum_{j=1}^l \int_t^\infty \tilde{g}_{j,x}(s, x_*(s)) d\mu_j(s), \end{aligned}$$

(b) die Transversalitätsbedingungen

$$\begin{aligned} p(0) &= \tilde{h}_0'^T(x_*(0))l_0, \\ \lim_{t \rightarrow \infty} p(t) &= \lim_{t \rightarrow \infty} \left[ - \tilde{h}_{1,x}^T(x_*(t))l_1 - \sum_{j=1}^l \mu_j(\{\infty\}) \tilde{g}_{j,x}(t, x_*(t)) \right] \end{aligned}$$

(c) und für fast alle  $t \in \mathbb{R}_+$  die Maximumbedingung

$$H^{\mathcal{U}}(t, x_*(t), u_*(t), p(t), \lambda_0) = \max_{u \in U} H^{\mathcal{U}}(t, x_*(t), u, p(t), \lambda_0)$$

erfüllt sind.

In der Aufgabe ohne Zustandsbeschränkungen gehört  $p(\cdot)$  dem Raum  $W_\infty^1(\mathbb{R}_+, \mathbb{R}^n)$  an, denn die Verteilungsfunktion  $\omega(t) = \chi_{[t_0, t_1]}(t)$  ist messbar und beschränkt. Weiterhin ergeben sich wegen  $\dot{p}(t) = 0$  für  $t \notin [t_0, t_1]$  aus den Transversalitätsbedingungen unmittelbar

$$p(t_0) = h_0'^T(x_*(t_0))l_0, \quad p(t_1) = -\tilde{h}_{1,x}^T(t_1, x_*(t_1))l_1 = -h_1'^T(x_*(t_1))l_1.$$

Das Pontrjaginsche Maximumprinzip 2.3 über dem endlichen Horizont in Kapitel 2 lässt sich also unmittelbar aus Theorem 4.5 ableiten.

In der Aufgabe mit Zustandsbeschränkungen gelten  $g_j(t, x_*(t)) < 0$  für alle  $t \notin [t_0, t_1]$  und es sind die Maße  $\mu_j$  auf den Mengen  $T_j = \{t \in [t_0, t_1] \mid g_j(t, x(t)) = 0\}$  konzentriert. Daher gelten für  $j = 1, \dots, l$  die Beziehungen

$$\lim_{t \rightarrow t_1^+} \int_t^\infty \tilde{g}_{j,x}(s, x_*(s)) d\mu_j(s) = 0$$

und es ist wieder  $\dot{p}(t) = 0$  für  $t \notin [t_0, t_1]$ . Da die Adjungierte  $p(\cdot)$  rechtsseitig stetig ist und die einseitigen Grenzwerte in  $t = t_1$  existieren, ergeben sich die Transversalitätsbedingung

$$p(t_1) = -h_1'^T(x_*(t_1))l_1$$

und die Sprung-Transversalitätsbedingung

$$p(t_1) - p(t_1^-) = \sum_{j=1}^l \mu_j(\{t_1\}) g_{j,x}(t_1, x_*(t_1)).$$

Zusammenfassend ergibt sich also das Pontrjaginsche Maximumprinzip 2.7 über dem endlichen Horizont für die Aufgabe mit Zustandsbeschränkungen.

Zusammenfassend können wir das Pontrjaginsche Maximumprinzip für die Aufgaben über endlichem Zeithorizont aus den Theoremen 4.5 und 4.18 vollständig ableiten. Die Aufgabe mit unendlichem Zeithorizont und die vorgestellten Ergebnisse im Kapitel 4 stellen somit im Vergleich zum Kapitel 2 echte Verallgemeinerungen dar.

Insbesondere darf im Zielfunktional (4.10) die Funktion  $\omega(\cdot) \in L_1(\mathbb{R}_+, \mathbb{R}_+)$  lokal unbeschränkt sein. Ein Vertreter einer lokal unbeschränkten Dichtefunktion ist die für die Finanz- und Ingenieurmathematik wichtige Weibull-Verteilung mit einer Dichte der Gestalt  $\omega(t) = t^{k-1}e^{-t^k}$  und einem Formparameter  $k \in (0, 1)$ . Die Einbindung von lokal unbeschränkten Dichtefunktionen ist ein Detail, das in der Literatur für die Standardaufgabe (2.15)–(2.19) über endlichem Zeithorizont bisher wenig Beachtung gefunden hat.



---

## 5. Steuerung Volterrascher Integralgleichungen

Die nach Vito Volterra (1860–1940) benannten Integralgleichungen treten in natürlicher Weise in dynamischen Problemen auf, in denen das System eine Form von “Erinnerungsvermögen” besitzt. Da sich im Rahmen der Standardaufgabe und deren Erweiterungen der Einfluss einer Steuervariable stets unmittelbar auf den Zustand auswirkt, kann ein Effekt, der sich im Laufe der Zeit entwickelt, oft nicht modelliert werden. Hier ist die Beschreibung des dynamischen Systems mit Hilfe einer Integralgleichung ein probates Mittel.

Ein Effekt über Zeit kann bei der Zusammenstellung der aggregierten Produktionskapazitäten vorliegen. Die Kapazitäten ergeben sich als die gesamten Investitionen in Produktionsanlagen in den Jahrgängen  $s \leq t$ . Durch Verschleiß, Wartung oder technologischen Fortschritt wird die Produktionsfähigkeit zur Zeit  $t$  der Anlagen des Jahrgangs  $s \leq t$  durch eine Funktion  $\pi(t, s)$  beschrieben. Zum Zeitpunkt  $t$  ergeben sich demnach die gesamten vorliegenden Produktionskapazitäten durch  $P(t) = \int_{t_0}^t \pi(t, s) ds$ .

Im Rahmen der Werbeindustrie wird durch den strategischen Auf- und Ausbau der Produktbekanntheit dem Konsument ein gewisses Produktimage und eine Verbundenheit zu dem Produkt suggeriert. Dabei ist das Management mit der Problemstellung konfrontiert, dass der Bekanntheitsgrad des Produktes durch Werbemaßnahmen über eine gewisse Zeit aufgebaut werden muss. Andererseits lässt die Produktbekanntheit (in Folge dessen auch die Nachfrage) umso stärker nach, je länger der Werbeimpuls in der Vergangenheit liegt. Die aggregierte Auswirkung der Werbekampagne zum einem Zeitpunkt ist demnach das Resultat der gesamten Werbeanstrengungen, die im Vorfeld unternommen wurden.

Optimalitätsbedingungen für die Steuerung von Integralgleichungen werden z. B. bei Bakke [6], Bonnans & De la Vega [12], Carlson [14], Dmitruk & Osmolovskii [20, 21] und Vinokurov [72] behandelt. Im Gegensatz zu den aufgeführten Referenzen erweitern wir im vorliegenden Kapitel die Nadelvariationsmethode für die Standardaufgabe. Der Ausbau der Methodik ist notwendig, da bei der Steuerung von Integralgleichungen die Dynamik nicht mehr über einem Zeitintervall  $\{t \in \mathbb{R} \mid t_0 \leq t \leq t_1\}$ , sondern über einem zweidimensionalen Zeitbereich  $\{(s, t) \in \mathbb{R}^2 \mid t_0 \leq s, t \leq t_1\}$  agiert. Auf diesem Merkmal liegt der Fokus bei der Untersuchung der Aufgabenklasse.

Unsere Darstellungen beginnen wir mit der Herleitung des Maximumprinzips für die elementare Aufgabe mit freiem Endpunkt auf Basis der einfachen Nadelvariation. Anschließend untersuchen wir die allgemeinen Aufgabenklassen mit festen Randwerten und mit Zustandsbeschränkungen. Außerdem geben wir hinreichende Bedingungen nach Arrow an. Als ein Anwendungsbeispiel für die Steuerung von Integralgleichungen betrachten wir in Anlehnung an Feichtinger & Hartl [26] und Kamien & Schartz [49] die Bestimmung von optimalen Werbestrategien. Weitere ökonomische Problemstellungen sind bei Hritonenko & Yatsenko [45] zu finden. Abschließend behandeln wir die Aufgabe mit freiem Anfangs- und Endzeitpunkt. Dabei halten wir uns eng an Dmitruk & Osmolovskii [21].

### 5.1. Die elementare Aufgabe mit freiem Endpunkt

Die Steuerung einer Volterraschen Integralgleichung bezeichnet die Aufgabe

$$J(x(\cdot), u(\cdot)) = \int_{t_0}^{t_1} f(t, x(t), u(t)) dt \rightarrow \inf, \quad (5.1)$$

$$x(t) = x_0 + \int_{t_0}^t \varphi(t, s, x(s), u(s)) ds, \quad t \in [t_0, t_1], \quad (5.2)$$

$$u(t) \in U \subseteq \mathbb{R}^m, \quad U \neq \emptyset, \quad (5.3)$$

die wir bezüglich  $(x(\cdot), u(\cdot)) \in PC_1([t_0, t_1], \mathbb{R}^n) \times PC([t_0, t_1], U)$  untersuchen.

Mit  $\mathcal{D}_{\text{Lip}}^{\mathcal{I}}$  bezeichnen wir die Menge  $(x(\cdot), u(\cdot))$ , für die es ein  $\gamma > 0$  derart gibt, dass die Abbildungen  $f(s, x, u)$ ,  $\varphi(t, s, x, u)$  auf der Menge aller  $(t, s, x, u) \in \mathbb{R} \times \mathbb{R} \times \mathbb{R}^n \times \mathbb{R}^m$  mit

$$t_0 \leq s, t \leq t_1, \quad \|x - x(s)\| < \gamma, \quad u \in \mathbb{R}^m$$

stetig in der Gesamtheit aller Variablen und stetig differenzierbar bezüglich  $x$  sind.

Das Paar  $(x(\cdot), u(\cdot)) \in PC_1([t_0, t_1], \mathbb{R}^n) \times PC([t_0, t_1], U)$  heißt ein zulässiger Steuerungsprozess in der Aufgabe (5.1)–(5.3), falls  $(x(\cdot), u(\cdot))$  dem System (5.2) zu  $x(t_0) = x_0$  genügt. Mit  $\mathcal{D}_{\text{adm}}^{\mathcal{I}}$  bezeichnen wir die Menge der zulässigen Steuerungsprozesse.

Ein zulässiger Steuerungsprozess  $(x_*(\cdot), u_*(\cdot))$  ist eine starke lokale Minimalstelle der Aufgabe (5.1)–(5.3), falls eine Zahl  $\varepsilon > 0$  derart existiert, dass die Ungleichung

$$J(x(\cdot), u(\cdot)) \geq J(x_*(\cdot), u_*(\cdot))$$

für alle  $(x(\cdot), u(\cdot)) \in \mathcal{D}_{\text{adm}}^{\mathcal{I}}$  mit  $\|x(\cdot) - x_*(\cdot)\|_{\infty} < \varepsilon$  gilt.

Es bezeichnet  $H_0^{\mathcal{I}} : \mathbb{R} \times \mathbb{R}^n \times \mathbb{R}^m \times \mathbb{R}^n \times \mathbb{R} \rightarrow \mathbb{R}$  die "einfache" Pontrjagin-Funktion

$$H_0^{\mathcal{I}}(t, x, u, p(\cdot), \lambda_0) = - \int_t^{t_1} \langle \varphi(\tau, t, x, u), \dot{p}(\tau) \rangle dt - \lambda_0 f(t, x, u).$$

**Theorem 5.1** (Pontrjaginsches Maximumprinzip). *Es sei  $(x_*(\cdot), u_*(\cdot)) \in \mathcal{D}_{\text{adm}}^{\mathcal{I}} \cap \mathcal{D}_{\text{Lip}}^{\mathcal{I}}$ . Ist  $(x_*(\cdot), u_*(\cdot))$  ein starkes lokales Minimum der Aufgabe (5.1)–(5.3), dann existiert eine Vektorfunktion  $p(\cdot) \in PC_1([t_0, t_1], \mathbb{R}^n)$  derart, dass*

(a) die adjungierte Gleichung

$$\dot{p}(t) = -H_{0,x}^{\mathcal{I}}(t, x_*(t), u_*(t), p(\cdot), 1), \quad (5.4)$$

(b) in  $t = t_1$  die Transversalitätsbedingung

$$p(t_1) = 0 \quad (5.5)$$

(c) und in fast allen Punkten  $t \in [t_0, t_1]$  die Maximumbedingung

$$H_0^{\mathcal{I}}(t, x_*(t), u_*(t), p(\cdot), 1) = \max_{u \in U} H_0^{\mathcal{I}}(t, x_*(t), u, p(\cdot), 1) \quad (5.6)$$

erfüllt sind.

**Beweis** Da sämtliche Abbildungen stetig und stetig differenzierbar bezüglich  $x$  sind, und  $u_*(\cdot)$  stückweise stetig ist, existiert nach Lemma C.3 eine eindeutige stückweise stetige Lösung  $\dot{p}(\cdot)$  der adjungierten Gleichung (5.4). Angenommen, es ist  $\lambda_0 = 0$ . Dann ergibt sich  $\dot{p}(t_1) = 0$  in (5.4) und damit die eindeutige Lösung  $\dot{p}(\cdot) = 0$ . Wegen der Transversalitätsbedingung  $p(t_1) = 0$  würde außerdem  $p(\cdot) = 0$  im Widerspruch zur Nichttrivialität der Multiplikatoren  $(\lambda_0, p(\cdot))$  gelten. Daher ist  $\lambda_0 > 0$  und man darf  $\lambda_0 = 1$  wählen.

Es sei  $\tau \in (t_0, t_1)$  ein Stetigkeitspunkt der Steuerung  $u_*(\cdot)$ . Dann ist  $u_*(\cdot)$  auch in einer gewissen hinreichend kleinen Umgebung von  $\tau$  stetig und wir wählen ein festes  $\lambda$  positiv und hinreichend klein, so dass sich  $\tau - \lambda$  in dieser Umgebung befindet. Weiter sei nun  $v$  ein beliebiger Punkt aus  $U$ . Wir setzen

$$u(t; v, \tau, \lambda) = u_\lambda(t) = \begin{cases} u_*(t) & \text{für } t \notin [\tau - \lambda, \tau), \\ v & \text{für } t \in [\tau - \lambda, \tau), \end{cases}$$

und es bezeichne  $x_\lambda(\cdot)$ ,  $x_\lambda(t) = x(t; v, \tau, \lambda)$ , die eindeutige Lösung der Gleichung

$$x(t) = x_0 + \int_{t_0}^t \varphi(t, s, x(s), u_\lambda(s)), \quad t \in [t_0, t_1].$$

Dann ist  $x_\lambda(t) = x_*(t)$  für  $t_0 \leq t \leq \tau - \lambda$ . Für  $t \geq \tau$  betrachten wir den Grenzwert

$$y(t) = \lim_{\lambda \rightarrow 0^+} \frac{x_\lambda(t) - x_*(t)}{\lambda}.$$

Nach den Sätzen C.9–C.12 über die Stetigkeit und Differenzierbarkeit der Lösung einer Integralgleichung in Abhängigkeit von den Anfangsdaten ergibt sich für  $y(t)$  im Grenzwert  $\lambda \rightarrow 0^+$  die lineare Integralgleichung

$$\begin{aligned} y(t) &= \varphi(t, \tau, x_*(\tau), v) - \varphi(t, \tau, x_*(\tau), u_*(\tau)) + \int_{\tau}^t \varphi_x(t, s, x_*(s), u_*(s)) y(s) ds \\ &= y(\tau; t) + \int_{\tau}^t \varphi_x(t, s, x_*(s), u_*(s)) y(s) ds. \end{aligned} \quad (5.7)$$

Im Weiteren schreiben wir der Kürze halber

$$f_x[t] = f_x(t, x_*(t), u_*(t)), \quad \varphi_x[t, s] = \varphi_x(t, s, x_*(s), u_*(s)).$$

Mit der adjungierten Gleichung (5.4) erhalten wir für  $t \geq \tau$ :

$$\begin{aligned} \int_{\tau}^{t_1} \langle f_x[t], y(t) \rangle dt &= \int_{\tau}^{t_1} \left\langle \dot{p}(t) - \int_t^{t_1} \varphi_x^T[s, t] \dot{p}(s) ds, y(t) \right\rangle dt \\ &= \int_{\tau}^{t_1} \langle \dot{p}(t), y(t) \rangle dt - \int_{\tau}^{t_1} \left\langle \int_t^{t_1} \varphi_x^T[s, t] \dot{p}(s) ds, y(t) \right\rangle dt. \end{aligned} \quad (5.8)$$

In der Differenz erhalten wir mit (5.7) für den ersten Term

$$\begin{aligned} \int_{\tau}^{t_1} \langle \dot{p}(t), y(t) \rangle dt &= \int_{\tau}^{t_1} \left\langle \dot{p}(t), y(\tau; t) + \int_{\tau}^t \varphi_x[t, s] y(s) ds \right\rangle dt \\ &= \int_{\tau}^{t_1} \langle \dot{p}(t), y(\tau; t) \rangle dt + \int_{\tau}^{t_1} \left( \int_{\tau}^t \langle \dot{p}(t), \varphi_x[t, s] y(s) \rangle ds \right) dt. \end{aligned}$$

Durch Vertauschen der Integrationsreihenfolge und der Variablenbezeichnung von  $t$  und  $s$  ergibt sich im zweiten Term

$$\begin{aligned} \int_{\tau}^{t_1} \left\langle \int_{\tau}^{t_1} \varphi_x^T[s, t] \dot{p}(s) ds, y(t) \right\rangle dt &= \int_{\tau}^{t_1} \left( \int_{\tau}^s \langle \varphi_x^T[s, t] \dot{p}(s), y(t) \rangle dt \right) ds \\ &= \int_{\tau}^{t_1} \left( \int_{\tau}^t \langle \dot{p}(t), \varphi_x[t, s] y(s) \rangle ds \right) dt. \end{aligned}$$

Damit lässt sich die rechte Seite in (5.8) zusammenfassen und führt zu

$$\int_{\tau}^{t_1} \langle f_x[t], y(t) \rangle dt = \int_{\tau}^{t_1} \langle \dot{p}(t), y(\tau; t) \rangle dt. \quad (5.9)$$

Da  $(x_*(\cdot), u_*(\cdot))$  ein starkes lokales Minimum ist, gilt

$$\begin{aligned} 0 &\leq \lim_{\lambda \rightarrow 0^+} \frac{J(x_{\lambda}(\cdot), u_{\lambda}(\cdot)) - J(x_*(\cdot), u_*(\cdot))}{\lambda} \\ &= f(\tau, x_*(\tau), v) - f(\tau, x_*(\tau), u_*(\tau)) + \int_{\tau}^{t_1} \langle f_x(t, x_*(t), u_*(t)), y(t) \rangle dt. \end{aligned}$$

Bei Anwendung von Gleichung (5.9) ergibt sich hieraus die Ungleichung

$$\begin{aligned} & - \int_{\tau}^{t_1} \langle \varphi(t, \tau, x_*(\tau), u_*(\tau)), \dot{p}(t) \rangle dt - f(\tau, x_*(\tau), u_*(\tau)) \\ & \geq \left[ - \int_{\tau}^{t_1} \langle \varphi(t, \tau, x_*(\tau), v), \dot{p}(t) \rangle dt - f(\tau, x_*(\tau), v) \right]. \end{aligned}$$

Damit folgt aus der Definition der Pontrjagin-Funktion mit  $\lambda_0 = 1$ :

$$H_0^{\mathcal{I}}(\tau, x_*(\tau), u_*(\tau), p(\tau), 1) \geq H_0^{\mathcal{I}}(\tau, x_*(\tau), v, p(\tau), 1).$$

Nun ist  $\tau$  ein beliebiger Stetigkeitspunkt von  $u_*(\cdot)$  und  $v$  ein beliebiger Punkt der Menge  $U$ . Demzufolge ist die Beziehung (5.6) in allen Stetigkeitspunkten von  $u_*(\cdot)$  wahr und damit ist das Maximumprinzip bewiesen. ■

**Beispiel 5.2.** Werbekampagnen zeichnen sich dadurch aus, dass sie den Absatz nicht unmittelbar, sondern mit einer zeitlichen Verzögerung beeinflussen. In Anlehnung an Feichtinger & Hartl [26] betrachten wir das Modell:

$$J(x(\cdot), u(\cdot)) = \int_0^T e^{-\varrho t} [\pi x(t) - u(t)] dt \rightarrow \sup, \quad (5.10)$$

$$x(t) = x_0 + \int_0^t e^{-\delta(t-s)} [f(u(s)) - \alpha x(s)] ds, \quad t \in [0, T], \quad (5.11)$$

$$x_0 \in [0, 1], \quad u(t) \geq 0, \quad \varrho > 0, \quad \alpha, \delta \geq 0. \quad (5.12)$$

Dabei bezeichnet  $x(\cdot)$  den Bekanntheitsgrad eines Produktes, der auf  $x(t) \in [0, 1]$  skaliert sei. Der Einsatz von Werbung wird durch die Steuerung  $u(\cdot)$  widergegeben. Die Auswirkungen der Werbestrategie auf den Bekanntheitsgrad wird durch (5.11) festgelegt. Dabei sei  $f$  über  $[0, \infty)$  stetig, differenzierbar und streng monoton wachsend mit

$$f(0) = 0, \quad \lim_{u \rightarrow \infty} f(u) = \gamma \leq \alpha, \quad \lim_{u \rightarrow 0^+} f'(u) = \infty, \quad \lim_{u \rightarrow \infty} f'(u) = 0.$$

Für  $0 < \sigma < 1$  genügen die Funktionen  $f_\sigma(u) = \gamma \frac{u^\sigma}{1 + u^\sigma}$  diesen Bedingungen.

Die Differentiation der Integralgleichung (5.11) nach  $t$  ergibt

$$\begin{aligned} \dot{x}(t) &= -\delta \int_0^t e^{-\delta(t-s)} [f(u(s)) - \alpha x(s)] ds + [f(u(t)) - \alpha x(t)] \\ &= -\delta[x(t) - x_0] + [f(u(t)) - \alpha x(t)] = -(\alpha + \delta)x(t) + \delta x_0 + f(u(t)) \end{aligned}$$

und die Aufgabe (5.10)–(5.12) erhält die Gestalt der Standardaufgabe (2.15)–(2.18):

$$J(x(\cdot), u(\cdot)) = \int_0^T e^{-\varrho t} [\pi x(t) - u(t)] dt \rightarrow \sup, \quad (5.13)$$

$$\dot{x}(t) = -(\alpha + \delta)x(t) + \delta x_0 + f(u(t)), \quad x(0) = x_0, \quad (5.14)$$

$$x_0 \in [0, 1], \quad u(t) \geq 0, \quad \varrho > 0, \quad \alpha, \delta \geq 0. \quad (5.15)$$

Im Fall  $\delta = 0$  bekommt die Differentialgleichung (5.14) die Gestalt

$$\dot{x}(t) = f(u(t)) - \alpha x(t), \quad x(0) = x_0,$$

die die Form eines Ebbinghausenschen Vergessensmodell trägt. Hermann Ebbinghausen (1850–1909) gilt als Begründer der experimentellen Gedächtnisforschung.

Der Fall  $u(s) \equiv 0$  überführt (5.14) in die Gestalt  $\dot{x}(t) = -(\alpha + \delta)x(t) + \delta x_0$  zum Anfangswert  $x(0) = x_0$  und besitzt die Lösung

$$x(t) = \frac{\alpha}{\alpha + \delta} x_0 e^{-(\alpha + \delta)t} + \frac{\delta}{\alpha + \delta} x_0. \quad (5.16)$$

Die Popularität  $x(t)$  ergibt sich anhand Gleichung (5.16) durch das Zusammenspiel der Parameter  $\alpha$  und  $\delta$ . Dabei spiegelt der Parameter  $\alpha$  einem der Natur der Sache innewohnenden Attraktivitätsverlust für das Produkt wider, während  $\delta$  ein Stabilitätsmaß, d. h. einen eigendynamischen Erhalt der Popularität innerhalb der Interessengruppe, darstellt. Speziell ergeben sich  $x(t) \equiv x_0$  für  $\alpha = 0$  und es liegt kein Attraktivitätsverlust für das Produkt vor. Im Fall  $\delta = 0$  stellt sich der Popularitätsverlust  $x(t) = x_0 e^{-\alpha t}$  zum Parameter  $\alpha > 0$  ein. Ferner liegt für  $\delta \rightarrow \infty$  eine stabile Faszination für das Produkt vor und es bleibt die Beliebtheit  $x(t) \equiv x_0$  unabhängig vom Parameter  $\alpha \geq 0$  erhalten.

Im Fall der Aufgabe (5.13)–(5.15) liefert das Pontrjaginsche Maximumprinzip in Form von Theorem 2.3 die adjungierte Gleichung

$$\dot{p}(t) = (\alpha + \delta)p(t) - \pi e^{-\varrho t}, \quad p(T) = 0, \quad (5.17)$$

die die Lösung

$$p(t) = -\frac{\pi \cdot e^{-(\alpha+\delta+\varrho)T}}{\alpha + \delta + \varrho} \cdot e^{(\alpha+\delta)t} + \frac{\pi}{\alpha + \delta + \varrho} \cdot e^{-\varrho t} \quad (5.18)$$

besitzt. Die Maximumbedingung führt nun weiter zur der Beziehung

$$\max_{u \geq 0} [p(t) \cdot f(u) - e^{-\varrho t} \cdot u], \quad (5.19)$$

aus der die Gültigkeit der Gleichung  $p(t) \cdot f'(u_*(t)) - e^{-\varrho t} = 0$  bzw.

$$f'(u_*(t)) = \frac{1}{p(t) \cdot e^{\varrho t}} = \frac{\alpha + \delta + \varrho}{\pi(1 - e^{-(\alpha+\delta+\varrho)(T-t)})} = \psi(t) \quad (5.20)$$

resultiert. Die Funktion  $\psi(t)$  ist über  $[0, T)$  positiv und streng monoton wachsend. Im Grenzwert  $t \rightarrow T^-$  ergibt sich  $\psi(t) \rightarrow \infty$ . Aus den Eigenschaften von  $f$  folgt, dass  $u_*(\cdot)$  über  $[0, T]$  stetig, streng monoton fallend mit  $u_*(t) \in [0, 1)$  und  $u_*(T) = 0$  ist.

Wir wenden uns nun der Aufgabe (5.10)–(5.12) zu: Das Pontrjaginsche Maximumprinzip in Form von Theorem 5.1 liefert die adjungierte Gleichung

$$\dot{q}(t) = \int_t^T -\alpha e^{-\delta(\tau-t)} \dot{q}(\tau) d\tau - \pi e^{-\varrho t}, \quad q(T) = 0. \quad (5.21)$$

Ferner führt die Maximumbedingung zu der Beziehung

$$\max_{u \geq 0} \left[ -\int_t^T e^{-\delta(\tau-t)} \dot{q}(\tau) d\tau \cdot f(u) - e^{-\varrho t} u \right]. \quad (5.22)$$

Darin besitzt  $u_*(\cdot)$  wieder die implizite Darstellung  $f'(u_*(t)) = 1/[p(t) \cdot e^{\varrho t}]$ . Der Vergleich von (5.19) und (5.22) ergibt den Zusammenhang  $p(t) = -\int_t^T e^{-\delta(\tau-t)} \dot{q}(\tau) d\tau$ . Durch Differentiation dieser Gleichung nach  $t$  erhalten wir weiter

$$\dot{p}(t) = -\delta \cdot \int_t^T e^{-\delta(\tau-t)} \dot{q}(\tau) d\tau + \dot{q}(t) = \delta p(t) + \dot{q}(t).$$

Es gilt damit  $\dot{q}(t) = \dot{p}(t) - \delta p(t) = \alpha p(t) - \pi e^{-\varrho t}$ . Daher ist

$$\dot{q}(t) = \alpha p(t) - \pi e^{-\varrho t} = \int_t^T -\alpha e^{-\delta(\tau-t)} \dot{q}(\tau) d\tau - \pi e^{-\varrho t}$$

und  $\dot{q}(\cdot)$  genügt der adjungierten Gleichung (5.21). Abschließend erhalten wir mit Hilfe von (5.18) für  $q(\cdot)$  die explizite Darstellung

$$\dot{q}(t) = -\frac{\alpha\pi \cdot e^{-(\alpha+\delta+\varrho)T}}{\alpha + \delta + \varrho} \cdot e^{(\alpha+\delta)t} - \frac{(\delta + \varrho)\pi}{\alpha + \delta + \varrho} \cdot e^{-\varrho t}, \quad q(t) = \int_T^t \dot{q}(s) ds.$$

In dem Modell (5.13)–(5.15) ist es vernünftig anzunehmen, dass zum Abschluss der Werbekampagne das Produkt einen weitergehenden Absatz mit Gesamtumsatz  $S(x(T))$  in Abhängigkeit vom Bekanntheitsgrad  $x(T)$  besitzt. Folglich ergibt sich das Zielfunktional

$$\tilde{J}(x(\cdot), u(\cdot)) = \int_0^T e^{-\varrho t} [\pi x(t) - u(t)] dt + e^{-\varrho T} S(x(T)) \rightarrow \sup.$$

Die Abbildung  $S$  sei stetig und stetig differenzierbar mit  $S'(x) > 0$  für alle  $x \geq 0$ . Das Pontrjaginsche Maximumprinzip für die Aufgabe mit gemischtem Zielfunktional führt wieder auf die adjungierte Gleichung (5.17), jedoch zur Randbedingung

$$p(T) = e^{-\varrho T} S'(x_*(T)).$$

Daraus ergibt sich die Adjungierte

$$p(t) = \left( e^{-\varrho T} S'(x_*(T)) - \frac{\pi}{\alpha + \delta + \varrho} \right) \cdot e^{-(\alpha+\delta+\varrho)(T-t)} + \frac{\pi}{\alpha + \delta + \varrho} \cdot e^{-\varrho t}.$$

Die Maximumbedingung führt erneut auf die Beziehung  $f'(u_*(t)) = 1/[p(t) \cdot e^{\varrho t}]$ , d. h.

$$f'(u_*(t)) = \frac{1}{\frac{\pi}{\alpha + \delta + \varrho} (1 - e^{-(\alpha+\delta+\varrho)(T-t)}) + e^{-\varrho T} S'(x_*(T)) \cdot e^{-(\alpha+\delta+\varrho)(T-t)}}.$$

Die Werbestrategie  $u_*(\cdot)$  ist erneut stetig, aber es gilt am Ende der Planungsperiode

$$f'(u_*(T)) = \frac{1}{e^{-\varrho T} S'(x_*(T))} \in (0, \infty),$$

d. h.  $u_*(T) > 0$ . Demnach werden bis zum Abschluss der Periode Werbemaßnahmen getroffen.  $\square$

## 5.2. Die Aufgabenstellung

Wir betrachten als Steuerung einer Volterraschen Integralgleichung die Aufgabe

$$J(x(\cdot), u(\cdot)) = \int_{t_0}^{t_1} f(t, x(t), u(t)) dt \rightarrow \inf, \quad (5.23)$$

$$x(t) = x(t_0) + \int_{t_0}^t \varphi(t, s, x(s), u(s)) ds, \quad t \in [t_0, t_1], \quad (5.24)$$

$$h_0(x(t_0)) = 0, \quad h_1(x(t_1)) = 0, \quad (5.25)$$

$$u(t) \in U \subseteq \mathbb{R}^m, \quad U \neq \emptyset, \quad (5.26)$$

$$g_j(t, x(t)) \leq 0 \quad \text{für alle } t \in [t_0, t_1], \quad j = 1, \dots, l. \quad (5.27)$$

Darin gelten für die Abbildungen  $f : \mathbb{R} \times \mathbb{R}^n \times \mathbb{R}^m \rightarrow \mathbb{R}$  und  $\varphi : \mathbb{R} \times \mathbb{R} \times \mathbb{R}^n \times \mathbb{R}^m \rightarrow \mathbb{R}^n$ , sowie  $h_i : \mathbb{R}^n \rightarrow \mathbb{R}^{s_i}$  für  $i = 0, 1$  und  $g_j : \mathbb{R} \times \mathbb{R}^n \rightarrow \mathbb{R}$  für  $j = 1, \dots, l$ . Wir betrachten die Aufgabe (5.23)–(5.27) bezüglich der Paare  $(x(\cdot), u(\cdot)) \in C([t_0, t_1], \mathbb{R}^n) \times L_\infty([t_0, t_1], U)$ .

Mit  $\mathcal{B}_{\text{Lip}}^{\mathcal{I}}$  bezeichnen wir die Menge aller Paare  $(x(\cdot), u(\cdot))$ , für die es ein  $\gamma > 0$  derart gibt, dass die Abbildungen  $f(s, x, u)$ ,  $\varphi(t, s, x, u)$ ,  $h_i(x_i)$  und  $g_j(s, x)$  auf der Menge aller Punkte  $(t, s, x, x_0, x_1) \in \mathbb{R} \times \mathbb{R} \times \mathbb{R}^n \times \mathbb{R}^n \times \mathbb{R}^n$  mit

$$t_0 \leq s, t \leq t_1, \quad \|x - x(s)\| < \gamma, \quad \|x_0 - x(t_0)\| < \gamma, \quad \|x_1 - x(t_1)\| < \gamma$$

stetig in der Gesamtheit der Variablen und stetig differenzierbar bezüglich  $x$  bzw.  $x_i$  sind. Daher sind für jede kompakte Menge  $U_1 \subset \mathbb{R}^m$  die Abbildungen  $\varphi$  und  $\varphi_x$  gleichmäßig stetig auf  $V_\gamma^{\mathcal{I}} \times U_1$ : Zu jedem  $\varepsilon > 0$  gibt es ein  $\delta > 0$  mit

$$\|\varphi(t, s, x, u) - \varphi(t', s', x', u')\| < \varepsilon, \quad \|\varphi_x(t, s, x, u) - \varphi_x(t', s', x', u')\| < \varepsilon$$

für alle  $(t, s, x, u), (t', s', x', u') \in V_\gamma^{\mathcal{I}} \times U_1$  mit  $\|(t, s, x, u) - (t', s', x', u')\| < \delta$ .

Das Paar  $(x(\cdot), u(\cdot)) \in C([t_0, t_1], \mathbb{R}^n) \times L_\infty([t_0, t_1], U)$  heißt ein zulässiger Steuerungsprozess in der Aufgabe (5.23)–(5.27), falls  $(x(\cdot), u(\cdot))$  der Dynamik (5.24) genügt, sowie die Randbedingungen (5.25) und Zustandsbeschränkungen (5.27) erfüllt. Die Menge  $\mathcal{B}_{\text{adm}}^{\mathcal{I}}$  bezeichnet die Menge der zulässigen Steuerungsprozesse.

Ein zulässiger Steuerungsprozess  $(x_*(\cdot), u_*(\cdot))$  ist eine starke lokale Minimalstelle der Aufgabe (5.23)–(5.27), falls eine Zahl  $\varepsilon > 0$  derart existiert, dass die Ungleichung

$$J(x(\cdot), u(\cdot)) \geq J(x_*(\cdot), u_*(\cdot))$$

für alle  $(x(\cdot), u(\cdot)) \in \mathcal{B}_{\text{adm}}^{\mathcal{I}}$  mit  $\|x(\cdot) - x_*(\cdot)\|_\infty < \varepsilon$  gilt.

Zur Aufgabe (5.23)–(5.27) definieren wir die Pontrjagin-Funktion wie folgt:

$$H^{\mathcal{I}}(t, x, u, p(\cdot), \lambda_0) = - \int_t^{t_1} \langle \varphi(\tau, t, x, u), dp(\tau) \rangle - \lambda_0 f(t, x, u). \quad (5.28)$$

Dabei sind  $(t, x, u, \lambda_0) \in [t_0, t_1] \times \mathbb{R}^n \times \mathbb{R}^m \times \mathbb{R}$  und  $p(\cdot)$  eine rechtsseitig stetige Vektorfunktion von beschränkter Variation.

### 5.3. Das Pontrjaginsche Maximumprinzip

#### 5.3.1. Notwendige Optimalitätsbedingungen

**Theorem 5.3** (Pontrjaginsches Maximumprinzip). *Es sei  $(x_*(\cdot), u_*(\cdot)) \in \mathcal{B}_{\text{adm}}^{\mathcal{I}} \cap \mathcal{B}_{\text{Lip}}^{\mathcal{I}}$ . Ist  $(x_*(\cdot), u_*(\cdot))$  ein starkes lokales Minimum der Aufgabe (5.23)–(5.26), dann existieren nicht gleichzeitig verschwindende Multiplikatoren  $\lambda_0 \geq 0$ ,  $p(\cdot) \in W_{\infty}^1([t_0, t_1], \mathbb{R}^n)$  und  $l_i \in \mathbb{R}^{s_i}$ ,  $i = 0, 1$ , derart, dass*

(a) die adjungierte Gleichung

$$\dot{p}(t) = -H_x^{\mathcal{I}}(t, x_*(t), u_*(t), p(\cdot), \lambda_0), \quad (5.29)$$

(b) die Transversalitätsbedingungen

$$p(t_0) = h_0'^T(x_*(t_0))l_0, \quad p(t_1^-) = -h_1'^T(x_*(t_1))l_1, \quad p(t_1) = 0 \quad (5.30)$$

(c) und in fast allen Punkten  $t \in [t_0, t_1]$  die Maximumbedingung

$$H^{\mathcal{I}}(t, x_*(t), u_*(t), p(\cdot), \lambda_0) = \max_{u \in U} H^{\mathcal{I}}(t, x_*(t), u, p(\cdot), \lambda_0) \quad (5.31)$$

erfüllt sind.

**Bemerkung 5.4.** In Vergleich zu Abschnitt 2.2.3, wo  $v \rightarrow H^{\mathcal{S}}(\tau, x_*(\tau), v, p(\tau), 1)$  die Profitrate aus direktem  $f(\tau, x_*(\tau), v)$  und indirektem Gewinn  $\langle p(\tau), \varphi(\tau, x_*(\tau), v) \rangle$  bemisst, enthält  $H^{\mathcal{I}}$  den Erwartungswert  $-\int_{\tau}^{t_1} \langle \varphi(t, \tau, x_*(\tau), v), dp(t) \rangle$  zum Gewicht  $p(\cdot)$  über die gesamte künftige Entwicklung des indirekten Gewinnes.  $\square$

**Bemerkung 5.5.** Die durch (5.30) formulierte Sprungbedingung in  $t = t_1$  ist wesentlicher Bestandteil der Transversalitätsbedingungen. Aufgrund der absoluten Stetigkeit der Adjungierten  $p(\cdot)$  kann die adjungierte Gleichung (5.29) in die Form

$$\begin{aligned} \dot{p}(t) &= \int_t^{t_1} \varphi_x^T(\tau, t, x_*(t), u_*(t)) \dot{p}(\tau) d\tau + \varphi_x^T(t_1, t, x_*(t), u_*(t)) (p(t_1) - p(t_1^-)) \\ &\quad + \lambda_0 f_x(t, x_*(t), u_*(t)) \end{aligned}$$

zu den Transversalitätsbedingungen  $p(t_1^-) = -h_1'^T(x_*(t_1))l_1$  und  $p(t_1) = 0$  gebracht werden. Trifft man an dieser Stelle die Vereinbarung, dass die Adjungierte  $p(\cdot)$  in  $t = t_1$  linksseitig stetig ist, so entsteht die adjungierte Gleichung

$$\begin{aligned} \dot{p}(t) &= \int_t^{t_1} \varphi_x^T(\tau, t, x_*(t), u_*(t)) \dot{p}(\tau) d\tau - \varphi_x^T(t_1, t, x_*(t), u_*(t)) p(t_1) \\ &\quad + \lambda_0 f_x(t, x_*(t), u_*(t)) \end{aligned} \quad (5.32)$$

zur Transversalitätsbedingung  $p(t_1) = -h_1'^T(x_*(t_1))l_1$  als abgewandelte Darstellung der adjungierten Gleichung (5.29).  $\square$

**Bemerkung 5.6.** In der elementaren Aufgabe (5.23)–(5.26) mit freiem rechten Endpunkt ist  $p(t_1^-) = p(t_1) = 0$ . Außerdem muss in diesem Fall  $\lambda_0 > 0$  gelten und es kann  $\lambda_0 = 1$  gewählt werden. Ferner erhält in diesem Fall die adjungierte Gleichung (5.32) die Form

$$\dot{p}(t) = \int_t^{t_1} \varphi_x^T(\tau, t, x_*(t), u_*(t)) \dot{p}(\tau) d\tau + f_x(t, x_*(t), u_*(t))$$

und weiterhin die Maximumbedingung (5.31) die Gestalt

$$\begin{aligned} & - \int_t^{t_1} \langle \varphi(\tau, t, x_*(t), u_*(t)), \dot{p}(\tau) \rangle d\tau - f(t, x_*(t), u_*(t)) \\ & = \max_{u \in U} \left[ - \int_t^{t_1} \langle \varphi(\tau, t, x_*(t), u), \dot{p}(\tau) \rangle d\tau - f(t, x_*(t), u) \right]. \end{aligned}$$

Zusammen ergeben sich mit der “einfachen” Pontrjagin-Funktion  $H_0^T$  die Bedingungen des Pontrjaginschen Maximumprinzips in Form von Theorem 5.1 in Abschnitt 5.1.  $\square$

**Bemerkung 5.7.** In der Literatur, z. B. bei Feichtinger & Hartl [26] oder Kamien & Schwartz [49], wird die adjungierte Gleichung (5.29) häufig in der Form

$$\lambda(t) = \int_t^{t_1} \varphi_x^T(\tau, t, x_*(t), u_*(t)) \lambda(\tau) d\tau + f_x(t, x_*(t), u_*(t))$$

angegeben. In unseren Darstellungen korrespondiert dabei die Funktion  $\lambda(\cdot)$  mit der Ableitung  $\dot{p}(\cdot)$  der Adjungierten. Bei Kamien & Schwartz [49] wird nun keine Transversalitätsbedingung für  $\lambda(\cdot)$  angegeben. Jedoch stellen Feichtinger & Hartl [26] bei einer Aufgabe mit dem gemischten Zielfunktional

$$\tilde{J}(x(\cdot), u(\cdot)) = \int_{t_0}^{t_1} f(t, x(t), u(t)) dt + S_1(x(t_1)) \rightarrow \inf$$

die Transversalitätsbedingung  $\lambda(t_1) = -S_1'(x_*(t_1))$  auf. Man beachte, dass weiterhin  $\lambda(\cdot)$  mit  $\dot{p}(\cdot)$  korrespondiert. Insbesondere bei fehlendem Terminalfunktional  $S_1(x)$  würde diese Transversalitätsbedingung  $\lambda(t_1) = \dot{p}(t_1) = 0$  bedeuten. Allerdings ergibt sich im Beispiel optimaler Werbestrategien im Abschnitt 5.2 die Gleichung (5.21), d. h.

$$\dot{q}(t) = \int_t^T -\alpha e^{-\delta(\tau-t)} \dot{q}(\tau) d\tau - \pi e^{-\rho t},$$

die mit  $\lambda(\cdot) = \dot{q}(\cdot)$  die Gestalt

$$\lambda(t) = \int_t^T -\alpha e^{-\delta(\tau-t)} \lambda(\tau) d\tau - \pi e^{-\rho t}$$

erhält und zu der Transversalitätsbedingung  $\lambda(T) = -\pi e^{-\rho T} \neq 0$  führt. Unsere Betrachtungen liefern jedoch neben der adjungierten Gleichung (5.29) bezüglich  $\dot{p}(\cdot)$  außerdem in der Aufgabe mit gemischtem Zielfunktional im Abschnitt 3.1 die Transversalitätsbedingung  $p(t_1) = -h_1'^T(x_*(t_1))l_1 - \lambda_0 S_1'(x_*(t_1))$  zum Terminalfunktional  $S_1$ .  $\square$

### 5.3.2. Der Nachweis der notwendigen Optimalitätsbedingungen

Bei der Herleitung der notwendigen Optimalitätsbedingungen ist bei der Konstruktion der mehrfachen Nadelvariation zur Dynamik (5.23) deren besondere Charakteristik zu beachten: Im Vergleich zur Dynamik (2.16) in der Standardaufgabe (2.15)–(2.19), die in Integraldarstellung die Gestalt

$$x(t) = x(t_0) + \int_{t_0}^t \varphi(s, x(s), u(s)) ds$$

besitzt, liegt nun die Dynamik in der Form

$$x(t) = x(t_0) + \int_{t_0}^t \varphi(t, s, x(s), u(s)) ds$$

vor. Die zusätzliche Variable  $t$  hat dabei den Einfluss, dass anstelle einer rechten Seite  $s \rightarrow \varphi(s, x(s), u(s))$  nun im Rahmen der Steuerung einer Volterraschen Integralgleichung für jedes  $t \in [t_0, t_1]$  die Abbildungsfamilie  $s \rightarrow \{\varphi(\tau, s, x(s), u(s)) \mid \tau \in [t_0, t]\}$  vorliegt. Deswegen sind bezüglich der Aufgabe (5.23)–(5.27) mehrfache Nadelvariationen zu diesen Abbildungsfamilien einzuführen. Daher müssen nun Nadelvariationen über dem Zeitbereich  $\{(t, s) \in \mathbb{R}^2 \mid t_0 \leq s, t \leq t_1\}$  betrachtet werden. Der Nachweis, dass erneut mehrfache Nadelvariationen mit den entsprechenden Eigenschaften existieren, ist bei der Steuerung von Integralgleichungen die Herausforderung.

**Bemerkung 5.8.** Bei genauerem Hinsehen agiert die Volterrasche Integralgleichung über dem dreieckigen Zeitbereich  $\{(t, s) \in \mathbb{R}^2 \mid t_0 \leq s \leq t \leq t_1\}$ . Die (bisher stillschweigende) Erweiterung auf den quadratischen Zeitbereich  $\{(t, s) \in \mathbb{R}^2 \mid t_0 \leq s, t \leq t_1\}$  ist eine formale Sache, die die Darstellungen im Anhang E.6 erleichtern und die Einführung der mehrfachen Nadelvariationen besser illustrieren lässt.  $\square$

Wir betrachten für  $(x(\cdot), u(\cdot)) \in C([t_0, t_1], \mathbb{R}^n) \times L_\infty([t_0, t_1], \mathbb{R}^m)$  die Abbildungen

$$\begin{aligned} J(x(\cdot), u(\cdot)) &= \int_{t_0}^{t_1} f(s, x(s), u(s)) ds, \\ F(x(\cdot), u(\cdot))(t) &= x(t) - x(t_0) - \int_{t_0}^t \varphi(t, s, x(s), u(s)) ds, \quad t \in [t_0, t_1], \\ H_i(x(\cdot)) &= h_i(x(t_i)), \quad i = 0, 1. \end{aligned}$$

Für diese Abbildungen gelten

$$\begin{aligned} J &: C([t_0, t_1], \mathbb{R}^n) \times L_\infty([t_0, t_1], \mathbb{R}^m) \rightarrow \mathbb{R}, \\ F &: C([t_0, t_1], \mathbb{R}^n) \times L_\infty([t_0, t_1], \mathbb{R}^m) \rightarrow C_0([t_0, t_1], \mathbb{R}^n), \\ H_i &: C([t_0, t_1], \mathbb{R}^n) \rightarrow \mathbb{R}^{s_i}, \quad i = 0, 1. \end{aligned}$$

Wir setzen  $\mathcal{F} = (F, H_0, H_1)$  und prüfen für die Extremalaufgabe

$$J(x(\cdot), u(\cdot)) \rightarrow \inf, \quad \mathcal{F}(x(\cdot), u(\cdot)) = 0, \quad u(\cdot) \in L_\infty([t_0, t_1], U) \quad (5.33)$$

im Punkt  $(x_*(\cdot), u_*(\cdot)) \in \mathcal{B}_{\text{adm}}^{\mathcal{I}} \cap \mathcal{B}_{\text{Lip}}^{\mathcal{I}}$  die Voraussetzungen von Theorem F.5:

- (A) Im Vergleich zur Aufgabe (2.15)–(2.19) ist nur noch der Operator  $F$  zu diskutieren. Da  $x_*(\cdot) \in \mathcal{B}_{\text{Lip}}^{\mathcal{I}}$  gilt, ist die Abbildung  $\varphi(t, s, x, u)$  für jedes  $u(\cdot) \in L_\infty([t_0, t_1], U)$  über einem Umgebungsstreifen von  $x_*(\cdot)$  gleichmäßig beschränkt. Daher bildet der Operator  $F$  eine Umgebung des Punktes  $x_*(\cdot)$  in den Raum  $C_0([t_0, t_1], \mathbb{R}^n)$  ab. Beachten wir ferner die stetige Differenzierbarkeit von  $\varphi$  bezüglich  $x$ , so gilt

$$\frac{\varphi(t, s, x + \lambda y, u) - \varphi(t, s, x, u)}{\lambda} = \int_0^1 \varphi_x(t, s, x + \tau \lambda y, u) y \, d\tau.$$

Die Differenzierbarkeit von  $F$  bezüglich  $x(\cdot)$  ergibt sich nun wie im Beispiel B.9.

- (B) Für die Abbildung  $A(t, s) = \varphi_x(t, s, x_*(s), u_*(s))$  wählen wir in Lemma C.2 die integrierbare Funktion  $c$  als das wesentliche Supremum von  $A(t, s)$  über der Menge  $t_0 \leq s, t \leq t_1$ . Die endliche Kodimension des Operators  $\mathcal{F}_x(x_*(\cdot), u_*(\cdot))$  folgt daher unmittelbar mit Lemma C.2 und Bemerkung C.1.
- (C) Diese Voraussetzungen von Theorem F.5 beziehen sich auf die mehrfachen Nadelvariationen bei Integralgleichungen. Dass die entsprechenden Eigenschaften erfüllt sind, sind im Anhang E in Lemma E.11 und Lemma E.12 dargestellt.

Zur Extremalaufgabe (5.33) definieren wir auf

$$C([t_0, t_1], \mathbb{R}^n) \times L_\infty([t_0, t_1], \mathbb{R}^m) \times \mathbb{R} \times C_0^*([t_0, t_1], \mathbb{R}^n) \times \mathbb{R}^{s_0} \times \mathbb{R}^{s_1}$$

die Lagrange-Funktion  $\mathcal{L} = \mathcal{L}(x(\cdot), u(\cdot), \lambda_0, y^*, l_0, l_1)$  gemäß

$$\mathcal{L} = \lambda_0 J(x(\cdot), u(\cdot)) + \langle y^*, F(x(\cdot), u(\cdot)) \rangle + l_0^T H_0(x(\cdot)) + l_1^T H_1(x(\cdot)).$$

Ist  $(x_*(\cdot), u_*(\cdot))$  eine starke lokale Minimalstelle der Extremalaufgabe (5.33), dann existieren nach Theorem F.5 nicht gleichzeitig verschwindende Lagrangesche Multiplikatoren  $\lambda_0 \geq 0$ ,  $y^* \in C_0^*([t_0, t_1], \mathbb{R}^n)$  und  $l_i \in \mathbb{R}^{s_i}$  derart, dass die folgenden notwendigen Bedingungen gelten:

- (a) Die Lagrange-Funktion besitzt bezüglich  $x(\cdot)$  in  $x_*(\cdot)$  einen stationären Punkt, d. h.

$$0 = \mathcal{L}_x(x_*(\cdot), u_*(\cdot), \lambda_0, y^*, l_0, l_1); \quad (5.34)$$

- (b) Die Lagrange-Funktion erfüllt bezüglich  $u(\cdot)$  in  $u_*(\cdot)$  die Bedingung

$$\mathcal{L}(x_*(\cdot), u_*(\cdot), \lambda_0, y^*, l_0, l_1) = \min_{u(\cdot) \in L_\infty([t_0, t_1], U)} \mathcal{L}(x_*(\cdot), u(\cdot), \lambda_0, y^*, l_0, l_1). \quad (5.35)$$

Aufgrund (5.34) ist folgende Variationsgleichung für alle  $x(\cdot) \in C([t_0, t_1], \mathbb{R}^n)$  erfüllt:

$$\begin{aligned} 0 &= \lambda_0 \int_{t_0}^{t_1} \langle f_x(t, x_*(t), u_*(t)), x(t) \rangle dt + \langle l_0, h'_0(x_*(t_0))x(t_0) \rangle + \langle l_1, h'_1(x_*(t_1))x(t_1) \rangle \\ &\quad + \int_{t_0}^{t_1} \left[ x(t) - x(0) - \int_{t_0}^t \varphi_x(t, s, x_*(s), u_*(s))x(s) ds \right]^T d\mu(t). \end{aligned} \quad (5.36)$$

Hierin besitzt  $\mu$  nach Folgerung B.20 in  $t = t_0$  kein Atom. Wir ändern die Integrationsreihenfolge im letzten Summanden und bringen Gleichung (5.36) in die Form

$$\begin{aligned} 0 &= \int_{t_0}^{t_1} \left\langle \lambda_0 f_x(t, x_*(t), u_*(t)) - \int_t^{t_1} \varphi_x^T(\tau, t, x_*(t), u_*(t)) d\mu(\tau), x(t) \right\rangle dt \\ &\quad + \int_{t_0}^{t_1} \langle x(t), d\mu(t) \rangle + \langle h_0^T(x_*(t_0))l_0 - \int_{t_0}^{t_1} d\mu(t), x(t_0) \rangle + \langle h_1^T(x_*(t_1))l_1, x(t_1) \rangle. \end{aligned} \quad (5.37)$$

Hierin setzen wir  $p(t) = \int_t^{t_1} d\mu(\tau)$ . Ohne Einschränkung können wir annehmen, dass das Maß  $\mu$  über  $\mathbb{R}$  regulär fortgesetzt, von beschränkter Totalvariation und auf  $[t_0, t_1]$  konzentriert ist. Andernfalls, wenn  $\mu$  nicht auf  $[t_0, t_1]$  konzentriert wäre, so würde sich eine Funktion  $\tilde{p}(\cdot) = p(\cdot) + c$  ergeben, wobei die Verschiebung um die Konstante  $c \in \mathbb{R}$  keinen Einfluss auf die nachstehende Argumentation besitzt. Daher ist die Funktion  $p(\cdot)$  von beschränkter Variation, rechtsseitig stetig und es gilt  $p(t_1) = 0$ , da  $\mu$  auf  $[t_0, t_1]$  konzentriert ist. Damit kann  $p(\cdot)$  in  $t = t_1$  eine Sprungstelle besitzen.

Die rechte Seite in (5.37) definiert ein stetiges lineares Funktional im Raum  $C([t_0, t_1], \mathbb{R}^n)$ . Nach dem Satz von Riesz ist die Darstellung eines stetigen linearen Funktionals eindeutig und es ergeben sich aus (5.37) die Beziehungen  $p(t_0) = h_0^T(x_*(t_0))l_0$  und

$$\begin{aligned} p(t) &= -h_1^T(x_*(t_1))l_1 - \int_t^{t_1} \left[ \int_s^{t_1} \varphi_x^T(\tau, s, x_*(s), u_*(s)) dp(\tau) + \lambda_0 f_x(s, x_*(s), u_*(s)) \right] ds \\ &= -h_1^T(x_*(t_1))l_1 + \int_t^{t_1} H_x^T(s, x_*(s), u_*(s), p(\cdot), \lambda_0) ds. \end{aligned} \quad (5.38)$$

Aufgrund (5.38) ist  $p(\cdot)$  über  $[t_0, t_1)$  absolutstetig,  $\dot{p}(t) = -H_x^T(t, x_*(t), u_*(t), p(\cdot), \lambda_0)$ ,  $p(t_1^-) = -h_1^T(x_*(t_1))l_1$  und  $p(t_1) = 0$ . Damit sind (5.29) und (5.30) gezeigt.

Die Beziehung (5.35) führt nach Vertauschen der Integrationsreihenfolge und durch die Einführung der Funktion  $p(\cdot)$  zu der Ungleichung

$$\begin{aligned} &\int_{t_0}^{t_1} \left[ \lambda_0 f(t, x_*(t), u_*(t)) + \int_t^{t_1} \langle \varphi(\tau, t, x_*(t), u_*(t)), dp(\tau) \rangle \right] dt \\ &\leq \int_{t_0}^{t_1} \left[ \lambda_0 f(s, x_*(s), u(s)) + \int_t^{t_1} \langle \varphi(\tau, t, x_*(t), u(t)), dp(\tau) \rangle \right] dt, \end{aligned}$$

die für alle  $u(\cdot) \in L_\infty([t_0, t_1], U)$  gültig ist. In dieser Ungleichung betrachten wir nun Steuerungen der Form

$$u_\lambda(t) = u_*(t) + \chi_{[s, s+\lambda]}(t) \cdot (u - u_*(t))$$

mit  $s \in (t_0, t_1)$ ,  $0 < \lambda < t_1 - s$  und  $u \in U$ . Für  $u_\lambda(\cdot)$  erhält die Ungleichung die Form

$$\begin{aligned} & \int_{t_0}^{t_1} \left[ \chi_{[s, s+\lambda]}(t) \cdot \lambda_0 [f(t, x_*(t), u_*(t)) - f(t, x_*(t), u)] \right. \\ & \quad \left. + \int_t^{t_1} \chi_{[s, s+\lambda]}(t) \cdot \langle \varphi(\tau, t, x_*(t), u_*(t)) - \varphi(\tau, t, x_*(t), u), dp(\tau) \rangle \right] dt \\ & = \int_{t_0}^{t_1} \chi_{[s, s+\lambda]}(t) \cdot \left[ \lambda_0 [f(t, x_*(t), u_*(t)) - f(t, x_*(t), u)] \right. \\ & \quad \left. + \int_t^{t_1} \langle \varphi(\tau, t, x_*(t), u_*(t)) - \varphi(\tau, t, x_*(t), u), dp(\tau) \rangle \right] dt \leq 0. \quad (5.39) \end{aligned}$$

Zu  $u \in U$  bzw. zu  $u_*(\cdot)$  führen wir die Abbildungen

$$[\Phi(u)](t) = \int_t^{t_1} \langle \varphi(\tau, t, x_*(t), u), dp(\tau) \rangle, \quad [\Phi(u_*)](t) = \int_t^{t_1} \langle \varphi(\tau, t, x_*(t), u_*(t)), dp(\tau) \rangle$$

ein. Es sind  $(\tau, t) \rightarrow \varphi(\tau, t, x_*(t), u)$  für jedes  $u \in U$  stetig,  $x_*(\cdot)$  stetig und  $p(\cdot)$  über  $[t_0, t_1]$  absolutstetig. Daher ist die Abbildung  $t \rightarrow [\Phi(u)](t)$  für jedes  $u \in U$  stetig über  $(t_0, t_1)$ . Ganz entsprechend ist die Abbildung  $t \rightarrow f(t, x_*(t), u)$  für jedes  $u \in U$  über  $(t_0, t_1)$  stetig. Deswegen besitzen die Abbildungen  $t \rightarrow [\Phi(u)](t)$  und  $t \rightarrow f(t, x_*(t), u)$  in jeder Stelle  $t \in (t_0, t_1)$  einen Lebesgueschen Punkt.

Es sei  $t \in (t_0, t_1)$  ein Lebesguescher Punkt der messbar und beschränkten Abbildungen

$$t \rightarrow f(t, x_*(t), u_*(t)), \quad t \rightarrow [\Phi(u_*)](t).$$

So ergibt sich aus (5.39) die Beziehung

$$\frac{1}{\lambda} \int_t^{t+\lambda} \left[ \lambda_0 (f(\tau, x_*(\tau), u_*(\tau)) - f(\tau, x_*(\tau), u)) + ([\Phi(u_*)](t) - [\Phi(u)](t)) \right] dt \leq 0.$$

Aus der Eigenschaft eines Lebesgueschen Punktes folgt die Gültigkeit von

$$\lambda_0 (f(t, x_*(t), u_*(t)) - f(t, x_*(t), u)) + ([\Phi(u_*)](t) - [\Phi(u)](t)) \leq 0$$

bzw. in äquivalenter Form mit Hilfe der Pontrjagin-Funktion (5.28) die Gültigkeit von

$$H^{\mathcal{I}}(t, x_*(t), u_*(t), p(\cdot), \lambda_0) \geq H^{\mathcal{I}}(t, x_*(t), u, p(\cdot), \lambda_0)$$

für alle  $u \in U$ . Da unabhängig von  $u \in U$  fast überall in  $(t_0, t_1)$  ein Lebesguescher Punkt vorliegt, gilt fast überall über  $[t_0, t_1]$  die Maximumbedingung (5.31). ■

### 5.3.3. Hinreichende Bedingungen nach Arrow

Wir wenden uns nun hinreichenden Bedingungen der Aufgabe (5.23)–(5.26) mit freien bzw. festen Randwerten  $x(t_0) = x_0$  und  $x(t_1) = x_1$  nach Arrow zu: Die Hamilton-Funktion  $\mathcal{H}^{\mathcal{I}}$  besitzt für diese Aufgabe in der normalen Form die Gestalt

$$\mathcal{H}^{\mathcal{I}}(t, x, p(\cdot)) = \sup_{u \in U} \left[ - \int_t^{t_1} \langle \varphi(\tau, t, x, u), dp(\tau) \rangle - f(t, x, u) \right].$$

Außerdem führen wir die Menge  $V_\gamma^{\mathcal{S}}(t) = \{x \in \mathbb{R}^n \mid \|x - x_*(t)\| < \gamma\}$  ein.

**Theorem 5.9.** *In der Aufgabe (5.23)–(5.26) sei  $(x_*(\cdot), u_*(\cdot)) \in \mathcal{B}_{\text{adm}}^{\mathcal{I}} \cap \mathcal{B}_{\text{Lip}}^{\mathcal{I}}$ . Es gelte:*

(a) *Das Tripel  $(x_*(\cdot), u_*(\cdot), p(\cdot))$  erfüllt (5.29)–(5.31) in Theorem 5.3 mit  $\lambda_0 = 1$ .*

(b) *Für jedes  $t \in [t_0, t_1]$  ist die Funktion  $\mathcal{H}^{\mathcal{I}}(t, x, p(\cdot))$  konkav in  $x$  auf  $V_\gamma^{\mathcal{S}}(t)$ .*

*Dann ist  $(x_*(\cdot), u_*(\cdot))$  ein starkes lokales Minimum der Aufgabe (5.23)–(5.26).*

**Beweis** Es sei  $t \in [t_0, t_1]$  so gewählt, dass die Maximumbedingung (5.31) zu diesem Zeitpunkt erfüllt ist. Mit den gleichen Argumenten wie im Abschnitt 2.4.3 folgt aus der Konkavität der Hamilton-Funktion  $\mathcal{H}^{\mathcal{I}}$  die Gültigkeit der Ungleichung

$$\begin{aligned} -\langle a(t), x - x_*(t) \rangle &\geq \mathcal{H}^{\mathcal{I}}(t, x, p(\cdot)) - \mathcal{H}^{\mathcal{I}}(t, x_*(t), p(\cdot)) \\ &\geq \int_t^{t_1} \langle \varphi(\tau, t, x_*(t), u_*(t)), dp(\tau) \rangle + f(t, x_*(t), u_*(t)) \\ &\quad - \int_t^{t_1} \langle \varphi(\tau, t, x, u_*(t)), dp(\tau) \rangle - f(t, x, u_*(t)) \end{aligned}$$

für alle  $x \in V_\gamma^{\mathcal{S}}(t)$ , und es führt weiterhin die Funktion

$$\begin{aligned} \Phi(x) &= \int_t^{t_1} \langle \varphi(\tau, t, x_*(t), u_*(t)), dp(\tau) \rangle + f(t, x_*(t), u_*(t)) \\ &\quad - \int_t^{t_1} \langle \varphi(\tau, t, x, u_*(t)), dp(\tau) \rangle - f(t, x, u_*(t)) + \langle a(t), x - x_*(t) \rangle \end{aligned}$$

zu der Beziehung

$$0 = \Phi'(x_*(t)) = - \int_t^{t_1} \langle \varphi_x(\tau, t, x_*(t), u_*(t)), dp(\tau) \rangle - f_x(t, x_*(t), u_*(t)) + a(t).$$

Daher gilt für fast alle  $t \in [t_0, t_1]$  über der Menge  $V_\gamma^{\mathcal{S}}(t)$  nach (5.29) die Ungleichung

$$\langle \dot{p}(t), x - x_*(t) \rangle \leq \mathcal{H}^{\mathcal{I}}(t, x_*(t), p(\cdot)) - \mathcal{H}^{\mathcal{I}}(t, x, p(\cdot)). \quad (5.40)$$

Ferner ist für einen zulässigen Steuerungsprozess  $(x(\cdot), u(\cdot))$  nach (5.2):

$$x(t) - x_*(t) = x(t_0) - x_*(t_0) + \int_{t_0}^t \left[ \varphi(t, s, x(s), u(s)) - \varphi(t, s, x_*(s), u_*(s)) \right] ds. \quad (5.41)$$

Es sei  $(x(\cdot), u(\cdot)) \in \mathcal{B}_{\text{adm}}^{\mathcal{I}}$  mit  $\|x(\cdot) - x_*(\cdot)\|_{\infty} < \gamma$ . Dann gilt

$$\begin{aligned} \Delta &= J(x(\cdot), u(\cdot)) - J(x_*(\cdot), u_*(\cdot)) \geq \int_{t_0}^{t_1} \left[ \mathcal{H}^{\mathcal{I}}(t, x_*(t), p(\cdot)) - \mathcal{H}^{\mathcal{I}}(t, x(t), p(\cdot)) \right] dt \\ &\quad + \int_{t_0}^{t_1} \left[ \int_t^{t_1} \langle \varphi(\tau, t, x_*(t), u_*(t)) - \varphi(\tau, t, x(t), u(t)), dp(\tau) \rangle \right] dt. \end{aligned}$$

Wir ändern im letzten Ausdruck die Integrationsreihenfolge,

$$\begin{aligned} &\int_{t_0}^{t_1} \left[ \int_t^{t_1} \langle \varphi(\tau, t, x_*(t), u_*(t)) - \varphi(\tau, t, x(t), u(t)), dp(\tau) \rangle \right] dt \\ &= \int_{t_0}^{t_1} \left[ \int_{t_0}^t [\varphi(t, s, x_*(s), u_*(s)) - \varphi(t, s, x(s), u(s))] ds \right]^T dp(t), \end{aligned}$$

und erhalten unter Verwendung von (5.40) und (5.41):

$$\Delta \geq \int_{t_0}^{t_1} \langle \dot{p}(t), x(t) - x_*(t) \rangle dt + \int_{t_0}^{t_1} \langle x_*(t) - x(t) - x_*(t_0) + x(t_0), dp(t) \rangle. \quad (5.42)$$

Nach Theorem 5.3 ist  $p(\cdot)$  absolutstetig und erfüllt die Transversalitätsbedingungen (5.30); insbesondere eine Sprungbedingung in  $t = t_1$ . Demnach ergeben sich

$$\begin{aligned} \int_{t_0}^{t_1} \langle x_*(t) - x(t), dp(t) \rangle &= \int_{t_0}^{t_1} \langle \dot{p}(t), x_*(t) - x(t) \rangle dt + \langle p(t_1) - p(t_1^-), x_*(t_1) - x(t_1) \rangle, \\ \int_{t_0}^{t_1} \langle x(t_0) - x_*(t_0), dp(t) \rangle &= \langle [p(t_1^-) - p(t_0)] + [p(t_1) - p(t_1^-)], x(t_0) - x_*(t_0) \rangle. \end{aligned}$$

Unter Beachtung dieser Beziehungen und von  $p(t_1) = 0$  erhalten wir abschließend

$$\Delta \geq \langle p(t_1^-), x(t_1) - x_*(t_1) \rangle - \langle p(t_0), x(t_0) - x_*(t_0) \rangle = 0.$$

Somit ist  $(x_*(\cdot), u_*(\cdot))$  ein starkes lokales Minimum der Aufgabe (5.23)–(5.26). ■

**Beispiel 5.10.** In der Aufgabe (5.10)–(5.12) ist der rechte Endpunkt frei und es fließt die Zustandsvariable  $x$  linear ein. Somit ist die Hamilton-Funktion konkav in  $x$  und die Bedingungen des Pontrjaginschen Maximumprinzips 5.1 sind nach den Arrow-Bedingungen in Theorem 5.9 hinreichend. Also ist die in der Aufgabe (5.10)–(5.12) ermittelte Werbe-strategie, die durch die implizite Beziehung

$$f'(u_*(t)) = \frac{\alpha + \delta + \varrho}{\pi(1 - e^{-(\alpha + \delta + \varrho)(T-t)}}$$

bestimmt ist, tatsächlich optimal. □

### 5.3.4. Optimale Werbestrategien bei festem Werbebudget

Wir betrachten erneut das Beispiel (5.10)–(5.12) aus Abschnitt 5.2:

$$J(x(\cdot), u(\cdot)) = \int_0^T e^{-\varrho t} [\pi x(t) - u(t)] dt \rightarrow \sup, \quad (5.43)$$

$$x(t) = x_0 + \int_0^t e^{-\delta(t-s)} [f(u(s)) - \alpha x(s)] ds, \quad t \in [0, T], \quad (5.44)$$

$$x_0 \in [0, 1], \quad u(t) \geq 0, \quad \varrho > 0, \quad \alpha, \delta \geq 0. \quad (5.45)$$

In dieser Aufgabe ergaben sich mit den in Abschnitt 5.2 verwendeten Bezeichnungen:

1.) Die Adjungierte  $q(\cdot)$  ist Lösung der adjungierten Gleichung

$$\dot{q}(t) = \int_t^T -\alpha e^{-\delta(\tau-t)} \dot{q}(\tau) d\tau - \pi e^{-\varrho t}, \quad q(T^-) = q(T) = 0,$$

wobei  $\dot{q}(\cdot)$  der Beziehung  $\dot{q}(t) = \dot{p}(t) - \delta p(t) = \alpha p(t) - \pi e^{-\varrho t}$  genügt. Dabei ist

$$p(t) = -\frac{\pi \cdot e^{-(\alpha+\delta+\varrho)T}}{\alpha + \delta + \varrho} \cdot e^{(\alpha+\delta)t} + \frac{\pi}{\alpha + \delta + \varrho} \cdot e^{-\varrho t}$$

die Adjungierte des Problems (5.13)–(5.15) und erfüllt die adjungierte Gleichung

$$\dot{p}(t) = (\alpha + \delta)p(t) - \pi e^{-\varrho t}$$

zur Transversalitätsbedingung  $p(T) = 0$ .

2.) Die implizit definierte, optimale Werbestrategie genügt nach (5.20) der Beziehung

$$f'(u_*(t)) = \frac{1}{p(t) \cdot e^{\varrho t}} = \frac{\alpha + \delta + \varrho}{\pi(1 - e^{-(\alpha+\delta+\varrho)(T-t)}}. \quad (5.46)$$

Wir erweitern die Aufgabe (5.43)–(5.45) um die Beschränkung

$$z(t) = \int_0^t e^{-\varrho s} u(s) ds, \quad t \in [0, T], \quad z(T) = Z > 0, \quad (5.47)$$

die den vollständigen Einsatz eines fest vorgegebenen Werbebudgets  $Z$  fordert. Ferner bezeichne  $Z_0$  das Werbebudget zu der in (5.46) definierten Steuerung, die in der Aufgabe (5.10)–(5.12) optimal ist.

Bezüglich dem Zustand  $z(\cdot)$  gehen wir zur Differentialgleichung  $\dot{z}(t) = e^{-\varrho t} u(t)$  über und erhalten zur Aufgabe (5.43)–(5.47) die Pontrjagin-Funktion

$$H^T(t, x, z, u, q(\cdot), r, \lambda_0) = - \int_t^T e^{-\delta(\tau-t)} [f(u(\tau)) - \alpha x(\tau)] dq(\tau) + r[e^{-\varrho t} u] + \lambda_0 e^{-\varrho t} [\pi x - u].$$

Die notwendigen Optimalitätsbedingungen in Theorem 5.3 ergeben mit  $\lambda_0 = 1$ :

- die adjungierten Gleichungen und Transversalitätsbedingungen

$$-H_x^{\mathcal{I}}(t, \dots, 1) = \dot{q}(t) = \int_t^{t_1} -\alpha e^{-\delta(\tau-t)} dq(\tau) - \pi e^{-\rho t}, \quad q(T) = 0, \quad (5.48)$$

$$-H_z^{\mathcal{I}}(t, \dots, 1) = \dot{r}(t) = 0, \quad r(T) = -l_1; \quad (5.49)$$

- in fast allen Punkten  $t \in [t_0, t_1]$  die Maximumbedingung

$$H^{\mathcal{I}}(t, x_*(t), z_*(t), u_*(t), q(\cdot), r(\cdot), 1) = \max_{u \in U} H^{\mathcal{I}}(t, x_*(t), z_*(t), u, q(\cdot), r(\cdot), 1). \quad (5.50)$$

Nach Theorem 5.9 sind die Bedingungen (5.48)–(5.50) hinreichend.

Die Lösung  $q(t)$  der ersten Gleichung ist unter dem Punkt 1.) bereits mit Hilfe der Funktion  $p(\cdot)$  angegeben, genauer ist

$$\dot{q}(t) = \alpha p(t) - \pi e^{-\rho t} = -\frac{\alpha \pi \cdot e^{-(\alpha+\delta+\rho)T}}{\alpha + \delta + \rho} \cdot e^{(\alpha+\delta)t} - \frac{(\delta + \rho)\pi}{\alpha + \delta + \rho} \cdot e^{-\rho t}.$$

Die Lösung der zweiten Gleichung ist  $r(t) \equiv -l_1$ .

Die Maximumbedingung (5.50) ist äquivalent zu der Beziehung

$$\max_{u \geq 0} \left[ -\int_t^T e^{-\delta(\tau-t)} \dot{q}(\tau) d\tau \cdot f(u) - e^{-\rho t} l_1 \cdot u - e^{-\rho t} \cdot u \right].$$

Anstelle von (5.20) ergibt sich daraus mit Hilfe der Funktion  $p(\cdot)$  in Punkt 1.) nun

$$f'(u_*(t)) = (1 - r_0) \cdot \frac{1}{p(t) \cdot e^{\rho t}} = (1 + l_1) \cdot \frac{\alpha + \delta + \rho}{\pi(1 - e^{-(\alpha+\delta+\rho)(T-t)})}.$$

Es lassen sich daraus folgende Aussagen ableiten:

- Aus den Eigenschaften der Funktion  $f$  folgt  $l_1 > -1$ .
- Der Wert für den Werbeeinsatz  $u_*(t) > 0$  fällt umso kleiner aus, desto größer der Parameter  $l_1 > -1$  ist.
- Für  $l_1 = 0$  stimmt  $u_*(t)$  mit der optimalen Werbestrategie der Aufgabe (5.10)–(5.12) überein. In diesem Fall bezeichnet  $Z_0$  die gesamten Werbeausgaben.
- Bei einem reduzierten Werbebudget  $0 < Z < Z_0$  führt die Budgetbeschränkung auf  $l_1 > 0$ . Bei einem überdimensioniertem Werbebudget  $Z > Z_0$  ist  $-1 < l_1 < 0$ .  $\square$

## 5.4. Aufgaben mit Zustandsbeschränkungen

### 5.4.1. Notwendige Optimalitätsbedingungen

**Theorem 5.11** (Pontrjaginsches Maximumprinzip). *Es sei  $(x_*(\cdot), u_*(\cdot)) \in \mathcal{B}_{\text{adm}}^{\mathcal{I}} \cap \mathcal{B}_{\text{Lip}}^{\mathcal{I}}$ . Ist  $(x_*(\cdot), u_*(\cdot))$  ein starkes lokales Minimum der Aufgabe (5.23)–(5.27), dann existieren eine Zahl  $\lambda_0 \geq 0$ , Vektoren  $l_0 \in \mathbb{R}^{s_0}$  und  $l_1 \in \mathbb{R}^{s_1}$ , eine Vektorfunktion  $p(\cdot) : [t_0, t_1] \rightarrow \mathbb{R}^n$  und auf den Mengen*

$$T_j = \{t \in [t_0, t_1] \mid g_j(t, x_*(t)) = 0\}, \quad j = 1, \dots, l,$$

*konzentrierte nichtnegative reguläre Borelsche Maße  $\mu_j$  endlicher Totalvariation (wobei sämtliche Größen nicht gleichzeitig verschwinden) derart, dass die Vektorfunktion  $p(\cdot)$  von beschränkter Variation und rechtsseitig stetig ist, und*

(a) *die adjungierte Gleichung*

$$\begin{aligned} p(t) &= -h_1'^T(x_*(t_1))l_1 + \int_t^{t_1} H_x^{\mathcal{I}}(s, x_*(s), u_*(s), p(\cdot), \lambda_0) ds \\ &\quad - \sum_{j=1}^l \int_t^{t_1} g_{j,x}(s, x_*(s)) d\mu_j(s), \end{aligned} \quad (5.51)$$

(b) *die Transversalitätsbedingungen*

$$p(t_0) = h_0'^T(x_*(t_0))l_0, \quad p(t_1) = 0 \quad (5.52)$$

(c) *und für fast alle  $t \in [t_0, t_1]$  die Maximumbedingung*

$$H^{\mathcal{I}}(t, x_*(t), u_*(t), p(\cdot), \lambda_0) = \max_{u \in U} H^{\mathcal{I}}(t, x_*(t), u, p(\cdot), \lambda_0) \quad (5.53)$$

*erfüllt sind.*

Die adjungierte Gleichung (5.51) lautet ausführlich geschrieben

$$\begin{aligned} p(t) &= -h_1'^T(x_*(t_1))l_1 - \int_t^{t_1} \left[ \int_s^{t_1} \varphi_x^T(\tau, s, x_*(s), u_*(s)) dp(\tau) \right] ds \\ &\quad - \int_t^{t_1} \lambda_0 f_x(s, x_*(s), u_*(s)) ds - \sum_{j=1}^l \int_t^{t_1} g_{j,x}(s, x_*(s)) d\mu_j(s). \end{aligned}$$

An der Stelle  $t = t_1$  kann  $p(\cdot)$  unstetig sein und eine Sprungstelle besitzen. In diesem Fall gilt in  $t_1$  die Transversalitätsbedingung

$$p(t_1^-) = -h_1'^T(x_*(t_1))l_1 - \sum_{j=1}^l \mu_j(\{t_1\}) g_{j,x}(t_1, x_*(t_1)). \quad (5.54)$$

### 5.4.2. Der Nachweis der notwendigen Optimalitätsbedingungen

Wir erweitern im Beweis von Theorem 5.3 in Abschnitt 5.3.2 die Extremalaufgabe (5.33) um die Abbildungen

$$G_j(x(\cdot)) = \max_{t \in [t_0, t_1]} g_j(t, x(t)), \quad G_j : C([t_0, t_1], \mathbb{R}^n) \rightarrow \mathbb{R}, \quad j = 1, \dots, l$$

Damit entsteht zur Aufgabe (5.23)–(5.27) die Extremalaufgabe

$$J(x(\cdot), u(\cdot)) \rightarrow \inf, \quad \mathcal{F}(x(\cdot), u(\cdot)) = 0, \quad G_j(x(\cdot)) \leq 0, \quad u(\cdot) \in L_\infty([t_0, t_1], U), \quad (5.55)$$

für die die Voraussetzungen in den Punkten (A)–(C) des Extremalprinzips F.5 nach den Ausführungen in den Abschnitten 5.3.2 und 2.5.2 erfüllt sind. Zur Extremalaufgabe (5.55) hat die Lagrange-Funktion  $\mathcal{L} = \mathcal{L}(x(\cdot), u(\cdot), \lambda_0, y^*, l_0, l_1, \lambda)$ , die über

$$C([t_0, t_1], \mathbb{R}^n) \times L_\infty([t_0, t_1], \mathbb{R}^m) \times \mathbb{R} \times C_0^*([t_0, t_1], \mathbb{R}^n) \times \mathbb{R}^{s_0} \times \mathbb{R}^{s_1} \times \mathbb{R}^l$$

definiert ist, die Form

$$\mathcal{L} = \lambda_0 J(x(\cdot), u(\cdot)) + \langle y^*, F(x(\cdot), u(\cdot)) \rangle + l_0^T H_0(x(\cdot)) + l_1^T H_1(x(\cdot)) + \sum_{j=1}^l \lambda_j G_j(x(\cdot)).$$

Ist  $(x_*(\cdot), u_*(\cdot))$  eine starke lokale Minimalstelle der Extremalaufgabe (5.55), dann existieren nach Theorem F.5 nicht gleichzeitig verschwindende Lagrangesche Multiplikatoren  $\lambda_0 \geq 0$ ,  $y^* \in C_0^*([t_0, t_1], \mathbb{R}^n)$ ,  $l_i \in \mathbb{R}^{s_i}$  und  $\lambda_1 \geq 0, \dots, \lambda_l \geq 0$  derart, dass gelten:

(a) Die Lagrange-Funktion besitzt bezüglich  $x(\cdot)$  in  $x_*(\cdot)$  einen stationären Punkt, d. h.

$$0 \in \partial_x \mathcal{L}(x_*(\cdot), u_*(\cdot), \lambda_0, y^*, l_0, l_1, \lambda); \quad (5.56)$$

(b) Die Lagrange-Funktion erfüllt bezüglich  $u(\cdot)$  in  $u_*(\cdot)$  die Minimumbedingung

$$\mathcal{L}(x_*(\cdot), u_*(\cdot), \lambda_0, y^*, l_0, l_1, \lambda) = \min_{u(\cdot) \in L_\infty([t_0, t_1], U)} \mathcal{L}(x_*(\cdot), u(\cdot), \lambda_0, y^*, l_0, l_1, \lambda); \quad (5.57)$$

(c) Die komplementären Schlupfbedingungen gelten, d. h.

$$0 = \lambda_j G_j(x(\cdot)), \quad i = 1, \dots, l. \quad (5.58)$$

Ebenso wie im Beweis der Standardaufgabe unter Zustandsbeschränkungen im Abschnitt 2.5.2 liefert (5.58), dass nur diejenigen Multiplikatoren  $\lambda_j \geq 0$  von Null verschieden sein können, für die die zugehörigen nichtnegativen regulären Borelschen Maße  $\tilde{\mu}_j$  die Totalvariation  $\|\tilde{\mu}_j\| = 1$  besitzen und die auf den Mengen  $T_j = \{t \in [t_0, t_1] \mid g_j(t, x_*(t)) = 0\}$  konzentriert sind. Deswegen können wir annehmen, dass alle Maße  $\mu_j = \lambda_j \tilde{\mu}_j$  auf den Mengen  $T_j$  konzentriert sind.

Aufgrund (5.56) ist folgende Variationsgleichung für alle  $x(\cdot) \in C([t_0, t_1], \mathbb{R}^n)$  erfüllt:

$$\begin{aligned}
 0 &= \lambda_0 \int_{t_0}^{t_1} \langle f_x(t, x_*(t), u_*(t)), x(t) \rangle dt \\
 &\quad + \langle l_0, h'_0(x_*(t_0))x(t_0) \rangle + \langle l_1, h'_1(x_*(t_1))x(t_1) \rangle + \sum_{j=1}^l \int_{t_0}^{t_1} \langle g_{j,x}(t, x_*(t)), x(t) \rangle d\mu_j(t) \\
 &\quad + \int_{t_0}^{t_1} \left[ x(t) - x(0) - \int_{t_0}^t \varphi_x(t, s, x_*(s), u_*(s))x(s) ds \right]^T d\mu(t). \tag{5.59}
 \end{aligned}$$

In der Gleichung (5.59) ändern wir die Integrationsreihenfolge im letzten Summanden und bringen diese Gleichung in die Form

$$\begin{aligned}
 0 &= \int_{t_0}^{t_1} \left\langle \lambda_0 f_x(t, x_*(t), u_*(t)) - \int_t^{t_1} \varphi_x^T(\tau, t, x_*(t), u_*(t)) d\mu(\tau), x(t) \right\rangle dt \\
 &\quad + \int_{t_0}^{t_1} \langle x(t), d\mu(t) \rangle + \left\langle h_0'^T(x_*(t_0))l_0 - \int_{t_0}^{t_1} d\mu(t), x(t_0) \right\rangle + \langle h_1'^T(x_*(t_1))l_1, x(t_1) \rangle \\
 &\quad + \sum_{j=1}^l \int_{t_0}^{t_1} \langle g_{j,x}(t, x_*(t)), x(t) \rangle d\mu_j(t). \tag{5.60}
 \end{aligned}$$

Hierin setzen wir  $p(t) = \int_t^{t_1} d\mu(\tau)$ . Dann ist  $p(\cdot)$  eine rechtsseitig stetige Funktion beschränkter Variation und es gilt  $p(t_1) = 0$ .

Die rechte Seite in (5.60) definiert ein stetiges lineares Funktional im Raum  $C([t_0, t_1], \mathbb{R}^n)$ . Nach dem Satz von Riesz ist die Darstellung eines stetigen linearen Funktionals eindeutig und es ergeben sich aus (5.60) die Beziehungen

$$\begin{aligned}
 p(t) &= -h_1'^T(x_*(t_1))l_1 + \int_t^{t_1} H_x^T(s, x_*(s), u_*(s), p(\cdot), \lambda_0) ds \\
 &\quad - \sum_{j=1}^l \int_{t_0}^{t_1} \langle g_{j,x}(t, x_*(t)), x(t) \rangle d\mu_j(t), \\
 p(t_0) &= h_0'^T(x_*(t_0))l_0, \quad p(t_1) = 0.
 \end{aligned}$$

Die Adjungierte  $p(\cdot)$  kann als rechtsseitig stetige Funktion in  $t = t_1$  unstetig sein. Für den linksseitigen Grenzwert ergibt sich

$$p(t_1^-) = -h_1'^T(x_*(t_1))l_1 - \sum_{j=1}^l \mu_j(\{t_1\}) g_{j,x}(t_1, x_*(t_1)).$$

Damit sind (5.51) und (5.52), sowie die Sprungbedingung (5.54) gezeigt.

Die Beziehung (5.57) führt nach Vertauschen der Integrationsreihenfolge zur Ungleichung

$$\begin{aligned} & \int_{t_0}^{t_1} \left[ \lambda_0 f(t, x_*(t), u_*(t)) + \int_t^{t_1} \langle \varphi(\tau, t, x_*(t), u_*(t)), dp(\tau) \rangle \right] dt \\ & \leq \int_{t_0}^{t_1} \left[ \lambda_0 f(t, x_*(t), u(t)) + \int_t^{t_1} \langle \varphi(\tau, t, x_*(t), u(t)), dp(\tau) \rangle \right] dt, \end{aligned}$$

die für alle  $u(\cdot) \in L_\infty([t_0, t_1], U)$  erfüllt ist. Wir passen die Argumentation im Abschnitt 5.3.2 an das Vorhandensein aktiver Zustandsbeschränkungen an: Für die Steuerungen  $u_\lambda(\cdot)$  ergibt sich die Ungleichung

$$\begin{aligned} & \int_{t_0}^{t_1} \chi_{[s, s+\lambda]}(t) \cdot \left[ \lambda_0 [f(t, x_*(t), u_*(t)) - f(t, x_*(t), u)] \right. \\ & \quad \left. + \int_t^{t_1} \langle \varphi(\tau, t, x_*(t), u_*(t)) - \varphi(\tau, t, x_*(t), u), dp(\tau) \rangle \right] dt \leq 0. \end{aligned}$$

Zu  $u \in U$  bzw.  $u_*(\cdot)$  führen wir die Abbildungen

$$[\Phi(u)](t) = \int_t^{t_1} \langle \varphi(\tau, t, x_*(t), u), dp(\tau) \rangle, \quad [\Phi(u_*)](t) = \int_t^{t_1} \langle \varphi(\tau, t, x_*(t), u_*(t)), dp(\tau) \rangle$$

ein. Aus der Setzung folgt, dass die Abbildung  $t \rightarrow [\Phi(u)](t)$  über  $[t_0, t_1]$  messbar und beschränkt ist. Außerdem ist  $(\tau, t) \rightarrow \varphi(\tau, t, x_*(t), u)$  für jedes  $u \in U$  stetig. Deswegen besitzt  $t \rightarrow [\Phi(u)](t)$  nur an den Stellen  $t \in [t_0, t_1]$  keinen Lebesgueschen Punkt, in denen die Funktion  $p(t) = \int_t^{t_1} d\mu(\tau)$  unstetig ist. Da  $\mu$  ein signiertes reguläres Borelsches Vektormaß ist, ist  $p(\cdot)$  über  $[t_0, t_1]$  von beschränkter Variation und besitzt nur abzählbar viele Unstetigkeitsstellen.

Aus diesem Grund besitzt die Abbildung  $t \rightarrow [\Phi(u)](t)$  über  $[t_0, t_1]$  nur an abzählbar vielen Stellen keine Lebesgueschen Punkte. Da diese Stellen sich nur in den Unstetigkeitsstellen der Funktion  $p(\cdot)$  ergeben können, befinden sich die Lebesgueschen Punkte unabhängig von der Wahl von  $u \in U$  stets an den gleichen Stellen.

Es sei  $t \in (t_0, t_1)$  ein Lebesguescher Punkt der messbar und beschränkten Abbildungen

$$t \rightarrow f(t, x_*(t), u_*(t)), \quad t \rightarrow [\Phi(u_*)](t), \quad t \rightarrow [\Phi(u)](t).$$

Wie im Abschnitt 5.3.2 ergibt sich die Gültigkeit von

$$\lambda_0 (f(t, x_*(t), u_*(t)) - f(t, x_*(t), u)) + ([\Phi(u_*)](t) - [\Phi(u)](t)) \leq 0$$

bzw. in äquivalenter Form mit Hilfe der Pontrjagin-Funktion (5.28) die Gültigkeit von

$$H^{\mathcal{I}}(t, x_*(t), u_*(t), p(\cdot), \lambda_0) \geq H^{\mathcal{I}}(t, x_*(t), u, p(\cdot), \lambda_0)$$

für alle  $u \in U$ . Da unabhängig von  $u \in U$  fast überall in  $(t_0, t_1)$  ein Lebesguescher Punkt vorliegt, gilt fast überall über  $[t_0, t_1]$  die Maximumbedingung (5.53). ■

### 5.4.3. Hinreichende Bedingungen nach Arrow

Bei der Herleitung hinreichender Bedingungen nach Arrow für die Steuerung von Integralgleichungen unter Zustandsbeschränkungen greifen wir auf die Argumente der Abschnitte 2.4.3, 2.5.3 und 5.3.3 zurück.

Wir betrachten das Steuerungsproblem mit festen bzw. freien Randwerten

$$J(x(\cdot), u(\cdot)) = \int_{t_0}^{t_1} f(t, x(t), u(t)) dt \rightarrow \inf, \quad (5.61)$$

$$x(t) = x(t_0) + \int_{t_0}^t \varphi(t, s, x(s), u(s)) ds, \quad t \in [t_0, t_1], \quad (5.62)$$

$$x(t_0) = x_0, \quad x(t_1) = x_1, \quad (5.63)$$

$$u(t) \in U \subseteq \mathbb{R}^m, \quad U \neq \emptyset, \quad (5.64)$$

$$g_j(t, x(t)) \leq 0 \quad \text{für alle } t \in [t_0, t_1], \quad j = 1, \dots, l. \quad (5.65)$$

Im Weiteren bezeichnet  $V_\gamma^S(t)$  die Menge  $V_\gamma^S(t) = \{x \in \mathbb{R}^n \mid \|x - x_*(t)\| < \gamma\}$ . Die Hamilton-Funktion  $\mathcal{H}^I$  besitzt für die Aufgabe (5.61)–(5.65) die Gestalt

$$\mathcal{H}^I(t, x, p(\cdot)) = \sup_{u \in U} \left[ - \int_t^{t_1} \langle \varphi(\tau, t, x, u), dp(\tau) \rangle - f(t, x, u) \right].$$

**Theorem 5.12.** *In der Aufgabe (5.61)–(5.65) sei  $(x_*(\cdot), u_*(\cdot)) \in \mathcal{B}_{\text{Lip}}^I \cap \mathcal{B}_{\text{adm}}^I$ . Außerdem sei die Adjungierte  $p(\cdot)$  über  $[t_0, t_1]$  stückweise absolutstetig und besitze in  $[t_0, t_1]$  höchstens endlich viele Sprungstellen. Ferner gelte:*

(a) *Das Tripel  $(x_*(\cdot), u_*(\cdot), p(\cdot))$  erfüllt (5.51)–(5.53) in Theorem 5.11 mit  $\lambda_0 = 1$ .*

(b) *Für jedes  $t \in [t_0, t_1]$  ist die Funktion  $\mathcal{H}^I(t, x, p(\cdot))$  konkav und es sind die Funktionen  $g_j(t, x)$ ,  $j = 1, \dots, l$ , konvex bezüglich  $x$  auf  $V_\gamma^S(t)$ .*

*Dann ist  $(x_*(\cdot), u_*(\cdot))$  ein starkes lokales Minimum der Aufgabe (5.61)–(5.65).*

**Beweis** Wir greifen auf Bemerkung 2.10 zurück: Es bezeichnen  $t_0 < s_1 < \dots < s_d < t_1$  die Stellen im Intervall  $(t_0, t_1)$ , in denen die Adjungierte  $p(\cdot)$  unstetig ist. Dann folgen aus der adjungierten Gleichung 5.51 und der Nichtnegativität der Maße  $\mu_j$  die Sprungbedingungen

$$p(s_k) - p(s_k^-) = \sum_{j=1}^l \beta_j^k g_{j,x}(s_k, x_*(s_k)), \quad \beta_j^k = \mu_j(\{s_k\}) \geq 0, \quad k = 1, \dots, d. \quad (5.66)$$

Weiterhin gibt es eine stückweise absolutstetige Funktion  $\lambda(\cdot) : [t_0, t_1] \rightarrow \mathbb{R}^l$  derart, dass

$$\dot{p}(t) = -H_x^I(t, x_*(t), u_*(t), p(t), 1) + \sum_{j=1}^l \lambda_j(t) g_{j,x}(t, x_*(t))$$

stückweise auf  $(s_{k-1}, s_k)$  für  $k = 1, \dots, d+1$  gilt. Dabei sind  $s_0 = t_0$  und  $s_{d+1} = t_1$ . Ferner gelten aufgrund der komplementären Schlupfbedingungen

$$\beta_j^k g_j(s_k, x_*(s_k)) = 0, \quad \lambda_j(t) g_j(t, x_*(t)) = 0, \quad \beta_j^k \geq 0, \quad \lambda_j(t) \geq 0$$

für  $j = 1, \dots, l$ ,  $k = 1, \dots, d$  und  $t \in (s_{k-1}, s_k)$  für  $k = 1, \dots, d+1$ .

Mit den Argumenten aus dem Abschnitt 2.4.3 folgt die Gültigkeit der Ungleichung

$$\langle a(t), x - x_*(t) \rangle \leq \mathcal{H}^I(t, x_*(t), p(t)) - \mathcal{H}^I(t, x, p(t))$$

für fast alle  $t$  und alle  $x \in V_\gamma^S(t)$ . Außerdem gilt  $a(t) = -H_x^I(t, x_*(t), u_*(t), p(t), 1)$  für fast alle  $t \in [t_0, t_1]$ . Mit der adjungierten Gleichung 5.51 ergibt sich daraus ferner

$$\mathcal{H}^I(t, x_*(t), p(t)) - \mathcal{H}^I(t, x, p(t)) \geq \left\langle \dot{p}(t) - \sum_{j=1}^l \lambda_j(t) g_{j,x}(t, x_*(t)), x - x_*(t) \right\rangle. \quad (5.67)$$

Die Konvexität der Abbildungen  $g_j(t, x)$  bezüglich  $x$  auf  $V_\gamma^S(t)$  liefert die Ungleichungen

$$-\lambda_j(t) \langle g_{j,x}(t, x_*(t)), x(t) - x_*(t) \rangle \geq -\lambda_j(t) g_j(t, x(t)) \geq 0 \quad (5.68)$$

für  $j = 1, \dots, l$ ,  $t \in (s_{k-1}, s_k)$  und  $k = 1, \dots, d+1$ ; außerdem

$$-\sum_{j=1}^l \langle \beta_j^k g_{j,x}(s_k, x_*(s_k)), x(t) - x_*(t) \rangle \geq 0 \quad (5.69)$$

in den Unstetigkeitsstellen  $s_k \in (t_0, t_1)$ ,  $k = 1, \dots, d$  der Adjungierten.

Im Endpunkt  $t = t_1$  gelten nach (5.52) und (5.54) die Transversalitätsbedingungen

$$p(t_1^-) = -l_1 - \sum_{j=1}^l \mu_j(\{t_1\}) g_{j,x}(t_1, x_*(t_1)), \quad p(t_1) = 0. \quad (5.70)$$

Wiederum aufgrund der Konvexität der Abbildungen  $g_j(t, x)$  und der komplementären Schlupfbedingungen gilt in  $t = t_1$  die Ungleichung

$$-\sum_{j=1}^l \langle \mu_j(\{t_1\}) g_{j,x}(t_1, x_*(t_1)), x(t_1) - x_*(t_1) \rangle \geq 0 \quad (5.71)$$

für alle  $x(t_1) \in V_\gamma(t_1)$  mit  $g_j(t_1, x(t_1)) \leq 0$ .

Wir betrachten die Differenz

$$\Delta = J(x(\cdot), u(\cdot)) - J(x_*(\cdot), u_*(\cdot)) = \int_{t_0}^{t_1} [f(t, x(t), u(t)) - f(t, x_*(t), u_*(t))] dt.$$

Es sei  $(x(\cdot), u(\cdot)) \in \mathcal{B}_{\text{adm}}^{\mathcal{I}}$  mit  $\|x(\cdot) - x_*(\cdot)\|_{\infty} < \gamma$ . Dann gilt

$$\begin{aligned} \Delta &= J(x(\cdot), u(\cdot)) - J(x_*(\cdot), u_*(\cdot)) \geq \int_{t_0}^{t_1} [\mathcal{H}^{\mathcal{I}}(t, x_*(t), p(\cdot)) - \mathcal{H}^{\mathcal{I}}(t, x(t), p(\cdot))] dt \\ &\quad + \int_{t_0}^{t_1} \left[ \int_t^{t_1} \langle \varphi(\tau, t, x_*(t), u_*(t)) - \varphi(\tau, t, x(t), u(t)), dp(\tau) \rangle \right] dt. \end{aligned}$$

Wir ändern im letzten Ausdruck die Integrationsreihenfolge,

$$\begin{aligned} &\int_{t_0}^{t_1} \left[ \int_t^{t_1} \langle \varphi(\tau, t, x_*(t), u_*(t)) - \varphi(\tau, t, x(t), u(t)), dp(\tau) \rangle \right] dt \\ &= \int_{t_0}^{t_1} \left[ \int_{t_0}^t [\varphi(t, s, x_*(s), u_*(s)) - \varphi(t, s, x(s), u(s))] ds \right]^T dp(t), \end{aligned}$$

und erhalten unter Verwendung von (5.41), sowie (5.67) und (5.68)

$$\begin{aligned} \Delta &\geq \int_{t_0}^{t_1} [\mathcal{H}^{\mathcal{I}}(t, x_*(t), \mu) - \mathcal{H}^{\mathcal{I}}(t, x(t), \mu)] dt \\ &\quad + \int_{t_0}^{t_1} \langle x_*(t) - x(t) - x_*(t_0) + x(t_0), dp(t) \rangle \\ &\geq - \int_{t_0}^{t_1} \langle x(t) - x_*(t), \dot{p}(t) \rangle dt + \int_{t_0}^{t_1} \langle x(t) - x_*(t), dp(t) \rangle \\ &\quad - \sum_{j=1}^l \int_{t_0}^{t_1} \langle \lambda_j(t) g_{j,x}(t, x_*(t)), x - x_*(t) \rangle dt \\ &\geq - \int_{t_0}^{t_1} \langle x(t) - x_*(t), \dot{\mu}(t) \rangle dt + \int_{t_0}^{t_1} \langle x(t) - x_*(t), d\mu(t) \rangle. \end{aligned}$$

Die Adjungierte  $p(\cdot)$  ist stückweise absolutstetig. Daher gilt

$$\begin{aligned} \int_{t_0}^{t_1} \langle x(t) - x_*(t), dp(t) \rangle &= \int_{t_0}^{t_1} \langle x(t) - x_*(t), \dot{p}(t) \rangle dt \\ &\quad + \sum_{k=1}^d \langle x(s_k) - x_*(s_k), p(s_k) - p(s_k^-) \rangle + \langle x(t_1) - x_*(t_1), p(t_1) - p(t_1^-) \rangle. \end{aligned}$$

In den Unstetigkeitsstellen  $s_k$  gelten (5.66) und (5.69), im Endpunkt  $t = t_1$  die Ungleichungen (5.70) und (5.71). Zusammen erhalten wir abschließend

$$\Delta \geq -\langle l_1, x(t_1) - x_*(t_1) \rangle - \langle l_0, x(t_0) - x_*(t_0) \rangle dt = 0.$$

Daher gilt  $\Delta \geq 0$  für alle zulässigen  $(x(\cdot), u(\cdot))$  mit  $\|x(\cdot) - x_*(\cdot)\|_{\infty} < \gamma$ . ■

#### 5.4.4. Optimale Werbestrategien bei beschränktem Werbebudget

Wir betrachten wieder die Aufgabe optimaler Werbestrategien:

$$J(x(\cdot), u(\cdot)) = \int_0^T e^{-\varrho t} [\pi x(t) - u(t)] dt \rightarrow \sup, \quad (5.72)$$

$$x(t) = x_0 + \int_0^t e^{-\delta(t-s)} [f(u(s)) - \alpha x(s)] ds, \quad t \in [0, T], \quad (5.73)$$

$$x_0 \in [0, 1], \quad u(t) \geq 0, \quad \varrho > 0, \quad \alpha, \delta \geq 0. \quad (5.74)$$

Die Aufgabe (5.72)–(5.74) erweitern wir nun um die Zustandsbeschränkung

$$z(t) = \int_0^t e^{-\varrho s} u(s) ds, \quad t \in [0, T], \quad z(t) \leq Z, \quad Z > 0. \quad (5.75)$$

Weiterhin führen wir die Bezeichnungen aus den Abschnitten 5.2 und 5.3.4 fort.

Da die Funktion  $z(\cdot)$  über  $[0, T]$  monoton wachsend, ist es vernünftig die Diskussion der Aufgabe (5.72)–(5.75) auf die folgenden Fälle zu reduzieren:

- (A) Die Zustandsbeschränkung ist über  $[0, T]$  nicht aktiv. Dann liefern die Optimalitätsbedingungen die optimale Werbestrategie aus Abschnitt 5.2:

$$f'(u_*(t)) = \frac{\alpha + \delta + \varrho}{\pi(1 - e^{-(\alpha+\delta+\varrho)(T-t)}}.$$

Dabei ist  $u_*(t)$  stetig, streng monoton fallend und  $u_*(T) = 0$ .

- (B) Die Zustandsbeschränkung ist nur in  $t = T$  aktiv. Es bezeichne  $Z_0$  die Werbeausgaben im Fall (A) ohne Einschränkungen an das Werbebudget. Dann greift die Beschränkung (5.75) nur dann, wenn  $0 < Z \leq Z_0$  erfüllt ist.

Im Fall  $Z = Z_0$  ergeben sich bezüglich dem Zustand  $z(\cdot)$  die Adjungierte  $r(t) \equiv 0$ , sowie bezüglich  $x(\cdot)$  die Adjungierte  $q(\cdot)$  und die Werbestrategie  $u_*(\cdot)$  wie unter (A).

Im Fall  $Z < Z_0$  ist nach Abschnitt 5.3.4 bezüglich dem Zustand  $z(\cdot)$  die Adjungierte  $r(t) \equiv r_0 < 0$ . Für die Zustandsbeschränkung  $z(t) - Z \leq 0$  ergibt sich wegen  $r(T) = -\mu(\{T\}) < 0$ , dass das in  $t = T$  konzentrierte Maß positiv sein muss. Bezüglich  $x(\cdot)$  erhalten wir die Adjungierte  $q(\cdot)$  wie im Fall (A). Außerdem genügt die optimale Werbestrategie  $u_*(\cdot)$  der Beziehung

$$f'(u_*(t)) = (1 - r_0) \cdot \frac{\alpha + \delta + \varrho}{\pi(1 - e^{-(\alpha+\delta+\varrho)(T-t)}}.$$

Die Steuerung  $u_*(t)$  ist wieder stetig, streng monoton fallend und  $u_*(T) = 0$ . Im Vergleich zum Fall (A) bewirkt der Faktor  $(1 - r_0)$  eine reduzierte Werberate  $u_*(t)$ .

- (C) Die Zustandsbeschränkung ist über dem Intervall  $[\tau, T]$  mit  $0 < \tau < T$  aktiv. Dies würde  $u_*(t) = 0$  und damit insbesondere  $f'(u_*(t)) = \infty$  über  $[\tau, T]$  bedeuten. Das ist ein Widerspruch zur Gültigkeit der Maximumbedingung. Deswegen kann dieser Fall nicht eintreten.  $\square$

### 5.5. Freier Anfangs- und Endzeitpunkt

Die nachstehenden Betrachtungen sind durch die Arbeit von Dmitruk & Osmolovskii [21] angeregt. Im Wesentlichen folgen wir deren Bearbeitung. Allerdings fügen wir der Aufgabe im Zielfunktional die äußeren Integrationsgrenzen hinzu:

$$J(x(\cdot), u(\cdot)) = \int_{t_0}^{t_1} f(t, t_0, t_1, x(t), u(t)) dt \rightarrow \inf, \quad (5.76)$$

$$x(\zeta) = x(t_0) + \int_{t_0}^{\zeta} \varphi(\zeta, t, x(t), u(t)), \quad \zeta \in [t_0, t_1], \quad (5.77)$$

$$h_0(t_0, x(t_0)) = 0, \quad h_1(t_1, x(t_1)) = 0, \quad (5.78)$$

$$u(t) \in U \subseteq \mathbb{R}^m, \quad U \neq \emptyset. \quad (5.79)$$

Der Umgang mit den Bezeichnungen bezüglich der “inneren” und “äußeren” Zeitvariablen gestaltet sich durch die Methode der Substitution der Zeit und dem Auftreten von Zeitableitungen unübersichtlicher. Deswegen bezeichnet im Folgenden  $t$  die “innere” bzw. die in der Standardaufgabe “übliche” Zeit, während  $\zeta$  für die “äußere” Zeitvariable steht. Damit liegen die Variablenbezeichnungen  $f(t, t_0, t_1, x, u)$ ,  $\varphi(\zeta, t, x, u)$  und  $h_i(t_i, x_i)$  vor.

Die Aufgabe (5.76)–(5.79) untersuchen wir für Tripel  $([t_0, t_1], x(\cdot), u(\cdot))$  mit

$$[t_0, t_1] \subset \mathbb{R}, \quad x(\cdot) \in C([t_0, t_1], \mathbb{R}^n), \quad u(\cdot) \in L_\infty([t_0, t_1], U).$$

Zur Menge  $\mathcal{B}_{\text{Lip}}^{\mathcal{F}}$  gehören diejenigen Tripel  $([t_0, t_1], x(\cdot), u(\cdot))$ , für die es eine Zahl  $\gamma > 0$  derart gibt, dass die Abbildungen  $f(t, \tau_0, \tau_1, x, u)$ ,  $\varphi(\zeta, t, x, u)$  und  $h_i(\tau_i, x_i)$  auf der Menge aller Punkte  $(\zeta, t, \tau_0, \tau_1, x, x_0, x_1, u) \in \mathbb{R} \times \mathbb{R} \times \mathbb{R} \times \mathbb{R} \times \mathbb{R}^n \times \mathbb{R}^n \times \mathbb{R}^n \times \mathbb{R}^m$  mit

$$\begin{aligned} t_0 - \gamma < t, \zeta < t_1 + \gamma, \quad t_0 - \gamma < \tau_0 < t_0 + \gamma, \quad t_1 - \gamma < \tau_1 < t_1 + \gamma, \\ \|x - x(t)\| < \gamma, \quad \|x_0 - x(t_0)\| < \gamma, \quad \|x_1 - x(t_1)\| < \gamma, \quad u \in \mathbb{R}^m \end{aligned}$$

stetig in der Gesamtheit aller Variablen und stetig differenzierbar bezüglich der Zeit- und Zustandsvariablen  $\zeta, t, t_0, t_1, x, x_0, x_1$  sind. (Zur unmissverständlichen Angabe der Punktmenge treten  $\tau_0, \tau_1$  in  $f$  und  $h_i$  anstelle der Zeitvariablen  $t_0, t_1$  auf.)

In der Aufgabe (5.76)–(5.79) mit freiem Anfangs- und Endzeitpunkt nennen wir ein Tripel  $([t_0, t_1], x(\cdot), u(\cdot))$  mit  $[t_0, t_1] \subset \mathbb{R}$ ,  $x(\cdot) \in C([t_0, t_1], \mathbb{R}^n)$  und  $u(\cdot) \in L_\infty([t_0, t_1], U)$  einen Steuerungsprozess. Ein Steuerungsprozess heißt zulässig in dem Steuerungsproblem (5.76)–(5.79), wenn auf dem Intervall  $[t_0, t_1]$  die Funktion  $x(\cdot)$  fast überall der Gleichung (5.77) genügt und die Randbedingungen (5.78) erfüllt. Die Menge  $\mathcal{B}_{\text{adm}}^{\mathcal{F}}$  bezeichnet die Menge der zulässigen Steuerungsprozesse.

Einen zulässigen Steuerungsprozess  $([t_{0*}, t_{1*}], x_*(\cdot), u_*(\cdot))$  nennen wir ein starkes lokales Minimum, wenn eine Zahl  $\varepsilon > 0$  derart existiert, dass für jeden zulässigen Steuerungsprozess  $([t_0, t_1], x(\cdot), u(\cdot))$  mit den Eigenschaften

$$|t_0 - t_{0*}| < \varepsilon, \quad |t_1 - t_{1*}| < \varepsilon, \quad \|x(t) - x_*(t)\| < \varepsilon \quad \text{für alle } t \in [t_{0*}, t_{1*}] \cap [t_0, t_1]$$

die Ungleichung  $J(x(\cdot), u(\cdot)) \geq J(x_*(\cdot), u_*(\cdot))$  gilt.

### 5.5.1. Die Methode der Substitution der Zeit

Wir wenden die Methode der Substitution der Zeit aus Abschnitt 1.3.5 an,

$$t(s) = t(0) + v \cdot s, \quad y(s) = x(t(s)), \quad w(s) = u(t(s)), \quad v > 0,$$

und erhalten folgende Aufgabe über dem festen Zeitintervall  $[0, 1]$ :

$$\left. \begin{aligned} \tilde{J}(t(\cdot), y(\cdot), w(\cdot), v) &= \int_0^1 v \cdot f(t(\sigma), t(0), t(1), y(\sigma), w(\sigma)) d\sigma \rightarrow \inf, \\ y(s) &= y(0) + \int_0^s v \cdot \varphi(t(s), t(\sigma), y(\sigma), w(\sigma)) d\sigma, \quad s \in [0, 1], \\ t(s) &= t(0) + \int_0^s v d\sigma, \quad s \in [0, 1], \\ h_0(t(0), y(0)) &= 0, \quad h_1(t(1), y(1)) = 0, \\ w(s) &\in U \subseteq \mathbb{R}^m, \quad U \neq \emptyset, \quad v > 0. \end{aligned} \right\} \quad (5.80)$$

In der Aufgabe (5.80) enthalten das Zielfunktional bzw. die Dynamik die Größen  $t(0)$  und  $t(1)$ , sowie  $t(s)$ , die wir als Zustände der äußeren Zeit bezeichnen. Das Auftreten von Zuständen der äußeren Zeit wird durch die Methode der Substitution der Zeit hervorgerufen. Auf dieses Detail sind wir durch die bemerkenswerte Arbeit [21] aufmerksam geworden. Unserer Kenntnis nach wird die Steuerung einer Volterraschen Integralgleichung mit freiem Anfangs- und Endzeitpunkt erstmals in [21] umfassend untersucht.

Durch das Auftreten der Zustände der äußeren Zeit gliedert sich die Aufgabe (5.80) nicht in die bisher betrachtete Klasse (5.23)–(5.26) ein. Wir sehen uns also mit einem allgemeineren Steuerungsproblem für Volterrasche Integralgleichungen konfrontiert. Deswegen ist die ausführliche Auswertung dieser Aufgabe erforderlich.

In der Aufgabe (5.80) nennen wir ein Quadrupel

$$(t(\cdot), y(\cdot), w(\cdot), v) \in C([0, 1], \mathbb{R}) \times C([0, 1], \mathbb{R}^n) \times L_\infty([0, 1], U) \times \mathbb{R}$$

einen zulässigen Steuerungsprozess, wenn die Dynamiken und die Randbedingungen dieser Aufgabe erfüllt sind.

Einen zulässigen Steuerungsprozess  $(t_*(\cdot), y_*(\cdot), w_*(\cdot), v_*)$  nennen wir ein starkes lokales Minimum der Aufgabe (5.80), wenn eine Zahl  $\varepsilon > 0$  derart existiert, dass die Ungleichung

$$\tilde{J}(t(\cdot), y(\cdot), w(\cdot), v) \geq \tilde{J}(t_*(\cdot), y_*(\cdot), w_*(\cdot), v_*)$$

für jeden zulässigen Steuerungsprozess  $(t(\cdot), y(\cdot), w(\cdot), v)$  mit  $\|t(\cdot) - t_*(\cdot)\|_\infty < \varepsilon$  und mit  $\|y(\cdot) - y_*(\cdot)\|_\infty < \varepsilon$  gilt.

### 5.5.2. Die Auswertung der Aufgabe mit Zuständen der äußeren Zeit

Wir wollen mit Hilfe des Extremalprinzips in Form von Theorem F.5 notwendige Optimalitätsbedingungen für die Aufgabe (5.80) ableiten. Dazu betrachten wir für

$$(t(\cdot), y(\cdot), w(\cdot), v) \in C([0, 1], \mathbb{R}) \times C([0, 1], \mathbb{R}^n) \times L_\infty([0, 1], U) \times \mathbb{R}$$

die Abbildungen

$$\begin{aligned} \tilde{J}(t(\cdot), y(\cdot), w(\cdot), v) &= \int_0^1 v \cdot f(t(s), t(0), t(1), y(s), w(s)) ds, \\ \tilde{F}_1(t(\cdot), y(\cdot), w(\cdot), v)(s) &= y(s) - y(0) - \int_0^s v \cdot \varphi(t(s), t(\sigma), y(\sigma), w(\sigma)) d\sigma, \\ \tilde{F}_2(t(\cdot), v)(s) &= t(s) - t(0) - \int_0^s v d\sigma, \quad s \in [0, 1], \\ \tilde{H}_0(t(\cdot), y(\cdot)) &= h_0(t(0), y(0)) = 0, \quad \tilde{H}_1(t(\cdot), y(\cdot)) = h_1(t(1), y(1)) = 0. \end{aligned}$$

Da die Zustände  $t(\cdot), x(\cdot)$  stetige Funktionen sind, gilt für diese Abbildungen

$$\begin{aligned} \tilde{J} &: C([0, 1], \mathbb{R}) \times C([0, 1], \mathbb{R}^n) \times L_\infty([0, 1], U) \times \mathbb{R} \rightarrow \mathbb{R}, \\ \tilde{F}_1 &: C([0, 1], \mathbb{R}) \times C([0, 1], \mathbb{R}^n) \times L_\infty([0, 1], U) \times \mathbb{R} \rightarrow C_0([0, 1], \mathbb{R}^n), \\ \tilde{F}_2 &: C([0, 1], \mathbb{R}) \times \mathbb{R} \rightarrow C_0([0, 1], \mathbb{R}), \\ \tilde{H}_i &: C([0, 1], \mathbb{R}) \times C([0, 1], \mathbb{R}^n) \rightarrow \mathbb{R}^{s_i}, \quad i = 0, 1. \end{aligned}$$

Wir setzen  $\mathcal{F} = (\tilde{F}_1, \tilde{F}_2, \tilde{H}_0, \tilde{H}_1)$  und prüfen für die Extremalaufgabe

$$\tilde{J}(t(\cdot), y(\cdot), w(\cdot), v) \rightarrow \inf, \quad \mathcal{F}(t(\cdot), y(\cdot), w(\cdot), v) = 0, \quad (w(\cdot), v) \in L_\infty([0, 1], U) \times \mathbb{R} \quad (5.81)$$

im starken lokalen Minimum  $(t_*(\cdot), y_*(\cdot), w_*(\cdot), v_*)$  die Voraussetzungen von Theorem F.5:

(A<sub>1</sub>) Wie im Beispiel B.6 folgt, dass für jedes Paar  $(w(\cdot), v) \in L_\infty([0, 1], U) \times \mathbb{R}$  die Abbildung  $(t(\cdot), y(\cdot)) \rightarrow \tilde{J}(t(\cdot), y(\cdot), w(\cdot), v)$  im Punkt  $(t_*(\cdot), y_*(\cdot))$  Fréchet-differenzierbar ist und für die Ableitungen die Darstellungen

$$\begin{aligned} \tilde{J}_{t(\cdot)}(t_*(\cdot), y_*(\cdot), w(\cdot), v)t(\cdot) &= \int_0^1 v \cdot \left[ f_t(t_*(s), t_*(0), t_*(1), y_*(s), w(s))t(s) \right. \\ &\quad + f_{t_0}(t_*(s), t_*(0), t_*(1), y_*(s), w(s))t(0) \\ &\quad \left. + f_{t_1}(t_*(s), t_*(0), t_*(1), y_*(s), w(s))t(1) \right] ds, \\ \tilde{J}_{y(\cdot)}(t_*(\cdot), y_*(\cdot), w(\cdot), v)y(\cdot) &= \int_0^1 v \cdot \langle f_x(t_*(s), t_*(0), t_*(1), y_*(s), w(s)), y(s) \rangle ds \end{aligned}$$

gelten. Man beachte dabei weiterhin  $f = f(t, t_0, t_1, x, u)$ .

- (A<sub>2</sub>) Die Differenzierbarkeit der Abbildungen  $\tilde{F}_1$  und  $\tilde{F}_2$  bezüglich  $(t(\cdot), y(\cdot))$  folgt wie im Beispiel B.9. Für die Abbildungen  $\tilde{H}_i$  ist die stetige Differenzierbarkeit offensichtlich. Es ergeben sich für die Dynamiken die Ableitungen

$$\begin{aligned} & [\tilde{F}_{1,t(\cdot)}(t(\cdot), y(\cdot), w(\cdot), v)\tau(\cdot)](s) \\ &= - \int_0^s v \cdot [\varphi_\zeta(t(s), t(\sigma), y(\sigma), w(\sigma))\tau(s) + \varphi_t(t(s), t(\sigma), y(\sigma), w(\sigma))\tau(\sigma)] d\sigma, \\ & [\tilde{F}_{1,y(\cdot)}(t(\cdot), y(\cdot), w(\cdot), v)\eta(\cdot)](s) \\ &= \eta(s) - \eta(0) - \int_0^s v \cdot \varphi_x(t(s), t(\sigma), y(\sigma), w(\sigma))\eta(\sigma) d\sigma, \\ & [\tilde{F}_{2,t(\cdot)}(t(\cdot), v)\tau(\cdot)](s) = \tau(s) - \tau(0), \quad s \in [0, 1], \end{aligned}$$

und für die Ableitungen der Randbedingungen die Darstellungen

$$\begin{aligned} \tilde{H}_{0,t(\cdot)}(t(\cdot), y(\cdot)) &= h_{0,t_0}(t(0), y(0)), & \tilde{H}_{0,y(\cdot)}(t(\cdot), y(\cdot)) &= h_{0,x_0}(t(0), y(0)) \\ \tilde{H}_{1,t(\cdot)}(t(\cdot), y(\cdot)) &= h_{1,t_1}(t(1), y(1)), & \tilde{H}_{1,y(\cdot)}(t(\cdot), y(\cdot)) &= h_{1,x_1}(t(1), y(1)). \end{aligned}$$

Auch hier bestehen noch die Zuweisungen  $\varphi = \varphi(\zeta, t, x, u)$  und  $h_i = h_i(t_i, x_i)$ .

- (B) Für den Nachweis der endlichen Kodimension müssen wir zeigen, dass es zu jedem  $(z_1(\cdot), z_2(\cdot)) \in C_0([0, 1], \mathbb{R}) \times C_0([0, 1], \mathbb{R}^n)$  ein  $(\bar{t}(\cdot), \bar{y}(\cdot)) \in C([0, 1], \mathbb{R}) \times C([0, 1], \mathbb{R}^n)$  gibt mit

$$\begin{aligned} z_1(\cdot) &= \tilde{F}_{1,t(\cdot)}(t_*(\cdot), y_*(\cdot), w_*(\cdot), v_*)\bar{t}(\cdot) + \tilde{F}_{1,y(\cdot)}(t_*(\cdot), y_*(\cdot), w_*(\cdot), v_*)\bar{y}(\cdot), \\ z_2(\cdot) &= \tilde{F}_{2,t(\cdot)}(t_*(\cdot), v_*)\bar{t}(\cdot). \end{aligned}$$

Die zweite Gleichung besitzt die einfache Form  $z_2(s) = \bar{t}(s) - \bar{t}(0)$ ,  $s \in [0, 1]$ , und wir können unmittelbar durch  $\bar{t}(s) = z_2(s)$  eine Lösung angeben. Setzen wir nun  $\bar{t}(\cdot)$  in die erste Gleichung ein, so geht diese mit den abkürzenden Schreibweisen

$$\begin{aligned} a(s) &= - \int_0^s v_* \cdot [\varphi_\zeta(t_*(s), t_*(\sigma), y_*(\sigma), w_*(\sigma))\bar{t}(s) \\ &\quad + \varphi_t(t_*(s), t_*(\sigma), y_*(\sigma), w_*(\sigma))\bar{t}(\sigma)] d\sigma, \\ A(s, \sigma) &= v_* \cdot \varphi_x(t_*(s), t_*(\sigma), y_*(\sigma), w_*(\sigma)) \end{aligned}$$

in die Form

$$z_1(s) = a(s) + \bar{y}(s) - \bar{y}(0) - \int_0^s A(s, \sigma)\bar{y}(\sigma) d\sigma$$

über. Setzen wir noch  $\tilde{z}_1(s) = z_1(s) - a(s)$ , erhält sie die Gestalt

$$\tilde{z}_1(s) = \bar{y}(s) - \bar{y}(0) - \int_0^s A(s, \sigma)\bar{y}(\sigma) d\sigma$$

einer Volterraschen Integralgleichung, welche nach Lemma C.2 und Bemerkung C.1 eine Lösung  $\bar{y}(\cdot)$  besitzt.

- (C) Wir fassen die Zustände zu  $t(\cdot)$ ,  $y(\cdot)$  zu  $x(\cdot)$ , die Steuerungen  $w(\cdot)$ ,  $v$  zu  $u(\cdot)$  und die Operatoren  $\tilde{F}_1, \tilde{F}_2$  zu  $F$  zusammen, setzen  $\psi = v \cdot \varphi$  und führen die allgemeinere Integralgleichung

$$\tilde{F}(x(\cdot), u(\cdot))(s) = x(s) - x(0) + \int_0^s \psi(s, \sigma, x(s), x(\sigma), u(\sigma)) d\sigma, \quad s \in [0, 1],$$

mit dem Zustand  $x(s)$  der oberen Integrationsgrenze im Integranden ein. Der Nachweis der Voraussetzungen (C) von Theorem F.5 sind im Anhang E in Lemma E.11 und in Lemma E.12 dargestellt.

Zur Extremalaufgabe (5.81) definieren wir auf

$$C([0, 1], \mathbb{R}) \times C([0, 1], \mathbb{R}^n) \times L_\infty([0, 1], \mathbb{R}^m) \times \mathbb{R} \times \mathbb{R} \times C_0^*([0, 1], \mathbb{R}^n) \times C_0^*([0, 1], \mathbb{R}) \times \mathbb{R}^{s_0} \times \mathbb{R}^{s_1}$$

die Lagrange-Funktion  $\mathcal{L} = \mathcal{L}(t(\cdot), y(\cdot), w(\cdot), v, \lambda_0, y_1^*, y_2^*, l_0, l_1)$ ,

$$\begin{aligned} \mathcal{L} = & \lambda_0 \tilde{J}(t(\cdot), y(\cdot), w(\cdot), v) + \langle y_1^*, \tilde{F}_1(t(\cdot), y(\cdot), w(\cdot), v) \rangle + \langle y_2^*, \tilde{F}_2(t(\cdot), v) \rangle \\ & + l_0^T \tilde{H}_0(t(\cdot), y(\cdot)) + l_1^T \tilde{H}_1(t(\cdot), y(\cdot)). \end{aligned}$$

Ist  $(t_*(\cdot), y_*(\cdot), w_*(\cdot), v_*)$  eine starke lokale Minimalstelle der Aufgabe (5.81), dann existieren nach Theorem F.5 nicht gleichzeitig verschwindende Lagrangesche Multiplikatoren

$$\lambda_0 \geq 0, \quad y_1^* \in C_0^*([0, 1], \mathbb{R}^n), \quad y_2^* \in C_0^*([0, 1], \mathbb{R}), \quad l_i \in \mathbb{R}^{s_i}, \quad i = 0, 1,$$

derart, dass folgende Bedingungen gelten:

- (a) Die Lagrange-Funktion besitzt in  $(t_*(\cdot), y_*(\cdot))$  einen stationären Punkt, d. h.

$$\left. \begin{aligned} \mathcal{L}_{t(\cdot)}(t_*(\cdot), y_*(\cdot), w_*(\cdot), v_*, \lambda_0, y_1^*, y_2^*, l_0, l_1) &= 0, \\ \mathcal{L}_{y(\cdot)}(t_*(\cdot), y_*(\cdot), w_*(\cdot), v_*, \lambda_0, y_1^*, y_2^*, l_0, l_1) &= 0. \end{aligned} \right\} \quad (5.82)$$

- (b) Die Lagrange-Funktion erfüllt bezüglich  $w(\cdot) \in L_\infty([0, 1], U)$  und  $v > 0$  die Minimumbedingung

$$\begin{aligned} & \mathcal{L}(t_*(\cdot), y_*(\cdot), w_*(\cdot), v_*, \lambda_0, y_1^*, y_2^*, l_0, l_1) \\ &= \min_{w(\cdot), v > 0} \mathcal{L}(t_*(\cdot), y_*(\cdot), w(\cdot), v, \lambda_0, y_1^*, y_2^*, l_0, l_1). \end{aligned} \quad (5.83)$$

Zu  $y_1^* \in C_0^*([0, 1], \mathbb{R})$  und  $y_2^* \in C_0^*([0, 1], \mathbb{R})$  gibt es ein eindeutig bestimmtes reguläres Borelsches Vektormass  $\mu_1$  bzw. Maß  $\mu_2$  derart, dass nach (5.82) für alle  $y(\cdot) \in C([0, 1], \mathbb{R}^n)$  die Gleichung

$$\begin{aligned} 0 = & \lambda_0 \int_0^1 v_* \cdot \langle f_x(t_*(s), t_*(0), t_*(1), y_*(s), w_*(s)), y(s) \rangle ds \\ & + \int_0^1 \left\langle y(s) - y(0) - \int_0^s v_* \cdot \varphi_x(t_*(s), t_*(\sigma), y_*(\sigma), w_*(\sigma)) y(\sigma) d\sigma, d\mu_1(s) \right\rangle \\ & + \langle l_0, h_{0,x_0}(t_*(0), y_*(0)) y(0) \rangle + \langle l_1, h_{1,x_1}(t_*(1), y_*(1)) y(1) \rangle \end{aligned}$$

und für alle  $t(\cdot) \in C([0, 1], \mathbb{R})$  die Gleichung

$$\begin{aligned}
 0 = & \lambda_0 \int_0^1 v_* \cdot \left[ f_t(t_*(s), t_*(0), t_*(1), y_*(s), w_*(s))t(s) \right. \\
 & + f_{t_0}(t_*(s), t_*(0), t_*(1), y_*(s), w_*(s))t(0) \\
 & \left. + f_{t_1}(t_*(s), t_*(0), t_*(1), y_*(s), w_*(s))t(1) \right] ds \\
 & - \int_0^1 \left\langle \int_0^s v_* \cdot [\varphi_\zeta(t_*(s), t_*(\sigma), y_*(\sigma), w_*(\sigma))t(s) \right. \\
 & \quad \left. + \varphi_t(t_*(s), t_*(\sigma), y_*(\sigma), w_*(\sigma))t(\sigma)] d\sigma, d\mu_1(s) \right\rangle \\
 & + \int_0^1 (t(s) - t(0)) d\mu_2(s) + \langle l_0, h_{0,t_0}(t_*(0), y_*(0)) \rangle t(0) + \langle l_1, h_{1,t_1}(t_*(1), y_*(1)) \rangle t(1)
 \end{aligned}$$

erfüllt sind. In diesen Gleichungen ändern wir die Integrationsreihenfolge in den Doppelintegralen. Dann ergeben sich die Beziehungen

$$\begin{aligned}
 0 = & \int_0^1 v_* \cdot \lambda_0 \left\langle f_x(t_*(s), t_*(0), t_*(1), y_*(s), w_*(s)) \right. \\
 & \quad \left. - \int_s^1 \varphi_x^T(t_*(\sigma), t_*(s), y_*(s), w_*(s)) d\mu_1(\sigma), y(s) \right\rangle ds \\
 & + \int_0^1 \langle y(s) - y(0), d\mu_1(s) \rangle + \langle l_0, h_{0,x_0}(t_*(0), y_*(0))y(0) \rangle + \langle l_1, h_{1,x_1}(t_*(1), y_*(1))y(1) \rangle
 \end{aligned}$$

für alle  $y(\cdot) \in C([0, 1], \mathbb{R}^n)$  und

$$\begin{aligned}
 0 = & \int_0^1 v_* \cdot \left[ \lambda_0 f_t(t_*(s), t_*(0), t_*(1), y_*(s), w_*(s)) \right. \\
 & \quad \left. - \int_s^1 \langle \varphi_t(t_*(\sigma), t_*(s), y_*(s), w_*(s)), d\mu_1(\sigma) \rangle \right] t(s) ds \\
 & - \int_0^1 \int_s^1 v_* \cdot \langle \varphi_\zeta(t_*(\sigma), t_*(s), y_*(s), w_*(s))t(\sigma), d\mu_1(\sigma) \rangle ds \\
 & + \left[ \int_0^1 v_* \cdot \lambda_0 f_{t_0}(t_*(s), t_*(0), t_*(1), y_*(s), w_*(s)) ds \right] t(0) \\
 & + \left[ \int_0^1 v_* \cdot \lambda_0 f_{t_1}(t_*(s), t_*(0), t_*(1), y_*(s), w_*(s)) ds \right] t(1) \\
 & + \int_0^1 (t(s) - t(0)) d\mu_2(s) + \langle l_0, h_{0,t_0}(t_*(0), y_*(0)) \rangle t(0) + \langle l_1, h_{1,t_1}(t_*(1), y_*(1)) \rangle t(1)
 \end{aligned}$$

für alle  $t(\cdot) \in C([0, 1], \mathbb{R}^n)$ . Wir setzen  $\tilde{p}(s) = \int_s^1 d\mu_1(\sigma)$ . Damit folgt wegen der eindeuti-

gen Darstellung eines stetigen linearen Funktionals im Raum  $C([0, 1], \mathbb{R}^n)$

$$\left. \begin{aligned} \tilde{p}'(s) &= -v_* \cdot \left[ \lambda_0 f_x(t_*(s), t_*(0), t_*(1), y_*(s), w_*(s)) \right. \\ &\quad \left. + \int_s^1 \varphi_x^T(t_*(\tau), t_*(s), y_*(s), w_*(s)) d\tilde{p}(\tau) \right], \\ \tilde{p}(0) &= h_{0,x_0}^T(t_*(0), y_*(0))l_0, \quad \tilde{p}(1^-) = -h_{1,x_1}^T(t_*(1), y_*(1))l_1, \quad \tilde{p}(1) = 0. \end{aligned} \right\} \quad (5.84)$$

Weiterhin setzen wir  $\tilde{q}(s) = \int_s^1 d\mu_2(\sigma)$ . So ergibt sich ferner aus der eindeutigen Darstellung eines stetigen linearen Funktionals im Raum  $C([0, 1], \mathbb{R})$

$$\left. \begin{aligned} \tilde{q}'(s) &= -v_* \left[ \lambda_0 f_t(t_*(s), t_*(0), t_*(1), y_*(s), w_*(s)) \right. \\ &\quad \left. + \int_s^1 \langle \varphi_t(t_*(\tau), t_*(s), y_*(s), w_*(s)), d\tilde{p}(\tau) \rangle \right] \\ &\quad - v_* \int_s^1 \langle \varphi_\zeta(t_*(\tau), t_*(s), y_*(s), w_*(s)), d\tilde{p}(\tau) \rangle, \\ \tilde{q}(0) &= \langle h_{0,t_0}(t_*(0), y_*(0)), l_0 \rangle \\ &\quad + \lambda_0 \int_0^1 v_* f_{t_0}(t_*(s), t_*(0), t_*(1), y_*(s), w_*(s)) ds \\ \tilde{q}(1) &= -\langle h_{1,t_1}(t_*(1), y_*(1)), l_1 \rangle \\ &\quad - \lambda_0 \int_0^1 v_* f_{t_1}(t_*(s), t_*(0), t_*(1), y_*(s), w_*(s)) ds. \end{aligned} \right\} \quad (5.85)$$

Die Beziehung (5.83) führt nach Vertauschen der Integrationsreihenfolge zur Ungleichung

$$\begin{aligned} &v_* \cdot \int_0^1 \left[ \lambda_0 f(t_*(s), t_*(0), t_*(1), y_*(s), w_*(s)) \right. \\ &\quad \left. + \int_s^1 \langle \varphi(t_*(\sigma), t_*(s), y_*(s), w_*(s)), d\tilde{p}(\sigma) \rangle - \tilde{q}(s) \right] ds \\ &\leq v \cdot \int_0^1 \left[ \lambda_0 f(t_*(s), t_*(0), t_*(1), y_*(s), w(s)) \right. \\ &\quad \left. + \int_s^1 \langle \varphi(t_*(\sigma), t_*(s), y_*(s), w(s)), d\tilde{p}(\sigma) \rangle - \tilde{q}(s) \right] ds, \end{aligned} \quad (5.86)$$

die für alle  $w(\cdot) \in L_\infty([0, 1], U)$  und  $v > 0$  gültig ist.

### 5.5.3. Notwendige Optimalitätsbedingungen

Auf Basis der Beziehungen (5.84)–(5.86) leiten wir das Pontrjaginsche Maximumprinzip der Aufgabe (5.76)–(5.79) ab. Dazu betrachten wir zu  $t_*(\cdot)$  die inverse Funktion  $s_*(\cdot)$ ,

$$t_*(s) = t_{0*} + (t_{1*} - t_{0*}) \cdot s = t_{0*} + v_* \cdot s, \quad s \in [0, 1], \quad s_*(t) = \frac{t - t_{0*}}{t_{1*} - t_{0*}}, \quad t \in [t_{0*}, t_{1*}],$$

und folgen der Rückführung der Aufgabe des Abschnittes 1.3.5:

Wir führen die Bezeichnungen  $p(t) = \tilde{p}(s_*(t))$  und  $q(t) = \tilde{q}(s_*(t))$  ein. So lassen sich die Beziehungen (5.84) in die Form

$$\begin{aligned} \dot{p}(t) &= \int_t^{t_{1*}} \varphi_x^T(\tau, t, x_*(t), u_*(t)) dp(\tau) + \lambda_0 f_x(t, t_{0*}, t_{1*}, x_*(t), u_*(t)), \\ p(t_{0*}) &= h_{0,x_0}^T(t_{0*}, x_*(t_{0*}))l_0, \quad p(t_{1*}^-) = -h_{1,x_1}^T(t_{1*}, x_*(t_{1*}))l_1, \quad p(t_{1*}) = 0 \end{aligned}$$

bringen und die Beziehungen (5.85) erhalten die Gestalt

$$\begin{aligned} \dot{q}(t) &= \int_t^{t_{1*}} \langle \varphi_t^T(\tau, t, x_*(t), u_*(t)), dp(\tau) \rangle + \lambda_0 f_t(t, t_{0*}, t_{1*}, x_*(t), u_*(t)), \\ &\quad + \int_t^{t_{1*}} \langle \varphi_\zeta(\tau, t, x_*(t), u_*(t)), dp(\tau) \rangle, \\ q(t_{0*}) &= \langle h_{0,t_0}(t_{0*}, x_*(t_{0*})), l_0 \rangle + \lambda_0 \int_{t_{0*}}^{t_{1*}} f_{t_0}(t, t_{0*}, t_{1*}, x_*(t), u_*(t)) dt, \\ q(t_{1*}) &= -\langle h_{1,t_1}(t_{1*}, x_*(t_{1*})), l_1 \rangle - \lambda_0 \int_{t_{0*}}^{t_{1*}} f_{t_1}(t, t_{0*}, t_{1*}, x_*(t), u_*(t)) dt. \end{aligned}$$

In der Adjungierten  $q(\cdot)$  manifestiert sich der Einfluss des freien Anfangs- und Endzeitpunktes in Form der Ableitungen  $\varphi_\zeta$  und  $f_{t_0}, f_{t_1}$  nach den äußeren Zeitvariablen.

Die Bedingung (5.86) führt bezüglich  $v > 0$  zu dem Zusammenhang

$$q(t) = \int_t^{t_{1*}} \langle \varphi(\tau, t, x_*(t), u_*(t)), dp(\tau) \rangle + \lambda_0 f(t, t_{0*}, t_{1*}, x_*(t), u_*(t))$$

und liefert zudem die Maximumbedingung

$$\begin{aligned} & - \int_t^{t_{1*}} \langle \varphi(\tau, t, x_*(t), u_*(t)), dp(\tau) \rangle - \lambda_0 f(t, t_{0*}, t_{1*}, x_*(t), u_*(t)) \\ &= \max_{u \in U} \left( - \int_t^{t_{1*}} \langle \varphi(\tau, t, x_*(t), u), dp(\tau) \rangle - \lambda_0 f(t, t_{0*}, t_{1*}, x_*(t), u) \right), \end{aligned}$$

die für fast alle  $t \in [t_{0*}, t_{1*}]$  gültig ist.

Zur Formulierung der notwendigen Bedingungen der Aufgabe (5.76)–(5.79) mit freiem Anfangs- und Endzeitpunkt führen wir die erweiterte Pontrjagin-Funktion  $H^{\mathcal{I}}$  ein:

$$H^{\mathcal{I}}(t, t_0, t_1, x, u, p(\cdot), \lambda_0) = - \int_t^{t_1} \langle \varphi(\tau, t, x, u), dp(\tau) \rangle - \lambda_0 f(t, t_0, t_1, x, u).$$

Zusammenfassend erhalten wir für die Aufgabe mit freiem Anfangs- und Endzeitpunkt:

**Theorem 5.13** (Pontrjaginsches Maximumprinzip). *In der Aufgabe (5.76)–(5.79) sei der Steuerungsprozess  $([t_{0*}, t_{1*}], x_*(\cdot), u_*(\cdot)) \in \mathcal{B}_{\text{adm}}^{\mathcal{F}} \cap \mathcal{B}_{\text{Lip}}^{\mathcal{F}}$ . Ist  $([t_{0*}, t_{1*}], x_*(\cdot), u_*(\cdot))$  ein starkes lokales Minimum der Aufgabe (5.76)–(5.79), dann existieren nicht gleichzeitig verschwindende Multiplikatoren  $\lambda_0 \geq 0$ ,  $p(\cdot) \in W_{\infty}^1([t_{0*}, t_{1*}], \mathbb{R}^n)$  und  $l_i \in \mathbb{R}^{s_i}$ ,  $i = 0, 1$ , derart, dass*

(a) die adjungierte Gleichung

$$\dot{p}(t) = -H_x^{\mathcal{I}}(t, t_{0*}, t_{1*}, x_*(t), u_*(t), p(\cdot), \lambda_0), \quad (5.87)$$

(b) die Transversalitätsbedingungen

$$p(t_{0*}) = h_{0, x_0}^T(t_{0*}, x_*(t_{0*}))l_0, \quad p(t_{1*}^-) = -h_{1, x_1}^T(t_{1*}, x_*(t_{1*}))l_1, \quad p(t_{1*}) = 0 \quad (5.88)$$

(c) und in fast allen Punkten  $t \in [t_{0*}, t_{1*}]$  die Maximumbedingung

$$H^{\mathcal{I}}(t, t_{0*}, t_{1*}, x_*(t), u_*(t), p(\cdot), \lambda_0) = \max_{u \in U} H^{\mathcal{I}}(t, t_{0*}, t_{1*}, x_*(t), u, p(\cdot), \lambda_0) \quad (5.89)$$

erfüllt sind. Außerdem definieren wir die erweiterte Hamilton-Funktion gemäß

$$\mathcal{H}^{\mathcal{I}}(t, x, p(\cdot), \lambda_0) = \max_{u \in U} H^{\mathcal{I}}(t, t_{0*}, t_{1*}, x, u, p(\cdot), \lambda_0).$$

(d) Es gelten außerdem für die Abbildung  $t \rightarrow \mathcal{H}^{\mathcal{I}}(t, x_*(t), p(t), \lambda_0)$  die Beziehungen

$$\begin{aligned} \frac{d}{dt} \mathcal{H}^{\mathcal{I}}(t, x_*(t), p(\cdot), \lambda_0) &= \int_t^{t_{1*}} \langle \varphi_t(\tau, t, x_*(t), u_*(t)), dp(\tau) \rangle \\ &+ \int_t^{t_{1*}} \langle \varphi_{\zeta}(\tau, t, x_*(t), u_*(t)), dp(\tau) \rangle + \lambda_0 f_t(t, t_{0*}, t_{1*}, x_*(t), u_*(t)), \end{aligned} \quad (5.90)$$

$$\begin{aligned} \mathcal{H}^{\mathcal{I}}(t_{0*}, x_*(t_{0*}), p(\cdot), \lambda_0) &= -\langle h_{0, t_0}(t_{0*}, x_*(t_{0*})), l_0 \rangle \\ &- \lambda_0 \int_{t_{0*}}^{t_{1*}} f_{t_0}(t, t_{0*}, t_{1*}, x_*(t), u_*(t)) dt, \end{aligned} \quad (5.91)$$

$$\begin{aligned} \mathcal{H}^{\mathcal{I}}(t_{1*}, x_*(t_{1*}), p(\cdot), \lambda_0) &= \langle h_{1, t_1}(t_{1*}, x_*(t_{1*})), l_1 \rangle \\ &+ \lambda_0 \int_{t_{0*}}^{t_{1*}} f_{t_1}(t, t_{0*}, t_{1*}, x_*(t), u_*(t)) dt. \end{aligned} \quad (5.92)$$

### 5.5.4. Optimaler Planungszeitraum einer Werbestrategie

In dem Beispiel (5.43)–(5.47) einer optimalen Werbestrategie mit vorgegebenem Werbebudget im Abschnitt 5.3.4 blieb die Frage nach dem Planungszeitraum offen. Der Grund ist die Form der Aufgabe, in der diese Frage nicht vernünftig beantwortet werden kann.

Erfahrungsgemäß schwindet aus verschiedensten Gründen die Marktrelevanz im Laufe der Zeit. Deswegen betrachten wir einen gewissen Mittelwert des Gewinnes. Da der Bedeutungsschwund in der Zukunft in immer schnelleren Maße zunimmt, machen wir den Ansatz eines gewichteten Mittels mit Hilfe des Faktors  $e^{-\sigma T}$ . Zusätzlich nehmen wir an, dass dieser Faktor das verfügbare Werbebudget (5.47) beeinflusst, da zugewiesene Finanzierungsmittel zeitlich nicht unbegrenzt in voller Höhe zur Verfügung stehen.

Zur Unterscheidung der Bezeichnungen, die wir im Beispiel (5.43)–(5.47) verwendeten, versehen wir in der vorliegenden Aufgabe das Zielfunktional, die Zustände, die Steuerung und die Adjungierten mit einem Symbol. Die Aufgabe optimaler Werbestrategien mit gewichtetem Mittel des Gewinnes und mit freiem Endzeitpunkt besitzt die Form

$$\tilde{J}(\tilde{x}(\cdot), \tilde{u}(\cdot)) = e^{-\sigma T} \int_0^T e^{-\rho t} [\pi \tilde{x}(t) - \tilde{u}(t)] dt \rightarrow \sup, \quad (5.93)$$

$$\tilde{x}(t) = x_0 + \int_0^t e^{-\delta(t-s)} [f(\tilde{u}(s)) - \alpha \tilde{x}(s)] ds, \quad t \in [0, T], \quad (5.94)$$

$$\tilde{z}(t) = \int_0^t e^{-\rho s} \tilde{u}(s) ds, \quad t \in [0, T], \quad e^{-\sigma T} \tilde{z}(T) = Z > 0, \quad (5.95)$$

$$x_0 \in [0, 1], \quad \tilde{u}(t) \geq 0, \quad \rho, \sigma > 0, \quad \alpha, \delta \geq 0, \quad T > 0 \text{ frei.} \quad (5.96)$$

In den Integranden fließt die äußere Zeit  $T$  ein. Deswegen besitzt der Integrand  $f$  nach Übergang zu einem Minimierungsproblem die Gestalt

$$f(t, T, \tilde{x}, \tilde{u}) = -e^{-\sigma T} e^{-\rho t} (\pi \tilde{x} - \tilde{u}).$$

Bezüglich dem Zustand  $z(\cdot)$  gehen wir wieder zur Differentialgleichung  $\dot{z}(t) = e^{-\rho t} u(t)$  über. Damit erhalten wir für die Aufgabe (5.93)–(5.96) die erweiterte Pontrjagin-Funktion

$$\begin{aligned} H^{\mathcal{I}}(t, T, \tilde{x}, \tilde{z}, \tilde{u}, \tilde{q}(\cdot), \tilde{r}, \lambda_0) &= - \int_t^T e^{-\delta(\tau-t)} [f(\tilde{u}) - \alpha \tilde{x}] d\tilde{q}(\tau) \\ &\quad + \tilde{r} [e^{-\rho t} \tilde{u}] + \lambda_0 e^{-\sigma T} e^{-\rho t} [\pi \tilde{x} - \tilde{u}]. \end{aligned}$$

Die notwendigen Optimalitätsbedingungen in Theorem 5.13 ergeben mit  $\lambda_0 = 1$ :

Nach (5.87) und (5.88) gelten die adjungierten Gleichungen

$$\begin{aligned} -H_{\tilde{x}}^{\mathcal{I}}(t, \dots, 1) &= \dot{\tilde{q}}(t) = \int_t^{T^*} -\alpha e^{-\delta(\tau-t)} d\tilde{q}(\tau) - \pi e^{-\sigma T^*} e^{-\rho t}, \\ -H_{\tilde{z}}^{\mathcal{I}}(t, \dots, 1) &= \dot{\tilde{r}}(t) = 0 \end{aligned}$$

zu den Transversalitätsbedingungen

$$\tilde{q}(T_*^-) = \tilde{q}(T_*) = 0, \quad \tilde{r}(T_*) = -l_1 e^{-\sigma T_*},$$

wobei die Randbedingung die Form  $h_1(T, \tilde{z}(T)) = e^{-\sigma T} \tilde{z}(T) - Z = 0$  besitzt.

Mit dem Verweis auf die Adjungierten  $q(\cdot)$  im Abschnitt 5.3.4 ergibt sich für  $\tilde{q}(\cdot)$  die Darstellung  $\tilde{q}(t) = e^{-\sigma T_*} q(t)$ , denn es gilt offenbar

$$\begin{aligned} \dot{\tilde{q}}(t) = e^{-\sigma T_*} \cdot \dot{q}(t) &= e^{-\sigma T_*} \cdot \left[ \int_t^{T_*} -\alpha e^{-\delta(\tau-t)} \dot{q}(\tau) d\tau - \pi e^{-\varrho t} \right] \\ &= \int_t^{T_*} -\alpha e^{-\delta(\tau-t)} \dot{\tilde{q}}(\tau) d\tau - e^{-\sigma T_*} \cdot \pi e^{-\varrho t}. \end{aligned}$$

Aus der Maximumbedingung (5.89) folgt für fast alle  $t \in [0, T_*]$  die Gültigkeit der Aufgabe

$$\max_{u \geq 0} \left[ - \int_t^{T_*} e^{-\delta(\tau-t)} \dot{\tilde{q}}(\tau) d\tau \cdot f(\tilde{u}) + \tilde{r}(t) e^{-\varrho t} \cdot \tilde{u} - e^{-\sigma T_*} e^{-\varrho t} \cdot \tilde{u} \right].$$

Unter Verwendung der Darstellung von  $\dot{\tilde{q}}(\cdot)$  und dem Zusammenhang  $\tilde{q}(t) = e^{-\sigma T_*} q(t)$ , sowie  $\tilde{r}(t) \equiv -l_1 e^{-\sigma T_*}$  erhalten wir mit den Beziehungen im Abschnitt 5.3.4 für die optimale Steuerung  $\tilde{u}(\cdot)$  die implizite Darstellung

$$\begin{aligned} f'(\tilde{u}_*(t)) &= e^{-\sigma T_*} (1 + l_1) e^{-\varrho t} \cdot \frac{\alpha}{\dot{\tilde{q}}(t) + e^{-\sigma T_*} \pi e^{-\varrho t}} = (1 + l_1) e^{-\varrho t} \cdot \frac{\alpha}{\dot{q}(t) + \pi e^{-\varrho t}} \\ &= (1 + l_1) \cdot \frac{\alpha + \delta + \varrho}{\pi(1 - e^{-(\alpha+\delta+\varrho)(T_*-t)}}. \end{aligned}$$

Abschließend gehen wir auf den Teil (d) von Theorem 5.13 ein: Die Aufgabe beinhaltet den Integranden  $f(t, T, \tilde{x}, \tilde{u}) = -e^{-\sigma T} e^{-\varrho t} [\pi \tilde{x} - \tilde{u}]$ , sowie bezüglich der Zustände  $\tilde{x}, \tilde{z}$  die rechten Seiten  $\varphi_1(\zeta, t, \tilde{x}, \tilde{u}) = e^{-\delta(\zeta-t)} [f(\tilde{u}) - \alpha \tilde{x}]$  und  $\varphi_2(t, \tilde{u}) = e^{-\varrho t} \tilde{u}$ .

Diesen Abbildungen entnimmt man unmittelbar die verschiedenen Zeitableitungen

$$\begin{aligned} f_t(t, T, \tilde{x}, \tilde{u}) &= -\varrho f(t, T, \tilde{x}, \tilde{u}), \quad f_T(t, T, \tilde{x}, \tilde{u}) = -\sigma f(t, T, \tilde{x}, \tilde{u}), \\ \varphi_{1,t}(\zeta, t, \tilde{x}, \tilde{u}) &= -\varphi_{1,\zeta}(\zeta, t, \tilde{x}, \tilde{u}) = \delta \varphi_1(\zeta, t, \tilde{x}, \tilde{u}), \quad \varphi_{2,t}(t, \tilde{u}) = -\varrho \varphi_2(t, \tilde{u}). \end{aligned}$$

Daraus ergibt sich nach (5.90) für die erweiterte Hamilton-Funktion

$$\begin{aligned} \frac{d}{dt} \mathcal{H}^{\mathcal{I}}(t, \tilde{x}_*(t), \tilde{z}_*(t), \tilde{q}(\cdot), \tilde{r}, 1) &= -\varphi_{2,t}(t, \tilde{u}_*(t)) \tilde{r}(t) + f_t(t, T_*, \tilde{x}_*(t), \tilde{u}_*(t)) \\ &= -\varrho e^{-\varrho t} \tilde{u}_*(t) \cdot l_1 e^{-\sigma T_*} - \varrho f(t, T_*, \tilde{x}_*(t), \tilde{u}_*(t)). \end{aligned}$$

Im Weiteren verwenden wir zur Abkürzung das Zielfunktional  $\tilde{J}$ , d. h.

$$-\tilde{J}(x_*(\cdot), u_*(\cdot)) = \int_0^{T_*} f(t, T_*, \tilde{x}_*(t), \tilde{u}_*(t)) dt.$$

Die Randbedingungen (5.91) und (5.92) liefern die Beziehungen

$$\begin{aligned}\mathcal{H}^{\mathcal{I}}(0, \tilde{x}_*(0), \tilde{z}_*(0), \tilde{q}(\cdot), \tilde{r}, 1) &= 0, \\ \mathcal{H}^{\mathcal{I}}(T_*, \tilde{x}_*(T_*), \tilde{z}_*(T_*), \tilde{q}(\cdot), \tilde{r}, 1) &= h_{1,T}(T_*, \tilde{z}_*(T_*))l_1 + \sigma \tilde{J}(x_*(\cdot), u_*(\cdot)) \\ &= -\sigma l_1 e^{-\sigma T_*} \tilde{z}_*(T_*) + \sigma \tilde{J}(x_*(\cdot), u_*(\cdot)).\end{aligned}$$

Außerdem gilt für den Randwert in  $t = T_*$ :

$$\begin{aligned}\mathcal{H}^{\mathcal{I}}(T_*, \tilde{x}_*(T_*), \tilde{z}_*(T_*), \tilde{q}(\cdot), \tilde{r}, 1) &= \int_0^{T_*} \frac{d}{dt} \mathcal{H}^{\mathcal{I}}(t, \tilde{x}_*(t), \tilde{z}_*(t), \tilde{q}(\cdot), \tilde{r}, 1) dt \\ &= -\varrho l_1 e^{-\sigma T_*} \tilde{z}_*(T_*) + \varrho \tilde{J}(x_*(\cdot), u_*(\cdot)).\end{aligned}$$

Damit ergibt sich aus der erweiterten Hamilton-Funktion  $\mathcal{H}^{\mathcal{I}}$  die Bedingung

$$\tilde{J}(x_*(\cdot), u_*(\cdot)) = l_1 Z.$$

Zusammenfassend liefern die Optimalitätsbedingungen von Theorem 5.13 eine Familie von Steuerungen  $\tilde{u}(\cdot; T, l_1)$  der Parameter  $T$  und  $l_1$ , welche gemäß

$$f'(\tilde{u}(t; T, l_1)) = (1 + l_1) \cdot \frac{\alpha + \delta + \varrho}{\pi(1 - e^{-(\alpha + \delta + \varrho)(T-t)}}$$

über  $[0, T]$  streng monoton fallend sind und für die im Endpunkt  $\tilde{u}(T; T, l_1) = 0$  gilt. Innerhalb dieser Familie selektiert der Parameter  $T$  diejenigen Elemente, für die

$$e^{-\sigma T} \int_0^T e^{-\varrho t} \tilde{u}(t; T, l_1) dt = Z$$

erfüllt ist. Der Multiplikator  $l_1$  wiederum bedeutet anhand der Beziehung

$$l_1 = \frac{\tilde{J}(x_*(\cdot), u_*(\cdot))}{Z}$$

die Rentabilität des gewichteten mittleren Gewinns zu den eingesetzten Mitteln. Damit ist  $l_1$  ein Bewertungsmaß für die Wirtschaftlichkeit der Unternehmung. Also wird außerdem innerhalb der Familie  $\tilde{u}(\cdot; T, l_1)$  diejenige Steuerung  $\tilde{u}_*(\cdot)$  gesucht, mit der sich sinnvollerweise die maximale Rentabilität realisieren lässt.

Die Rentabilität  $l_1 = \tilde{J}/Z$  und die Werbeintensität  $\tilde{u}_*(\cdot)$  können nicht beliebig groß ausfallen, denn es lassen sich unmittelbar obere Schranken angeben: Das Zielfunktional besitzt für  $x(t) \equiv 1$  und  $u(t) \equiv 0$  die obere Beschränkung

$$\tilde{J}(x(\cdot), u(\cdot)) < \max_{T>0} \left[ e^{-\sigma T} \int_0^T e^{-\varrho t} \pi dt \right] = \tilde{J}_{\max}.$$

Unter der Annahme einer nichtnegativen Rentabilität  $l_1$  ergibt sich

$$f'(\tilde{u}) > \frac{\alpha + \delta + \varrho}{\pi} = f'(\tilde{u}_{\max}).$$

Damit beschließen wir unsere Diskussionen optimaler Werbestrategien. □

### 5.5.5. Zurück zur Standardaufgabe mit freiem Anfangs- und Endzeitpunkt

Durch das Weglassen der “äußeren” Zeitvariablen  $\zeta$  in der Volterraschen Integralgleichung (5.77) gelangen wir wieder zur Standardaufgabe. Allerdings liegt durch das Auftreten der Zeitvariablen  $t_0, t_1$  im Integranden eine gewisse Verallgemeinerung zu Abschnitt 2.5.4 vor:

$$\left. \begin{aligned} J(x(\cdot), u(\cdot)) &= \int_{t_0}^{t_1} f(t, t_0, t_1, x(t), u(t)) dt \rightarrow \inf, \\ \dot{x}(t) &= \varphi(t, x(t), u(t)), \\ h_0(t_0, x(t_0)) &= 0, \quad h_1(t_1, x(t_1)) = 0, \\ u(t) &\in U \subseteq \mathbb{R}^m, \quad U \neq \emptyset. \end{aligned} \right\} \quad (5.97)$$

Als Spezialfall der Aufgabe (5.76)–(5.79) übernehmen wir sämtliche bereits getroffene Voraussetzungen und Definitionen. Die erweiterte Pontrjagin-Funktion  $H^S$  der Aufgabe (5.97) besitzt die Gestalt:

$$H^S(t, t_0, t_1, x, u, p, \lambda_0) = \langle p, \varphi(t, x, u) \rangle - \lambda_0 f(t, t_0, t_1, x, u).$$

Bei Weglassen der Ableitungen  $\varphi_\zeta$  erhalten wir unmittelbar:

**Theorem 5.14** (Pontrjaginsches Maximumprinzip). *In der Aufgabe (5.97) sei der Steuerungsprozess  $([t_{0*}, t_{1*}], x_*(\cdot), u_*(\cdot)) \in \mathcal{B}_{\text{adm}}^{\mathcal{F}} \cap \mathcal{B}_{\text{Lip}}^{\mathcal{F}}$ . Ist  $([t_{0*}, t_{1*}], x_*(\cdot), u_*(\cdot))$  ein starkes lokales Minimum der Aufgabe (5.97), dann existieren nicht gleichzeitig verschwindende Multiplikatoren  $\lambda_0 \geq 0$ ,  $p(\cdot) \in W_\infty^1([t_{0*}, t_{1*}], \mathbb{R}^n)$  und  $l_i \in \mathbb{R}^{s_i}$ ,  $i = 0, 1$ , derart, dass*

(a) die adjungierte Gleichung

$$\dot{p}(t) = -H_x^S(t, t_{0*}, t_{1*}, x_*(t), u_*(t), p(t), \lambda_0), \quad (5.98)$$

(b) die Transversalitätsbedingungen

$$p(t_{0*}) = h_{0, x_0}^T(t_{0*}, x_*(t_{0*}))l_0, \quad p(t_{1*}) = -h_{1, x_1}^T(t_{1*}, x_*(t_{1*}))l_1 \quad (5.99)$$

(c) und in fast allen Punkten  $t \in [t_{0*}, t_{1*}]$  die Maximumbedingung

$$H^S(t, t_{0*}, t_{1*}, x_*(t), u_*(t), p(t), \lambda_0) = \max_{u \in U} H^S(t, t_{0*}, t_{1*}, x_*(t), u, p(t), \lambda_0) \quad (5.100)$$

erfüllt sind. Außerdem definieren wir die erweiterte Hamilton-Funktion gemäß

$$\mathcal{H}^S(t, x, p, \lambda_0) = \max_{u \in U} H^S(t, t_{0*}, t_{1*}, x, u, p, \lambda_0).$$

(d) Es gelten außerdem für die Abbildung  $t \rightarrow \mathcal{H}^S(t, x_*(t), p(t), \lambda_0)$  die Beziehungen

$$\frac{d}{dt} \mathcal{H}^S(t, x_*(t), p(t), \lambda_0) = -H_t^S(t, x_*(t), p(t), \lambda_0), \quad (5.101)$$

$$\begin{aligned} \mathcal{H}^S(t_{0*}, x_*(t_{0*}), p(t_{0*}), \lambda_0) &= -\langle h_{0,t_0}(t_{0*}, x_*(t_{0*})), l_0 \rangle \\ &\quad - \lambda_0 \int_{t_{0*}}^{t_{1*}} f_{t_0}(t, t_{0*}, t_{1*}, x_*(t), u_*(t)) dt, \end{aligned} \quad (5.102)$$

$$\begin{aligned} \mathcal{H}^S(t_{1*}, x_*(t_{1*}), p(t_{1*}), \lambda_0) &= \langle h_{1,t_1}(t_{1*}, x_*(t_{1*})), l_1 \rangle \\ &\quad + \lambda_0 \int_{t_{0*}}^{t_{1*}} f_{t_1}(t, t_{0*}, t_{1*}, x_*(t), u_*(t)) dt. \end{aligned} \quad (5.103)$$

**Beispiel 5.15.** Mit der Umformung der Volterraschen Integralgleichung in eine Differentialgleichung in Beispiel 5.2 ergibt sich für die Aufgabe (5.93)–(5.96) die Form

$$\left. \begin{aligned} \tilde{J}(\tilde{x}(\cdot), \tilde{u}(\cdot)) &= e^{-\sigma T} \int_0^T e^{-\varrho t} [\pi \tilde{x}(t) - \tilde{u}(t)] dt \rightarrow \sup, \\ \dot{\tilde{x}}(t) &= -(\alpha + \delta)\tilde{x}(t) + \delta x_0 + f(\tilde{u}(t)), \quad \tilde{x}(0) = x_0, \\ \dot{\tilde{z}}(t) &= e^{-\varrho t} \tilde{u}(t), \quad \tilde{z}(0) = 0, \quad e^{-\sigma T} \tilde{z}(T) = Z > 0, \\ x_0 \in [0, 1], \quad \tilde{u}(t) &\geq 0, \quad \varrho > 0, \quad \alpha, \delta \geq 0. \end{aligned} \right\}$$

Wir setzen  $\tilde{p}(t) = e^{-\sigma T_*} \cdot p(t)$  mit der Adjungierten  $p(\cdot)$ , die den Gleichungen (5.17) und (5.18) genügt. Dann gelten für die Adjungierte  $\tilde{p}(\cdot)$  bezüglich dem Zustand  $\tilde{x}(\cdot)$ :

$$\begin{aligned} \dot{\tilde{p}}(t) &= e^{-\sigma T_*} \cdot \dot{p}(t) = (\alpha + \delta)\tilde{p}(t) - \pi e^{-\varrho t} e^{-\sigma T_*}, \quad \tilde{p}(T_*) = 0, \\ \tilde{p}(t) &= e^{-\sigma T_*} \left[ -\frac{\pi \cdot e^{-(\alpha+\delta+\varrho)T}}{\alpha + \delta + \varrho} \cdot e^{(\alpha+\delta)t} + \frac{\pi}{\alpha + \delta + \varrho} \cdot e^{-\varrho t} \right]. \end{aligned}$$

Für die Adjungierte  $\tilde{r}(\cdot)$  bezüglich dem Zustand  $\tilde{z}(\cdot)$  ergibt sich unmittelbar

$$\dot{\tilde{r}}(t) \equiv 0, \quad \tilde{r}(t) \equiv -l_1 e^{-\sigma T_*}.$$

Die Maximumbedingung führt für  $\tilde{u}_*(\cdot)$  zu der Beziehung

$$f'(\tilde{u}_*(t)) = \frac{e^{-\sigma T_*} e^{-\varrho t} - \tilde{r}(t) e^{-\varrho t}}{\tilde{p}(t)} = \frac{e^{-\sigma T_*} e^{-\varrho t} (1 + l_1)}{e^{-\sigma T_*} \cdot p(t)} = \frac{(1 + l_1)(\alpha + \delta + \varrho)}{\pi(1 - e^{-(\alpha+\delta+\varrho)(T_*-t)}),}$$

die wir bereits in Abschnitt 5.5.4 für die äquivalente Aufgabe mit einer Volterraschen Integralgleichung identifizieren konnten.

Die notwendigen Optimalitätsbedingungen im Teil (d) von Theorem 5.14 führen auf die gleiche Weise wie im Abschnitt 5.5.4 auf

$$\tilde{J}(x_*(\cdot), u_*(\cdot)) = l_1 Z,$$

wonach der Multiplikator  $l_1$  die maximal mögliche Rentabilität widerspiegelt. □

## A. Grundzüge der Maß- und Integrationstheorie

Unsere Darstellungen zur Maß- und Integrationstheorie basieren auf Bauer [8], Elstrodt [25], Heuser [42] und Natanson [57]. Die Eigenschaften der Funktionen von beschränkter Variation und des Stieltjes-Integral sind Heuser [41] und Natanson [57] entnommen.

### A.1. Maßtheoretische Grundlagen

Sei  $M$  eine Menge, und sei  $\Sigma$  ein System von Teilmengen von  $M$  mit den Eigenschaften

$$\emptyset \in \Sigma, \quad A \in \Sigma \Rightarrow M \setminus A \in \Sigma, \quad A_1, A_2, \dots \in \Sigma \Rightarrow \bigcup_{i=1}^{\infty} A_i \in \Sigma,$$

dann heißt  $\Sigma$  eine  $\sigma$ -Algebra und jede Menge  $A \in \Sigma$  messbar.

Die offenen Teilmengen der Menge  $M$  erzeugen die  $\sigma$ -Algebra der Borelmengen  $\mathcal{B}(M)$ . D. h.  $\mathcal{B}(M)$  ist die kleinste  $\sigma$ -Algebra, die  $M$  umfasst.

Eine Abbildung  $\mu : \Sigma \rightarrow [0, \infty]$  heißt ein Maß, wenn  $\mu(\emptyset) = 0$  und  $\mu$   $\sigma$ -additiv ist,

d. h., wenn  $\mu\left(\bigcup_{i=1}^{\infty} A_i\right) = \sum_{i=1}^{\infty} \mu(A_i)$  für paarweise disjunkte  $A_1, A_2, \dots \in \Sigma$  gilt. Das Maß

$\mu$  nennen wir  $\sigma$ -endlich, wenn es in  $M$  eine Folge  $A_1, A_2, \dots$  von Teilmengen gibt mit  $\mu(A_i) < \infty$  für alle  $i$  und  $A_1 \cup A_2 \cup \dots = M$ . Eine Abbildung  $\mu : \Sigma \rightarrow \mathbb{R}$  heißt ein signiertes Maß, falls  $\mu$   $\sigma$ -additiv ist. Ein Maß ist demnach im Unterschied zu signierten Maßen eine Abbildung mit ausschließlich nichtnegativen Werten. Sei  $\mu$  ein signiertes Maß auf  $\Sigma$  und

$A \in \Sigma$ . Wir setzen  $|\mu|(A) = \sup \sum_{k=1}^n |\mu(A_k)|$ , wobei das Supremum über alle endlichen

Zerlegungen  $A = A_1 \cup \dots \cup A_n$  mit paarweise disjunkten  $A_k \in \Sigma$  zu bilden ist.  $|\mu|(A)$  heißt totale Variation von  $\mu$  auf  $A$ . Ist  $\mu$  ein signiertes Maß, so definiert  $A \rightarrow |\mu|(A)$  ein endliches Maß. Ferner nennen wir  $A \in \Sigma$  mit  $\mu(A) = 0$  eine  $\mu$ -Nullmenge.

Ein Maß  $\mu$  heißt von innen bzw. von außen regulär, falls für alle  $A \in \Sigma$

$$\mu(A) = \sup\{\mu(C) \mid C \subset A, C \text{ kompakt}\}, \quad \text{bzw.} \quad \mu(A) = \inf\{\mu(O) \mid A \subset O, O \text{ offen}\}$$

gilt. Ein von innen und außen reguläres Maß heißt regulär. Ein signiertes Maß heißt regulär, wenn seine totale Variation  $|\mu|$  regulär ist. Ein (signiertes) Maß  $\mu$  auf der  $\sigma$ -Algebra  $\mathcal{B}(M)$  der Menge  $M$  heißt (signiertes) Borelsches Maß über  $M$ .

**Satz A.1** (Hahn-Jordan-Zerlegung). *Sei  $\mu$  ein signiertes Maß über der  $\sigma$ -Algebra  $\Sigma$ .*

(a) *Es existiert ein bis auf eine  $|\mu|$ -Nullmenge eindeutig bestimmtes  $A^+ \in \Sigma$  mit*

$$0 \leq \mu(A) \leq \mu(A^+) \quad \text{und} \quad 0 \geq \mu(B) \geq \mu(A^-)$$

*für alle  $A, B \in \Sigma$  mit  $A \subseteq A^+$  und  $B \subseteq A^- := M \setminus A^+$ .*

(b)  *$\mu^+ = \chi_{A^+} \mu$  und  $\mu^- = \chi_{A^-} \mu$  sind endliche Maße mit  $\mu(A) = \mu^+(A) - \mu^-(A)$  und  $|\mu|(A) = \mu^+(A) + \mu^-(A)$  für alle  $A \in \Sigma$ .*

*Die Zerlegungen  $A = A^+ \cup A^-$  und  $\mu = \mu^+ - \mu^-$  heißen Hahn- bzw. Jordan-Zerlegung.*

## A.2. Integration bezüglich eines Borelschen Maßes

Es sei  $I \subseteq \mathbb{R}$  ein Intervall, d. h. eine beschränkte oder unbeschränkte konvexe Teilmengen von  $\mathbb{R}$ , und  $\mathcal{B}$  die Borelsche  $\sigma$ -Algebra auf  $I$ . Die Funktion  $f : I \rightarrow \mathbb{R}$  ist eine Treppenfunktion wenn  $f$  nur endliche viele Werte annimmt. D. h. gibt es paarweise disjunkte messbare Mengen  $A_1, \dots, A_k \subseteq I$  und Punkte  $y_1, \dots, y_k \in \mathbb{R}$  mit  $A_1 \cup \dots \cup A_k = I$  und

$$f(t) = \sum_{i=1}^k y_i \chi_{A_i}(t), \quad t \in I.$$

Es sei  $\mu$  ein Maß über der  $\sigma$ -Algebra  $\mathcal{B}$ . Eine nichtnegative reelle Funktion  $f$  ist genau dann meßbar, wenn es eine monoton wachsende Folge  $\{f_k\}$  von nichtnegativen Treppenfunktionen gibt, die punktweise gegen  $f$  konvergiert. Jede beschränkte meßbare Funktion ist gleichmäßiger Grenzwert von Treppenfunktionen. Eine nichtnegative reelle Funktion  $f$  heißt  $\mu$ -integrierbar, falls eine monoton wachsende Folge  $\{f_k\}$  nichtnegativer Treppenfunktionen existiert, die punktweise gegen  $f$  konvergiert. Die Zahl

$$\int_I f d\mu = \int_I f(t) d\mu(t) = \lim_{k \rightarrow \infty} \int_I f_k(t) d\mu(t) = \lim_{k \rightarrow \infty} \sum_{i=1}^k y_{i,k} \cdot \mu(A_{i,k}),$$

welche unabhängig von der Darstellung mittels  $\{f_k\}$  ist, heißt das  $\mu$ -Integral von  $f$ .

Eine meßbare reelle Funktion  $f$  heißt  $\mu$ -integrierbar, falls ihr Positivteil  $f^+$  und ihr Negativteil  $f^-$   $\mu$ -integrierbar sind und die  $\mu$ -Integrale  $\int_I f^+ d\mu, \int_I f^- d\mu$  reelle Zahlen sind.

Dann heißt  $\int_I f d\mu = \int_I f^+ d\mu - \int_I f^- d\mu$  das  $\mu$ -Integral von  $f$ . Es sei  $\mu$  ein signiertes Maß,  $\mu = \mu^+ - \mu^-$  seine Jordan-Zerlegung und die reelle Funktion  $f$  meßbar. Dann heißt  $f$   $\mu$ -integrierbar, falls  $f$   $|\mu|$ -integrierbar ist und wir setzen  $\int_I f d\mu = \int_I f d\mu^+ - \int_I f d\mu^-$ .

Für das Lebesgue-Maß sagen wir integrierbar und schreiben  $\int_I f dt$ .

Ein innerer Punkt  $t_0 \in I$  heißt Lebesguescher Punkt der Funktion  $f$ , wenn

$$\lim_{h \rightarrow 0^+} \frac{1}{h} \int_0^h |f(t_0 \pm t) - f(t_0)| dt = 0.$$

**Satz A.2.** *Ist  $f$  über  $I$  integrierbar, so ist fast jeder Punkt ein Lebesguescher Punkt.*

Es sei  $\mu$  eine nichtnegatives reguläres Borelsches Maß über  $\mathbb{R}$  mit  $\mu(\mathbb{R}) = 1$ . Dann definiert  $F(t) = \int_{-\infty}^t d\mu(s)$  eine Verteilungsfunktion, d. h.  $F(t)$  ist monoton wachsend, rechtsseitig stetig und  $\lim_{t \rightarrow -\infty} F(t) = 0, \lim_{t \rightarrow \infty} F(t) = 1$ . In der Tradition von Andrei Nikolajewitsch Kolmogorow (1903–1987) wird abweichend von dieser Definition in der osteuropäischen Literatur häufig die linksseitige Stetigkeit gefordert.

**Satz A.3** (Satz von Lusin). Für  $f : I \rightarrow \mathbb{R}$  und das Lebesgue-Maß  $\lambda$  sind äquivalent:

- (a) Es gibt eine meßbare Funktion  $g : I \rightarrow \mathbb{R}$  mit  $f = g$   $\lambda$ -f.ü.
- (b) Zu jedem offenen  $U \subseteq I$  mit  $\lambda(U) < \infty$  und jedem  $\delta > 0$  gibt es ein Kompaktum  $K \subset U$  mit  $\lambda(U \setminus K) < \delta$ , so dass  $f|_K$  stetig ist.
- (c) Zu jedem Kompaktum  $T \subset I$  und jedem  $\delta > 0$  gibt es ein Kompaktum  $K \subset T$  mit  $\lambda(T \setminus K) < \delta$ , so dass  $f|_K$  stetig ist.

### A.3. Funktionen beschränkter Variation und Stieltjes-Integral

Eine Funktion  $g : [a, b] \rightarrow \mathbb{R}$  heißt von beschränkter Variation auf  $[a, b]$ , wenn es eine Konstante  $M > 0$  derart gibt, dass für jede Zerlegung  $Z := \{x_0, x_1, \dots, x_n\}$  von  $[a, b]$  mit  $a = x_0 < x_1 < \dots < x_n = b$  stets  $\mathbf{V}(g, Z) := \sum_{k=1}^n |g(x_k) - g(x_{k-1})| \leq M$  bleibt. In diesem

Fall wird die reelle Zahl  $\mathbf{V}_a^b(g) = \sup_Z \mathbf{V}(g, Z)$  die totale Variation von  $g$  auf  $[a, b]$  genannt.

Eine Funktion  $g(\cdot)$  von beschränkter Variation heißt normalisiert, wenn  $g(a) = 0$  gilt und  $g(\cdot)$  für alle  $a < t < b$  rechtsseitig stetig ist.

Für unbeschränkte Intervalle definieren wir die totale Variation durch

$$\mathbf{V}_{-\infty}^{\infty}(g) = \lim_{n \rightarrow \infty} \mathbf{V}_{-n}^n(g), \quad \mathbf{V}_a^{\infty}(g) = \lim_{n \rightarrow \infty} \mathbf{V}_a^n(g).$$

Sind diese Variationen endlich, dann gelten  $\lim_{a \rightarrow -\infty} \mathbf{V}_a^a(g) = 0$  und  $\lim_{a \rightarrow \infty} \mathbf{V}_a^{+\infty}(g) = 0$ .

**Satz A.4.** Eine Funktion ist genau dann von beschränkter Variation, wenn sie als Differenz zweier monotoner Funktionen darstellbar ist.

Auf  $[a, b]$  seien zwei endliche Funktionen  $f$  und  $g$  definiert. Weiterhin sei  $Z = \{x_0, \dots, x_n\}$  eine Zerlegung von  $[a, b]$ . In jedem Teilintervall  $[x_{k-1}, x_k]$  wählen wir einen Punkt  $\xi_k$  und bilden die Summe

$$\sigma = \sum_{k=1}^n f(\xi_k)[g(x_k) - g(x_{k-1})].$$

Konvergiert  $\sigma$  bei Verfeinerung der Zerlegung gegen einen endlichen Grenzwert  $I$ , der weder von der Zerlegung noch von der Auswahl der Punkte  $\xi_k$  abhängig ist, so heißt der Grenzwert  $I$  das Stieltjes-Integral von  $f$  nach der Funktion  $g$ . Wir schreiben  $\int_a^b f(x) dg(x)$ .

**Satz A.5.** Existiert eines der Integrale  $\int_a^b f(x) dg(x)$  oder  $\int_a^b g(x) df(x)$ , so existiert auch das andere, und es gilt die Regel der partiellen Integration:

$$\int_a^b f(x) dg(x) + \int_a^b g(x) df(x) = f(b)g(b) - f(a)g(a).$$

**Satz A.6.** Ist  $f$  auf  $[a, b]$  stetig und  $g$  auf  $[a, b]$  von beschränkter Variation, dann existiert das Stieltjes-Integral von  $f$  nach der Funktion  $g$ .

Eine Funktion  $g : [a, b] \rightarrow \mathbb{R}$  heißt absolutstetig, wenn zu jedem  $\varepsilon > 0$  ein  $\delta > 0$  derart existiert, dass für jedes endliche System von disjunkten Intervallen  $\{(a_k, b_k)\}$  mit Gesamtlänge  $\sum (b_k - a_k) \leq \delta$  die Ungleichung  $\sum |g(b_k) - g(a_k)| \leq \varepsilon$  gilt.

**Satz A.7.** Ist  $f$  auf  $[a, b]$  stetig und  $g$  absolutstetig auf  $[a, b]$ , so führt die Berechnung des Stieltjes-Integral  $\int_a^b f(x) dg(x)$  auf das Lebesgue-Integral  $\int_a^b f(x)g'(x) dx$ :

$$\int_a^b f(x) dg(x) = \int_a^b f(x)g'(x) dx.$$

#### A.4. Borelsche Maße über der erweiterten reellen Zahlengeraden

Die erweiterte reelle Zahlengerade  $\overline{\mathbb{R}}$  entsteht durch Hinzufügen der uneigentlichen Punkte  $-\infty$  und  $+\infty$ ; also  $\overline{\mathbb{R}} = \mathbb{R} \cup \{-\infty, +\infty\}$ . Über  $\overline{\mathbb{R}}$  stellt die Abbildung  $f : \overline{\mathbb{R}} \rightarrow [-1, 1]$  mit

$$f(x) = \frac{x}{1 + |x|} \text{ für } x \in \mathbb{R}, \quad f(-\infty) = -1, \quad f(+\infty) = 1,$$

einen Homöomorphismus dar. Topologisch ist daher  $\overline{\mathbb{R}}$  völlig gleichwertig zu einem abgeschlossenen Intervall. Demzufolge stellen für jedes  $a \in \mathbb{R}$  die Mengen

$$[-\infty, a) = \{x \in \mathbb{R} \mid x < a\} \cup \{-\infty\} \quad \text{bzw.} \quad (a, +\infty] = \{x \in \mathbb{R} \mid x > a\} \cup \{+\infty\}$$

offene Umgebungen des uneigentlichen Punktes  $-\infty$  bzw.  $+\infty$  dar. Ferner ergibt sich damit die Kompaktheit der Mengen  $[-\infty, a]$  mit  $-\infty < a \leq \infty$  und  $[b, \infty]$  mit  $-\infty \leq b < \infty$ .

Es bezeichnet  $\mathcal{B}(\mathbb{R})$  die Borelsche  $\sigma$ -Algebra, die von den offenen Teilmengen von  $\mathbb{R}$  erzeugt wird. Die Borelsche  $\sigma$ -Algebra  $\mathcal{B}(\overline{\mathbb{R}})$  besitzt die Darstellung

$$\mathcal{B}(\overline{\mathbb{R}}) = \{A \subseteq \overline{\mathbb{R}} \mid A = B \cup E, B \in \mathcal{B}(\mathbb{R}), E \subseteq \{-\infty, +\infty\}\}.$$

Für messbare Mengen  $A \in \mathcal{B}(\overline{\mathbb{R}})$  kommt im Weiteren der Zerlegung  $A = B \cup E$  mit  $B \in \mathcal{B}(\mathbb{R})$  und  $E \subseteq \{-\infty, +\infty\}$  eine gesonderte Betrachtung zu, da die uneigentlichen Punkte  $-\infty$  und  $+\infty$  eigenständig behandelt werden müssen.

Ein Borelsches Maß ist ein Maß auf einer Borelschen  $\sigma$ -Algebra. Für ein signiertes reguläres Borelsches Maß  $\mu_0$  über  $\mathbb{R}$  ist die Totalvariation  $|\mu_0|$  ein endliches Maß über  $\mathbb{R}$  und es folgt aus  $\sigma$ -Additivität und der absoluten Konvergenz der Reihen

$$\sum_{n=0}^{\infty} \mu_0([n, n+1)), \quad \sum_{n=0}^{\infty} \mu_0([-n, -n-1)),$$

dass  $\mu_0([\alpha, \infty)) \rightarrow 0$  und  $\mu_0((-\infty, -\alpha]) \rightarrow 0$  für  $\alpha \rightarrow \infty$  gelten (vgl. [65], S. 116).

**Definition A.8.** Für  $A \in \mathcal{B}(\overline{\mathbb{R}})$  legen wir  $\mu(A) = \mu(B \cup E) := \mu(B) + \mu(E)$  mit der Zerlegung  $A = B \cup E$ ,  $B \in \mathcal{B}(\mathbb{R})$  und  $E \subseteq \{-\infty, +\infty\}$  fest. Genauer heißt dies, dass die uneigentlichen Punkte stets gesondert betrachtet werden müssen.

Die Separierung der uneigentlichen Punkte ist erforderlich; andernfalls ergeben sich grundlegende Widersprüche. Zur Veranschaulichung betrachten wir das Maß  $\mu$  mit

$$\mu(\{-\infty\}) = 0, \quad \mu((\alpha, 0)) = 0, \quad \mu([0, \beta]) = 1 - e^{-\beta}, \quad \mu(\{\infty\}) = 1,$$

wobei  $-\infty < \alpha < 0 < \beta < \infty$  erfüllt sind. Hier entsteht der Widerspruch

$$\mu(\overline{\mathbb{R}}_+) = 2 \neq \mu(\{0\}) + \sum_{n=0}^{\infty} \mu((n, n+1]) = \lim_{k \rightarrow \infty} \sum_{n=0}^k \mu((n, n+1]) = 1.$$

Separiert man andererseits den uneigentlichen Punkt  $+\infty$ , d. h.  $\mu(\overline{\mathbb{R}}_+) = \mu(\mathbb{R}_+) + \mu(\{\infty\})$ , so darf  $\mathbb{R}_+$  bzw.  $\mathbb{R}$  beliebig zerlegt werden und die  $\sigma$ -Additivität bleibt erhalten.

Es sei  $\mu$  ein signiertes reguläres Borelsches Maß über  $\overline{\mathbb{R}}$ . Wie oben ergeben sich aus der  $\sigma$ -Additivität und der absoluten Konvergenz der Reihen

$$\lim_{\alpha \rightarrow \infty} \mu((-\infty, -\alpha]) \rightarrow 0, \quad \lim_{\alpha \rightarrow \infty} \mu([\alpha, \infty)) \rightarrow 0.$$

Mit der Separierung der uneigentlichen Punkte  $-\infty$  und  $+\infty$  folgen weiterhin

$$\begin{aligned} \lim_{\alpha \rightarrow \infty} \mu([-\infty, -\alpha]) &= \mu(\{-\infty\}) + \lim_{\alpha \rightarrow \infty} \mu((-\infty, -\alpha]) = \mu(\{-\infty\}), \\ \lim_{\alpha \rightarrow \infty} \mu([\alpha, \infty]) &= \lim_{\alpha \rightarrow \infty} \mu([\alpha, \infty)) + \mu(\{\infty\}) = \mu(\{\infty\}). \end{aligned}$$

**Definition A.9.** Ein signiertes Borelsches Maß  $\mu$  ist über  $\overline{\mathbb{R}}$  regulär, wenn  $\mu$  die eindeutige Zerlegung  $\mu = \mu(\{-\infty\}) + \mu_0 + \mu(\{\infty\})$  mit einem signierten regulären Borelschen Maß  $\mu_0$  über  $\mathbb{R}$  besitzt. Dabei ist die Endlichkeit aller Ausdrücke Teil der Anforderungen.

Die Separation der uneigentlichen Punkte  $-\infty$  und  $+\infty$  ist ebenfalls Bestandteil bei der Integration über  $\overline{\mathbb{R}}$  bezüglich eines Borelschen Maßes  $\mu = \mu(\{-\infty\}) + \mu_0 + \mu(\{\infty\})$ . Ohne weitere Anforderung an die Funktion  $f$  setzen wir zunächst formal

$$\int_0^{\infty} f(t) d\mu(t) := f(-\infty) \cdot \mu(\{-\infty\}) + \int_{\mathbb{R}} f(t) d\mu_0(t) + f(\infty) \cdot \mu(\{\infty\}).$$

Dabei ist der Integralterm über  $\mathbb{R}$  entsprechend des Zuganges in Abschnitt A.2 aufzufassen. Die Ausdrücke  $f(-\infty) \cdot \mu(\{-\infty\})$  und  $f(\infty) \cdot \mu(\{\infty\})$  sind allerdings nur sinnvoll, wenn die Funktion  $f$  in einem gewissen Sinn die Grenzwerte  $f(-\infty)$  und  $f(\infty)$  in den uneigentlichen Punkten  $-\infty$  bzw.  $+\infty$  besitzt. Beispiele derartiger Funktionenklassen sind stetige Funktionen, die im Unendlichen konvergieren, oder messbare Funktionen, die im Unendlichen dem Maße nach konvergieren. Diese Funktionenklassen werden im nachfolgenden Abschnitt zu den funktionalanalytischen Hilfsmitteln eingeführt und untersucht.

## B. Funktionalanalytische Hilfsmittel

Die Grundbegriffe und die Hauptsätze zur Funktionalanalysis, sowie die Darstellung stetiger linearer Funktionale sind Heuser [44], Ioffe & Tichomirov [48] und Werner [75] entnommen. Den Fixpunktsatz von Weissinger findet man in Heuser [43], den Darstellungssatz für die stetigen linearen Funktionale auf dem Raum der im Unendlichen verschwindenden stetigen Funktionen in Rudin [65]. Bei der Darstellung des Satzes von Ljusternik folgen wir Ioffe & Tichomirov [48]. Dieser Satz geht auf Ljusternik [52] zurück.

### B.1. Stetige lineare Operatoren auf normierten Räumen

Es seien  $X, Y$  normierte lineare Räume. Der normierte lineare Raum  $X$  mit Norm  $\|\cdot\|$  heißt vollständig oder ein Banachraum, wenn jede Cauchyfolge in  $X$  bezüglich  $\|\cdot\|$  konvergiert. Der normierte lineare Raum  $X$  mit Skalarprodukt  $\langle \cdot, \cdot \rangle$  heißt ein Hilbertraum, wenn  $X$  bezüglich der induzierten Norm  $\|x\| = \sqrt{\langle x, x \rangle}$  vollständig ist.

Auf  $X$  wird eine Norm  $\|\cdot\|$  genau dann durch ein Skalarprodukt  $\langle \cdot, \cdot \rangle$  induziert, wenn die Parallelogrammgleichung  $\|x + y\|^2 + \|x - y\|^2 = 2(\|x\|^2 + \|y\|^2)$  für alle  $x, y \in X$  gilt. In diesem Fall ist das Skalarprodukt eindeutig bestimmt und wird in einem reellen Vektorraum  $X$  durch folgende Formel gegeben:

$$\langle x, y \rangle = \frac{1}{4}(\|x + y\|^2 - \|x - y\|^2).$$

Wir geben einige Beispiele für normierte Räume an (vgl. [75]): Sei  $I \subseteq \mathbb{R}$ .

- (a) Der Raum  $C_b(I, \mathbb{R}^n)$  der beschränkten stetigen Funktionen ist bezüglich der Supremumsnorm  $\|\cdot\|_\infty$  vollständig.
- (b)  $C(I, \mathbb{R}^n)$  ist der Raum der stetigen Funktionen auf  $I \subseteq \mathbb{R}$ . Bezüglich der Supremumsnorm  $\|\cdot\|_\infty$  ist dieser Raum für eine kompakte Menge  $I$  vollständig.
- (c)  $C_0(\mathbb{R}_+, \mathbb{R}^n)$  bezeichnet den Raum der stetigen Funktionen  $x(\cdot)$ , die im Unendlichen verschwinden. D. h., zu jedem  $\varepsilon > 0$  ist die Menge  $M = \{t \in \mathbb{R}_+ \mid \|x(t)\| \geq \varepsilon\}$  kompakt. Als abgeschlossener Unterraum des Raumes  $C_b(\mathbb{R}_+, \mathbb{R}^n)$  ist  $C_0(\mathbb{R}_+, \mathbb{R}^n)$  vollständig.
- (d) Der Raum der stetig differenzierbaren Funktionen  $C_1(I, \mathbb{R}^n)$  ist über einer kompakten Menge  $I$  bezüglich der Norm  $\|x(\cdot)\|_{C_1} = \|x(\cdot)\|_\infty + \|\dot{x}(\cdot)\|_\infty$  vollständig.
- (e) Die Lebesgue-Räume  $L_p(I, \mathbb{R}^n)$ ,  $1 \leq p < \infty$ , sind bezüglich der  $L_p$ -Norm  $\|\cdot\|_{L_p}$  vollständig. Für  $p = 2$  liegt ein Hilbertraum vor.
- (f) Die Sobolev-Räume  $W_p^1(I, \mathbb{R}^n)$  sind bezüglich  $\|x(\cdot)\|_{W_p^1} = \|x(\cdot)\|_{L_p} + \|\dot{x}(\cdot)\|_{L_p}$  für  $1 \leq p < \infty$  vollständig. Der Raum  $W_2^1(I, \mathbb{R}^n)$  ist ein Hilbertraum.

- (g) Die  $\ell_p$ -Folgenräume,  $1 \leq p \leq \infty$ , sind bezüglich der  $\ell_p$ -Norm  $\|\cdot\|_{\ell_p}$  vollständig. Für  $p = 2$  liegt ein Hilbertraum vor.

Wir erweitern unsere Aufzählung für spezielle normierte Räume von Funktionen und Folgen, die (in einem gewissen Sinn) im Unendlichen Konvergenz aufweisen.

**Definition B.1.** (a)  $x(\cdot) : \mathbb{R}_+ \rightarrow \mathbb{R}^n$  konvergiert im Unendlichen gegen  $a \in \mathbb{R}^n$ , wenn es zu jedem  $\varepsilon > 0$  eine Zahl  $N > 0$  gibt mit  $\|x(t) - a\| \leq \varepsilon$  für alle  $t \geq N$ .

- (b)  $x(\cdot) : \mathbb{R}_+ \rightarrow \mathbb{R}^n$  konvergiert im Lebesgue-Maß  $\lambda$  im Unendlichen gegen  $a \in \mathbb{R}^n$ , wenn  $\lim_{N \rightarrow \infty} \lambda(\{t \geq N \mid \|x(t) - a\| \geq \varepsilon\}) = 0$  für jedes  $\varepsilon > 0$  gilt.

Wir betrachten nun Räume mit folgender Struktur: Es sei  $\Omega$  eine nichtleere Menge und es sei  $X_0 = \{x_0(\cdot) : \Omega \rightarrow \mathbb{R}^n\}$  ein normierter Raum mit Norm  $\|\cdot\|_{X_0}$ . Dann sei  $X$  der Raum derjenigen Elemente  $x(\cdot)$ , die die eindeutige Darstellung  $x(\cdot) = x_0(\cdot) + a$ , d. h.  $x(\omega) = x_0(\omega) + a$  für alle  $\omega \in \Omega$ , mit  $x_0(\cdot) \in X_0$  und  $a \in \mathbb{R}^n$  besitzen. Weiterhin versehen wir  $X$  mit einer  $p$ -Norm, d. h.

$$\|x(\cdot)\|_X^p = \|x_0(\cdot)\|_{X_0}^p + \|a\|^p \text{ für } 1 \leq p < \infty, \quad \|x(\cdot)\|_X = \|x_0(\cdot)\|_{X_0} + \|a\| \text{ für } p = \infty.$$

**Lemma B.2.** (a) Ist  $(X_0, \|\cdot\|_{X_0})$  ein Banachraum, dann auch  $(X, \|\cdot\|_X)$ .

- (b) Ist  $(X_0, \|\cdot\|_{X_0})$  ein Hilbertraum, dann auch  $(X, \|\cdot\|_X)$  bezüglich der 2-Norm.

In den nachstehenden Beispielen sind die Elemente der Räume gerade durch die Struktur  $x(\cdot) = x_0(\cdot) + a$  mit  $x_0(\cdot) \in X_0$  und  $a \in \mathbb{R}^n$  charakterisiert.

- (h)  $C_{\lim}(\mathbb{R}_+, \mathbb{R}^n)$  bezeichnet den Raum der stetigen Funktionen  $x(\cdot)$ , die im Unendlichen einen Grenzwert besitzen:

$$C_{\lim}(\mathbb{R}_+, \mathbb{R}^n) = \{x(\cdot) \mid x(\cdot) = x_0(\cdot) + x_0, x_0(\cdot) \in C_0(\mathbb{R}_+, \mathbb{R}^n), x_0 \in \mathbb{R}^n\}.$$

Als abgeschlossener Unterraum des Raumes  $C_b(\mathbb{R}_+, \mathbb{R}^n)$  ist  $C_{\lim}(\mathbb{R}_+, \mathbb{R}^n)$  bezüglich der Supremumsnorm  $\|\cdot\|_{\infty}$  vollständig. Außerdem lassen sich mit Hilfe der erweiterten reellen Zahlengeraden die normierten Räume  $(C_{\lim}(\mathbb{R}_+, \mathbb{R}^n), \|\cdot\|_{\infty})$  und  $(C(\overline{\mathbb{R}}_+, \mathbb{R}^n), \|\cdot\|_{\infty})$  miteinander identifizieren.

- (i) Für  $1 \leq p < \infty$  führen wir die Lebesgue-Räume  $L_{p,\lim}(\mathbb{R}_+, \mathbb{R}^n)$  ein, deren Elemente im Unendlichen dem Maße nach konvergieren:

$$L_{p,\lim}(\mathbb{R}_+, \mathbb{R}^n) = \{x(\cdot) \mid x(\cdot) = x_0(\cdot) + x_0, x_0(\cdot) \in L_p(\mathbb{R}_+, \mathbb{R}^n), x_0 \in \mathbb{R}^n\}.$$

Bezüglich  $\|x(\cdot)\|_{L_{p,\lim}} = (\|x_0(\cdot)\|_{L_p}^p + \|x_0\|^p)^{1/p}$  ist  $L_{p,\lim}(\mathbb{R}_+, \mathbb{R}^n)$  vollständig.

Im Fall  $p = 2$  gilt die Parallelogrammgleichung und  $L_{2,\lim}(\mathbb{R}_+, \mathbb{R}^n)$  stellt mit dem Skalarprodukt  $\langle x(\cdot), y(\cdot) \rangle = \int_0^{\infty} \langle x_0(t), y_0(t) \rangle dt + \langle x_0, y_0 \rangle$  einen Hilbertraum dar.

(j) Für  $1 \leq p < \infty$  definieren wir die Sobolev-Räume  $W_{p,\text{lim}}^1(\mathbb{R}_+, \mathbb{R}^n)$  wie folgt:

$$W_{p,\text{lim}}^1(\mathbb{R}_+, \mathbb{R}^n) = \{x(\cdot) \mid x(\cdot) = x_0(\cdot) + x_0, x_0(\cdot) \in W_p^1(\mathbb{R}_+, \mathbb{R}^n), x_0 \in \mathbb{R}^n\}.$$

Bezüglich  $\|x(\cdot)\|_{W_{p,\text{lim}}^1} = (\|x_0(\cdot)\|_{W_p^1}^p + \|x_0\|^p)^{1/p}$  ist  $W_{p,\text{lim}}^1(\mathbb{R}_+, \mathbb{R}^n)$  vollständig.

Speziell ist  $W_{2,\text{lim}}^1(\mathbb{R}_+, \mathbb{R}^n)$  ein Hilbertraum.

(k) Für  $1 \leq p < \infty$  definieren wir die Räume  $\ell_{p,\text{lim}}$  konvergenter Folgen:

$$\ell_{p,\text{lim}} = \{x = (x_n)_{n \in \mathbb{N}} \mid x_n = x_n^0 + x_0, x^0 = (x_n^0)_{n \in \mathbb{N}} \in \ell_p, x_0 \in \mathbb{R}\}.$$

Bezüglich der Norm  $\|x\|_{\ell_{p,\text{lim}}} = (\|x^0\|_{\ell_p}^p + \|x_0\|^p)^{1/p}$  ist  $\ell_{p,\text{lim}}$  vollständig. Ferner ist  $\ell_{2,\text{lim}}$  ein Hilbertraum.

Es bezeichnet  $L(X, Y)$  die Menge der stetigen linearen Abbildungen  $T : X \rightarrow Y$ . Ist  $Y = \mathbb{R}$ , dann nennen wir  $T : X \rightarrow \mathbb{R}$  ein Funktional. Dabei heißt eine (nicht notwendig lineare) Abbildung  $T$  stetig, wenn das Urbild  $T^{-1}(O) = \{x \in X \mid Tx \in O\}$  offener Mengen  $O \subseteq Y$  offen in  $X$  ist. Dabei verwenden wir die übliche Schreibweise  $Tx$  statt  $T(x)$ . Zu dieser Definition der Stetigkeit sind äquivalent:

(i) Aus  $x_n \rightarrow x$  folgt  $Tx_n \rightarrow Tx$ .

(ii) Zu jedem  $x_0 \in X$  und jedem  $\varepsilon > 0$  existiert ein  $\delta = \delta(x_0, \varepsilon) > 0$  mit

$$\|Tx - Tx_0\| \leq \varepsilon \quad \text{für alle } \|x - x_0\| \leq \delta.$$

Insbesondere sind für lineare Abbildungen äquivalent:

(a)  $T$  ist stetig, d. h.  $T$  ist in jedem Punkt  $x \in X$  stetig.

(b)  $T$  ist in  $x = 0$  stetig.

(c)  $T$  ist gleichmäßig stetig.

(d)  $T$  ist beschränkt, d. h. es existiert eine Zahl  $K \geq 0$  mit  $\|Tx\| \leq K\|x\|$  für alle  $x \in X$ .

Die kleinste Zahl  $K \geq 0$ , mit der (d) gilt, heißt die Operatornorm der linearen Abbildung  $T$  und wird mit  $\|T\|$  bezeichnet. Für  $\|T\|$  gilt

$$\|T\| = \sup_{x \neq 0} \frac{\|Tx\|}{\|x\|} = \sup_{\|x\|=1} \|Tx\| = \sup_{\|x\| \leq 1} \|Tx\|.$$

Der Raum  $L(X, \mathbb{R})$  der stetigen linearen Funktional  $x^* : X \rightarrow \mathbb{R}$  auf dem normierten Raum  $X$  heißt der Dualraum von  $X$  und wird mit  $X^*$  bezeichnet. Ferner schreiben wir  $\langle x^*, x \rangle$  statt  $x^*(x)$ .

**Theorem B.3** (Satz von Fréchet-Riesz). *Sei  $H$  ein Hilbertraum und  $x^* \in H^*$  ein stetiges lineares Funktional. Dann existiert genau ein  $y \in H$  mit  $\langle x^*, x \rangle = \langle x, y \rangle$  für alle  $x \in H$ .*

## B.2. Differentialrechnung und Differenzierbarkeit konkreter Abbildungen

Es seien  $X, Y$  normierte Räume,  $U \subseteq X$  offen und  $F : U \rightarrow Y$  eine Abbildung. Existiert in  $x_0 \in U$  für jedes  $x \in X$  der Grenzwert

$$\lim_{\lambda \rightarrow 0^+} \frac{F(x_0 + \lambda x) - F(x_0)}{\lambda} = \delta F(x_0)x,$$

dann heißt die Abbildung  $x \rightarrow \delta F(x_0)x$  die erste Variation der Abbildung  $F$  in  $x_0$ . Gibt es ein  $T \in L(X, Y)$  mit  $Tx = \delta F(x_0)x$ , dann heißt  $F$  in  $x_0$  Gâteaux-differenzierbar und  $T$  die Gâteaux-Ableitung von  $F$  in  $x_0$ . Ferner heißt  $F$  in  $x_0$  Fréchet-differenzierbar und  $F'(x_0) = T$  die Fréchet-Ableitung von  $F$  in  $x_0$ , falls der Grenzwert der Gâteaux-Ableitung bezüglich  $\|x\| \leq 1$  gleichmäßig konvergiert. D. h. zu jedem  $\varepsilon > 0$  gibt es ein  $\lambda_0 > 0$  mit

$$\left\| \frac{F(x_0 + \lambda x) - F(x_0)}{\lambda} - F'(x_0)x \right\| \leq \varepsilon \quad \text{für alle } 0 < \lambda < \lambda_0, \|\xi\| \leq 1.$$

Eine Abbildung  $F$  ist in  $x_0$  genau dann Fréchet-differenzierbar, falls ein  $T \in L(X, Y)$  und eine Abbildung  $r : X \rightarrow Y$  mit

$$F(x_0 + x) = F(x_0) + Tx + r(x), \quad \lim_{\|x\| \rightarrow 0} \frac{\|r(x)\|}{\|x\|} = 0.$$

Die Abbildung  $F$  nennen wir im Punkt  $x$  regulär, wenn sie in diesem Punkt Fréchet-differenzierbar ist und  $\text{Im } F'(x) = Y$  gilt. Die Abbildung  $F$  ist in  $x_0$  bzw. auf  $U$  stetig differenzierbar, wenn für alle Punkte der Menge  $U$  die Ableitung  $F'(x)$  existiert und die Abbildung  $x \rightarrow F'(x)$  bezüglich der Operatornorm des Raum  $L(X, Y)$  in  $x_0$  bzw. auf  $U$  stetig ist.

Es sei  $h : \mathbb{R}^n \rightarrow \mathbb{R}^m$  eine differenzierbare Abbildung. Dann gilt für  $x, y \in \mathbb{R}^n$  und  $\lambda \neq 0$  folgende Gleichung, die wir im Weiteren verwenden werden:

$$\frac{h(x + \lambda y) - h(x)}{\lambda} = \int_0^1 h'(x + s\lambda y)y \, ds.$$

**Beispiel B.4.** Sei  $I \subseteq \overline{\mathbb{R}}$  ein abgeschlossenes Intervall, d. h. eine abgeschlossene konvexe Teilmenge von  $\overline{\mathbb{R}}$ , und  $y_*(\cdot)$  eine stetige Vektorfunktion auf  $I$ . Zu  $y_*(\cdot)$  definieren wir die Menge  $V_\gamma = \{(t, y) \in I \times \mathbb{R}^n \mid \|y - y_*(t)\| \leq \gamma\}$ .

Wir nehmen an, dass die Abbildung  $g(t, y) : \mathbb{R} \times \mathbb{R}^n \rightarrow \mathbb{R}^m$  auf der Menge  $V_\gamma$  gleichmäßig stetig und bezüglich  $y$  gleichmäßig stetig differenzierbar ist.

Dann ist die Abbildung  $G : C(I, \mathbb{R}^n) \rightarrow C(I, \mathbb{R}^m)$ ,  $G(y(\cdot))(t) = g(t, y(t))$ , im Punkt  $y_*(\cdot)$  stetig Fréchet-differenzierbar und es gilt

$$[G'(y_*(\cdot))y(\cdot)](t) = g_y(t, y_*(t))y(t), \quad t \in I.$$

Denn: Für  $t \in I$ ,  $\|y(\cdot) - y_*(\cdot)\|_\infty \leq \gamma$  und  $0 < \lambda \leq \lambda_0$  gilt

$$\left[ \frac{G(y(\cdot) + \lambda x(\cdot)) - G(y(\cdot))}{\lambda} - G'(y(\cdot))x(\cdot) \right](t) = \int_0^1 [g_y(t, y(t) + s\lambda x(t)) - g_y(t, y(t))] x(t) ds.$$

Da die Abbildung  $g_y(t, y)$  auf der Menge  $V_\gamma$  gleichmäßig stetig ist, gibt es ein  $C > 0$  mit

$$\left\| \frac{G(y(\cdot) + \lambda x(\cdot)) - G(y(\cdot))}{\lambda} - G'(y(\cdot))x(\cdot) \right\|_\infty \leq \sup_{t \in I} \int_0^1 C \|\lambda x(t)\| ds \cdot \|x(\cdot)\|_\infty = \lambda C,$$

d. h. der Grenzwert  $\lambda \rightarrow 0^+$  konvergiert gleichmäßig bezüglich  $\|x(\cdot)\|_\infty = 1$ . Also ist die Abbildung  $G$  auf einer Umgebung von  $y_*(\cdot)$  Fréchet-differenzierbar.

Weiterhin ergibt sich wegen der gleichmäßigen Stetigkeit von  $g_y(t, y)$  auf der Menge  $V_\gamma$  für die Abbildung  $y(\cdot) \rightarrow G'(y(\cdot))$  bezüglich der Operatornorm in  $y_*(\cdot)$ :

$$\begin{aligned} \|G'(y(\cdot)) - G'(y_*(\cdot))\| &= \sup_{\|x(\cdot)\|_\infty=1} \|[G'(y(\cdot)) - G'(y_*(\cdot))]x(\cdot)\|_\infty \\ &\leq \sup_{t \in I} \|g_y(t, y(t)) - g_y(t, y_*(t))\| \leq C \|y(\cdot) - y_*(\cdot)\|_\infty. \end{aligned}$$

Somit ist die stetige Fréchet-Differenzierbarkeit nachgewiesen.  $\square$

**Beispiel B.5.** Es sei  $y_*(\cdot) \in L_\infty([t_0, t_1], \mathbb{R}^n)$ . Dann können wir annehmen, dass  $y_*(\cdot)$  auf  $[t_0, t_1]$  beschränkt ist. Ferner sei die Funktion  $f(t, y) : \mathbb{R} \times \mathbb{R}^n \rightarrow \mathbb{R}$  auf dem Abschluss der Menge  $V_\gamma = \{(t, y) \in [t_0, t_1] \times \mathbb{R}^n \mid \|y - y_*(t)\| \leq \gamma\}$  stetig und stetig differenzierbar

bezüglich  $y$ . Dann ist  $J : L_\infty([t_0, t_1], \mathbb{R}^n) \rightarrow \mathbb{R}$ ,  $J(y(\cdot)) = \int_{t_0}^{t_1} f(t, y(t)) dt$ , im Punkt  $y_*(\cdot)$

Fréchet-differenzierbar und es gilt

$$J'(y_*(\cdot))y(\cdot) = \int_{t_0}^{t_1} \langle f_y(t, y_*(t)), y(t) \rangle dt.$$

Denn: Nach Voraussetzung ist die Abbildung  $f(t, y)$  auf der Menge  $\bar{V}_\gamma$  stetig und stetig differenzierbar bezüglich  $y$ . Daher ist  $J$  auf einer Umgebung von  $y_*(\cdot)$  wohldefiniert. Ferner ist der lineare Operator  $J'(y_*(\cdot))$  stetig. Sei  $\varepsilon > 0$  gegeben. Aufgrund der gleichmäßigen Stetigkeit von  $f_y(t, y)$  auf der Menge  $\bar{V}_\gamma$  gibt es eine Zahl  $\lambda_0 > 0$  mit

$$\|f_y(t, y_*(t) + \lambda y) - f_y(t, y_*(t))\| \leq \frac{\varepsilon}{t_1 - t_0}$$

für fast alle  $t \in [t_0, t_1]$ , für alle  $\|y\| \leq 1$  und alle  $0 < \lambda \leq \lambda_0$ . Damit erhalten wir

$$\begin{aligned} &\left| \frac{J(y_*(\cdot) + \lambda y(\cdot)) - J(y_*(\cdot))}{\lambda} - J'(y_*(\cdot))y(\cdot) \right| \\ &= \left| \int_{t_0}^{t_1} \left[ \int_0^1 \langle f_y(t, y_*(t) + \lambda s y(t)) - f_y(t, y_*(t)), y(t) \rangle ds \right] dt \right| \leq \varepsilon \end{aligned}$$

für alle  $\|y(\cdot)\|_{L_\infty} \leq 1$  und alle  $0 < \lambda \leq \lambda_0$ .  $\square$

**Beispiel B.6.** Es seien  $[t_0, t_1] \subset \mathbb{R}$ ,  $U \subseteq \mathbb{R}^m$ ,  $x_*(\cdot) \in C([t_0, t_1], \mathbb{R}^n)$  und

$$V_\gamma = \{(t, x) \in [t_0, t_1] \times \mathbb{R}^n \mid \|x - x_*(t)\| \leq \gamma\}.$$

Ferner sei die Funktion  $f(t, x, u) : [t_0, t_1] \times \mathbb{R}^n \times \mathbb{R}^m \rightarrow \mathbb{R}$  für jede kompakte Menge  $U_1 \subseteq \mathbb{R}^m$  auf der Menge  $V_\gamma \times U_1$  stetig und bezüglich  $x$  stetig differenzierbar. Dann ist für jedes  $u(\cdot) \in L_\infty([t_0, t_1], U)$  die Abbildung

$$x(\cdot) \rightarrow J(x(\cdot), u(\cdot)) = \int_{t_0}^{t_1} f(t, x(t), u(t)) dt, \quad J : C([t_0, t_1], \mathbb{R}^n) \times L_\infty([t_0, t_1], U) \rightarrow \mathbb{R},$$

im Punkt  $x_*(\cdot)$  Fréchet-differenzierbar und es gilt

$$J_x(x_*(\cdot), u(\cdot))x(\cdot) = \int_{t_0}^{t_1} \langle f_x(t, x_*(t), u(t)), x(t) \rangle dt.$$

Denn: Wegen  $u(\cdot) \in L_\infty([t_0, t_1], U)$  lässt sich eine kompakte Menge  $U_1 \subseteq \mathbb{R}^m$  mit  $u(t) \in U_1$  für fast alle  $t$  angeben. Nach Voraussetzung ist die Abbildung  $f(t, x, u)$  auf der Menge  $V_\gamma \times U_1$  stetig und stetig differenzierbar bezüglich  $x$ . Daher ist  $J$  wohldefiniert. Weiterhin ist für jedes  $u(\cdot) \in L_\infty([t_0, t_1], U)$  der lineare Operator  $J_x(x_*(\cdot), u(\cdot))$  stetig.

Sei  $\varepsilon > 0$  gegeben. Aufgrund der gleichmäßigen Stetigkeit von  $f_x(t, x, u)$  auf der Menge  $V_\gamma \times U_1$  gibt es eine Zahl  $\lambda_0 > 0$  mit

$$\|f_x(t, x_*(t) + \lambda x, u) - f_x(t, x_*(t), u)\| \leq \frac{\varepsilon}{t_1 - t_0}$$

für fast alle  $t \in [t_0, t_1]$  und für alle  $\|x\| \leq 1$ ,  $u \in U_1$ ,  $0 < \lambda \leq \lambda_0$ . Damit erhalten wir

$$\begin{aligned} & \left| \frac{J(x_*(\cdot) + \lambda x(\cdot), u(\cdot)) - J(x_*(\cdot), u(\cdot))}{\lambda} - J_x(x_*(\cdot), u(\cdot))x(\cdot) \right| \\ &= \left| \int_{t_0}^{t_1} \left[ \int_0^1 \langle f_x(t, x_*(t) + \lambda s x(t), u(t)) - f_x(t, x_*(t), u(t)), x(t) \rangle ds \right] dt \right| \leq \varepsilon \end{aligned}$$

für alle  $\|x(\cdot)\|_\infty \leq 1$  und alle  $0 < \lambda \leq \lambda_0$ . □

**Beispiel B.7.** Es seien  $U \subseteq \mathbb{R}^m$ ,  $\omega(\cdot)$  eine Gewichtsfunktion aus dem Raum  $L_1(\mathbb{R}_+, \mathbb{R}_+)$ , weiterhin  $x_*(\cdot) \in C_{\text{lim}}(\mathbb{R}_+, \mathbb{R}^n)$  und  $V_\gamma = \{(t, x) \in \overline{\mathbb{R}}_+ \times \mathbb{R}^n \mid \|x - x(t)\| \leq \gamma\}$ .

Ferner sei die Funktion  $f(t, x, u) : \mathbb{R} \times \mathbb{R}^n \times \mathbb{R}^m \rightarrow \mathbb{R}$  für jede kompakte Menge  $U_1 \subseteq \mathbb{R}^m$  auf der Menge  $V_\gamma \times U_1$  gleichmäßig stetig und bezüglich  $x$  gleichmäßig stetig differenzierbar. Dann ist für jedes  $u(\cdot) \in L_\infty(\mathbb{R}_+, U)$  die Abbildung

$$x(\cdot) \rightarrow J(x(\cdot), u(\cdot)) = \int_0^\infty \omega(t) f(t, x(t), u(t)) dt,$$

wobei  $J : C_{\text{lim}}(\mathbb{R}_+, \mathbb{R}^n) \times L_\infty(\mathbb{R}_+, U) \rightarrow \mathbb{R}$  gilt, im Punkt  $x_*(\cdot)$  Fréchet-differenzierbar und

$$J_x(x_*(\cdot), u(\cdot))x(\cdot) = \int_0^\infty \omega(t) \langle f_x(t, x_*(t), u(t)), x(t) \rangle dt.$$

Denn: Wegen  $u(\cdot) \in L_\infty(\mathbb{R}_+, U)$ ,  $\omega(\cdot) \in L_1(\mathbb{R}_+, \mathbb{R}_+)$  und wegen der gleichmäßigen Differenzierbarkeit lassen sich zu jedem  $\varepsilon > 0$  Zahlen  $\lambda_0, T > 0$  und nach dem Satz von Lusin eine kompakte Menge  $K \subseteq [0, T]$  derart angeben, dass  $\omega(\cdot)$  auf  $K$  stetig ist, die Ungleichung

$$\int_{\mathbb{R}_+ \setminus K} \omega(t) dt \leq \frac{\varepsilon}{2}$$

gilt und die Beziehung

$$\|f_x(t, x_*(t) + \lambda x, u(t)) - f_x(t, x_*(t), u(t))\| \leq 1$$

für fast alle  $t \notin K$  und für alle  $\|x\| \leq 1$ ,  $0 < \lambda \leq \lambda_0$  erfüllt ist. Benutzen wir über der kompakten Menge  $K$  die gleiche Argumentation wie in Beispiel B.6, so erhalten wir

$$\begin{aligned} & \left| \frac{J(x_*(\cdot) + \lambda x(\cdot), u(\cdot)) - J(x_*(\cdot), u(\cdot))}{\lambda} - J_x(x_*(\cdot), u(\cdot))x(\cdot) \right| \\ &= \left| \int_0^\infty \omega(t) \left[ \int_0^1 \langle f_x(t, x_*(t) + \lambda s x(t), u(t)) - f_x(t, x_*(t), u(t)), x(t) \rangle ds \right] dt \right| \leq \varepsilon \end{aligned}$$

für alle  $\|x(\cdot)\|_\infty \leq 1$  und alle  $0 < \lambda \leq \lambda_0$ .  $\square$

**Beispiel B.8.** Es sei  $y_*(\cdot) \in L_\infty([t_0, t_1], \mathbb{R}^n)$ . Dann können wir annehmen, dass  $y_*(\cdot)$  für  $t \in [t_0, t_1]$  beschränkt ist. Ferner sei die Abbildung  $\varphi(t, y) : \mathbb{R} \times \mathbb{R}^n \rightarrow \mathbb{R}^n$  auf dem Abschluss der Menge  $V_\gamma = \{(t, y) \in [t_0, t_1] \times \mathbb{R}^n \mid \|y - y_*(t)\| \leq \gamma\}$  stetig und stetig differenzierbar bezüglich  $y$ . Dann ist  $F : L_\infty([t_0, t_1], \mathbb{R}^n) \rightarrow C([t_0, t_1], \mathbb{R}^n)$ ,

$$F(y(\cdot))(t) = \int_{t_0}^t \varphi(s, y(s)) ds, \quad t \in [t_0, t_1],$$

im Punkt  $y_*(\cdot)$  stetig Fréchet-differenzierbar und es gilt

$$[F'(y_*(\cdot))y(\cdot)](t) = \int_{t_0}^t \varphi_y(s, y_*(s))y(s) ds, \quad t \in [t_0, t_1].$$

Denn: Nach Voraussetzung ist die Abbildung  $F$  auf einer Umgebung von  $y_*(\cdot)$  wohldefiniert und der lineare Operator  $F'(y_*(\cdot))$  stetig.

Es seien  $y(\cdot)$  mit  $\|y(\cdot) - y_*(\cdot)\|_{L_\infty} \leq \gamma$  und  $\varepsilon > 0$  gegeben. Da die Abbildung  $\varphi_y(t, y)$  auf  $\bar{V}_\gamma$  gleichmäßig stetig ist, gibt es eine Zahl  $\lambda_0 > 0$  mit

$$\|\varphi_y(t, y(t) + \lambda x) - \varphi_y(t, y(t))\| \leq \frac{\varepsilon}{t_1 - t_0}$$

für fast alle  $[t_0, t_1]$ , für alle  $\|x\| \leq 1$  und alle  $0 < \lambda \leq \lambda_0$ . Damit folgt

$$\begin{aligned} & \left\| \frac{F(y(\cdot) + \lambda x(\cdot)) - F(y(\cdot))}{\lambda} - F'(y(\cdot))x(\cdot) \right\|_\infty \\ & \leq \int_{t_0}^{t_1} \left[ \int_0^1 \|\varphi_y(t, y(t) + \lambda s x(t)) - \varphi_y(t, y(t))\| ds \right] dt \leq \varepsilon \end{aligned}$$

für alle  $\|x(\cdot)\|_{L_\infty} \leq 1$  und alle  $0 < \lambda \leq \lambda_0$ .

Wegen der gleichmäßigen Stetigkeit von  $f_y(t, y)$  auf  $\bar{V}_\gamma$  erhalten wir für die Abbildung  $y(\cdot) \rightarrow F'(y(\cdot))$  bezüglich der Operatornorm in  $y_*(\cdot)$

$$\begin{aligned} \|F'(y(\cdot)) - F'(y_*(\cdot))\| &= \sup_{\|x(\cdot)\|_{L_\infty}=1} \|[F'(y(\cdot)) - F'(y_*(\cdot))]x(\cdot)\|_\infty \\ &\leq \operatorname{ess\,sup}_{t \in I} \|\varphi_y(t, y(t)) - \varphi_y(t, y_*(t))\| \leq C\|y(\cdot) - y_*(\cdot)\|_{L_\infty} \end{aligned}$$

für alle  $y(\cdot)$  mit  $\|y(\cdot) - y_*(\cdot)\|_{L_\infty} \leq \gamma$ .  $\square$

**Beispiel B.9.** Es seien  $[t_0, t_1] \subset \mathbb{R}$ ,  $U \subseteq \mathbb{R}^m$ ,  $x_*(\cdot) \in C([t_0, t_1], \mathbb{R}^n)$  und

$$V_\gamma = \{(t, x) \in [t_0, t_1] \times \mathbb{R}^n \mid \|x - x_*(t)\| \leq \gamma\}.$$

Ferner sei die Abbildung  $\varphi(t, x, u) : [t_0, t_1] \times \mathbb{R}^n \times \mathbb{R}^m \rightarrow \mathbb{R}^n$  für jede kompakte Menge  $U_1 \subseteq \mathbb{R}^m$  auf der Menge  $V_\gamma \times U_1$  stetig und bezüglich  $x$  stetig differenzierbar. Dann ist für jedes  $u(\cdot) \in L_\infty([t_0, t_1], U)$  die Abbildung  $F : C([t_0, t_1], \mathbb{R}^n) \times L_\infty([t_0, t_1], \mathbb{R}^n) \rightarrow C([t_0, t_1], \mathbb{R}^n)$ ,

$$x(\cdot) \rightarrow F(x(\cdot), u(\cdot))(t) = \int_{t_0}^t \varphi(s, x(s), u(s)) ds, \quad t \in [t_0, t_1],$$

im Punkt  $x_*(\cdot)$  Fréchet-differenzierbar und es gilt

$$[F_x(x_*(\cdot), u(\cdot))x(\cdot)](t) = \int_{t_0}^t \varphi_x(s, x_*(s), u(s))x(s) ds, \quad t \in [t_0, t_1].$$

Denn wie im Beispiel B.6 lässt sich zu  $u(\cdot) \in L_\infty([t_0, t_1], U)$  eine kompakte Menge  $U_1 \subseteq \mathbb{R}^m$  mit  $u(t) \in U_1$  für fast alle  $t$  angeben, so dass  $\varphi_x(t, x, u)$  auf der Menge  $V_\gamma \times U_1$  gleichmäßig stetig ist. Wie im Beispiel B.8 zeigt man damit die Fréchet-Differenzierbarkeit.  $\square$

**Beispiel B.10.** Es seien  $U \subseteq \mathbb{R}^m$ ,  $x_*(\cdot) \in C_{\lim}(\mathbb{R}_+, \mathbb{R}^n)$ ,  $u_*(\cdot) \in L_\infty(\mathbb{R}_+, U)$ , und

$$V_\gamma = \{(t, x) \in \bar{\mathbb{R}}_+ \times \mathbb{R}^n \mid \|x - x(t)\| \leq \gamma\}.$$

Ferner sei die Abbildung  $\varphi(t, x, u) : \mathbb{R} \times \mathbb{R}^n \times \mathbb{R}^m \rightarrow \mathbb{R}$  für jede kompakte Menge  $U_1 \subseteq \mathbb{R}^m$  auf der Menge  $V_\gamma \times U_1$  gleichmäßig stetig und bezüglich  $x$  gleichmäßig stetig differenzierbar. Weiterhin nehmen wir an, dass

$$\int_0^\infty \|\varphi(t, x_*(t), u_*(t))\| dt < \infty, \quad \int_0^\infty \|\varphi_x(t, x_*(t), u_*(t))\| dt < \infty$$

gelten. Außerdem möge zu jedem  $\delta > 0$  ein  $T > 0$  existieren, dass

$$\begin{aligned} \int_T^\infty \|\varphi(t, x(t), u_*(t)) - \varphi(t, x'(t), u_*(t)) \\ - \varphi_x(t, x_*(t), u_*(t))(x(t) - x'(t))\| dt \leq \delta \|x(\cdot) - x'(\cdot)\|_\infty \end{aligned}$$

für alle  $x(\cdot), x'(\cdot) \in C_{\text{lim}}(\mathbb{R}_+, \mathbb{R}^n)$  mit  $\|x(\cdot) - x_*(\cdot)\|_\infty \leq \gamma$ ,  $\|x'(\cdot) - x'_*(\cdot)\|_\infty \leq \gamma$  erfüllt ist. Außerdem bezeichnen wir mit  $\mathcal{U}$  die Menge:

$$\mathcal{U} = \left\{ u(\cdot) \in L_\infty(\mathbb{R}_+, U) \mid \begin{array}{l} u(t) = u_*(t) + \chi_M(t)(w(t) - u_*(t)), \quad w(\cdot) \in L_\infty(\mathbb{R}_+, U), \\ M \subset \mathbb{R}_+ \text{ meßbar und beschränkt} \end{array} \right\}.$$

Die Menge ist verbunden mit Nadelvariationen des Steuerungsprozesses  $(x_*(\cdot), u_*(\cdot))$ , die nur über beschränkten Mengen erfolgen.

Unter diesen Voraussetzungen ist für jedes  $u(\cdot) \in \mathcal{U}$  die Abbildung

$$x(\cdot) \rightarrow F(x(\cdot), u(\cdot)) = \int_0^t \varphi(s, x(s), u(s)) ds, \quad t \in \mathbb{R}_+,$$

$F : C_{\text{lim}}(\mathbb{R}_+, \mathbb{R}^n) \times \mathcal{U} \rightarrow C_{\text{lim}}(\mathbb{R}_+, \mathbb{R}^n)$ , in  $x_*(\cdot)$  Fréchet-differenzierbar und

$$[F_x(x_*(\cdot), u(\cdot))x(\cdot)](t) = \int_0^t \varphi_x(s, x_*(s), u(s))x(s) ds, \quad t \in \mathbb{R}_+.$$

Denn: Wegen  $u(\cdot) \in \mathcal{U}$  können wir eine Zahl  $T > 0$  angeben mit  $u(t) = u_*(t)$  für alle  $t \geq T$ . Daher ergibt sich für alle  $x(\cdot) \in C_{\text{lim}}(\mathbb{R}_+, \mathbb{R}^n)$  mit  $\|x(\cdot) - x_*(\cdot)\|_\infty \leq \gamma$

$$\int_0^\infty \|\varphi(t, x(t), u(t))\| dt \leq \int_0^T \|\varphi(t, x(t), u(t))\| dt + \int_T^\infty \|\varphi(t, x(t), u_*(t))\| dt.$$

Darin folgt nach Voraussetzung außerdem

$$\int_T^\infty \|\varphi(t, x(t), u_*(t))\| dt \leq \int_T^\infty \left[ \|\varphi(t, x_*(t), u_*(t))\| + \gamma \|\varphi_x(t, x_*(t), u_*(t))\| \right] dt + \delta\gamma.$$

Damit bildet der Operator  $F$  in den Raum  $C_{\text{lim}}(\mathbb{R}_+, \mathbb{R}^n)$  ab. Ferner können wir zu jedem  $\varepsilon > 0$  Zahlen  $\lambda_0, T > 0$  derart angeben, dass  $u(t) = u_*(t)$  für alle  $t \geq T$  gilt und

$$\int_T^\infty \|\varphi(t, x_*(t) + \lambda x(t), u_*(t)) - \varphi(t, x_*(t), u_*(t)) - \varphi_x(t, x_*(t), u_*(t))(\lambda x(t))\| dt \leq \frac{\varepsilon}{2}$$

für alle  $0 < \lambda \leq \lambda_0$  und alle  $\|x(\cdot)\|_\infty \leq 1$  ausfällt.

Nutzen wir über dem Intervall  $[0, T]$  die Argumentation aus Beispiel B.9, so erhalten wir

$$\left\| \frac{F(x_*(\cdot) + \lambda x(\cdot), u(\cdot)) - F(x_*(\cdot), u(\cdot))}{\lambda} - F_x(x_*(\cdot), u(\cdot))x(\cdot) \right\|_\infty \leq \varepsilon$$

für alle  $\|x(\cdot)\|_\infty \leq 1$  und alle  $0 < \lambda \leq \lambda_0$ . □

### B.3. Grundprinzipien der Funktionalanalysis

**Theorem B.11** (Satz von Hahn-Banach; Fortsetzungsversion). *Sei  $X$  ein normierter Raum und  $U$  ein Untervektorraum. Zu jedem stetigen linearen Funktional  $u^* : U \rightarrow \mathbb{R}$  existiert dann ein stetiges lineares Funktional  $x^* : X \rightarrow \mathbb{R}$  mit  $x^*|_U = u^*$  und  $\|x^*\| = \|u^*\|$ .*

**Folgerung B.12.** *Seien  $X$  ein normierter Raum,  $U$  ein abgeschlossener Unterraum und  $x \in X, x \notin U$ . Dann existiert ein  $x^* \in X^*$  mit  $x^*|_U = 0$  und  $\langle x^*, x \rangle \neq 0$ .*

**Theorem B.13** (Satz von Hahn-Banach; Trennungsversion). *Seien  $X$  ein normierter Raum,  $V_1, V_2 \subseteq X$  konvex,  $V_1$  offen und  $V_1 \cap V_2 = \emptyset$ . Dann existiert ein  $x^* \in X^*$  mit*

$$\langle x^*, v_1 \rangle < \langle x^*, v_2 \rangle \quad \text{für alle } v_1 \in V_1, v_2 \in V_2.$$

Eine Abbildung  $T$  heißt offen, wenn  $T$  offene Mengen auf offene Mengen abbildet.

**Theorem B.14** (Satz von der offenen Abbildung). *Es seien  $X, Y$  Banachräume und  $T \in L(X, Y)$  surjektiv. Dann ist  $T$  offen.*

Seien  $X, Y$  normierte Räume und  $T \in L(X, Y)$ . Der adjungierte Operator  $T^* : Y^* \rightarrow X^*$  ist durch  $\langle T^*y^*, x \rangle = \langle y^*, Tx \rangle$  definiert. Offensichtlich folgt daraus  $T^* \in L(Y^*, X^*)$ . Seien nun  $U \subseteq X$  und  $V \subseteq X^*$ . Wir definieren die Mengen

$$\begin{aligned} U^\perp &= \{x^* \in X^* \mid \langle x^*, x \rangle = 0 \text{ für alle } x \in U\}, \\ V_\perp &= \{x \in X \mid \langle x^*, x \rangle = 0 \text{ für alle } x^* \in V\}. \end{aligned}$$

**Lemma B.15** (Satz vom abgeschlossenen Bild). *Seien  $X, Y$  Banachräume, und es sei  $T \in L(X, Y)$ . Dann gelten die Äquivalenzen:*

$$\begin{aligned} \text{Im } T \text{ ist abgeschlossen} &\Leftrightarrow \text{Im } T = (\text{Ker } T^*)^\perp \\ \Leftrightarrow \text{Im } T^* \text{ ist abgeschlossen} &\Leftrightarrow \text{Im } T^* = (\text{Ker } T)^\perp. \end{aligned}$$

**Satz B.16** (Fixpunktsatz von Weissinger). *Es sei  $U$  eine nichtleere abgeschlossene Teilmenge des Banachraumes  $X$ , ferner  $\sum_{n=1}^\infty a_n$  eine konvergente Reihe positiver Zahlen und  $A : U \rightarrow U$  eine Selbstabbildung von  $U$  mit  $\|A^n u - A^n v\| \leq a_n \|u - v\|$  für alle  $u, v \in U$  und  $n \in \mathbb{N}$ . Dann besitzt  $A$  genau einen Fixpunkt, d. h. es gibt genau ein  $u \in U$  mit  $Au = u$ . Dieser Fixpunkt ist Grenzwert der Iterationsfolge  $u_n = Au_{n-1}, n = 1, 2, \dots$ , bei beliebigem Startwert  $u_0 \in U$ . Schließlich gilt die Fehlerabschätzung*

$$\|u - u_n\| \leq \|u_1 - u_0\| \cdot \sum_{k=n}^\infty a_k.$$

**Satz B.17** (Satz über implizite Funktionen). *Es seien  $X, Y$  und  $Z$  Banachräume,  $U$  eine Umgebung des Punktes  $(x_0, y_0) \in X \times Y$  und  $F : U \rightarrow Z$  eine stetig differenzierbare Abbildung. Ferner sei  $F(x_0, y_0) = 0$  und es sei die partielle Ableitung  $F_y(x_0, y_0) : Y \rightarrow Z$  ein linearer Homöomorphismus. Dann gibt es auf einer Umgebung  $U$  von  $x_0$  eine stetig differenzierbare Abbildung  $x \rightarrow y(x)$  nach  $Y$  derart, dass für jedes  $x \in U$  die Gleichung  $F(x, y(x)) = 0$  und die Beziehung  $y'(x) = -[F_y(x, y(x))]^{-1} \circ F_x(x, y(x))$  gilt.*

#### B.4. Der Darstellungssatz von Riesz

**Satz B.18** (Rieszscher Darstellungssatz). *Zu jedem  $x^* \in C^*([t_0, t_1], \mathbb{R})$  gibt es genau ein signiertes reguläres Borelsches Maß  $\mu$  auf der Borelschen  $\sigma$ -Algebra über  $[t_0, t_1]$  mit*

$$\langle x^*, x(\cdot) \rangle = \int_{t_0}^{t_1} x(t) d\mu(t), \quad \|x^*\| = |\mu|([t_0, t_1]).$$

**Folgerung B.19.** *Jedes stetige lineare Funktional  $x^* \in C^*([t_0, t_1], \mathbb{R}^n)$  lässt sich auf eindeutige Weise in der Gestalt*

$$\langle x^*, x(\cdot) \rangle = \langle a, x(t_0) \rangle + \sum_{k=1}^n \int_{t_0}^{t_1} x_k(t) d\mu_k(t)$$

darstellen, wobei  $a \in \mathbb{R}^n$  gilt und  $\mu_1(\cdot), \dots, \mu_n(\cdot)$  normalisierte Funktionen beschränkter Variation sind. Oder äquivalent:

$$\langle x^*, x(\cdot) \rangle = \sum_{k=1}^n \int_{t_0}^{t_1} x_k(t) d\mu_k(t)$$

mit Funktionen  $\mu_1(\cdot), \dots, \mu_n(\cdot)$  beschränkter Variation, die mit eventueller Ausnahme des Punktes  $t_0$  rechtsseitig stetig sind.

**Folgerung B.20.** *Zu jedem  $x^* \in C_0^*([t_0, t_1], \mathbb{R})$  gilt der Rieszsche Darstellungssatz B.18, wobei das signierte reguläre Borelsche Maß  $\mu$  keinen atomaren Anteil in  $t_0$  besitzt.*

**Lemma B.21.** *Zu jedem stetigen linearen Funktional  $x^* \in C_1^*([t_0, t_1], \mathbb{R}^n)$  gibt es eindeutig bestimmte  $a, b \in \mathbb{R}^n$  und normalisierte Funktionen beschränkter Variation  $\mu_1(\cdot), \dots, \mu_n(\cdot)$  derart, dass  $x^*$  folgende Darstellung besitzt:*

$$\langle x^*, x(\cdot) \rangle = \langle a, x(t_0) \rangle + \langle b, \dot{x}(t_0) \rangle + \sum_{k=1}^n \int_{t_0}^{t_1} \dot{x}_k(t) d\mu_k(t).$$

**Satz B.22** (Rieszscher Darstellungssatz). *Der Dualraum  $C_0^*(\mathbb{R}_+, \mathbb{R})$  des Raumes der stetigen Funktionen, die im Unendlichen verschwinden, ist unter der Abbildung*

$$\Lambda(\mu)x(\cdot) = \int_{\mathbb{R}_+} x(t) d\mu(t)$$

isometrisch isomorph zu den signierten regulären Borelschen Maße auf der Borelschen  $\sigma$ -Algebra über  $\mathbb{R}_+$ .

An dieser Stelle erweitern wir die Darstellungssätze um die Beispiele (h)–(k) in Abschnitt B.1. Dazu leiten wir einen allgemeinen Darstellungssatz her:

**Lemma B.23.** *Es sei  $\Omega$  eine nichtleere Menge und es sei  $X_0 = \{x_0(\cdot) : \Omega \rightarrow \mathbb{R}^n\}$  ein Banachraum mit Norm  $\|\cdot\|_{X_0}$ . Ferner sei  $X$  der Raum derjenigen Elemente  $x(\cdot)$ , die die eindeutige Darstellung  $x(\cdot) = x_0(\cdot) + a$ , d. h.  $x(\omega) = x_0(\omega) + a$  für alle  $\omega \in \Omega$ , mit  $x_0(\cdot) \in X_0$  und  $a \in \mathbb{R}^n$  besitzen. Weiterhin sei  $X$  versehen mit einer  $p$ -Norm, d. h.*

$$\|x(\cdot)\|_X^p = \|x_0(\cdot)\|_{X_0}^p + \|a\|^p \text{ für } 1 \leq p < \infty, \quad \|x(\cdot)\|_X = \|x_0(\cdot)\|_{X_0} + \|a\| \text{ für } p = \infty.$$

Dann gibt es zu jedem  $x^* \in X^*$  ein eindeutiges Paar  $(x_0^*, \alpha) \in X_0^* \times \mathbb{R}^n$  mit

$$\langle x^*, x(\cdot) \rangle = \langle x_0^*, x_0(\cdot) \rangle + \alpha^T a \text{ für alle } x(\cdot) = x_0(\cdot) + a \in X.$$

*Beweis:* Versehen mit einer  $p$ -Norm ist  $X$  selbst ein Banachraum. Wir betrachten die stetige lineare Abbildung  $\Lambda$  mit  $\Lambda x(\cdot) = x_0(\cdot)$ , die  $X$  auf  $X_0$  abbildet. Es gilt offenbar

$$\text{Ker } \Lambda = \{x(\cdot) \in X \mid x(\cdot) = x_0(\cdot) + a, \text{ wobei } x_0(\omega) = 0 \forall \omega \in \Omega\}.$$

Sei  $x^* \in X^*$ . Wir bezeichnen mit  $\alpha_i$  den Wert von  $x^*$  für diejenige vektorwertige Funktion, deren  $i$ -te Komponente identisch 1 ist und alle weiteren identisch verschwinden. Nun betrachten wir das Funktional  $x_1^* \in X^*$ , welches wie folgt definiert ist:

$$\langle x_1^*, x(\cdot) \rangle = \langle x^*, x(\cdot) \rangle - \alpha^T a, \quad x(\cdot) = x_0(\cdot) + a, \quad \alpha = (\alpha_1, \dots, \alpha_n).$$

Offensichtlich gilt  $x_1^* \in (\text{Ker } \Lambda)^\perp$ . Nach dem Satz vom abgeschlossenen Bild existiert ein Funktional  $x_0^* \in X_0^*$  mit  $x_1^* = \Lambda^* x_0^*$ . Es folgt

$$\langle x_1^*, x(\cdot) \rangle = \langle \Lambda^* x_0^*, x(\cdot) \rangle = \langle x_0^*, \Lambda x(\cdot) \rangle = \langle x_0^*, x_0(\cdot) \rangle$$

für alle  $x(\cdot) \in X$ . Also erhalten wir für  $x^* \in X^*$  die Darstellung

$$\langle x^*, x(\cdot) \rangle = \langle x_1^*, x(\cdot) \rangle + \alpha^T a = \langle x_0^*, x_0(\cdot) \rangle + \alpha^T a$$

mit  $x_0^* \in X_0^*$  und  $\alpha \in \mathbb{R}^n$ . Die Eindeutigkeit kann direkt nachgeprüft werden.  $\square$

Im Raum  $C_{\text{lim}}(\mathbb{R}_+, \mathbb{R}^n)$  unterscheiden sich die Normen  $\|x(\cdot)\|_\infty = \|x_0(\cdot) + a\|_\infty$  und die in Lemma B.23 für  $p = \infty$  definierte Norm  $\|x(\cdot)\|_{C_{\text{lim}}} = \|x_0(\cdot)\|_\infty + \|a\|$ . Aber es gilt:

**Lemma B.24.** *Auf dem Raum  $C_{\text{lim}}(\mathbb{R}_+, \mathbb{R}^n)$  sind die Normen  $\|\cdot\|_{C_{\text{lim}}}$  und  $\|\cdot\|_\infty$  äquivalent.*

*Beweis:* Es sei  $x(\cdot) \in C_{\text{lim}}(\mathbb{R}_+, \mathbb{R}^n)$  und  $x(t) = x_0(t) + a$  mit  $x_0(\cdot) \in C_0(\mathbb{R}_+, \mathbb{R}^n)$ ,  $a \in \mathbb{R}^n$  die eindeutige Darstellung. Sei  $0 \leq \|x_0(\cdot)\|_\infty \leq \|a\|$ . Wegen  $x(t) \rightarrow a$  für  $t \rightarrow \infty$  folgt

$$2\|x(\cdot)\|_\infty = 2\|x_0(\cdot) + a\|_\infty \geq 2\|a\| \geq \|x_0(\cdot)\|_\infty + \|a\| = \|x(\cdot)\|_{C_{\text{lim}}}.$$

Sei nun  $0 \leq \|a\| \leq \|x_0(\cdot)\|_\infty$ . Dann gibt es ein  $\lambda \in [0, 1]$  mit  $\|a\| = \lambda \|x_0(\cdot)\|_\infty$ . Also

$$\begin{aligned} \|x_0(\cdot) + a\|_\infty &\geq \max\{\|x_0(\cdot)\|_\infty - \|a\|, \|a\|\} = \max\{(1 - \lambda)\|x_0(\cdot)\|_\infty, \lambda\|x_0(\cdot)\|_\infty\} \\ &\geq \min_{\lambda \in [0, 1]} \left( \max\{1 - \lambda, \lambda\} \right) \cdot \|x_0(\cdot)\|_\infty = \frac{1}{2} \|x_0(\cdot)\|_\infty. \end{aligned}$$

Damit gelten die Ungleichungen  $\|x(\cdot)\|_\infty \leq \|x(\cdot)\|_{C_{\text{lim}}} \leq 4\|x(\cdot)\|_\infty$  auf  $C_{\text{lim}}(\mathbb{R}_+, \mathbb{R}^n)$ .  $\square$

**Folgerung B.25** (Rieszscher Darstellungssatz für  $C_{\lim}(\mathbb{R}_+, \mathbb{R}^n)$ ). Jedes stetige lineare Funktional  $x^*$  auf  $C_{\lim}(\mathbb{R}_+, \mathbb{R}^n)$  besitzt nach Lemma B.23 die eindeutige Darstellung

$$\langle x^*(\cdot), x(\cdot) \rangle = \int_0^\infty \langle x_0(t), d\mu_0(t) \rangle + \alpha^T a,$$

wobei  $\alpha \in \mathbb{R}^n$  gilt und  $\mu_0$  ein signiertes reguläres Borelsches Vektormaaß auf  $\mathbb{R}_+$  ist. Oder äquivalent: Zu jedem  $x^* \in C^*(\overline{\mathbb{R}_+}, \mathbb{R}^n)$  existiert ein eindeutig bestimmtes signiertes reguläres Borelsches Maß  $\mu$  über  $\overline{\mathbb{R}_+}$  (Anhang A.4 und Definition A.9) mit

$$\langle x^*(\cdot), x(\cdot) \rangle = \int_0^\infty \langle x(t), d\mu(t) \rangle = \int_0^\infty \langle x(t), d\mu_0(t) \rangle + x(\infty)^T \mu(\{\infty\}), \quad x(\infty) = a,$$

wobei  $\mu$  die eindeutige Zerlegung  $\mu = \mu_0 + \mu(\{\infty\})$  mit einem signierten regulären Borelschen Vektormaaß  $\mu_0$  auf  $\mathbb{R}_+$  besitzt.

Im Fall  $1 \leq p < \infty$  lässt sich Lemma B.23 unmittelbar auf die Fälle  $X_0 = L_p(\mathbb{R}_+, \mathbb{R}^n)$  und  $X_0 = W_p^1(\mathbb{R}_+, \mathbb{R}^n)$  anwenden:

**Folgerung B.26.** Jedes stetig lineare Funktional  $x^*$  auf  $L_{p,\lim}(\mathbb{R}_+, \mathbb{R}^n)$  besitzt die eindeutige Darstellung

$$\langle x^*(\cdot), x(\cdot) \rangle = \int_0^\infty \langle y_0(t), x_0(t) \rangle dt + \alpha^T a,$$

wobei  $\alpha \in \mathbb{R}^n$  und  $y_0(\cdot) \in L_q(\mathbb{R}_+, \mathbb{R}^n)$  mit  $1/p + 1/q = 1$  falls  $p > 1$  und  $q = \infty$  falls  $p = 1$  gelten. Zusätzlich hat man  $y(\cdot) = y_0(\cdot) + a \in L_{q,\lim}(\mathbb{R}_+, \mathbb{R}^n)$  für  $1 < p < \infty$ .

**Folgerung B.27.** Jedes stetig lineare Funktional  $x^*$  auf  $W_{p,\lim}^1(\mathbb{R}_+, \mathbb{R}^n)$  besitzt die eindeutige Darstellung

$$\langle x^*(\cdot), x(\cdot) \rangle = \int_0^\infty [\langle y_0(t), x_0(t) \rangle + \langle \dot{y}_0(t), \dot{x}_0(t) \rangle] dt + \alpha^T a,$$

wobei  $\alpha \in \mathbb{R}^n$  und  $y_0(\cdot) \in W_q^1(\mathbb{R}_+, \mathbb{R}^n)$  mit  $1/p + 1/q = 1$  falls  $p > 1$  und  $q = \infty$  falls  $p = 1$  gelten. Zusätzlich hat man  $y(\cdot) = y_0(\cdot) + a \in W_{q,\lim}^1(\mathbb{R}_+, \mathbb{R}^n)$  für  $1 < p < \infty$ .

Abschließend geben wir für  $1 \leq p < \infty$  mit Hilfe von Lemma B.23 das nachstehende Resultat für konvergente  $\ell_p$ -Folgen an:

**Folgerung B.28.** Jedes  $x^*$  auf  $\ell_{p,\lim}$  besitzt die eindeutige Darstellung

$$\langle x^*, x \rangle = \sum_{n \in \mathbb{N}} y_n^0 x_n^0 + \alpha a,$$

mit  $\alpha \in \mathbb{R}^n$ ,  $y^0 \in \ell_q$  und  $1/p + 1/q = 1$  falls  $p > 1$  und  $q = \infty$  falls  $p = 1$ . Außerdem ist  $y = y^0 + \alpha \in \ell_{q,\lim}$  für  $1 < p < \infty$ .

## B.5. Der Satz von Ljusternik

In diesem Abschnitt befassen wir uns mit dem fundamentalen Satz von Ljusternik (Ljusternik [52]). Die vorliegende zusammenfassende Darstellung und die Verallgemeinerung ist Ioffe & Tichomirov [48] entnommen. Eine vollständige Beweisführung ist wiederum in Ioffe & Tichomirov [48] zu finden.

**Definition B.29** (Lokaler Tangentialkegel). *Sei  $X$  ein Banachraum und  $x_0 \in M \subseteq X$ . Mit  $\mathcal{C}(M, x_0)$  bezeichnen wir die Menge aller Elemente  $x \in X$ , zu denen ein  $\varepsilon_0 > 0$  und eine Abbildung  $r(\varepsilon) : [0, \varepsilon_0] \rightarrow X$  mit den Eigenschaften*

$$\lim_{\varepsilon \rightarrow 0^+} \frac{\|r(\varepsilon)\|}{\varepsilon} = 0 \quad \text{und} \quad x_0 + \varepsilon x + r(\varepsilon) \in M \quad \text{für alle } \varepsilon \in [0, \varepsilon_0]$$

*existieren.  $\mathcal{C}(M, x_0)$  heißt der lokale Tangentialkegel an die Menge  $M$  im Punkt  $x_0$ .*

**Theorem B.30** (Satz von Ljusternik). *Es seien  $X$  und  $Y$  Banachräume,  $V$  eine Umgebung des Punktes  $x_* \in X$  und  $F$  eine Fréchet-differenzierbare Abbildungen der Menge  $V$  in  $Y$ . Wir setzen voraus, die Abbildung  $F$  sei regulär im Punkt  $x_*$ , d. h., es gelte*

$$\text{Im } F'(x_*) = Y,$$

*außerdem sei ihre Ableitung in diesem Punkt in der gleichmäßigen Operatorentopologie des Raumes  $L(X, Y)$  stetig. Dann stimmt der lokale Tangentialkegel an die Menge  $M = \{x \in V \mid F(x) = F(x_*)\}$  im Punkt  $x_*$  mit dem Kern des Operators  $F'(x_*)$  überein:*

$$\mathcal{C}(M, x_*) = \text{Ker } F'(x_*).$$

**Lemma B.31.** *Es seien  $X$  und  $Y$  Banachräume und  $\Lambda : X \rightarrow Y$  ein stetiger linearer Operator. Wir setzen*

$$C(\Lambda) := \sup_{y \neq 0} \left( \frac{\inf\{\|x\| \mid x \in X, \Lambda x = y\}}{\|y\|} \right).$$

*Wenn  $\text{Im } \Lambda = Y$  gilt, so ist  $C(\Lambda) < \infty$ .*

**Theorem B.32** (Der verallgemeinerte Satz von Ljusternik). *Es seien  $X$  und  $Y$  Banachräume,  $\Lambda : X \rightarrow Y$  ein stetiger linearer Operator und  $F$  eine Abbildung einer gewissen Umgebung  $V$  des Punktes  $x_* \in X$  in  $Y$ . Wir setzen voraus, es sei  $\text{Im } \Lambda = Y$  und es gebe eine Zahl  $\delta > 0$  derart, dass erstens*

$$\delta C(\Lambda) < \frac{1}{2}$$

*und zweitens*

$$\|F(x) - F(x') - \Lambda(x - x')\| \leq \delta \|x - x'\| \quad (\text{B.1})$$

*für alle  $x, x'$  aus  $V$  gilt. Dann existieren eine Umgebung  $V' \subseteq V$  des Punktes  $x_*$ , eine Zahl  $K > 0$  und eine Abbildung  $\xi \rightarrow x(\xi)$  der Umgebung  $V'$  in  $X$  derart, dass die Beziehungen*

$$F(\xi + x(\xi)) = F(x_*) \quad \text{und} \quad \|x(\xi)\| \leq K \|F(\xi) - F(x_*)\|$$

*für alle  $\xi \in V'$  erfüllt sind.*

## C. Differentialgleichungen, Volterrasche Integralgleichungen

Ein grundlegende Einführung zu gewöhnlichen Differentialgleichungen liefert Heuser [43]. Bei Differentialgleichungen mit messbaren rechten Seiten verweisen wir auf Filippov [27]. Einführende Darstellungen zu Differentialgleichungen beruhen zumeist auf Gleichungen mit rechten Seiten, die stetig in der Gesamtheit der Variablen sind. Da in Steuerungsproblemen die rechte Seite der Dynamik für einen Steuerungsprozess typischerweise nicht stetig in der Zeitvariable ist, und somit die Rahmenbedingungen von der Standardtheorie abweichen, geben wir für die benötigten Resultate die Beweise an. Dabei folgen wir Ioffe & Tichomirov [48] in den Betrachtungen von Differentialgleichungen mit messbaren rechten Seiten. Außerdem erweitern wir die Theorie um notwendige Ergebnisse zu Differentialgleichungen über dem unbeschränkten Intervall  $\mathbb{R}_+$  und um Ergebnisse zu Volterraschen Integralgleichungen 2. Art.

### C.1. Lineare Gleichungen

Im Weiteren betrachten wir bezüglich  $x(\cdot)$  lineare Integralgleichungssysteme der Form

$$\zeta(t) = x(t) - \int_{\tau}^t [A(t, s)x(s) + a(s)] ds, \quad (\text{C.1})$$

$$\zeta(t) = x(t) - \int_{\tau}^t [A(s)x(s) + a(s)] ds \quad (\text{C.2})$$

und das lineare Differentialgleichungssystem

$$\dot{x}(t) = A(t)x(t) + a(t). \quad (\text{C.3})$$

Offensichtlich sind (C.3) ein Spezialfall von (C.2) und (C.2) ein Spezialfall von (C.1). Demzufolge basiert die eindeutige Lösbarkeit der Gleichungen (C.2) und (C.3) auf den Betrachtungen zur Gleichung (C.1) und dem zentralen Ergebnis in Form von Lemma C.2. Weiterhin beziehen sich die weiteren Ergebnisse, die aus Lemma C.2 erzielt werden, auf die eindeutige Lösbarkeit der Gleichungen (C.1)–(C.3) im Rahmen der Räume  $C([t_0, t_1], \mathbb{R}^n)$ ,  $C_{\text{lim}}(\mathbb{R}_+, \mathbb{R}^n)$  bzw.  $L_{\infty}([t_0, t_1], \mathbb{R}^n)$ .

**Bemerkung C.1.** Ist  $\zeta(\cdot)$  in  $\tau$  stetig, so muss eine Lösung  $x(\cdot)$  der Gleichung (C.1) in  $t = \tau$  stetig sein und  $x(\tau) = \zeta(\tau)$  gelten. Daher erfüllt  $x(\cdot)$  ebenso die Gleichung

$$\zeta(t) - \zeta(\tau) = x(t) - x(\tau) - \int_{\tau}^t [A(t, s)x(s) + a(s)] ds.$$

Folglich zieht die Lösbarkeit der Gleichung (C.1) die Existenz einer Lösung der Gleichung

$$\zeta_0(t) = x(t) - x(\tau) - \int_{\tau}^t [A(t, s)x(s) + a(s)] ds$$

mit einer in  $t = \tau$  stetigen Funktion  $\zeta_0(\cdot)$ , für die  $\zeta_0(\tau) = 0$  gilt, nach sich.  $\square$

**Lemma C.2.** *Es sei die Abbildung  $A(t, s)$  für  $t_0 \leq s, t \leq t_1$  in  $t$  stetig und in  $s$  messbar. Ferner existiere eine über  $[t_0, t_1]$  integrierbare Funktion  $c(\cdot)$  derart, dass  $\|A(t, s)\| \leq c(s)$  für fast alle  $(t, s)$  mit  $t_0 \leq s, t \leq t_1$  gilt. Weiter sei die Vektorfunktion  $a(\cdot)$  über  $[t_0, t_1]$  integrierbar. Dann existiert zu jeder Vektorfunktion  $\zeta(\cdot) \in C([t_0, t_1], \mathbb{R}^n)$  und jedem  $\tau \in [t_0, t_1]$  eine eindeutig bestimmte Lösung  $x(\cdot) \in C([t_0, t_1], \mathbb{R}^n)$  der Gleichung*

$$\zeta(t) = x(t) - \int_{\tau}^t [A(t, s)x(s) + a(s)] ds \quad \text{für alle } t \in [t_0, t_1].$$

**Beweis** Wir werden im Folgenden zeigen, dass die Fixpunktgleichung  $x(\cdot) = T(x(\cdot))$ , wobei der Operator  $T$  durch

$$x(\cdot) \rightarrow T(x(\cdot)), \quad T(x(\cdot))(t) = \zeta(t) + \int_{\tau}^t [A(t, s)x(s) + a(s)] ds, \quad t \in [t_0, t_1],$$

gegeben wird, stets eine eindeutige Lösung besitzt. Da  $A(t, s)$  in  $t$  stetig ist, bildet der Operator  $T$  den Raum  $C([t_0, t_1], \mathbb{R}^n)$  in sich ab. Mit der integrierbaren Funktion  $c(\cdot)$  in der Voraussetzung des Satzes seien zur abkürzenden Schreibweise

$$C(t) = \int_{\tau}^t c(s) ds, \quad c_0 = \int_{t_0}^{t_1} c(s) ds.$$

Bei mehrfacher Anwendung des Operators  $T$  ergeben sich für  $x_1(\cdot), x_2(\cdot) \in C([t_0, t_1], \mathbb{R}^n)$  die Beziehungen

$$\begin{aligned} \| [T(x_1(\cdot) - x_2(\cdot))] (t) \| &\leq \int_{\tau}^t c(s) ds \cdot \|x_1(\cdot) - x_2(\cdot)\|_{\infty}, \\ \| [T^2(x_1(\cdot) - x_2(\cdot))] (t) \| &\leq \int_{\tau}^t c(s) \| [T(x_1(\cdot) - x_2(\cdot))] (s) \| ds \\ &\leq \int_{\tau}^t c(s) C(s) ds \cdot \|x_1(\cdot) - x_2(\cdot)\|_{\infty} = \frac{1}{2} C^2(t) \cdot \|x_1(\cdot) - x_2(\cdot)\|_{\infty}, \\ &\vdots \\ \| [T^m(x_1(\cdot) - x_2(\cdot))] (t) \| &\leq \int_{\tau}^t c(s) \| [T^{m-1}(x_1(\cdot) - x_2(\cdot))] (s) \| ds \\ &\leq \int_{\tau}^t c(s) \frac{C^{m-1}(s)}{(m-1)!} ds \cdot \|x_1(\cdot) - x_2(\cdot)\|_{\infty} = \frac{C^m(t)}{m!} \cdot \|x_1(\cdot) - x_2(\cdot)\|_{\infty}. \end{aligned}$$

In der Topologie des Raumes  $C([t_0, t_1], \mathbb{R}^n)$  gilt daher

$$\| [T^m(x_1(\cdot) - x_2(\cdot))] \|_{\infty} \leq \frac{c_0^m}{m!} \cdot \|x_1(\cdot) - x_2(\cdot)\|_{\infty}.$$

Die Zahlen  $a_m = c_0^m/m!$  liefern eine Folge, deren Reihe konvergiert. Nach dem Fixpunktsatz von Weissinger (Satz B.16) existiert daher genau ein  $x(\cdot)$  mit  $x(\cdot) = Tx(\cdot)$ . ■

**Lemma C.3.** *Unter den Annahmen in Satz C.2 gibt es zu jedem  $\zeta(\cdot) \in L_\infty([t_0, t_1], \mathbb{R}^n)$  und jedem  $\tau \in [t_0, t_1]$  eine eindeutig bestimmte Lösung  $x(\cdot) \in L_\infty([t_0, t_1], \mathbb{R}^n)$  der Gleichung*

$$\zeta(t) = x(t) - \int_\tau^t [A(t, s)x(s) + a(s)] ds \quad \text{für fast alle } t \in [t_0, t_1].$$

**Beweis** Zum Nachweis von Lemma C.3 ist im Beweis von Lemma C.2 der Operator  $T$  als Abbildung von  $L_\infty([t_0, t_1], \mathbb{R}^n)$  in sich aufzufassen. ■

**Lemma C.4.** *Es seien die Abbildung  $t \rightarrow A(t)$  und die Vektorfunktion  $a(\cdot)$  über  $[t_0, t_1]$  integrierbar. Dann existiert zu jedem  $\zeta(\cdot) \in C([t_0, t_1], \mathbb{R}^n)$  und jedem  $\tau \in [t_0, t_1]$  eine eindeutig bestimmte Lösung  $x(\cdot) \in C([t_0, t_1], \mathbb{R}^n)$  der Gleichung*

$$\zeta(t) = x(t) - \int_\tau^t [A(s)x(s) + a(s)] ds \quad \text{für alle } t \in [t_0, t_1].$$

**Beweis** Mit der Setzung  $c(t) = \|A(t)\|$  folgt dies unmittelbar aus Lemma C.2. ■

**Lemma C.5.** *Es seien die Abbildung  $t \rightarrow A(t)$  und die Vektorfunktion  $a(\cdot)$  über  $\mathbb{R}_+$  integrierbar. Dann existiert zu jedem  $\zeta(\cdot) \in C_{\lim}(\mathbb{R}_+, \mathbb{R}^n)$  und jedem  $\tau \in \mathbb{R}_+$  eine eindeutig bestimmte Lösung  $x(\cdot) \in C_{\lim}(\mathbb{R}_+, \mathbb{R}^n)$  der Gleichung*

$$\zeta(t) = x(t) - \int_\tau^t [A(s)x(s) + a(s)] ds \quad \text{für alle } t \in \overline{\mathbb{R}}_+.$$

**Beweis** Wir ersetzen im Beweis von Satz C.2 das Intervall  $[t_0, t_1]$  durch  $\mathbb{R}_+$ . Ferner seien der Operator  $T$  wie dort definiert und

$$c(t) = \|A(t)\|, \quad C(t) = \int_\tau^t c(s) ds, \quad c_0 = \int_0^\infty c(s) ds.$$

Bei mehrfacher Anwendung des Operators  $T$  ergibt sich für  $x_1(\cdot), x_2(\cdot) \in C_{\lim}(\mathbb{R}_+, \mathbb{R}^n)$ :

$$\|T^m(x_1(\cdot) - x_2(\cdot))\|_\infty \leq \frac{c_0^m}{m!} \cdot \|x_1(\cdot) - x_2(\cdot)\|_\infty.$$

Die Zahlen  $a_m = c_0^m/m!$  liefern eine Folge, deren Reihe konvergiert. Nach dem Fixpunktsatz von Weissinger existiert daher genau ein  $x(\cdot)$  mit  $x(\cdot) = Tx(\cdot)$ . ■

**Lemma C.6.** *Es seien die Voraussetzungen in Lemma C.4 erfüllt und  $x(\cdot) \in C([t_0, t_1], \mathbb{R}^n)$  die eindeutige Lösung. Dann hat  $x(\cdot)$  eine verallgemeinerte Ableitung  $\dot{x}(\cdot) \in L_1([t_0, t_1], \mathbb{R}^n)$  und  $\dot{x}(\cdot)$  genügt für fast alle  $t \in [t_0, t_1]$  der Gleichung*

$$\dot{x}(t) = A(t)x(t) + a(t), \quad x(\tau) = \zeta.$$

**Beweis** Die Behauptung folgt unmittelbar aus Lemma C.4 mit  $\zeta(t) \equiv \zeta$ . ■

**Lemma C.7.** *Es seien die Voraussetzungen in Lemma C.5 erfüllt und  $x(\cdot) \in C_{\lim}(\mathbb{R}_+, \mathbb{R}^n)$  die eindeutige Lösung. Dann besitzt  $x(\cdot)$  eine verallgemeinerte Ableitung  $\dot{x}(\cdot) \in L_1(\mathbb{R}_+, \mathbb{R}^n)$  und  $\dot{x}(\cdot)$  genügt für fast alle  $t \in \mathbb{R}_+$  der Gleichung*

$$\dot{x}(t) = A(t)x(t) + a(t), \quad x(\tau) = \zeta, \quad x(\infty) := \lim_{t \rightarrow \infty} x(t).$$

**Beweis** Die Behauptung folgt aus Lemma C.5, wenn wir  $\zeta(t) \equiv \zeta$  setzen. ■

## C.2. Existenz und Eindeutigkeit, Abhängigkeit von Anfangsdaten

Wir widmen unser Interesse nun den nichtlinearen Differentialgleichungen der Form

$$\dot{x}(t) = \varphi(t, x(t)) \quad (\text{C.4})$$

und den nichtlinearen Volterraschen Integralgleichungen der Gestalt

$$x(t) = x(t_0) + \int_{t_0}^t \varphi(t, s, x(s)) ds. \quad (\text{C.5})$$

Da sich die Differentialgleichung (C.4) in der äquivalenten Form

$$x(t) = x(t_0) + \int_{t_0}^t \varphi(s, x(s)) ds \quad (\text{C.6})$$

als Spezialfall von (C.5) erweist, konzentrieren wir uns auf die Integralgleichung. Dementsprechend sind für die Gleichung (C.6) die nachstehenden Resultate lediglich ohne der äußeren Zeitvariable  $t$  zu formulieren und zu übernehmen.

Wir treffen für die weiteren Untersuchungen folgende Festlegungen:

- (1) Für  $\gamma > 0$  und  $x(\cdot) \in C([a, b], \mathbb{R}^n)$  sei  $\mathcal{R}$  der kompakte Umgebungsstreifen

$$\{(t, s, x) \in \mathbb{R} \times \mathbb{R} \times \mathbb{R}^n \mid a \leq s, t \leq b, \|x - x(t)\| \leq \gamma\}.$$

Ferner bezeichne  $U_\delta(x) \subset \mathbb{R}^n$  die offene Kugel  $\{z \in \mathbb{R}^n \mid \|z - x\| < \delta\}$ .

- (2) Die Abbildung  $\varphi(t, s, x)$  sei auf der Menge  $\mathcal{R}$  in der Variable  $x$  gleichmäßig stetig und gleichmäßig stetig differenzierbar, d. h. es gibt eine positive Konstante  $L$  mit

$$\|\varphi(t, s, x_1) - \varphi(t, s, x_2)\| \leq L\|x_1 - x_2\|, \quad \|\varphi_x(t, s, x_1) - \varphi_x(t, s, x_2)\| \leq L\|x_1 - x_2\|$$

für alle  $(t, s, x_1), (t, s, x_2) \in \mathcal{R}$ .

- (3) Die Abbildungen  $\varphi(t, s, x)$  und  $\varphi_x(t, s, x)$  seien auf der Menge  $\mathcal{R}$  in der Variable  $t$  stetig und in der Variable  $s$  messbar.

- (4) Die Abbildungen  $\varphi(t, s, x)$  und  $\varphi_x(t, s, x)$  seien über  $\mathcal{R}$  beschränkt und es gelten  $\|\varphi(t, s, x)\| \leq M, \|\varphi_x(t, s, x)\| \leq M$  über  $\mathcal{R}$  mit der positiven Konstanten  $M$ .

**Satz C.8** (Lokaler Fixpunkt). *Zu jedem inneren Punkt  $(t_0, t_0, \xi)$  der Menge  $\mathcal{R}$  gibt es Zahlen  $\varepsilon > 0$  und  $\delta > 0$  derart, dass über dem Intervall  $I = [t_0 - \varepsilon, t_0 + \varepsilon]$  die Abbildung*

$$A : C(I, \mathbb{R}^n) \rightarrow C(I, \mathbb{R}^n), \quad [Ax(\cdot)](t) = \xi(t) + \int_{t_0}^t \varphi(t, s, x(s)) ds, \quad t \in I,$$

für jedes  $\xi(\cdot) \in C(I, \mathbb{R}^n)$  mit  $\|\xi(\cdot) - \xi\|_\infty < \delta$  genau einen Fixpunkt  $x_\xi(\cdot) \in C(I, \mathbb{R}^n)$  besitzt. Unter diesen Voraussetzungen gilt ferner für die Fixpunkte  $x_{\xi_1}(\cdot), x_{\xi_2}(\cdot) \in C(I, \mathbb{R}^n)$  der Abbildung  $A$  zu den Funktionen  $\xi_1(\cdot), \xi_2(\cdot) \in C(I, \mathbb{R}^n)$  die Ungleichung

$$\|x_{\xi_1}(\cdot) - x_{\xi_2}(\cdot)\|_\infty \leq \frac{1}{1 - \varepsilon L} \|\xi_1(\cdot) - \xi_2(\cdot)\|_\infty.$$

**Beweis** Wir wählen die positiven Zahlen  $\varepsilon$  und  $\delta$  so, dass

$$\{(t, s, x) \in \mathbb{R} \times \mathbb{R} \times \mathbb{R}^n \mid a < t_0 - \varepsilon \leq s, t \leq t_0 + \varepsilon < b, \|x - \xi\| < 2\delta\} \subset \mathcal{R} \quad (\text{C.7})$$

gelten und weiterhin die Beziehungen  $\varepsilon L < 1$  und  $\varepsilon M < \delta$  erfüllt sind.

Wir betrachten im Raum  $C(I, \mathbb{R}^n)$  die abgeschlossene und konvexe Teilmenge

$$K = \{x(\cdot) \in C(I, \mathbb{R}^n) \mid \|x(t) - \xi\| \leq 2\delta \text{ für alle } t \in I = [t_0 - \varepsilon, t_0 + \varepsilon]\}.$$

Es sei  $\xi(\cdot) \in C(I, \mathbb{R}^n)$  mit  $\|\xi(\cdot) - \xi\|_\infty < \delta$ . Für  $x(\cdot) \in K$  und  $t \in I$  gilt dann

$$\begin{aligned} \| [Ax(\cdot)](t) - \xi \| &\leq \| [Ax(\cdot)](t) - \xi(t) \| + \| \xi(t) - \xi \| < \left\| \int_{t_0}^t \varphi(t, s, x(s)) ds \right\| + \delta \\ &\leq \int_{t_0}^t M ds + \delta \leq \varepsilon M + \delta < 2\delta, \end{aligned}$$

d. h., die Abbildung  $A$  bildet die Menge  $K$  in sich ab. Ferner gilt für  $x_1(\cdot), x_2(\cdot) \in K$

$$\begin{aligned} \| Ax_1(\cdot) - Ax_2(\cdot) \|_\infty &= \max_{t \in I} \left\| \int_{t_0}^t [\varphi(t, s, x_1(s)) - \varphi(t, s, x_2(s))] ds \right\| \\ &\leq \max_{t \in I} \int_{t_0}^t L \|x_1(s) - x_2(s)\| ds \leq \varepsilon L \cdot \|x_1(\cdot) - x_2(\cdot)\|_\infty, \end{aligned}$$

d. h., die Abbildung  $A$  ist wegen  $\varepsilon L < 1$  kontrahierend. Nach dem Banachschen Fixpunktsatz besitzt die Abbildung  $A$  einen eindeutigen Fixpunkt  $x(\cdot) \in K$ .

Es seien die Funktion  $\xi_1(\cdot), \xi_2(\cdot) \in C(I, \mathbb{R}^n)$  mit  $\|\xi_1(\cdot) - \xi\|_\infty \leq \delta, \|\xi_2(\cdot) - \xi\|_\infty \leq \delta$  und es seien  $x_{\xi_1}(\cdot), x_{\xi_2}(\cdot) \in C(I, \mathbb{R}^n)$  die zugehörigen Fixpunkte der Abbildung  $A$ . Dann gilt

$$\begin{aligned} \|x_{\xi_1}(\cdot) - x_{\xi_2}(\cdot)\|_\infty &= \max_{t \in I} \left\| \xi_1(t) - \xi_2(t) + \int_{t_0}^t [\varphi(t, s, x_{\xi_1}(s)) - \varphi(t, s, x_{\xi_2}(s))] ds \right\| \\ &\leq \|\xi_1(\cdot) - \xi_2(\cdot)\|_\infty + \varepsilon L \cdot \|x_{\xi_1}(\cdot) - x_{\xi_2}(\cdot)\|_\infty. \end{aligned}$$

Daraus ergibt sich abschließend

$$\|x_{\xi_1}(\cdot) - x_{\xi_2}(\cdot)\|_\infty \leq \frac{1}{1 - \varepsilon L} \|\xi_1(\cdot) - \xi_2(\cdot)\|_\infty.$$

Der Satz C.8 ist damit vollständig nachgewiesen. ■

**Satz C.9** (Lokaler Existenz-, Eindeutigkeits- und Stetigkeitssatz). *Zu jedem inneren Punkt  $(t_0, t_0, \xi)$  der Menge  $\mathcal{R}$  gibt es Zahlen  $\varepsilon > 0$  und  $\delta > 0$ , so dass zu jedem  $z \in U_\delta(\xi)$  genau eine stetige Lösung  $x_z(\cdot)$  der Gleichung (C.5) zur Anfangsbedingung  $x(t_0) = z$  auf dem Intervall  $I = [t_0 - \varepsilon, t_0 + \varepsilon]$  existiert.*

*Ist ferner  $\{z_k\}$  eine Folge aus  $U_\delta(\xi)$ , die gegen  $z \in U_\delta(\xi)$  konvergiert, so gilt*

$$\max_{t \in I} \|x_{z_k}(t) - x_z(t)\|_\infty \leq \frac{1}{1 - \varepsilon L} \|z_k - z\|$$

*und  $\{x_{z_k}(\cdot)\}$  konvergiert auf  $I$  gleichmäßig gegen  $x_z(\cdot)$ .*

**Beweis** Nach Satz C.8 können wir  $\varepsilon > 0$  und  $\delta > 0$  so wählen, dass die Abbildung

$$[Ax(\cdot)](t) = z + \int_{t_0}^t \varphi(t, s, x(s)) ds, \quad t \in I = [t_0 - \varepsilon, t_0 + \varepsilon],$$

für jedes  $z \in U_\delta(\xi)$  genau einen Fixpunkt  $x_z(\cdot) \in C(I, \mathbb{R}^n)$  besitzt, d. h.

$$Ax_z(\cdot) = x_z(\cdot) \quad \Leftrightarrow \quad x_z(t) = z + \int_{t_0}^t \varphi(t, s, x_z(s)) ds \quad \text{für alle } t \in I = [t_0 - \varepsilon, t_0 + \varepsilon].$$

Die Existenz und Eindeutigkeit der Lösung ist damit gezeigt.

Weiter sei  $\delta > 0$  so gewählt, dass (C.7) erfüllt ist. Es seien nun  $z_1, z_2 \in U_\delta(\xi)$ . Dann existieren die Lösungen  $x_{z_1}(\cdot), x_{z_2}(\cdot)$  der Gleichung (C.5) über  $I$  und nehmen Werte in der Menge  $U_{2\delta}(\xi)$  an. Nach Satz C.8 ist die Ungleichung

$$\|x_{z_1}(\cdot) - x_{z_2}(\cdot)\|_\infty \leq \frac{1}{1 - \varepsilon L} \|z_1 - z_2\|$$

erfüllt, welche die gleichmäßige Konvergenz von  $x_{z_k}(\cdot)$  gegen  $x_z(\cdot)$  für  $z_k \rightarrow z$  bedeutet. Satz C.9 ist somit vollständig bewiesen. ■

Ist  $x(\cdot)$  über  $[t_0, t_1]$  eine Lösung der Gleichung (C.6), so lässt sich  $x(\cdot)$  formal durch

$$x(t) = x(t_1) + \int_{t_1}^t \varphi(s, x(s)) ds$$

zu einer Lösung über  $[t_0, t_1 + \varepsilon]$  fortsetzen. Im Fall von Gleichung (C.5) führt

$$x(t) = x(t_1) + \int_{t_1}^t \varphi(t, s, x(s)) ds$$

im Allgemeinen nicht zu der gewünschten Fortsetzung. Stattdessen erfolgt eine Fortsetzung der Gleichung (C.5) an der Stelle  $t = t_1$  nicht mit dem Anfangswert  $x(t_1)$ , sondern mit einer Funktion  $\xi(t)$ , für die  $\xi(t_1) = x(t_1)$  gilt. Dieser Sachverhalt ist der Gegenstand der nachstehen Untersuchung:

**Lemma C.10** (Lokale Fortsetzbarkeit). *Es sei  $x(\cdot)$  über  $[t_0, t_1] \subset (a, b)$  eine Lösung von (C.5) und es sei  $(t_1, t_1, x(t_1))$  ein innerer Punkt der Menge  $\mathcal{R}$ . Dann existiert eine Zahl  $\varepsilon > 0$  derart, dass  $x(\cdot)$  eindeutig zu einer stetigen Lösung der Gleichung (C.5) über dem Intervall  $[t_0, t_1 + \varepsilon]$  fortgesetzt werden kann. Die Fortsetzung ergibt sich für  $t \in [t_1, t_1 + \varepsilon]$  als die eindeutige Lösung der Gleichung*

$$x(t) = \xi(t) + \int_{t_1}^t \varphi(t, s, x(s)) ds \quad \text{mit} \quad \xi(t) = x(t_0) + \int_{t_0}^{t_1} \varphi(t, s, x(s)) ds. \quad (\text{C.8})$$

**Beweis** Als Lösung der Gleichung (C.5) gilt für  $x(\cdot)$  in  $t = t_1$  die Beziehung

$$x(t_1) = x(t_0) + \int_{t_0}^{t_1} \varphi(t_1, s, x(s)) ds.$$

Damit bringen wir die Abbildung  $t \rightarrow \xi(t)$  in die Form

$$\xi(t) = x(t_1) + \int_{t_0}^{t_1} [\varphi(t, s, x(s)) - \varphi(t_1, s, x(s))] ds. \quad (\text{C.9})$$

Nun sieht man unmittelbar, dass  $t \rightarrow \xi(t)$  für hinreichend kleine  $\varepsilon > 0$  auf  $[t_1, t_1 + \varepsilon]$  stetig ist und  $\xi(t_1) = x(t_1)$  gilt. Daher kann zu jedem  $\delta > 0$  ein  $\varepsilon > 0$  gewählt werden, dass  $\|\xi(t) - x(t_1)\| < \delta$  über  $[t_1, t_1 + \varepsilon]$  erfüllt ist. Nach Satz C.8 besitzt die Abbildung

$$[Ay(\cdot)](t) = \xi(t) + \int_{t_1}^t \varphi(t, s, y(s)) ds, \quad t \in [t_1, t_1 + \varepsilon],$$

für hinreichend kleine  $\varepsilon > 0$  und  $\delta > 0$  genau einen Fixpunkt  $y(\cdot) \in C([t_1, t_1 + \varepsilon], \mathbb{R}^n)$ . Es gilt  $y(t_1) = x(t_1)$ . Setzen wir zudem  $y(t) = x(t)$  für  $t \in [t_0, t_1]$ , so ist  $y(\cdot) \in C([t_0, t_1 + \varepsilon], \mathbb{R}^n)$  eine Fortsetzung der Lösung  $x(\cdot)$  von (C.5). Denn offenbar erfüllt  $y(\cdot)$  für jedes  $t \in [t_0, t_1]$  die Gleichung (C.5). Für  $t \in (t_1, t_1 + \varepsilon]$  folgt

$$\begin{aligned} y(t) &= \xi(t) + \int_{t_1}^t \varphi(t, s, y(s)) ds = x(t_0) + \int_{t_0}^{t_1} \varphi(t, s, x(s)) ds + \int_{t_1}^t \varphi(t, s, y(s)) ds \\ &= x(t_0) + \int_{t_0}^{t_1} \varphi(t, s, y(s)) ds + \int_{t_1}^t \varphi(t, s, y(s)) ds = x(t_0) + \int_{t_0}^t \varphi(t, s, y(s)) ds. \end{aligned}$$

Damit löst  $y(\cdot)$  die Gleichung  $y(t) = x(t_0) + \int_{t_0}^t \varphi(t, s, y(s)) ds$  für alle  $t \in [t_0, t_1 + \varepsilon]$ .

Ist umgekehrt  $\zeta(\cdot)$  eine fortgesetzte Lösung der Gleichung (C.5) von  $x(\cdot)$ , d. h.  $\zeta(t) = x(t)$  für alle  $t \in [t_0, t_1]$ , so gilt für  $t > t_1$ :

$$\zeta(t) = x(t_0) + \int_{t_0}^t \varphi(t, s, \zeta(s)) ds = x(t_0) + \underbrace{\int_{t_0}^{t_1} \varphi(t, s, x(s)) ds}_{=\xi(t)} + \int_{t_1}^t \varphi(t, s, \zeta(s)) ds.$$

Damit wird  $x(\cdot)$  nur durch die eindeutige Lösung von (C.8) fortgesetzt. ■

**Satz C.11** (Globaler Existenz-, Eindeutigkeits- und Stetigkeitssatz). *Über  $[t_0, t_1]$  sei  $x(\cdot)$  eine stetige Lösung der Gleichung (C.5) zum Anfangswert  $x(t_0) = x_0$ , für die die Menge  $\{(t, s, x) \in \mathbb{R} \times \mathbb{R} \times \mathbb{R}^n \mid t_0 \leq s, t \leq t_1, x = x(s)\}$  dem Inneren der Menge  $\mathcal{R}$  angehört. Dann existiert ein  $\delta > 0$  derart, dass für jedes  $z \in U_\delta(x_0)$  die Gleichung*

$$x(t) = z + \int_{t_0}^t \varphi(t, s, x(s)) ds \quad (\text{C.10})$$

*eine eindeutige stetige Lösung  $x_z(\cdot)$  über  $[t_0, t_1]$  besitzt und die Funktionen  $x_z(\cdot)$  gleichmäßig gegen  $x(\cdot)$  über  $[t_0, t_1]$  für  $z \rightarrow x_0$  konvergieren.*

**Beweis** Nach Satz C.9 gibt es ein  $\delta > 0$  und ein  $\tau > t_0$  derart, dass für jedes  $z \in U_\delta(x_0)$  die Gleichung (C.10) eine Lösung über  $[t_0, \tau]$  besitzt und die Funktionen  $x_z(\cdot)$  gleichmäßig gegen  $x(\cdot)$  über  $[t_0, \tau]$  für  $z \rightarrow x_0$  konvergieren. Im Weiteren sei  $\bar{\tau}$  durch das Supremum über alle  $\tau > t_0$  mit dieser Eigenschaft definiert. D. h. es gibt ein  $\delta > 0$  derart, dass für jedes  $z \in U_\delta(x_0)$  eine Lösung  $x_z(\cdot)$  von (C.10) über  $[t_0, \bar{\tau}]$  existiert und die Funktionen  $x_z(\cdot)$  gleichmäßig gegen  $x(\cdot)$  über  $[t_0, \bar{\tau}]$  für  $z \rightarrow x_0$  konvergieren. Zum Beweis des Satzes ist es ausreichend, die Beziehung  $\bar{\tau} > t_1$  nachzuweisen.

Angenommen, es ist  $\bar{\tau} \leq t_1$ . Dann ist  $(\bar{\tau}, \bar{\tau}, x(\bar{\tau}))$  ein innerer Punkt der Menge  $\mathcal{R}$ . Nach Satz C.9 lässt sich zu jedem  $\varrho > 0$  ein  $\delta > 0$  derart angeben, dass  $\|x_z(\cdot) - x(\cdot)\|_\infty \leq \varrho$  für alle  $z \in U_\delta(x_0)$  gilt. Insbesondere konvergiert  $x_z(\cdot)$  gegen  $x(\cdot)$  gleichmäßig für  $z \rightarrow x_0$  und es ist  $x_z(\bar{\tau}) \in U_\varrho(x(\bar{\tau}))$ .

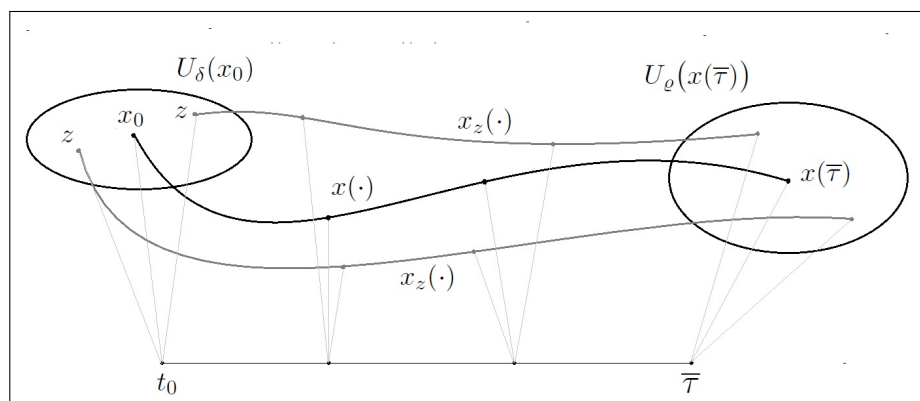


Abbildung 19: Für jedes  $z \in U_\delta(x_0)$  gehört  $x_z(\bar{\tau})$  zu  $U_\varrho(x(\bar{\tau}))$ .

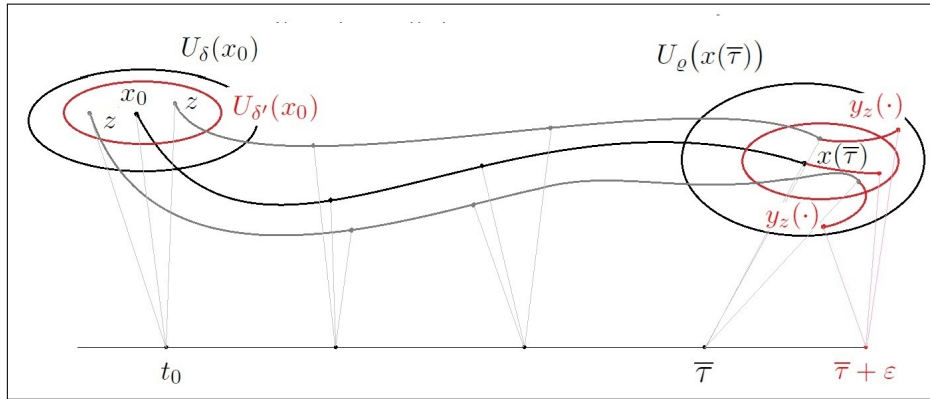
Sei zunächst  $x_z(\cdot)$  die stetige Lösung von (C.10) über  $[t_0, \bar{\tau}]$  zu einem festen  $z \in U_\delta(x_0)$ . Dann gibt es nach Lemma C.10 eine Zahl  $\varepsilon > 0$  und eine stetige Fortsetzung  $y_z(\cdot)$  von  $x_z(\cdot)$ , welche die Gleichung (C.10) über  $[t_0, \bar{\tau} + \varepsilon]$  löst. Die Fortsetzung  $y_z(\cdot)$  ist für  $t \in [\bar{\tau}, \bar{\tau} + \varepsilon]$  die Lösung der Gleichung

$$y_z(t) = \xi_z(t) + \int_{\bar{\tau}}^t \varphi(t, s, y_z(s)) ds \quad \text{mit} \quad \xi_z(t) = z + \int_{t_0}^{\bar{\tau}} \varphi(t, s, x_z(s)) ds.$$

Es ist nun zu zeigen, dass zu jedem  $\varrho > 0$  eine Kugel  $U_{\delta'}(x_0) \subseteq U_\delta(x_0)$  und ein  $\varepsilon > 0$  so angeben lassen, dass für alle  $z \in U_{\delta'}(x_0)$  sich die Lösungen  $x_z(\cdot)$  durch  $y_z(\cdot)$  auf  $t \in [\bar{\tau}, \bar{\tau} + \varepsilon]$  fortsetzen lassen und die Ungleichung

$$\max_{t \in [\bar{\tau}, \bar{\tau} + \varepsilon]} \|y_z(t) - y(t)\| \leq \varrho$$

erfüllt ist. Denn dann konvergiert  $x_z(\cdot)$  zusammen mit der zugehörigen Fortsetzung  $y_z(\cdot)$  gleichmäßig über  $[t_0, \bar{\tau} + \varepsilon]$  gegen die Lösung  $x(\cdot)$  und deren Fortsetzung  $y(\cdot)$ .


 Abbildung 20: Die Fortsetzungen  $y_z(\cdot)$  von  $x_z(\cdot)$ .

Nach Satz C.8 existieren  $\varepsilon > 0$  und  $\varrho > 0$  derart, dass die Abbildung  $A$  für jedes stetige  $\xi(\cdot)$  mit  $\|\xi(t) - x(\bar{t})\| < \varrho$  für alle  $t \in [\bar{t}, \bar{t} + \varepsilon]$  genau einen Fixpunkt  $x_\xi(\cdot)$  über  $[\bar{t}, \bar{t} + \varepsilon]$  besitzt. Weiterhin wählen wir  $\varepsilon$  mit  $\varepsilon L < 1$  und den Radius  $\delta'$  der Kugel  $U_{\delta'}(x_0)$  mit

$$\max_{t \in [t_0, \bar{t}]} \|x_z(t) - x(t)\| < \frac{1 - \varepsilon L}{1 + 2L(\bar{t} - t_0)} \varrho \quad \text{für alle } z \in U_{\delta'}(x_0).$$

Die positiven Zahlen  $\varepsilon$ ,  $\varrho$ ,  $\delta'$  seien im Weiteren so vorgegeben. Ferner bezeichnen  $\xi(\cdot)$  bzw.  $\xi_z(\cdot)$  die Funktion, mit deren Hilfe die Fortsetzungen für  $t > \bar{t}$  gebildet werden:

$$\xi(t) = x(t_0) + \int_{t_0}^{\bar{t}} \varphi(t, s, x(s)) ds, \quad \xi_z(t) = z + \int_{t_0}^{\bar{t}} \varphi(t, s, x_z(s)) ds.$$

Für  $z \in U_{\delta'}(x_0)$  ergeben sich mit den Darstellungen von  $\xi(\cdot)$  und  $\xi_z(\cdot)$  in der Form (C.9):

$$\begin{aligned} \|\xi_z(t) - \xi(t)\| &= \left\| x_z(\bar{t}) - x(\bar{t}) + \int_{t_0}^{\bar{t}} [\varphi(t, s, x_z(s)) - \varphi(t, s, x(s))] ds \right. \\ &\quad \left. + \int_{t_0}^{\bar{t}} [\varphi(\bar{t}, s, x_z(s)) - \varphi(\bar{t}, s, x(s))] ds \right\| \\ &\leq \|x_z(\bar{t}) - x(\bar{t})\| + 2L(\bar{t} - t_0) \cdot \max_{t \in [t_0, \bar{t}]} \|x_z(t) - x(t)\|. \end{aligned}$$

Mit Hilfe von Satz C.8 ergibt sich für die Fortsetzungen  $y_z(\cdot)$ ,  $y(\cdot)$  nun der Abstand

$$\begin{aligned} \max_{t \in [\bar{t}, \bar{t} + \varepsilon]} \|y_z(t) - y(t)\| &\leq \frac{1}{1 - \varepsilon L} \cdot \max_{t \in [\bar{t}, \bar{t} + \varepsilon]} \|\xi_z(t) - \xi(t)\| \\ &\leq \frac{1 + 2L(\bar{t} - t_0)}{1 - \varepsilon L} \cdot \max_{t \in [t_0, \bar{t}]} \|x_z(t) - x(t)\| < \varrho. \end{aligned}$$

Dies zeigt, dass sich zu jedem  $\varrho > 0$  positive Zahlen  $\varepsilon$  und  $\delta'$  so angeben lassen, dass über  $[t_0, \bar{t} + \varepsilon]$  die Ungleichung  $\|y_z(t) - y(t)\| < \varrho$  für alle  $z \in U_{\delta'}(x_0)$  erfüllt ist; also die fortgesetzten Lösungen  $x_z(\cdot)$  gleichmäßig gegen  $x(\cdot)$  über  $[t_0, \bar{t} + \varepsilon]$  für  $z \rightarrow x_0$  konvergieren. Daher muss  $\bar{t} > t_1$  gelten. Der Satz C.11 ist damit bewiesen. ■

**Satz C.12** (Differenzierbarkeitssatz). *Es seien  $x_0(\cdot)$  und  $x_z(\cdot)$  die Lösungen von (C.10) zu den Anfangswerten  $x_0$  bzw.  $z \in U_\delta(x_0)$  in Satz C.11. Weiter bezeichne  $\Phi$  die Abbildung, die jedem Anfangswert  $z \in U_\delta(x_0)$  die Lösung  $x_z(\cdot)$  von (C.10) zuordnet.*

*Dann ist  $\Phi : U_\delta(x_0) \rightarrow C([t_0, t_1], \mathbb{R}^n)$  mit  $\Phi(z) = x_z(\cdot)$  in  $x_0$  stetig differenzierbar, und für jedes  $y \in \mathbb{R}^n$  genügt die Ableitung*

$$\lim_{\lambda \rightarrow 0} \frac{\Phi(x_0 + \lambda y) - \Phi(x_0)}{\lambda} = \Phi'(x_0)y = \xi_y(\cdot) \in C([t_0, t_1], \mathbb{R}^n)$$

der linearen Integralgleichung

$$\xi_y(t) = y + \int_{t_0}^t \varphi_x(t, s, x_0(s)) \xi_y(s) ds, \quad t \in [t_0, t_1].$$

**Beweis** Wir betrachten die Abbildung  $F : \mathbb{R}^n \times C([t_0, t_1], \mathbb{R}^n) \rightarrow C([t_0, t_1], \mathbb{R}^n)$ , die durch

$$[F(z, x(\cdot))](t) = x(t) - z - \int_{t_0}^t \varphi(t, s, x(s)) ds = [G(x(\cdot))](t) - z$$

definiert ist. Wie im Beispiel B.8 zeigt man, dass die Abbildung  $F$  in einer Umgebung des Punktes  $x_0(\cdot)$  nach  $x(\cdot)$  stetig differenzierbar ist und die Ableitung

$$[F_{x(\cdot)}(z, x(\cdot))y(\cdot)](t) = y(t) - \int_{t_0}^t \varphi_x(t, s, x(s))y(s) ds$$

besitzt. Es gilt  $F(x_0, x_0(\cdot)) = 0$ , da  $x_0(\cdot)$  Lösung (C.10) zum Anfangswert  $x_0$  ist. Ferner stellt nach Lemma C.2 der Operator  $F_{x(\cdot)}(x_0, x_0(\cdot))$  eine lineare homöomorphe Abbildung des Raumes  $C([t_0, t_1], \mathbb{R}^n)$  in sich dar. Gemäß Satz B.17 über implizite Funktionen wird in einer hinreichend kleinen Umgebung  $U_\delta(x_0)$  des Punktes  $x_0$  eine stetig differenzierbare Abbildung  $z \rightarrow x_z(\cdot)$  in den Raum  $C([t_0, t_1], \mathbb{R}^n)$  definiert, für die  $F(z, x_z(\cdot)) = 0$  gilt. Diese Abbildung ist in  $x_0$  stetig differenzierbar. Die Bedingung  $F(z, x_z(\cdot)) = 0$  bedeutet

$$x_z(t) = z + \int_{t_0}^t \varphi(t, s, x_z(s)) ds,$$

d. h., dass diese Abbildung jedem Anfangswert  $z \in U_\delta(x_0)$  die Lösung  $x_z(\cdot)$  von (C.10) zuordnet. Demnach wird dadurch die Abbildung  $\Phi$  beschrieben und  $\Phi$  ist in  $x_0$  stetig differenzierbar. Ihre Ableitung ordnet nach Satz B.17 jedem  $y \in \mathbb{R}^n$  die Vektorfunktion

$$\Phi'(x_0)y = \xi_y(\cdot) = -F_{x(\cdot)}^{-1}(x_0, x_0(\cdot)) \circ [F_z(x_0, x_0(\cdot))y] = -F_{x(\cdot)}^{-1}(x_0, x_0(\cdot))y(\cdot)$$

zu, wobei  $F_z(x_0, x_0(\cdot))y$  die Funktion  $y(\cdot)$  mit  $y(t) \equiv y$  liefert. Weiter lässt sich die Beziehung  $\xi_y(\cdot) = F_{x(\cdot)}^{-1}(x_0, x_0(\cdot))y(\cdot)$  in die Form

$$F_{x(\cdot)}(x_0, x_0(\cdot))\xi_y(\cdot) = y(\cdot) \quad \Leftrightarrow \quad \xi_y(t) - \int_{t_0}^t \varphi_x(t, s, x_0(s))\xi_y(s) ds = y$$

bringen. Der Satz ist damit bewiesen. ■

## D. Elemente der Konvexen Analysis

Bei der Zusammenstellung der grundlegenden Ergebnisse beschränken wir uns auf die Eigenschaften konvexer und lokalkonvexer Funktionen nach Clarke [16], Ioffe & Tichomirov [48] und Rockafellar [64]. Im vorliegenden Rahmen stimmen die klassische Richtungsableitung und der Clarkesche Gradient überein. Deswegen verweisen wir bezüglich Lemma D.1 und bezüglich der Kettenregel D.3 auf [48].

### D.1. Das Subdifferential konvexer Funktionen

Es seien  $X, Y$  Banachräume. Eine Funktion  $f$  auf  $X$  ist in der Konvexen Analysis eine Abbildung in die erweiterte reelle Zahlengerade, d. h.  $f : X \rightarrow \overline{\mathbb{R}} = [-\infty, \infty]$ . Der effektive Definitionsbereich der Abbildung  $f$  ist die Menge  $\text{dom } f = \{x \in X \mid f(x) < \infty\}$ . Die Funktion  $f$  heißt eigentlich, falls  $\text{dom } f \neq \emptyset$  und  $f(x) > -\infty$  für alle  $x \in X$  gelten. Die eigentliche Funktion  $f$  heißt konvex, wenn für alle  $x_1, x_2 \in X$  und alle  $0 \leq \alpha \leq 1$  folgende Ungleichung gilt:

$$f(\alpha x_1 + (1 - \alpha)x_2) \leq \alpha f(x_1) + (1 - \alpha)f(x_2).$$

Die Funktion  $f$  heißt homogen, falls  $f(0) = 0$  und  $f(\lambda x) = \lambda f(x)$  für alle  $x \in X$ ,  $\lambda > 0$  ist. Eine eigentliche konvexe Funktion ist genau dann in einem Punkt stetig, wenn sie auf einer Umgebung dieses Punktes nach oben beschränkt ist. In diesem Fall ist das Innere des effektiven Definitionsbereichs nichtleer. Ist andererseits eine homogene Funktion auf einer Umgebung des Nullpunktes stetig, so ist sie auf  $X$  stetig.

Ist  $f$  eine eigentliche konvexe Funktion auf  $X$ , dann existiert in jedem Punkt der Menge  $\text{dom } f$  die klassische Richtungsableitung, d. h. für alle  $z \in X$  der Grenzwert

$$f'(x; z) = \lim_{\lambda \rightarrow 0^+} \frac{f(x + \lambda z) - f(x)}{\lambda}.$$

Sei  $f$  eigentlich, konvex und in  $x$  stetig. Dann ist  $f$  auf einer Umgebung des Punktes  $x$  nach oben beschränkt, in  $x$  lokal Lipschitz-stetig und es existiert der Clarkesche Gradient

$$f^\circ(x; z) = \limsup_{\substack{y \rightarrow x \\ \lambda \rightarrow 0^+}} \frac{f(y + \lambda z) - f(y)}{\lambda}.$$

Unter diesen Voraussetzungen ist außerdem die Funktion  $f$  im Punkt  $x$  regulär im Sinn der Konvexen Analysis, d. h.  $f'(x; \cdot) = f^\circ(x; \cdot)$ . Das Subdifferential der eigentlichen konvexen Funktion  $f$  besteht im Punkt  $x$  aus allen Subgradienten  $x^* \in X^*$ , d. h.

$$\partial f(x) = \{x^* \in X^* \mid f(z) - f(x) \geq \langle x^*, z - x \rangle \text{ für alle } z \in X\}.$$

Für eine eigentliche konvexe Funktion  $f$  gilt  $\partial f(x) = \partial f'(x; 0)$  für alle  $x \in \text{dom } f$ . Ist  $f$  eine eigentliche homogene konvexe Funktion und  $x \neq 0$ , dann ist

$$\partial f(x) = \{x^* \in \partial f(0) \mid f(x) = \langle x^*, x \rangle\}.$$

Mit  $\partial_x f(x, y)$  bezeichnen wir das Subdifferential der Abbildung  $x \rightarrow f(x, y)$ .

### D.2. Lokalkonvexe Funktionen

Es seien  $X, Y$  Banachräume. Eine auf  $X$  definierte Funktion  $G$  heißt im Punkt  $x_0$  lokalkonvex, wenn ihre Richtungsableitung in diesem Punkt existiert und  $x \rightarrow G'(x_0; x)$  konvex ist. Im Folgenden seien  $g : X \rightarrow Y$  im Punkt  $x_0 \in X$  Fréchet-differenzierbar und  $f : Y \rightarrow \overline{\mathbb{R}}$  eigentlich, konvex und im Punkt  $g(x_0)$  stetig.

**Lemma D.1.** *Die Funktion  $G : X \rightarrow \overline{\mathbb{R}}$ ,  $G(x) = f(g(x))$ , besitzt in  $x_0$  eine klassische Richtungsableitung, es gilt*

$$G'(x_0; x) = f'(g(x_0); g'(x_0)x)$$

und die Richtungsableitung konvergiert bezüglich jeder Richtung  $x$  gleichmäßig:

$$\left| \frac{G(x_0 + \lambda z) - G(x_0)}{\lambda} - G'(x_0; x) \right| < \varepsilon \quad \text{für alle } z \in U(x), 0 < \lambda < \lambda_0.$$

Insbesondere folgt aus der gleichmäßigen Differenzierbarkeit bezüglich aller Richtungen, dass die Richtungsableitung der Abbildung  $G$  eine stetige Funktion ist.

**Lemma D.2.** *Die Funktion  $G(x) = f(g(x))$  ist in  $x_0$  regulär.*

**Beweis** Nach Definition des  $\limsup$  existieren Folgen  $x_n \rightarrow x_0$  und  $\lambda_n \rightarrow 0^+$  mit

$$\lim_{n \rightarrow \infty} \frac{G(x_n + \lambda_n x) - G(x_n)}{\lambda_n} = G^\circ(x_0; x).$$

Unter den getroffenen Voraussetzungen gilt  $f'(g(x_0); g'(x_0)x) = f^\circ(g(x_0); g'(x_0)x)$  und wir erhalten

$$\begin{aligned} G^\circ(x_0; x) &= \lim_{n \rightarrow \infty} \frac{G(x_n + \lambda_n x) - G(x_n)}{\lambda_n} = \lim_{n \rightarrow \infty} \frac{f(g(x_n + \lambda_n x)) - f(g(x_n))}{\lambda_n} \\ &\leq \limsup_{\substack{y \rightarrow x \\ \lambda \rightarrow 0^+}} \frac{f(g(y + \lambda x)) - f(g(y))}{\lambda} = f'(g(x_0); g'(x_0)x) = G'(x_0; x). \end{aligned}$$

Andererseits folgt unmittelbar die Relation

$$G'(x_0; x) = \lim_{\lambda \rightarrow 0^+} \frac{G(x_0 + \lambda x) - G(x_0)}{\lambda} \leq \limsup_{\substack{y \rightarrow x \\ \lambda \rightarrow 0^+}} \frac{G(y + \lambda x) - G(y)}{\lambda} = G^\circ(x_0; x).$$

Beide Ungleichungen zeigen  $G'(x_0; \cdot) = G^\circ(x_0; \cdot)$ . ■

**Satz D.3** (Kettenregel). *Es seien  $g : X \rightarrow Y$  im Punkt  $x_0 \in X$  Fréchet-differenzierbar und  $f : Y \rightarrow \overline{\mathbb{R}}$  eigentlich, konvex und im Punkt  $g(x_0)$  stetig. Dann ist die Funktion  $G(x) = f(g(x))$  im Punkt  $x_0$  regulär und es gilt*

$$\partial G(x_0) = g'^*(x_0) \partial f(g(x_0)).$$

### D.3. Das Subdifferential konkreter Funktionen

Im Folgenden bestimmen wir die Subdifferentialen der Abbildungen

$$f(x(\cdot)) = \max_{t \in I} x(t), \quad G(x(\cdot)) = \max_{t \in I} g(t, x(t))$$

im Raum stetiger Funktionen auf den Intervallen  $I = [t_0, t_1]$ ,  $I = \mathbb{R}_+$  bzw.  $I = \overline{\mathbb{R}}_+$ . Insbesondere für das unbeschränkte Intervall zeigt sich, dass erst im Fall des Abschlusses  $I = \overline{\mathbb{R}}_+$  das Subdifferential der Funktion  $f$  eine passende Darstellung besitzt. Demgegenüber weist das Subdifferential von  $f$  über  $I = \mathbb{R}_+$  eine gewisse Unvollständigkeit auf. Der Grund dafür ist der Rieszsche Darstellungssatz B.22 für die stetigen linearen Funktionale im Raum  $C_0(\mathbb{R}_+, \mathbb{R}^n)$ , der im Gegensatz zum Darstellungssatz B.25 für  $C_{\text{lim}}(\mathbb{R}_+, \mathbb{R}^n)$  nicht das in  $t = \infty$  konzentrierte signierte Borelsche Maß enthält.

**Beispiel D.4.** Es sei  $[t_0, t_1] \subset \mathbb{R}$  ein kompaktes Intervall. Im Raum  $C([t_0, t_1], \mathbb{R})$  betrachten wir die Funktion

$$f(x(\cdot)) = \max_{t \in [t_0, t_1]} x(t).$$

Diese Funktion ist stetig, konvex und homogen. Das Subdifferential  $\partial f(0)$  besteht nach Definition aus denjenigen signierten regulären Borelschen Maßen  $\mu$  auf  $[t_0, t_1]$ , die der Bedingung

$$\max_{t \in [t_0, t_1]} x(t) \geq \int_{t_0}^{t_1} x(t) d\mu(t) \quad \text{für alle } x(\cdot) \in C([t_0, t_1], \mathbb{R})$$

genügen. Hieraus folgt, dass das Maß  $\mu$  nichtnegativ ist und  $\|\mu\| = 1$  gilt. Man erhält nämlich für  $-x(t)$  nach obiger Ungleichung

$$\int_{t_0}^{t_1} x(t) d\mu(t) \geq - \max_{t \in [t_0, t_1]} (-x(t)) = \min_{t \in [t_0, t_1]} x(t).$$

Ist daher  $x(t) \geq 0$  für alle  $t \in [t_0, t_1]$ , so ist auch  $\int_{t_0}^{t_1} x(t) d\mu(t) \geq 0$  und  $\mu$  ist positiv. Weiterhin besitzen alle  $\mu \in \partial f(0)$  die Norm  $\|\mu\| = 1$ , denn nur dann gilt die Relation

$$\max_{t \in [t_0, t_1]} x(t) \geq \int_{t_0}^{t_1} x(t) d\mu(t) \geq \min_{t \in [t_0, t_1]} x(t)$$

für konstante Funktionen  $x(\cdot)$ .

Offenbar ist auch umgekehrt, wenn  $\mu \geq 0$  ist und Norm Eins hat, die Ungleichung

$$\max_{t \in [t_0, t_1]} x(t) \geq \int_{t_0}^{t_1} x(t) d\mu(t)$$

richtig. Somit haben wir das Subdifferential der Funktion  $f$  im Nullpunkt berechnet.

Für  $x(\cdot) \neq 0$  gilt für die eigentliche homogene konvexe Funktion  $f(x(\cdot))$ :

$$\partial f(x(\cdot)) = \{x^* \in \partial f(0) \mid \langle x^*, x(\cdot) \rangle = f(x(\cdot))\},$$

wobei  $\partial f(0)$  die regulären Borelschen Maße mit  $\|\mu\| = 1$  enthält. Wir zeigen, dass die Maße  $\mu \in \partial f(x(\cdot))$  auf den Mengen

$$T = \left\{ \tau \in [t_0, t_1] \mid x(\tau) = \max_{t \in [t_0, t_1]} x(t) \right\}$$

konzentriert sind: Der Kürze halber bezeichne  $M$  das Maximum von  $x(t)$  auf  $[t_0, t_1]$ . Die Menge  $[t_0, t_1] \setminus T$  ist offen, da  $T$  abgeschlossen ist. Angenommen, es existiert eine meßbare Menge  $B \subseteq [t_0, t_1]$  mit  $B \cap T = \emptyset$  und  $\mu(B) > 0$ . Dann gilt

$$\int_B x(t) d\mu(t) < \int_B M d\mu(t) \Rightarrow \int_{[t_0, t_1] \setminus T} x(t) d\mu(t) < \int_{[t_0, t_1] \setminus T} M d\mu(t).$$

Damit folgt der Widerspruch

$$\max_{t \in [t_0, t_1]} x(t) = \int_{t_0}^{t_1} M d\mu(t) > \int_T M d\mu(t) + \int_{[t_0, t_1] \setminus T} x(t) d\mu(t) = \int_{t_0}^{t_1} x(t) d\mu(t).$$

Ist umgekehrt  $\mu \geq 0$  und besitzt Norm Eins, dann gehört  $\mu$  der Menge  $\partial f(0)$  an. Wenn  $\mu$  zusätzlich auf der Menge  $T$  konzentriert ist, dann ist auch

$$\max_{t \in [t_0, t_1]} x(t) = \int_{t_0}^{t_1} x(t) d\mu(t)$$

erfüllt. Damit besteht das Subdifferential der Funktion  $f$  in einem vom Nullpunkt verschiedenen Punkt  $x(\cdot)$  aus den regulären Borelschen Maßen auf  $[t_0, t_1]$ , deren Norm gleich Eins ist und die auf der Menge  $T$  konzentriert sind.  $\square$

**Beispiel D.5.** Es sei  $x_*(\cdot) \in C([t_0, t_1], \mathbb{R})$  und es sei  $g(t, x) : \mathbb{R} \times \mathbb{R}^n \rightarrow \mathbb{R}$  auf der Menge  $V_\gamma = \{(t, x) \in [t_0, t_1] \times \mathbb{R}^n \mid \|x - x_*(t)\| \leq \gamma\}$  stetig und bezüglich  $x$  stetig differenzierbar. Unter diesen Voraussetzungen ist nach Beispiel B.4 die Abbildung

$$\tilde{g} : C([t_0, t_1], \mathbb{R}^n) \rightarrow C([t_0, t_1], \mathbb{R}), \quad [\tilde{g}(x(\cdot))](t) = g(t, x(t)), \quad t \in [t_0, t_1],$$

in  $x_*(\cdot)$  Fréchet-differenzierbar und es gilt

$$[\tilde{g}'(x_*(\cdot))x(\cdot)](t) = \langle g_x(t, x_*(t)), x(t) \rangle, \quad t \in [t_0, t_1].$$

Weiterhin ist die Funktion  $f(x(\cdot))$  im Beispiel D.4 auf  $C([t_0, t_1], \mathbb{R})$  stetig.

Wir bestimmen nun in  $x_*(\cdot)$  das Subdifferential der Funktion

$$G(x(\cdot)) = f(g(x(\cdot))) = \max_{t \in [t_0, t_1]} g(t, x(t)).$$

Dazu können wir die Kettenregel (Satz D.3) anwenden:

$$\partial G(x_*(\cdot)) = \tilde{g}'^*(x_*(\cdot)) \partial f(\tilde{g}(x_*(\cdot))).$$

Für  $x^* \in \tilde{g}'^*(x_*(\cdot)) \partial f(\tilde{g}(x_*(\cdot)))$  und  $x(\cdot) \in C([t_0, t_1], \mathbb{R}^n)$  gilt dann:

$$\langle x^*, x(\cdot) \rangle = \langle \tilde{g}'^*(x_*(\cdot)) \mu, x(\cdot) \rangle = \langle \mu, \tilde{g}'(x_*(\cdot)) x(\cdot) \rangle = \int_{t_0}^{t_1} \langle g_x(t, x_*(t)), x(t) \rangle d\mu(t).$$

Daher besteht das Subdifferential der Funktion  $G$  im Punkt  $x_*(\cdot)$  genau aus denjenigen stetigen linearen Funktionalen  $x^*$ , die die Darstellung

$$\langle x^*, x(\cdot) \rangle = \int_{t_0}^{t_1} \langle g_x(t, x_*(t)), x(t) \rangle d\mu(t)$$

besitzen, wobei das reguläre Borelsche Maß  $\mu$  auf  $T = \{t \in [t_0, t_1] \mid g(t, x_*(t)) = G(x_*(\cdot))\}$  konzentriert ist und  $\|\mu\| = 1$  gilt.  $\square$

**Beispiel D.6.** Wir betrachten im Raum  $C_{\lim}(\mathbb{R}_+, \mathbb{R})$  die Funktion

$$f(x(\cdot)) = \max_{t \in \mathbb{R}_+} x(t).$$

Mit den gleichen Argumenten wie in Beispiel D.4 ist diese Funktion stetig, konvex und homogen. Außerdem besitzen nach dem Rieszschen Darstellungssatz in Folgerung B.25 die stetigen linearen Funktional  $x^*$  im Raum  $C_{\lim}(\mathbb{R}_+, \mathbb{R})$  die Darstellung

$$\langle x^*(\cdot), x(\cdot) \rangle = \int_0^\infty x(t) d\mu(t) = \int_0^\infty x(t) d\mu_0(t) + x(\infty)\mu(\{\infty\}),$$

wobei  $\mu$  ein signiertes reguläres Borelsches Maß auf  $\overline{\mathbb{R}}_+$  ist, das nach Anhang A.4, Definition A.9 die eindeutige Zerlegung  $\mu = \mu_0 + \mu(\{\infty\})$  mit einem signierten regulären Borelschen Maß  $\mu_0$  auf  $\mathbb{R}_+$  und einem signierten, in  $t = \infty$  konzentrierten Borelschen Maß  $\mu(\{\infty\})$  besitzt.

Somit besteht das Subdifferential  $\partial f(0)$  aus denjenigen Borelschen Maßen  $\mu$  auf  $\overline{\mathbb{R}}_+$ , die nach dem Rieszschen Darstellungssatz die Zerlegung  $\mu = \mu_0 + \mu(\{\infty\})$  wie eben beschrieben besitzen, die nichtnegativ sind und die die Totalvariation  $\|\mu\| = 1$  besitzen.

Weiterhin besteht das Subdifferential der Funktion  $f$  in einem vom Nullpunkt verschiedenen Punkt  $x(\cdot)$  aus den Borelschen Maßen  $\mu = \mu_0 + \mu_\infty$  auf  $\overline{\mathbb{R}}_+$ , deren Norm gleich Eins ist und die auf der Menge  $T = \{t \in \overline{\mathbb{R}}_+ \mid x(t) = f(x(\cdot))\}$  konzentriert sind.  $\square$

**Beispiel D.7.** Es sei  $x_*(\cdot) \in C_{\lim}(\mathbb{R}_+, \mathbb{R})$  und es sei  $g(t, x) : \mathbb{R} \times \mathbb{R}^n \rightarrow \mathbb{R}$  auf der Menge  $V_\gamma = \{(t, x) \in \overline{\mathbb{R}}_+ \times \mathbb{R}^n \mid \|x - x_*(t)\| \leq \gamma\}$  gleichmäßig stetig und bezüglich  $x$  gleichmäßig stetig differenzierbar. Unter diesen Voraussetzungen ist nach Beispiel B.4 die Abbildung

$$\tilde{g} : C_{\lim}(\mathbb{R}_+, \mathbb{R}^n) \rightarrow C_{\lim}(\mathbb{R}_+, \mathbb{R}), \quad [\tilde{g}(x(\cdot))](t) = g(t, x(t)), \quad t \in \mathbb{R}_+,$$

in  $x_*(\cdot)$  Fréchet-differenzierbar und es gilt

$$[\tilde{g}'(x_*(\cdot))x(\cdot)](t) = \langle g_x(t, x_*(t)), x(t) \rangle, \quad t \in \mathbb{R}_+.$$

Weiterhin ist die Funktion  $f$  im Beispiel D.6 auf  $C_{\text{lim}}(\mathbb{R}_+, \mathbb{R})$  stetig. Auf die Funktion

$$G(x(\cdot)) = f(g(x(\cdot))) = \max_{t \in \mathbb{R}_+} g(t, x(t)).$$

wenden wir die Kettenregel an: Wie im Beispiel D.5 besteht das Subdifferential der Funktion  $G$  im Punkt  $x_*(\cdot)$  genau aus denjenigen stetigen linearen Funktionalen  $x^*$ , die mit einem regulären Borelsches Maß  $\mu = \mu_0 + \mu(\{\infty\})$  auf  $\overline{\mathbb{R}}_+$  die Darstellung

$$\langle x^*, x(\cdot) \rangle = \int_0^\infty \langle g_x(t, x_*(t)), x(t) \rangle d\mu_0(t) + \lim_{t \rightarrow \infty} \langle g_x(t, x_*(t)), x(t) \rangle \mu(\{\infty\})$$

besitzen, wobei das positive Borelsche Maß  $\mu$  auf  $T = \{t \in \overline{\mathbb{R}}_+ \mid g(t, x_*(t)) = G(x_*(\cdot))\}$  konzentriert ist und  $\|\mu\| = 1$  gilt. □

**Beispiel D.8.** Im Raum  $C_0(\mathbb{R}_+, \mathbb{R})$  betrachten wir die Funktion  $f(x(\cdot)) = \sup_{t \in \mathbb{R}_+} x(t)$ . Sie ist stetig, homogen und konvex. Für das Subdifferential  $\partial f(0)$  liefert die Ungleichung

$$\sup_{t \in \mathbb{R}_+} x(t) \geq \int_0^\infty x(t) d\mu(t) \quad \text{für alle } x(\cdot) \in C_0(\mathbb{R}_+, \mathbb{R}),$$

dass das über  $\mathbb{R}_+$  signierte reguläre Borelsche Maß  $\mu$  nichtnegativ ist. Aber im Gegensatz zu Beispiel D.6 erhalten wir aus der Ungleichungskette

$$\sup_{t \in \mathbb{R}_+} x(t) \geq \int_0^\infty x(t) d\mu(t) \geq \inf_{t \in \mathbb{R}_+} x(t)$$

lediglich  $\|\mu\| \leq 1$ , da die Funktionen  $x(\cdot)$  im Unendlichen stets verschwinden. Umgekehrt gilt, wenn  $\mu \geq 0$  und  $\|\mu\| \leq 1$ , die Ungleichung

$$\sup_{t \in \mathbb{R}_+} x(t) \geq \sup_{t \in \mathbb{R}_+} x(t) \cdot \int_0^\infty d\mu(t) = \int_0^\infty \sup_{t \in \mathbb{R}_+} x(t) d\mu(t) \geq \int_0^\infty x(t) d\mu(t)$$

für alle  $x(\cdot) \in C_0(\mathbb{R}_+, \mathbb{R})$ . Damit besteht das Subdifferential der Funktion  $f$  in  $x(\cdot) = 0$  aus allen positiven, regulären Borelschen Maßen  $\mu$  auf  $\mathbb{R}_+$  mit  $\|\mu\| \leq 1$ .

Für  $x(\cdot) \neq 0$  müssen wir die Unterscheidung treffen, ob die Funktion  $x(\cdot) \in C_0(\mathbb{R}_+, \mathbb{R})$  ein Maximum besitzt oder nicht. Die Funktion  $x(\cdot)$  besitzt genau dann kein Maximum über  $\mathbb{R}_+$ , wenn  $x(t) < 0$  für alle  $t \in \mathbb{R}_+$  gilt. In diesem Fall erhalten wir die Entartung

$$0 = \sup_{t \in \mathbb{R}_+} x(t) = \int_{\mathbb{R}_+} x(t) d\mu(t) \quad \Leftrightarrow \quad \|\mu\| = 0.$$

Nimmt die Funktion  $x(\cdot)$  ihr Maximum über  $\mathbb{R}_+$  an, dann gilt  $\|\mu\| = 1$  und  $\mu$  ist auf der Menge  $T = \{t \in \mathbb{R}_+ \mid x(t) = f(x(\cdot))\}$  konzentriert. □

## E. Mehrfache Nadelvariationen nach Ioffe & Tichomirov

Die einfache Nadelvariation, auf deren Basis das Maximumprinzip für die Aufgabe mit freiem Endpunkt im Abschnitt 2.2 hergeleitet wurde, erweist sich als ungeeignet in einem Steuerungsproblem mit beidseitigen Randbedingungen. Deswegen stellen wir in diesem Abschnitt mehrfache Nadelvariationen vor.

Wir folgen bei der Darstellung mehrfacher Nadelvariationen Ioffe & Tichomirov [48]. Als erstes geben wir eine Konstruktion geeigneter Trägerfamilien an, auf denen die Nadelvariationen durchgeführt werden. Danach definieren wir die mehrfachen Nadelvariationen und untersuchen abschließend die Eigenschaften, die die mehrfache Nadelvariation dem Steuerungsproblem übergibt.

### E.1. Die Konstruktion der Trägerfamilien

**Lemma E.1.** *Zu jeder auf  $[t_0, t_1]$  definierten Treppenfunktion  $y(\cdot), y(t) \in \mathbb{R}^n$ , und jedem  $\delta > 0$  kann man eine einparametrische Familie*

$$\{M(\alpha)\}_{0 \leq \alpha \leq 1} = \{M(\alpha, y(\cdot), \delta)\}_{0 \leq \alpha \leq 1}$$

*messbarer Teilmengen des Intervalls  $[t_0, t_1]$  derart angeben, dass die Beziehungen*

$$|M(\alpha)| = \alpha(t_1 - t_0), \quad M(\alpha') \subseteq M(\alpha), \quad 0 \leq \alpha' \leq \alpha \leq 1, \\ \max_{t \in [t_0, t_1]} \left\| \int_{t_0}^t \left[ (\chi_{M(\alpha)}(\tau) - \chi_{M(\alpha')}(\tau))y(\tau) - (\alpha - \alpha')y(\tau) \right] d\tau \right\| \leq \delta |\alpha - \alpha'|$$

*gelten.*

Der Grundgedanke der nachstehend beschriebenen Konstruktion lässt sich am leichtesten in dem Fall verstehen, dass die Vektorfunktion  $y(\cdot)$  konstant ist:  $y(t) \equiv C$ . Zerlegt man das Intervall  $[t_0, t_1]$  in gleiche Teile  $\Delta_i$ , deren Länge kleiner als  $\delta/C$  ist, so kann man als Mengenfamilie  $\{M(\alpha)\}$  die Vereinigung derjenigen Intervall  $\Delta_i(\alpha)$  nehmen, deren linkes Ende jeweils mit dem linken Ende des Intervalls  $\Delta_i$  und deren Länge jeweils mit dem  $\alpha$ -ten Teil der Länge von  $\Delta_i$  übereinstimmt.

Für  $y(t) \equiv C$  bezeichnen zur Illustration  $Y(\cdot)$  bzw.  $Y_\alpha(\cdot)$  die Funktionen

$$Y(t) = \int_{t_0}^t y(\tau) d\tau, \quad Y_\alpha(t) = \int_{t_0}^t \chi_{M(\alpha)}(\tau) y(\tau) d\tau, \quad t \in [t_0, t_1].$$

Es sei  $\delta > 0$  gewählt. Dann kann die Zerlegung des Intervalls  $[t_0, t_1]$  in Teilintervalle  $\Delta_i$  bestimmt werden. Der Abbildung 21 entnimmt man das Aussehen der Funktion  $Y_\alpha(\cdot)$  bei Wahl des Parameters  $\alpha \in [0, 1]$ : Bei Verkleinerung des Parameters  $\alpha$  werden die einzelnen Stufenabsätze immer breiter und die Höhenunterschiede zwischen nacheinander folgender Stufen immer kleiner.

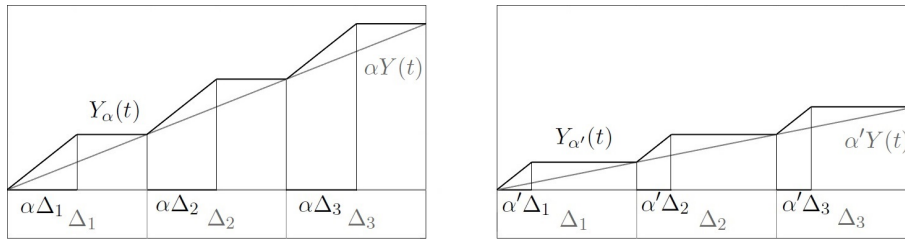


Abbildung 21: Mengenfamilie  $\{M(\alpha)\}$  bei Verkleinerung des Parameters  $\alpha' < \alpha$ .

Wird andererseits ein  $\delta' < \delta$  zu Beginn der Konstruktion der Mengenfamilien ausgewählt, so zeigt Abbildung 22 die entstehende feinere Approximation von  $\alpha Y(\cdot)$  durch  $Y_{\alpha}(\cdot)$ .

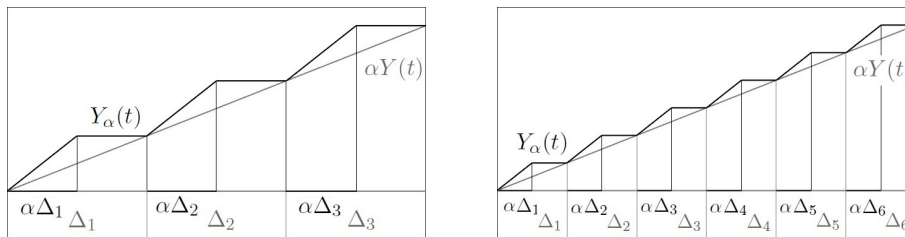


Abbildung 22: Mengenfamilie  $\{M(\alpha)\}$  bei Verkleinerung der Feinheit  $\delta' < \delta$ .

Wir erweitern diesen Gedankengang auf den Fall von Treppenfunktionen und führen den Beweis von Lemma E.1.

**Beweis** Da  $y(\cdot)$  eine Treppenfunktion auf dem Intervall  $[t_0, t_1]$  ist, gibt es endlich viele  $y_1, \dots, y_d \in \mathbb{R}^n$  und eine disjunkte Zerlegung  $\{A_1, \dots, A_d\}$  von  $[t_0, t_1]$  mit

$$y(t) = \sum_{j=1}^d y_j \chi_{A_j}(t).$$

Ferner sei  $C = \max_j \|y_j\|$ . Wir zerlegen das Intervall  $[t_0, t_1]$  in gleiche Teile  $\Delta_1, \dots, \Delta_r$ , deren Länge höchstens  $\delta/(2C)$  ist und setzen

$$M_{ij}(\alpha) = \left\{ t \in (A_j \cap \Delta_i) \mid \int_{t_0}^t \chi_{(A_j \cap \Delta_i)}(\tau) d\tau < \alpha \cdot |A_j \cap \Delta_i| \right\}.$$

Dann ist  $M(\alpha) = \bigcup_{i,j} M_{ij}(\alpha)$  die gesuchte Menge. Denn es gilt

$$|M(\alpha)| = \sum_{i,j} |M_{ij}(\alpha)| = \alpha \sum_{i,j} |A_j \cap \Delta_i| = \alpha(t_1 - t_0).$$

Ferner zieht die Ungleichung  $\alpha \geq \alpha'$  die Beziehung  $M_{ij}(\alpha') \subseteq M_{ij}(\alpha)$ , d. h.  $M(\alpha') \subseteq M(\alpha)$ , nach sich. Schließlich gilt

$$\int_{M_{ij}(\alpha)} y(t) dt = \int_{t_0}^{t_1} \chi_{M_{ij}(\alpha)}(t) y(t) dt = \alpha y_j \cdot |A_j \cap \Delta_i|,$$

weil jeweils auf den Mengen  $A_j$  die Vektorfunktion  $y(\cdot)$  konstant und gleich  $y_j$  ist. Hieraus folgt in den Endpunkten der Intervalle  $\Delta_i$ :

$$\begin{aligned} & \int_{\Delta_i} (\chi_{M(\alpha)}(t) - \chi_{M(\alpha')}(t)) y(t) dt \\ &= \sum_j \left( \int_{M_{ij}(\alpha)} y(t) dt - \int_{M_{ij}(\alpha')} y(t) dt \right) = (\alpha - \alpha') \sum_j y_j \cdot |A_j \cap \Delta_i| \\ &= (\alpha - \alpha') \sum_j \int_{\Delta_i} \chi_{(A_j \cap \Delta_i)}(t) y(t) dt = (\alpha - \alpha') \int_{\Delta_i} y(t) dt, \end{aligned}$$

also, dass in den Endpunkten der Intervalle  $\Delta_i$  die Werte der Integrale

$$\int_{t_0}^t (\chi_{M(\alpha)}(\tau) - \chi_{M(\alpha')}(\tau)) y(\tau) d\tau, \quad \int_{t_0}^t (\alpha - \alpha') y(\tau) d\tau$$

übereinstimmen. Für  $\Delta_i = [\tau_i, \tau_{i+1}]$  und  $\tau_i < t < \tau_{i+1}$  ergibt sich

$$\left\| \int_{\tau_i}^t [(\chi_{M(\alpha)}(\tau) - \chi_{M(\alpha')}(\tau)) y(\tau) - (\alpha - \alpha') y(\tau)] d\tau \right\| \leq 2C |\alpha - \alpha'| \cdot |t - \tau_i| \leq \delta |\alpha - \alpha'|.$$

Damit ist Lemma E.1 gezeigt. ■

**Lemma E.2.** *Zu jeder auf  $[t_0, t_1]$  definierten beschränkten messbaren Vektorfunktion  $y(\cdot)$  und jedem  $\delta > 0$  gibt es eine einparametrische Familie*

$$\{M(\alpha)\}_{0 \leq \alpha \leq 1} = \{M(\alpha, y(\cdot), \delta)\}_{0 \leq \alpha \leq 1}$$

mit den Eigenschaften

$$\begin{aligned} |M(\alpha)| &= \alpha(t_1 - t_0), \quad M(\alpha') \subseteq M(\alpha), \quad 0 \leq \alpha' \leq \alpha \leq 1, \\ \max_{t \in [t_0, t_1]} \left\| \int_{t_0}^t [(\chi_{M(\alpha)}(\tau) - \chi_{M(\alpha')}(\tau)) y(\tau) - (\alpha - \alpha') y(\tau)] d\tau \right\| &\leq \delta |\alpha - \alpha'|. \end{aligned}$$

**Beweis** Jede beschränkte messbare Vektorfunktion auf  $[t_0, t_1]$  ist gleichmäßiger Grenzwert von Treppenfunktionen. D. h., es gibt eine Treppenfunktion  $\tilde{y}(\cdot)$  mit

$$\sup_{t \in [t_0, t_1]} \|y(t) - \tilde{y}(t)\| \leq \frac{\delta}{t_1 - t_0}.$$

Nach letztem Lemma kann man eine Familie  $\{M(\alpha, \tilde{y}(\cdot), \delta)\}_{0 \leq \alpha \leq 1}$  mit den entsprechenden Eigenschaften für  $\tilde{y}(\cdot)$  angeben. Ist dann  $\alpha \geq \alpha'$ , so gilt

$$\left\| \int_{t_0}^t (\chi_{M(\alpha)}(\tau) - \chi_{M(\alpha')}(\tau)) \cdot (y(\tau) - \tilde{y}(\tau)) d\tau \right\| \leq \frac{\delta}{t_1 - t_0} |M(\alpha) \setminus M(\alpha')| \leq \delta |\alpha - \alpha'|$$

und

$$\left\| \int_{t_0}^t (\alpha - \alpha') (y(\tau) - \tilde{y}(\tau)) d\tau \right\| \leq |\alpha - \alpha'| \int_{t_0}^t \|y(\tau) - \tilde{y}(\tau)\| d\tau \leq \delta |\alpha - \alpha'|.$$

Zusammenfassend erhalten wir mit der Aussage des letzten Lemma für Treppenfunktionen:

$$\begin{aligned} & \left\| \int_{t_0}^t [(\chi_{M(\alpha)}(\tau) - \chi_{M(\alpha')}(\tau))y(\tau) - (\alpha - \alpha')y(\tau)] d\tau \right\| \\ & \leq \left\| \int_{t_0}^t (\chi_{M(\alpha)}(\tau) - \chi_{M(\alpha')}(\tau)) \cdot (y(\tau) - \tilde{y}(\tau)) d\tau \right\| + \left\| \int_{t_0}^t (\alpha - \alpha') (y(\tau) - \tilde{y}(\tau)) d\tau \right\| \\ & \quad + \left\| \int_{t_0}^t [(\chi_{M(\alpha)}(\tau) - \chi_{M(\alpha')}(\tau))\tilde{y}(\tau) - (\alpha - \alpha')\tilde{y}(\tau)] d\tau \right\| \leq 3\delta |\alpha - \alpha'|, \end{aligned}$$

also  $M(\alpha) = M(\alpha, y(\cdot), 3\delta)$ . ■

**Lemma E.3.** *Es seien  $y_i(\cdot), y_i : [t_0, t_1] \rightarrow \mathbb{R}^{n_i}, i = 1, \dots, d$ , beschränkte messbare Vektorfunktionen. Dann gibt es zu jedem  $\delta > 0$  einparametrische Mengenfamilien  $M_1(\alpha), \dots, M_d(\alpha)$  messbarer Teilmengen des Intervalls  $[t_0, t_1]$ , wobei der Parameter  $\alpha$  Werte zwischen 0 und  $1/d$  annimmt derart, dass für alle  $i = 1, \dots, d, 0 \leq \alpha' \leq \alpha \leq 1/d$  und  $i \neq i'$  gilt:*

$$|M_i(\alpha)| = \alpha(t_1 - t_0), \quad M_i(\alpha') \subseteq M_i(\alpha), \quad M_i(\alpha) \cap M_{i'}(\alpha') = \emptyset, \quad (E.1)$$

$$\max_{t \in [t_0, t_1]} \left\| \int_{t_0}^t (\chi_{M_i(\alpha)}(\tau) - \chi_{M_i(\alpha')}(\tau)) y_i(\tau) d\tau - (\alpha - \alpha') \int_{t_0}^t y_i(\tau) d\tau \right\| \leq \delta |\alpha - \alpha'|. \quad (E.2)$$

**Beweis** Es sei  $n = n_1 + \dots + n_d$ . Dann ist

$$t \rightarrow z(t) = (y_1(t), \dots, y_d(t))$$

eine messbare beschränkte Abbildung des Intervalls  $[t_0, t_1]$  in  $\mathbb{R}^n$ .

Wir wählen eine Familie  $\{M(\alpha)\}_{0 \leq \alpha \leq 1}$  von messbaren Teilmengen des Intervalls  $[t_0, t_1]$ , die gemeinsam mit  $z(\cdot)$  und  $\delta$  den Bedingungen von Lemma E.2 genügen. Weiterhin sei  $0 \leq \alpha \leq 1/d$ . Setzen wir

$$M_i(\alpha) = M((i - 1)/d + \alpha) \setminus M((i - 1)/d), \quad i = 1, \dots, d,$$

so sind diese  $M_i(\alpha)$  die gesuchten Familien: Für  $i \neq i', 0 \leq \alpha' \leq \alpha \leq 1/d$  sind die Mengen  $M_i(\alpha)$  und  $M_{i'}(\alpha')$  disjunkt, es ist  $|M_i(\alpha)| = \alpha(t_1 - t_0)$  und für  $0 \leq \alpha' \leq \alpha \leq 1/d$  gilt  $M_i(\alpha') \subseteq M_i(\alpha)$ . Genau wie im Beweis des letzten Lemma können wir schließen:

$$\left\| \int_{t_0}^t [(\chi_{M_i(\alpha)}(\tau) - \chi_{M_i(\alpha')}(\tau))z(\tau) - (\alpha - \alpha')z(\tau)] d\tau \right\| \leq 3\delta |\alpha - \alpha'|, \quad i = 1, \dots, d.$$

Die letzte Behauptung des Lemma folgt unmittelbar aus der Tatsache, dass für jeden Vektor  $z = (y_1, \dots, y_d) \in \mathbb{R}^n, y_i \in \mathbb{R}^{n_i}$ , die Ungleichung  $\|y_i\| \leq \|z\|$  erfüllt ist. ■

## E.2. Die Definition der mehrfachen Nadelvariation

Die Mengenfamilien  $\{M(\alpha)\}_{0 \leq \alpha \leq 1}$ , deren Konstruktion nach Ioffe & Tichomirov [48] im letzten Abschnitt angegeben wurde, bilden die Basis zur Einführung der mehrfachen Nadelvariation einer Steuerung  $u_*(\cdot)$  in Steuerungsproblemen. Die Wahl der beschränkten messbaren Vektorfunktionen  $y_i(\cdot)$  in Lemma E.3 ist im Folgenden angegeben.

Es seien  $x_*(\cdot) \in C([t_0, t_1], \mathbb{R}^n)$ ,  $u_*(\cdot), u_1(\cdot), \dots, u_d(\cdot) \in L_\infty([t_0, t_1], U)$ . Ferner bezeichne  $V_\gamma$  den Umgebungsstreifen

$$V_\gamma = \{(t, x) \in [t_0, t_1] \times \mathbb{R}^n \mid \|x - x_*(t)\| \leq \gamma\}.$$

Wir nehmen an, dass die Abbildungen  $f(t, x, u)$ ,  $\varphi(t, x, u)$  auf  $V_\gamma \times \mathbb{R}^m$  stetig in der Gesamtheit der Variablen und stetig differenzierbar bezüglich  $x$  sind. D. h., dass die partiellen Ableitungen  $f_x(t, x, u)$ ,  $\varphi_x(t, x, u)$  auf  $V_\gamma \times \mathbb{R}^m$  stetig in der Gesamtheit der Variablen sind. Unter diesen Annahmen sind die Vektorfunktionen  $y_i(\cdot)$ ,

$$y_i(t) = \left( \varphi(t, x_*(t), u_i(t)) - \varphi(t, x_*(t), u_*(t)), \right. \\ \left. f(t, x_*(t), u_i(t)) - f(t, x_*(t), u_*(t)) \right), \quad i = 1, \dots, d,$$

auf  $[t_0, t_1]$  messbar und beschränkt, weil die Steuerungen  $u_*(\cdot), u_1(\cdot), \dots, u_d(\cdot)$  messbar, beschränkt und  $f, \varphi$  stetig sind. Daher existieren nach Lemma E.3 auf dem Intervall  $[t_0, t_1]$  einparametrische Mengenfamilien  $\{M_i(\alpha)\}$  mit

$$|M_i(\alpha)| = \alpha(t_1 - t_0), \quad M_i(\alpha') \subseteq M_i(\alpha), \quad M_i(\alpha) \cap M_{i'}(\alpha') = \emptyset, \\ \max_{t \in [t_0, t_1]} \left\| \int_{t_0}^t (\chi_{M_i(\alpha)}(\tau) - \chi_{M_i(\alpha')}(\tau)) y_i(\tau) d\tau - (\alpha - \alpha') \int_{t_0}^t y_i(\tau) d\tau \right\| \leq \delta |\alpha - \alpha'|$$

für alle  $i = 1, \dots, d$ ,  $0 \leq \alpha' \leq \alpha \leq 1/d$  und  $i \neq i'$ .

Demnach ist auf dem  $d$ -dimensionalen Quader

$$Q^d = \left\{ \alpha = (\alpha_1, \dots, \alpha_d) \in \mathbb{R}^d \mid 0 \leq \alpha_i \leq 1/d, i = 1, \dots, d \right\}$$

die Abbildung  $\alpha \rightarrow u_\alpha(\cdot) \in L_\infty([t_0, t_1], U)$ ,

$$u_\alpha(t) = u_*(t) + \sum_{i=1}^d \chi_{M_i(\alpha_i)}(t) \cdot (u_i(t) - u_*(t)),$$

wohldefiniert und wir nennen  $u_\alpha(\cdot)$  eine mehrfache Nadelvariation von  $u_*(\cdot)$ .

### E.3. Eigenschaften der mehrfachen Nadelvariation

Es seien  $x_*(\cdot) \in C([t_0, t_1], \mathbb{R}^n)$  und  $u_*(\cdot), u_1(\cdot), \dots, u_d(\cdot) \in L_\infty([t_0, t_1], U)$ . Weiterhin seien  $f(t, x, u), \varphi(t, x, u)$  auf  $V_\gamma \times \mathbb{R}^m$  stetig in der Gesamtheit der Variablen und stetig differenzierbar bezüglich  $x$ . Wir definieren die Mengen

$$\begin{aligned}\Sigma(\Delta) &= \left\{ \alpha = (\alpha_1, \dots, \alpha_d) \in \mathbb{R}^d \mid \alpha_1, \dots, \alpha_d \geq 0, \sum_{i=1}^d \alpha_i \leq \Delta \right\}, \\ V(\sigma) &= \{x(\cdot) \in C([t_0, t_1], \mathbb{R}^n) \mid \|x(\cdot) - x_*(\cdot)\|_\infty \leq \sigma\}.\end{aligned}$$

Dann betrachten wir für  $t \in [t_0, t_1]$  die Abbildung

$$\Phi_1(x(\cdot), \alpha)(t) = \int_{t_0}^t [\varphi(\tau, x(\tau), u_\alpha(\tau)) - \varphi(\tau, x_*(\tau), u_*(\tau))] d\tau$$

und den linearen Operator

$$\begin{aligned}\Lambda_1(x(\cdot), \alpha)(t) &= \int_{t_0}^t \left[ \varphi_x(\tau, x_*(\tau), u_*(\tau))(x(\tau) - x_*(\tau)) \right. \\ &\quad \left. + \sum_{i=1}^d \alpha_i \cdot \left( \varphi(\tau, x_*(\tau), u_i(\tau)) - \varphi(\tau, x_*(\tau), u_*(\tau)) \right) \right] d\tau.\end{aligned}$$

Dabei bezeichnet  $u_\alpha(\cdot)$  die mehrfache Nadelvariation

$$u_\alpha(t) = u_*(t) + \sum_{i=1}^d \chi_{M_i(\alpha_i)}(t) \cdot (u_i(t) - u_*(t)).$$

Dementsprechend bezieht sich der zweite Term im Operator  $\Lambda_1$  auf eine Linearisierung bezüglich der Variation auf den Trägermengen. Ziel dieses Abschnitts ist es zu zeigen, dass der Operator  $\Phi_1$  zwar nicht stetig differenzierbar, aber wenigstens streng differenzierbar ist. D. h., dass die Beziehung

$$\begin{aligned}&\left\| [\Phi_1(x(\cdot), \alpha) - \Phi_1(x'(\cdot), \alpha') - \Lambda_1(x(\cdot), \alpha) - \Lambda_1(x'(\cdot), \alpha')] \right\|_\infty \\ &\leq \delta \left( \|x(\cdot) - x'(\cdot)\|_\infty + \sum_{i=1}^d |\alpha_i - \alpha'_i| \right)\end{aligned}$$

für alle  $\alpha, \alpha' \in \Sigma(\Delta)$  und alle  $x(\cdot), x'(\cdot) \in V(\sigma)$  gilt. Außerdem wir zeigen, dass gleichzeitig für die Abbildungen  $\Phi_2$  und  $\Lambda_2$ ,

$$\begin{aligned}\Phi_2(x(\cdot), \alpha) &= \int_{t_0}^{t_1} [f(t, x(t), u_\alpha(t)) - f(t, x(t), u_*(t))] dt, \\ \Lambda_2(x(\cdot), \alpha) &= \sum_{i=1}^d \int_{t_0}^{t_1} \alpha_i \cdot \left( f(t, x(t), u_i(t)) - f(t, x(t), u_*(t)) \right) dt,\end{aligned}$$

die Relation

$$\Phi_2(x(\cdot), \alpha) - \Lambda_2(x(\cdot), \alpha) \leq \delta \sum_{i=1}^d \alpha_i$$

für alle  $\alpha \in \Sigma(\Delta)$  und alle  $x(\cdot) \in V(\sigma)$  erfüllt ist.

Wir treffen einige Vorbereitungen: Aus den Eigenschaften (E.1) in Lemma E.3 der Mengenfamilien der mehrfachen Nadelvariation

$$u_\alpha(t) = u_*(t) + \sum_{i=1}^d \chi_{M_i(\alpha_i)}(t) \cdot (u_i(t) - u_*(t))$$

gelten für jede auf  $\mathbb{R} \times \mathbb{R}^n \times \mathbb{R}^m$  definierte Vektorfunktion  $h$  und alle  $\alpha, \alpha' \in Q^d$ :

$$\begin{aligned} & h(t, x, u_\alpha(t)) - h(t, x, u_*(t)) \\ &= \sum_{i=1}^d \chi_{M_i(\alpha_i)}(t) \cdot \left( h(t, x, u_i(t)) - h(t, x, u_*(t)) \right), \end{aligned} \quad (\text{E.3})$$

$$\begin{aligned} & h(t, x, u_\alpha(t)) - h(t, x, u_{\alpha'}(t)) \\ &= \sum_{i=1}^d \left( \chi_{M_i(\alpha_i)}(t) - \chi_{M_i(\alpha'_i)}(t) \right) \cdot \left( h(t, x, u_i(t)) - h(t, x, u_*(t)) \right). \end{aligned} \quad (\text{E.4})$$

Weil alle Steuerungen  $u_*(\cdot), u_1(\cdot), \dots, u_d(\cdot)$  beschränkt sind, sind ihre Werte für fast alle  $t \in [t_0, t_1]$  in einer kompakten Menge  $U_1 \subset \mathbb{R}^m$  enthalten. Nutzen wir darüber hinaus die Stetigkeit von  $f, \varphi$  und  $\varphi_x$  aus, so können wir ein  $\sigma > 0$  derart angeben, dass

$$\|\varphi(t, x, u) - \varphi(t, x_*(t), u)\| \leq \frac{\delta}{4(t_1 - t_0)}, \quad (\text{E.5})$$

$$|f(t, x, u) - f(t, x_*(t), u)| \leq \frac{\delta}{8(t_1 - t_0)}, \quad (\text{E.6})$$

$$\|\varphi(t, x, u) - \varphi(t, x', u) - \varphi_x(t, x_*(t), u)(x - x')\| \leq \frac{\delta \|x - x'\|}{2(t_1 - t_0)} \quad (\text{E.7})$$

für fast alle  $t \in [t_0, t_1]$  und alle  $x, x', u$  mit  $\|x - x_*(t)\| \leq \sigma, \|x' - x_*(t)\| \leq \sigma, u \in U_1$  erfüllt sind. Ferner wählen wir  $\Delta \in (0, 1/d]$  derart, dass für fast alle  $t \in [t_0, t_1]$

$$\Delta \cdot (t_1 - t_0) \cdot \max_{u \in U_1} \|\varphi_x(t, x_*(t), u)\| \leq \frac{\delta}{4} \quad (\text{E.8})$$

gilt. Offenbar ist  $\Sigma(\Delta) \subseteq Q^d$  für  $\Delta \in (0, 1/d]$ . Daher ist die mehrfache Nadelvariation  $u_\alpha(\cdot)$  für  $\Delta \in (0, 1/d]$  auf dem gesamten Simplex  $\Sigma(\Delta)$  definiert.

**Lemma E.4.** *Es existieren  $\Delta \in (0, 1/d]$  und  $\sigma > 0$  derart, dass*

$$\begin{aligned} & \left\| [\Phi_1(x(\cdot), \alpha) - \Phi_1(x'(\cdot), \alpha') - \Lambda_1(x(\cdot), \alpha) + \Lambda_1(x'(\cdot), \alpha')](\cdot) \right\|_\infty \\ & \leq \delta \left( \|x(\cdot) - x'(\cdot)\|_\infty + \sum_{i=1}^d |\alpha_i - \alpha'_i| \right) \end{aligned} \tag{E.9}$$

für alle  $\alpha, \alpha' \in \Sigma(\Delta)$  und alle  $x(\cdot), x'(\cdot) \in V(\sigma)$  gilt.

Ausführlich geschrieben ist die linke Seite in (E.9) gleich

$$\begin{aligned} & \max_{t \in [t_0, t_1]} \left\| \int_{t_0}^t \left[ \varphi(\tau, x(\tau), u_\alpha(\tau)) - \varphi(\tau, x'(\tau), u_{\alpha'}(\tau)) - \varphi_x(\tau, x_*(\tau), u_*(\tau))(x(\tau) - x'(\tau)) \right. \right. \\ & \quad \left. \left. - \sum_{i=1}^d (\alpha_i - \alpha'_i) \cdot \left( \varphi(\tau, x_*(\tau), u_i(\tau)) - \varphi(\tau, x_*(\tau), u_*(\tau)) \right) \right] d\tau \right\|. \end{aligned} \tag{E.10}$$

**Beweis** Den Ausdruck (E.10) können wir nach oben gegen

$$\begin{aligned} & \int_{t_0}^{t_1} \left\| \varphi(t, x(t), u_\alpha(t)) - \varphi(t, x'(t), u_\alpha(t)) - \varphi_x(t, x_*(t), u_\alpha(t))(x(t) - x'(t)) \right\| dt \\ & + \int_{t_0}^{t_1} \left\| \left( \varphi_x(t, x_*(t), u_\alpha(t)) - \varphi_x(t, x_*(t), u_*(t)) \right) (x(t) - x'(t)) \right\| dt \\ & + \int_{t_0}^{t_1} \left\| \varphi(t, x'(t), u_\alpha(t)) - \varphi(t, x'(t), u_{\alpha'}(t)) \right. \\ & \quad \left. - \varphi(t, x_*(t), u_\alpha(t)) + \varphi(t, x_*(t), u_{\alpha'}(t)) \right\| dt \\ & + \max_{t \in [t_0, t_1]} \left\| \int_{t_0}^t \varphi(\tau, x_*(\tau), u_\alpha(\tau)) - \varphi(\tau, x_*(\tau), u_{\alpha'}(\tau)) \right. \\ & \quad \left. - \sum_{i=1}^d (\alpha_i - \alpha'_i) \left( \varphi(\tau, x_*(\tau), u_i(\tau)) - \varphi(\tau, x_*(\tau), u_*(\tau)) \right) d\tau \right\| \end{aligned}$$

abschätzen. Der erste Summand ist nach (E.7) kleiner oder gleich

$$\frac{\delta}{2} \|x(\cdot) - x'(\cdot)\|_\infty.$$

Aus (E.3) folgt, dass der zweite Summand gleich

$$\int_{t_0}^{t_1} \left\| \sum_{i=1}^d \chi_{M_i(\alpha_i)}(t) \cdot \left( \varphi_x(t, x_*(t), u_i(t)) - \varphi_x(t, x_*(t), u_*(t)) \right) (x(t) - x'(t)) \right\| dt$$

ist. Mit (E.1), (E.8) und  $\alpha \in \Sigma(\Delta)$  fällt dieser Ausdruck nicht größer aus als

$$\int_{t_0}^{t_1} \left( \sum_{i=1}^d \alpha_i \right) \cdot 2 \max_{u \in U_1} \|\varphi_x(t, x_*(t), u)\| dt \cdot \|x(\cdot) - x'(\cdot)\|_\infty \leq \frac{\delta}{2} \|x(\cdot) - x'(\cdot)\|_\infty.$$

Wegen (E.4) ist der dritte Summand gleich

$$\int_{t_0}^{t_1} \left\| \sum_{i=1}^d (\chi_{M_i(\alpha_i)}(t) - \chi_{M_i(\alpha'_i)}(t)) \cdot \left( \varphi(t, x'(t), u_i(t)) - \varphi(t, x'(t), u_*(t)) \right) \right. \\ \left. - \sum_{i=1}^d (\chi_{M_i(\alpha_i)}(t) - \chi_{M_i(\alpha'_i)}(t)) \cdot \left( \varphi(t, x_*(t), u_i(t)) - \varphi(t, x_*(t), u_*(t)) \right) \right\| dt.$$

Gemäß (E.5) ist dieses Integral nicht größer als

$$2 \cdot \frac{\delta}{4(t_1 - t_0)} \cdot \sum_{i=1}^d \int_{t_0}^{t_1} \|\chi_{M_i(\alpha_i)}(t) - \chi_{M_i(\alpha'_i)}(t)\| dt = \frac{\delta}{2} \sum_{i=1}^d |\alpha_i - \alpha'_i|.$$

Schließlich lässt sich der vierte Summand mittels (E.4) in die Form

$$\max_{t \in [t_0, t_1]} \left\| \int_{t_0}^t \sum_{i=1}^d \left[ (\chi_{M_i(\alpha_i)}(\tau) - \chi_{M_i(\alpha'_i)}(\tau)) \cdot \left( \varphi(\tau, x_*(\tau), u_i(\tau)) - \varphi(\tau, x_*(\tau), u_*(\tau)) \right) \right. \right. \\ \left. \left. - (\alpha_i - \alpha'_i) \cdot \left( \varphi(\tau, x_*(\tau), u_i(\tau)) - \varphi(\tau, x_*(\tau), u_*(\tau)) \right) \right] d\tau \right\|$$

bringen. Die Differenzen

$$\left( \varphi(\tau, x_*(\tau), u_i(\tau)) - \varphi(\tau, x_*(\tau), u_*(\tau)) \right)$$

enthalten die ersten  $n$  Koordinaten der Vektorfunktionen

$$y_i(t) = \left( \varphi(t, x_*(t), u_i(t)) - \varphi(t, x_*(t), u_*(t)), \right. \\ \left. f(t, x_*(t), u_i(t)) - f(t, x_*(t), u_*(t)) \right)$$

aus Abschnitt E.2. Daher ist der obenstehende Ausdruck kleiner oder gleich

$$\max_{t \in [t_0, t_1]} \left\| \sum_{i=1}^d \int_{t_0}^t \left[ (\chi_{M_i(\alpha_i)}(\tau) - \chi_{M_i(\alpha'_i)}(\tau)) y_i(\tau) - (\alpha_i - \alpha'_i) y_i(\tau) \right] d\tau \right\|.$$

Mit (E.2) ist dieser Ausdruck nicht größer als

$$\frac{\delta}{2} \sum_{i=1}^d |\alpha_i - \alpha'_i|.$$

Damit ist die Beziehung (E.9) bewiesen. ■

**Lemma E.5.** *Es existieren  $\Delta \in (0, 1/d]$  und  $\sigma > 0$  derart, dass*

$$\Phi_2(x(\cdot), \alpha) - \Lambda_2(x(\cdot), \alpha) \leq \delta \sum_{i=1}^d \alpha_i \tag{E.11}$$

für alle  $\alpha \in \Sigma(\Delta)$  und alle  $x(\cdot) \in V(\sigma)$  gilt.

**Beweis** Beachten wir (E.3), so ist die linke Seite in (E.11) gleich

$$\sum_{i=1}^d \int_{t_0}^{t_1} \left[ \chi_{M_i(\alpha_i)}(t) \cdot \left( f(t, x(t), u_i(t)) - f(t, x(t), u_*(t)) \right) - \alpha_i \cdot \left( f(t, x(t), u_i(t)) - f(t, x(t), u_*(t)) \right) \right] dt.$$

Dieser Ausdruck ist weiterhin kleiner oder gleich der folgenden Summe:

$$\begin{aligned} & \sum_{i=1}^d \left| \int_{t_0}^{t_1} \chi_{M_i(\alpha_i)}(t) \cdot \left( f(t, x_*(t), u_i(t)) - f(t, x_*(t), u_*(t)) \right) - \alpha_i \cdot \left( f(t, x_*(t), u_i(t)) - f(t, x_*(t), u_*(t)) \right) dt \right| \\ & + \sum_{i=1}^d \left[ \int_{t_0}^{t_1} \chi_{M_i(\alpha_i)}(t) \cdot \left[ |f(t, x(t), u_i(t)) - f(t, x_*(t), u_i(t))| + |f(t, x_*(t), u_*(t)) - f(t, x(t), u_*(t))| \right] dt \right. \\ & \quad \left. + \alpha_i \int_{t_0}^{t_1} \left[ |f(t, x(t), u_i(t)) - f(t, x_*(t), u_i(t))| + |f(t, x(t), u_*(t)) - f(t, x_*(t), u_*(t))| \right] dt \right]. \end{aligned}$$

Für den ersten Summanden gilt die Relation (E.2), d. h.

$$\sum_{i=1}^d \left| \int_{t_0}^{t_1} \chi_{M_i(\alpha_i)}(t) \cdot \left( f(t, x_*(t), u_i(t)) - f(t, x_*(t), u_*(t)) \right) - \alpha_i \cdot \left( f(t, x_*(t), u_i(t)) - f(t, x_*(t), u_*(t)) \right) dt \right| \leq \frac{\delta}{2} \sum_{i=1}^d \alpha_i.$$

Mit (E.6) folgt, dass die zweite Summe kleiner gleich

$$\sum_{i=1}^d \left( 2 \int_{t_0}^{t_1} \chi_{M_i(\alpha_i)}(t) dt + 2\alpha_i \int_{t_0}^{t_1} dt \right) \cdot \frac{\delta}{8(t_1 - t_0)} = \frac{\delta}{2} \sum_{i=1}^d \alpha_i$$

ist. Damit ist das Lemma bewiesen. ■

#### E.4. Mehrfache Nadelvariationen in Multiprozessen

Wir gehen in diesem Abschnitt auf die Variation von Multiprozessen in Kapitel 3.3 ein. Unser besonderes Augenmerk liegt dabei auf die Einbindung der  $k$ -fachen Zerlegungen. Im Weiteren verwenden wir die Bezeichnungen, die in Kapitel 3.3 eingeführt wurden. Es seien  $x_*(\cdot) \in C([t_0, t_1], \mathbb{R}^n)$  und  $u_*(\cdot), u_i(\cdot) \in L_\infty([t_0, t_1], U)$ ,  $\mathcal{A}_*, \mathcal{A}_i \in \mathcal{Z}^k([t_0, t_1])$  für  $i = 1, \dots, d$ . Ferner bezeichne  $V_\gamma$  die Menge

$$V_\gamma = \{(t, x) \in [t_0, t_1] \times \mathbb{R}^n \mid \|x - x_*(t)\| \leq \gamma\}.$$

Weiterhin seien  $f_i(t, x, u^i)$ ,  $\varphi_i(t, x, u_i)$  auf  $V_\gamma \times \mathbb{R}^{m_i}$  stetig in der Gesamtheit der Variablen und stetig differenzierbar bezüglich  $x$ .

Unter diesen Voraussetzungen sind die  $(n+1)$ -dimensionalen Vektorfunktionen  $y_i(\cdot)$ ,

$$y_i(t) = \left( \chi_{\mathcal{A}_i}(t) \circ \varphi(t, x_*(t), u_i(t)) - \chi_{\mathcal{A}_*}(t) \circ \varphi(t, x_*(t), u_*(t)), \right. \\ \left. \chi_{\mathcal{A}_i}(t) \circ f(t, x_*(t), u_i(t)) - \chi_{\mathcal{A}_*}(t) \circ f(t, x_*(t), u_*(t)) \right), \quad i = 1, \dots, d,$$

meßbar und beschränkt. Daher existieren nach Lemma E.3 Mengenfamilien  $\{M_i(\alpha)\}$  mit

$$|M_i(\alpha)| = \alpha(t_1 - t_0), \quad M_i(\alpha') \subseteq M_i(\alpha), \quad M_i(\alpha) \cap M_{i'}(\alpha') = \emptyset, \\ \max_{t \in [t_0, t_1]} \left\| \int_{t_0}^t (\chi_{M_i(\alpha)}(\tau) - \chi_{M_i(\alpha')}(\tau)) y_i(\tau) d\tau - (\alpha - \alpha') \int_{t_0}^t y_i(\tau) d\tau \right\| \leq \delta |\alpha - \alpha'|$$

für alle  $i = 1, \dots, d$ ,  $0 \leq \alpha' \leq \alpha \leq 1/d$  und  $i \neq i'$ . Wir beachten ferner, dass für Zerlegungen  $\mathcal{A}, \mathcal{B} \in \mathcal{Z}^k([t_0, t_1])$  und für eine messbare Menge  $M \subseteq [t_0, t_1]$  die Funktion

$$\chi_{\mathcal{C}}(t) = \chi_{\mathcal{A}}(t) + \chi_M(t) \cdot (\chi_{\mathcal{B}}(t) - \chi_{\mathcal{A}}(t))$$

stets mit einer Menge  $\mathcal{C} \in \mathcal{Z}^k([t_0, t_1])$  korrespondiert. Dann ist auf dem Quader

$$Q^d = \left\{ \alpha = (\alpha_1, \dots, \alpha_d) \in \mathbb{R}^d \mid 0 \leq \alpha_i \leq 1/d, i = 1, \dots, d \right\}$$

die Abbildung  $\alpha \rightarrow (u_\alpha(\cdot), \mathcal{A}_\alpha) \in L_\infty([t_0, t_1], U) \times \mathcal{Z}^k([t_0, t_1])$  wohldefiniert. Dabei bezeichnen

$$u_\alpha(t) = u_*(t) + \sum_{i=1}^d \chi_{M_i(\alpha_i)}(t) \cdot (u_i(t) - u_*(t))$$

und  $\mathcal{A}_\alpha$  identifizieren wir durch die charakteristische Vektorfunktion

$$\chi_{\mathcal{A}_\alpha}(t) = \chi_{\mathcal{A}_*}(t) + \sum_{i=1}^d \chi_{M_i(\alpha_i)}(t) \cdot (\chi_{\mathcal{A}_i}(t) - \chi_{\mathcal{A}_*}(t)).$$

Aus den Eigenschaften der Mengenfamilien in der Setzung der verallgemeinerten Nadelvariation folgt für jede wohldefinierte Vektorfunktion  $h = (h_1, \dots, h_k)$  und jedes  $\alpha \in Q^d$

$$\begin{aligned} & \chi_{\mathcal{A}_\alpha}(t) \circ h(t, x, u_\alpha(t)) - \chi_{\mathcal{A}_*}(t) \circ h(t, x, u_*(t)) \\ &= \sum_{i=1}^d \chi_{M_i(\alpha_i)}(t) \cdot \left( \chi_{\mathcal{A}_i}(t) \circ h(t, x, u_i(t)) - \chi_{\mathcal{A}_*}(t) \circ h(t, x, u_*(t)) \right). \end{aligned} \quad (\text{E.12})$$

Denn verwenden wir zuerst die Setzung von  $u_\alpha(\cdot)$ , so erhalten wir

$$\begin{aligned} \chi_{\mathcal{A}_\alpha}(t) \circ h(t, x, u_\alpha(t)) &= \chi_{\mathcal{A}_\alpha}(t) \circ h\left(t, x, u_*(t) + \sum_{i=1}^d \chi_{M_i(\alpha_i)}(t)(u_i(t) - u_*(t))\right) \\ &= \chi_{\mathcal{A}_\alpha}(t) \circ \left( h(t, x, u_*(t)) + \sum_{i=1}^d \chi_{M_i(\alpha_i)}(t) \cdot \left( h(t, x, u_i(t)) - h(t, x, u_*(t)) \right) \right) \\ &= \chi_{\mathcal{A}_\alpha}(t) \circ h(t, x, u_*(t)) + \chi_{\mathcal{A}_\alpha}(t) \circ \sum_{i=1}^d \chi_{M_i(\alpha_i)}(t) \cdot \left( h(t, x, u_i(t)) - h(t, x, u_*(t)) \right). \end{aligned}$$

Nutzen wir nun die Gestalt von  $\chi_{\mathcal{A}_\alpha}(\cdot)$  aus und verwenden im zweiten Summanden, dass die Mengenfamilien  $\{M_i(\alpha_i)\}$  nach Konstruktion die Eigenschaft

$$\left( \sum_{i=1}^d \chi_{M_i(\alpha_i)}(t) \right)^2 = \sum_{i=1}^d \chi_{M_i(\alpha_i)}^2(t) = \sum_{i=1}^d \chi_{M_i(\alpha_i)}(t)$$

besitzen, dann ergibt sich

$$\begin{aligned} & \chi_{\mathcal{A}_\alpha}(t) \circ h(t, x, u_*(t)) + \chi_{\mathcal{A}_\alpha}(t) \circ \sum_{i=1}^d \chi_{M_i(\alpha_i)}(t) \cdot \left( h(t, x, u_i(t)) - h(t, x, u_*(t)) \right) \\ &= \chi_{\mathcal{A}_*}(t) \circ h(t, x, u_*(t)) + \sum_{i=1}^d \chi_{M_i(\alpha_i)}(t) \cdot \left( \chi_{\mathcal{A}_i}(t) - \chi_{\mathcal{A}_*}(t) \right) \circ h(t, x, u_*(t)) \\ & \quad + \sum_{i=1}^d \chi_{M_i(\alpha_i)}(t) \cdot \chi_{\mathcal{A}_*}(t) \circ \left( h(t, x, u_i(t)) - h(t, x, u_*(t)) \right) \\ & \quad + \sum_{i=1}^d \chi_{M_i(\alpha_i)}(t) \cdot \left( \chi_{\mathcal{A}_i}(t) - \chi_{\mathcal{A}_*}(t) \right) \circ \left( h(t, x, u_i(t)) - h(t, x, u_*(t)) \right). \end{aligned}$$

Daraus folgt nun nach Vereinfachung

$$\begin{aligned} \chi_{\mathcal{A}_\alpha}(t) \circ h(t, x, u_\alpha(t)) &= \chi_{\mathcal{A}_*}(t) \circ h(t, x, u_*(t)) \\ & \quad + \sum_{i=1}^d \chi_{M_i(\alpha_i)}(t) \cdot \left( \chi_{\mathcal{A}_i}(t) \circ h(t, x, u_i(t)) - \chi_{\mathcal{A}_*}(t) \circ h(t, x, u_*(t)) \right), \end{aligned}$$

und nach Subtraktion von  $\chi_{\mathcal{A}_*}(t) \circ h(t, x, u_*(t))$  die Beziehung (E.12).

Betrachten wir die Verknüpfung der Vektorfunktion  $h = (h_1, \dots, h_k)$  mit den Zerlegungen  $\mathcal{A}_\alpha, \mathcal{A}_{\alpha'} \in \mathcal{L}^k([t_0, t_1])$ ,  $\alpha, \alpha' \in Q^d$ , dann erhalten wir mit (E.12)

$$\begin{aligned} & \chi_{\mathcal{A}_\alpha}(t) \circ h(t, x, u_\alpha(t)) - \chi_{\mathcal{A}_{\alpha'}}(t) \circ h(t, x, u_{\alpha'}(t)) \\ &= \sum_{i=1}^d (\chi_{M_i(\alpha_i)}(t) - \chi_{M_i(\alpha'_i)}(t)) \cdot \left( \chi_{\mathcal{A}_i}(t) \circ h(t, x, u_i(t)) - \chi_{\mathcal{A}_*}(t) \circ h(t, x, u_*(t)) \right). \end{aligned} \quad (\text{E.13})$$

Die Beziehungen (E.12) und (E.13) für Multiprozesse entsprechen gerade den Eigenschaften (E.3), (E.4). Beachten wir nun außerdem die Ungleichung

$$\|\chi_{\mathcal{A}}(t) \circ h(t, x, u)\| \leq \sum_{s=1}^k \|h^s(t, x, u^s)\|,$$

dann ergeben sich auf die gleiche Weise wie im Abschnitt E.3 für hinreichend kleine Parameter  $\Delta \in (0, 1/d]$  auf den Mengen

$$\begin{aligned} \Sigma(\Delta) &= \left\{ \alpha = (\alpha_1, \dots, \alpha_d) \in \mathbb{R}^d \mid \alpha_1, \dots, \alpha_d \geq 0, \sum_{i=1}^d \alpha_i \leq \Delta \right\}, \\ V &= \{x(\cdot) \in C([t_0, t_1], \mathbb{R}^n) \mid \|x(\cdot) - x_*(\cdot)\|_\infty \leq \sigma\} \end{aligned}$$

die folgenden Aussagen:

**Lemma E.6.** Für alle  $\alpha, \alpha' \in \Sigma(\Delta)$  und alle  $x(\cdot), x'(\cdot) \in V$  gilt:

$$\begin{aligned} & \max_{t \in [t_0, t_1]} \left\| \int_{t_0}^t \left[ \chi_{\mathcal{A}_\alpha}(\tau) \circ \varphi(\tau, x(\tau), u_\alpha(\tau)) - \chi_{\mathcal{A}_{\alpha'}}(\tau) \circ \varphi(\tau, x'(\tau), u_{\alpha'}(\tau)) \right. \right. \\ & \quad \left. \left. - \chi_{\mathcal{A}_*}(\tau) \circ \varphi(\tau, x_*(\tau), u_*(\tau)) (x(\tau) - x'(\tau)) \right. \right. \\ & \quad \left. \left. - \sum_{i=1}^d (\alpha_i - \alpha'_i) \left( \chi_{\mathcal{A}_i}(\tau) \circ \varphi(\tau, x_*(\tau), u_i(\tau)) - \chi_{\mathcal{A}_*}(\tau) \circ \varphi(\tau, x_*(\tau), u_*(\tau)) \right) \right] d\tau \right\| \\ & \leq \delta \left( \|x(\cdot) - x'(\cdot)\|_\infty + \sum_{i=1}^d |\alpha_i - \alpha'_i| \right). \end{aligned}$$

**Lemma E.7.** Für alle  $\alpha \in \Sigma(\Delta)$  und alle  $x(\cdot) \in V$  gilt:

$$\begin{aligned} & \int_{t_0}^{t_1} \left[ \chi_{\mathcal{A}_\alpha}(t) \circ f(t, x(t), u_\alpha(t)) - \chi_{\mathcal{A}_*}(t) \circ f(t, x(t), u_*(t)) \right. \\ & \quad \left. - \sum_{i=1}^d \alpha_i \cdot \left( \chi_{\mathcal{A}_i}(t) \circ f(t, x(t), u_i(t)) - \chi_{\mathcal{A}_*}(t) \circ f(t, x(t), u_*(t)) \right) \right] dt \leq \delta \sum_{i=1}^d \alpha_i. \end{aligned}$$

### E.5. Mehrfache Nadelvariationen über dem unendlichen Zeithorizont

Der Beweis des Pontrjaginschen Maximumprinzips für die Aufgabe mit unendlichem Zeithorizont im Kapitel 4 basiert ebenfalls auf einer mehrfachen Nadelvariation. Die wesentlichen Grundlagen dazu haben wir in den vorhergehenden Abschnitten gelegt. Allerdings werden wir mit zwei neuen Herausforderungen konfrontiert, nämlich mit dem unbeschränkten Zeitintervall  $\mathbb{R}_+$  und mit der möglicherweise lokal unbeschränkten Dichtefunktion  $\omega(\cdot) \in L_1(\mathbb{R}_+, \mathbb{R}_+)$  im Integranden des Zielfunktional. Ein typischer Vertreter ist die Weibull-Verteilung  $\omega(t) = t^{k-1}e^{-t^k}$  mit einem Formparameter  $k \in (0, 1)$ .

Ausgangspunkt für die Betrachtung der mehrfachen Nadelvariation ist die Angabe geeigneter Trägerfamilien (Lemma E.3) und die Eigenschaften, die nach Lemma E.4 und Lemma E.5 dem Steuerungsproblem übergeben werden. Wir werden nun zeigen, wie wir die wesentliche Argumentation für das unbeschränkte Zeitintervall und für einen lokal unbeschränkten Integranden auf eine kompakte Menge  $K$  zurückführen können.

Zu einer messbaren Menge  $A$  bezeichnet  $|A|$  das Lebesgue-Maß dieser Menge. Sei  $K \subset \mathbb{R}_+$  eine kompakte Menge mit  $|K| > 0$ . Dann existiert ein  $T > 0$  mit  $K \subseteq [0, T]$ . Außerdem gibt es zu jedem  $n \in \mathbb{N}$  Zahlen  $0 = t_0 < t_1 < \dots < t_n = T$  mit  $|[t_{i-1}, t_i] \cap K| = |K|/n$ ,  $i = 1, \dots, n$ . Damit definieren die Mengen  $\Delta_i = [t_{i-1}, t_i] \cap K$  eine geordnete Zerlegung gleicher Länge der Menge  $K$ . Mit diesen Vorbereitungen ergibt sich das folgende Lemma:

**Lemma E.8.** *Es sei  $K \subset \mathbb{R}_+$  kompakt und es seien  $y_i(\cdot)$ ,  $y_i : K \rightarrow \mathbb{R}^{n_i}$ ,  $i = 1, \dots, d$ , beschränkte messbare Vektorfunktionen. Dann existieren zu jedem  $\delta > 0$  einparametrische Mengenfamilien  $M_1(\alpha), \dots, M_d(\alpha)$ ,  $0 \leq \alpha \leq 1/d$ , messbarer Teilmengen der Menge  $K$  derart, dass für alle  $i = 1, \dots, d$ ,  $0 \leq \alpha' \leq \alpha \leq 1/d$  und  $i \neq i'$  gilt:*

$$|M_i(\alpha)| = \alpha|K|, \quad M_i(\alpha') \subseteq M_i(\alpha), \quad M_i(\alpha) \cap M_{i'}(\alpha') = \emptyset,$$

$$\max_{t \in K} \left\| \int_{[0,t] \cap K} (\chi_{M_i(\alpha)}(\tau) - \chi_{M_i(\alpha')}(\tau)) y_i(\tau) d\tau - (\alpha - \alpha') \int_{[0,t] \cap K} y_i(\tau) d\tau \right\| \leq \delta |\alpha - \alpha'|.$$

**Beweis** Es sei  $\{\Delta_1, \dots, \Delta_r\}$  eine geordnete Zerlegung der Menge  $K$  gleicher Länge nicht größer als  $\delta/(2C)$ . Betrachten wir damit die Mengen

$$M_{ij}(\alpha) = \left\{ t \in (A_j \cap \Delta_i) \mid \int_0^t \chi_{(A_j \cap \Delta_i)}(\tau) d\tau < \alpha \cdot |A_j \cap \Delta_i| \right\},$$

dann ergibt sich der Nachweis unmittelbar aus dem Beweis von Lemma E.1. ■

Für die weiteren Betrachtungen geben wir einen Überblick über die benötigten Eigenschaften an die Aufgabe (4.10)–(4.14), die wir im Kapitel 4 getroffen haben:

Es seien  $x_*(\cdot) \in C_{\lim}(\mathbb{R}_+, \mathbb{R}^n)$  und  $u_*(\cdot) \in L_\infty(\mathbb{R}_+, U)$ . Zu  $x_*(\cdot)$  bezeichnet  $V_\gamma$  die Menge

$$V_\gamma = \{(t, x) \in \overline{\mathbb{R}}_+ \times \mathbb{R}^n \mid \|x - x_*(t)\| \leq \gamma\}.$$

Wir nehmen an, dass es zu jeder kompakten Menge  $U_1 \subseteq \mathbb{R}^m$  eine Zahl  $\gamma > 0$  derart gibt, dass auf der Menge  $V_\gamma \times U_1$  die Abbildungen  $f(t, x, u)$  und  $\varphi(t, x, u)$  gleichmäßig stetig und

gleichmäßig stetig differenzierbar bezüglich  $x$  sind. Ferner seien für das Paar  $(x_*(\cdot), u_*(\cdot))$  folgende Eigenschaften erfüllt: Es sind die Lebesgue-Integrale

$$\int_0^\infty \|\varphi(t, x_*(t), u_*(t))\| dt, \quad \int_0^\infty \|\varphi_x(t, x_*(t), u_*(t))\| dt$$

endlich. Außerdem nehmen wir an, es existiert zu jedem  $\delta > 0$  ein  $T > 0$  mit

$$\int_T^\infty \|\varphi(t, x(t), u_*(t)) - \varphi(t, x'(t), u_*(t)) - \varphi_x(t, x_*(t), u_*(t))(x(t) - x'(t))\| dt \leq \delta \|x(\cdot) - x'(\cdot)\|_\infty \tag{E.14}$$

für alle  $x(\cdot), x'(\cdot) \in C_{\text{lim}}(\mathbb{R}_+, \mathbb{R}^n)$  mit  $\|x(\cdot) - x_*(\cdot)\|_\infty \leq \gamma, \|x'(\cdot) - x_*(\cdot)\|_\infty \leq \gamma$ . Ferner bezeichnet  $\mathcal{U}$  die Menge aller  $u(\cdot) \in L_\infty(\mathbb{R}_+, U)$ , die die Darstellung

$$u(t) = u_*(t) + \chi_M(t)(w(t) - u_*(t))$$

mit  $w(\cdot) \in L_\infty(\mathbb{R}_+, U)$  und einer meßbar und beschränkten Menge  $M \subset \mathbb{R}_+$  besitzen.

Es seien  $u_1(\cdot), \dots, u_d(\cdot) \in \mathcal{U}$  und  $\delta > 0$  gegeben. Dann lässt sich eine Zahl  $T > 0$  derart wählen, dass die Mengen  $M_i$ , die in den Darstellungen der Steuerungen  $u_i(\cdot) \in \mathcal{U}$  auftreten, im Intervall  $[0, T]$  enthalten sind und die Relation (E.14) mit  $\delta/3$  erfüllt ist.

Ferner existiert nach dem Satz von Lusin eine kompakte Menge  $K \subseteq [0, T]$ , auf der die Funktion  $\omega(\cdot)$  stetig ist und zudem für  $i = 1, \dots, d$  folgende Relationen gelten:

$$\int_{[0, T] \setminus K} \|\varphi(t, x_*(t), u_i(t)) - \varphi(t, x_*(t), u_*(t))\| dt \leq \frac{\delta}{3}, \tag{E.15}$$

$$\int_{[0, T] \setminus K} \omega(t) |f(t, x_*(t), u_i(t)) - f(t, x_*(t), u_*(t))| dt \leq \frac{\delta}{2}. \tag{E.16}$$

Wir betrachten im Folgenden für  $i = 1, \dots, d$  die Funktionen  $y_i(\cdot)$ ,

$$y_i(t) = \left( \varphi(t, x_*(t), u_i(t)) - \varphi(t, x_*(t), u_*(t)), \omega(t) [f(t, x_*(t), u_i(t)) - f(t, x_*(t), u_*(t))] \right),$$

die nach Wahl von  $K$  über dieser Menge messbar und beschränkt sind. Mit den zugehörigen Trägermengen  $M_1(\alpha), \dots, M_d(\alpha) \subseteq K$  aus Lemma E.8 definieren wir über  $\mathbb{R}_+$  die

Abbildung  $\alpha \rightarrow u_\alpha(\cdot) \in \mathcal{U}, u_\alpha(t) = u_*(t) + \sum_{i=1}^d \chi_{M_i(\alpha_i)}(t) \cdot (u_i(t) - u_*(t))$ . Diese ist auf

dem Quader  $Q^d = \{\alpha = (\alpha_1, \dots, \alpha_d) \in \mathbb{R}^d \mid 0 \leq \alpha_i \leq 1/d, i = 1, \dots, d\}$  wohldefiniert.

Im Weiteren bezeichnen  $\Sigma(\Delta)$  und  $V(\sigma)$  die Mengen

$$\Sigma(\Delta) = \left\{ \alpha = (\alpha_1, \dots, \alpha_d) \in \mathbb{R}^d \mid \alpha_1, \dots, \alpha_d \geq 0, \sum_{i=1}^d \alpha_i \leq \Delta \right\},$$

$$V(\sigma) = \{x(\cdot) \in C_{\text{lim}}(\mathbb{R}_+, \mathbb{R}^n) \mid \|x(\cdot) - x_*(\cdot)\|_\infty \leq \sigma\}.$$

Die Menge  $V(\sigma)$  sei so gewählt, dass die Eigenschaften (E.5)–(E.7) über  $[0, T]$  statt über  $[t_0, t_1]$  gelten. Auf diesen Mengen betrachten wir die Abbildungen

$$\begin{aligned} \Phi_1(x(\cdot), \alpha)(t) &= \int_0^t [\varphi(\tau, x(\tau), u_\alpha(\tau)) - \varphi(\tau, x_*(\tau), u_*(\tau))] d\tau, \quad t \in \mathbb{R}_+, \\ \Lambda_1(x(\cdot), \alpha)(t) &= \int_0^t \left[ \varphi_x(\tau, x_*(\tau), u_*(\tau))(x(\tau) - x_*(\tau)) \right. \\ &\quad \left. + \sum_{i=1}^d \alpha_i \cdot (\varphi(\tau, x_*(\tau), u_i(\tau)) - \varphi(\tau, x_*(\tau), u_*(\tau))) \right] d\tau, \quad t \in \mathbb{R}_+ \end{aligned}$$

und die Funktionale

$$\begin{aligned} \Phi_2(x(\cdot), \alpha) &= \int_0^\infty \omega(t) [f(t, x(t), u_\alpha(t)) - f(t, x(t), u_*(t))] dt, \\ \Lambda_2(x(\cdot), \alpha) &= \sum_{i=1}^d \int_0^\infty \alpha_i \cdot \omega(t) [f(t, x(t), u_i(t)) - f(t, x(t), u_*(t))] dt. \end{aligned}$$

**Lemma E.9.** *Es existieren  $\Delta \in (0, 1/d]$  und  $\sigma > 0$  derart, dass*

$$\begin{aligned} &\left\| [\Phi_1(x(\cdot), \alpha) - \Phi_1(x'(\cdot), \alpha') - \Lambda_1(x(\cdot), \alpha) - \Lambda_1(x'(\cdot), \alpha')](\cdot) \right\|_\infty \\ &\leq \delta \left( \|x(\cdot) - x'(\cdot)\|_\infty + \sum_{i=1}^d |\alpha_i - \alpha'_i| \right) \end{aligned} \tag{E.17}$$

für alle  $\alpha, \alpha' \in \Sigma(\Delta)$  und alle  $x(\cdot), x'(\cdot) \in V(\sigma)$  gilt.

**Beweis** Beachten wir, dass die Abbildung  $\alpha \rightarrow u_\alpha(\cdot)$  nur für  $t \in K$  einfließt, so können wir die linke Seite in (E.17) gegen folgenden Ausdruck nach oben abschätzen:

$$\begin{aligned} &\int_{[0, T] \setminus K} \|\varphi(t, x(t), u_*(t)) - \varphi(t, x'(t), u_*(t)) - \varphi_x(t, x_*(t), u_*(t))(x(t) - x'(t))\| dt \\ &\quad + \sum_{i=1}^d (\alpha_i - \alpha'_i) \cdot \int_{[0, T] \setminus K} \|\varphi(t, x_*(t), u_i(t)) - \varphi(t, x_*(t), u_*(t))\| dt \\ + \max_{t \in [0, T]} &\left\| \int_{[0, t] \cap K} \left[ \varphi(\tau, x(\tau), u_\alpha(\tau)) - \varphi(\tau, x'(\tau), u_{\alpha'}(\tau)) \right. \right. \\ &\quad - \varphi_x(\tau, x_*(\tau), u_*(\tau))(x(\tau) - x'(\tau)) \\ &\quad \left. \left. - \sum_{i=1}^d (\alpha_i - \alpha'_i) \cdot (\varphi(\tau, x_*(\tau), u_i(\tau)) - \varphi(\tau, x_*(\tau), u_*(\tau))) \right] d\tau \right\| \\ + \int_T^\infty &\|\varphi(t, x(t), u_*(t)) - \varphi(t, x'(t), u_*(t)) - \varphi_x(t, x_*(t), u_*(t))(x(t) - x'(t))\| dt. \end{aligned}$$

Wegen (E.7) und (E.15) ist der erste Summand kleiner oder gleich

$$\frac{\delta}{3} \left( \|x(\cdot) - x'(\cdot)\|_{\infty} + \sum_{i=1}^d |\alpha_i - \alpha'_i| \right).$$

Nach Wahl der Zahl  $T$  fällt der letzte Summand kleiner gleich  $\delta/3 \cdot \|x(\cdot) - x'(\cdot)\|_{\infty}$  aus. Bezüglich der kompakten Menge  $K$  lässt sich genauso wie im Beweis von Lemma E.4 ein  $\Delta \in (0, 1/d]$  derart angeben, dass der mittlere Summand kleiner oder gleich

$$\frac{\delta}{3} \left( \|x(\cdot) - x'(\cdot)\|_{\infty} + \sum_{i=1}^d |\alpha_i - \alpha'_i| \right)$$

für alle  $\alpha, \alpha' \in \Sigma(\Delta)$  und alle  $x(\cdot), x'(\cdot) \in V(\sigma)$  ausfällt. ■

**Lemma E.10.** *Es existieren  $\Delta \in (0, 1/d]$  und  $\sigma > 0$  derart, dass die Ungleichung*

$$\Phi_2(x(\cdot), \alpha) - \Lambda_2(x(\cdot), \alpha) \leq \delta \sum_{i=1}^d \alpha_i \quad (\text{E.18})$$

für alle  $\alpha \in \Sigma(\Delta)$  und alle  $x(\cdot) \in V(\sigma)$  gilt.

**Beweis** Die linke Seite in (E.18) ist gleich

$$\sum_{i=1}^d \int_0^{\infty} \left( \chi_{M_i(\alpha_i)}(t) - \alpha_i \right) \cdot \left( \omega(t) [f(t, x(t), u_i(t)) - f(t, x(t), u_*(t))] \right) dt.$$

Beachten wir  $M_i(\alpha_i) \subseteq K$ , so folgt nach (E.16) bei der Wahl der Menge  $K$ :

$$\sum_{i=1}^d \int_{[0, T] \setminus K} \alpha_i \cdot \left( \omega(t) [f(t, x(t), u_i(t)) - f(t, x(t), u_*(t))] \right) dt \leq \frac{\delta}{2} \sum_{i=1}^d \alpha_i.$$

Nach Wahl von  $T$  gilt  $u_i(t) = u_*(t)$  für alle  $t > T$  und  $i = 1, \dots, d$ . Daher ist

$$\sum_{i=1}^d \int_T^{\infty} \alpha_i \cdot \left( \omega(t) [f(t, x(t), u_i(t)) - f(t, x(t), u_*(t))] \right) dt = 0.$$

Ferner erhalten wir wie im Beweis von Lemma E.5 über der kompakten Menge  $K$  die Relation

$$\sum_{i=1}^d \int_K \left( \chi_{M_i(\alpha_i)}(t) - \alpha_i \right) \cdot \left( \omega(t) [f(t, x(t), u_i(t)) - f(t, x(t), u_*(t))] \right) dt \leq \frac{\delta}{2} \sum_{i=1}^d \alpha_i$$

für alle  $\alpha \in \Sigma(\Delta)$  und alle  $x(\cdot) \in V(\sigma)$ . ■

## E.6. Mehrfache Nadelvariationen für Integralgleichungen

Die Herausforderungen bei der Untersuchungen von mehrfachen Nadelvariationen für Integralgleichungen werden durch verschiedene Elemente der Untersuchungen im Kapitel 5 hervorgerufen:

- Einerseits sehen wir uns durch die innere und die äußere Zeitvariable mit einem zweidimensionalen Zeitbereich und einer Familie von rechten Seiten in der Dynamik konfrontiert.
- Andererseits führt die Methode der Substitution der Zeit in der Aufgabe mit freiem Anfangs- und Endzeitpunkt im Abschnitt 5.5 zu Zuständen der äußeren Zeit, welche in die Dynamik und den Integranden des Zielfunktional einfließen.

In den vorherigen Abschnitten wurden die mehrfachen Nadelvariationen zu messbar und beschränkten Funktionen auf Basis einparametrischer Mengenfamilien  $\{M_i(\alpha)\}$  ausgearbeitet. Im Fokus stand dabei vorrangig die rechte Seite der Dynamik (2.16) der Standardaufgabe (2.15)–(2.19), die in Integraldarstellung die Gestalt

$$x(t) = x(t_0) + \int_{t_0}^t \varphi(s, x(s), u(s)) ds \quad (\text{E.19})$$

besitzt. Im Rahmen der Steuerung von Integralgleichungen hat die Dynamik die Form

$$x(t) = x(t_0) + \int_{t_0}^t \varphi(t, s, x(s), u(s)) ds. \quad (\text{E.20})$$

Während der Integrand in (E.19) stets nur eine Abbildung  $s \rightarrow \varphi(s, x(s), u(s))$  enthält, liegt in (E.20) zu jedem  $t \in [t_0, t_1]$  eine Familie  $s \rightarrow \{\varphi(\tau, s, x(s), u(s)) \mid \tau \in [t_0, t]\}$  vor. Die Herausforderung besteht nun in dem Nachweis, dass bezüglich der Abbildungsfamilie in der Dynamik (E.20) ebenfalls einparametrische Mengenfamilien  $\{M_i(\alpha)\}$  in der Form angegeben werden können, dass eine Entsprechung von Lemma E.4 gültig ist – und das unabhängig vom Parameter  $t \in [t_0, t_1]$ . Dazu werden wir im Folgenden die Abbildung  $\varphi(t, s, x, u)$  bezüglich der Variable  $t$  geeignet approximieren und anschließend die Mengenfamilien  $\{M_i(\alpha)\}$  bezüglich der Variable  $s$  ausarbeiten.

Die Methode der Substitution der Zeit im Abschnitt 5.5 führt zu einem Zielfunktional und einer Dynamik, welche sich in die folgende allgemeine Form eingliedern lassen:

$$\begin{aligned} J(x(\cdot), u(\cdot)) &= \int_{t_0}^{t_1} f(s, x(s), x(t_0), x(t_1), u(s)) ds, \\ x(t) &= x(t_0) + \int_{t_0}^t \varphi(t, s, x(t), x(s), u(s)) ds, \quad t \in [t_0, t_1]. \end{aligned}$$

Darin fließen die Zustände  $x(t_0)$ ,  $x(t_1)$  in das Zielfunktional bzw. und der Zustand  $x(t)$  in die Dynamik ein. Deswegen müssen wir im Folgenden die Zustände der äußeren Zeit in die Betrachtungen aufnehmen.

Wir befassen uns also mit den Abbildungen  $f = f(s, x, x_0, x_1, u)$  und  $\varphi = \varphi(t, s, \xi, x, u)$ . In Verallgemeinerung zu  $V_\gamma^{\mathcal{I}}$  führen wir für  $x_*(\cdot)$  die Menge  $\mathcal{V}_\gamma^{\mathcal{I}}$  all derjenigen Punkte  $(t, s, \xi, x, x_0, x_1) \in \mathbb{R} \times \mathbb{R} \times \mathbb{R}^n \times \mathbb{R}^n \times \mathbb{R}^n \times \mathbb{R}^n$  ein, für die die Ungleichungen

$$t_0 \leq s, t \leq t_1, \quad \|\xi - x_*(t)\| \leq \gamma, \quad \|x - x_*(s)\| \leq \gamma, \quad \|x_0 - x_*(t_0)\| \leq \gamma, \quad \|x_1 - x_*(t_1)\|$$

erfüllt sind. Wir nehmen an, dass die Abbildungen  $f(s, x, x_0, x_1, u)$  und  $\varphi(t, s, \xi, x, u)$  auf  $\mathcal{V}_\gamma^{\mathcal{I}} \times \mathbb{R}^m$  stetig in der Gesamtheit der Variablen und stetig differenzierbar bezüglich der Zustandsvariablen  $\xi, x$  und  $x_0, x_1$  sind. Daher sind für jede kompakte Menge  $U_1 \subset \mathbb{R}^m$  die Abbildungen  $\varphi, \varphi_\xi$  und  $\varphi_x$  gleichmäßig stetig auf  $\mathcal{V}_\gamma^{\mathcal{I}} \times U_1$ : Zu jedem  $\varepsilon > 0$  gibt es ein  $\sigma > 0$  mit

$$\|\varphi(t, s, \xi, x, u) - \varphi(t', s', \xi', x', u')\| \leq \varepsilon$$

und

$$\|\varphi_\xi(t, s, \xi, x, u) - \varphi_\xi(t', s', \xi', x', u')\| \leq \varepsilon, \quad \|\varphi_x(t, s, \xi, x, u) - \varphi_x(t', s', \xi', x', u')\| \leq \varepsilon$$

für alle  $(t, s, \xi, x, u), (t', s', \xi', x', u') \in \mathcal{V}_\gamma^{\mathcal{I}} \times U_1$  mit  $\|(t, s, \xi, x, u) - (t', s', \xi', x', u')\| \leq \sigma$ . Hier und im Folgenden bezeichnet  $(t, s, \xi, x) \in \mathcal{V}_\gamma^{\mathcal{I}}$  die Einschränkung von  $(t, s, \xi, x, x_0, x_1) \in \mathcal{V}_\gamma^{\mathcal{I}}$  auf die ersten vier Komponenten.

Es seien  $x_*(\cdot) \in C([t_0, t_1], \mathbb{R}^n)$ ,  $u_*(\cdot) \in L_\infty([t_0, t_1], U)$  und  $u_1(\cdot), \dots, u_d(\cdot) \in L_\infty([t_0, t_1], U)$ . Weil sämtliche Funktionen  $u_*(\cdot), u_1(\cdot), \dots, u_d(\cdot)$  messbar und beschränkt sind, sind ihre Werte fast überall in  $[t_0, t_1]$  in einer kompakten Menge  $U_1 \subset \mathbb{R}^m$  enthalten. Wegen der gleichmäßigen Stetigkeit der Abbildungen  $\varphi(t, s, \xi, x, u)$ ,  $\varphi_\xi(t, s, \xi, x, u)$  und  $\varphi_x(t, s, \xi, x, u)$  auf  $\mathcal{V}_\gamma^{\mathcal{I}} \times U_1$  gibt es zu jedem  $\delta > 0$  eine Zerlegung  $t_0 = \tau_0 < \tau_1 < \dots < \tau_K = t_1$  von  $[t_0, t_1]$  und eine Zahl  $0 < \sigma \leq \gamma$  derart, dass für jedes  $j = 1, \dots, K$  die Ungleichungen

$$\left. \begin{aligned} \|x_*(t) - x_*(\tau_j)\| &\leq \sigma, \\ \|\varphi(t, s, \xi, x, u) - \varphi(\tau_j, s, x_*(\tau_j), x, u)\| &\leq \delta, \\ \|\varphi_\xi(t, s, \xi, x, u) - \varphi_\xi(\tau_j, s, x_*(\tau_j), x, u)\| &\leq \delta, \\ \|\varphi_x(t, s, \xi, x, u) - \varphi_x(\tau_j, s, x_*(\tau_j), x, u)\| &\leq \delta \end{aligned} \right\} \quad (\text{E.21})$$

für alle  $(t, s, \xi, x, u) \in \mathcal{V}_\sigma^{\mathcal{I}} \times U_1$  mit  $t \in [\tau_{j-1}, \tau_j]$  gelten.

Die Zerlegung  $t_0 = \tau_0 < \tau_1 < \dots < \tau_K = t_1$  des Intervalls  $[t_0, t_1]$  mit der Eigenschaft (E.21) bezüglich der äußeren Zeitvariable  $t$  bildet die Grundlage bei der Reduktion des zweidimensionalen Zeitbereichs auf das Zeitintervall  $[t_0, t_1]$  der inneren Zeitvariable  $s$ .

Dieser Schritt erfolgt nun durch die Definition der Abbildungen  $\psi_j$  in  $t = \tau_j$ :

$$\psi_j(s, x, u) = \varphi(\tau_j, s, x_*(\tau_j), x, u) \quad \text{für } s \in [t_0, t_1]. \quad (\text{E.22})$$

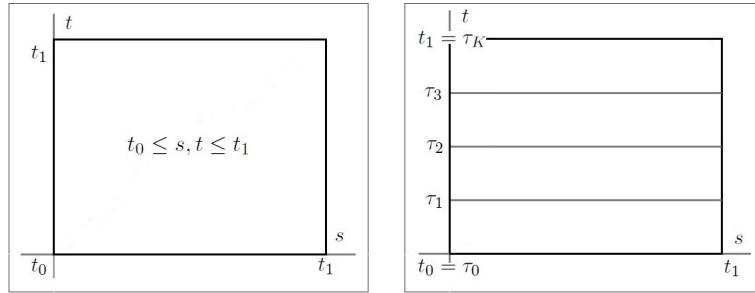


Abbildung 23: Zerlegung des Zeitbereiches  $t_0 \leq s, t \leq t_1$  in der  $(s, t)$ -Ebene.

Die Abbildungen  $\psi_j$  stellen die Einschränkungen von  $\varphi$  über den horizontalen Linien  $t = \tau_j$  innerhalb des zweidimensionalen Zeitbereichs  $\{(t, s) \in \mathbb{R}^2 \mid t_0 \leq s, t \leq t_1\}$  dar. Wir werden nun zeigen, dass die Abbildung  $\psi_j$  eine geeignete Approximation der Abbildung  $\varphi$  über dem Rechteck  $[\tau_{j-1}, \tau_j] \times [t_0, t_1]$  bildet.

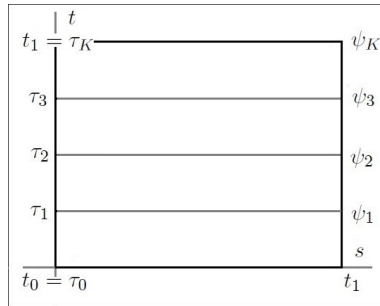


Abbildung 24: Abbildungen  $\psi_j$  innerhalb der  $(s, t)$ -Ebene.

Nach Wahl der Stellen  $\tau_j \in [t_0, t_1]$  und der Zahl  $\sigma > 0$  liefert für  $t \in [\tau_{j-1}, \tau_j]$  die jeweilige Abbildung  $\psi_j$  nach (E.21) eine  $\delta$ -Approximation von  $\varphi$  für alle  $(t, s, \xi, x, u) \in \mathcal{V}_\sigma^T \times U_1$  mit  $t \in [\tau_{j-1}, \tau_j]$ . Daher ist für alle  $(t, s, \xi, x, u) \in \mathcal{V}_\sigma^T \times U_1$  die Ungleichung

$$\begin{aligned} & \left\| \varphi(t, s, \xi, x, u) - \sum_{j=1}^K \chi_{(\tau_{j-1}, \tau_j]}(t) \cdot \varphi(\tau_j, s, x_*(\tau_j), x, u) \right\| \\ &= \left\| \varphi(t, s, \xi, x, u) - \sum_{j=1}^K \chi_{(\tau_{j-1}, \tau_j]}(t) \cdot \psi_j(s, x, u) \right\| \leq \delta \end{aligned} \quad (\text{E.23})$$

erfüllt. Die Stelle  $t = t_0$  ist stillschweigend inbegriffen.

Mit Hilfe der Abbildungen  $\psi_j$  führen wir nun die gesuchten Mengenfamilien  $\{M_i(\alpha)\}$  bezüglich der Variable  $s$  ein. Dazu fassen wir die  $\psi_j$  zu einer Abbildung  $\psi$  zusammen:

$$\psi(s, x, u) = (\psi_1(s, x, u), \dots, \psi_K(s, x, u)), \quad (s, x, u) \in [t_0, t_1] \times \mathbb{R}^n \times \mathbb{R}^m.$$

Konstruieren wir nun die Mengenfamilien  $\{M_i(\alpha)\}$  bezüglich der Abbildung  $\psi$ , so werden die Mengen  $\{M_i(\alpha)\}$  gleichmäßig für alle  $\psi_j$  erzeugt (Abbildung 25) und besitzen aufgrund  $\|\psi_j\| \leq \|\psi\|$  gleichsam für alle  $\psi_j$  die erforderlichen Eigenschaften.

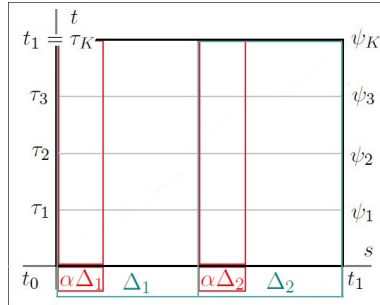


Abbildung 25: Die gleichmäßige Einführung der Trägerfamilien für alle Abbildungen  $\psi_j$ .

Es sei  $\delta > 0$  gegeben. Ferner sei die Zahl  $\sigma > 0$  gewählt. Außerdem sei bezüglich der Variable  $t$  die Zerlegung von  $[t_0, t_1]$  in  $K$  Teilintervalle  $[\tau_{j-1}, \tau_j]$  gemäß (E.21) erfolgt. Entsprechend dem Abschnitt E.2 betrachten wir zu den gegebenen Funktionen  $x_*(\cdot)$ ,  $u_*(\cdot)$  und  $u_1(\cdot), \dots, u_d(\cdot)$  nun für  $i = 1, \dots, d$  die messbaren und beschränkten Abbildungen

$$y_i(s) = \left( \psi(s, x_*(s), u_i(s)) - \psi(s, x_*(s), u_*(s)), \right. \\ \left. f(s, x_*(s), x_*(t_0), x_*(t_1), u_i(s)) - f(s, x_*(s), x_*(t_0), x_*(t_1), u_*(s)) \right).$$

Dann gibt es nach Lemma E.3 über  $[t_0, t_1]$  einparametrische Mengenfamilien  $\{M_i(\alpha)\}$  mit

$$|M_i(\alpha)| = \alpha(t_1 - t_0), \quad M_i(\alpha') \subseteq M_i(\alpha), \quad M_i(\alpha) \cap M_{i'}(\alpha') = \emptyset, \\ \max_{t \in [t_0, t_1]} \left\| \int_{t_0}^t (\chi_{M_i(\alpha)}(s) - \chi_{M_i(\alpha')}(s)) y_i(s) ds - (\alpha - \alpha') \int_{t_0}^t y_i(s) ds \right\| \leq \frac{\delta}{2K} |\alpha - \alpha'|$$

für alle  $i = 1, \dots, d$ ,  $0 \leq \alpha' \leq \alpha \leq 1/d$  und  $i \neq i'$ . Wegen der Setzung von  $\psi$  gilt die letzte dieser Beziehungen ebenfalls für jedes  $j \in \{1, \dots, K\}$  für die Abbildungen

$$y_{ij}(s) = \left( \psi_j(s, x_*(s), u_i(s)) - \psi_j(s, x_*(s), u_*(s)), \right. \\ \left. f(s, x_*(s), x_*(t_0), x_*(t_1), u_i(s)) - f(s, x_*(s), x_*(t_0), x_*(t_1), u_*(s)) \right)$$

mit den bezüglich  $\psi$  angegebenen Mengenfamilien  $\{M_i(\alpha)\}$ :

$$\max_{t \in [t_0, t_1]} \left\| \int_{t_0}^t (\chi_{M_i(\alpha)}(s) - \chi_{M_i(\alpha')}(s)) y_{ij}(s) ds - (\alpha - \alpha') \int_{t_0}^t y_{ij}(s) ds \right\| \leq \frac{\delta}{2K} |\alpha - \alpha'|.$$

Über einem Teilintervall  $[s_0, s_1] \subseteq [t_0, t_1]$  ergibt sich außerdem

$$\begin{aligned} & \max_{t \in [s_0, s_1]} \left\| \int_{s_0}^t (\chi_{M_i(\alpha)}(s) - \chi_{M_i(\alpha')}(s)) y_{ij}(s) ds - (\alpha - \alpha') \int_{s_0}^t y_{ij}(s) ds \right\| \\ & \leq \max_{t \in [t_0, s_1]} \left\| \int_{t_0}^t (\chi_{M_i(\alpha)}(s) - \chi_{M_i(\alpha')}(s)) y_{ij}(s) ds - (\alpha - \alpha') \int_{t_0}^t y_{ij}(s) ds \right\| \\ & \quad + \max_{t \in [t_0, s_0]} \left\| \int_{t_0}^t (\chi_{M_i(\alpha)}(s) - \chi_{M_i(\alpha')}(s)) y_{ij}(s) ds - (\alpha - \alpha') \int_{t_0}^t y_{ij}(s) ds \right\|. \end{aligned}$$

Daher ist über jedem Teilintervall  $[s_0, s_1] \subseteq [t_0, t_1]$  die Ungleichung

$$\max_{t \in [s_0, s_1]} \left\| \int_{s_0}^t (\chi_{M_i(\alpha)}(s) - \chi_{M_i(\alpha')}(s)) y_{ij}(s) ds - (\alpha - \alpha') \int_{s_0}^t y_{ij}(s) ds \right\| \leq \frac{\delta}{K} |\alpha - \alpha'| \quad (\text{E.24})$$

erfüllt. Für die Zerlegung von  $[t_0, t_1]$  in die Teilintervalle  $[\tau_{j-1}, \tau_j]$  ergibt sich schließlich

$$\begin{aligned} & \max_{t \in [t_0, t_1]} \left\| \int_{t_0}^t \sum_{j=1}^K \chi_{(\tau_{j-1}, \tau_j]}(t) \cdot \left[ (\chi_{M_i(\alpha)}(s) - \chi_{M_i(\alpha')}(s)) y_{ij}(s) - (\alpha - \alpha') \cdot y_{ij}(s) \right] ds \right\| \\ & \leq \sum_{j=1}^K \left( \max_{t \in [\tau_{j-1}, \tau_j]} \left\| \int_{\tau_{j-1}}^t (\chi_{M_i(\alpha)}(s) - \chi_{M_i(\alpha')}(s)) y_{ij}(s) ds - (\alpha - \alpha') \int_{\tau_{j-1}}^t y_{ij}(s) ds \right\| \right). \end{aligned}$$

Mit (E.24) können wir die Ungleichung weiterführen und erhalten

$$\leq \sum_{j=1}^K \frac{\delta}{K} |\alpha - \alpha'| = \delta |\alpha - \alpha'|.$$

Zusammenfassend liefern die in (E.22) definierten Abbildungen  $\psi_j$  bezüglich der Variable  $t$  eine  $\delta$ -Approximation der Abbildung  $\varphi$  im Sinn von (E.23). Andererseits sind für die Abbildungen  $\psi_j$  bezüglich der Variable  $s$  mit den Mengenfamilien  $\{M_i(\alpha)\}$  die Beziehungen

$$\left. \begin{aligned} & |M_i(\alpha)| = \alpha(t_1 - t_0), \quad M_i(\alpha') \subseteq M_i(\alpha), \quad M_i(\alpha) \cap M_{i'}(\alpha') = \emptyset, \\ & \max_{t \in [t_0, t_1]} \left\| \int_{t_0}^t \sum_{j=1}^K \chi_{(\tau_{j-1}, \tau_j]}(s) \cdot (\chi_{M_i(\alpha)}(s) - \chi_{M_i(\alpha')}(s)) y_{ij}(s) ds \right. \\ & \quad \left. - (\alpha - \alpha') \int_{t_0}^t \sum_{j=1}^K \chi_{(\tau_{j-1}, \tau_j]}(s) \cdot y_{ij}(s) ds \right\| \leq \delta |\alpha - \alpha'| \end{aligned} \right\} \quad (\text{E.25})$$

für alle  $i = 1, \dots, d$ ,  $0 \leq \alpha' \leq \alpha \leq 1/d$  und  $i \neq i'$  erfüllt. Die Vorbereitungen bezüglich der Trägerfamilien  $\{M_i(\alpha)\}$  sind erbracht und wir können nun die geforderten Eigenschaften entsprechend von Lemma E.4 und von Lemma E.5 angehen.

Im Weiteren bezeichnen  $Q^d$ ,  $\Sigma(\Delta)$  und  $V(\sigma)$  die Mengen aus den Abschnitten E.2 und E.3. Weil alle Steuerungen  $u_*(\cdot), u_1(\cdot), \dots, u_d(\cdot)$  beschränkt sind, sind ihre Werte für fast alle  $t \in [t_0, t_1]$  in einer kompakten Menge  $U_1 \subset \mathbb{R}^m$  enthalten. Nutzen wir darüber hinaus die Stetigkeit von  $f$ ,  $\varphi$ ,  $\varphi_\xi$  und  $\varphi_x$  aus, so können wir ein  $\sigma > 0$  derart angeben, dass

$$\|\varphi(t, s, \xi, x, u) - \varphi(t, s, x_*(t), x_*(s), u)\| \leq \frac{\delta}{4(t_1 - t_0)}, \quad (\text{E.26})$$

$$|f(t, x, x_0, x_1, u) - f(t, x_*(t), x_*(t_0), x_*(t_1), u)| \leq \frac{\delta}{8(t_1 - t_0)}, \quad (\text{E.27})$$

$$\begin{aligned} & \|\varphi(t, s, \xi, x, u) - \varphi(t, s, \xi', x', u) - \varphi_\xi(t, s, x_*(t), x_*(s), u)(\xi - \xi') \\ & \quad - \varphi_x(t, s, x_*(t), x_*(s), u)(x - x')\| \leq \frac{\delta(\|\xi - \xi'\| + \|x - x'\|)}{4(t_1 - t_0)} \end{aligned} \quad (\text{E.28})$$

für alle  $(t, s, \xi, x, x_0, x_1, u) \in \mathcal{V}_\sigma^{\mathcal{I}} \times U_1$  erfüllt sind. Ferner wählen wir  $\Delta \in (0, 1/d]$  mit

$$\left. \begin{aligned} \Delta \cdot \max_{u \in U_1} \|\varphi_\xi(t, s, x_*(t), x_*(s), u)\| &\leq \frac{\delta}{4(t_1 - t_0)} \\ \Delta \cdot \max_{u \in U_1} \|\varphi_x(t, s, x_*(t), x_*(s), u)\| &\leq \frac{\delta}{4(t_1 - t_0)} \end{aligned} \right\} \text{für fast alle } (t, s). \quad (\text{E.29})$$

Außerdem kann eine Zerlegung  $t_0 = \tau_0 < \tau_1 < \dots < \tau_K = t_1$  von  $[t_0, t_1]$  gewählt werden, so dass für  $j = 1, \dots, K$  die Ungleichung

$$\|x_*(t) - x_*(\tau_j)\| \leq \sigma \quad \text{für alle } t \in [\tau_{j-1}, \tau_j] \quad (\text{E.30})$$

erfüllt ist und  $\varphi$  nach (E.23) durch die Abbildungen  $\psi_j$  in (E.22) mit der Güte

$$\left\| \varphi(t, s, \xi, x, u) - \sum_{j=1}^K \chi_{(\tau_{j-1}, \tau_j]}(t) \cdot \psi_j(s, x, u) \right\| \leq \frac{\delta}{16(t_1 - t_0)} \quad (\text{E.31})$$

für alle  $(t, s, \xi, x, u) \in \mathcal{V}_\sigma^{\mathcal{I}} \times U_1$  approximiert wird.

Wir betrachten im Weiteren für  $t \in [t_0, t_1]$  die Abbildung

$$\Phi_1(x(\cdot), \alpha)(t) = \int_{t_0}^t [\varphi(t, s, x(t), x(s), u_\alpha(s)) - \varphi(t, s, x_*(t), x_*(s), u_*(s))] ds$$

und den linearen Operator

$$\begin{aligned} \Lambda_1(x(\cdot), \alpha)(t) &= \int_{t_0}^t \left[ \varphi_\xi(t, s, x_*(t), x_*(s), u_*(s))(x(t) - x_*(t)) \right. \\ & \quad \left. + \varphi_x(t, s, x_*(t), x_*(s), u_*(s))(x(s) - x_*(s)) \right. \\ & \quad \left. + \sum_{i=1}^d \alpha_i \cdot \left( \varphi(t, s, x_*(t), x_*(s), u_i(s)) - \varphi(t, s, x_*(t), x_*(s), u_*(s)) \right) \right] ds. \end{aligned}$$

**Lemma E.11.** *Es existieren  $\Delta \in (0, 1/d]$  und  $\sigma > 0$  derart, dass*

$$\begin{aligned} & \left\| [\Phi_1(x(\cdot), \alpha) - \Phi_1(x'(\cdot), \alpha') - \Lambda_1(x(\cdot), \alpha) + \Lambda_1(x'(\cdot), \alpha')](\cdot) \right\|_\infty \\ & \leq \delta \left( \|x(\cdot) - x'(\cdot)\|_\infty + \sum_{i=1}^d |\alpha_i - \alpha'_i| \right) \end{aligned} \quad (\text{E.32})$$

für alle  $\alpha, \alpha' \in \Sigma(\Delta)$  und alle  $x(\cdot), x'(\cdot) \in V(\sigma)$  gilt.

**Beweis** Genauso wie im Beweis von Lemma E.4 ergeben sich die einzelnen Summanden

$$\begin{aligned} & \max_{t \in [t_0, t_1]} \int_{t_0}^t \left\| \varphi(t, s, x(t), x(s), u_\alpha(s)) - \varphi(t, s, x'(t), x'(s), u_\alpha(s)) \right. \\ & \quad \left. - \varphi_\xi(t, s, x_*(t), x_*(s), u_\alpha(s))(x(t) - x'(t)) \right. \\ & \quad \left. - \varphi_x(t, s, x_*(t), x_*(s), u_\alpha(s))(x(s) - x'(s)) \right\| ds \\ & + \max_{t \in [t_0, t_1]} \int_{t_0}^t \left\| \left( \varphi_\xi(t, s, x_*(t), x_*(s), u_\alpha(s)) \right. \right. \\ & \quad \left. \left. - \varphi_\xi(t, s, x_*(t), x_*(s), u_*(s)) \right) (x(t) - x'(t)) \right\| ds \\ & + \max_{t \in [t_0, t_1]} \int_{t_0}^t \left\| \left( \varphi_x(t, s, x_*(t), x_*(s), u_\alpha(s)) \right. \right. \\ & \quad \left. \left. - \varphi_x(t, s, x_*(t), x_*(s), u_*(s)) \right) (x(s) - x'(s)) \right\| ds \\ & + \max_{t \in [t_0, t_1]} \int_{t_0}^t \left\| \varphi(t, s, x'(t), x'(s), u_\alpha(s)) - \varphi(t, s, x'(t), x'(s), u_{\alpha'}(s)) \right. \\ & \quad \left. - \varphi(t, s, x_*(t), x_*(s), u_\alpha(s)) + \varphi(t, s, x_*(t), x_*(s), u_{\alpha'}(s)) \right\| ds \end{aligned}$$

und ferner der Summand von eigentlichem Interesse

$$\begin{aligned} & + \max_{t \in [t_0, t_1]} \left\| \int_{t_0}^t \varphi(t, s, x_*(t), x_*(s), u_\alpha(s)) - \varphi(t, s, x_*(t), x_*(s), u_{\alpha'}(s)) \right. \\ & \quad \left. - \sum_{i=1}^d (\alpha_i - \alpha'_i) \left( \varphi(t, s, x_*(t), x_*(s), u_i(s)) - \varphi(t, s, x_*(t), x_*(s), u_*(s)) \right) ds \right\|. \end{aligned} \quad (\text{E.33})$$

Unter Beachtung der Eigenschaften (E.3) und (E.4) sind die ersten vier Summanden nach (E.26)–(E.29) kleiner oder gleich

$$\frac{\delta}{2} \|x(\cdot) - x'(\cdot)\|_\infty + \frac{\delta}{4} \|x(\cdot) - x'(\cdot)\|_\infty + \frac{\delta}{4} \|x(\cdot) - x'(\cdot)\|_\infty + \frac{\delta}{2} \sum_{i=1}^d |\alpha_i - \alpha'_i|. \quad (\text{E.34})$$

Den Summanden (E.33) können wir mit Hilfe der Abbildungen  $\psi_j$  durch folgende Ausdrücke nach oben abschätzen:

$$\begin{aligned}
 & \max_{t \in [t_0, t_1]} \left\| \int_{t_0}^t \left[ \left( \varphi(t, s, x_*(t), x_*(s), u_\alpha(s)) - \sum_{j=1}^K \chi_{(\tau_{j-1}, \tau_j]}(t) \cdot \psi_j(s, x_*(s), u_\alpha(s)) \right) \right. \right. \\
 & \quad \left. \left. - \left( \varphi(t, s, x_*(t), x_*(s), u_{\alpha'}(s)) - \sum_{j=1}^K \chi_{(\tau_{j-1}, \tau_j]}(t) \cdot \psi_j(s, x_*(s), u_{\alpha'}(s)) \right) \right] ds \right\| \\
 + & \max_{t \in [t_0, t_1]} \left\| \int_{t_0}^t \sum_{i=1}^d (\alpha_i - \alpha'_i) \left( \varphi(t, s, x_*(t), x_*(s), u_i(s)) \right. \right. \\
 & \quad \left. \left. - \sum_{j=1}^K \chi_{(\tau_{j-1}, \tau_j]}(t) \cdot \psi_j(s, x_*(s), u_i(s)) \right) \right. \\
 & \quad \left. - \sum_{i=1}^d (\alpha_i - \alpha'_i) \left( \varphi(t, s, x_*(t), x_*(s), u_*(s)) - \sum_{j=1}^K \chi_{(\tau_{j-1}, \tau_j]}(t) \cdot \psi_j(s, x_*(s), u_*(s)) \right) ds \right\| \\
 + & \max_{t \in [t_0, t_1]} \left\| \int_{t_0}^t \sum_{j=1}^K \chi_{(\tau_{j-1}, \tau_j]}(t) \cdot \left[ \psi_j(s, x_*(s), u_\alpha(s)) - \psi_j(s, x_*(s), u_{\alpha'}(s)) \right. \right. \\
 & \quad \left. \left. - \sum_{i=1}^d (\alpha_i - \alpha'_i) \left( \psi_j(s, x_*(s), u_i(s)) - \psi_j(s, x_*(s), u_*(s)) \right) \right] ds \right\|.
 \end{aligned}$$

In dieser Summe fallen nach (E.31) die ersten beiden Summanden kleiner oder gleich

$$\frac{2\delta}{16} \sum_{i=1}^d |\alpha_i - \alpha'_i| + \frac{2\delta}{16} \sum_{i=1}^d |\alpha_i - \alpha'_i| = \frac{\delta}{4} \sum_{i=1}^d |\alpha_i - \alpha'_i| \quad (\text{E.35})$$

aus (bezüglich dem ersten Summanden ist (E.4) zu beachten). Der dritte Summand wurde bereits in den vorbereitenden Betrachtungen diskutiert. Das Ergebnis ist die Version von Lemma E.4 für die Abbildungen  $\psi_j$  in Form der Beziehung (E.25). Demnach lassen sich die Mengenfamilien  $\{M_i(\alpha)\}$  so angeben, dass der dritte Summand nicht größer als

$$\frac{\delta}{4} \sum_{i=1}^d |\alpha_i - \alpha'_i| \quad (\text{E.36})$$

ausfällt. Zusammenfassend zeigen die Abschätzungen (E.34)–(E.36), dass die linke Seite in (E.32) nicht größer als

$$\delta \left( \|x(\cdot) - x'(\cdot)\|_\infty + \sum_{i=1}^d |\alpha_i - \alpha'_i| \right)$$

ist. Das Lemma E.11 ist damit bewiesen. ■

Nachdem wir die aufwendige Untersuchung der Dynamik abgeschlossen haben widmen wir uns dem Zielfunktional

$$J(x(\cdot), u(\cdot)) = \int_{t_0}^{t_1} f(s, x(s), x(t_0), x(t_1), u(s)) ds,$$

in welchem die äußeren Zustände  $x(t_0)$  und  $x(t_1)$  zusätzlich auftreten. Mit dem Funktional  $J$  verbinden wir die Abbildungen

$$\begin{aligned} \Phi_2(x(\cdot), \alpha) &= \int_{t_0}^{t_1} [f(t, x(t), x(t_0), x(t_1), u_\alpha(t)) - f(t, x(t), x(t_0), x(t_1), u_*(t))] dt, \\ \Lambda_2(x(\cdot), \alpha) &= \sum_{i=1}^d \int_{t_0}^{t_1} \alpha_i \cdot \left( f(t, x(t), x(t_0), x(t_1), u_i(t)) \right. \\ &\quad \left. - f(t, x(t), x(t_0), x(t_1), u_*(t)) \right) dt. \end{aligned}$$

**Lemma E.12.** *Es existieren  $\Delta \in (0, 1/d]$  und  $\sigma > 0$  derart, dass*

$$\Phi_2(x(\cdot), \alpha) - \Lambda_2(x(\cdot), \alpha) \leq \delta \sum_{i=1}^d \alpha_i \tag{E.37}$$

für alle  $\alpha \in \Sigma(\Delta)$  und alle  $x(\cdot) \in V(\sigma)$  gilt.

**Beweis** Beachten wir (E.3), so ist die linke Seite in (E.37) gleich

$$\begin{aligned} \sum_{i=1}^d \int_{t_0}^{t_1} \left[ \chi_{M_i(\alpha_i)}(t) \cdot \left( f(t, x(t), x(t_0), x(t_1), u_i(t)) - f(t, x(t), x(t_0), x(t_1), u_*(t)) \right) \right. \\ \left. - \alpha_i \cdot \left( f(t, x(t), x(t_0), x(t_1), u_i(t)) - f(t, x(t), x(t_0), x(t_1), u_*(t)) \right) \right] dt. \end{aligned}$$

Im Vergleich zum Beweis von Lemma E.5 müssen im weiteren Vorgehen lediglich die äußeren Zustände  $x(t_0)$  und  $x(t_1)$  ergänzt werden. Ersetzen wir die entsprechenden Verweise auf (E.2) durch (E.25) und auf (E.6) durch (E.27), so ergibt sich die Gültigkeit von Lemma E.12 auf die gleiche Weise wie Lemma E.5. ■

## F. Zur Theorie der Extremalaufgaben

Zur Ermittlung notwendiger Optimalitätsbedingungen für Aufgaben der Klassischen Variationsrechnung und anschließend für Probleme der Optimalen Steuerung zeichnete sich zu Beginn des letzten Jahrhunderts ab, dass eine allgemeinere Methodik erarbeitet werden musste (vgl. Plail [60]). Daraus entwickelte sich das Verständnis von abstrakten Optimierungsaufgaben unter Nebenbedingungen in Funktionenräumen und in Folge dessen die Herausforderung des Nachweises des fundamentalen Prinzips von Lagrange in einem unendlich-dimensionalen Rahmen. Die benötigten Werkzeuge lieferte die zu dieser Zeit parallele Entwicklung der Funktionalanalysis.

Grundlegende Beiträge zu einer Verallgemeinerung lieferten die Chicagoer Schule um Bolza (ein Schüler von Karl Weierstraß), Bliss und McShane. Eine allgemeine Entwicklung einer Theorie der Extremalaufgaben erfolgte maßgeblich in den 1960er- und 1970er-Jahren. Diesbezüglich geben wir die Arbeiten von Dubovickii & Milyutin [24], Girsanov [32], Halkin [36], Halkin & Neustadt [38], Ioffe & Tichomirov [48], Kurcyusz [50] und Neustadt [58] an.

In der weiteren Darstellung seien  $\mathcal{X}$ ,  $\mathcal{Z}$  Banachräume,  $\mathcal{U}$  eine nichtleere Menge,  $\mathcal{K} \subseteq \mathcal{Z}$  ein abgeschlossener konvexer Kegel mit Spitze im Ursprung  $0 \in \mathcal{Z}$  und mit nichtleerem Inneren. Ferner seien  $J$  ein Funktional und  $\mathcal{F}$ ,  $G$  bzw.  $G_j$ ,  $j = 1, \dots, l$ , gewisse Abbildungen. Die Aufgabenklassen, die wir im Folgenden behandeln werden, können wir damit wie folgt katalogisieren:

- (1) Glatte Aufgaben mit Gleichungsnebenbedingungen:

$$J(x) \rightarrow \inf; \quad \mathcal{F}(x) = 0, \quad x \in \mathcal{X}.$$

- (2) Glatte Aufgaben mit Gleichungs- und Ungleichungsnebenbedingungen:

$$J(x) \rightarrow \inf; \quad \mathcal{F}(x) = 0, \quad G(x) \in \mathcal{K}, \quad x \in \mathcal{X}.$$

- (3) Schwaches lokales Minimum unter Gleichungs- und Ungleichungsnebenbedingungen:

$$J(x, u) \rightarrow \inf; \quad \mathcal{F}(x, u) = 0, \quad G(x) \in \mathcal{K}, \quad x \in \mathcal{X}, \quad u \in \mathcal{U}.$$

Dabei ist  $\mathcal{U}$  eine nichtleere konvexe Teilmenge eines normierten Raumes.

- (4) Starkes lokales Minimum unter Gleichungs- und Ungleichungsnebenbedingungen:

$$J(x, u) \rightarrow \inf; \quad \mathcal{F}(x, u) = 0, \quad G_j(x) \leq 0, \quad j = 1, \dots, l, \quad x \in \mathcal{X}, \quad u \in \mathcal{U}.$$

Den Kern bei der Herleitung des Extremalprinzips, d. h. beim Nachweis der Gültigkeit des Lagrangeschen Prinzips, bildet in den einzelnen Aufgaben (2)–(4) das Dubovickii-Milyutin-Schema. Die Vorgehensweise lässt sich dabei wie folgt abkürzend skizzieren:

(i) Zu einem lokalen Minimum  $x_* \in \mathcal{X}$  bezeichne  $\mathcal{C}$  die Menge derjenigen  $(\eta_0, y, z)$  mit

$$\eta_0 > J'(x_*)x, \quad y = \mathcal{F}'(x_*)x, \quad z = G(x_*) + G'(x_*)x.$$

Die Menge  $\mathcal{C}$  ist konvex und besitzt ein nichtleeres Inneres.

(ii) Würde nun der Ursprung dem Inneren der Menge  $\mathcal{C}$  angehören, so gibt es ein  $\bar{x} \in \mathcal{X}$  und ferner nach dem Satz von Ljusternik Elemente  $x_\varepsilon = x_* + \varepsilon\bar{x} + r(\varepsilon)$  mit

$$J(x_\varepsilon) < J(x_*), \quad \mathcal{F}(x_\varepsilon) = 0, \quad G(x_\varepsilon) \in \mathcal{K}, \quad x_\varepsilon \rightarrow x_* \text{ für } \varepsilon \rightarrow 0;$$

im Widerspruch zur lokalen Optimalität von  $x_*$ .

(iii) Nach dem Trennungssatz für konvexe Mengen lassen sich die Menge  $\mathcal{C}$  und der Ursprung trennen. Demnach existiert ein nichttriviales stetiges lineares Funktional (nichttriviale Lagrangesche Multiplikatoren), mit dem (denen) das Lagrangesche Prinzip gilt.

Im Gegensatz zu den Aufgaben (1) und (2) unterscheiden wir in den Aufgaben (3) und (4) die Größen  $x$  und  $u$ . Dies ermöglicht einerseits die Unterscheidung zwischen schwacher und starker lokaler Optimalität. Andererseits kann in Steuerungsproblemen explizit dem eigenständigen Charakter einer Steuerung Rechnung getragen werden. Insbesondere gibt es in der Aufgabe (4) keine Annahmen über die Struktur der Menge  $\mathcal{U}$ . Die Erweiterung des Dubovickii-Milyutin-Schema für starke lokale Minimalstellen ist Ioffe & Tichomirov [48] entnommen.

In den Aufgaben (2)–(4) behandeln wir die Ungleichungsrestriktionen in den Varianten  $G(x) \in \mathcal{K}$  und  $G_j(x) \leq 0$  für  $j = 1, \dots, l$ . Im einfachen Fall der Ungleichungen  $x_j(t) \leq 0$  für alle  $t \in [t_0, t_1]$  und  $j = 1, \dots, l$  bezeichnet  $\mathcal{K}$  den Kegel

$$\mathcal{K} = \{x(\cdot) \in C([t_0, t_1], \mathbb{R}^l) \mid x(t) \preceq 0 \Leftrightarrow x_j(t) \leq 0 \text{ für alle } t \in [t_0, t_1], j = 1, \dots, l\}.$$

Andererseits können wir die Ungleichungen  $x_j(t) \leq 0$  für alle  $t \in [t_0, t_1]$  mit Hilfe der regulär lokalkonvexen Funktionen

$$G_j(x(\cdot)) = \max_{t \in [t_0, t_1]} x(t)$$

behandeln. Im Rahmen der Extremalprinzipien ergeben sich in beiden Varianten entsprechende komplementäre Schlupfbedingungen. Die Herleitungen der Extremalprinzipien setzen umfassende Kenntnisse der vorhergehenden Teile des Anhanges voraus. Insbesondere stellt die abstrakte Abbildung in der Voraussetzung (C) von Theorem F.5 die konstruierte mehrfache Nadelvariation mit den entsprechenden Trägermengen im Anhang E dar.

### F.1. Glatte Aufgaben mit Gleichungsnebenbedingungen

In diesem Abschnitt seien  $\mathcal{X}, \mathcal{Y}$  Banachräume,  $J$  ein Funktional auf  $\mathcal{X}$ ,  $\mathcal{F}$  eine Abbildung des Raumes  $\mathcal{X}$  in den Raum  $\mathcal{Y}$ .

Wir betrachten im Weiteren die Extremalaufgabe

$$J(x) \rightarrow \inf; \quad \mathcal{F}(x) = 0, \quad x \in \mathcal{X}. \quad (\text{F.1})$$

Der Punkt  $x \in \mathcal{X}$  ist ein zulässiges Element der Aufgabe (F.1), falls die Nebenbedingung  $\mathcal{F}(x) = 0$  erfüllt ist. Ein zulässiges Element  $x_* \in \mathcal{X}$  heißt ein lokales Minimum der Extremalaufgabe (F.1), wenn ein  $\varepsilon > 0$  derart existiert, dass für alle zulässigen Punkte  $x \in \mathcal{X}$  mit  $\|x - x_*\|_{\mathcal{X}} \leq \varepsilon$  die Ungleichung  $J(x_*) \leq J(x)$  gilt.

Auf  $\mathcal{X} \times \mathbb{R} \times \mathcal{Y}^*$  definieren wir zur Aufgabe (F.1) die Lagrange-Funktion

$$\mathcal{L}(x, \lambda_0, y^*) = \lambda_0 J(x) + \langle y^*, \mathcal{F}(x) \rangle.$$

**Theorem F.1** (Extremalprinzip). *Sei  $x_*$  ein zulässiges Element der Aufgabe (F.1).*

(A) *Wir nehmen an, dass*

(A<sub>1</sub>) *die Funktion  $J(x)$  im Punkt  $x_*$  Fréchet-differenzierbar ist;*

(A<sub>2</sub>) *die Abbildung  $\mathcal{F}(x)$  im Punkt  $x_*$  stetig Fréchet-differenzierbar ist.*

(B) *Weiterhin sei  $\text{Im } \mathcal{F}'(x_*)$  abgeschlossen.*

*Ist  $x_*$  eine lokale Minimalstelle der Aufgabe (F.1), dann existieren nicht gleichzeitig verschwindende Lagrangesche Multiplikatoren  $\lambda_0 \geq 0$  und  $y^* \in \mathcal{Y}^*$  derart, dass die Lagrange-Funktion bezüglich  $x$  in  $x_*$  einen stationären Punkt besitzt, d. h.*

$$0 = \mathcal{L}_x(x_*, \lambda_0, y^*). \quad (\text{F.2})$$

*Gilt außerdem  $\text{Im } \mathcal{F}'(x_*) = \mathcal{Y}$ , so ist  $\lambda_0 \neq 0$  und man kann  $\lambda_0 = 1$  setzen.*

**Beweis im entarteten Fall:** Es sei  $\text{Im } \mathcal{F}'(x_*)$  ein echter abgeschlossener Unterraum von  $\mathcal{Y}$ . Dann existiert nach Folgerung B.12 ein nichttriviales Funktional  $y^* \in \mathcal{Y}^*$  mit

$$0 = \langle y^*, \mathcal{F}'(x_*)x \rangle$$

für alle  $x \in \mathcal{X}$ . Setzen wir außerdem  $\lambda_0 = 0$ , dann gilt die Beziehung (F.2) des Extremalprinzips F.1. ■

**Beweis im regulären Fall:** Im regulären Fall genügt die Abbildung  $\mathcal{F}(x)$  im Punkt  $x_*$  den Voraussetzungen des Satzes von Ljusternik (Theorem B.30). Demzufolge stimmt im Punkt  $x_*$  der lokale Tangentialkegel an die Menge  $M = \{x \mid \mathcal{F}(x) = 0\}$  mit dem Kern des Operators  $\mathcal{F}'(x_*)$  überein. Für  $x_0 \in \text{Ker } \mathcal{F}'(x_*)$  existiert daher eine Variation

$$x(\varepsilon) = x_* + \varepsilon x_0 + r(\varepsilon), \quad \lim_{\varepsilon \rightarrow 0} \frac{\|r(\varepsilon)\|_{\mathcal{X}}}{\varepsilon} = 0,$$

derart, dass für alle  $|\varepsilon| \leq \varepsilon_0$ ,  $\varepsilon_0 > 0$ , die Gleichung  $\mathcal{F}(x_\varepsilon) = 0$  gilt. Dabei dürfen wir das Intervall  $[0, \varepsilon_0]$  in der Definition des lokalen Tangentialkegels auf  $[-\varepsilon_0, \varepsilon_0]$  erweitern, da  $\text{Ker } \mathcal{F}'(x_*)$  ein linearer Teilraum ist.

Die Funktion  $\varphi(\varepsilon) = J(x(\varepsilon))$  besitzt in  $\varepsilon = 0$  ein lokales Minimum. Daher gilt

$$\varphi'(0) = J'(x_*)x_0 = 0.$$

Diese Beziehung muss für alle  $x \in \text{Ker } \mathcal{F}'(x_*)$  gelten. Deswegen ist

$$J'(x_*) \in (\text{Ker } \mathcal{F}'(x_*))^\perp.$$

Nach dem Satz vom abgeschlossenen Bild (Theorem B.15) existiert ein  $y^* \in \mathcal{Y}^*$  mit

$$0 = J'(x_*) + \mathcal{F}'^*(x_*)y^*.$$

Damit ist der reguläre Fall des Extremalprinzips F.1 mit  $\lambda_0 = 1$  gezeigt. ■

## F.2. Glatte Aufgaben mit Ungleichungsnebenbedingungen

Es seien  $\mathcal{X}$ ,  $\mathcal{Y}$ ,  $\mathcal{Z}$  Banachräume,  $J$  ein Funktional auf  $\mathcal{X}$ ,  $\mathcal{F}$  eine Abbildung des Raumes  $\mathcal{X}$  in den Raum  $\mathcal{Y}$  und  $G$  eine Abbildung des Raumes  $\mathcal{X}$  in den Raum  $\mathcal{Z}$ . Weiterhin sei  $\mathcal{K} \subseteq \mathcal{Z}$  ein abgeschlossener, konvexer Kegel mit Spitze im Ursprung  $0 \in \mathcal{Z}$  und mit nichtleerem Inneren. Außerdem bezeichnen wir mit  $\mathcal{K}^*$  den dualen Kegel

$$\mathcal{K}^* = \{z^* \in \mathcal{Z}^* \mid \langle z^*, z \rangle \leq 0 \text{ für alle } z \in \mathcal{K}\}.$$

Wir betrachten im Weiteren die Extremalaufgabe

$$J(x) \rightarrow \inf; \quad \mathcal{F}(x) = 0, \quad G(x) \in \mathcal{K}, \quad x \in \mathcal{X}. \tag{F.3}$$

Der Punkt  $x \in \mathcal{X}$  ist ein zulässiges Element der Aufgabe (F.3), falls die Nebenbedingungen  $\mathcal{F}(x) = 0$  und  $G(x) \in \mathcal{K}$  erfüllt sind. Ein zulässiges Element  $x_* \in \mathcal{X}$  heißt ein lokales Minimum der Extremalaufgabe (F.3), wenn ein  $\varepsilon > 0$  derart existiert, dass für alle zulässigen Punkte  $x \in \mathcal{X}$  mit  $\|x - x_*\|_{\mathcal{X}} \leq \varepsilon$  die Ungleichung  $J(x_*) \leq J(x)$  gilt.

Auf  $\mathcal{X} \times \mathbb{R} \times \mathcal{Y}^* \times \mathcal{Z}^*$  definieren wir zur Aufgabe (F.3) die Lagrange-Funktion

$$\mathcal{L}(x, \lambda_0, y^*, z^*) = \lambda_0 J(x) + \langle y^*, \mathcal{F}(x) \rangle + \langle z^*, G(x) \rangle.$$

**Theorem F.2** (Extremalprinzip). *Sei  $x_*$  ein zulässiges Element der Aufgabe (F.3).*

(A) *Wir nehmen an, dass*

- (A<sub>1</sub>) *die Funktion  $J(x)$  im Punkt  $x_*$  Fréchet-differenzierbar ist;*
- (A<sub>2</sub>) *die Abbildung  $\mathcal{F}(x)$  im Punkt  $x_*$  stetig Fréchet-differenzierbar ist;*
- (A<sub>3</sub>) *die Abbildung  $G(x)$  im Punkt  $x_*$  Fréchet-differenzierbar ist.*

(B) Weiterhin sei  $\text{Im } \mathcal{F}'(x_*)$  abgeschlossen.

Ist  $x_*$  eine lokale Minimalstelle der Aufgabe (F.3), dann existieren nicht gleichzeitig verschwindende Lagrangesche Multiplikatoren  $\lambda_0 \geq 0$ ,  $y^* \in \mathcal{Y}^*$  und  $z^* \in \mathcal{Z}^*$  derart, dass folgende Bedingungen gelten:

(a) Die Lagrange-Funktion besitzt bezüglich  $x$  in  $x_*$  einen stationären Punkt, d. h.

$$0 = \mathcal{L}_x(x_*, \lambda_0, y^*, z^*); \quad (\text{F.4})$$

(b) Die komplementären Schlupfbedingungen gelten, d. h.

$$0 = \langle z^*, G(x_*) \rangle, \quad z^* \in \mathcal{K}^*. \quad (\text{F.5})$$

**Beweis im entarteten Fall:** Es sei  $\text{Im } \mathcal{F}'(x_*)$  ein echter abgeschlossener Unterraum von  $\mathcal{Y}$ . Dann existiert nach Folgerung B.12 ein nichttriviales Funktional  $y^* \in \mathcal{Y}^*$  mit

$$0 = \langle y^*, \mathcal{F}'(x_*)x \rangle$$

für alle  $x \in \mathcal{X}$ . Setzen wir außerdem  $\lambda_0 = 0$  und  $z^* = 0$ , dann gelten die Beziehungen (F.4) und (F.5) des Extremalprinzips F.2.  $\blacksquare$

**Beweis im regulären Fall:** Wir nehmen  $J(x_*) = 0$  an. Im Weiteren sei  $\mathcal{C}$  die Menge derjenigen  $(\eta_0, y, z) \in \mathbb{R} \times \mathcal{Y} \times \mathcal{Z}$  mit folgender Eigenschaft: Zu jedem Element existieren ein  $x \in \mathcal{X}$  und ein  $\eta \in \text{int } \mathcal{K}$  mit

$$\eta_0 > J'(x_*)x, \quad y = \mathcal{F}'(x_*)x, \quad z = G(x_*) + G'(x_*)x - \eta.$$

Zum Beweis des Extremalprinzips F.2 genügt es im regulären Fall die Beziehungen

$$\text{int } \mathcal{C} \neq \emptyset, \quad 0 \notin \text{int } \mathcal{C}$$

nachzuweisen. Die Menge  $\mathcal{C}$  ist offensichtlich konvex. Wenn also diese Beziehungen gelten, dann folgt die Existenz eines nichttrivialen Funktionals  $(\lambda_0, y^*, z^*) \in \mathbb{R} \times \mathcal{Y}^* \times \mathcal{Z}^*$ , das die Menge  $\text{int } \mathcal{C}$  vom Ursprung trennt, d. h. ein solches Funktional, mit dem die Ungleichung

$$0 \leq \lambda_0 \eta_0 + \langle y^*, y \rangle + \langle z^*, z \rangle$$

für alle  $(\eta_0, y, z) \in \mathcal{C}$  gilt. Wir erhalten daraus, dass für alle  $x \in \mathcal{X}$  und alle  $\eta \in \mathcal{K}$  die Beziehung

$$\langle z^*, \eta \rangle \leq \lambda_0 J'(x_*)x + \langle y^*, \mathcal{F}'(x_*)x \rangle + \langle z^*, G(x_*) + G'(x_*)x \rangle$$

erfüllt ist. Betrachten wir diese Ungleichung zunächst für  $x = 0$ , dann folgt

$$\langle z^*, \eta \rangle \leq \langle z^*, G(x_*) \rangle$$

für alle  $\eta \in \text{int } \mathcal{K}$ . Da  $\mathcal{K}$  ein abgeschlossener Kegel mit Spitze in Null ist, ergeben sich daraus die Beziehungen  $\langle z^*, z \rangle \leq 0$  für alle  $z \in \mathcal{K}$  und  $\langle z^*, G(x_*) \rangle = 0$ . Damit ist (F.5) gezeigt. In Folge dessen ergibt sich für alle  $x \in \mathcal{X}$  die Ungleichung

$$0 \leq \lambda_0 J'(x_*)x + \langle y^*, \mathcal{F}'(x_*)x \rangle + \langle z^*, G'(x_*)x \rangle = \mathcal{L}_x(x_*, \lambda_0, y^*, z^*, x),$$

aus welcher sich die Beziehung (F.4) ableitet.

Wir zeigen nun  $\text{int } \mathcal{C} \neq \emptyset$ : Es sei  $S = \{x \in \mathcal{X} \mid \|x\|_{\mathcal{X}} < 1\}$  die offene Einheitskugel des Raumes  $\mathcal{X}$ . Dann ist die Menge  $\mathcal{F}'(x_*)S$  nach dem Satz von der offenen Abbildung offen. Ferner besitzt der Kegel  $\mathcal{K}$  ein nichtleeres Inneres. Schließlich sei  $c_0 = \|J_x(x_*)\|$  und  $\mathbb{R}_{c_0} = \{a \in \mathbb{R} \mid a > c_0\}$ . Dann besitzt die Menge  $\mathcal{C}_0 = \mathbb{R}_{c_0} \times \mathcal{F}'(x_*)S \times (G(x_*) - \text{int } \mathcal{K})$  ein nichtleeres Inneres und es gilt  $\mathcal{C}_0 \subseteq \mathcal{C}$ . Demzufolge ist  $\text{int } \mathcal{C} \neq \emptyset$ .

Wir nehmen nun an, es ist  $0 \in \text{int } \mathcal{C}$ . Dann existieren Elemente  $\bar{x} \in \mathcal{X}$ ,  $\bar{\eta} \in \text{int } \mathcal{K}$  und eine Zahl  $c > 0$  mit

$$-c > J'(x_*)\bar{x}, \quad 0 = \mathcal{F}'(x_*)\bar{x}, \quad 0 = G(x_*) + G'(x_*)\bar{x} - \bar{\eta}.$$

Da die Abbildung  $\mathcal{F}(x)$  im Punkt  $x_*$  regulär ist und  $\bar{x}$  dem Kern des Operators  $\mathcal{F}'(x_*)$  angehört, existieren nach dem Satzes von Ljusternik (Theorem B.30) eine Zahl  $\varepsilon_0 > 0$  und eine Abbildung des Intervalls  $[0, \varepsilon_0]$  in  $\mathcal{X}$  derart, dass

$$\varepsilon \rightarrow x_\varepsilon = x_* + \varepsilon\bar{x} + r(\varepsilon), \quad \lim_{\varepsilon \rightarrow 0} \frac{\|r(\varepsilon)\|_{\mathcal{X}}}{\varepsilon} = 0$$

gelten und für alle  $\varepsilon \in [0, \varepsilon]$  die Gleichung  $\mathcal{F}(x_\varepsilon) = 0$  erfüllt ist.

Da die Abbildung  $G$  im Punkt  $x_*$  Fréchet-differenzierbar ist, ergibt sich

$$G(x_\varepsilon) = G(x_*) + \varepsilon G'(x_*)\bar{x} + r(\varepsilon).$$

Wir beachten, dass  $\mathcal{K}$  konvex ist, sowie  $G(x_*) \in \mathcal{K}$  und  $G(x_*) + G'(x_*)\bar{x} = \bar{\eta} \in \text{int } \mathcal{K}$  gelten. Damit ergibt sich

$$G(x_\varepsilon) = (1 - \varepsilon)G(x_*) + \varepsilon[G(x_*) + G'(x_*)\bar{x}] + r(\varepsilon) = (1 - \varepsilon)G(x_*) + \varepsilon[\bar{\eta} + r(\varepsilon)/\varepsilon].$$

Mit einem hinreichend kleinen  $\varepsilon_0$  erhalten wir daraus  $G(x_\varepsilon) \in \text{int } \mathcal{K}$  für alle  $\varepsilon \in [0, \varepsilon_0]$ .

Da das Funktional  $J$  im Punkt  $x_*$  Fréchet-differenzierbar ist, gilt

$$J(x_\varepsilon) = J(x_*) + \varepsilon J'(x_*)\bar{x} + o(\varepsilon) < J(x_*) - \varepsilon c + o(\varepsilon).$$

Die Beziehungen zeigen, dass für hinreichend kleine  $\varepsilon > 0$  die Elemente  $x_\varepsilon$  zulässig in der Aufgabe (F.3) sind. Außerdem ist  $J(x_\varepsilon) < J(x_*)$  für hinreichend kleine  $\varepsilon > 0$ . Wegen  $x_\varepsilon \rightarrow x_*$  für  $\varepsilon \rightarrow 0$  bedeutet dies, dass der Punkt  $x_*$  im Widerspruch zur Voraussetzung kein schwaches lokales Minimum sein könnte. Daher war die Annahme  $0 \in \text{int } \mathcal{C}$  falsch. ■

### F.3. Ein Extremalprinzip für ein schwaches lokales Minimum

In der folgenden Darstellung des Extremalprinzips für ein schwaches lokales Minimum seien  $\mathcal{X}, \mathcal{Y}, \mathcal{Z}$  Banachräume,  $\mathcal{W}$  ein normierter Raum,  $\mathcal{U}$  eine konvexe Teilmenge des Raumes  $\mathcal{W}$ ,  $\mathcal{K} \subseteq \mathcal{Z}$  ein abgeschlossener konvexer Kegel mit Spitze im Ursprung und es sei  $\text{int } \mathcal{K} \neq \emptyset$ . Weiterhin seien  $J$  ein Funktional auf  $\mathcal{X} \times \mathcal{U}$ ,  $\mathcal{F}$  eine Abbildung des Produktes  $\mathcal{X} \times \mathcal{U}$  in den Raum  $\mathcal{Y}$  und  $G: \mathcal{X} \rightarrow \mathcal{Z}$ .

Unter diesen Angaben betrachten wir in diesem Abschnitt die Extremalaufgabe

$$J(x, u) \rightarrow \inf; \quad \mathcal{F}(x, u) = 0, \quad G(x) \in \mathcal{K}, \quad x \in \mathcal{X}, \quad u \in \mathcal{U}, \quad \mathcal{U} \text{ konvex.} \quad (\text{F.6})$$

Der Punkt  $(x, u)$  ist ein zulässiges Element der Aufgabe (F.6), falls sämtliche Nebenbedingungen erfüllt sind. Der Punkt  $(x_*, u_*)$  heißt ein schwaches lokales Minimum der Extremalaufgabe (F.6), wenn ein  $\varepsilon > 0$  derart existiert, dass für alle zulässigen Paare  $(x, u)$  mit  $\|(x, u) - (x_*, u_*)\|_{\mathcal{X} \times \mathcal{W}} \leq \varepsilon$  die Ungleichung  $J(x_*, u_*) \leq J(x, u)$  gilt.

Auf  $\mathcal{X} \times \mathcal{W} \times \mathbb{R} \times \mathcal{Y}^* \times \mathcal{Z}^*$  definieren wir zur Aufgabe (F.6) die Lagrange-Funktion

$$\mathcal{L}(x, u, \lambda_0, y^*, z^*) = \lambda_0 J(x, u) + \langle y^*, \mathcal{F}(x, u) \rangle + \langle z^*, G(x) \rangle.$$

Außerdem bezeichnet  $\mathcal{K}^*$  den dualen Kegel

$$\mathcal{K}^* = \{z^* \in \mathcal{Z}^* \mid \langle z^*, z \rangle \leq 0 \text{ für alle } z \in \mathcal{K}\}.$$

**Theorem F.3** (Extremalprinzip). *Sei  $(x_*, u_*)$  ein zulässiges Element der Aufgabe (F.6).*

(A) *Wir nehmen an, dass der Punkt  $(x_*, u_*)$  eine Umgebung  $V$  mit folgenden Eigenschaften besitzt:*

(A<sub>1</sub>) *Die Funktion  $J(x, u)$  ist im Punkt  $(x_*, u_*)$  Fréchet-differenzierbar;*

(A<sub>2</sub>) *Die Abbildung  $\mathcal{F}(x, u)$  ist auf der Umgebung  $V$  Fréchet-differenzierbar und im Punkt  $(x_*, u_*)$  stetig Fréchet-differenzierbar.*

(A<sub>3</sub>) *Die Abbildung  $G(x)$  ist im Punkt  $x_*$  Fréchet-differenzierbar.*

(B) *Weiterhin setzen wir voraus, dass der Operator  $\mathcal{F}_x(x_*, u_*)$  eine endliche Kodimension besitzt.*

*Ist dann  $(x_*, u_*)$  schwache lokale Minimalstelle der Aufgabe (F.6), so ist für die Aufgabe (F.6) das Lagrangesche Prinzip gültig, d. h., es existieren nicht gleichzeitig verschwindende Lagrangesche Multiplikatoren  $\lambda_0 \geq 0$ ,  $y^* \in \mathcal{Y}^*$  und  $z^* \in \mathcal{Z}^*$  derart, dass folgende Bedingungen gelten:*

(a) *Die Lagrange-Funktion besitzt bezüglich  $x$  in  $x_*$  einen stationären Punkt, d. h.*

$$0 = \mathcal{L}_x(x_*, u_*, \lambda_0, y^*, z^*); \quad (\text{F.7})$$

(b) Die Lagrange-Funktion erfüllt bezüglich  $u$  in  $u_*$  die Variationsungleichung

$$0 \leq \langle \mathcal{L}_u(x_*, u_*, \lambda_0, y^*, z^*), u - u_* \rangle \quad \text{für alle } u \in \mathcal{U}; \quad (\text{F.8})$$

(c) Die komplementären Schlupfbedingungen gelten, d. h.

$$0 = \langle z^*, G(x_*) \rangle, \quad z^* \in \mathcal{K}^*. \quad (\text{F.9})$$

Wir werden im Weiteren folgende Bezeichnungen verwenden:

$$L_0 = \text{Im } \mathcal{F}_x(x_*, u_*) \subseteq \mathcal{Y},$$

die Wertemenge des stetigen linearen Operators  $\mathcal{F}_x(x_*, u_*)$ ;

$$B = L_0 + \mathcal{F}_u(x_*, u_*)(\mathcal{U} - u_*),$$

die Gesamtheit derjenigen  $y \in \mathcal{Y}$ , zu denen es ein  $x \in \mathcal{X}$  und ein  $u \in \mathcal{U}$  gibt mit

$$y = \mathcal{F}_x(x_*, u_*)x + \mathcal{F}_u(x_*, u_*)(u - u_*).$$

Außerdem bezeichnet  $L = \text{lin } B$  die lineare Hülle der Menge  $B$ . Nach Voraussetzung hat der Teilraum  $L_0$  eine endliche Kodimension, so dass  $L_0$  und  $L$  abgeschlossene Teilräume von  $\mathcal{Y}$  sind. Die Annahme, dass  $\text{Im } \mathcal{F}_x(x_*, u_*)$  abgeschlossen sei, wäre im folgenden Beweis nicht ausreichend.

**Lemma F.4.** *Es sei  $L = \mathcal{Y}$ . Dann ist  $\text{int } B \neq \emptyset$ . Ist außerdem  $0 \in \text{int } B$ , so existieren  $u_1, \dots, u_m \in \mathcal{U}$  derart, dass für  $z_j = \pi(\mathcal{F}_u(x_*, u_*)(u_j - u_*))$  folgende Beziehungen gelten:*

$$\text{lin } \{z_1, \dots, z_m\} = \mathcal{Y}/L_0, \quad z_1 + \dots + z_m = 0.$$

Dabei bezeichnet  $\pi : \mathcal{Y} \rightarrow \mathcal{Y}/L_0$  die kanonische Abbildung, d. h. es gilt  $\pi y_1 = \pi y_2$  genau dann, wenn  $y_1 - y_2 \in L_0$  ist.

**Beweis:** Da die Kodimension der Menge  $L_0$  endlich ist, ist der Quotientenraum  $\mathcal{Y}/L_0$  endlichdimensional. Die Menge  $B$  ist offensichtlich konvex. Deshalb ist auch  $\pi(B)$  konvex. Da die lineare Hülle der Menge  $B$  mit  $\mathcal{Y}$  übereinstimmt, fällt die lineare Hülle der Menge  $\pi(B)$  mit  $\mathcal{Y}/L_0$  zusammen. Wegen der Konvexität von  $\pi(B)$  muss daher die Menge  $\pi(B)$  ein nichtleeres Inneres besitzen. Außerdem ist die Beziehung  $\pi^{-1}(\pi(B)) = B$  erfüllt. Weil  $\pi$  eine stetige Abbildung ist, bedeutet dies, dass  $\text{int } B \neq \emptyset$  gilt.

Weil  $\mathcal{Y}/L_0$  endlichdimensional ist, existieren im Fall  $0 \in \text{int } B$  offenbar endlich viele Punkte  $z_1, \dots, z_m$  aus  $\pi(B)$  mit den geforderten Eigenschaften. Wir wählen dazu einfach  $z_j$  als die Ecken eines hinreichend kleinen Würfels entsprechender Dimension, dessen Mittelpunkt im Ursprung liegt. Nach Definition der Menge  $\pi(B)$  gibt es ferner Elemente  $u_j \in \mathcal{U}$  mit  $z_j = \pi(\mathcal{F}_u(x_*, u_*)(u_j - u_*))$ . ■

Wir wenden uns nun dem Beweis des Extremalprinzips F.3 zu. Der Beweis ist in drei Fälle aufgeteilt, nämlich zwei entarteten und einem nichtentarteten.

**Beweis im ersten entarteten Fall:** Es sei  $L \neq \mathcal{Y}$ . Dann existiert nach Folgerung B.12 ein nichttriviales Funktional  $y^* \in \mathcal{Y}^*$  mit  $0 = \langle y^*, \mathcal{F}_x(x_*, u_*)x + \mathcal{F}_u(x_*, u_*)(u - u_*) \rangle$  für alle  $x \in \mathcal{X}$  und  $u \in \mathcal{U}$ . Setzen wir außerdem  $\lambda_0 = 0$  und  $z^* = 0$ , dann gelten die Bedingungen des Extremalprinzips F.3. ■

**Beweis im zweiten entarteten Fall:** Es sei  $L = \mathcal{Y}$  und  $0 \notin \text{int } B$ . Da die konvexe Menge  $B$  in diesem Fall ein nichtleeres Inneres besitzt, existiert nach dem Trennungssatz ein nichttriviales  $y^* \in \mathcal{Y}^*$ , das die Menge  $B$  und das Nullelement trennt. Dies bedeutet, dass für alle  $x \in \mathcal{X}$  und  $u \in \mathcal{U}$  die Ungleichung

$$0 \leq \langle y^*, \mathcal{F}_x(x_*, u_*)x + \mathcal{F}_u(x_*, u_*)(u - u_*) \rangle$$

erfüllt ist. Setzen wir hierin  $u = u_*$ , so erhalten wir  $0 \leq \langle y^*, \mathcal{F}_x(x_*, u_*)x \rangle$  für alle  $x \in \mathcal{X}$ . Folglich gilt  $\mathcal{F}_x^*(x_*, u_*)y^* = 0$ . Für  $x = 0$  ergibt sich für alle  $u \in \mathcal{U}$  die Ungleichung  $0 \leq \langle y^*, \mathcal{F}_u(x_*, u_*)(u - u_*) \rangle$ . Wie im vorhergehenden Fall sind daher  $\lambda_0 = 0$ ,  $z^* = 0$  und  $y^*$  ein System gesuchter Multiplikatoren. ■

**Beweis im regulären Fall:** Es sei  $L = \mathcal{Y}$  und  $0 \in \text{int } B$ . Wir nehmen  $J(x_*, u_*) = 0$  an. Im Weiteren sei  $\mathcal{C}$  die Menge derjenigen  $(\eta_0, y, z) \in \mathbb{R} \times \mathcal{Y} \times \mathcal{Z}$  mit folgender Eigenschaft: Zu jedem Element existieren ein  $x \in \mathcal{X}$ , ein  $u \in \mathcal{U}$  und ein  $\eta \in \text{int } \mathcal{K}$  mit

$$\eta_0 > J'(x_*, u_*)(x, u - u_*), \quad y = \mathcal{F}'(x_*, u_*)(x, u - u_*), \quad z = G(x_*) + G'(x_*)x - \eta.$$

Die Menge  $\mathcal{C}$  ist konvex, da nach Voraussetzung die Menge  $\mathcal{U}$  konvex ist. Zum Beweis des Extremalprinzips F.3 im regulären Fall genügt es  $\text{int } \mathcal{C} \neq \emptyset$  und  $0 \notin \text{int } \mathcal{C}$  nachzuweisen. Denn falls diese Beziehungen gelten, dann folgt die Existenz eines nichttrivialen Funktionals  $(\lambda_0, y^*, z^*) \in \mathbb{R} \times \mathcal{Y}^* \times \mathcal{Z}^*$ , das die Menge  $\text{int } \mathcal{C}$  vom Ursprung trennt, d. h. ein solches Funktional, dass  $0 \leq \lambda_0 \eta_0 + \langle y^*, y \rangle + \langle z^*, z \rangle$  für alle  $(\eta_0, y, z) \in \mathcal{C}$  gilt. Beachten wir  $J(x_*, u_*) = 0$  und  $\mathcal{F}(x_*, u_*) = 0$ , so erhalten wir daraus, dass für alle  $x \in \mathcal{X}$ ,  $u \in \mathcal{U}$  und alle  $\eta \in \mathcal{K}$  die Beziehung

$$\begin{aligned} \langle z^*, \eta \rangle &\leq \lambda_0 [J(x_*, u_*) + J'(x_*, u_*)(x, u - u_*)] \\ &\quad + \langle y^*, \mathcal{F}(x_*, u_*) + \mathcal{F}'(x_*, u_*)(x, u - u_*) \rangle + \langle z^*, G(x_*) + G'(x_*)x \rangle \end{aligned}$$

erfüllt ist. Betrachten wir diese Ungleichung zunächst für  $x = 0$  und  $u = u_*$ , dann folgt  $\langle z^*, \eta \rangle \leq \langle z^*, G(x_*) \rangle$  für alle  $\eta \in \text{int } \mathcal{K}$ . Da  $\mathcal{K}$  ein abgeschlossener Kegel mit Spitze im Ursprung ist, ergeben sich daraus die Beziehungen  $\langle z^*, z \rangle \leq 0$  für alle  $z \in \mathcal{K}$  und  $\langle z^*, G(x_*) \rangle = 0$ . Damit ist (F.9) gezeigt. Weiter ergibt sich für alle  $x \in \mathcal{X}$  und  $u \in \mathcal{U}$  die Ungleichung  $0 \leq \langle \mathcal{L}_x(x_*, u_*, \lambda_0, y^*, z^*), x \rangle + \langle \mathcal{L}_u(x_*, u_*, \lambda_0, y^*, z^*), u - u_* \rangle$ . Betrachten wir nun nacheinander  $u = u_*$  und  $x = 0$ , so kommen wir zu den Beziehungen (F.7), (F.8) des Extremalprinzips F.3.

Wir zeigen  $\text{int } \mathcal{C} \neq \emptyset$ : Es seien  $u_1, \dots, u_m$  die Elemente mit den entsprechenden Eigenschaften in Lemma F.4,  $U_0 = \text{conv } \{u_1, \dots, u_m\} \subseteq \mathcal{U}$ ,  $S = \{x \in \mathcal{X} \mid \|x\| < 1\}$  und

$$B_0 = \mathcal{F}_x(x_*, u_*)S + \mathcal{F}_u(x_*, u_*)(U_0 - u_*).$$

Die Menge  $B_0$  ist konvex und besitzt ein nichtleeres Inneres, da  $\pi(B_0)$  die Punkte  $z_1, \dots, z_m$  (vgl. Lemma F.4) enthält. Außerdem ist nach dem Satz von der offenen Abbildung die Menge  $\mathcal{F}_x(x_*, u_*)S$  offen in  $L_0$ . Ferner seien

$$c_0 = \|J_x(x_*, u_*)\| + \max_{j=1, \dots, m} J_u(x_*, u_*)(u_j - u_*), \quad \mathbb{R}_{c_0} = \{a \in \mathbb{R} \mid a > c_0\}.$$

Dann besitzt die Menge  $\mathcal{C}_0 = \mathbb{R}_{c_0} \times B_0 \times (G(x_*) - \text{int } \mathcal{K})$  ein nichtleeres Inneres und es gilt  $\mathcal{C}_0 \subseteq \mathcal{C}$ . Demzufolge ist  $\text{int } \mathcal{C} \neq \emptyset$ .

Wir zeigen  $0 \notin \text{int } \mathcal{C}$ : Wir nehmen nun an, es ist  $0 \in \text{int } \mathcal{C}$ . Dann existieren Elemente  $\bar{x} \in \mathcal{X}$ ,  $\bar{u} \in \mathcal{U}$ ,  $\bar{\eta} \in \text{int } \mathcal{K}$  und eine Zahl  $c > 0$  mit

$$-c > J'(x_*, u_*)(\bar{x}, \bar{u} - u_*), \quad 0 = \mathcal{F}'(x_*, u_*)(\bar{x}, \bar{u} - u_*), \quad 0 = G(x_*) + G'(x_*)\bar{x} - \bar{\eta}. \quad (\text{F.10})$$

Angenommen, die Beziehungen (F.10) seien erfüllt. Es sei  $\varrho > 0$  fest gewählt. Ferner seien  $u_1, \dots, u_m \in \mathcal{U}$  die Elemente in Lemma F.4. Nach Voraussetzung (A<sub>2</sub>) ist  $\mathcal{F}$  auf der Umgebung  $V$  des Punktes  $(x_*, u_*)$  stetig. Daher ist in einer Umgebung des Punktes  $(x_*, 0, 0) \in \mathcal{X} \times \mathbb{R} \times \mathbb{R}^m$  durch

$$\Phi(x, \alpha_0, \alpha) = \mathcal{F}\left(x, u_* + \alpha_0(\bar{u} - u_*) + \varrho \sum_{j=1}^m \alpha_j(u_j - u_*)\right), \quad \alpha = (\alpha_1, \dots, \alpha_m),$$

eine Abbildung in den Raum  $\mathcal{Y}$  definiert. Dabei gilt  $\Phi(x_*, 0, 0) = 0$ . Die Bedingung (A<sub>2</sub>) liefert, dass  $\Phi$  auf einer Umgebung des Punktes  $(x_*, 0, 0)$  Fréchet-differenzierbar und im Punkt  $(x_*, 0, 0)$  stetig Fréchet-differenzierbar mit der Ableitung

$$\Phi'(x_*, 0, 0)(x, \alpha_0, \alpha) = \mathcal{F}'(x_*, u_*)(x, \alpha_0(\bar{u} - u_*)) + \varrho \sum_{j=1}^m \alpha_j \mathcal{F}_u(x_*, u_*)(u_j - u_*)$$

ist. Ferner enthält die Wertemenge des linearen Operators  $\Phi'(x_*, 0, 0)$  die Menge  $B_0$  und stimmt folglich mit dem ganzen Raum  $\mathcal{Y}$  überein. Außerdem gibt es nach Wahl der Elemente  $u_j$  in Lemma F.4 ein  $x' \in \mathcal{X}$  mit

$$\mathcal{F}_x(x_*, u_*)x' + \sum_{j=1}^m \mathcal{F}_u(x_*, u_*)(u_j - u_*) = 0.$$

Damit folgt zusammen mit (F.10) die Bedingung  $\Phi'(x_*, 0, 0)(\bar{x} + \varrho x', 1, 1) = 0$ , d. h., dass der Punkt  $(\bar{x} + \varrho x', 1, 1)$  dem Kern des Operators  $\Phi'(x_*, 0, 0)$  angehört.

Nach dem Satz von Ljusternik (Theorem B.30) existieren  $\varepsilon_0 > 0$  und eine Abbildung  $\varepsilon \rightarrow (x(\varepsilon), \alpha_0(\varepsilon), \alpha(\varepsilon))$  des Intervalls  $[0, \varepsilon_0]$  in den Raum  $\mathcal{X} \times \mathbb{R} \times \mathbb{R}^m$  derart, dass  $\|(x(\varepsilon), \alpha_0(\varepsilon), \alpha(\varepsilon))\|_{\mathcal{X} \times \mathbb{R} \times \mathbb{R}^m} \rightarrow 0$  für  $\varepsilon \rightarrow 0^+$  gilt und außerdem

$$\Phi(x_* + \varepsilon[\bar{x} + \varrho x' + x(\varepsilon)], \varepsilon[1 + \alpha_0(\varepsilon)], \varepsilon[1 + \alpha(\varepsilon)]) = \Phi(x_*, 0, 0) \quad (\text{F.11})$$

für alle  $\varepsilon \in [0, \varepsilon_0]$  erfüllt ist. Wir setzen der Kürze halber  $\tilde{x}(\varepsilon) = x_* + \varepsilon[\bar{x} + \varrho x' + x(\varepsilon)]$  und

$$\tilde{u}(\varepsilon) = u_* + \varepsilon[1 + \alpha_0(\varepsilon)](\bar{u} - u_*) + \varepsilon\varrho \sum_{j=1}^m [1 + \alpha_j(\varepsilon)](u_j - u_*).$$

Für alle  $\varepsilon \in [0, \varepsilon_0]$  mit hinreichend kleinem  $\varepsilon_0 > 0$  stellt  $\tilde{u}(\varepsilon)$  eine Konvexkombination der Elemente  $u_*, \bar{u}, u_1, \dots, u_m$  dar, d. h.  $\tilde{u}(\varepsilon) \in \mathcal{U}$ , und es folgt unmittelbar aus (F.11):

$$\mathcal{F}(\tilde{x}(\varepsilon), \tilde{u}(\varepsilon)) = 0. \quad (\text{F.12})$$

Da die Abbildung  $G$  im Punkt  $x_*$  Fréchet-differenzierbar ist, ergibt sich

$$G(\tilde{x}(\varepsilon)) = G(x_*) + \varepsilon G'(x_*)(\bar{x} + \varrho x') + r(\varepsilon), \quad \lim_{\varepsilon \rightarrow 0^+} \frac{\|r(\varepsilon)\|_{\mathcal{X}}}{\varepsilon} = 0.$$

Wir beachten, dass  $\mathcal{K}$  konvex ist, sowie  $G(x_*) \in \mathcal{K}$  und  $G(x_*) + G'(x_*)\bar{x} = \bar{\eta} \in \text{int } \mathcal{K}$  nach (F.10) gelten. Es sei  $\varrho > 0$  mit  $\bar{\eta} + \varrho G'(x_*)x' \in \text{int } \mathcal{K}$  gewählt. Damit erhalten wir für alle  $\varepsilon \in (0, \varepsilon_0]$  mit einem hinreichend kleinen  $\varepsilon_0$ :

$$\begin{aligned} G(\tilde{x}(\varepsilon)) &= (1 - \varepsilon)G(x_*) + \varepsilon[G(x_*) + G'(x_*)\bar{x}] + \varepsilon\varrho G'(x_*)x' + r(\varepsilon) \\ &= (1 - \varepsilon)G(x_*) + \varepsilon[\bar{\eta} + \varrho G'(x_*)x' + r(\varepsilon)/\varepsilon] \in \text{int } \mathcal{K}. \end{aligned} \quad (\text{F.13})$$

Zusätzlich zu der Bedingung  $\bar{\eta} + \varrho G'(x_*)x' \in \text{int } \mathcal{K}$  wählen wir  $\varrho > 0$  so, dass mit der Zahl  $c > 0$  in (F.10) die Relation

$$\varrho \left[ J_x(x_*, u_*)x' + \sum_{j=1}^m J_u(x_*, u_*)(u_j - u_*) \right] \leq \frac{c}{2}$$

erfüllt ist. Da das Funktional  $J$  im Punkt  $(x_*, u_*)$  Fréchet-differenzierbar ist, ergibt sich

$$\begin{aligned} J(\tilde{x}(\varepsilon), \tilde{u}(\varepsilon)) &= J(x_*, u_*) + \varepsilon J'(x_*, u_*)(\bar{x}, \bar{u} - u_*) \\ &\quad + \varepsilon\varrho \left[ J_x(x_*, u_*)x' + \sum_{j=1}^m J_u(x_*, u_*)(u_j - u_*) \right] + o(\varepsilon). \end{aligned}$$

Mit (F.10) und nach Wahl von  $\varrho > 0$  erhalten wir für alle  $\varepsilon \in [0, \varepsilon_0]$ :

$$J(\tilde{x}(\varepsilon), \tilde{u}(\varepsilon)) \leq J(x_*, u_*) - \varepsilon c + \varepsilon \frac{c}{2} + o(\varepsilon). \quad (\text{F.14})$$

Die Beziehungen (F.12) und (F.13) zeigen, dass für hinreichend kleine  $\varepsilon > 0$  das Paar  $(\tilde{x}(\varepsilon), \tilde{u}(\varepsilon))$  zulässig in der Aufgabe (F.6) ist. Außerdem ist  $J(\tilde{x}(\varepsilon), \tilde{u}(\varepsilon)) < J(x_*, u_*)$  nach (F.14) für hinreichend kleine  $\varepsilon > 0$ . Wegen  $\tilde{x}(\varepsilon) \rightarrow x_*$  und  $\tilde{u}(\varepsilon) \rightarrow u_*$  für  $\varepsilon \rightarrow 0$  bedeutet dies, dass der Punkt  $(x_*, u_*)$  im Widerspruch zur Voraussetzung kein schwaches lokales Minimum sein könnte. ■

### F.4. Ein Extremalprinzip für ein starkes lokales Minimum

Es seien  $\mathcal{X}$ ,  $\mathcal{Y}$  Banachräume und  $\mathcal{U}$  eine beliebige Menge. Ferner seien  $J$  ein Funktional auf  $\mathcal{X} \times \mathcal{U}$ ,  $\mathcal{F}$  eine Abbildung des Produktes  $\mathcal{X} \times \mathcal{U}$  in den Raum  $\mathcal{Y}$  und  $G_j : \mathcal{X} \rightarrow \mathbb{R}$  für  $j = 1, \dots, l$ . Unter diesen Angaben betrachten wir die Extremalaufgabe

$$J(x, u) \rightarrow \inf; \quad \mathcal{F}(x, u) = 0, \quad G_j(x) \leq 0, \quad j = 1, \dots, l, \quad x \in \mathcal{X}, \quad u \in \mathcal{U}. \quad (\text{F.15})$$

Der Punkt  $(x, u)$  ist ein zulässiges Element der Aufgabe (F.15), falls sämtliche Nebenbedingungen erfüllt sind. Ein Punkt  $(x_*, u_*)$  heißt ein starkes lokales Minimum der Extremalaufgabe (F.15), wenn ein  $\varepsilon > 0$  derart existiert, dass für alle zulässigen Paare  $(x, u)$  mit  $\|x - x_*\|_{\mathcal{X}} \leq \varepsilon$  die Ungleichung  $J(x_*, u_*) \leq J(x, u)$  gilt.

Auf  $\mathcal{X} \times \mathcal{U} \times \mathbb{R} \times \mathcal{Y}^* \times \mathbb{R}^l$  definieren wir zur Aufgabe (F.15) die Lagrange-Funktion

$$\mathcal{L}(x, u, \lambda_0, y^*, \lambda_1, \dots, \lambda_l) = \lambda_0 J(x, u) + \langle y^*, \mathcal{F}(x, u) \rangle + \sum_{j=1}^l \lambda_j G_j(x).$$

Außerdem bezeichnet in diesem Abschnitt  $\Sigma(\Delta)$  das folgende  $d$ -dimensionale Simplex:

$$\Sigma(\Delta) = \left\{ \alpha = (\alpha_1, \dots, \alpha_d) \in \mathbb{R}^d \mid \alpha_1, \dots, \alpha_d \geq 0, \sum_{i=1}^d \alpha_i \leq \Delta \right\}.$$

**Theorem F.5** (Extremalprinzip). *Sei  $(x_*, u_*)$  ein zulässiges Element der Aufgabe (F.15).*

- (A) *Wir nehmen an, dass der Punkt  $x_*$  eine Umgebung  $V$  besitzt mit:*
  - (A<sub>1</sub>) *Für jedes  $u \in U$  ist  $x \rightarrow J(x, u)$  im Punkt  $x_*$  Fréchet-differenzierbar;*
  - (A<sub>2</sub>) *Für jedes  $u \in U$  ist  $x \rightarrow \mathcal{F}(x, u)$  im Punkt  $x_*$  Gâteaux-differenzierbar;*
  - (A<sub>3</sub>) *Die Funktionen  $G_j(x)$  sind im Punkt  $x_*$  lokalkonvex und bezüglich jeder Richtung gleichmäßig differenzierbar.*
- (B) *Weiterhin setzen wir voraus, dass der Operator  $\mathcal{F}_x(x_*, u_*)$  eine endliche Kodimension besitzt.*
- (C) *Außerdem nehmen wir an, dass zu jedem endlichen System von Punkten  $u_1, \dots, u_d$  aus  $\mathcal{U}$  und zu jedem  $\delta > 0$  eine Zahl  $\Delta > 0$  und eine Abbildung  $u : \Sigma(\Delta) \rightarrow \mathcal{U}$  derart existieren, dass  $u(0) = u_*$  gilt und für alle  $x, x'$  aus  $V'$  und alle  $\alpha, \alpha'$  aus  $\Sigma(\Delta)$  folgende Ungleichungen erfüllt sind:*

$$\begin{aligned} & \left\| \mathcal{F}(x, u(\alpha)) - \mathcal{F}(x', u(\alpha')) - \mathcal{F}_x(x_*, u_*)(x - x') \right. \\ & \quad \left. - \sum_{k=1}^d (\alpha_k - \alpha'_k) (\mathcal{F}(x_*, u_k) - \mathcal{F}(x_*, u_*)) \right\|_{\mathcal{Y}} \leq \delta \left( \|x - x'\|_{\mathcal{X}} + \sum_{k=1}^d |\alpha_k - \alpha'_k| \right), \\ & J(x, u(\alpha)) - J(x, u_*) - \sum_{k=1}^d \alpha_k (J(x, u_k) - J(x, u_*)) \leq \delta \left( \|x - x_*\|_{\mathcal{X}} + \sum_{k=1}^d \alpha_k \right). \end{aligned}$$

Ist dann  $(x_*, u_*)$  starke lokale Minimalstelle der Aufgabe (F.15), so existieren nicht gleichzeitig verschwindende Lagrangesche Multiplikatoren  $\lambda_0 \geq 0, \dots, \lambda_l \geq 0$  und  $y^* \in \mathcal{Y}^*$  derart, dass folgende Bedingungen gelten:

(a) Die Lagrange-Funktion besitzt bezüglich  $x$  in  $x_*$  einen stationären Punkt, d. h.

$$0 \in \partial_x \mathcal{L}(x_*, u_*, \lambda_0, y^*, \lambda_1, \dots, \lambda_l); \quad (\text{F.16})$$

(b) Die Lagrange-Funktion erfüllt bezüglich  $u$  in  $u_*$  die Minimumbedingung

$$\mathcal{L}(x_*, u_*, \lambda_0, y^*, \lambda_1, \dots, \lambda_l) = \min_{u \in \mathcal{U}} \mathcal{L}(x_*, u, \lambda_0, y^*, \lambda_1, \dots, \lambda_l); \quad (\text{F.17})$$

(c) Die komplementären Schlupfbedingungen gelten, d. h.

$$0 = \lambda_j G_j(x_*) \quad \text{für } j = 1, \dots, l. \quad (\text{F.18})$$

Im Weiteren seien  $L_0 = \text{Im } \mathcal{F}_x(x_*, u_*)$ ,  $B = L_0 + \text{conv } \mathcal{F}(x_*, \mathcal{U})$  und  $L = \text{lin } B$ . Zum Beweis des Extremalprinzips F.5 gehen wir ähnlich wie im Abschnitt F.3 vor. Die entarteten Fälle ergeben sich dabei völlig analog.

**Lemma F.6.** *Es sei  $L = \mathcal{Y}$ . Dann ist  $\text{int } B \neq \emptyset$ . Ist außerdem  $0 \in \text{int } B$ , so gibt es  $x' \in \mathcal{X}$ ,  $u_1, \dots, u_m \in \mathcal{U}$  und  $\gamma_j > 0$  mit  $\mathcal{F}_x(x_*, u_*)x' + \gamma_1 \mathcal{F}(x_*, u_1) + \dots + \gamma_m \mathcal{F}(x_*, u_m) = 0$  und  $\text{lin}(L_0 \cup \{\mathcal{F}(x_*, u_1), \dots, \mathcal{F}(x_*, u_m)\}) = \mathcal{Y}$ .*

**Beweis:** Der erste Teil, nämlich  $\mathcal{F}_x(x_*, u_*)x' + \gamma_1 \mathcal{F}(x_*, u_1) + \dots + \gamma_m \mathcal{F}(x_*, u_m) = 0$ , ergibt sich ebenso wie im Beweis von Lemma F.4. Ist  $L = \mathcal{Y}$  und  $0 \in \text{int } B$ , so gibt es  $x' \in \mathcal{X}$  und  $y_1, \dots, y_r \in \text{conv } \mathcal{F}(x_*, \mathcal{U})$  mit (Lemma F.4)

$$\mathcal{F}_x(x_*, u_*)x' + y_1 + \dots + y_r = 0, \quad \text{lin}(L_0 \cup \{y_1, \dots, y_r\}) = \mathcal{Y}.$$

Weiterhin existieren zu jedem  $j = 1, \dots, r$  Zahlen  $\gamma_{js} > 0$  und Punkte  $u_{js} \in \mathcal{U}$  mit

$$y_j = \sum_{s=1}^{m_j} \gamma_{js} \mathcal{F}(x_*, u_{js}), \quad \sum_{s=1}^{m_j} \gamma_{js} = 1.$$

Damit sind  $\gamma_{js} > 0$  die gesuchten Zahlen und  $u_{js}$  die gesuchten Elemente. ■

**Beweis in den entarteten Fällen:** Ist  $L \neq \mathcal{Y}$ , so existiert ein nichttriviales Funktional  $y^* \in \mathcal{Y}^*$ , das dem Annulator des Teilraumes  $L$  angehört, und  $\lambda_0 = \dots = \lambda_l = 0$  und  $y^*$  sind die gesuchten Multiplikatoren.

Ist  $L = \mathcal{Y}$  und  $0 \notin \text{int } B$ , dann besitzt die konvexe Menge  $B$  ein nichtleeres Inneres. Nach dem Trennungssatz existiert ein nichttriviales  $y^* \in \mathcal{Y}^*$ , das die Menge  $B$  und den Ursprung im Raum  $\mathcal{Y}$  trennt. Daher sind  $\lambda_0 = \dots = \lambda_l = 0$  und  $y^*$  ein System gesuchter Multiplikatoren. ■

**Beweis im regulären Fall:** Es sei  $L = \mathcal{Y}$  und  $0 \in \text{int } B$ . Wir nehmen  $J(x_*, u_*) = 0$  an. Außerdem seien  $G_j(x_*) = 0$  für  $j = 1, \dots, l'$  und  $G_j(x_*) < 0$  für  $j = l' + 1, \dots, l$ . Im Weiteren bezeichnet  $\mathcal{C}$  die Menge derjenigen  $(\eta_0, y, \eta_1, \dots, \eta_{l'}) \in \mathbb{R} \times \mathcal{Y} \times \mathbb{R}^{l'}$  mit folgender Eigenschaft: Zu jedem Element existieren ein  $x \in \mathcal{X}$  und ein  $u \in \mathcal{U}$  mit

$$\begin{aligned} \eta_0 &> J_x(x_*, u_*)x + J(x_*, u) - J(x_*, u_*), & y &= \mathcal{F}_x(x_*, u_*)x + \mathcal{F}(x_*, u) - \mathcal{F}(x_*, u_*), \\ \eta_j &> G_j(x_*) + G'_j(x_*; x), & j &= 1, \dots, l'. \end{aligned}$$

Zum Beweis des Extremalprinzips F.5 genügt es im regulären Fall  $\text{int}(\text{conv } \mathcal{C}) \neq \emptyset$  und  $0 \notin \text{conv } \mathcal{C}$  nachzuweisen. Denn falls diese Beziehungen richtig sind, dann existiert ein nichttriviales Funktional  $(\lambda_0, y^*, \lambda) \in \mathbb{R} \times \mathcal{Y}^* \times \mathbb{R}^{l'}$ , das die Menge  $\text{conv } \mathcal{C}$  vom Ursprung trennt. Dies bedeutet, dass die Ungleichung  $0 \leq \lambda_0 \eta_0 + \langle y^*, y \rangle + \lambda_1 \eta_1 + \dots + \lambda_{l'} \eta_{l'}$  für alle  $(\eta_0, y, \eta_1, \dots, \eta_{l'}) \in \mathcal{C} \subseteq \text{conv } \mathcal{C}$  gilt. In dieser Ungleichung folgt durch die Betrachtung  $\eta_j \rightarrow \infty$  sofort  $\lambda_j \geq 0$  für  $j = 0, \dots, l'$  und, dass für alle  $x \in \mathcal{X}$ ,  $u \in \mathcal{U}$  die Ungleichung

$$\begin{aligned} 0 \leq & \lambda_0 [J_x(x_*, u_*)x + J(x_*, u) - J(x_*, u_*)] \\ & + \langle y^*, \mathcal{F}_x(x_*, u_*)x + \mathcal{F}(x_*, u) - \mathcal{F}(x_*, u_*) \rangle + \sum_{j=1}^{l'} \lambda_j [G_j(x_*) + G'_j(x_*; x)] \end{aligned}$$

erfüllt ist. Setzen wir  $\lambda_{l'+1} = \dots = \lambda_l = 0$ , dann gelten die Schlupfbedingungen (F.18). Betrachten wir weiterhin diese Ungleichung nacheinander für  $x = 0$  bzw. für  $u = u_*$ , so folgen (F.16) und (F.17).

Wir zeigen  $\text{int}(\text{conv } \mathcal{C}) \neq \emptyset$ : Es seien  $u_1, \dots, u_m$  die Elemente mit den entsprechenden Eigenschaften in Lemma F.6. Im Weiteren bezeichnen  $S = \{x \in \mathcal{X} \mid \|x\|_{\mathcal{X}} < 1\}$  und

$$Y_0 = \text{conv} \{ \mathcal{F}(x_*, u_1), \dots, \mathcal{F}(x_*, u_m) \}, \quad B_0 = \mathcal{F}_x(x_*, u_*)S + Y_0.$$

Die Menge  $B_0$  ist konvex und besitzt ein nichtleeres Inneres, da  $\text{lin } B_0 = \mathcal{Y}$ . Außerdem ist die Menge  $\mathcal{F}_x(x_*, u_*)S$  nach dem Satz von der offenen Abbildung offen. Wir setzen

$$c_1 = \|J_x(x_*, u_*)\| + \max_{j=1, \dots, m} J(x_*, u_j), \quad c_2 = \max_{j=1, \dots, l'} \sup_{x \in S} |G'_j(x_*; x)|.$$

Die Zahl  $c_2$  ist endlich, da die Richtungsableitung nach Lemma D.1 eine stetige Funktion ist. Ferner seien  $c_0 = \max\{c_1, c_2\}$  und  $\mathbb{R}_{c_0} = \{a \in \mathbb{R} \mid a > c_0\}$ . Dann besitzt die Menge  $\mathcal{C}_0 = \mathbb{R}_{c_0} \times B_0 \times \mathbb{R}_{c_0}^{l'} \subseteq \text{conv } \mathcal{C}$  ein nichtleeres Inneres. Demzufolge ist  $\text{int}(\text{conv } \mathcal{C}) \neq \emptyset$ .

Wir zeigen  $0 \notin \text{conv } \mathcal{C}$ : Es sei  $0 \in \text{conv } \mathcal{C}$ . Dann existieren Vektoren  $\bar{\xi}_k \in \mathcal{X}$ ,  $\bar{w}_k \in \mathcal{U}$  und  $\bar{a}_1 > 0, \dots, \bar{a}_r > 0$  mit  $\bar{a}_1 + \dots + \bar{a}_r = 1$  derart, dass mit  $\bar{\xi} = \bar{a}_1 \bar{\xi}_1 + \dots + \bar{a}_r \bar{\xi}_r$  die Beziehungen

$$\begin{aligned} 0 &> J_x(x_*, u_*)\bar{\xi} + \sum_{k=1}^r \bar{a}_k [J(x_*, \bar{w}_k) - J(x_*, u_*)], \\ 0 &= \mathcal{F}_x(x_*, u_*)\bar{\xi} + \sum_{k=1}^r \bar{a}_k [\mathcal{F}(x_*, \bar{w}_k) - \mathcal{F}(x_*, u_*)] \end{aligned}$$

erfüllt sind und wegen der Konvexität der Abbildungen  $x \rightarrow G'_j(x_*; x)$  folgende Ungleichungen für  $j = 1, \dots, l'$  gelten:

$$0 > G_j(x_*) + \sum_{k=1}^r \bar{a}_k G'_j(x_*; \bar{\xi}_k) \geq G_j(x_*) + G'_j(x_*; \bar{\xi}).$$

Nach Lemma F.6 existieren  $x' \in \mathcal{X}$ ,  $u_1, \dots, u_m \in \mathcal{U}$  und Zahlen  $\gamma_1 > 0, \dots, \gamma_m > 0$  mit

$$\mathcal{F}_x(x_*, u_*)x' + \gamma_1 \mathcal{F}(x_*, u_1) + \dots + \gamma_m \mathcal{F}(x_*, u_m) = 0.$$

Da die Abbildungen  $x \rightarrow J_x(x_*, u_*)x$ ,  $x \rightarrow G_j(x_*; x)$  stetig und  $J(x_*, u_j)$  endlich sind, gibt es positive Zahlen  $\varrho$  und  $c > 0$  mit

$$\begin{aligned} -4c &> J_x(x_*, u_*)\bar{\xi} + \sum_{k=1}^r \bar{a}_k [J(x_*, \bar{w}_k) - J(x_*, u_*)] + \varrho \left[ J_x(x_*, u_*)x' + \sum_{j=1}^m \gamma_j J(x_*, u_j) \right], \\ 0 &= \mathcal{F}_x(x_*, u_*)\bar{\xi} + \sum_{k=1}^r \bar{a}_k [\mathcal{F}(x_*, \bar{w}_k) - \mathcal{F}(x_*, u_*)] + \varrho \left[ \mathcal{F}_x(x_*, u_*)x' + \sum_{j=1}^m \gamma_j \mathcal{F}(x_*, u_j) \right], \\ -c &> G_j(x_*) + G'_j(x_*; \bar{\xi} + \varrho x'), \quad j = 1, \dots, l'. \end{aligned}$$

Wir führen durch  $\bar{x} = \bar{\xi} + \varrho x'$ ,  $\bar{u}_1 = \bar{w}_1, \dots, \bar{u}_d = u_m$  und  $\bar{\alpha}_1 = \bar{a}_1, \dots, \bar{\alpha}_d = \gamma_m$  eine vereinheitlichte Bezeichnungsweise ein. Dann gelten im Fall  $0 \in \text{conv } \mathcal{C}$  die Beziehungen

$$-4c > J_x(x_*, u_*)\bar{x} + \sum_{k=1}^d \bar{\alpha}_k [J(x_*, \bar{u}_k) - J(x_*, u_*)], \quad (\text{F.19})$$

$$0 = \mathcal{F}_x(x_*, u_*)\bar{x} + \sum_{k=1}^d \bar{\alpha}_k [\mathcal{F}(x_*, \bar{u}_k) - \mathcal{F}(x_*, u_*)], \quad (\text{F.20})$$

$$-c > G_j(x_*) + G'_j(x_*; \bar{x}), \quad j = 1, \dots, l', \quad (\text{F.21})$$

und außerdem, da die Elemente  $u_j$  aus Lemma F.6 in den  $\bar{u}_k$  enthalten sind,

$$\text{lin}(L_0 \cup \{\mathcal{F}(x_*, \bar{u}_1), \dots, \mathcal{F}(x_*, \bar{u}_d)\}) = \mathcal{Y}. \quad (\text{F.22})$$

Wir nehmen an, die Beziehungen (F.19)–(F.21) seien erfüllt. Es sei  $\delta > 0$  fest gewählt. Dann kann man für  $\bar{u}_1, \dots, \bar{u}_d$  und  $\delta$  eine Umgebung  $V'$  des Punktes  $x_*$ , eine Zahl  $\Delta > 0$  und eine Abbildung  $u : \Sigma(\Delta) \rightarrow \mathcal{U}$  wählen, die der Voraussetzung (C) genügen.

Für jedes  $a \in \mathbb{R}$  setzen wir  $a^+ = \max\{a, 0\}$ ,  $a^- = \min\{a, 0\}$  und verwenden für jeden Vektor  $\alpha = (\alpha_1, \dots, \alpha_m) \in \mathbb{R}^m$  die Bezeichnungen  $\alpha^+ = (\alpha_1^+, \dots, \alpha_m^+)$ ,  $\alpha^- = (\alpha_1^-, \dots, \alpha_m^-)$ . Damit ist in einer Umgebung des Punktes  $(x_*, 0) \in \mathcal{X} \times \mathbb{R}^d$  durch

$$\Phi(x, \alpha) = \mathcal{F}(x, u(\alpha^+)) + \sum_{k=1}^d \alpha_k^- (\mathcal{F}(x_*, \bar{u}_k) - \mathcal{F}(x_*, u_*))$$

eine Abbildung in den Raum  $\mathcal{Y}$  definiert. Offenbar gilt dabei  $\Phi(x_*, 0) = \mathcal{F}(x_*, u_*) = 0$ . Schließlich bezeichnen wir mit  $\Lambda$  die Abbildung

$$\Lambda(x, \alpha) = \mathcal{F}_x(x_*, u_*)x + \sum_{k=1}^d \alpha_k (\mathcal{F}(x_*, \bar{u}_k) - \mathcal{F}(x_*, u_*)).$$

Die Abbildung  $\Lambda$  definiert einen stetigen linearen Operator aus  $\mathcal{X} \times \mathbb{R}^d$  in  $\mathcal{Y}$ , da nach Voraussetzung (A<sub>2</sub>) der Operator  $\mathcal{F}_x(x_*, u_*)$  stetig und linear ist. Aufgrund der Voraussetzung (C) gilt daher für alle  $(x, \alpha)$  und  $(x', \alpha')$  aus einer Umgebung des Punktes  $(x_*, 0) \in \mathcal{X} \times \mathbb{R}^d$  die Ungleichung

$$\begin{aligned} & \|\Phi(x, \alpha) - \Phi(x', \alpha') - \Lambda(x, \alpha) + \Lambda(x', \alpha')\|_{\mathcal{Y}} \\ &= \left\| \mathcal{F}(x, u(\alpha^+)) - \mathcal{F}(x', u(\alpha'^+)) - \mathcal{F}_x(x_*, u_*)(x - x') \right. \\ & \quad \left. - \sum_{k=1}^d (\alpha_k^+ - \alpha_k'^+) (\mathcal{F}(x_*, \bar{u}_k) - \mathcal{F}(x_*, u_*)) \right\|_{\mathcal{Y}} \\ & \leq \delta \left( \|x - x'\|_{\mathcal{X}} + \sum_{k=1}^d |\alpha_k^+ - \alpha_k'^+| \right) \leq \delta \left( \|x - x'\|_{\mathcal{X}} + \sum_{k=1}^d |\alpha_k - \alpha_k'| \right). \end{aligned} \quad (\text{F.23})$$

Aus der Definition des Operators  $\Lambda$  und (F.22) folgt  $\text{Im } \Lambda = \mathcal{Y}$ . Gemäß Lemma B.31 ist die Zahl  $C(\Lambda) < \infty$ . Wählen wir nun  $\delta > 0$  so, dass  $\delta C(\Lambda) < 1/2$  erfüllt ist, so genügen die Abbildung  $\Phi$  und der Operator  $\Lambda$  dem verallgemeinerten Satz von Ljusternik.

Nach (F.20) gehört der Vektor  $(\bar{x}, \bar{\alpha})$  mit  $\bar{\alpha} = (\bar{\alpha}_1, \dots, \bar{\alpha}_d)$  dem Kern des Operators  $\Lambda$  an. Daher existieren nach dem verallgemeinerten Satz von Ljusternik eine Zahlen  $\varepsilon_0 > 0$ ,  $K > 0$  und Abbildungen  $\varepsilon \rightarrow (x(\varepsilon), \alpha(\varepsilon)) = (x(\varepsilon), \alpha_1(\varepsilon), \dots, \alpha_d(\varepsilon))$  des Intervalls  $[0, \varepsilon_0]$  in den Raum  $\mathcal{X} \times \mathbb{R}^d$  derart, dass

$$\Phi(x_* + \varepsilon \bar{x} + x(\varepsilon), \varepsilon \bar{\alpha} + \alpha(\varepsilon)) = \Phi(x_*, 0) \quad (\text{F.24})$$

für alle  $\varepsilon \in [0, \varepsilon_0]$  und, da  $(\bar{x}, \bar{\alpha})$  dem Kern des Operators  $\Lambda$  angehört,

$$\|x(\varepsilon)\|_{\mathcal{X}} + \sum_{k=1}^d |\alpha_k(\varepsilon)| \leq K \|\Phi(x_* + \varepsilon \bar{x}, \varepsilon \bar{\alpha}) - \Phi(x_*, 0) - \varepsilon \Lambda(\bar{x}, \bar{\alpha})\|_{\mathcal{Y}} \quad (\text{F.25})$$

gelten. Aus (F.25) ergibt sich zusammen mit (F.23) die Ungleichung

$$\|x(\varepsilon)\|_{\mathcal{X}} + \sum_{k=1}^d |\alpha_k(\varepsilon)| \leq \varepsilon K \delta \left( \|\bar{x}\|_{\mathcal{X}} + \sum_{k=1}^d \bar{\alpha}_k \right). \quad (\text{F.26})$$

Hieraus ergibt sich insbesondere  $x(\varepsilon) \rightarrow 0$  und  $\alpha(\varepsilon) \rightarrow 0$  für  $\varepsilon \rightarrow 0$ . Wir nehmen jetzt ferner an, dass  $\delta > 0$  neben  $\delta C(\Lambda) < 1/2$  noch folgende Ungleichung erfüllt:

$$K \delta \left( \|\bar{x}\|_{\mathcal{X}} + \sum_{k=1}^d \bar{\alpha}_k \right) < \min\{\bar{\alpha}_1, \dots, \bar{\alpha}_d\}. \quad (\text{F.27})$$

Ein solches  $\delta$  existiert, da  $\bar{\alpha}_1 > 0, \dots, \bar{\alpha}_d > 0$  gelten. Aus (F.26) und (F.27) folgt sofort  $\varepsilon\bar{\alpha}_k + \alpha_k(\varepsilon) > 0$  für alle  $\varepsilon \in (0, \varepsilon_0]$  und damit, dass  $u(\varepsilon\bar{\alpha} + \alpha(\varepsilon)) \in \mathcal{U}$  gilt. Setzen wir  $\tilde{x}(\varepsilon) = x_* + \varepsilon\bar{x} + x(\varepsilon)$  und  $\tilde{u}(\varepsilon) = u(\varepsilon\bar{\alpha} + \alpha(\varepsilon))$ , so folgt wegen (F.24)

$$\mathcal{F}(\tilde{x}(\varepsilon), \tilde{u}(\varepsilon)) = 0. \quad (\text{F.28})$$

Da die Abbildungen  $G_j(x)$  im Punkt  $x_*$  gleichmäßig differenzierbar sind, lässt sich (vgl. Lemma D.1) eine Zahl  $\sigma > 0$  derart angeben, dass für  $j = 1, \dots, l'$  die Ungleichungen

$$G_j(x_* + \varepsilon x) \leq G_j(x_*) + \varepsilon(G'_j(x_*; \bar{x}) + c)$$

für alle  $0 \leq \varepsilon \leq \sigma$  und alle  $x \in \mathcal{X}$  mit  $\|x - \bar{x}\|_{\mathcal{X}} \leq \sigma$  gelten. Beachten wir (F.21), sowie  $G_j(x_*) = 0$  für  $j = 1, \dots, l'$  und  $G_j(x_*) < 0$  für  $j = l' + 1, \dots, l$ , dann ergeben sich

$$\left. \begin{aligned} G_j(\tilde{x}(\varepsilon)) &\leq G_j(x_*) - \varepsilon c + o(\varepsilon), & j = 1, \dots, l', \\ \lim_{\varepsilon \rightarrow 0^+} G_j(\tilde{x}(\varepsilon)) &= G_j(x_*) < 0, & j = l' + 1, \dots, l. \end{aligned} \right\} \quad (\text{F.29})$$

Nach Voraussetzung (A<sub>1</sub>) ist die Abbildung  $x \rightarrow J(x, u)$  für jedes  $u \in \mathcal{U}$  im Punkt  $x_*$  Fréchet-differenzierbar. Daher gibt es für alle  $x$  eine Abbildung  $o(\varepsilon)$  mit

$$J(x_* + \varepsilon x, u_*) = J(x_*, u_*) + \varepsilon J_x(x_*, u_*)\bar{x} + o(\varepsilon) + \varepsilon J_x(x_*, u_*)(x - \bar{x}).$$

Daher lassen sich  $\sigma > 0$  und  $\varepsilon_0 > 0$  so wählen, dass mit  $c > 0$  in (F.19) die Ungleichung

$$J(x_* + \varepsilon x, u_*) \leq J(x_*, u_*) + \varepsilon(J_x(x_*, u_*)\bar{x} + c) \quad (\text{F.30})$$

für alle  $\varepsilon \in [0, \varepsilon_0]$  und alle  $x \in \mathcal{X}$  mit  $\|x - \bar{x}\|_{\mathcal{X}} \leq \sigma$  gilt.

Wir spezifizieren erneut die Zahl  $\delta$ . Neben  $\delta C(\Lambda) < 1/2$  sei  $\delta > 0$  so gewählt, dass

$$K\delta \left( \|\bar{x}\|_{\mathcal{X}} + \sum_{k=1}^d \bar{\alpha}_k \right) < \min\{\bar{\alpha}_1, \dots, \bar{\alpha}_d, \sigma\}, \quad (\text{F.31})$$

$$K\delta \left( \|\bar{x}\|_{\mathcal{X}} + \sum_{k=1}^d \bar{\alpha}_k \right) \cdot \max_{1 \leq k \leq d} |J(x_*, \bar{u}_k) - J(x_*, u_*)| < c, \quad (\text{F.32})$$

$$(\delta + K\delta^2) \left( \|\bar{x}\|_{\mathcal{X}} + \sum_{k=1}^d \bar{\alpha}_k \right) < c. \quad (\text{F.33})$$

Aus der zweiten Ungleichung in Voraussetzung (C) ergibt sich für  $\varepsilon \in [0, \varepsilon_0]$ :

$$\begin{aligned} J(\tilde{x}(\varepsilon), \tilde{u}(\varepsilon)) &\leq J(\tilde{x}(\varepsilon), u_*) + \sum_{k=1}^d (\varepsilon\bar{\alpha}_k + \alpha_k(\varepsilon)) \left( J(\tilde{x}(\varepsilon), \bar{u}_k) - J(\tilde{x}(\varepsilon), u_*) \right) \\ &\quad + \delta \left( \|\varepsilon\bar{x} + x(\varepsilon)\|_{\mathcal{X}} + \sum_{k=1}^d (\varepsilon\bar{\alpha}_k + \alpha_k(\varepsilon)) \right). \end{aligned} \quad (\text{F.34})$$

Wir zeigen, dass aus dieser Ungleichung die Relation

$$J(\tilde{x}(\varepsilon), \tilde{u}(\varepsilon)) \leq J(x_*, u_*) - \varepsilon c + o(\varepsilon) \quad (\text{F.35})$$

für alle hinreichend kleine  $\varepsilon > 0$  folgt. Wegen (F.26) und (F.31) ist  $\varepsilon^{-1}\|x(\varepsilon)\|_{\mathcal{X}} \leq \sigma$ . Daher ist  $J(\tilde{x}(\varepsilon), u_*) \leq J(x_*, u_*) + \varepsilon(J_x(x_*, u_*)\bar{x} + c)$  nach (F.30) für  $0 \leq \varepsilon \leq \varepsilon_0$  erfüllt. Nach Voraussetzung (A<sub>1</sub>) und  $\alpha_k(\varepsilon) \rightarrow 0$  für  $\varepsilon \rightarrow 0$  gilt

$$\begin{aligned} & \sum_{k=1}^d (\varepsilon\bar{\alpha}_k + \alpha_k(\varepsilon)) \left( J(\tilde{x}(\varepsilon), \bar{u}_k) - J(x_*, \bar{u}_k) - J(\tilde{x}(\varepsilon), u_*) + J(x_*, u_*) \right) \\ &= \sum_{k=1}^d (\varepsilon\bar{\alpha}_k + \alpha_k(\varepsilon)) \left( J_x(x_*, \bar{u}_k)(\varepsilon\bar{x}) - J_x(x_*, u_*)(\varepsilon\bar{x}) + o(\varepsilon) \right) = o(\varepsilon). \end{aligned}$$

Beachten wir ferner die Beziehungen (F.26), (F.31) und (F.32), so erhalten wir

$$\begin{aligned} & \sum_{k=1}^d (\varepsilon\bar{\alpha}_k + \alpha_k(\varepsilon)) \left( J(\tilde{x}(\varepsilon), \bar{u}_k) - J(\tilde{x}(\varepsilon), u_*) \right) \\ &= \varepsilon \sum_{k=1}^d \bar{\alpha}_k (J(x_*, \bar{u}_k) - J(x_*, u_*)) + \sum_{k=1}^d \alpha_k(\varepsilon) (J(x_*, \bar{u}_k) - J(x_*, u_*)) \\ & \quad + \sum_{k=1}^d (\varepsilon\bar{\alpha}_k + \alpha_k(\varepsilon)) \left( J(\tilde{x}(\varepsilon), \bar{u}_k) - J(x_*, \bar{u}_k) - J(\tilde{x}(\varepsilon), u_*) + J(x_*, u_*) \right) \\ &\leq \varepsilon \left( \sum_{k=1}^d \bar{\alpha}_k (J(x_*, \bar{u}_k) - J(x_*, u_*)) + c \right) + o(\varepsilon). \end{aligned}$$

Schließlich gilt gemäß (F.26) und (F.33)

$$\begin{aligned} \delta \left( \|\varepsilon\bar{x} + x(\varepsilon)\|_{\mathcal{X}} + \sum_{k=1}^d (\varepsilon\bar{\alpha}_k + \alpha_k(\varepsilon)) \right) &\leq \varepsilon \delta \left( \|\bar{x}\|_{\mathcal{X}} + \frac{\|x(\varepsilon)\|_{\mathcal{X}}}{\varepsilon} + \sum_{k=1}^d \left( \bar{\alpha}_k + \frac{|\alpha_k(\varepsilon)|}{\varepsilon} \right) \right) \\ &\leq \varepsilon(\delta + K\delta^2) \left( \|\bar{x}\|_{\mathcal{X}} + \sum_{k=1}^d \bar{\alpha}_k \right) < \varepsilon c. \end{aligned}$$

Zusammen ergibt sich aus diesen Ungleichungen

$$J(\tilde{x}(\varepsilon), \tilde{u}(\varepsilon)) \leq J(x_*, u_*) + \varepsilon \left( J_x(x_*, u_*)\bar{x} + \sum_{k=1}^d \bar{\alpha}_k (J(x_*, \bar{u}_k) - J(x_*, u_*)) + 3c \right) + o(\varepsilon).$$

Beachten wir darin (F.19), dann erhalten wir unmittelbar (F.35).

Die Beziehungen (F.28) und (F.29) zeigen, dass das Paar  $(\tilde{x}(\varepsilon), \tilde{u}(\varepsilon))$  für hinreichend kleine  $\varepsilon > 0$  zulässig in der Aufgabe (F.15) ist. Weiterhin folgt  $J(\tilde{x}(\varepsilon), \tilde{u}(\varepsilon)) < J(x_*, u_*)$  aus (F.35). Wegen  $\tilde{x}(\varepsilon) \rightarrow x_*$  für  $\varepsilon \rightarrow 0$  bedeutet dies, dass der Punkt  $(x_*, u_*)$  im Widerspruch zur Voraussetzung kein starkes lokales Minimum sein könnte. ■



## Abbildungsverzeichnis

1.	Optimale Steuerung im Goddard Problem mit Luftwiderstand . . . . .	3
2.	Brachistochrone . . . . .	13
3.	Optimale Trajektorien in einem quadratischen Regler . . . . .	17
4.	Kettenlinien im Alltag . . . . .	31
5.	Kettenlinie an der Golden Gate Bridge . . . . .	32
6.	Bewegung eines Massenpunktes . . . . .	48
7.	Nadelvariation der Klassischen Variationsrechnung . . . . .	56
8.	Einfache Nadelvariation der Steuerungstheorie . . . . .	61
9.	Panorama-Ansicht des Stausees Mooserboden . . . . .	83
10.	Gekoppelte Kompartimente . . . . .	122
11.	Gekoppelte Kompartimente - Darstellung der Adjungierten . . . . .	123
12.	Gekoppelte Kompartimente - Phasendiagramm . . . . .	124
13.	Gekoppelte Kompartimente - Phasendiagramm bei Zustandsbeschränkung .	125
14.	Zeitverzögerte Systeme - Zerlegung der Trajektorien . . . . .	138
15.	Zeitverzögerte Systeme - Pontrjagin-Funktionen . . . . .	142
16.	Chemoimmuntherapie - unverzögertes Problem . . . . .	149
17.	Chemoimmuntherapie - verzögertes Problem . . . . .	149
18.	Linear-quadratischer Regler mit periodischen Daten . . . . .	187
19.	Globale Existenz und Stetigkeit bei Differentialgleichungen . . . . .	259
20.	Fortsetzungen einer nicht-maximalen Lösung . . . . .	260
21.	Mengenfamilien mehrfacher Nadelvariation – Parameter $\alpha$ . . . . .	269
22.	Mengenfamilien mehrfacher Nadelvariation – Parameter $\delta$ . . . . .	269
23.	Zerlegung des Zeitbereiches $t_0 \leq s, t \leq t_1$ . . . . .	287
24.	Abbildungen $\psi_j$ innerhalb der $(s, t)$ -Ebene . . . . .	287
25.	Gleichmäßige Einführung der Trägerfamilien bei Abbildungsfamilien . . . .	288



## Literatur

- [1] Arnold, L.: Wachstumstheorie. Franz Vahlen, München (1997).
- [2] Aseev, S.M., Kryazhinskiy, A.V.: The Pontryagin Maximum Principle and Optimal Economic Growth Problems. Proc. Steklov Inst. Math., 257, 1–255 (2007).
- [3] Aseev, S.M., Veliov, V.M.: Maximum Principle for Infinite-Horizon Optimal Control Problems with Dominating Discount. Dynamics of Continuous, Discrete and Impulsive Systems, Series B, Vol. 19 1-2 (2012).
- [4] Aseev, S.M., Veliov, V.M.: Needle variations in infinite-horizon optimal control. Variational and Optimal Control Problems on Unbounded Domains, eds. G. Wolansky, A.J. Zaslavski, Amer. Math. Soc. Contemporary Mathematics, 619 (2014).
- [5] Aseev, S.M., Veliov, V.M.: Maximum principle for infinite-horizon optimal control problems under weak regularity assumptions. Trudy Inst. Mat. i Mekh. UrO RAN, 20, no.3, 41–57 (2014).
- [6] Bakke, V.L.: A maximum principle for an optimal control problem with integral constraints, JOTA, 13, 32–55 (1974).
- [7] Barro, R.J., Sala-i-Martin, X.: Economic growth. McGraw Hill, New York (1995).
- [8] Bauer, H.: Maß- und Integrationstheorie. 2. Auflage. Walter de Gruyter & Co., Berlin-New York (1992).
- [9] Bellman, R.E.: Dynamic Programming. Princeton University Press (1957).
- [10] Bock, H.G., Longman, R.W.: Computation of Optimal Controls on Disjoint Control Sets for Minimum Energy Subway Operations. Proc. AAS Symp. on Engineering Science and Mechanics, Taiwan (1981).
- [11] Boltjanski, W.G.: Mathematische Methoden der Optimalen Steuerung. Akademische Verlagsgesellschaft Geest & Portig K.-G., Leipzig (1971).
- [12] J. F. Bonnans, J. F., De la Vega, C.: Optimal control of state constrained integral equations. Set-Valued Var. Analysis 18, 307–326 (2010).
- [13] Brodskii, Yu.I.: Necessary Conditions for a Weak Extremum in Optimal Control Problems on an Infinite Time Interval. Mat. Sb., Vol. 105(147), no. 3, 371–388 (1978).
- [14] Carlson, D.A.: An elementary proof of the maximum principle for optimal control problems governed by a Volterra integral equation. JOTA, 54, 43–61 (1987).
- [15] Carlson, D.A., Haurie, A.B., Leizarowitz, A.: Infinite Horizon Optimal Control. Springer-Verlag, New York, Berlin, Heidelberg (1991).

- [16] Clarke, F.: Optimization and Nonsmooth Analysis. John Wiley & Sons, New York (1983).
- [17] Clarke, F.H., Vinter, R.B.: Optimal multiprocesses. SIAM J. Control and Optimization, 27, pp. 1072–1091 (1989).
- [18] Clarke, F.H., Vinter, R.B.: Applications of Optimal Multiprocesses. SIAM J. Control and Optimization, 27, pp. 1048–1071 (1989).
- [19] Dmitruk, A.V., Kaganovich, A.M.: The Hybrid Maximum Principle is a consequence of Pontryagin Maximum Principle. Systems & Control Letters, Vol. 57, no. 11, p. 964–970 (2008).
- [20] Dmitruk, A.V., Osmolovskii, N.P.: Necessary conditions for a weak minimum in optimal control problems with integral equations subject to state and mixed constraints. SIAM J. on Control and Optimization, 52, 3437–3462 (2014).
- [21] Dmitruk, A.V., Osmolovskii, N.P.: Necessary conditions for a weak minimum in optimal control problems with integral equations on a variable time interval. Discret. Continuous Dyn. Systems. 35(9), 4323–4343 (2015).
- [22] Dockner E., Feichtinger, G., Mehlmann, A.: Noncooperative Solutions for a Differential Game Model of Fishery. Journal of Economic Dynamics and Control 13, 1–20 (1989).
- [23] Dorfman, R.: An economic interpretation of optimal control theory. AER 59, 817–831 (1969).
- [24] Dubovitskii, A.Ya., Milyutin, A.A.: Extremum problems in the presence of restrictions. USSR Computational Mathematics and Mathematical Physics, Volume 5, Issue 3, 1–80 (1965).
- [25] Elstrodt, J.: Maß- und Integrationstheorie. Springer, Berlin, (1996).
- [26] Feichtinger, G., Hartl, R.F.: Optimale Kontrolle ökonomischer Prozesse. de Gruyter; Berlin - New York (1986).
- [27] Filippov, A.F.: Differential Equations with Discontinuous Right-Hand Sides. Nauka, Moscow, (1985), (Kluwer, Dordrecht, 1988).
- [28] Galbraith, G.N., Vinter, R.B.: Optimal control of hybrid systems with an infinite set of discrete states. Journal of Dynamical and Control Systems, 9, pp. 563–584 (2003).
- [29] Gale, D.: On Optimal Development in a Multi-Sector Economy. RES 34, 1–18 (1967).
- [30] Gamkrelidze, R.V.: Theorie zeitoptimaler Prozesses in linearen Systemen. Bull. Acad. Sci. URSS, Ser. Math. 22 (1958).

- 
- [31] Garavello, M., Piccoli, B.: Hybrid Necessary Principle. *SIAM J. Control Optim.*, 43, pp. 1867–1887 (2005).
- [32] Girsanov, I.V.: *Lectures on Mathematical Theory of Extremum Problems*. Volume 67 of *Lecture Notes in Economics and Mathematical Systems*. Springer, Berlin-Heidelberg-New York, (1972).
- [33] Göllmann, L., Maurer, H.: Optimal control problems with time delays: Two case studies in biomedicine. *Mathematical Biosciences & Engineering* 15(5), 1137–1154 (2018).
- [34] Göllmann, L., Kern, D., Maurer, H.: Optimal control problems with delays in state and control and mixed control-state constraints, *Optimal Control Applications and Methods* 30, 341–365 (2009).
- [35] Grass, D., Caulkins, J.P., Feichtinger, G., Tragler, G., Behrens, D.A.: *Optimal Control of Nonlinear Processes: With Applications in Drugs, Corruption and Terror*. Springer, Berlin, (2008).
- [36] Halkin, H.: Nonlinear convex programming in an infinite dimensional space. *Mathematical theory of control*, Academic Press, New York, 10–25 (1967).
- [37] Halkin, H.: Necessary conditions for optimal control problems with infinite horizons. *Econometrica* 42, 267–272 (1974).
- [38] Halkin, H., Neustadt, L.W.: General necessary conditions for optimization problems. *Proceedings of the National Academy of Sciences of the United States of America*, 56 (4), 1066–1071 (1966).
- [39] Hartl, R.F., Sethi, S.P., Vickson, R.G.: A survey of the maximum principles for optimal control problems with state constraints. *SIAM Review* 37 (2), 181–218 (1995).
- [40] Hestenes, M.: *Calculus of variations and the optimal control theory*. Wiley, New-York-London (1966).
- [41] Heuser, H.: *Lehrbuch der Analysis, Teil 1*. 11. Auflage. Teubner Stuttgart 1994.
- [42] Heuser, H.: *Lehrbuch der Analysis, Teil 2*. 11. Auflage. Teubner Stuttgart-Leipzig-Wiesbaden 2000.
- [43] Heuser, H.: *Gewöhnliche Differentialgleichungen*. 3. Auflage. Teubner Stuttgart 1995.
- [44] Heuser, H.: *Funktionalanalysis*. 3. Auflage. B. G. Teubner Stuttgart 1992.
- [45] Hritonenko, N., Yatsenko, Y.: *Mathematical Modeling in Economics, Ecology, and the Environment*. Kluwer Dordrecht (1999)
- [46] Isaacs, R.P.: *Games of Pursuit*. Paper No. P-257, RAND Corporation, Santa Monica (1951).

- [47] Isaacs, R.P.: Differential Games. John Wiley & Sons, New York (1965).
- [48] Ioffe, A.D., Tichomirov, V.M.: Theorie der Extremalaufgaben. VEB Deutscher Verlag der Wissenschaften Berlin, (1979).
- [49] Kamien, M.I., Schwartz, N.L.: Dynamic Optimization: The Calculus of Variations and Optimal Control in Economics and Management. North-Holland, New York (1981).
- [50] Kurcyusz, S.: On the Existence and Nonexistence of Lagrange Multipliers in Banach Spaces. *Journal of Optimization Theory and Applications*, 20 (1), 81–110 (1976).
- [51] Lancaster, K.: The dynamic inefficiency of capitalism. *Journal of Political Economy* 81, 1092–1109 (1973).
- [52] Ljusternik, L.A.: On Conditional Extremums of Functionals. *Mat. Sb.* 41, 390–401 (1934).
- [53] Mangasarian, O.L.: Sufficient Conditions for the Optimal Control of Nonlinear Systems. *SIAM J. Control* 4, 139–152 (1966).
- [54] Maurer, H.: Skript zur Vorlesung Optimale Steuerungsprozesse. <https://www.uni-muenster.de/AMM/num/Vorlesungen/maurer/Skript%20Opt%20Steuer.pdf>
- [55] McShane, E.J.: On Multipliers for Lagrange Problems. *American Journal of Mathematics* 61, 809–819 (1939).
- [56] Michel, P.: On the Transversality Condition in Infinite Horizon Optimal Problems. *Econometrica* 50, 975–985 (1982).
- [57] Natanson, I.P.: Theorie der Funktionen einer reellen Veränderlichen. Verlag Harri Deutsch, Thun-Frankfurt/Main, (1981).
- [58] Neustadt, L.W.: Optimization: A Theory of Necessary Conditions. Princeton, New Jersey (1976).
- [59] Pesch, H.J., Plail, M.: The Maximum Principle of optimal control: A history of ingenious ideas and missed opportunities. *Control and Cybernetics* 38 (2009).
- [60] Plail, M.: Die Entwicklung der optimalen Steuerungen. Vandenhoeck & Ruprecht, Göttingen (1998).
- [61] Pontrjagin, L.S., Boltjanskij, V.G., Gamkrelidze, R.V., Misčenko, E.F.: Mathematische Theorie optimaler Prozesse. R. Oldenbourg, München-Wien, (1964).
- [62] Ramsey F.P.: A Mathematical Theory of Saving. *Econ. J.* 38, 543–559 (1928).

- 
- [63] Rihan, F., Abdelrahman, D.H., Al-Maskari, F., Ibrahim, F., Abdeen, M.A.: Delay differential model for tumour-immune-response with chemoimmunotherapy and optimal control. *Computational and Mathematical Methods in Medicine*, Hindawi Publishing Corporation, Vol. 2014, Article ID 982978, (2014).
- [64] Rockafellar, R.T.: *Convex Analysis*. Princeton University Press, Princeton, New Jersey (1970).
- [65] Rudin, W.: *Real and Complex Analysis*. McGraw Hill, 3rd ed., (1987).
- [66] Seierstad, A., Sydsæter, K.: *Optimal Control Theory with Economic Applications*. North-Holland Amsterdam-New York-Oxford-Tokyo, (1987).
- [67] Sethi, S.P., Thompson, G.L.: *Optimal Control Theory. Applications to Management Science and Economics*. Kluwer, Boston-Dordrecht-London, 2nd ed. (2000).
- [68] Shaikh, M.S.: *Optimal control of hybrid systems: Theory and algorithms*. Ph.D. dissertation, Department of Electrical and Computer Engineering, McGill University, Montreal, Canada, May 2004.
- [69] Shaikh, M.S., Caines, P. E.: On the hybrid optimal control problem: Theory and algorithms. *IEEE Transactions on Automatic Control*, 52, pp. 1587–1603, 2007.
- [70] Sussmann, H.J.: A nonsmooth hybrid maximum principle. *Stability and Stabilization of Nonlinear Systems. Lecture Notes in Control and Information Sciences* 246, Springer, pp. 325–354, London 1999.
- [71] Tauchnitz, N.: *Das Pontrjaginsche Maximumprinzip für eine Klasse hybrider Steuerungsprobleme mit Zustandsbeschränkungen und seine Anwendung*. PhD Thesis, Cottbus (2010).
- [72] Vinokurov, V.R.: Optimal control of processes described by integral equations. *SIAM J. on Control*, 7, 324–355 (1969).
- [73] Vinter, R.B.: *Optimal Control*. Birkhauser (2000).
- [74] Von Weizsaecker, C.C.: Existence of optimal programs of accumulation for an infinite time horizon. *Review of Economic Studies* 32, 85–92 (1965).
- [75] Werner, D.: *Funktionalanalysis*. Springer-Verlag Berlin-Heidelberg-New York, (1995).
- [76] Young, L.C.: Generalized curves and the existence of an attained absolute minimum in the calculus of variations. *C. R. Acad. Soc. Sci. et Lettr., Varsovie* 3:30, 212–234 (1937).



## Sachverzeichnis

- Abbildung, beschränkte 240
  - , Fréchet-differenzierbare 241
  - , Gâteaux-differenzierbare 241
  - , offene 247
  - , reguläre 241
  - , stetig differenzierbare 241
  - , stetige 240
- Ableitung, Fréchet- 241
  - , Gâteaux- 241
  - , Richtungs- 262
- adjungierte Gleichung
  - elementare Aufgabe 60, 111, 160
  - gemischtes Zielfunktional 93, 95, 97
  - Integralgleichungen 194, 201, 211, 227, 231
  - Lagrange-Aufgabe 24
  - Multiprozesse 111, 113, 118
  - Schwaches Optimalitätsprinzip 35, 47, 49
  - Standardaufgabe 60, 66, 73, 89, 103, 104
  - unendlicher Zeithorizont 160, 164, 173
  - zeitverzögerte Systeme 128, 136, 137
- adjungierter Operator 247
- Approximation durch endlichen Horizont 181
  
- Banachraum 238
- Bolza-Aufgabe 21
- Borelmengen 233, 236
- Borelsches Maß 233, 236
- Brachistochrone 1, 13, 14
  
- Chemoimmuntherapie 147
- Clarkescher Gradient 262
  
- Darstellungssatz von Riesz 248, 250
- Differentialspiel 149
- Dualraum 240
  
- Euler-Lagrangesche Gleichung 15, 17
- Extremale 15
  - , geknickte 33, 35
- Extremalprinzip
  - lokales Minimum 296, 297
  - schwaches lokales Minimum 300
  - starkes lokales Minimum 305
  
- Fischereimodell 155, 161
- Fundamentallemma
  - von du Bois-Reymond 16
  - von Lagrange 16
- Funktion, absolutstetige 236
  - , eigentliche 262
  - , gleichmäßig differenzierbare 263
  - , homogene 262
  - , isoelastische Nutzenfunktion 19
  - , konvexe 262
  - , lokalkonvexe 263
  - , im Sinn der Konvexen Analysis reguläre 262
  - , totale Variation einer 235
  - , Verteilungsfunktion 234
  - von beschränkter Variation 235
  - , Weierstraßsche  $\mathcal{E}$ -Funktion 59
- Funktion, stückweise stetige 11
  - , stückweise stetig differenzierbare 11
  
- Goddard-Problem 2
- Grundaufgabe der Variationsrechnung 14, 58
  
- Hilbertraum 238
- hinreichende Bedingungen, Arrow
  - gemischtes Zielfunktional 96
  - Integralgleichungen 207, 215
  - Multiprozesse 121
  - Standardaufgabe 70, 80
  - Zeitverzögerte Systeme 144
  - unendlicher Zeithorizont 171, 178

- hinreichende Bedingungen, Mangasarian 42
- Instandhaltung 99
- Investition in Produktionskapazitäten 98
- Isoperimetrisches Problem 30
- Kapitalakkumulation 19, 36, 72, 119
- Kapitalismusspiel 151
- Kettenlinie 31
- $k$ -fache Zerlegung 107
- Kompartimentmodelle 122
- Lagerhaltung 50
- Lagrange-Aufgabe 13, 23
- Lagrangesches Prinzip 25
- Lebesgue-Integral 234
- Lebesguescher Punkt 79, 234
- Maß 233
  - , Borelsches 233, 236
  - Borelsches Maß über  $\mathbb{R}$  236
  - , reguläres 233, 237
  - ,  $\sigma$ -additives 233
  - ,  $\sigma$ -endliches 233
  - , signiertes 233
  - totale Variation eines 233
- Maximumbedingung
  - elementare Aufgabe 60, 111, 160
  - gemischtes Zielfunktional 93, 95, 97
  - Integralgleichungen 194, 201, 211, 227, 231
  - Multiprozesse 111, 113, 118
  - Standardaufgabe 60, 66, 73, 89, 103, 104
  - unendlicher Zeithorizont 160, 164, 173
  - zeitverzögerte Systeme 128, 136, 137
- Minimum, schwaches lokales
  - Extremalaufgabe 300
  - Optimale Steuerung 34, 44
  - Variationsrechnung 14, 23
- Minimum, starkes lokales
  - elementare Aufgabe 60, 110
  - unendlicher Zeithorizont 159
  - Extremalaufgabe 305
  - Integralgleichungen 194, 200, 219
  - Multiprozesse 109, 117
  - Standardaufgabe 65, 86
  - unendlicher Zeithorizont 163
  - Variationsrechnung 56
  - zeitverzögerte Systeme 127, 135
- $\mu$ -Integral 234
- $\mu$ -integrierbar 234
- Multiprozess 106
  - ,  $k$ -fache Zerlegung 107
  - , Wechselstrategie 106
- $\mu$ -Nullmenge 233
- Nadelvariation, einfache 56, 61, 111, 129, 158, 160, 195
- Nadelvariation, mehrfache 268
  - Integralgleichungen 285
  - Multiprozesse 278
  - unendlicher Zeithorizont 281
- Nash-Gleichgewicht 149 – 151
- Nutzenfunktion, isoelastische 19
- Operatornorm 240
- optimal, catching up 181
  - , global 181
  - , overtaking 181
  - , sporadically catching up 182
  - , streng global 181
- Pontrjagin-Funktion
  - $H^S$  der Standardaufgabe 34
- Pontrjaginsches Maximumprinzip
  - elementare Aufgabe 60, 111, 160
  - gemischtes Zielfunktional 93, 95, 96
  - Integralgleichungen 194, 201, 211, 227, 231
  - Multiprozesse 111, 113, 118
  - , ökonomische Interpretation 64, 201
  - Standardaufgabe 60, 66, 73, 89, 103, 104

- unendlicher Zeithorizont 160, 164, 173
- zeitverzögerte Systeme 128, 136, 137
- Problem der Dido 1
- Raum
  - im Unendlichen konvergenter Funktionen 239
  - , Lebesgue-Raum 238
  - , Sobolev-Raum 238
  - stetig differenzierbarer Funktionen 238
  - stetiger Funktionen 238
- Ressourcenabbau 174, 179
- Satz, Darstellungssatz von Riesz 248, 250
  - , Fixpunktsatz von Weissinger 247
  - , Trennungssatz 247
  - vom abgeschlossenen Bild 247
  - von der offenen Abbildung 247
  - von Fréchet-Riesz 240
  - von Hahn-Banach 247
  - von Ljusternik 251
  - von Lusin 235
- Schattenpreis 64, 85
- Schwaches Optimalitätsprinzip 35, 47, 49
- $\sigma$ -Algebra 233
- Speichermanagement eines Wasserkraftwerkes 83
- Stieltjes-Integral 235
- Subdifferential 262
- totale Variation, einer Funktion 235
  - eines Maßes 233
- Transversalitätsbedingungen
  - elementare Aufgabe 60, 111, 160
  - gemischtes Zielfunktional 93, 95, 97
  - Integralgleichungen 194, 201, 211, 227, 231
  - Lagrange-Aufgabe 24
  - Multiprozesse 111, 113, 118
  - natürliche 169, 170
  - Schwaches Optimalitätsprinzip 35, 47, 49
  - Standardaufgabe 60, 66, 73, 89, 103, 104
  - unendlicher Zeithorizont 160, 164, 173
  - von Michel 170
  - zeitverzögerte Systeme 128, 136, 137
- Verteilungsfunktion 234
- Wechselstrategie 106
- Weierstraßsche Bedingung 58
- Werbestrategien 196, 208, 209, 228, 232
- Wirtschaftswachstum und Umweltschutz 74
- Zeitverzögerte Systeme 126
- Zielfunktional
  - in gemischter Form 92
  - Terminalfunktional 21, 92
- Zustände der äußeren Zeit 220, 285